

UNIVERSIDADE FEDERAL RURAL DO RIO DE JANEIRO

INSTITUTO DE QUÍMICA

CURSO DE PÓS-GRADUAÇÃO EM QUÍMICA

TESE

VOLUME 2

Metabólitos secundários e avaliação de atividades biológicas de *Siolmatra brasiliensis* (Cogn.) Baill. (Cucurbitaceae) e espécies do gênero *Ziziphus* Mill. (Rhamnaceae).

Carlos Henrique Corrêa dos Santos

2018



UNIVERSIDADE FEDERAL RURAL DO RIO DE JANEIRO
INSTITUTO DE QUÍMICA
PROGRAMA DE PÓS-GRADUAÇÃO EM QUÍMICA

Volume 2

Metabólitos secundários e avaliação de atividades biológicas de *Siolmata brasiliensis* (Cogn.) Baill. (Cucurbitaceae) e espécies do gênero *Ziziphus* Mill. (Rhamnaceae).
(Espectros)

Carlos Henrique Corrêa dos Santos

Sob orientação do
Prof. Dr. Mário Geraldo de Carvalho

E coorientação do
Prof. Dr. Ludger A. Wessjohann

Tese submetida como requisito parcial para a obtenção do grau de **Doutor em Química**, no curso de Pós-Graduação em Química, área de concentração em Química.

Seropédica, RJ
Outubro de 2018

Índice de figuras

Figura 1. Espectro de RMN ^1H de Sb1 (500 MHz, CDCl_3).....	10
Figura 2. Espectro de DEPTQ de Sb1 (125 MHz, CDCl_3).	11
Figura 3. Espectro de NOESY de Sb1 (500 MHz, CDCl_3).....	12
Figura 4. Espectro de RMN ^1H de Sb2 (500 MHz, CDCl_3).....	13
Figura 5. Espectro de DEPTQ de Sb2 (125 MHz, CDCl_3).	14
Figura 6. Espectro de NOESY de Sb2 (500 MHz, CDCl_3).....	15
Figura 7. Espectro de RMN ^1H de Sb3 (500 MHz, DMSO-d_6).....	16
Figura 8. Espectro de DEPTQ de Sb3 (125 MHz, DMSO-d_6).	17
Figura 9. Espectro de NOESY de Sb3 (500 MHz, DMSO-d_6)	18
Figura 10. Espectro de RMN ^1H de Sb4 (500 MHz, DMSO-d_6).....	19
Figura 11. Espectro de DEPTQ de Sb4 (125 MHz, DMSO-d_6).	20
Figura 12. Espectro de NOESY Sb4 (500 MHz, DMSO-d_6)	21
Figura 13. Espectro de RMN ^1H de Sb5 (500 MHz, DMSO-d_6).....	22
Figura 14. Espectro de DEPTQ de Sb5 (125 MHz, DMSO-d_6).	23
Figura 15. Espectro de NOESY de Sb5 (500 MHz, DMSO-d_6)	24
Figura 16. Espectro de RMN ^1H de Sb6 (500 MHz, DMSO-d_6).....	25
Figura 17. Espectro de DEPTQ de Sb6 (125 MHz, DMSO-d_6).....	26
Figura 18. Espectro de HSQC de Sb6 (500 MHz, DMSO-d_6)	27
Figura 19. Espectro de HMBC de Sb6 (500 MHz, DMSO-d_6)	28
Figura 20. Espectro de NOESY de Sb6 (500 MHz, DMSO-d_6)	29
Figura 21. Cromatograma de CG-EM de Sb6.	30
Figura 22. Espectro de massas do pico 1 de Sb6 (i.e. 70 eV).....	30
Figura 23. Espectro de massas do pico 2 de Sb6 (i.e. 70 eV).....	30
Figura 24. Espectro de RMN ^1H de Sb7 (500 MHz, CDCl_3).....	31
Figura 25. Espectro de DEPTQ de Sb7 (125 MHz, CDCl_3)	32
Figura 26. Espectro de COSY de Sb7 (500 MHz, CDCl_3).....	33
Figura 27. Espectro de HSQC de Sb7 (500 MHz, CDCl_3).....	34
Figura 28. Espectro de HMBC de Sb7 (500 MHz, CDCl_3).....	35
Figura 29. Espectro de NOESY de Sb7 (500 MHz, CDCl_3)	36
Figura 30. Cromatograma de CG-EM de Sb7.	37
Figura 31. Espectro de massas do pico 1 de Sb7 (i.e. 70 eV).....	37
Figura 32. Espectro de massas do pico 2 de Sb7 (i.e. 70 eV).....	37
Figura 33. Espectro de RMN ^1H de Sb8 (500 MHz, $\text{C}_5\text{D}_5\text{N}$).....	38
Figura 34. Espectro de DEPTQ de Sb8 (100 MHz, $\text{C}_5\text{D}_5\text{N}$)	39
Figura 35. Espectro de COSY de Sb8 (400 MHz, $\text{C}_5\text{D}_5\text{N}$)	40
Figura 36. Espectro de HSQC de Sb8 (400 MHz, $\text{C}_5\text{D}_5\text{N}$)	41
Figura 37. Espectro de HMBC de Sb8 (400 MHz, $\text{C}_5\text{D}_5\text{N}$)	42
Figura 38. Espectro de RMN ^1H de Sb9 (400 MHz, $\text{C}_5\text{D}_5\text{N}$)	43
Figura 39. Espectro de DEPTQ de Sb9 (100 MHz, $\text{C}_5\text{D}_5\text{N}$)	44
Figura 40. Espectro de COSY de Sb9 (400 MHz, $\text{C}_5\text{D}_5\text{N}$)	45
Figura 41. Espectro de HSQC de Sb9 (400 MHz, $\text{C}_5\text{D}_5\text{N}$)	46

Figura 42. Espectro de HMBC de Sb9 (400 MHz, C ₅ D ₅ N).	47
Figura 43. Espectro de UV de Sb9 (propanol).	48
Figura 44. Espectro de RMN ¹ H de Sb10 (400 MHz, C ₅ D ₅ N).	49
Figura 45. Espectro de DEPTQ de Sb10 (100 MHz, C ₅ D ₅ N).	50
Figura 46. Espectro de HSQC de Sb10 (400 MHz, C ₅ D ₅ N).	51
Figura 47. Espectro de HMBC de Sb10 (400 MHz, C ₅ D ₅ N).	52
Figura 48. Espectro de RMN ¹ H de Sb11 (400 MHz, C ₅ D ₅ N).	53
Figura 49. Espectro de DEPTQ de Sb11 (100 MHz, C ₅ D ₅ N).	54
Figura 50. Espectro de HSQC de Sb11 (400 MHz, C ₅ D ₅ N).	55
Figura 51. Espectro de HMBC de Sb11 (400 MHz, C ₅ D ₅ N).	56
Figura 52. Espectro de RMN ¹ H de Sb12 (400 MHz, C ₅ D ₅ N).	57
Figura 53. Espectro de DEPTQ de Sb12 (100 MHz, C ₅ D ₅ N).	58
Figura 54. Espectro de RMN ¹ H de Sb13 (400 MHz, C ₅ D ₅ N).	59
Figura 55. Espectro de DEPTQ de Sb13 (100 MHz, C ₅ D ₅ N).	60
Figura 56. Espectro de COSY de Sb13 (400 MHz, C ₅ D ₅ N).	61
Figura 57. Espectro de HSQC de Sb13 (400 MHz, C ₅ D ₅ N).	62
Figura 58. Espectro de HMBC de Sb13 (400 MHz, C ₅ D ₅ N).	63
Figura 59. Espectro de UV de Sb13 (propanol).	64
Figura 60. Espectro de RMN ¹ H de Sb14 (400 MHz, C ₅ D ₅ N).	65
Figura 61. Espectro de DEPTQ de Sb14 (100 MHz, C ₅ D ₅ N).	67
Figura 62. Espectro de RMN ¹ H de Sb15 (500 MHz, C ₅ D ₅ N).	68
Figura 63. Espectro de DEPTQ de Sb15 (125 MHz, C ₅ D ₅ N).	69
Figura 64. Espectro de COSY de Sb15 (500 MHz, C ₅ D ₅ N).	70
Figura 65. Espectro de HSQC de Sb15 (500 MHz, C ₅ D ₅ N).	71
Figura 66. Espectro de HMBC de Sb15 (500 MHz, C ₅ D ₅ N).	72
Figura 67. Espectro de massas de alta resolução de Sb16 (ESI, modo negativo).	73
Figura 68. Espectro de ultravioleta de Sb16 (metanol).	73
Figura 69. Espectro de Infravermelho de Sb16 (FTIR-ATR).	74
Figura 70. Espectro de RMN ¹ H de Sb16 (400 MHz, CD ₃ OD).	75
Figura 71. Espectro de RMN ¹³ C de Sb16 (100 MHz, CD ₃ OD).	76
Figura 72. Espectro de DEPT-135 de Sb16 (100 MHz, CD ₃ OD).	77
Figura 73. Espectro de COSY de Sb16 (400 MHz, C ₅ D ₅ N).	78
Figura 74. Espectro de HSQC de Sb16 (400 MHz, CD ₃ OD).	79
Figura 75. Espectro de HMBC de Sb16 (400 MHz, CD ₃ OD).	80
Figura 76. Espectro de NOESY de Sb16 (400 MHz, CD ₃ OD).	81
Figura 77. Espectro de massas de alta resolução do derivado acetilado de Sb16 (ESI, modo positivo).	82
Figura 78. Espectro de RMN ¹ H do derivado acetilado de Sb16 (500 MHz, CDCl ₃).	83
Figura 79. Espectro de DEPTQ do derivado acetilado de Sb16 (125 MHz, CDCl ₃).	84
Figura 80. Espectro de COSY do derivado acetilado de Sb16 (500 MHz, CDCl ₃).	85
Figura 81. Espectro de HSQC do derivado acetilado de Sb16 (500 MHz, CDCl ₃).	86
Figura 82. Espectro de HMBC do derivado acetilado de Sb16 (500 MHz, CDCl ₃).	87
Figura 83. Espectro de ROESY do derivado acetilado de Sb16 (500 MHz, CDCl ₃).	88

Figura 84. Espectro de massas de alta resolução de Sb17 (ESI, modo negativo)	89
Figura 85. Espectro de RMN ¹ H de Sb17 (400 MHz, C ₅ D ₅ N).....	90
Figura 86. Espectro de DEPTQ de Sb17 (100 MHz, C ₅ D ₅ N).	91
Figura 87. Espectro de HSQC de Sb17 (400 MHz, C ₅ D ₅ N).	92
Figura 88. Espectro de HMBC de Sb17 (400 MHz, C ₅ D ₅ N).	93
Figura 89. Espectro de massas de alta resolução de Sb18 (ESI, modo positivo)	94
Figura 90. Espectro de RMN ¹ H de Sb18 (400 MHz, C ₅ D ₅ N).....	95
Figura 91. Espectro de RMN ¹³ C de Sb18 (100 MHz, C ₅ D ₅ N).	96
Figura 92. Espectro de COSY de Sb18 (400 MHz, C ₅ D ₅ N).	97
Figura 93. Espectro de HSQC de Sb18 (400 MHz, C ₅ D ₅ N).	98
Figura 94. Espectro de HMBC de Sb18 (400 MHz, C ₅ D ₅ N).	99
Figura 95. Espectro de ROESY de Sb18 (400 MHz, C ₅ D ₅ N).	100
Figura 96. Espectro de TOCSY de Sb18 (400 MHz, C ₅ D ₅ N).	101
Figura 97. Espectro de massas de alta resolução de Sb19 (ESI, modo positivo)	102
Figura 98. Espectro de RMN ¹ H de Sb19 (400 MHz, C ₅ D ₅ N).....	103
Figura 99. Espectro de RMN ¹³ C de Sb19 (100 MHz, C ₅ D ₅ N).	104
Figura 100. Espectro de DEPT-135 de Sb19 (100 MHz, C ₅ D ₅ N).....	105
Figura 101. Espectro de COSY de Sb19 (400 MHz, C ₅ D ₅ N).	106
Figura 102. Espectro de HSQC de Sb19 (400 MHz, C ₅ D ₅ N).	107
Figura 103. Espectro de HMBC de Sb19 (400 MHz, C ₅ D ₅ N).	108
Figura 104. Espectro de TOCSY (2D) de Sb19 (400 MHz, C ₅ D ₅ N).	109
Figura 105. Espectro de massas de alta resolução de Sb20 (ESI, modo positivo)	110
Figura 106. Espectro de RMN ¹ H de Sb20 (400 MHz, C ₅ D ₅ N).....	111
Figura 107. Espectro de RMN ¹³ C de Sb20 (100 MHz, C ₅ D ₅ N).	112
Figura 108. Espectro de DEPT-135 de Sb20 (100 MHz, C ₅ D ₅ N).....	113
Figura 109. Espectro de COSY de Sb20 (400 MHz, C ₅ D ₅ N).	114
Figura 110. Espectro de HSQC de Sb20 (400 MHz, C ₅ D ₅ N).	115
Figura 111. Espectro de HMBC de Sb20 (400 MHz, C ₅ D ₅ N).	116
Figura 112. Espectro de ROESY de Sb20 (400 MHz, C ₅ D ₅ N).	117
Figura 113. Espectro de TOCSY (2D) de Sb20 (400 MHz, C ₅ D ₅ N).	118
Figura 114. Espectro de massas de alta resolução do derivado acetilado de Sb20 (modo positivo).	119
Figura 115. Espectro de RMN ¹ H do derivado acetilado de Sb20 (400 MHz, CDCl ₃).....	120
Figura 116. Espectro de RMN ¹³ C do derivado acetilado de Sb20 (100 MHz, CDCl ₃).....	121
Figura 117. Espectro de DEPT-135 do derivado acetilado de Sb20 (100 MHz, CDCl ₃).....	122
Figura 118. Espectro de COSY do derivado acetilado de Sb20 (400 MHz, CDCl ₃).	123
Figura 119. Espectro de HSQC do derivado acetilado de Sb20 (400 MHz, CDCl ₃).	124
Figura 120. Espectro de HMBC do derivado acetilado de Sb20 (400 MHz, CDCl ₃).	125
Figura 121. Espectro de TOCSY 2D do derivado acetilado de Sb20 (400 MHz, CDCl ₃).	126
Figura 122. Expansão do espectro de TOCSY 2D do derivado acetilado de Sb20 (400 MHz, CDCl ₃).	127
Figura 123. Espectro de massas de alta resolução de Zg1 (ESI, modo positivo)	128
Figura 124. Espectro de RMN ¹ H de Zg1 (400 MHz, CDCl ₃).	129

Figura 125. Espectro de RMN ^{13}C de Zg1 (100 MHz, CDCl_3).....	130
Figura 126. Espectro de DEPT-135 de Zg1 (100 MHz, CDCl_3).....	131
Figura 127. Espectro de COSY de Zg1 (400 MHz, CDCl_3).....	132
Figura 128. Espectro de HSQC de Zg1 (400 MHz, CDCl_3).....	133
Figura 129. Espectro de HMBC de Zg1 (400 MHz, CDCl_3).....	134
Figura 130. Espectro de NOESY de Zg1 (400 MHz, CDCl_3).....	135
Figura 131. Espectro de massas de alta resolução de Zg2 (ESI, modo negativo).....	136
Figura 132. Espectro de RMN ^1H de Zg2 (400 MHz, $\text{C}_5\text{D}_5\text{N}$)	137
Figura 133. Espectro de RMN ^{13}C de Zg2 (100 MHz, $\text{C}_5\text{D}_5\text{N}$)	138
Figura 134. Espectro de COSY de Zg2 (400 MHz, $\text{C}_5\text{D}_5\text{N}$)	139
Figura 135. Espectro de HSQC de Zg2 (400 MHz, $\text{C}_5\text{D}_5\text{N}$)	140
Figura 136. Espectro de HMBC de Zg2 (400 MHz, $\text{C}_5\text{D}_5\text{N}$)	141
Figura 137. Espectro de massas de alta resolução de Zg3 (ESI, modo negativo).....	142
Figura 138. Espectro de RMN ^1H de Zg3 (400 MHz, $\text{C}_5\text{D}_5\text{N}$)	143
Figura 139. Espectro de RMN ^{13}C de Zg3 (100 MHz, $\text{C}_5\text{D}_5\text{N}$)	144
Figura 140. Espectro de DEPT-135 de Zg3 (100 MHz, $\text{C}_5\text{D}_5\text{N}$)	145
Figura 141. Espectro de COSY de Zg3 (400 MHz, $\text{C}_5\text{D}_5\text{N}$)	146
Figura 142. Espectro de HSQC de Zg3 (400 MHz, $\text{C}_5\text{D}_5\text{N}$)	147
Figura 143. Espectro de HMBC de Zg3 (400 MHz, $\text{C}_5\text{D}_5\text{N}$)	148
Figura 144. Espectro de NOESY de Zg3 (400 MHz, $\text{C}_5\text{D}_5\text{N}$)	149
Figura 145. Espectro de massas de alta resolução de Zg4 (ESI, modo positivo).....	150
Figura 146. Espectro de RMN ^1H de Zg4 (400 MHz, $\text{C}_5\text{D}_5\text{N}$)	151
Figura 147. Espectro de RMN ^{13}C de Zg4 (100 MHz, $\text{C}_5\text{D}_5\text{N}$)	152
Figura 148. Espectro de DEPT-135 de Zg4 (100 MHz, $\text{C}_5\text{D}_5\text{N}$)	153
Figura 149. Espectro de COSY de Zg4 (400 MHz, $\text{C}_5\text{D}_5\text{N}$)	154
Figura 150. Espectro de HSQC de Zg4 (400 MHz, $\text{C}_5\text{D}_5\text{N}$)	155
Figura 151. Espectro de HMBC de Zg4 (400 MHz, $\text{C}_5\text{D}_5\text{N}$)	156
Figura 152. Espectro de NOESY de Zg4 (400 MHz, $\text{C}_5\text{D}_5\text{N}$)	157
Figura 153. Espectro de massas de alta resolução de Zg5 (ESI, modo positivo).....	158
Figura 154. Espectro de RMN ^1H de Zg5 (400 MHz, $\text{C}_5\text{D}_5\text{N}$)	159
Figura 155. Espectro de RMN ^{13}C de Zg5 (100 MHz, $\text{C}_5\text{D}_5\text{N}$)	160
Figura 156. Espectro de DEPT-135 de Zg5 (100 MHz, $\text{C}_5\text{D}_5\text{N}$)	161
Figura 157. Espectro de COSY de Zg5 (400 MHz, $\text{C}_5\text{D}_5\text{N}$)	162
Figura 158. Espectro de HSQC de Zg5 (400 MHz, $\text{C}_5\text{D}_5\text{N}$)	163
Figura 159. Espectro de HMBC de Zg5 (400 MHz, $\text{C}_5\text{D}_5\text{N}$)	164
Figura 160. Espectro de NOESY de Zg5 (400 MHz, $\text{C}_5\text{D}_5\text{N}$)	165
Figura 161. Espectro de massas de alta resolução de Zg6 (ESI, modo negativo).....	166
Figura 162. Espectro de RMN ^1H de Zg6 (400 MHz, $\text{C}_5\text{D}_5\text{N}$)	167
Figura 163. Espectro de RMN ^{13}C de Zg6 (100 MHz, $\text{C}_5\text{D}_5\text{N}$)	168
Figura 164. Espectro de DEPT-135 de Zg6 (100 MHz, $\text{C}_5\text{D}_5\text{N}$)	169
Figura 165. Espectro de COSY de Zg6 (400 MHz, $\text{C}_5\text{D}_5\text{N}$)	170
Figura 166. Espectro de HSQC de Zg6 (400 MHz, $\text{C}_5\text{D}_5\text{N}$)	171
Figura 167. Espectro de HMBC de Zg6 (400 MHz, $\text{C}_5\text{D}_5\text{N}$)	172

Figura 168. Espectro de massas de alta resolução de Zg7 (ESI, modo positivo).....	173
Figura 169. Espectro de RMN ¹ H de Zg7 (400 MHz, CDCl ₃).....	174
Figura 170. Espectro de RMN ¹³ C de Zg7 (100 MHz, CDCl ₃).....	175
Figura 171. Espectro de DEPT-135 de Zg7 (100 MHz, CDCl ₃).....	176
Figura 172. Espectro de COSY de Zg7 (400 MHz, CDCl ₃).....	177
Figura 173. Espectro de HSQC de Zg7 (400 MHz, CDCl ₃).....	178
Figura 174. Espectro de HMBC de Zg7 (400 MHz, CDCl ₃).....	179
Figura 175. Espectro de NOESY de Zg7 (400 MHz, CDCl ₃).....	180
Figura 176. Espectro de massas de alta resolução de Zg8 (ESI, modo negativo)	181
Figura 177. Espectro de RMN ¹ H de Zg8 (400 MHz, C ₅ D ₅ N)	182
Figura 178. Espectro de RMN ¹³ C de Zg8 (100 MHz, C ₅ D ₅ N)	183
Figura 179. Espectro de DEPT-135 de Zg8 (100 MHz, C ₅ D ₅ N)	184
Figura 180. Espectro de COSY de Zg8 (400 MHz, C ₅ D ₅ N).....	185
Figura 181. Espectro de HSQC de Zg8 (400 MHz, C ₅ D ₅ N).....	186
Figura 182. Espectro de HMBC de Zg8 (400 MHz, C ₅ D ₅ N).....	187
Figura 183. Espectro de ROESY de Zg8 (400 MHz, C ₅ D ₅ N).....	188
Figura 184. Espectro de massas de alta resolução de Zg9 (ESI, modo negativo)	189
Figura 185. Espectro de RMN ¹ H de Zg9 (400 MHz, C ₅ D ₅ N)	190
Figura 186. Espectro de RMN ¹³ C de Zg9 (100 MHz, C ₅ D ₅ N)	191
Figura 187. Espectro de DEPT-135 de Zg9 (100 MHz, C ₅ D ₅ N)	192
Figura 188. Espectro de COSY de Zg9 (400 MHz, C ₅ D ₅ N).....	193
Figura 189. Espectro de HSQC de Zg9 (400 MHz, C ₅ D ₅ N).....	194
Figura 190. Espectro de HMBC de Zg9 (400 MHz, C ₅ D ₅ N).....	195
Figura 191. Espectro de ROESY de Zg9 (400 MHz, C ₅ D ₅ N).....	196
Figura 192. Espectro de massas de alta resolução de Zg10 (ESI, modo positivo)	197
Figura 193. Espectro de RMN ¹ H de Zg10 (400 MHz, C ₅ D ₅ N)	198
Figura 194. Espectro de RMN ¹³ C de Zg10 (100 MHz, C ₅ D ₅ N)	199
Figura 195. Espectro de DEPT-135 de Zg10 (100 MHz, C ₅ D ₅ N)	200
Figura 196. Espectro de COSY de Zg10 (400 MHz, C ₅ D ₅ N).....	201
Figura 197. Espectro de HSQC de Zg10 (400 MHz, C ₅ D ₅ N).....	202
Figura 198. Espectro de HMBC de Zg10 (400 MHz, C ₅ D ₅ N).....	203
Figura 199. Espectro de NOESY de Zg10 (400 MHz, C ₅ D ₅ N).....	204
Figura 200. Espectro de massas de alta resolução de Zg11 (ESI, modo positivo)	205
Figura 201. Espectro de RMN ¹ H de Zg11 (400 MHz, C ₅ D ₅ N)	206
Figura 202. Espectro de RMN ¹³ C de Zg11 (100 MHz, C ₅ D ₅ N)	207
Figura 203. Espectro de DEPT-135 de Zg11 (100 MHz, C ₅ D ₅ N)	208
Figura 204. Espectro de COSY de Zg11 (400 MHz, C ₅ D ₅ N).....	209
Figura 205. Espectro de HSQC de Zg11 (400 MHz, C ₅ D ₅ N).....	210
Figura 206. Espectro de HMBC de Zg11 (400 MHz, C ₅ D ₅ N).....	211
Figura 207. Espectro de ROESY de Zg11 (400 MHz, C ₅ D ₅ N).....	212
Figura 208. Espectro de massas de alta resolução de Zg12 (ESI, modo positivo).....	213
Figura 209. Espectro de RMN ¹ H de Zg12 (400 MHz, C ₅ D ₅ N)	214
Figura 210. Espectro de RMN ¹³ C de Zg12 (100 MHz, C ₅ D ₅ N)	215

Figura 211. Espectro de DEPT-135 de Zg12 (100 MHz, C ₅ D ₅ N).	216
Figura 212. Espectro de COSY de Zg12 (400 MHz, C ₅ D ₅ N).	217
Figura 213. Espectro de HSQC de Zg12 (400 MHz, C ₅ D ₅ N).	218
Figura 214. Espectro de HMBC de Zg12 (400 MHz, C ₅ D ₅ N).	219
Figura 215. Espectro de TOCSY (2D) de Zg12 (400 MHz, C ₅ D ₅ N).	220
Figura 216. Espectro de massas de alta resolução de Zg13 (ESI, modo positivo).	221
Figura 217. Espectro de RMN ¹ H de Zg13 (400 MHz, C ₅ D ₅ N).	222
Figura 218. Espectro de RMN ¹³ C de Zg13 (100 MHz, C ₅ D ₅ N).	223
Figura 219. Espectro de DEPT-135 de Zg13 (100 MHz, C ₅ D ₅ N).	224
Figura 220. Espectro de COSY de Zg13 (400 MHz, C ₅ D ₅ N).	225
Figura 221. Espectro de HSQC de Zg13 (400 MHz, C ₅ D ₅ N).	226
Figura 222. Espectro de HMBC de Zg13 (400 MHz, C ₅ D ₅ N).	227
Figura 223. Espectro de ROESY de Zg13 (400 MHz, C ₅ D ₅ N).	228
Figura 224. Espectro de TOCSY (2D) de Zg13 (400 MHz, C ₅ D ₅ N).	229
Figura 225. Espectro de TOCSY seletivo de Zg13 (δ_H 3,6-6,4 ppm) (600 MHz, C ₅ D ₅ N). ...	230
Figura 226. Espectro de massas de alta resolução de Zg14 (ESI, modo negativo).	231
Figura 227. Espectro de RMN ¹ H de Zg14 (400 MHz, C ₅ D ₅ N).	232
Figura 228. Espectro de RMN ¹³ C de Zg14 (100 MHz, C ₅ D ₅ N).	233
Figura 229. Espectro de DEPT-135 de Zg14 (400 MHz, C ₅ D ₅ N).	234
Figura 230. Espectro de COSY de Zg14 (400 MHz, C ₅ D ₅ N).	235
Figura 231. Espectro de HSQC de Zg14 (400 MHz, C ₅ D ₅ N).	236
Figura 232. Espectro de HMBC de Zg14 (400 MHz, C ₅ D ₅ N).	237
Figura 233. Espectro de ROESY de Zg14 (400 MHz, C ₅ D ₅ N).	238
Figura 234. Espectro de TOCSY (2D) de Zg14 (400 MHz, C ₅ D ₅ N).	239
Figura 235. Espectro de TOCSY seletivo de Zg14 (δ_H 3,6-6,2 ppm) (600 MHz, C ₅ D ₅ N). ...	240
Figura 236. Espectro de massas de alta resolução de Zg15 (ESI, modo positivo).	241
Figura 237. Espectro de massas de alta resolução de Zg15 (ESI, modo negativo).	241
Figura 238. Espectro de RMN ¹ H da substância Zg15 (400 MHz, C ₅ D ₅ N).	242
Figura 239. Espectro de RMN ¹³ C de Zg15 (100 MHz, C ₅ D ₅ N).	243
Figura 240. Espectro de DEPT-135 de Zg15 (100 MHz, C ₅ D ₅ N).	244
Figura 241. Espectro de COSY de Zg15 (400 MHz, C ₅ D ₅ N).	245
Figura 242. Espectro de HSQC de Zg15 (400 MHz, C ₅ D ₅ N).	246
Figura 243. Espectro de HMBC de Zg15 (400 MHz, C ₅ D ₅ N).	247
Figura 244. Espectro de ROESY de Zg15 (400 MHz, C ₅ D ₅ N).	248
Figura 245. Espectro de TOCSY de Zg15 (400 MHz, C ₅ D ₅ N).	249
Figura 246. Espectro de massas de alta resolução Zg16 (ESI, modo positivo).	250
Figura 247. Espectro de massas de alta resolução de Zg16 (ESI, modo negativo).	250
Figura 248. Espectro de RMN ¹ H de Zg16 (400 MHz, C ₅ D ₅ N).	251
Figura 249. Espectro de RMN ¹³ C de Zg16 (100 MHz, C ₅ D ₅ N).	252
Figura 250. Espectro de DEPT-135 de Zg16 (100 MHz, C ₅ D ₅ N).	253
Figura 251. Espectro de COSY de Zg16 (400 MHz, C ₅ D ₅ N).	254
Figura 252. Espectro de HSQC de Zg16 (400 MHz, C ₅ D ₅ N).	255
Figura 253. Espectro de HMBC de Zg16 (400 MHz, C ₅ D ₅ N).	256

Figura 254. Espectro de ROESY de Zg16 (400 MHz, C ₅ D ₅ N).....	257
Figura 255. Espectro de TOCSY (2D) de Zg16 (400 MHz, C ₅ D ₅ N).....	258
Figura 256. Espectro de massas de alta resolução (ESI) do pico em 8,86 min de ZjC-AlcF (modo positivo).....	259
Figura 257. Espectro de massas de alta resolução (ESI) do pico em 9,13 min de ZjC-AlcF (modo positivo).....	259
Figura 258. Espectro de massas de alta resolução (ESI) do pico em 10,00 min de ZjC-AlcF (modo positivo).....	260
Figura 259. Espectro de massas de alta resolução (ESI) do pico em 10,06 min de ZjC-AlcF (modo positivo).....	260
Figura 260. Espectro de massas de alta resolução (ESI) do pico em 10,30 min de ZjC-AlcF (modo positivo).....	261
Figura 261. Espectro de massas de alta resolução (ESI) do pico em 10,37 min de ZjC-AlcF (modo positivo).....	261
Figura 262. Espectro de massas de alta resolução (ESI) do pico em 10,48 min de ZjC-AlcF (modo positivo).....	262
Figura 263. Espectro de massas de alta resolução (ESI) do pico em 10,57 min de ZjC-AlcF (modo positivo).....	262
Figura 264. Espectro de massas sequencial (EM ²) de ZjC-ACP1.....	263
Figura 265. Espectro de massas sequencial (EM ²) de ZjC-ACP1 (ampliação em <i>m/z</i> 200-240).	263
Figura 266. Espectro de massas sequencial (EM ²) de ZjC-ACP2.....	264
Figura 267. Espectro de massas sequencial (EM ²) de ZjC-ACP2 (ampliação em <i>m/z</i> 200-240).	264
Figura 268. Espectro de massas sequencial (EM ²) de ZjC-ACP3.....	265
Figura 269. Espectro de massas sequencial (EM ²) de ZjC-ACP3 (ampliação em <i>m/z</i> 200-240).	265
Figura 270. Espectro de massas sequencial (EM ²) de ZjC-ACP4.....	266
Figura 271. Espectro de massas sequencial (EM ²) de ZjC-ACP4 (ampliação em <i>m/z</i> 200-240).	266
Figura 272. Espectro de massas sequencial (EM ²) de ZjC-ACP5.....	267
Figura 273. Espectro de massas sequencial (EM ²) de ZjC-ACP5 (ampliação em <i>m/z</i> 200-300).	267
Figura 274. Espectro de massas sequencial (EM ²) de ZjC-ACP6.....	268
Figura 275. Espectro de massas sequencial (EM ²) de ZjC-ACP6 (ampliação em <i>m/z</i> 200-240).	268
Figura 276. Espectro de massas sequencial (EM ²) de ZjC-ACP7.....	269
Figura 277. Espectro de massas sequencial (EM ²) de ZjC-ACP7 (ampliação em <i>m/z</i> 200-300).	269
Figura 278. Espectro de massas sequencial (EM ²) de ZjC-ACP8.....	270
Figura 279. Espectro de massas sequencial (EM ²) de ZjC-ACP8 (ampliação em <i>m/z</i> 200-240).	270

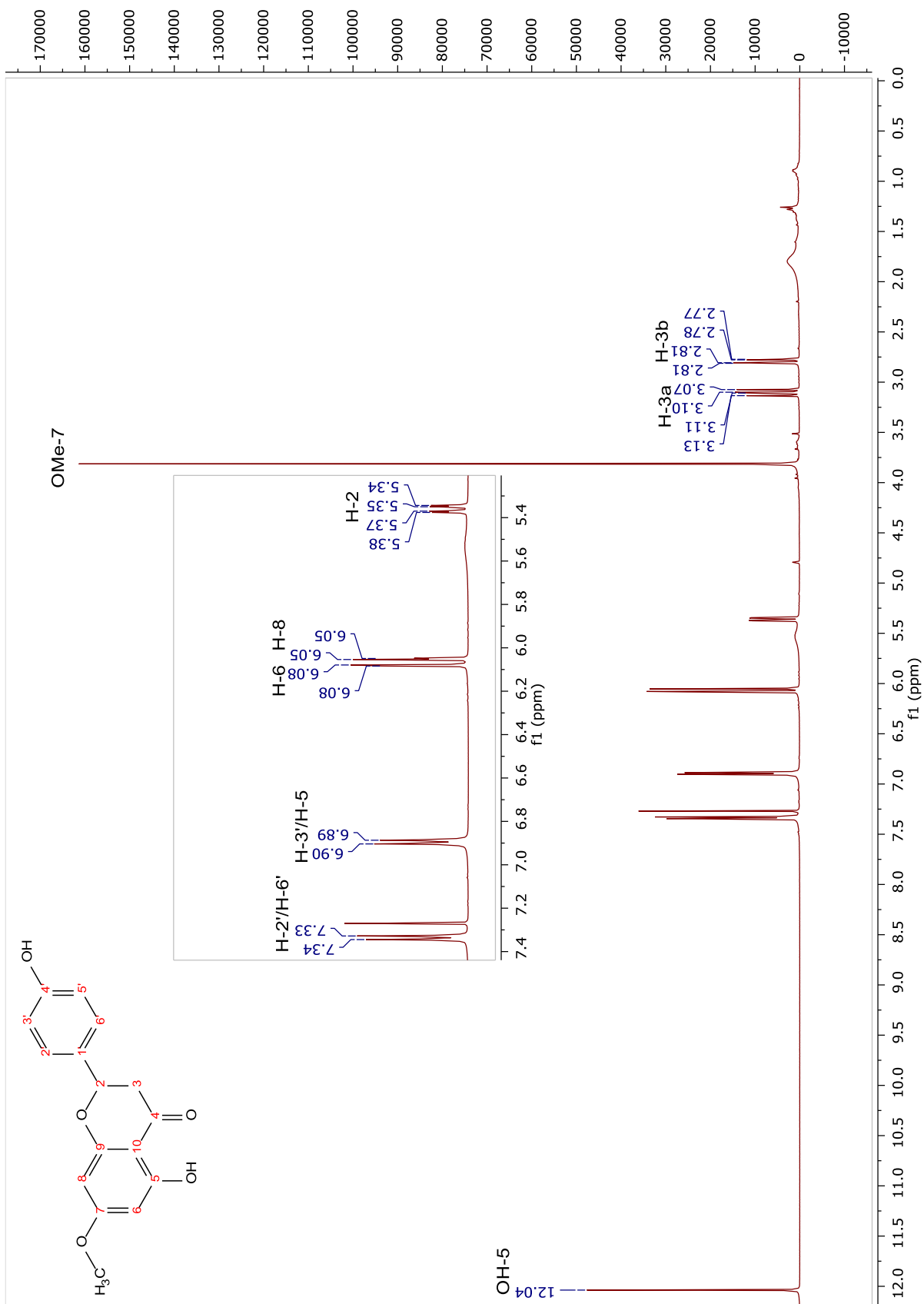


Figura 1. Espectro de RMN ^1H de **Sb1** (500 MHz, CDCl_3).

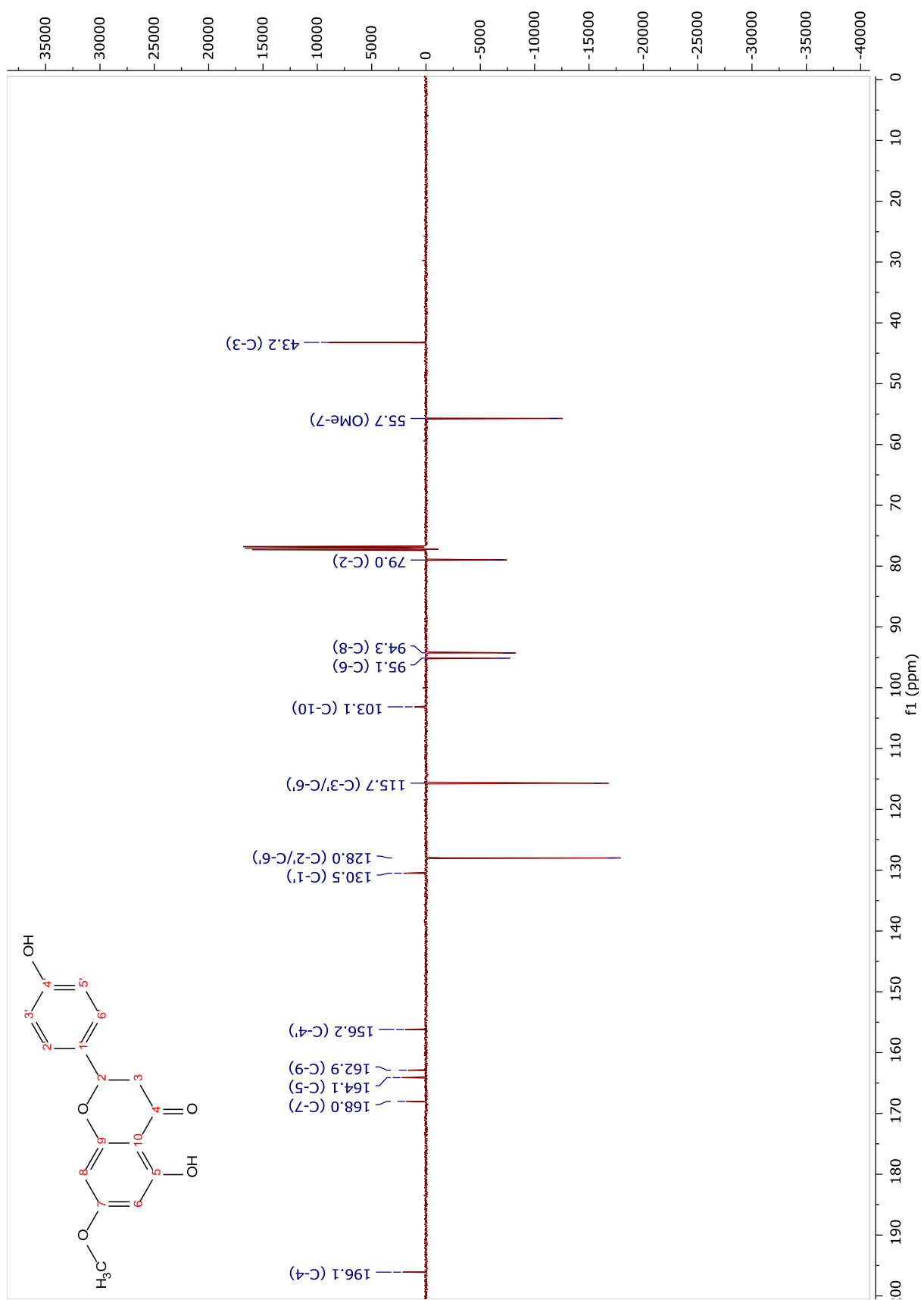


Figura 2. Espectro de DEPTQ de **Sb1** (125 MHz, CDCl₃).

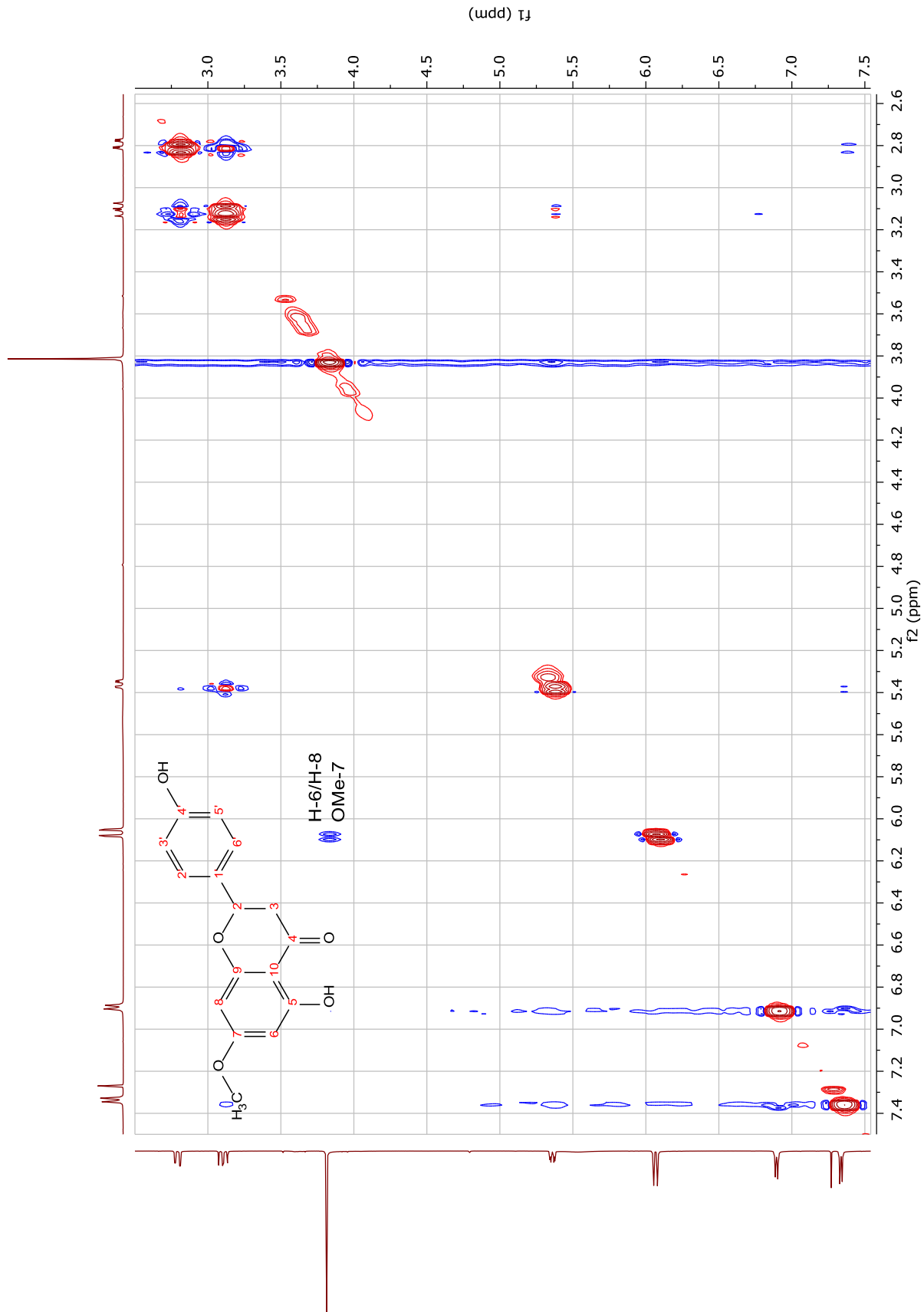


Figura 3. Espectro de NOESY de **Sb1** (500 MHz, CDCl_3).

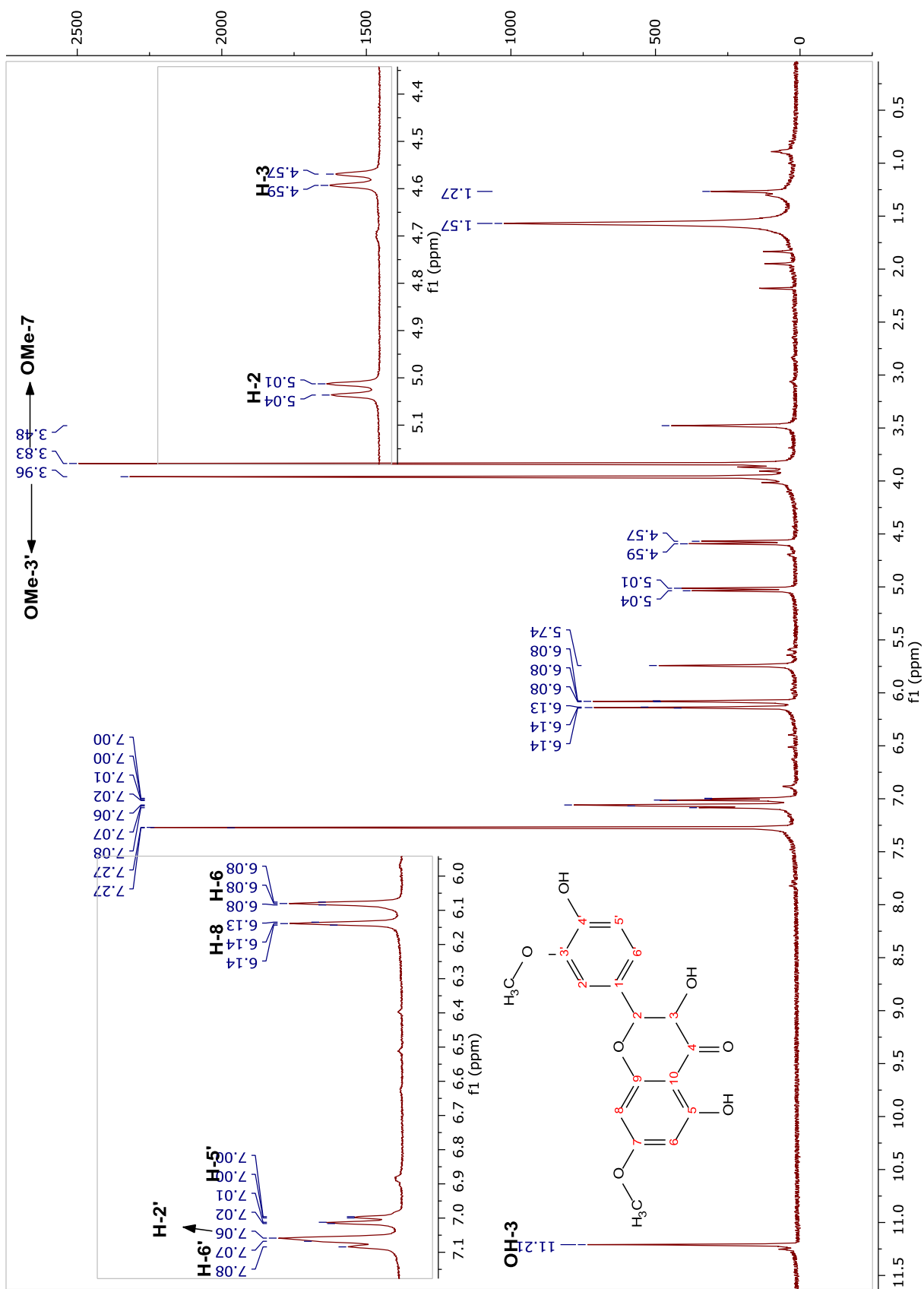


Figura 4. Espectro de RMN ^1H de Sb2 (500 MHz, CDCl_3).

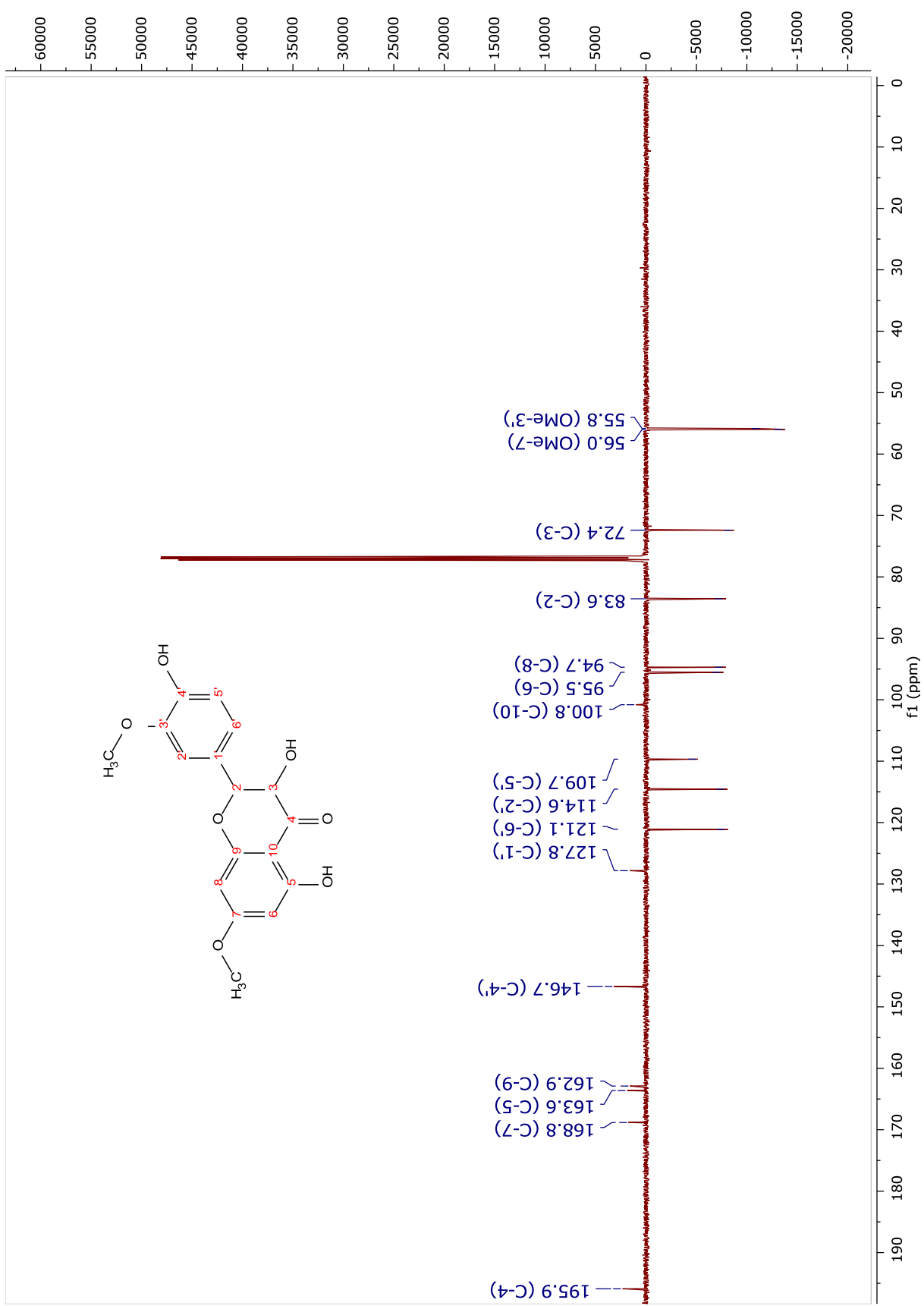


Figura 5. Espectro de DEPTQ de Sb2 (125 MHz, CDCl_3).

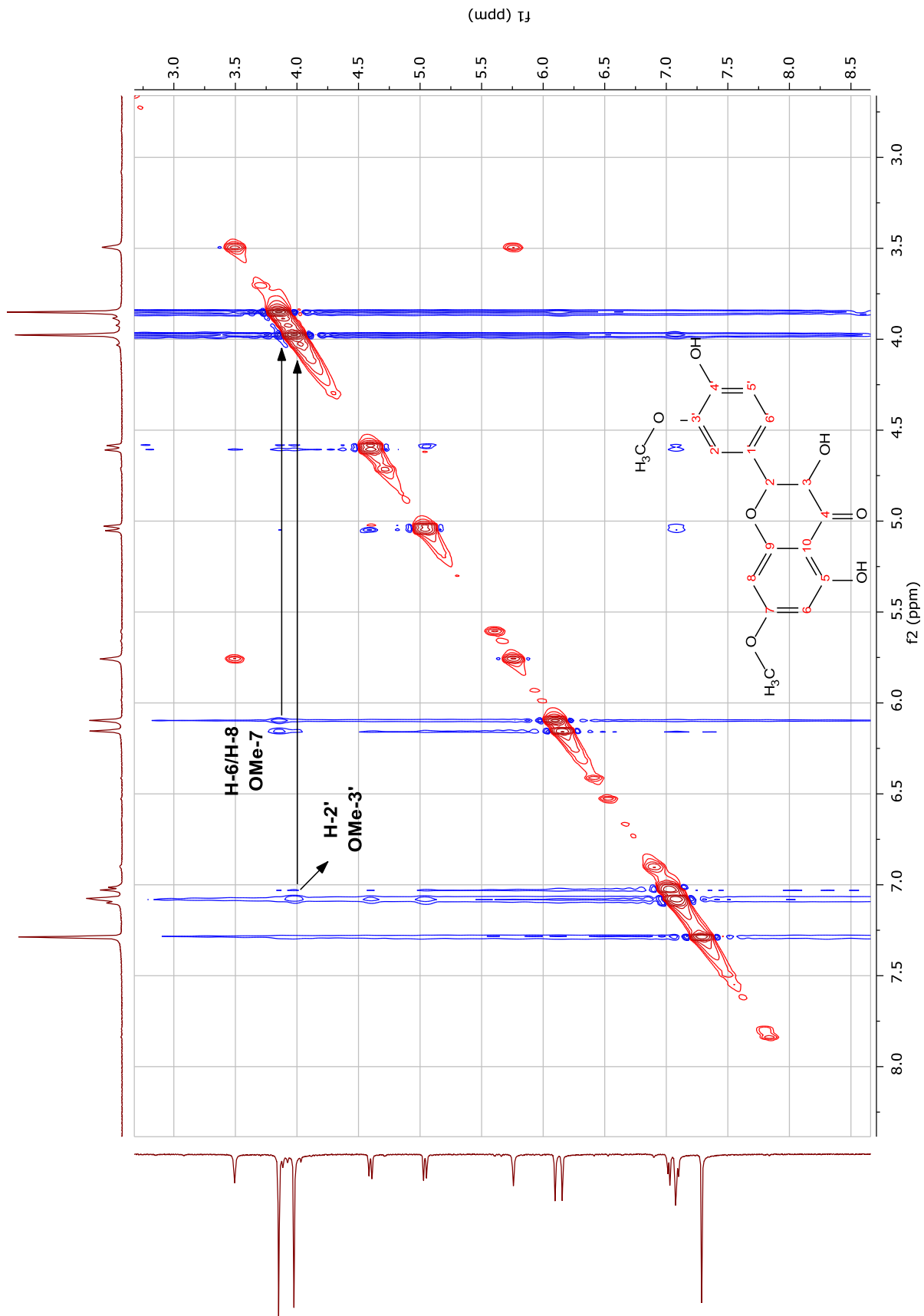


Figura 6. Espectro de NOESY de **Sb2** (500 MHz, CDCl₃).

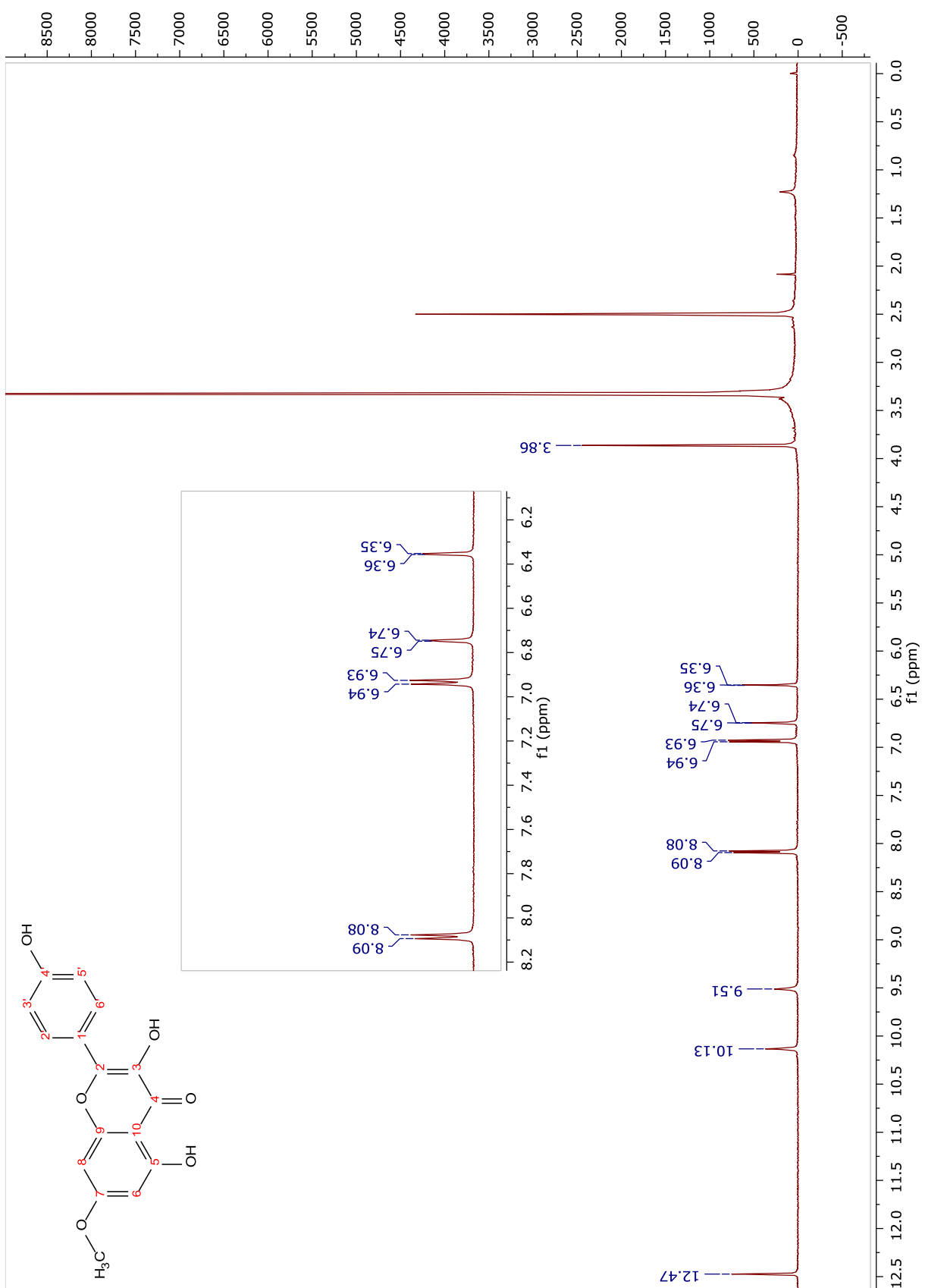


Figura 7. Espectro de RMN ^1H de **Sb3** (500 MHz, $\text{DMSO}-d_6$).

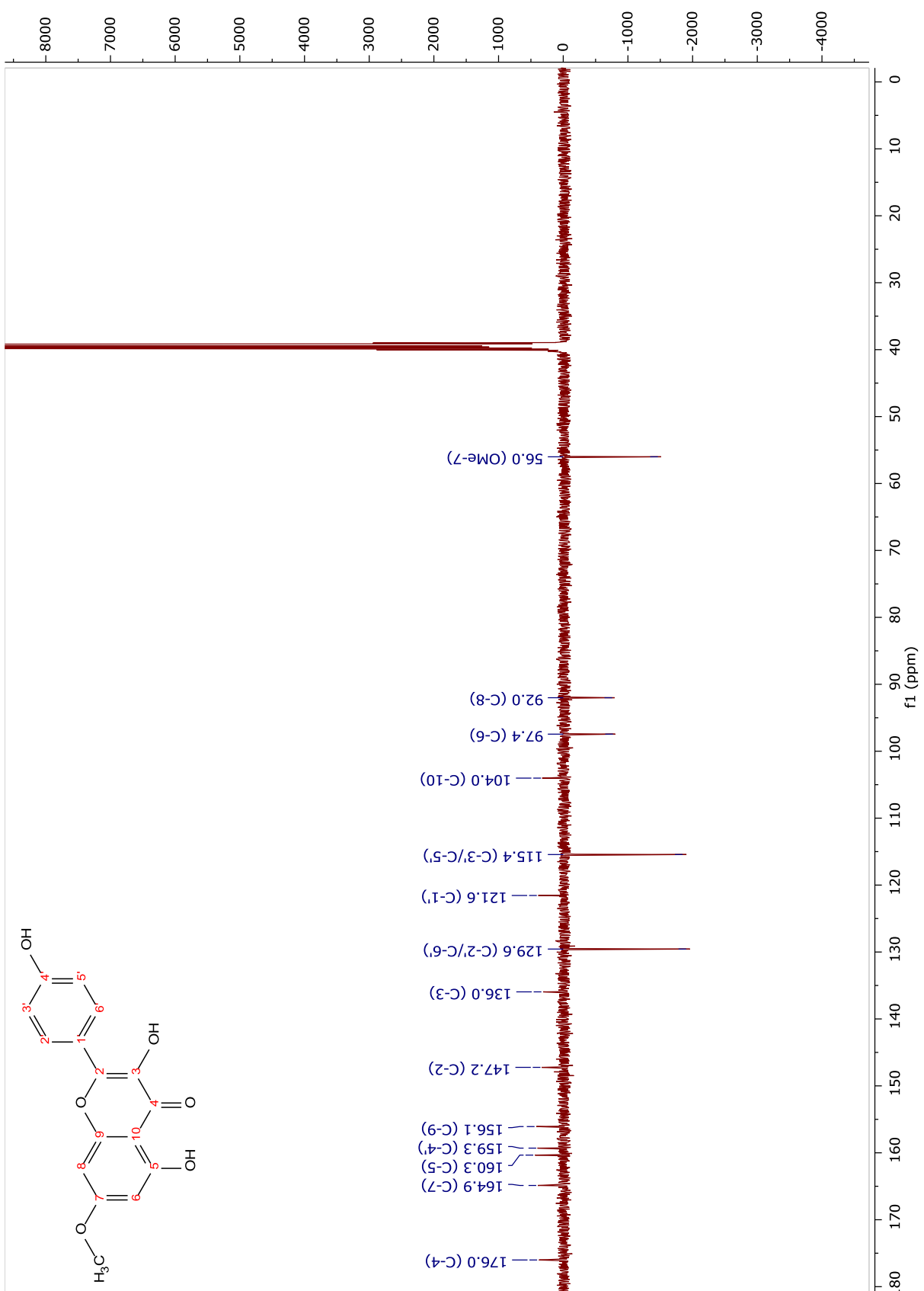


Figura 8. Espectro de DEPTQ de Sb3 (125 MHz, $\text{DMSO}-d_6$).

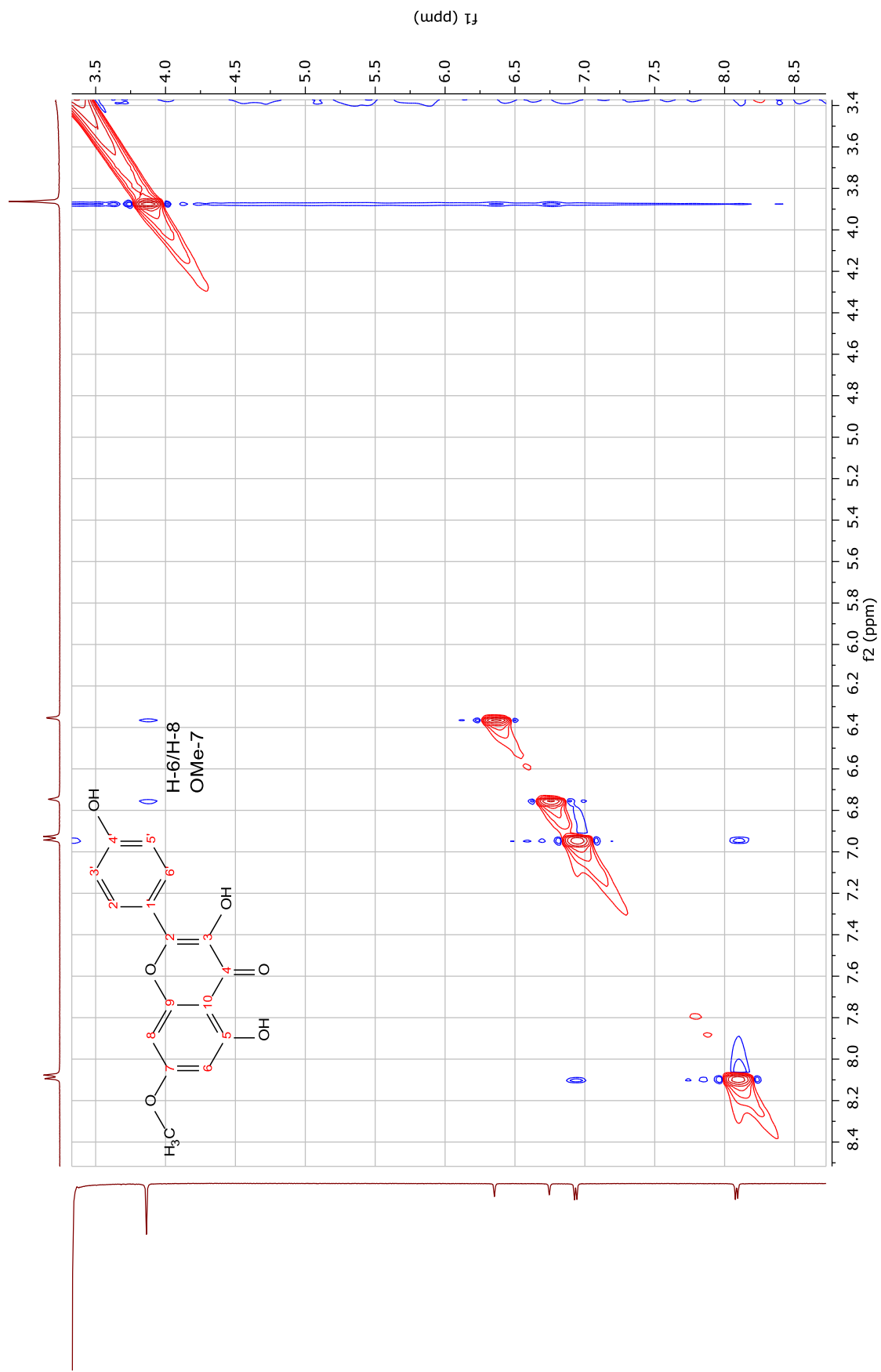


Figura 9. Espectro de NOESY de **Sb3** (500 MHz, $\text{DMSO}-d_6$).

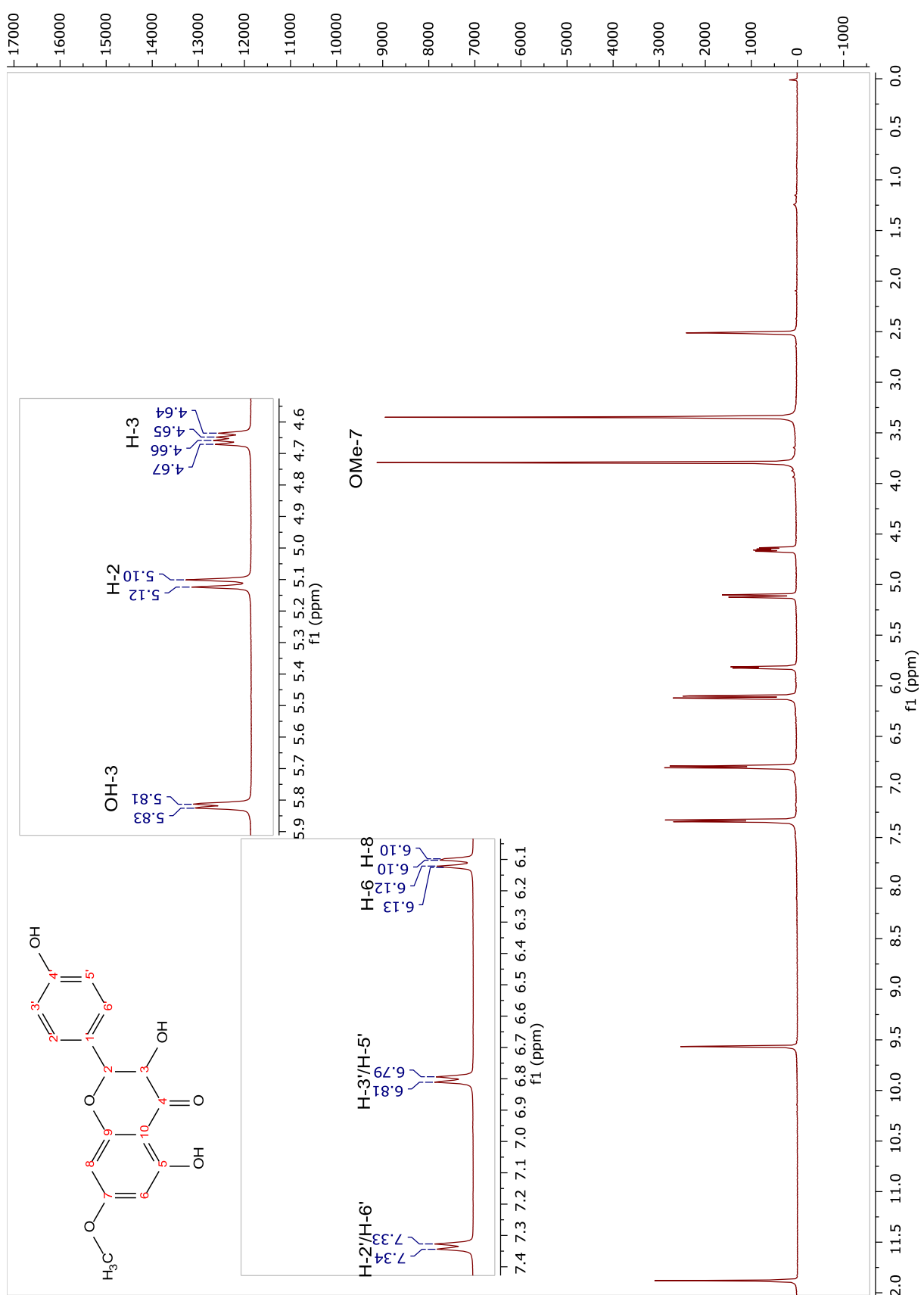


Figura 10. Espectro de RMN ^1H de **Sb4** (500 MHz, $\text{DMSO}-d_6$).

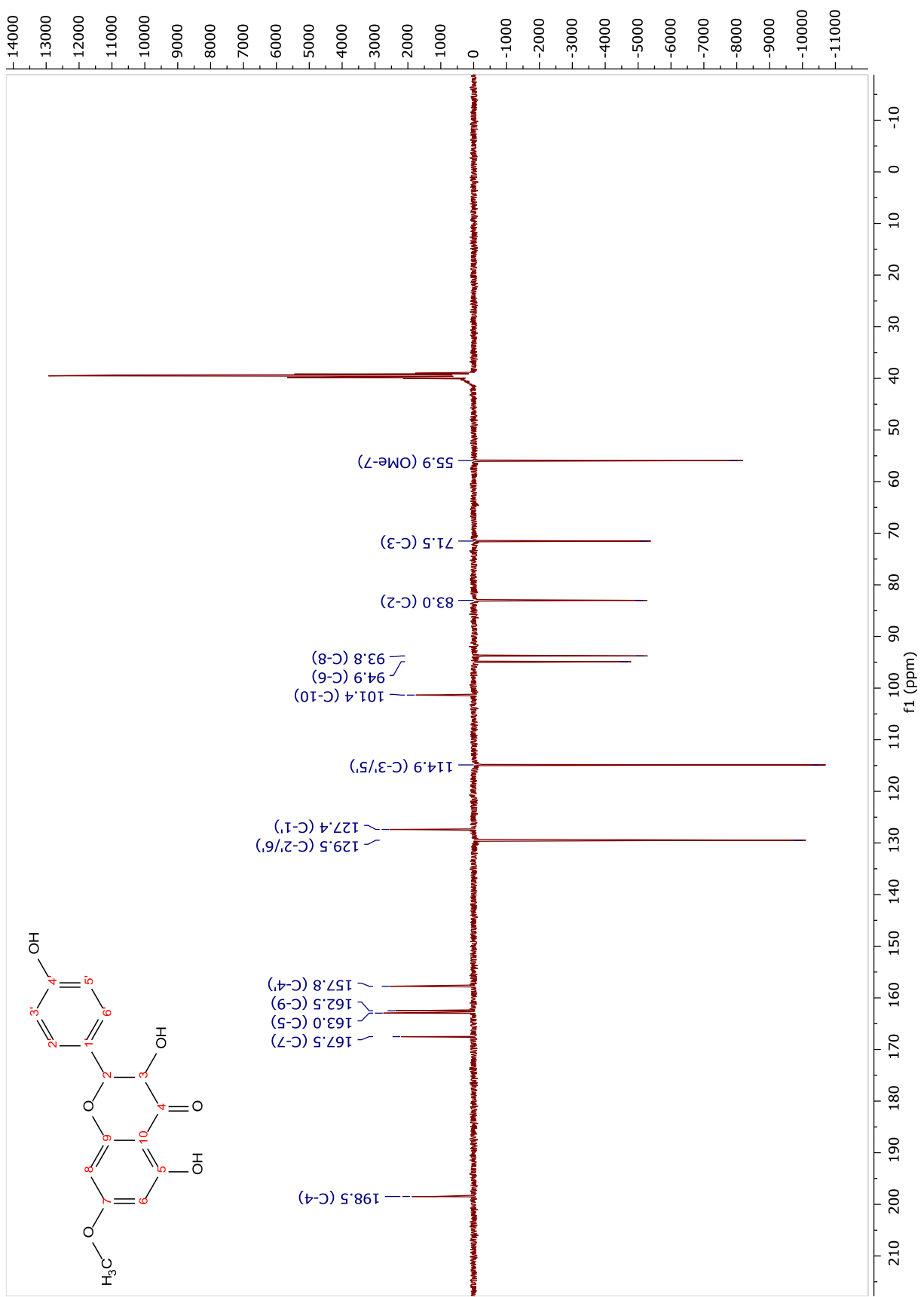


Figura 11. Espectro de DEPTQ de **Sb4** (125 MHz, $\text{DMSO}-d_6$).

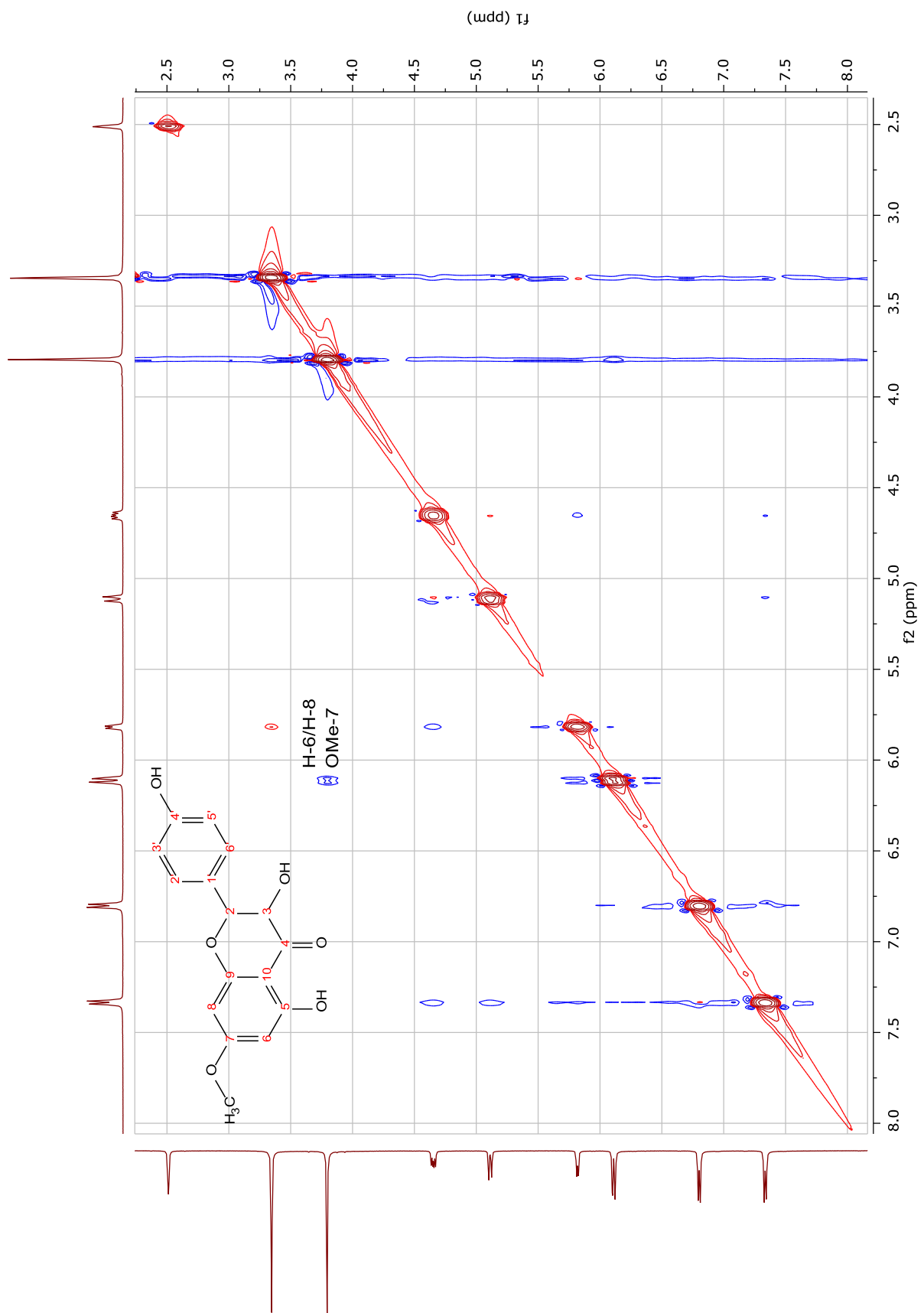


Figura 12. Espectro de NOESY **Sb4** (500 MHz, DMSO-*d*₆).

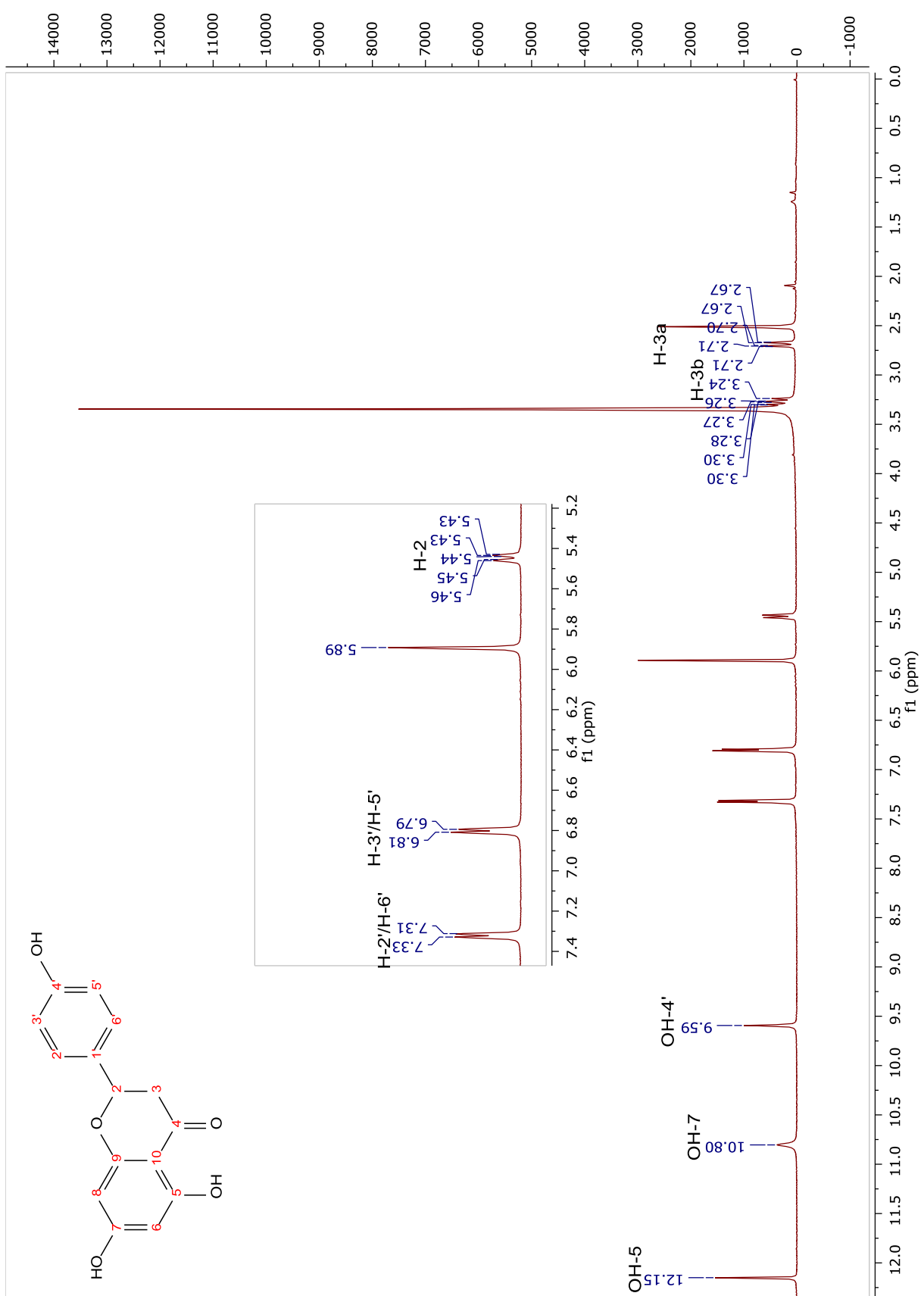


Figura 13. Espectro de RMN ^1H de **Sb5** (500 MHz, $\text{DMSO}-d_6$).

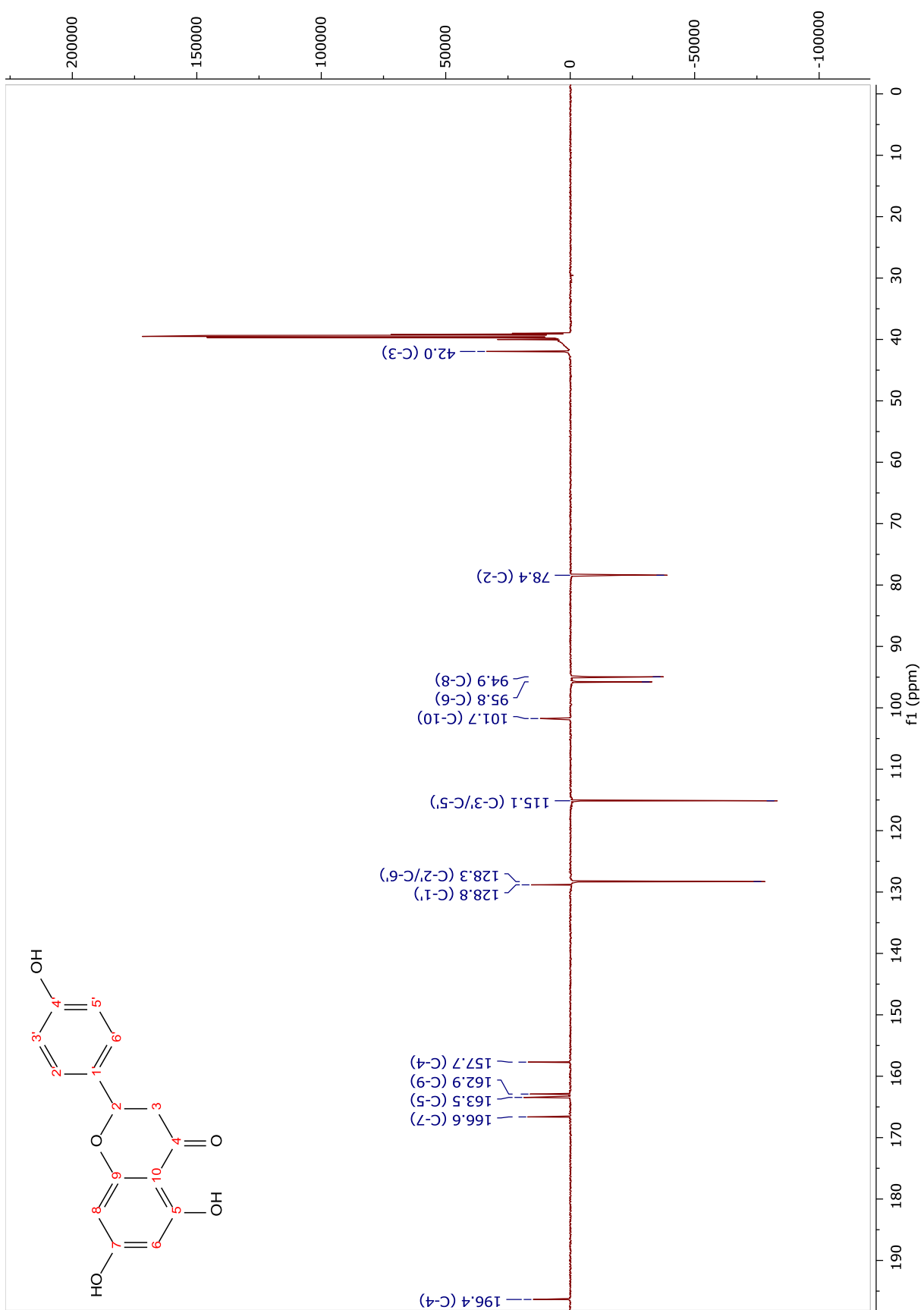


Figura 14. Espectro de DEPTQ de **Sb5** (125 MHz, $\text{DMSO}-d_6$).

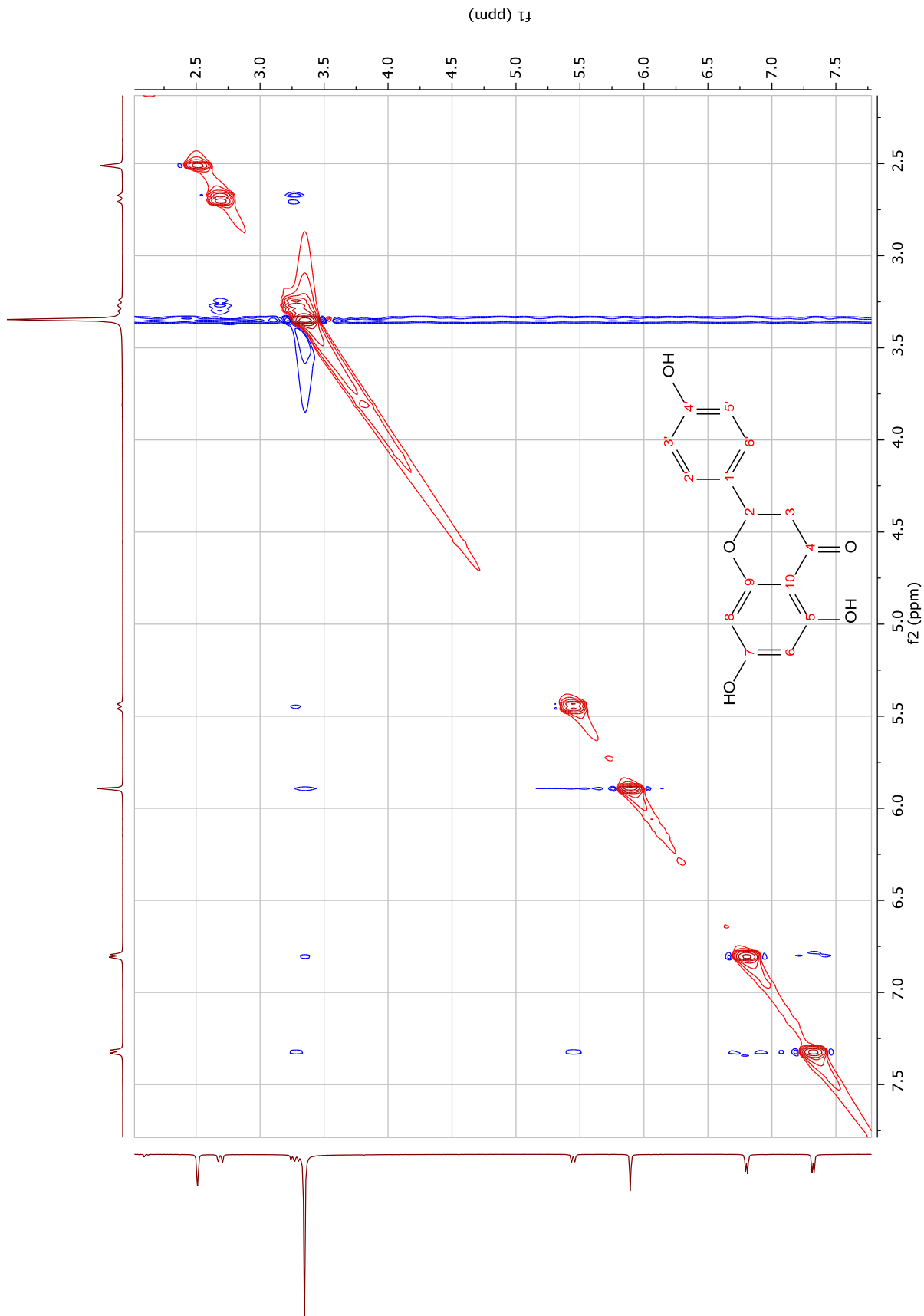


Figura 15. Espectro de NOESY de **Sb5** (500 MHz, $\text{DMSO}-d_6$).

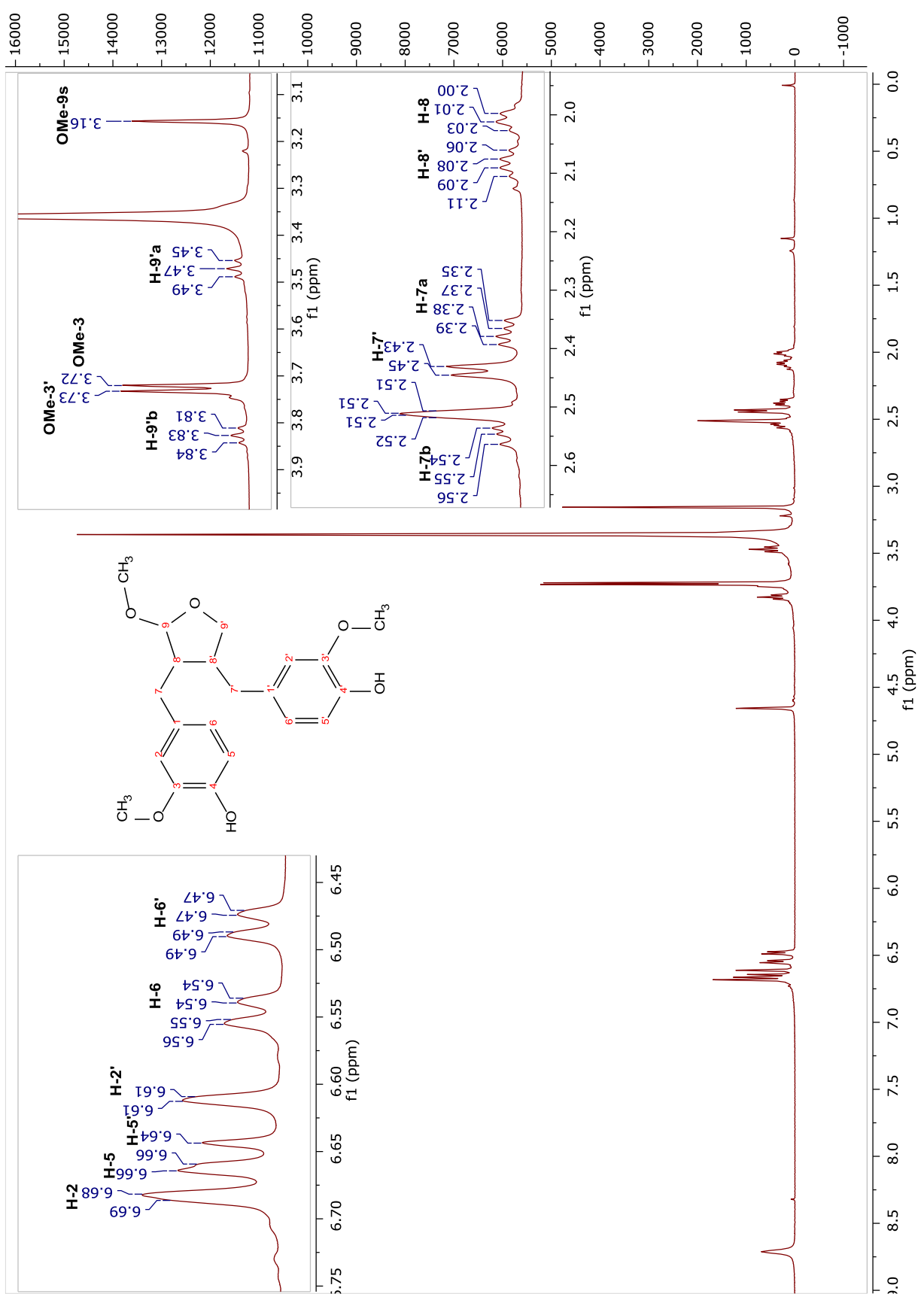


Figura 16. Espectro de RMN ^1H de **Sb6** (500 MHz, $\text{DMSO}-d_6$).

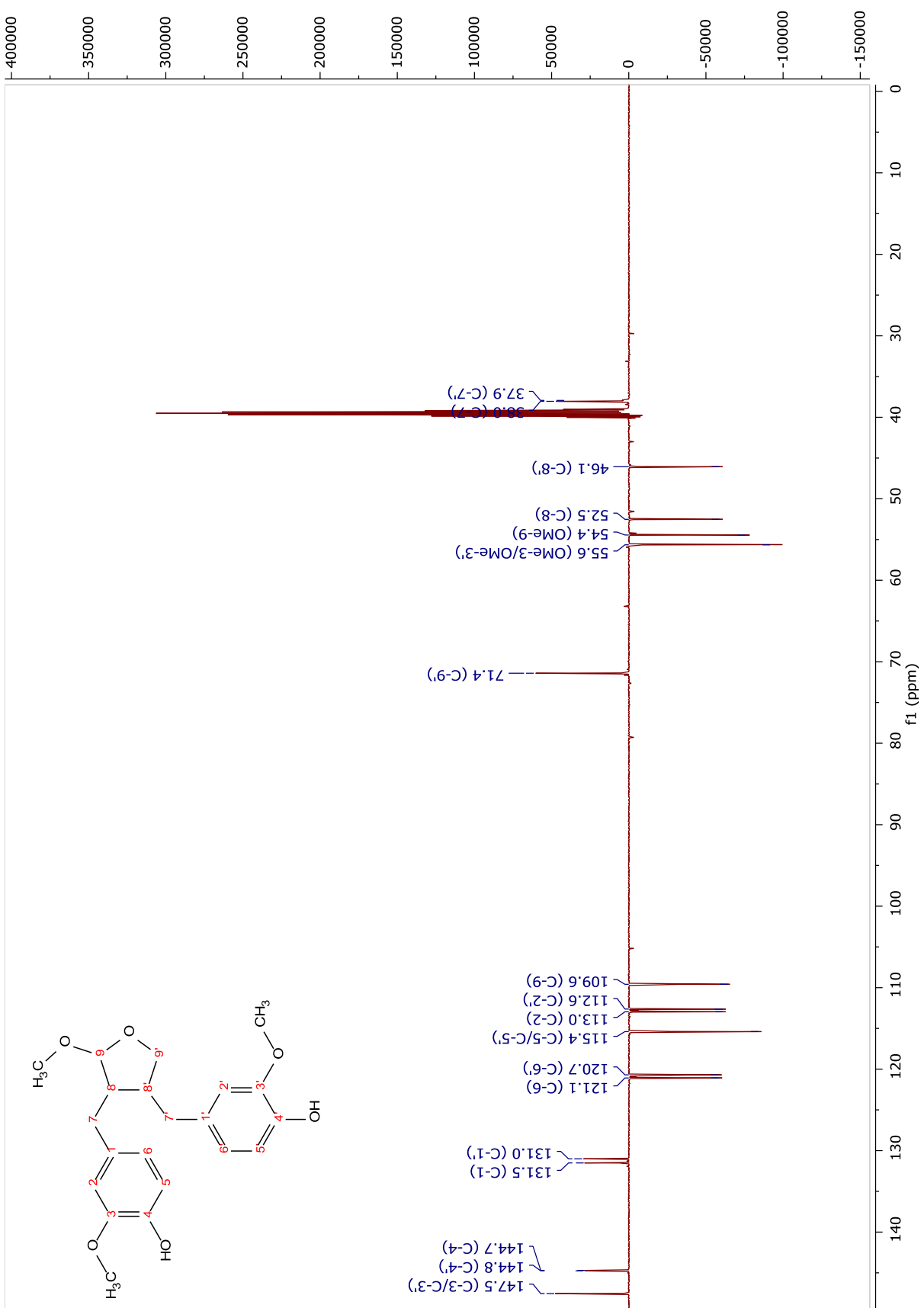


Figura 17. Espectro de DEPTQ de **Sb6** (125 MHz, DMSO- d_6).

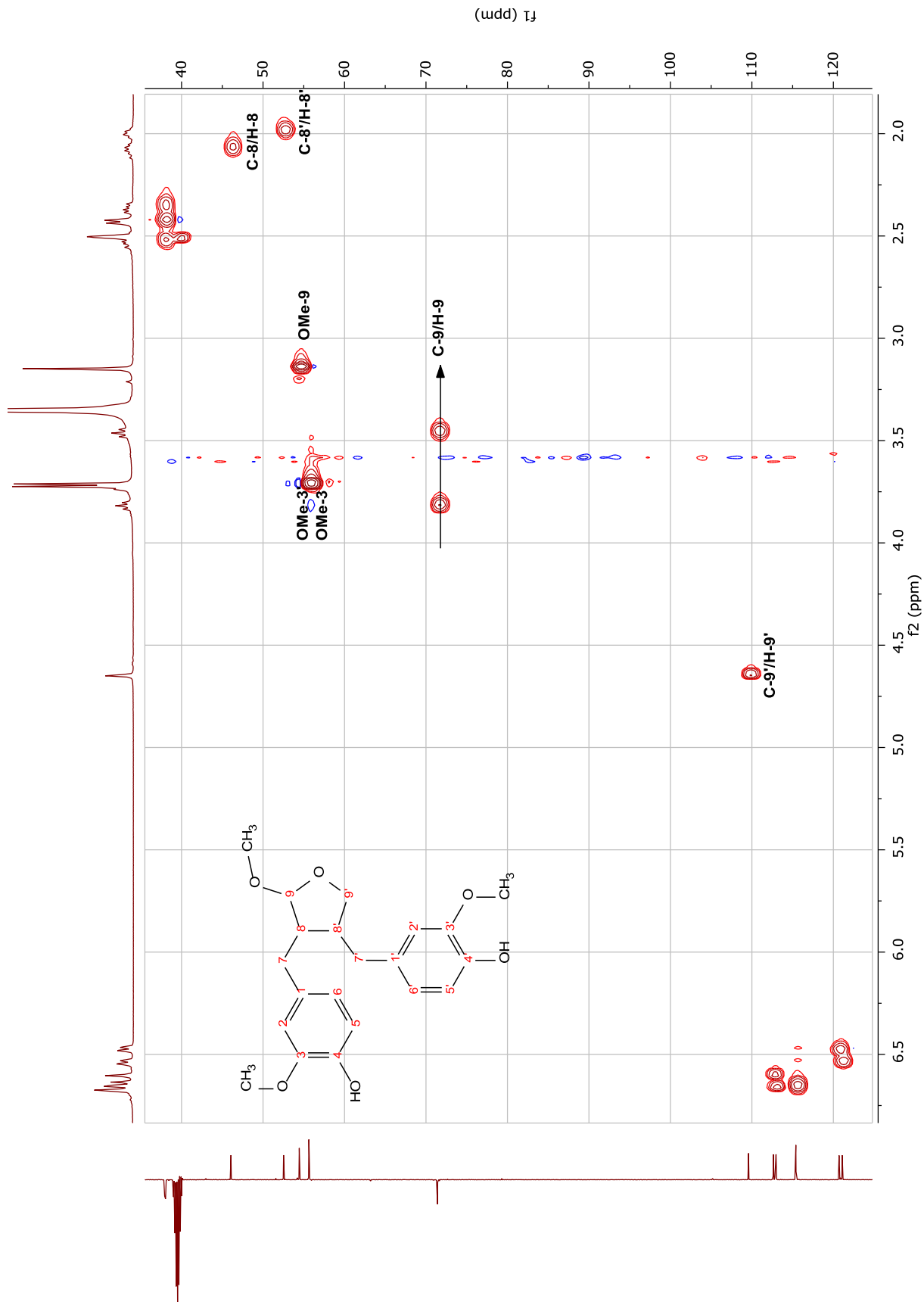


Figura 18. Espectro de HSQC de **Sb6** (500 MHz, DMSO-*d*₆).

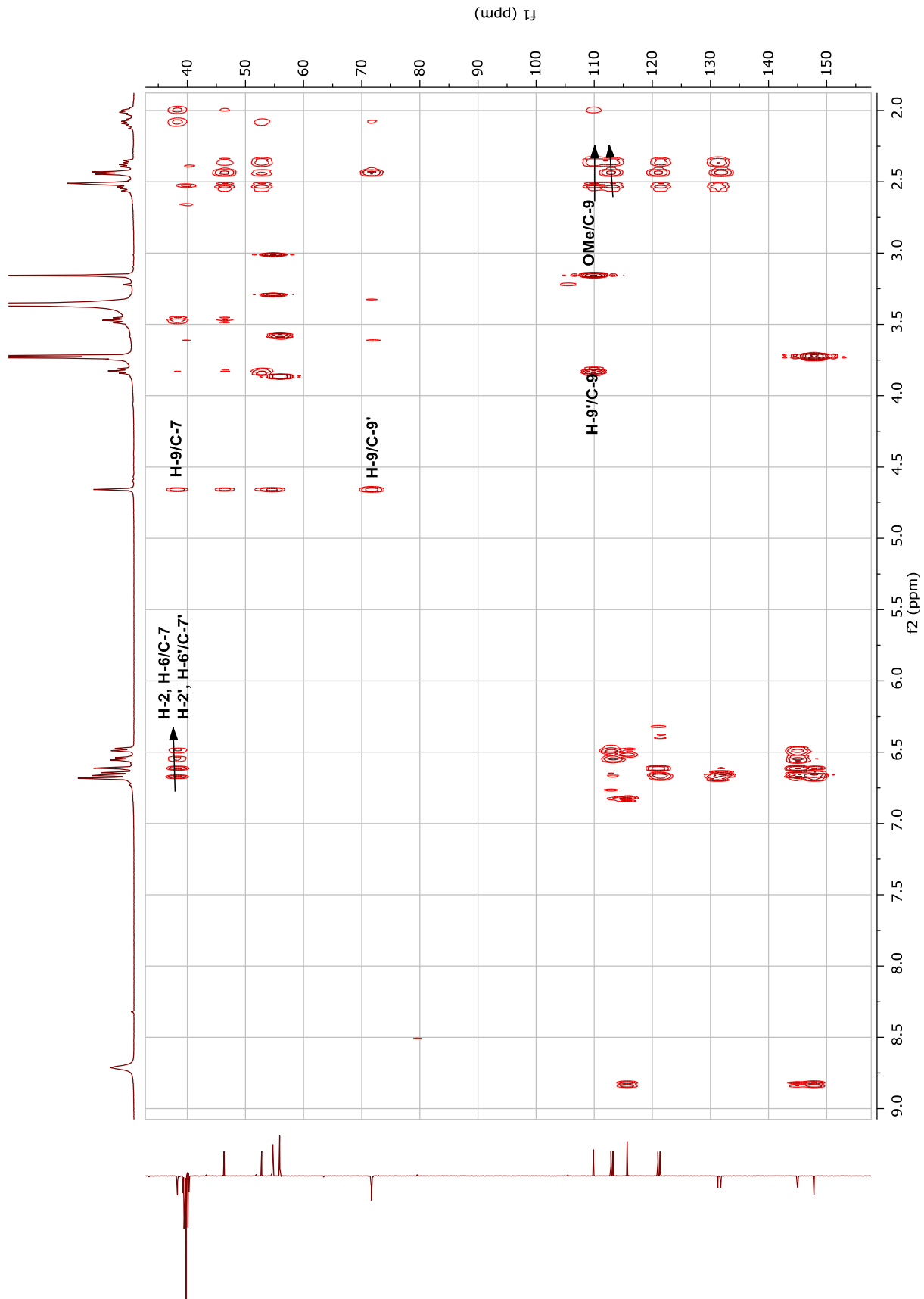


Figura 19. Espectro de HMBC de **Sb6** (500 MHz, $\text{DMSO}-d_6$).

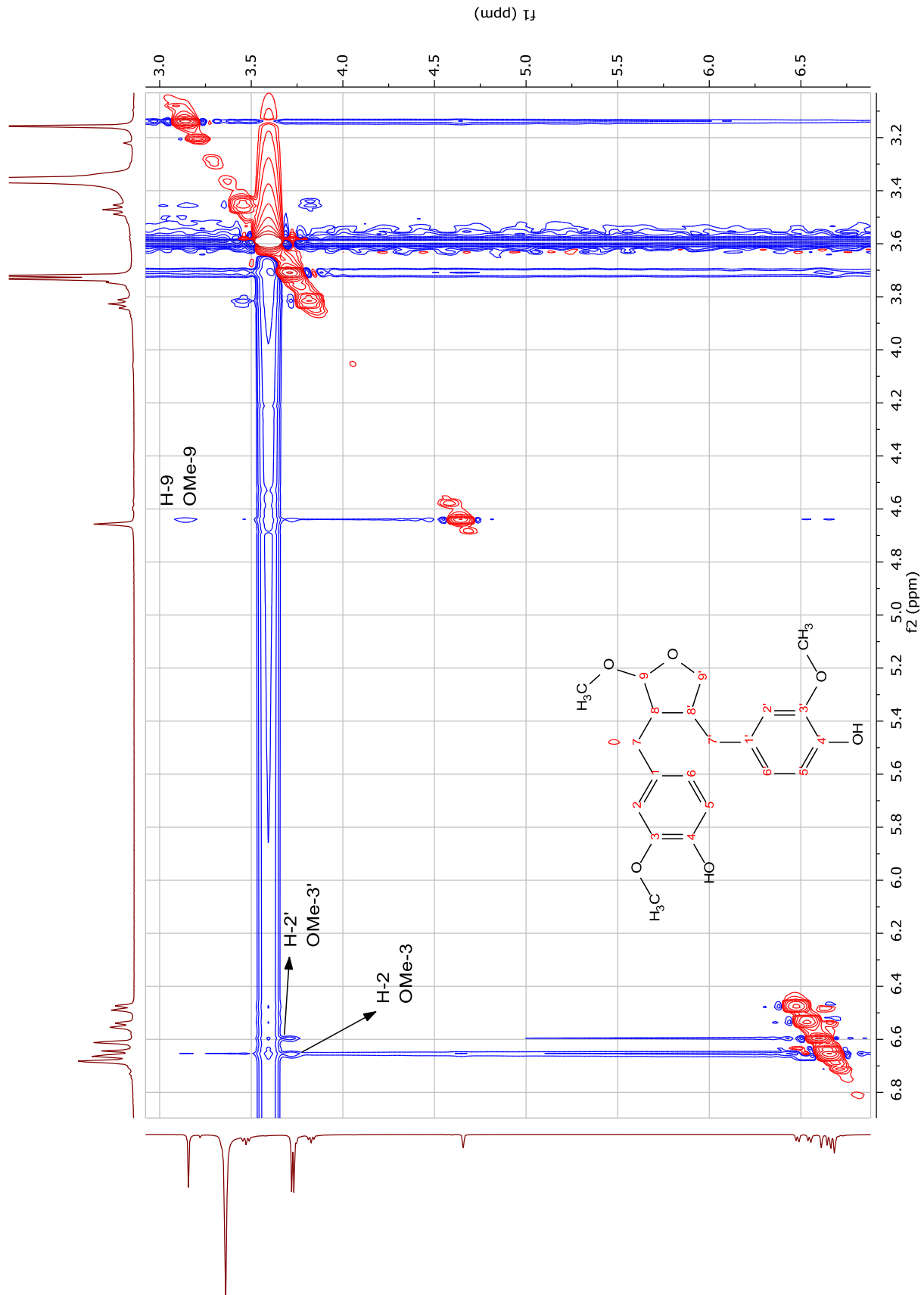


Figura 20. Espectro de NOESY de **Sb6** (500 MHz, $\text{DMSO}-d_6$).

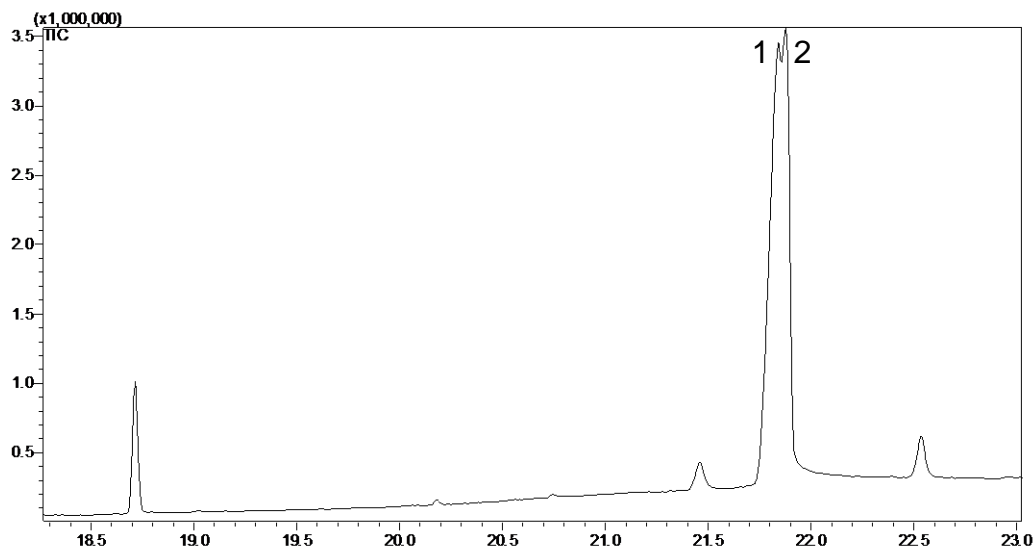


Figura 21. Cromatograma de CG-EM de **Sb6**.

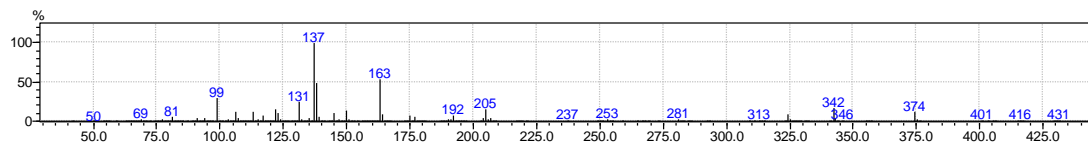


Figura 22. Espectro de massas do pico 1 de **Sb6** (i.e. 70 eV).

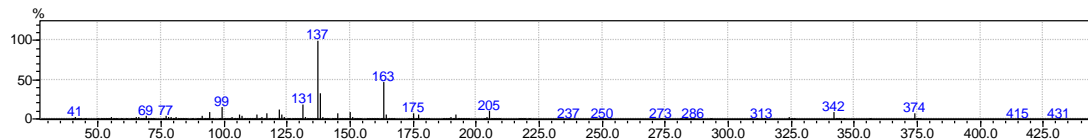


Figura 23. Espectro de massas do pico 2 de **Sb6** (i.e. 70 eV).

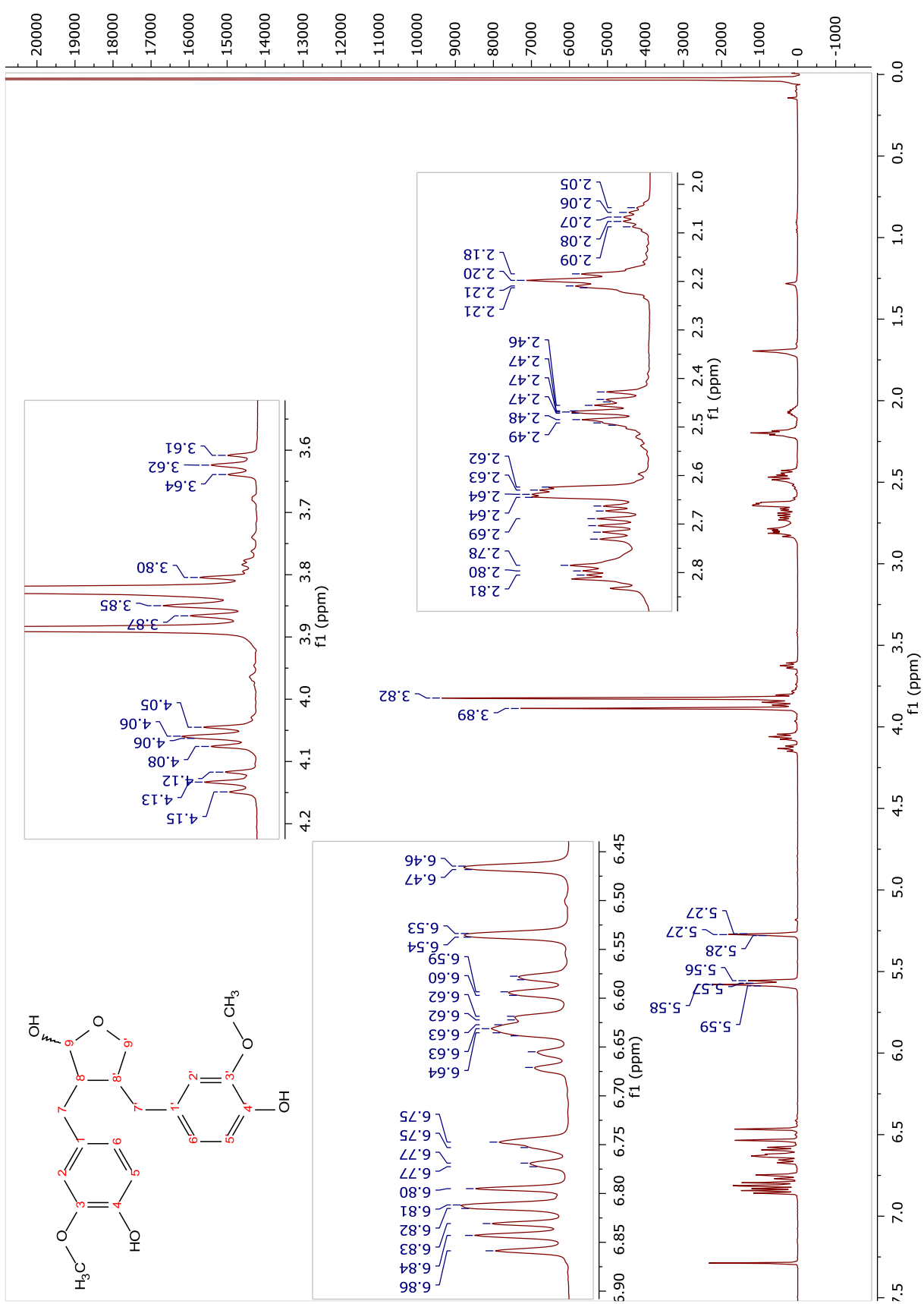


Figura 24. Espectro de RMN ^1H de Sb7 (500 MHz, CDCl_3).

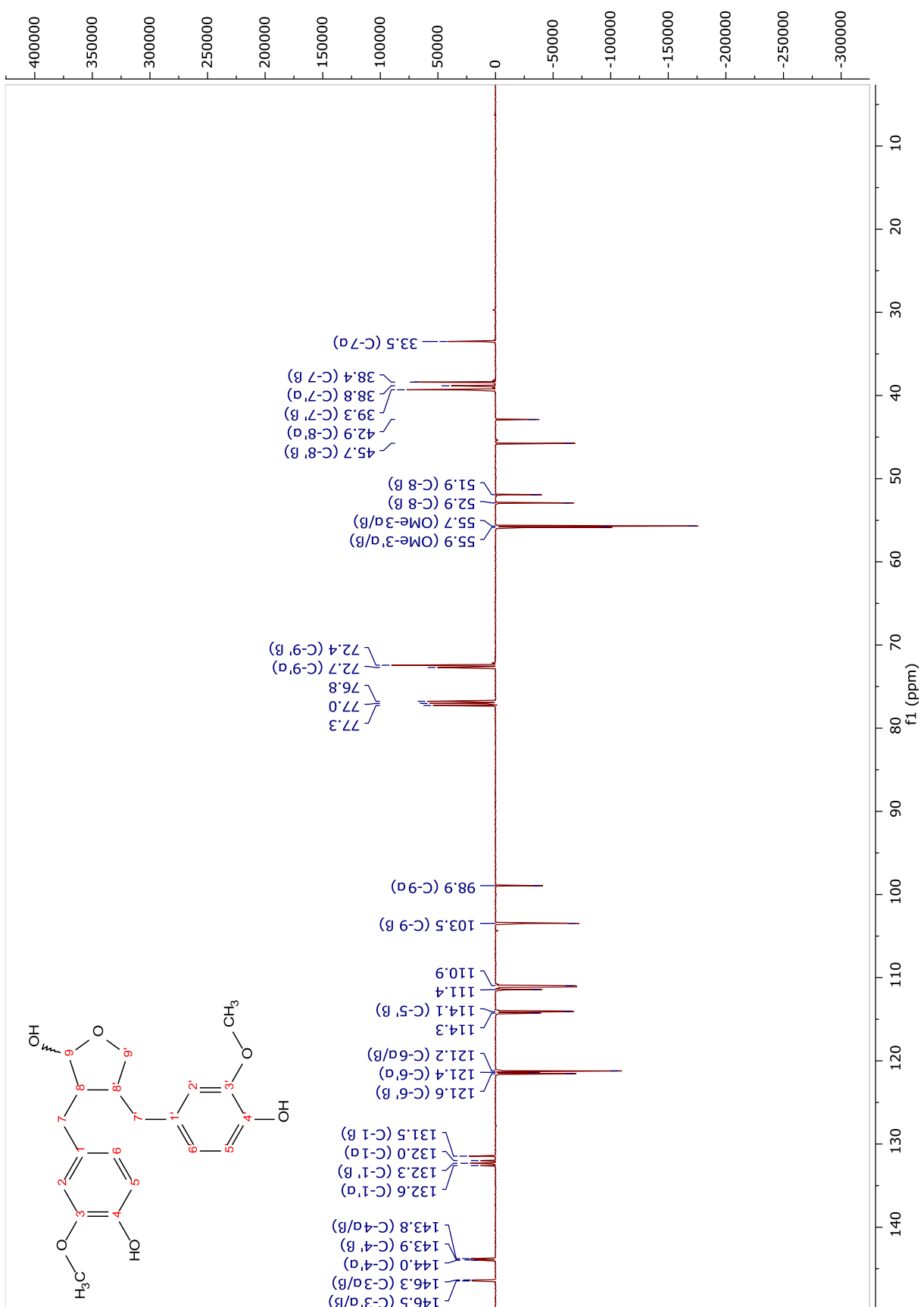


Figura 25. Espectro de DEPTQ de **Sb7** (125 MHz, CDCl_3).

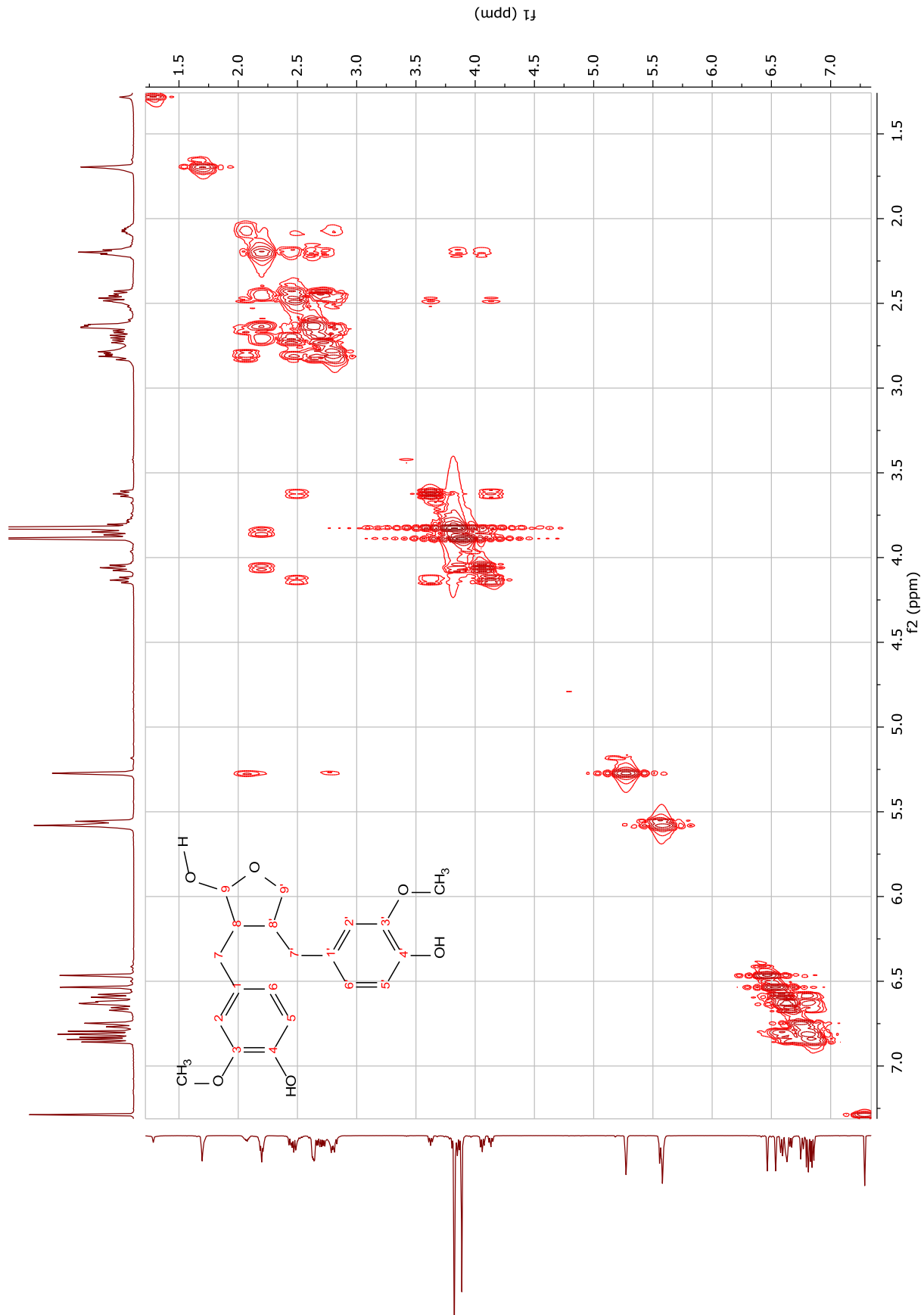


Figura 26. Espectro de COSY de Sb7 (500 MHz, CDCl₃).

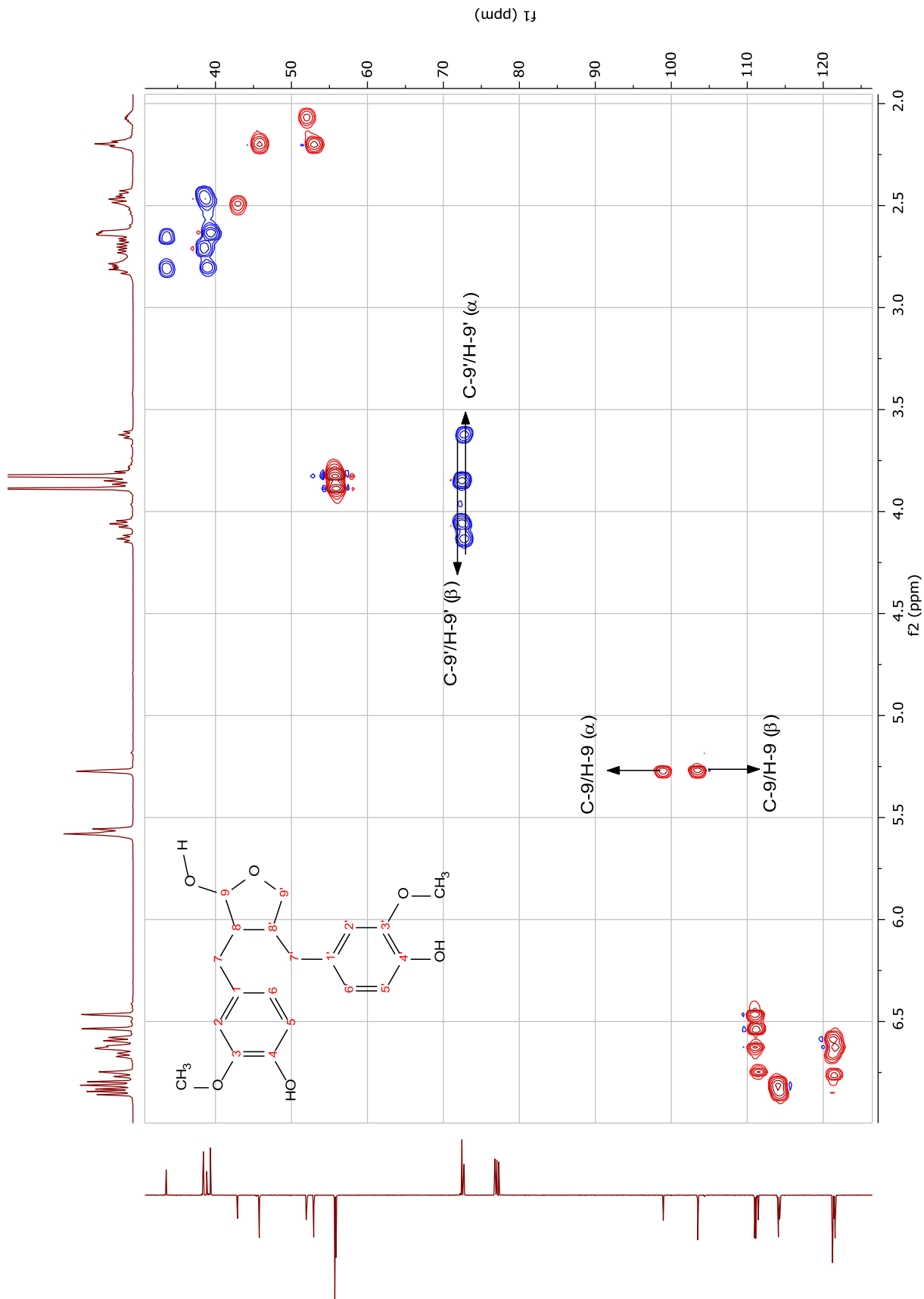


Figura 27. Espectro de HSQC de Sb7 (500 MHz, CDCl₃).

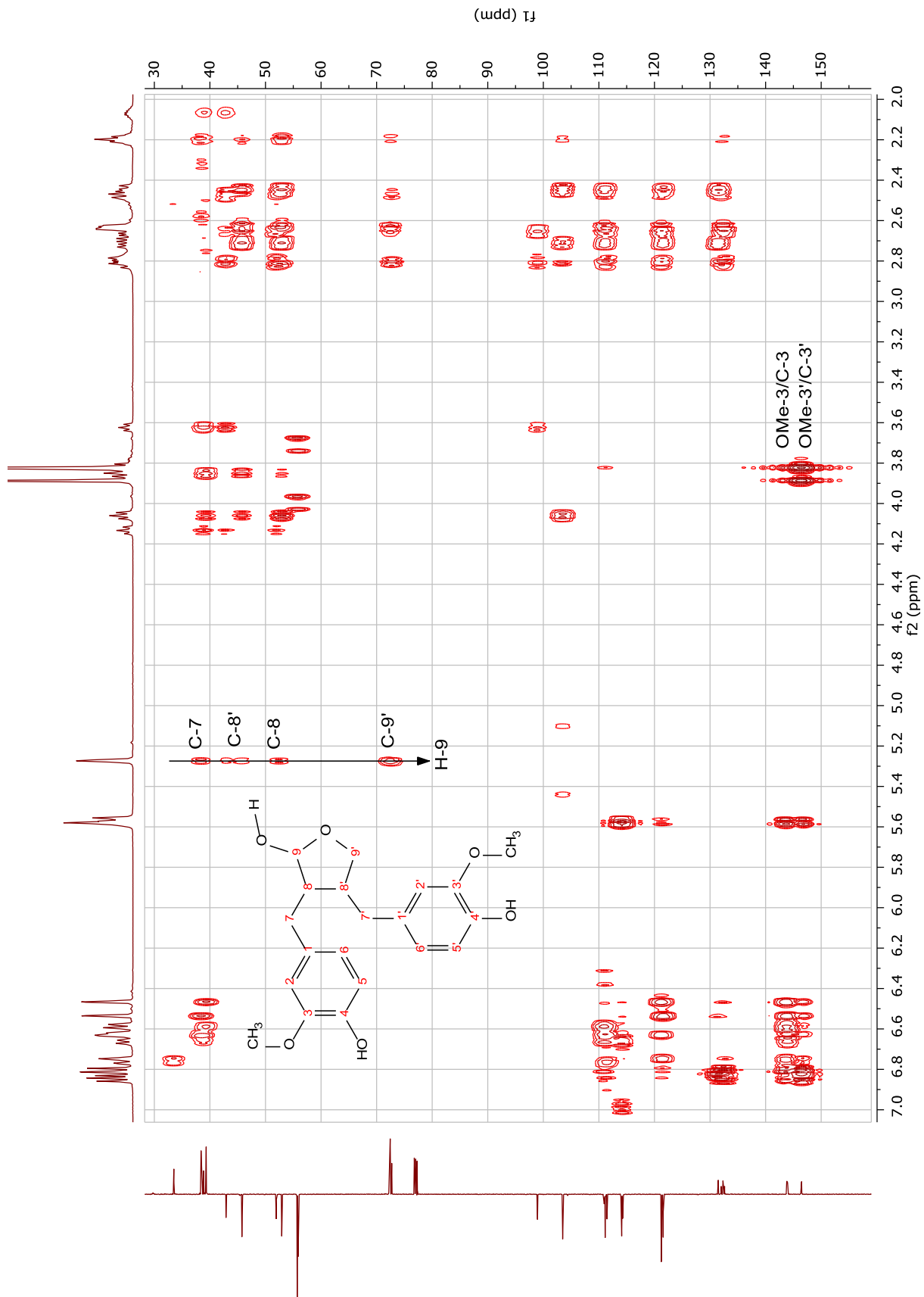


Figura 28. Espectro de HMBC de **Sb7** (500 MHz, CDCl_3).

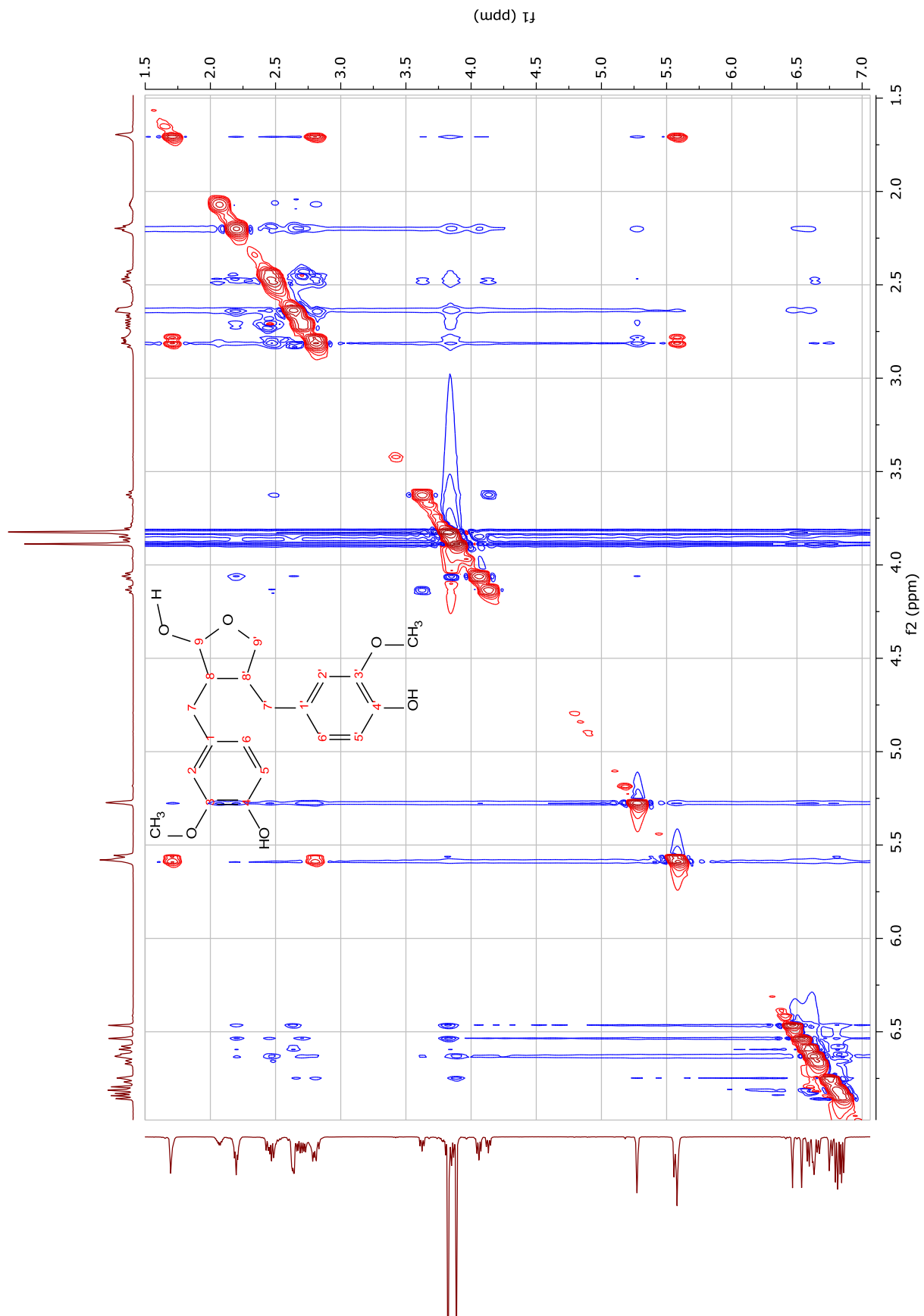


Figura 29. Espectro de NOESY de Sb7 (500 MHz, CDCl_3).

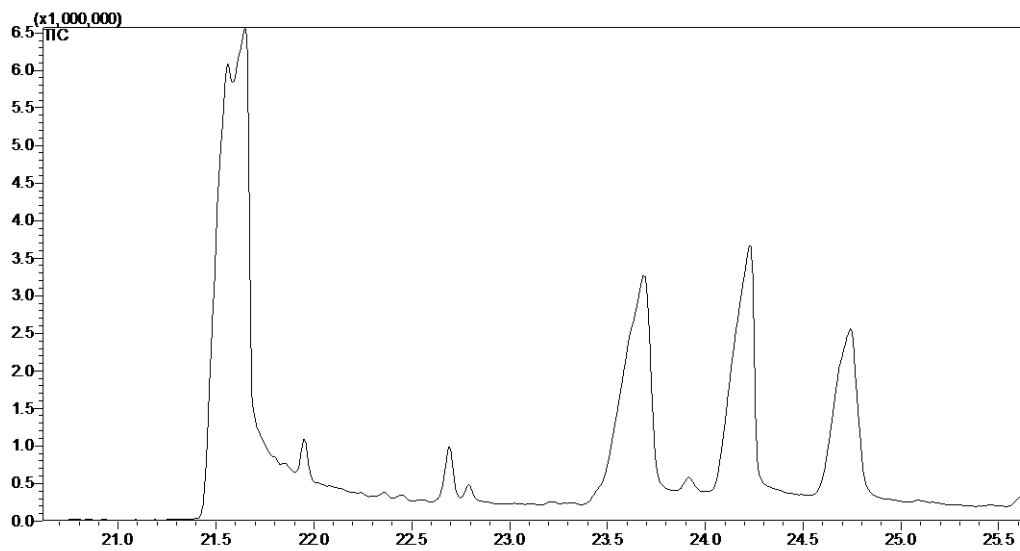


Figura 30. Cromatograma de CG-EM de **Sb7**.

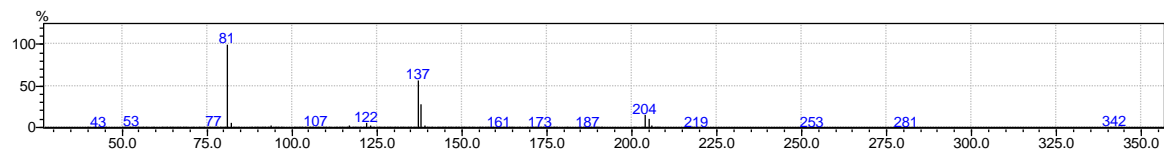


Figura 31. Espectro de massas do pico 1 de **Sb7** (i.e. 70 eV).

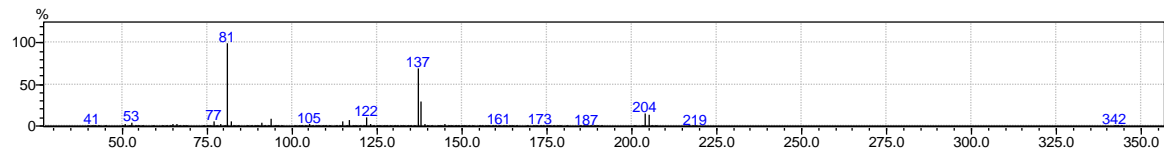


Figura 32. Espectro de massas do pico 2 de **Sb7** (i.e. 70 eV).

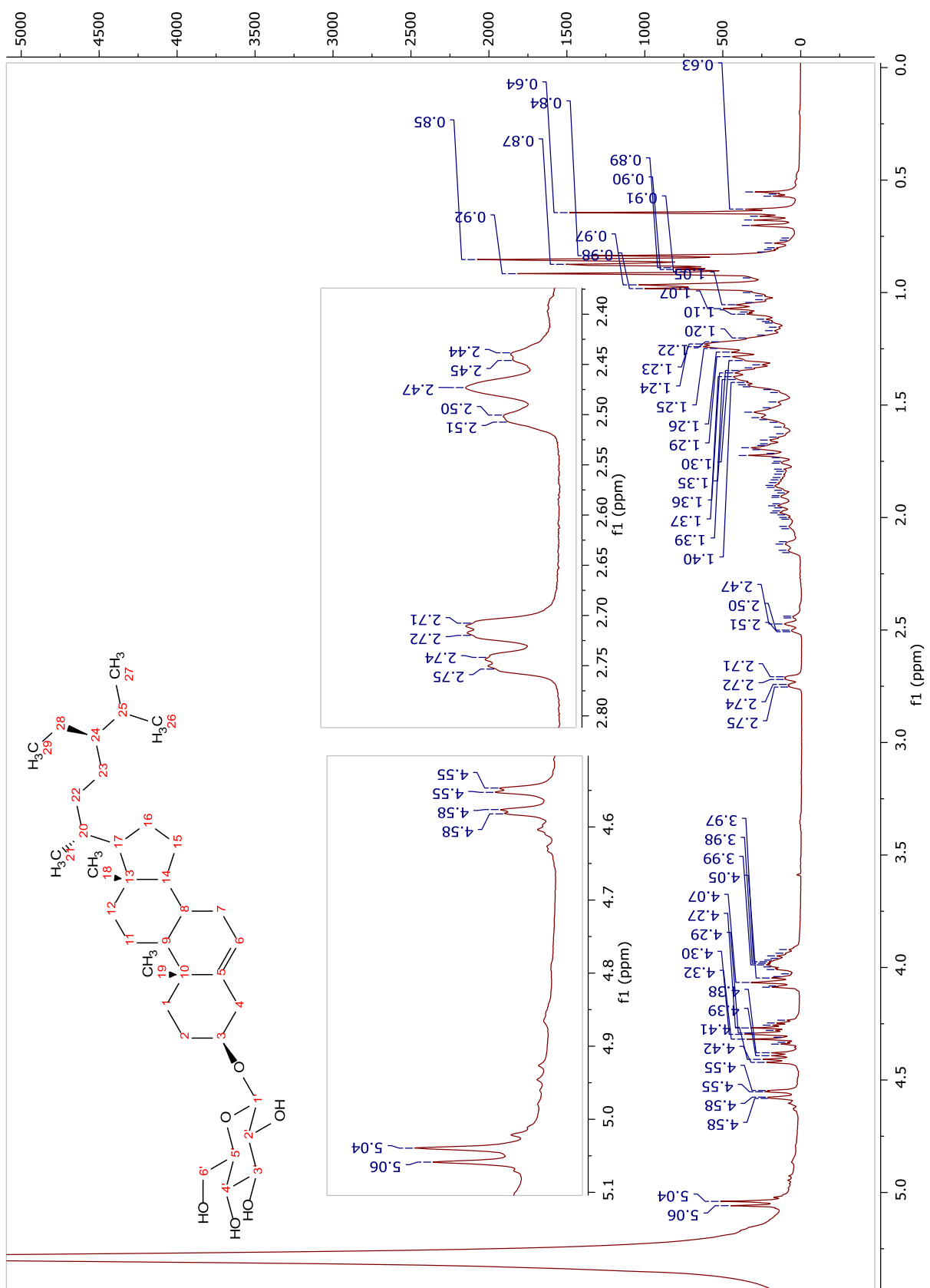


Figura 33. Espectro de RMN ^1H de Sb8 (500 MHz, $\text{C}_5\text{D}_5\text{N}$).

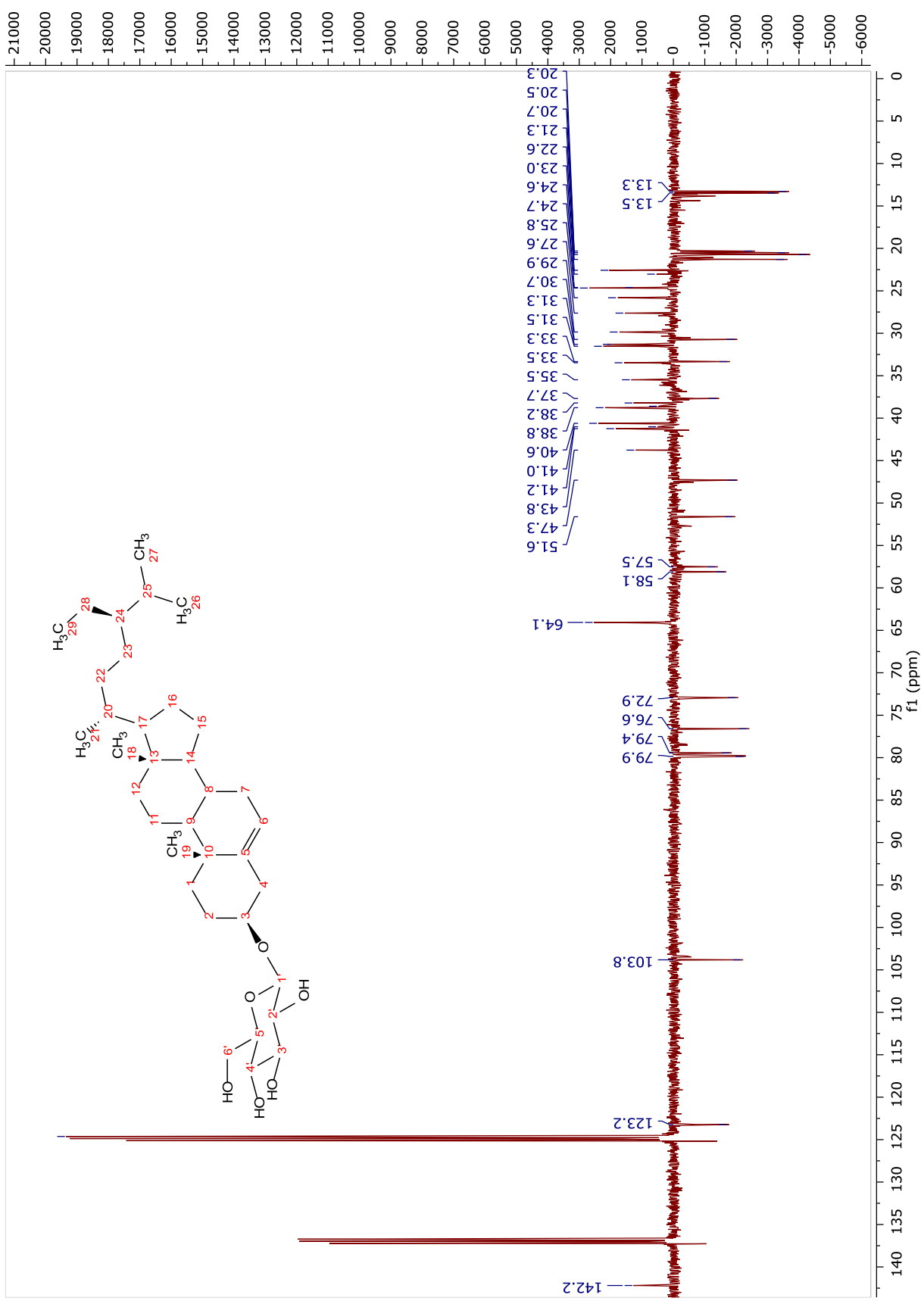


Figura 34. Espectro de DEPTQ de **Sb8** (100 MHz, $\text{C}_5\text{D}_5\text{N}$).

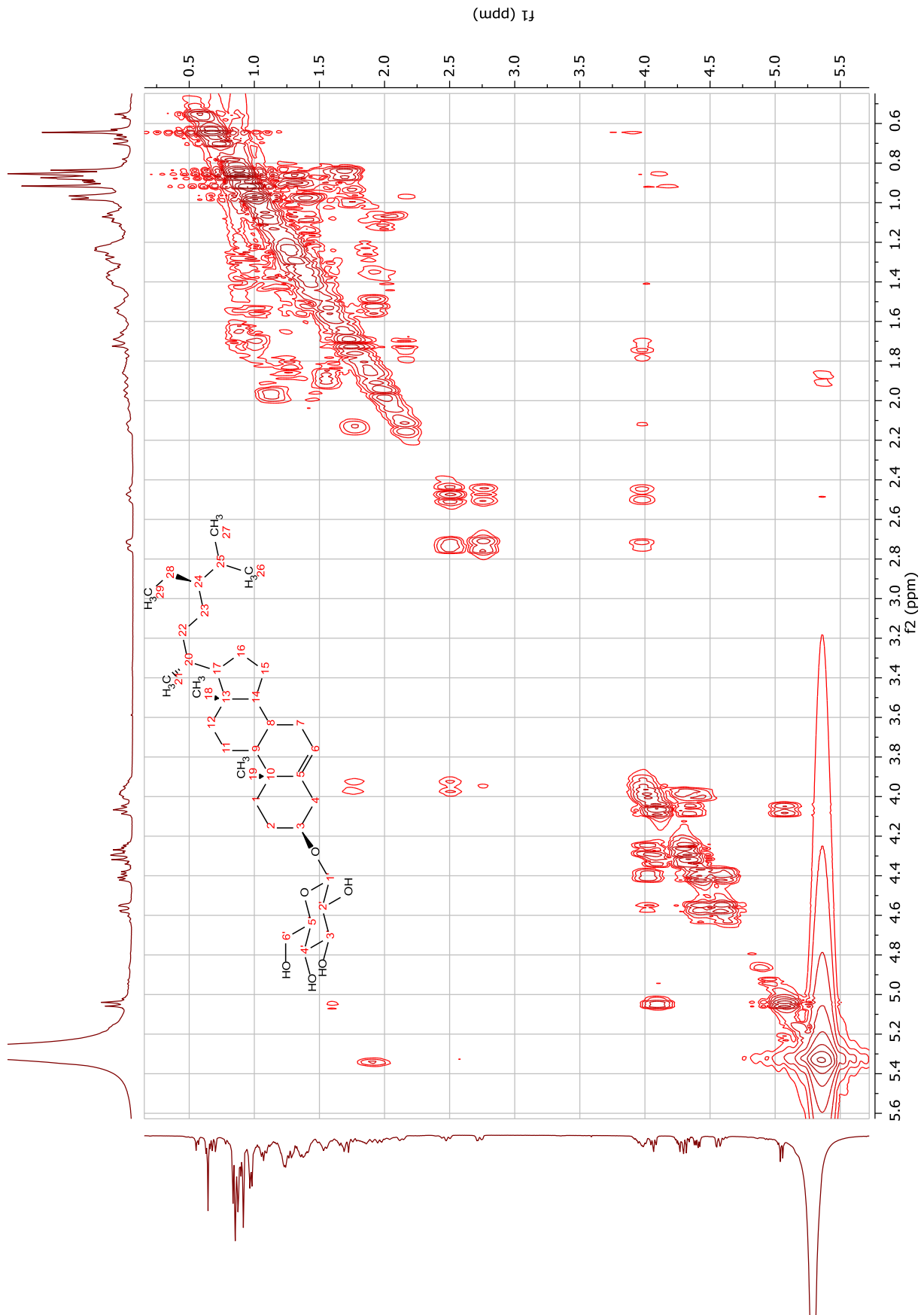


Figura 35. Espectro de COSY de **Sb8** (400 MHz, $\text{C}_5\text{D}_5\text{N}$).

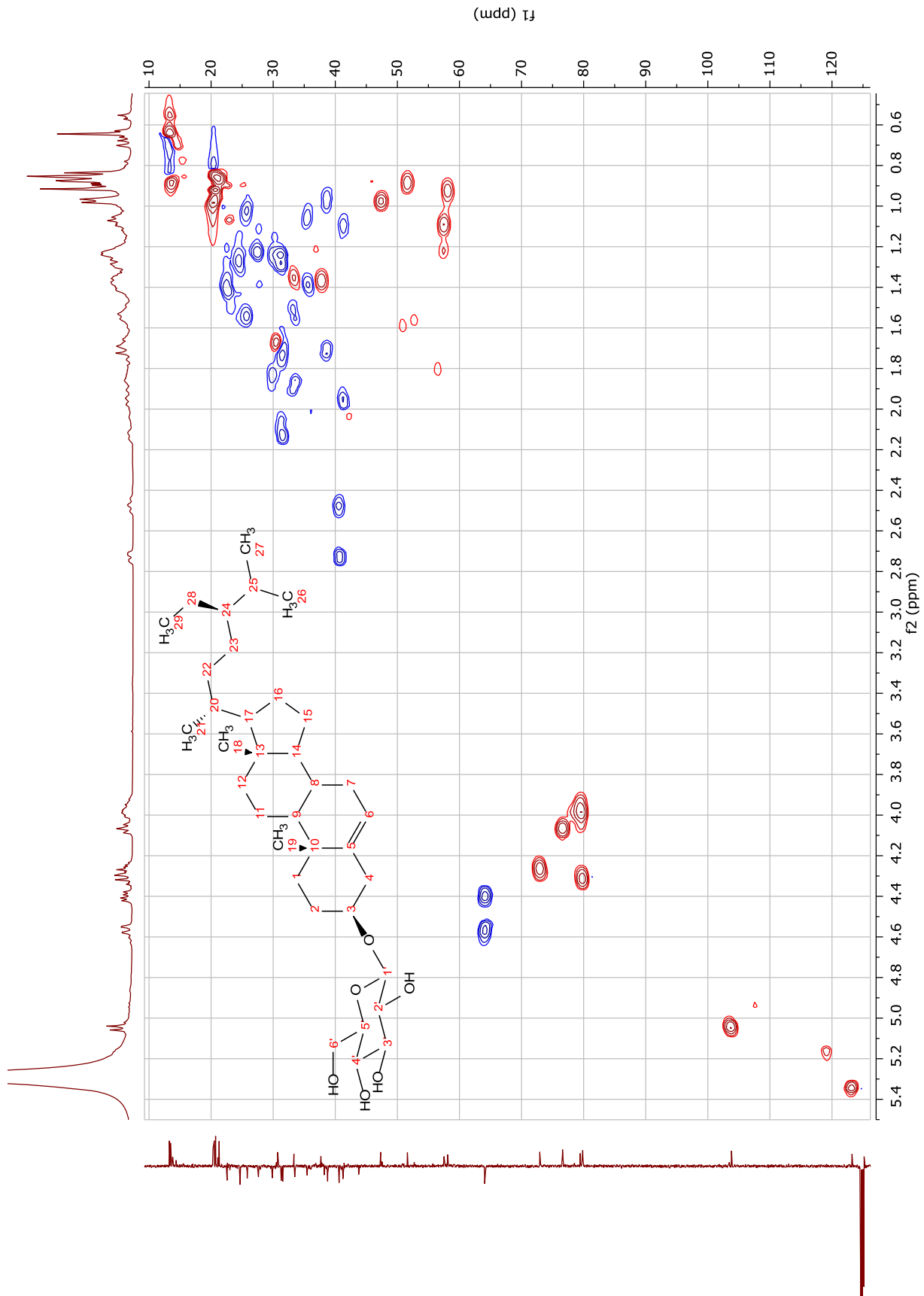


Figura 36. Espectro de HSQC de **Sb8** (400 MHz, C₅D₅N).

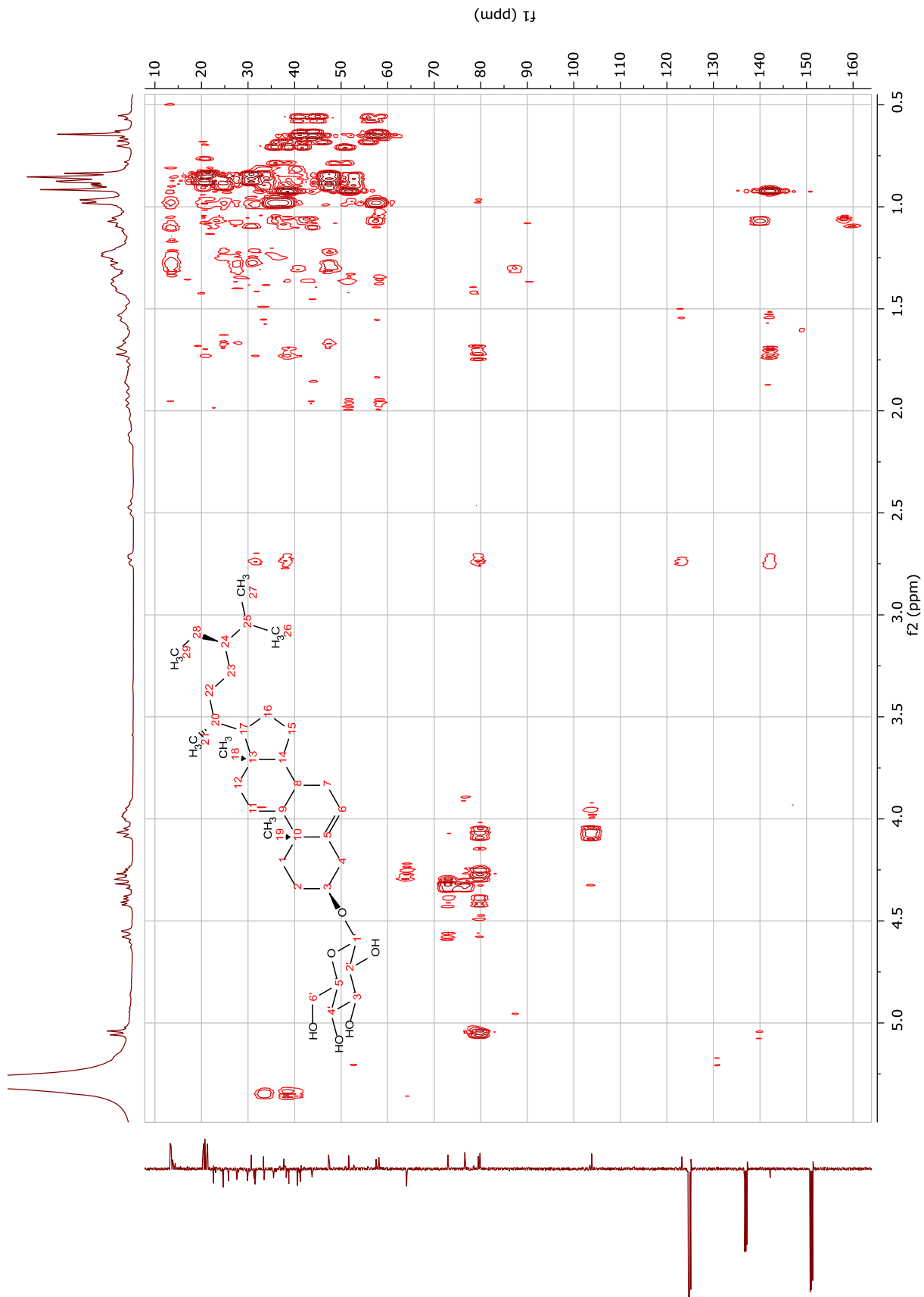


Figura 37. Espectro de HMBC de **Sb8** (400 MHz. $\text{C}_5\text{D}_5\text{N}$).

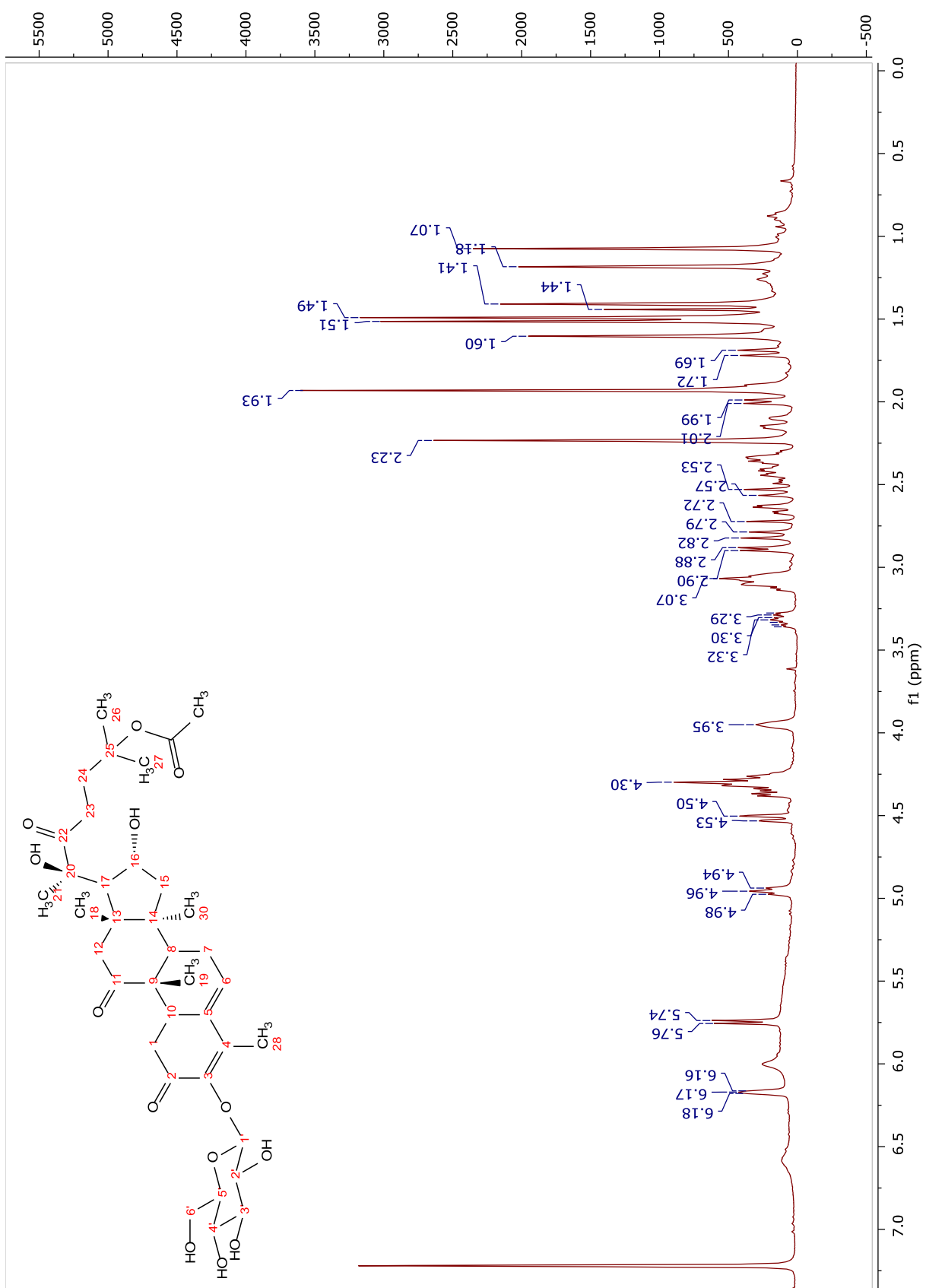


Figura 38. Espectro de RMN ¹H de **Sb9** (400 MHz, C₅D₅N).

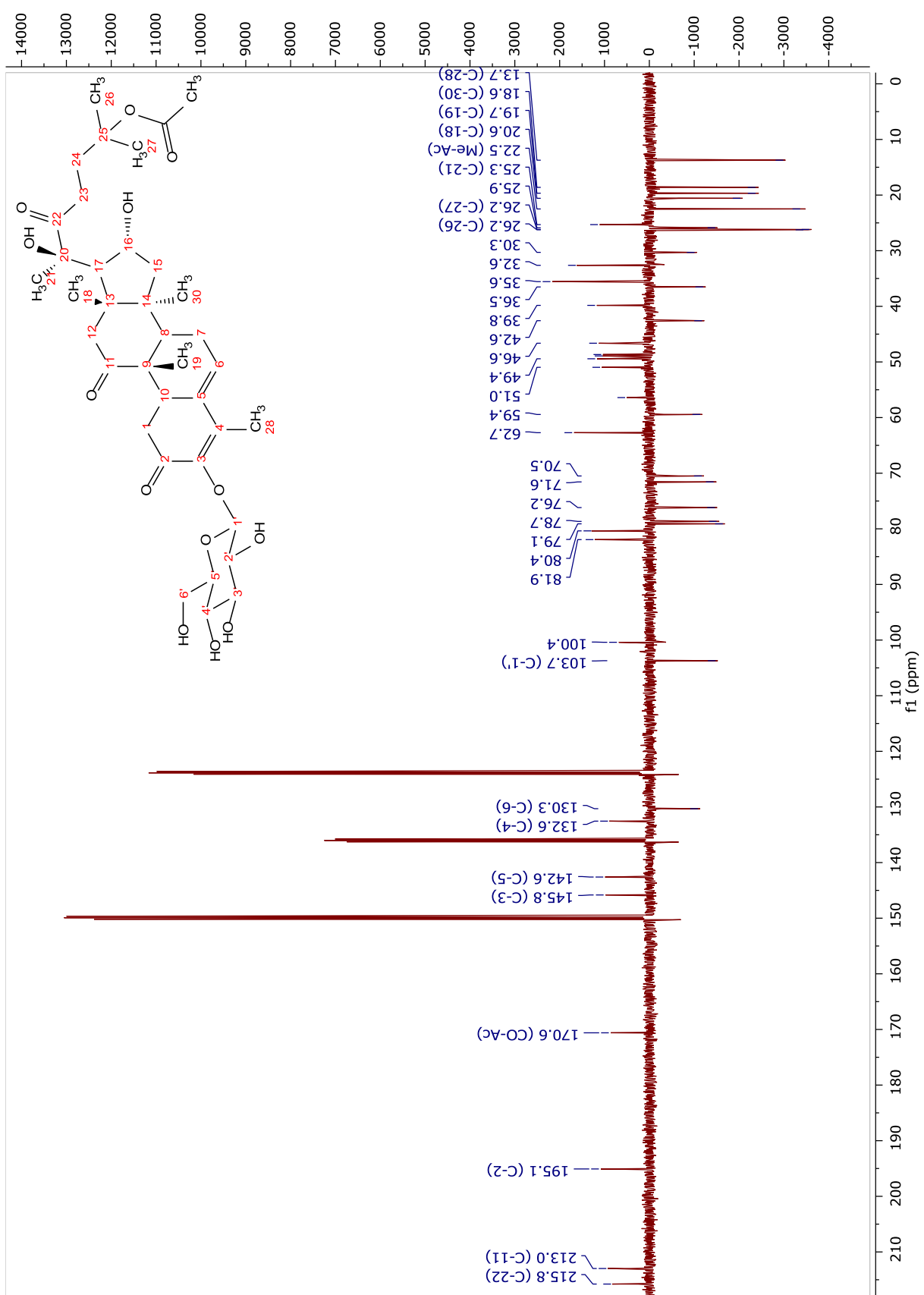


Figura 39. Espectro de DEPTQ de Sb9 (100 MHz, $\text{C}_5\text{D}_5\text{N}$).

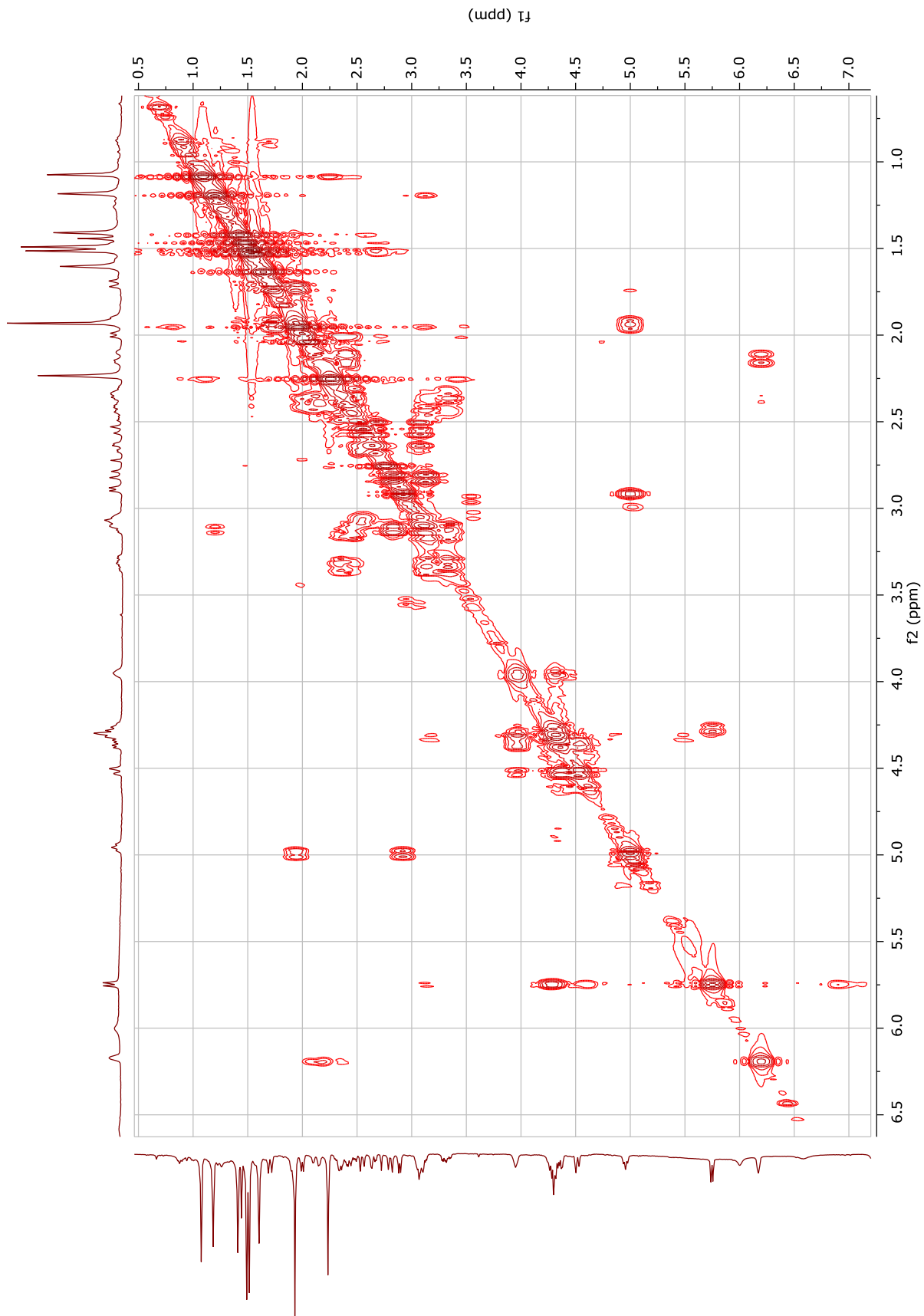


Figura 40. Espectro de COSY de **Sb9** (400 MHz, $\text{C}_5\text{D}_5\text{N}$).

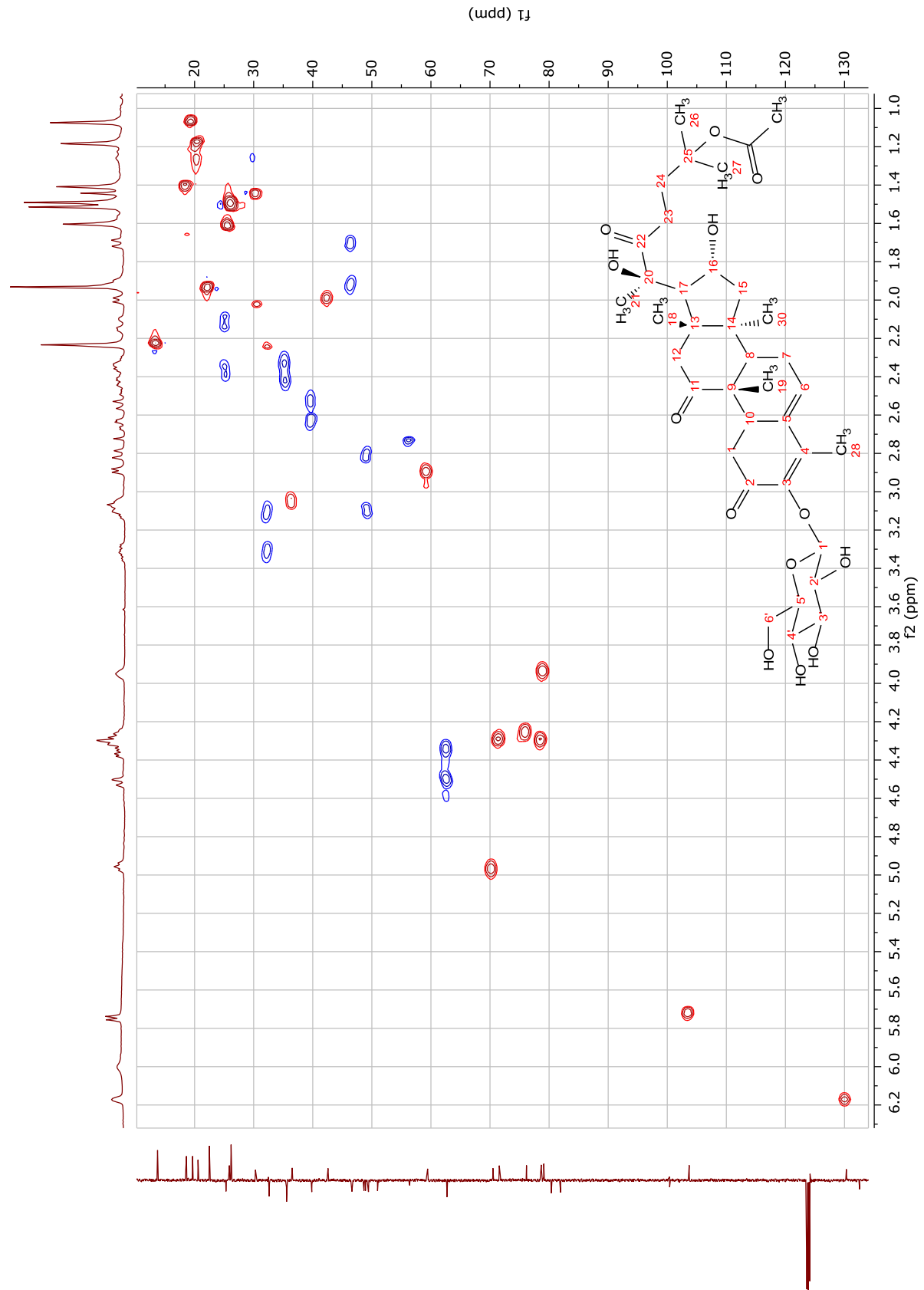


Figura 41. Espectro de HSQC de Sb9 (400 MHz, C₅D₅N).

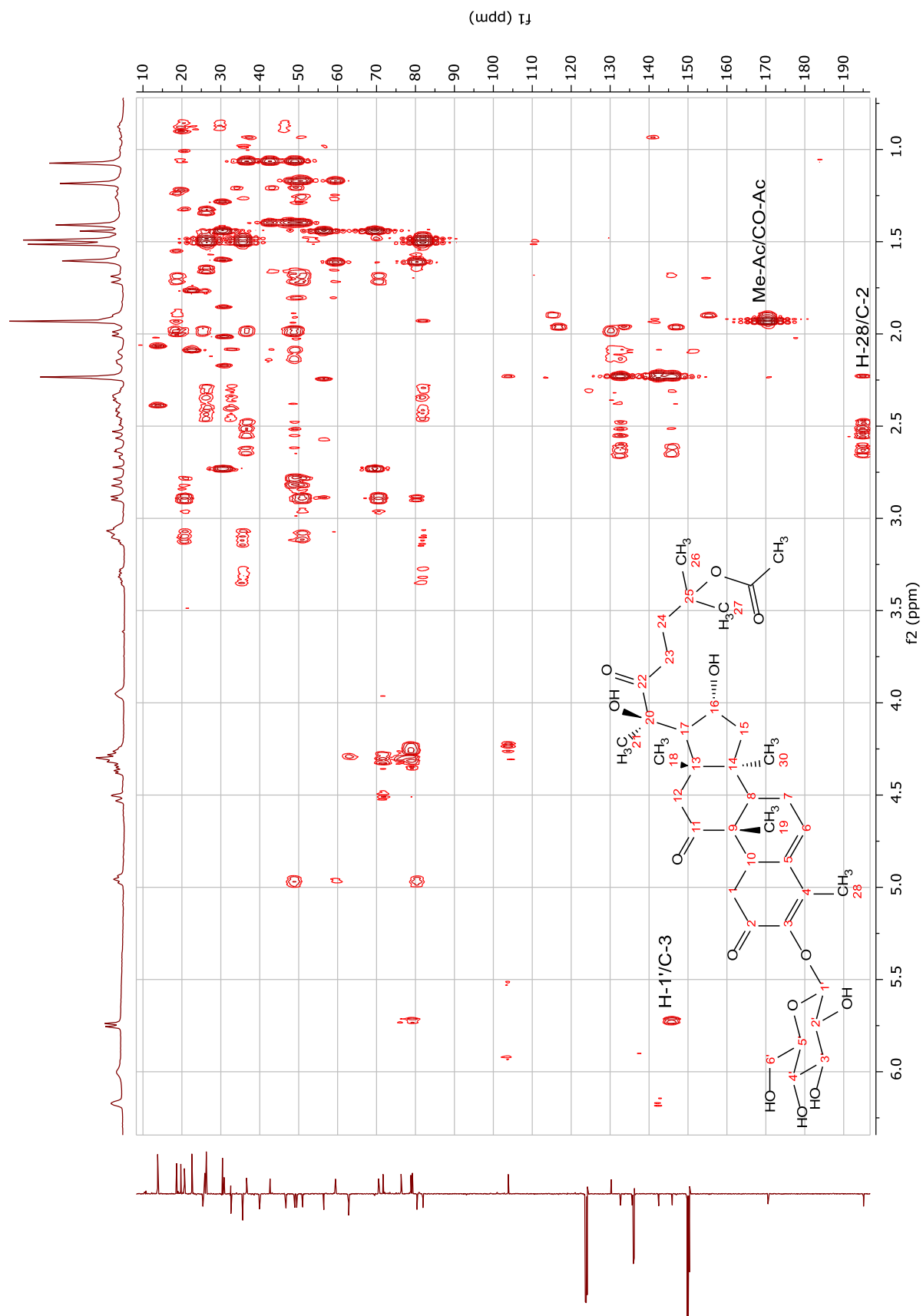


Figura 42. Espectro de HMBC de **Sb9** (400 MHz, $\text{C}_5\text{D}_5\text{N}$).

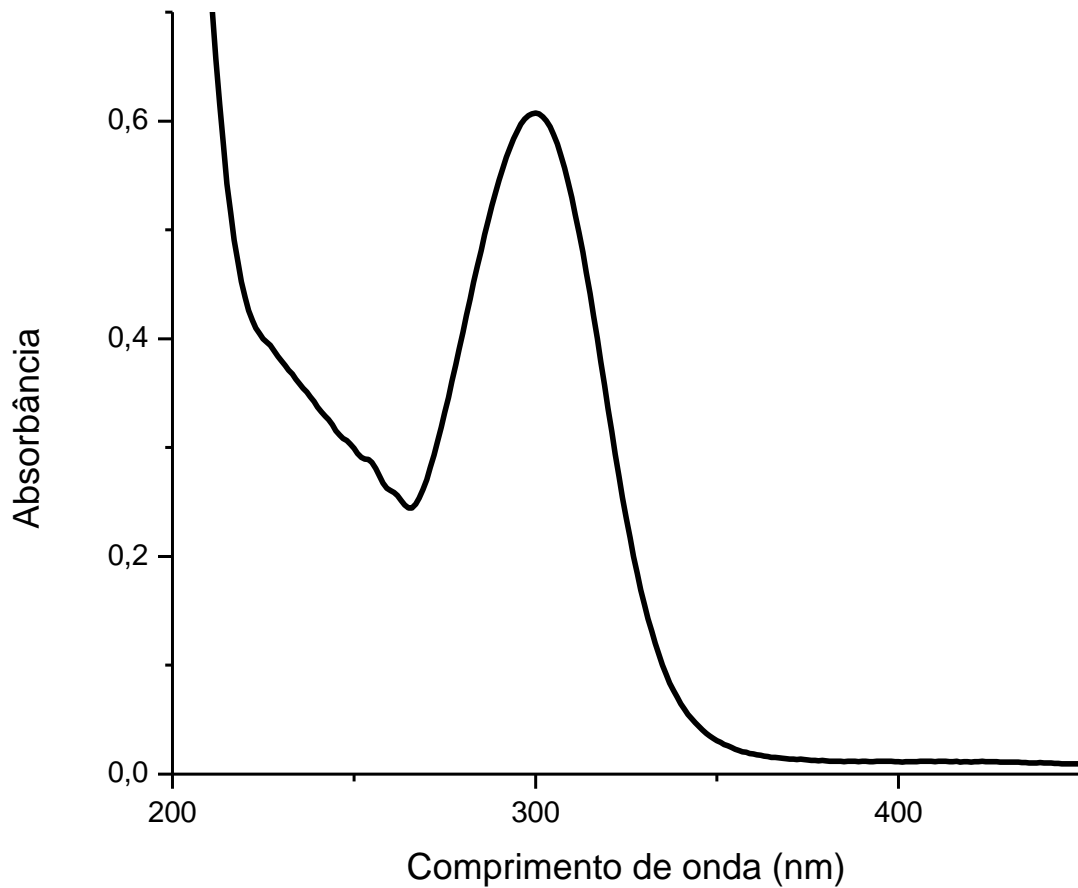


Figura 43. Espectro de UV de **Sb9** (propanol).

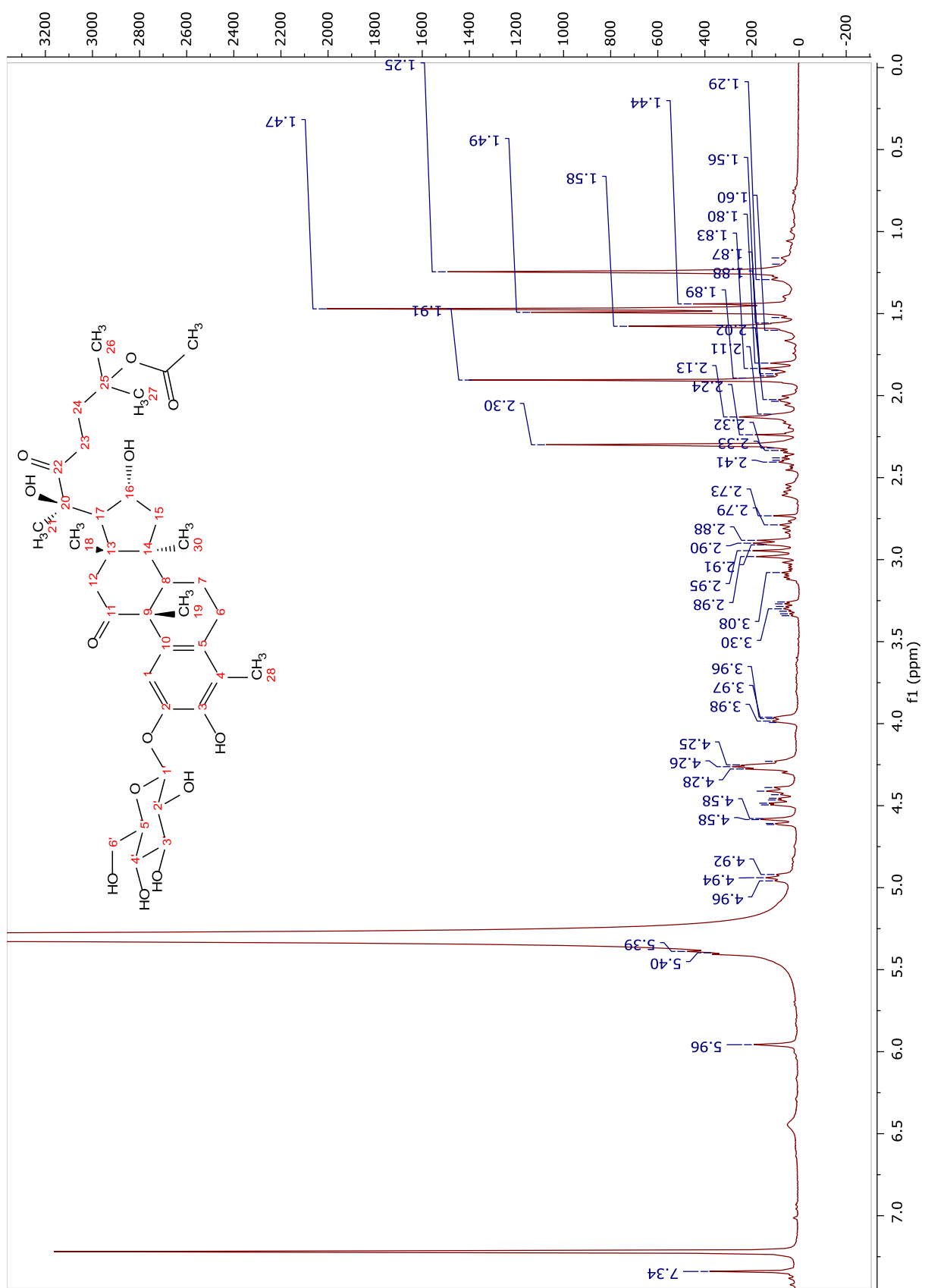


Figura 44. Espectro de RMN ^1H de Sb10 (400 MHz, $\text{C}_5\text{D}_5\text{N}$).

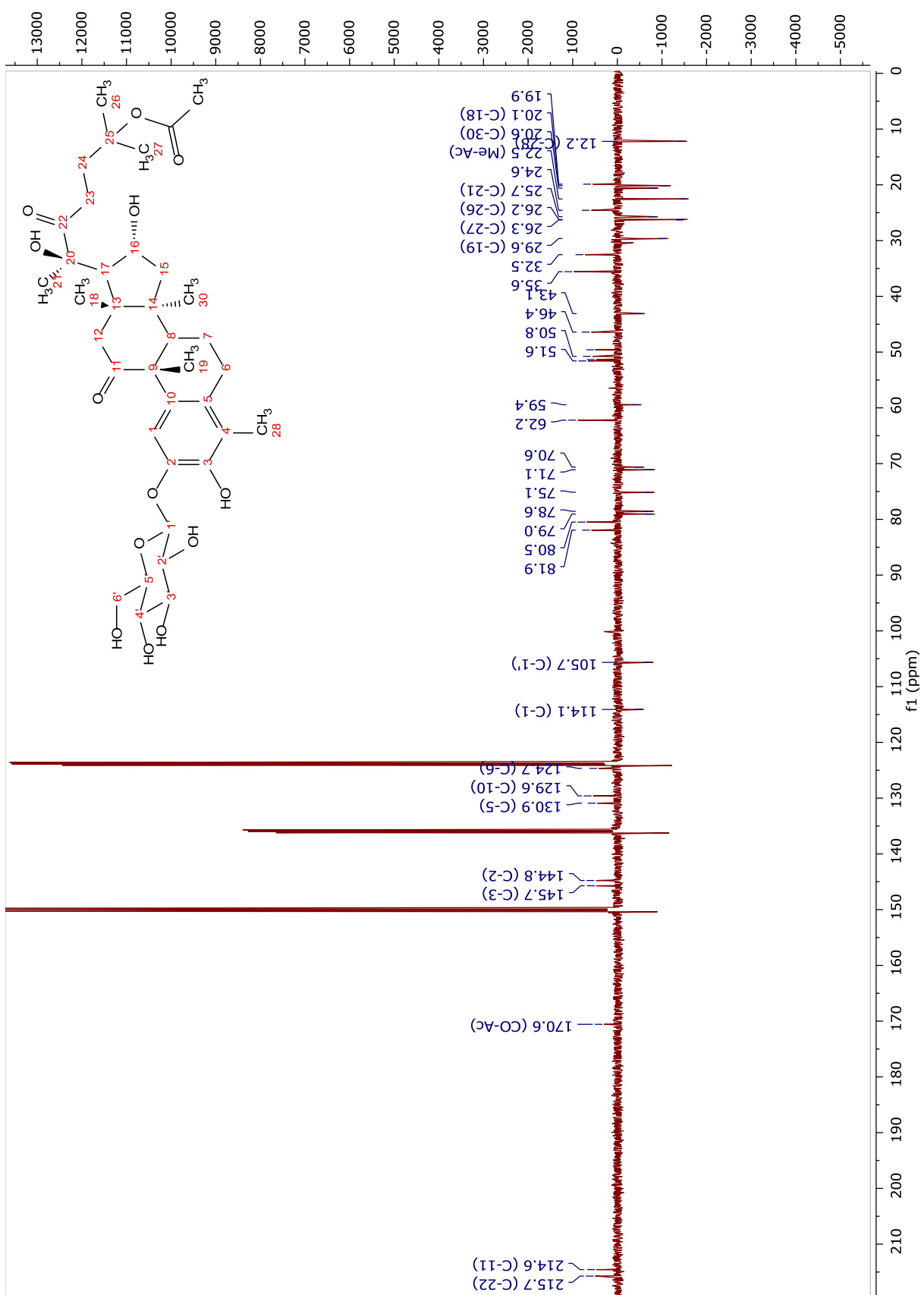


Figura 45. Espectro de DEPTQ de **Sb10** (100 MHz, $\text{C}_5\text{D}_5\text{N}$).

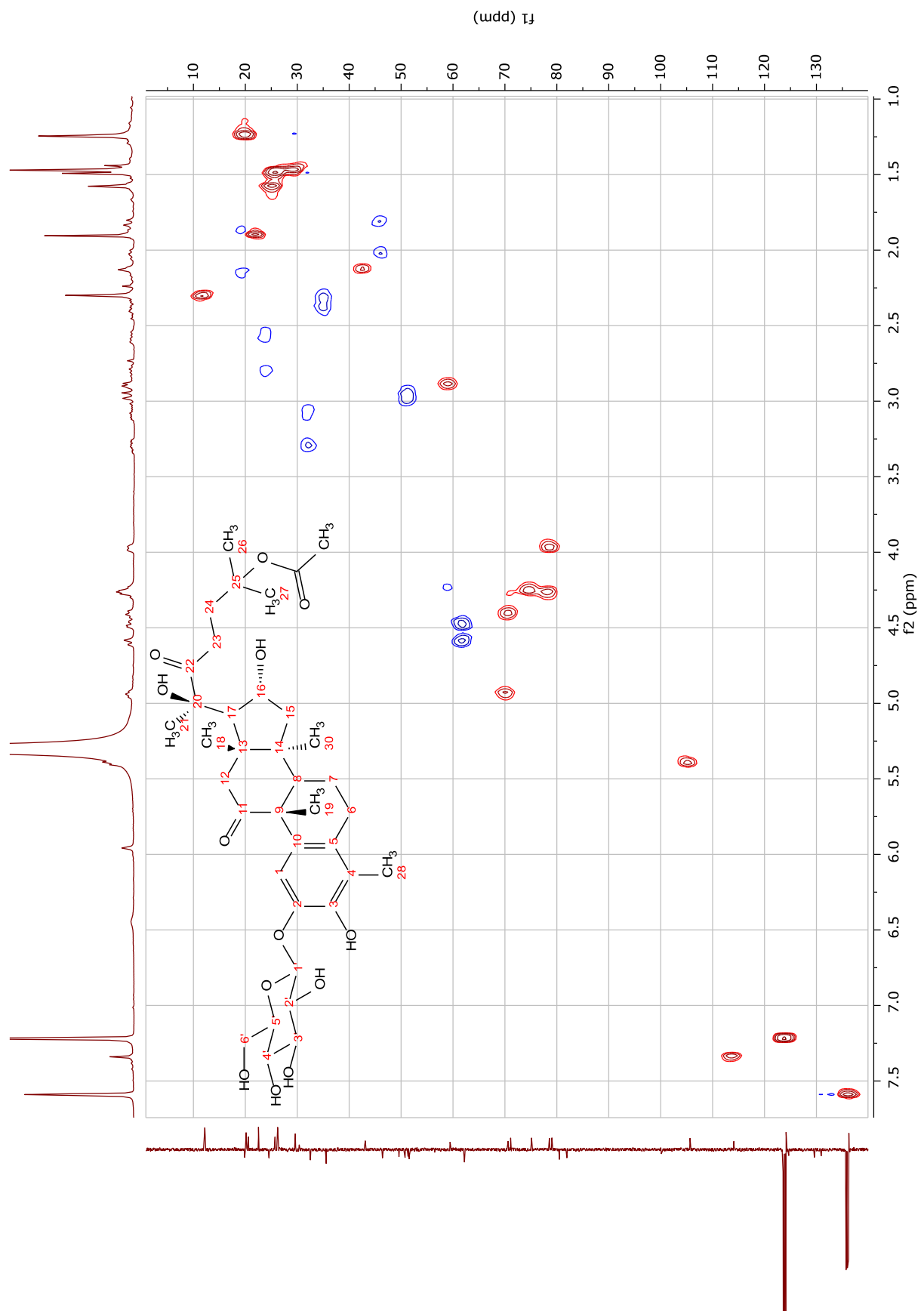


Figura 46. Espectro de HSQC de **Sb10** (400 MHz, C₅D₅N).

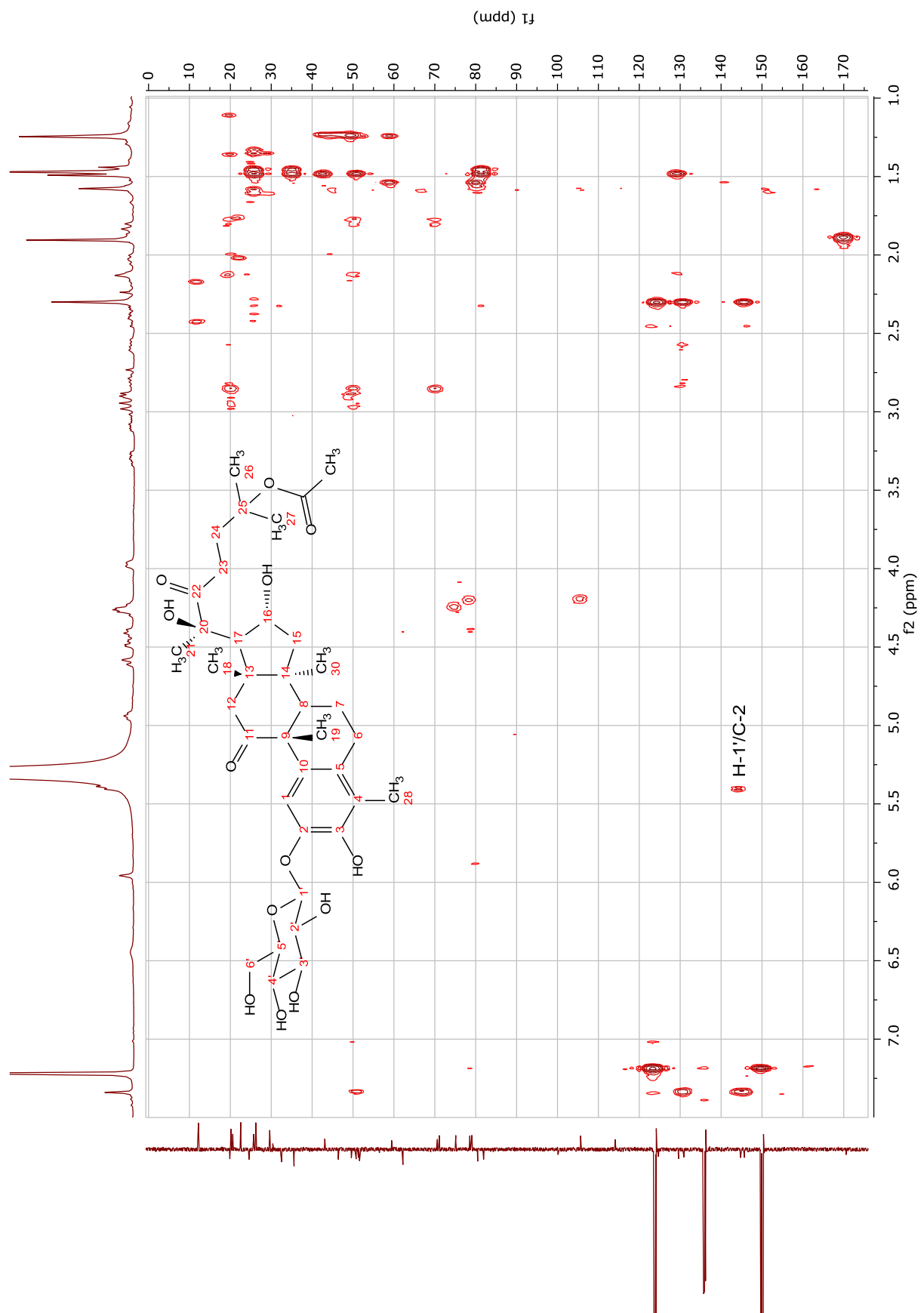


Figura 47. Espectro de HMBC de **Sb10** (400 MHz, C₅D₅N).

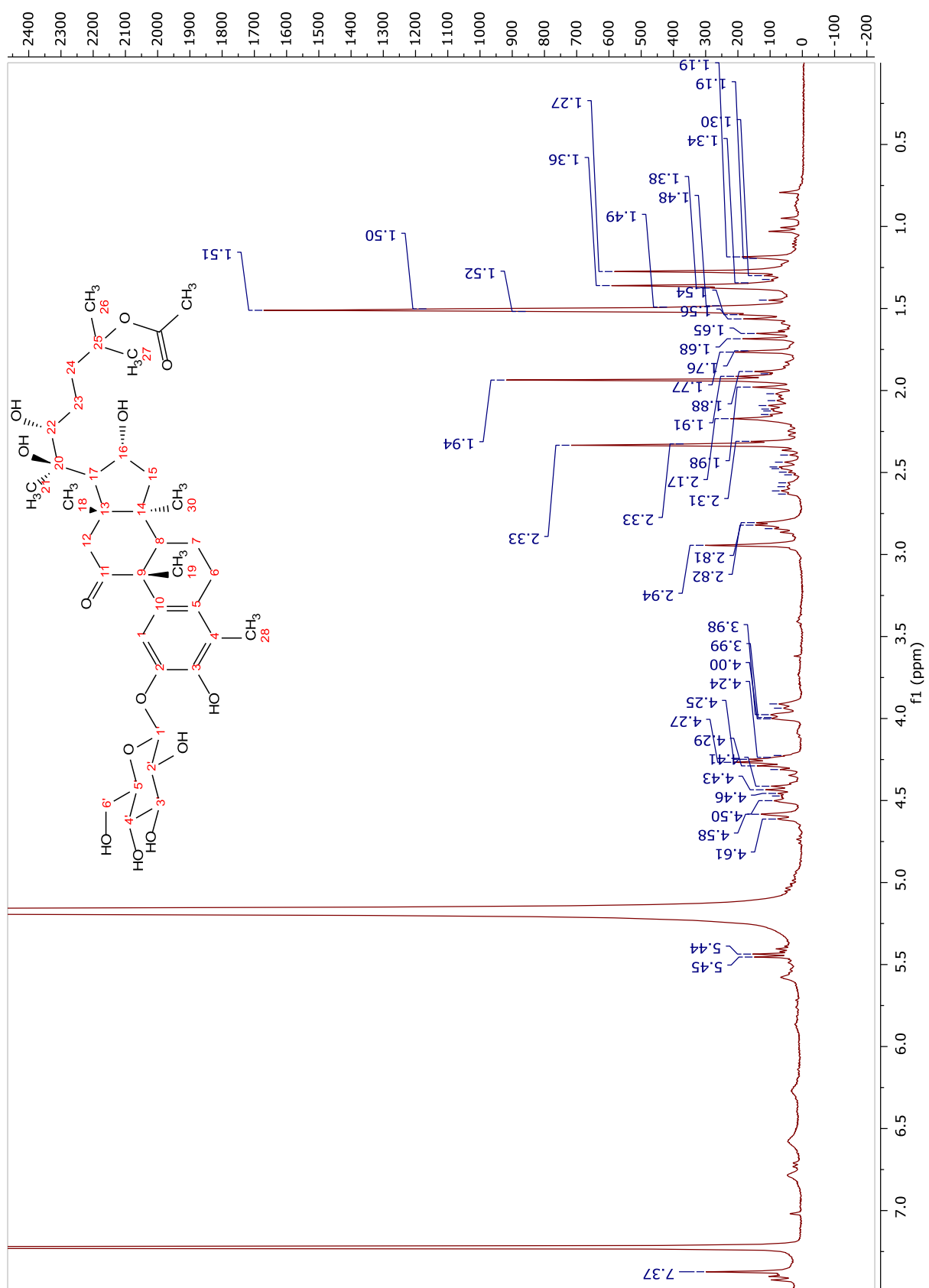


Figura 48. Espectro de RMN ^1H de Sb11 (400 MHz, $\text{C}_5\text{D}_5\text{N}$).

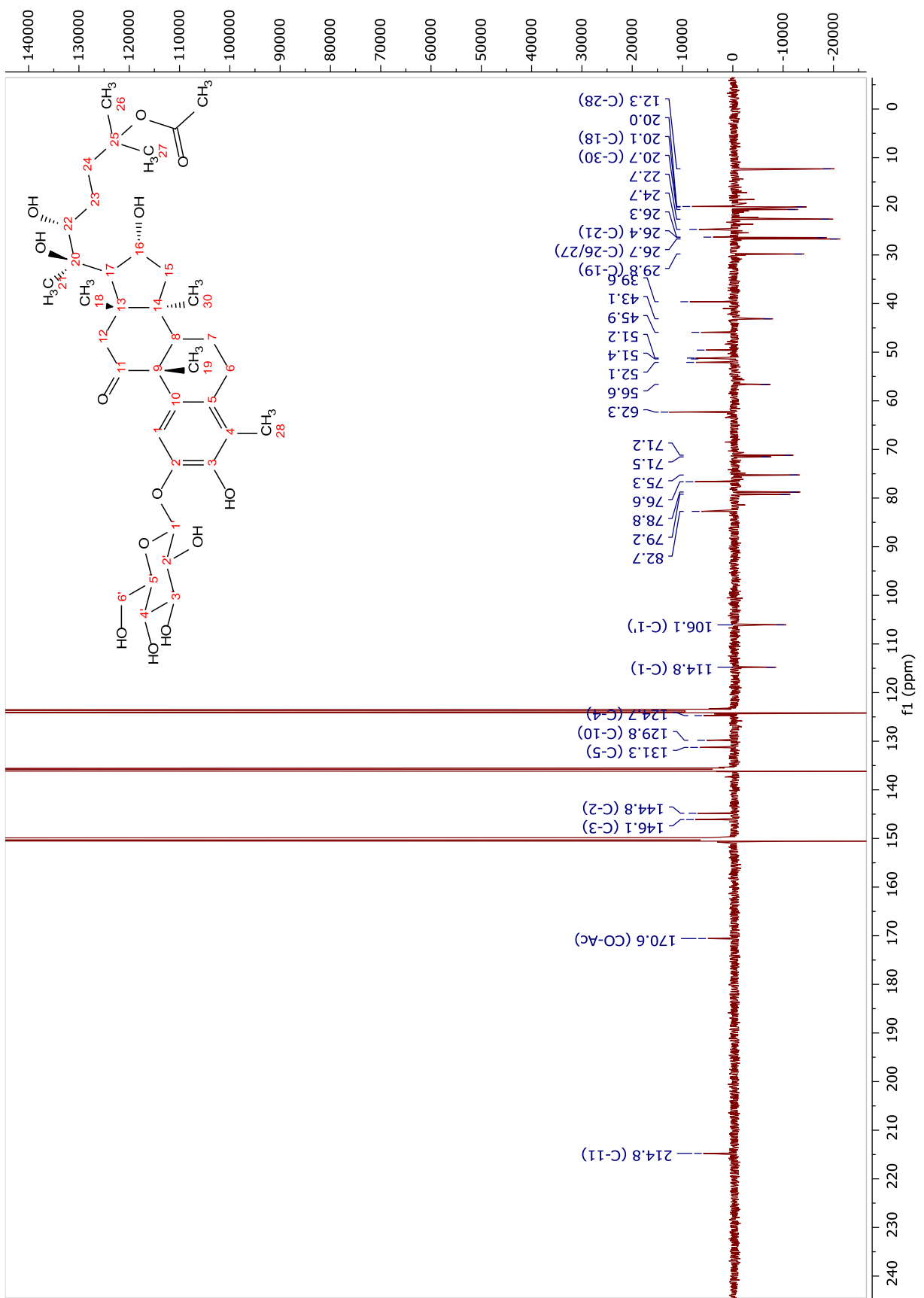


Figura 49. Espectro de DEPTQ de Sb11 (100 MHz, $\text{C}_5\text{D}_5\text{N}$).

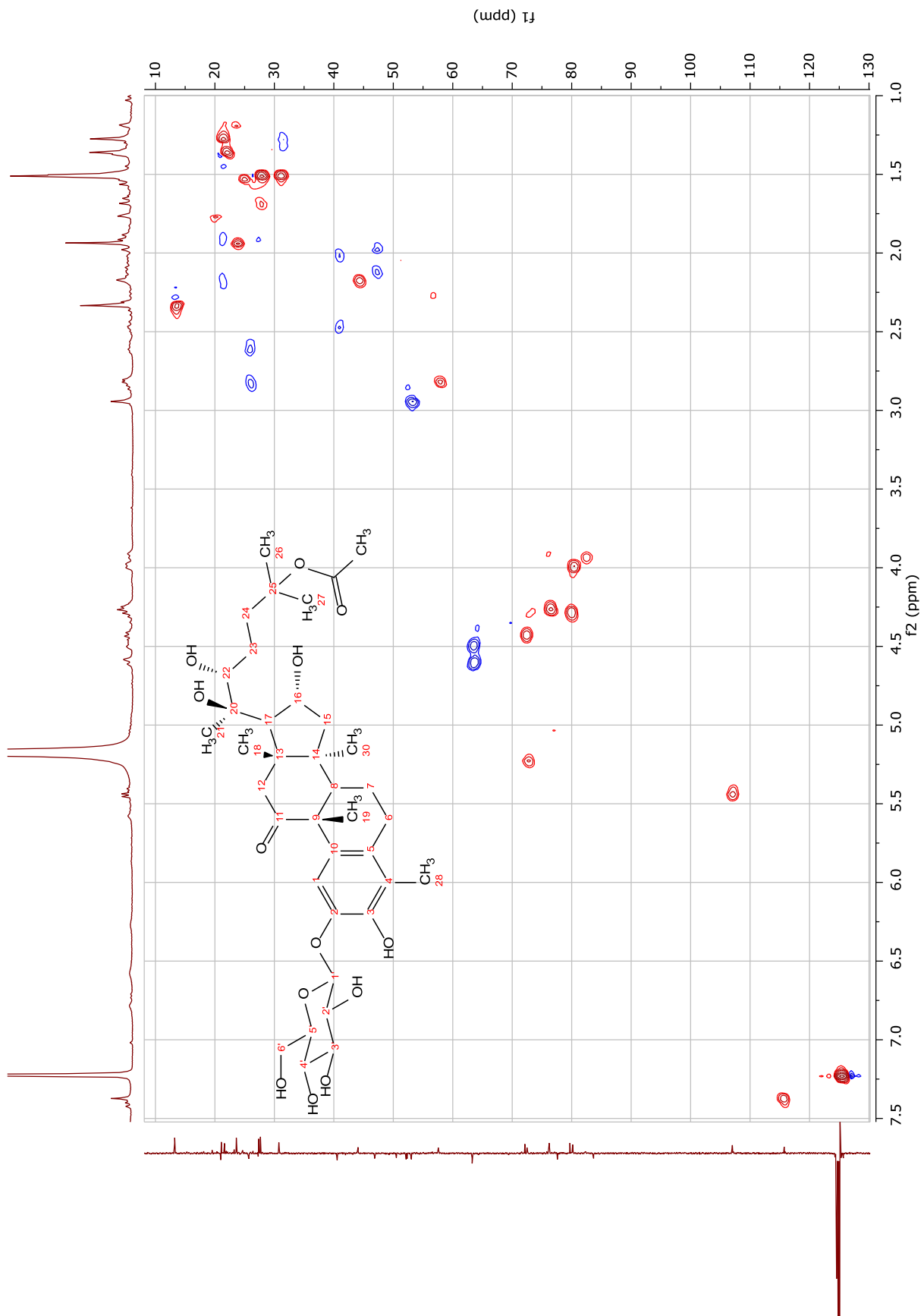


Figura 50. Espectro de HSQC de **Sb11** (400 MHz, $\text{C}_5\text{D}_5\text{N}$).

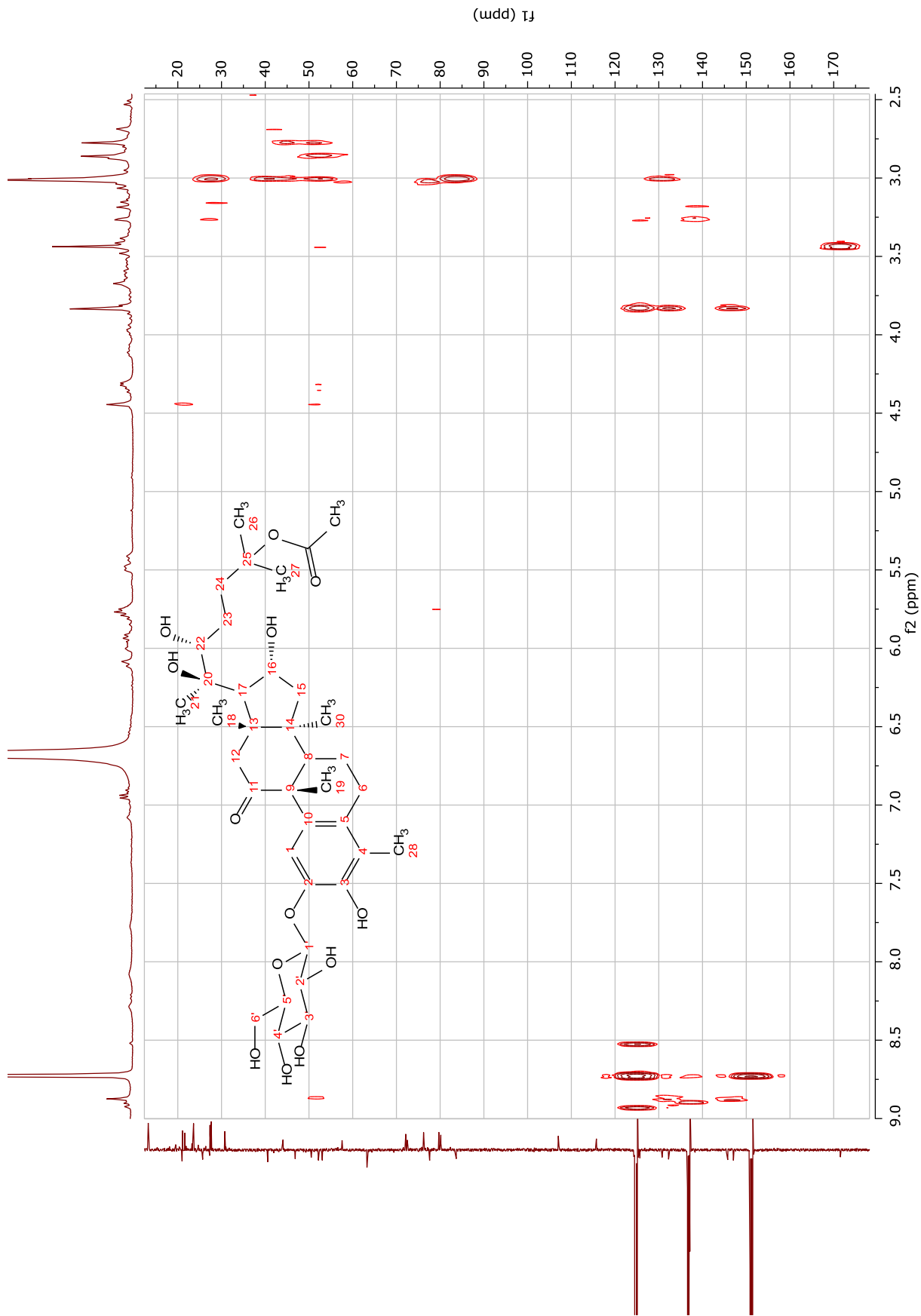
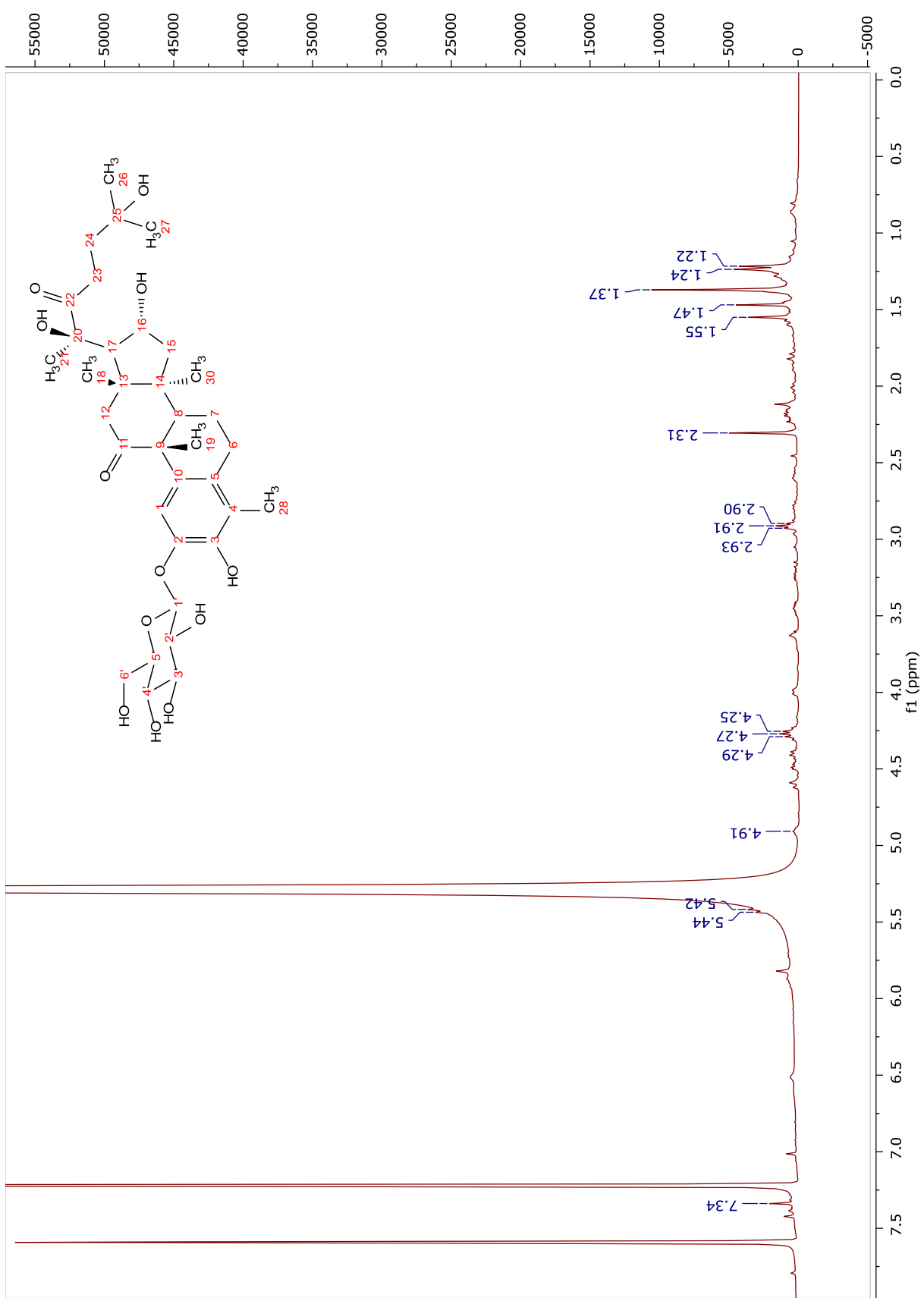


Figura 51. Espectro de HMBC de Sb11 (400 MHz, C₅D₅N).



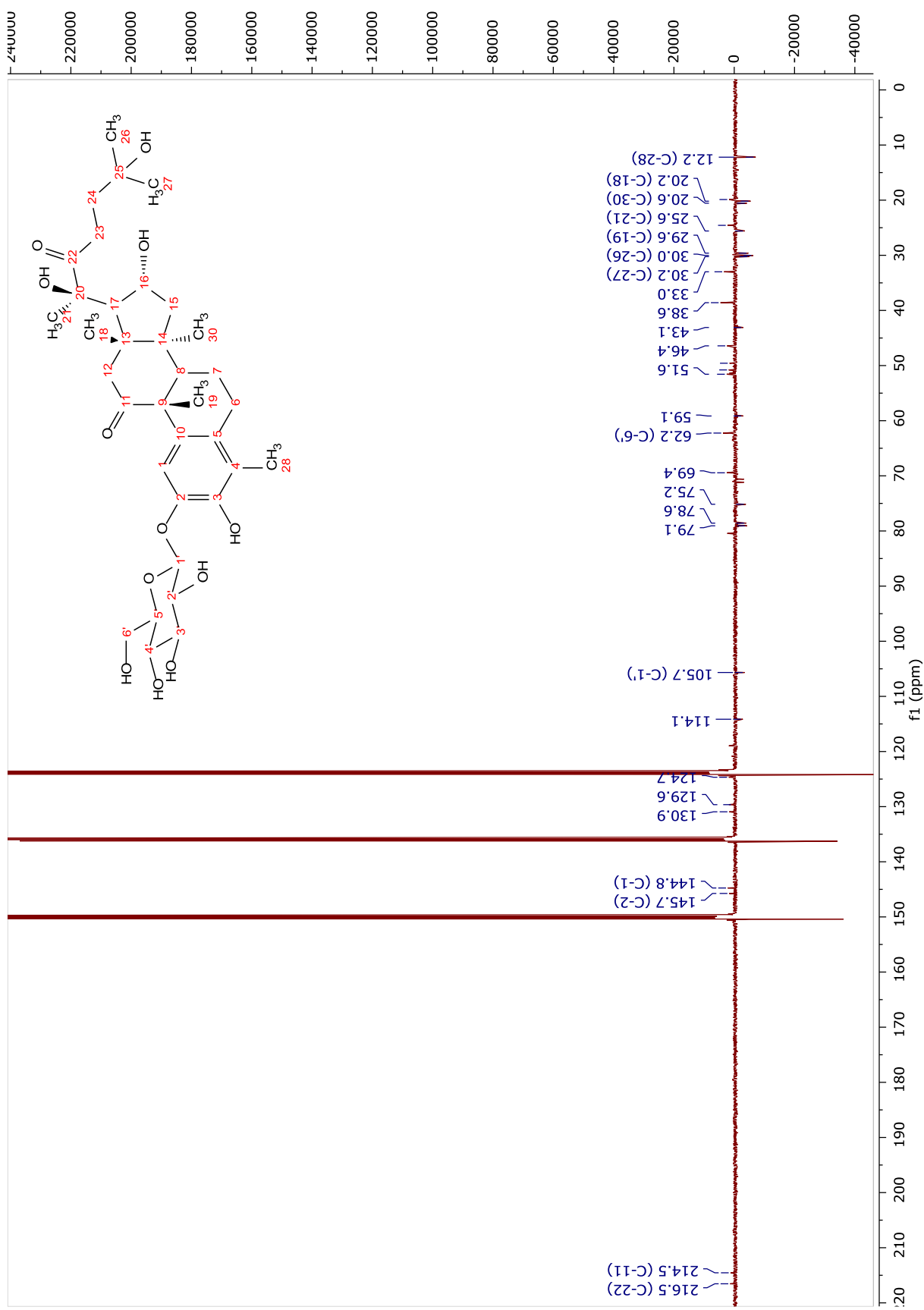


Figura 53. Espectro de DEPTQ de **Sb12** (100 MHz, C₅D₅N).

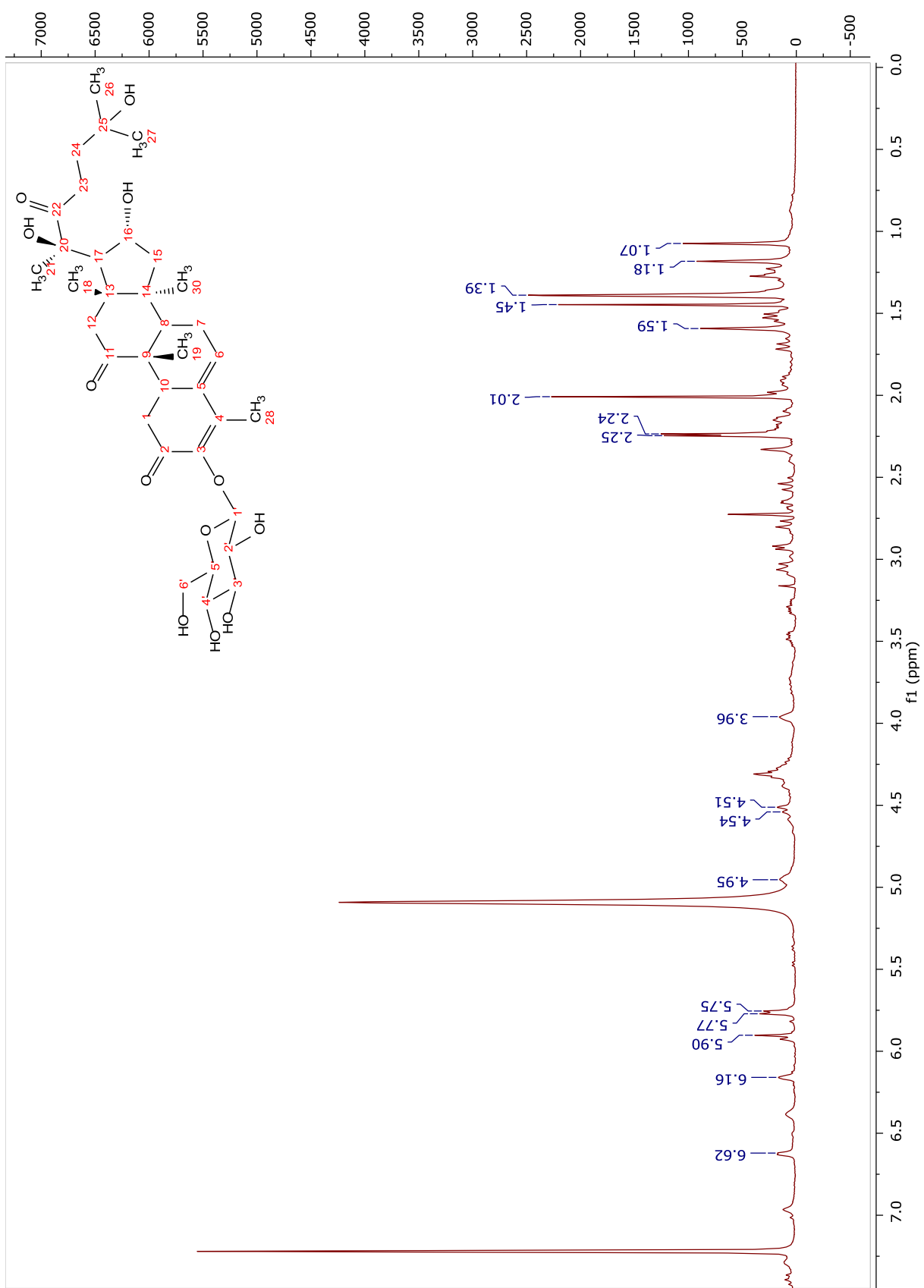


Figura 54. Espectro de RMN ^1H de Sb13 (400 MHz, $\text{C}_5\text{D}_5\text{N}$).

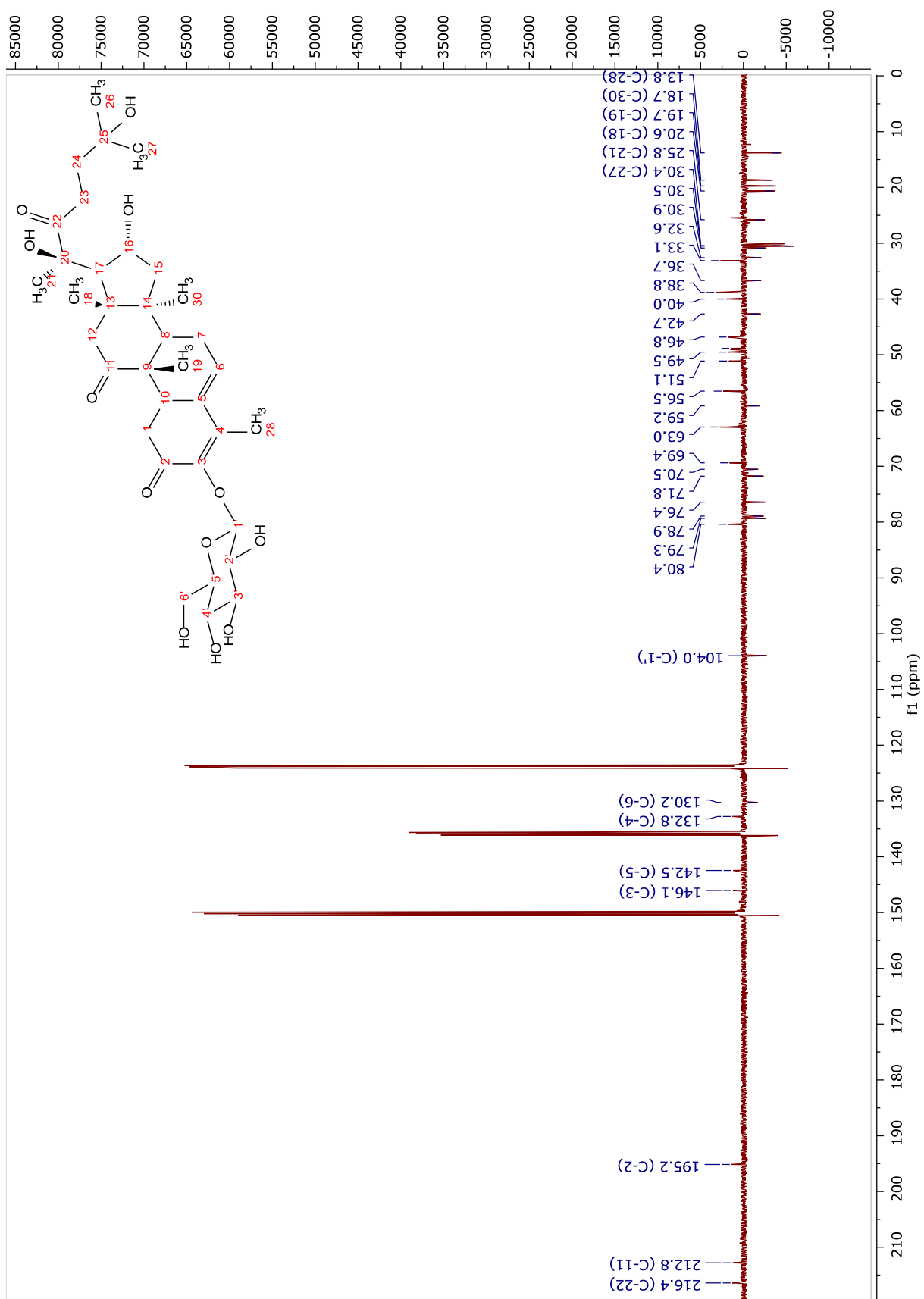


Figura 55. Espectro de DEPTQ de Sb13 (100 MHz, $\text{C}_5\text{D}_5\text{N}$).

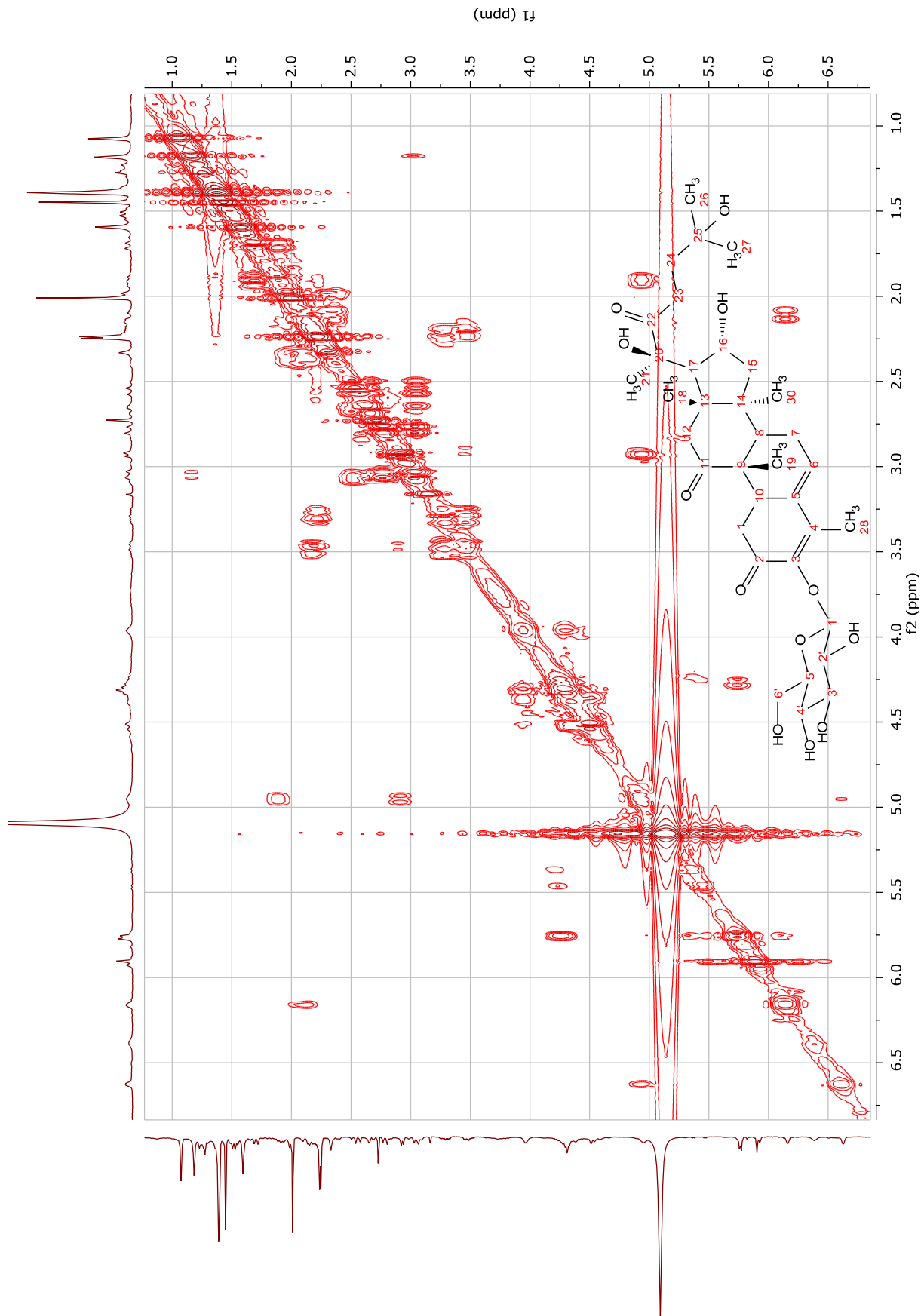


Figura 56. Espectro de COSY de **Sb13** (400 MHz, C₅D₅N).

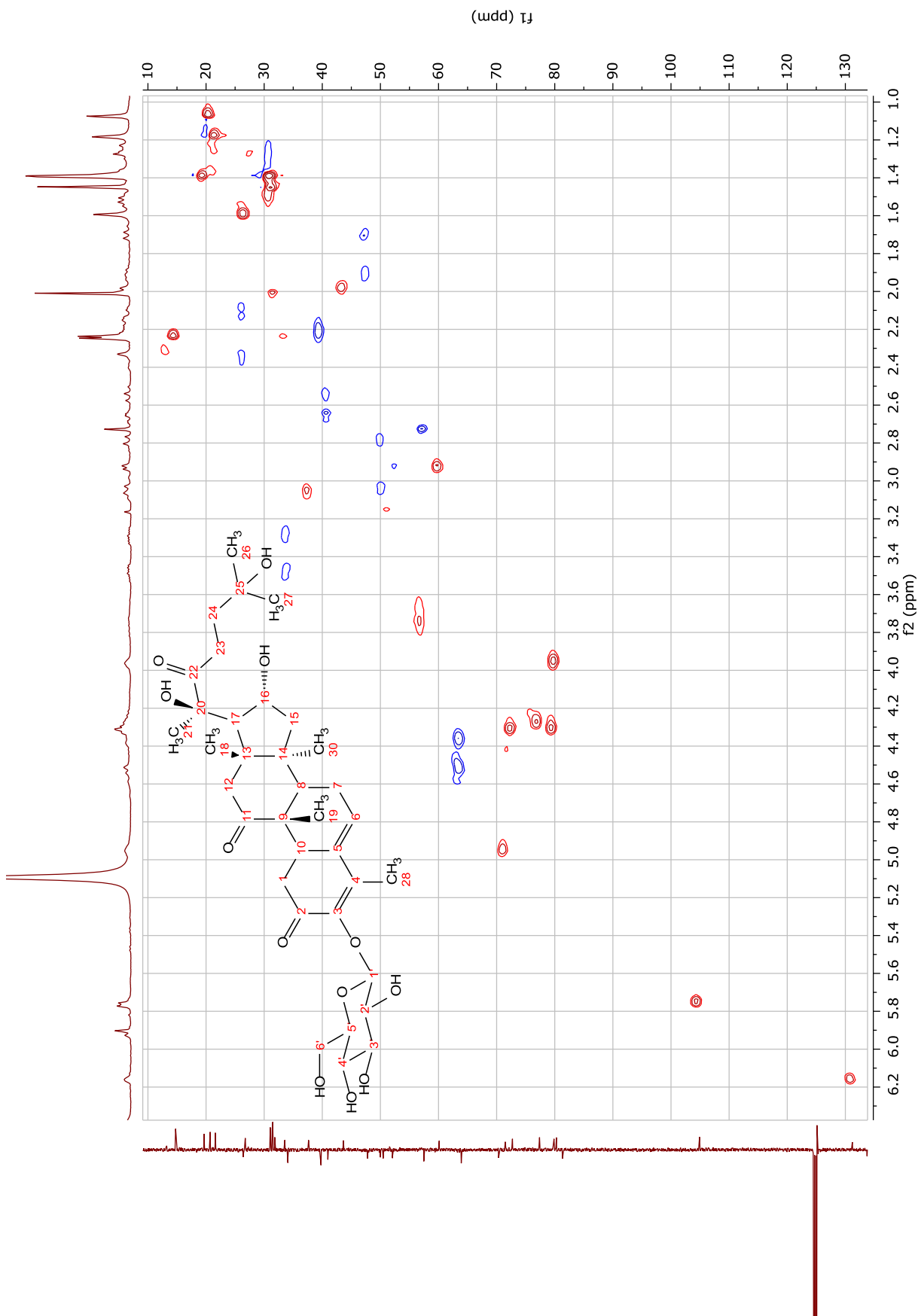


Figura 57. Espectro de HSQC de **Sb13** (400 MHz, C₅D₅N).

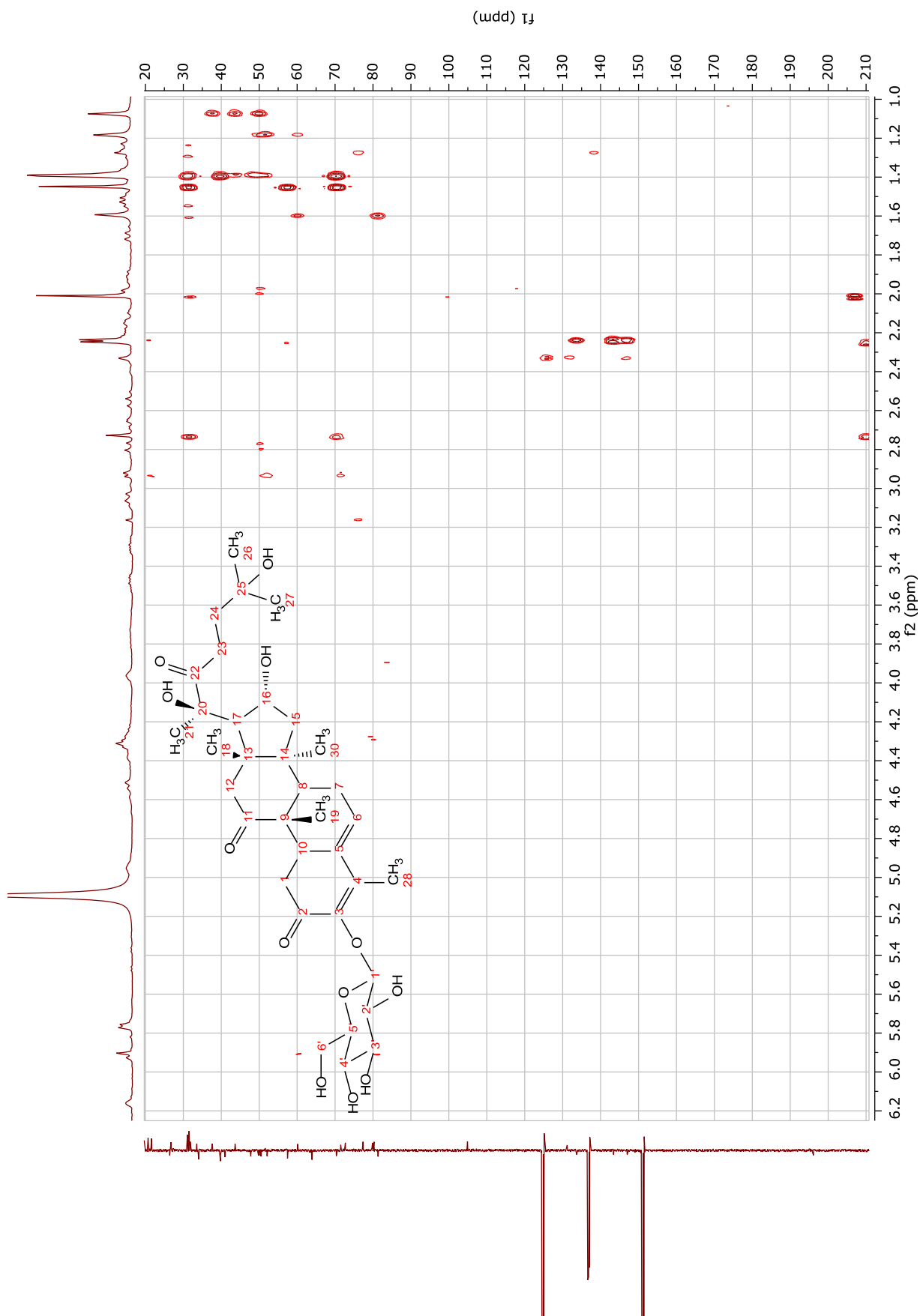


Figura 58. Espectro de HMBC de Sb13 (400 MHz, $\text{C}_5\text{D}_5\text{N}$).

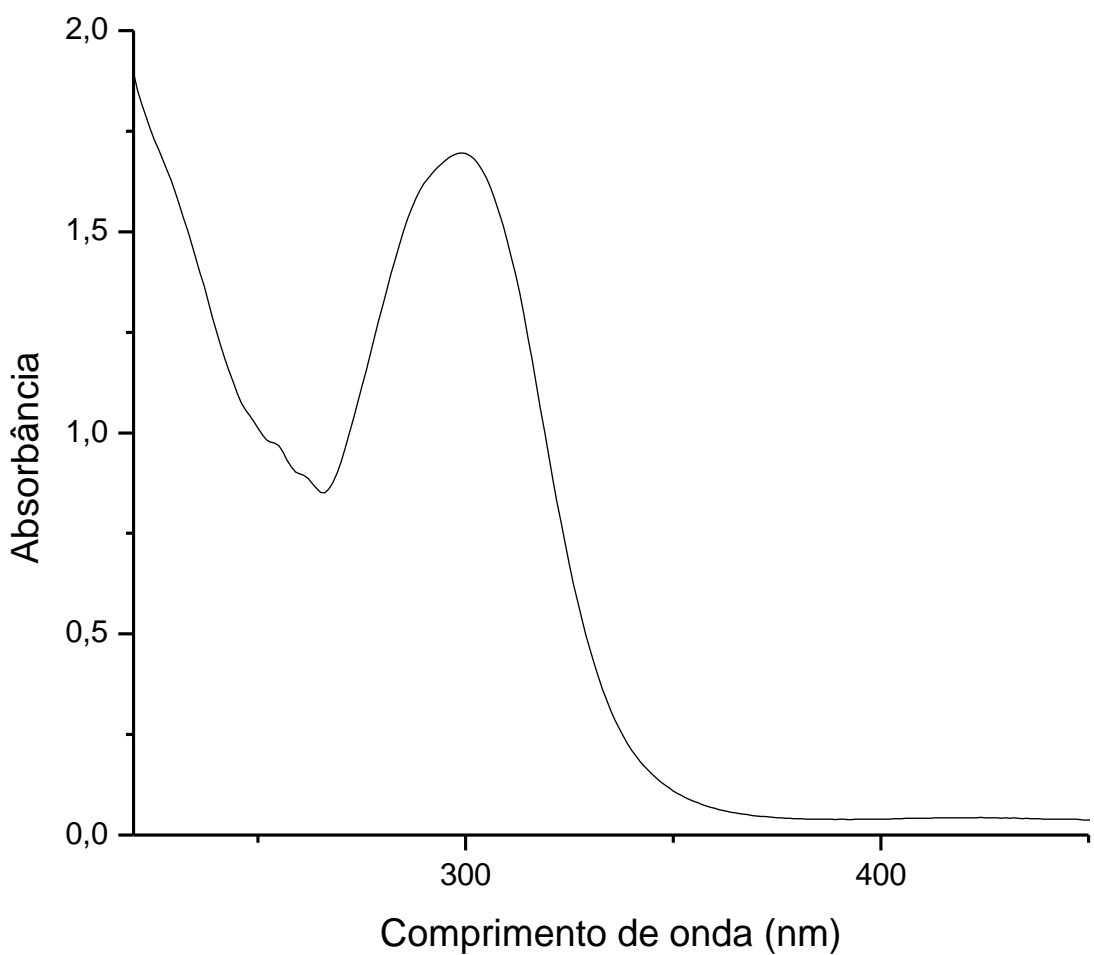


Figura 59. Espectro de UV de **Sb13** (propanol).

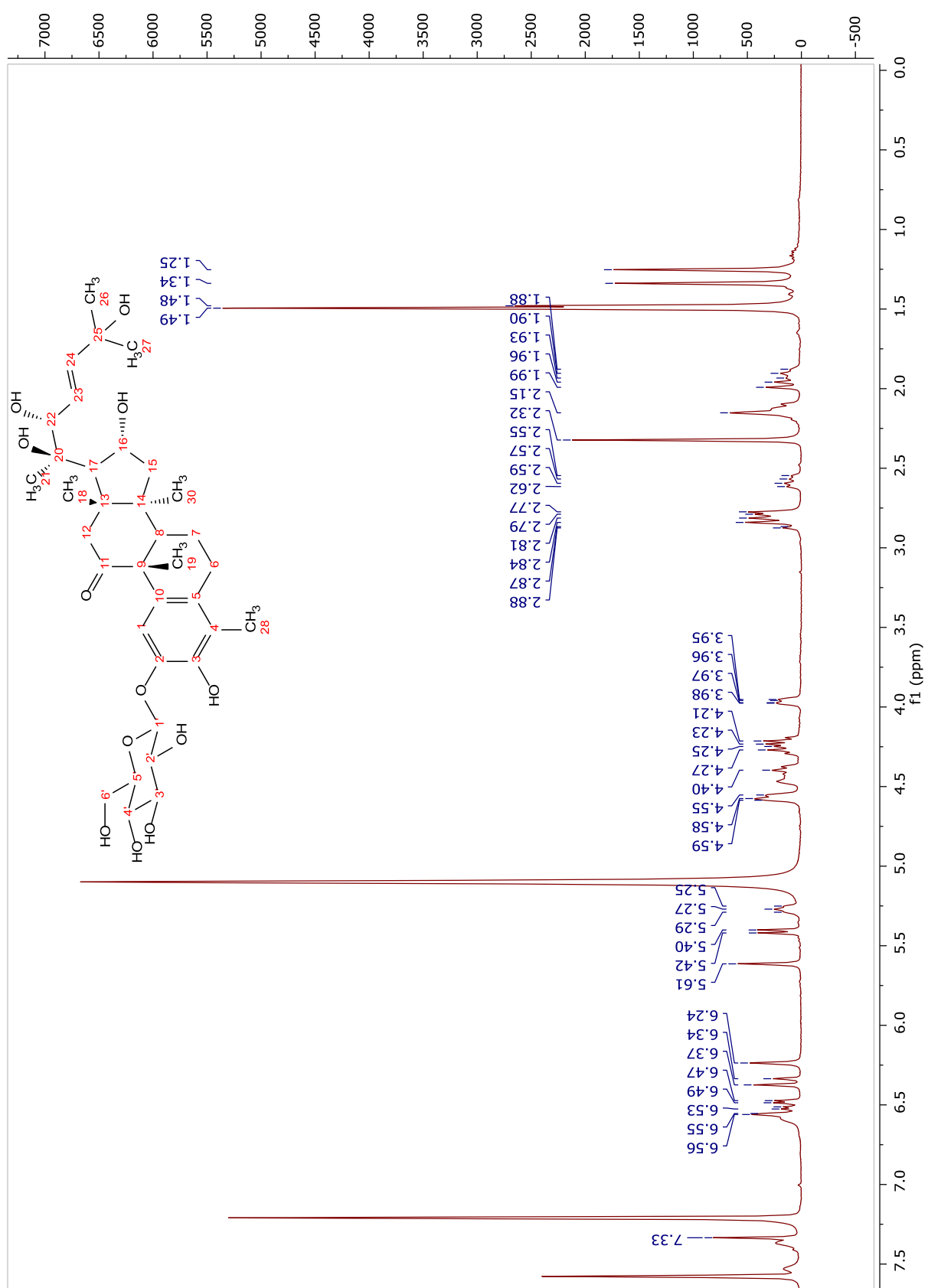


Figura 60. Espectro de RMN ^1H de **Sb14** (400 MHz, C₅D₅N).

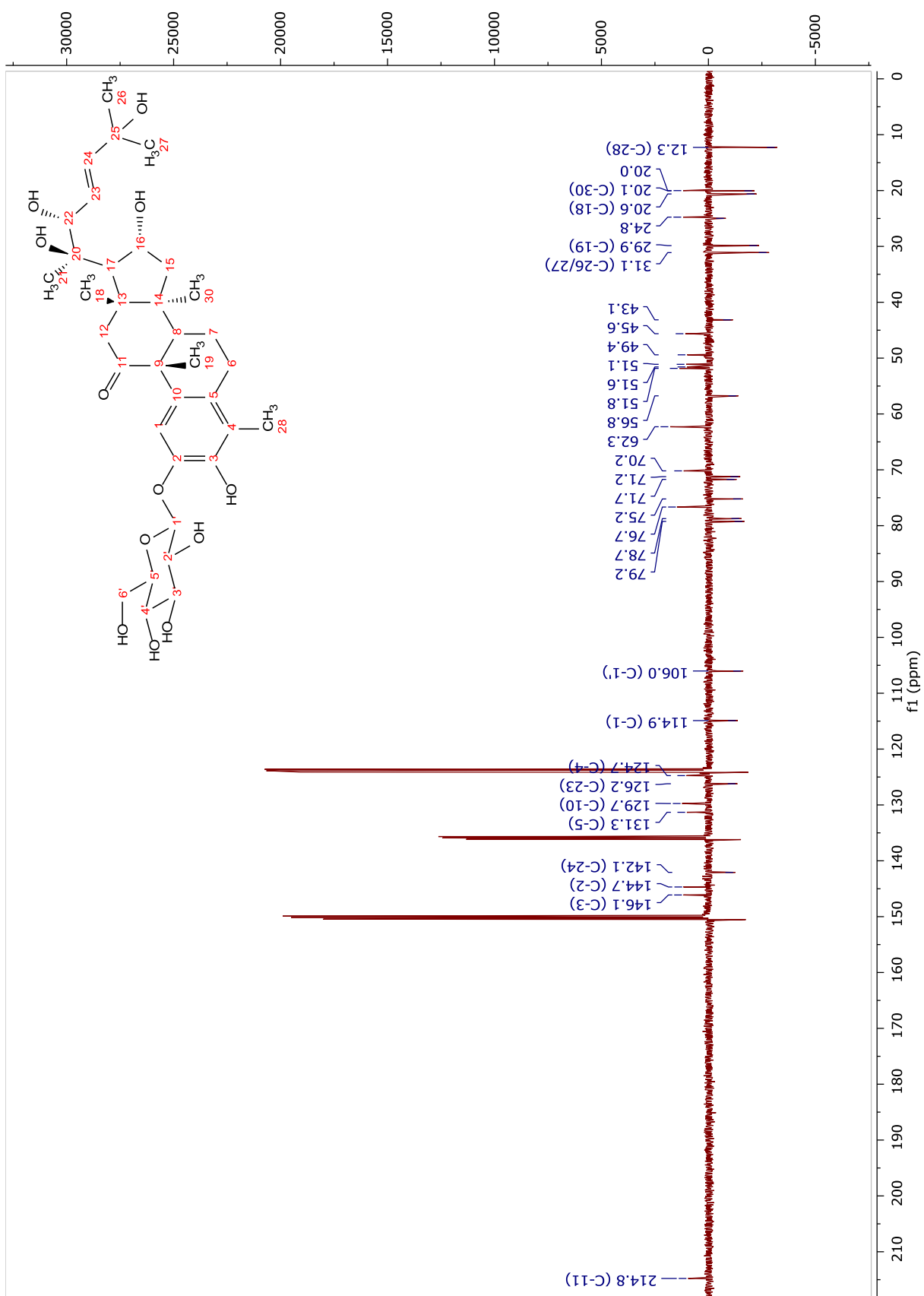


Figura 61. Espectro de DEPTQ de Sb14 (100 MHz, $\text{C}_5\text{D}_5\text{N}$).

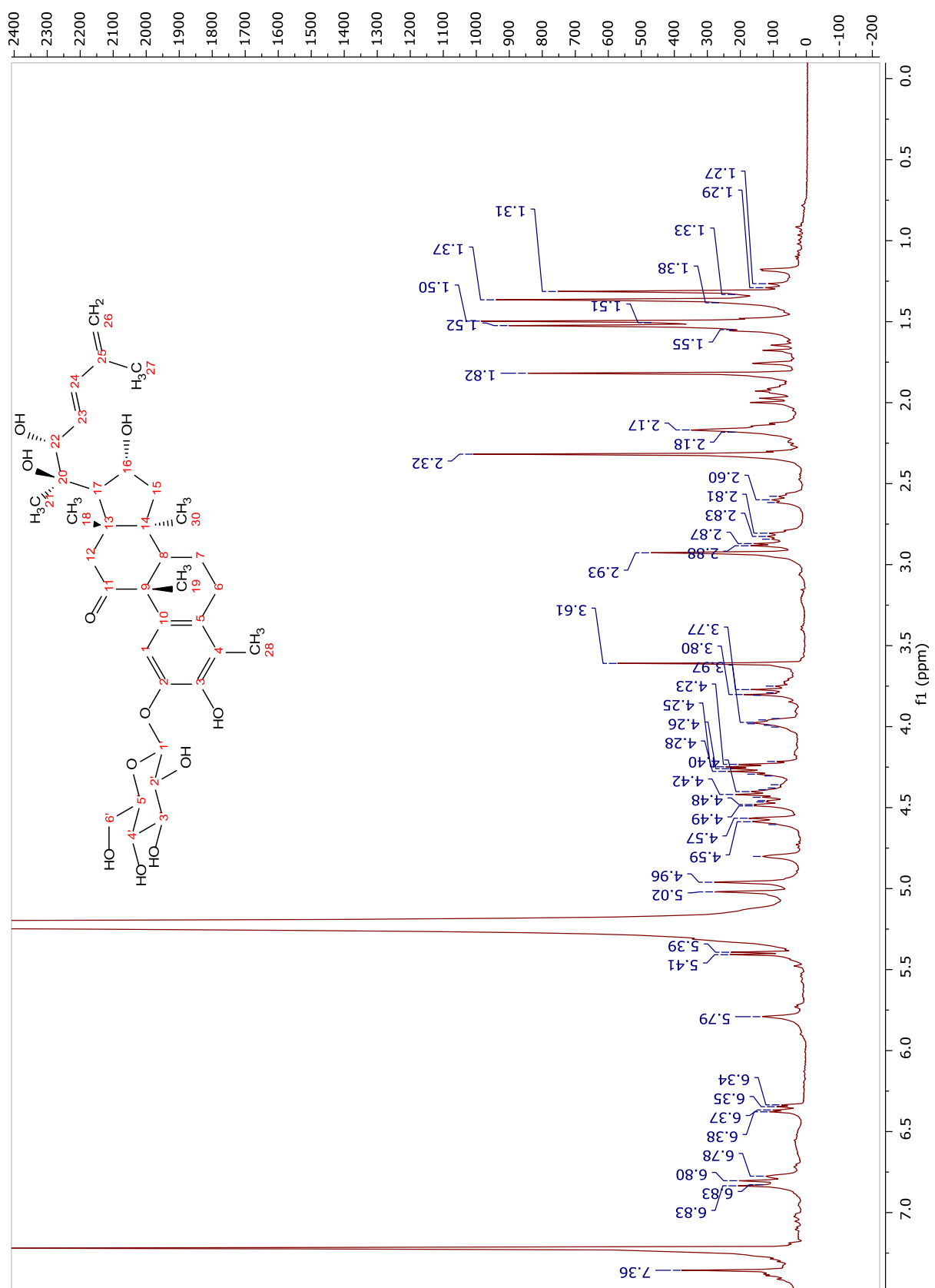


Figura 62. Espectro de RMN ^1H de **Sb15** (500 MHz, $\text{C}_5\text{D}_5\text{N}$).

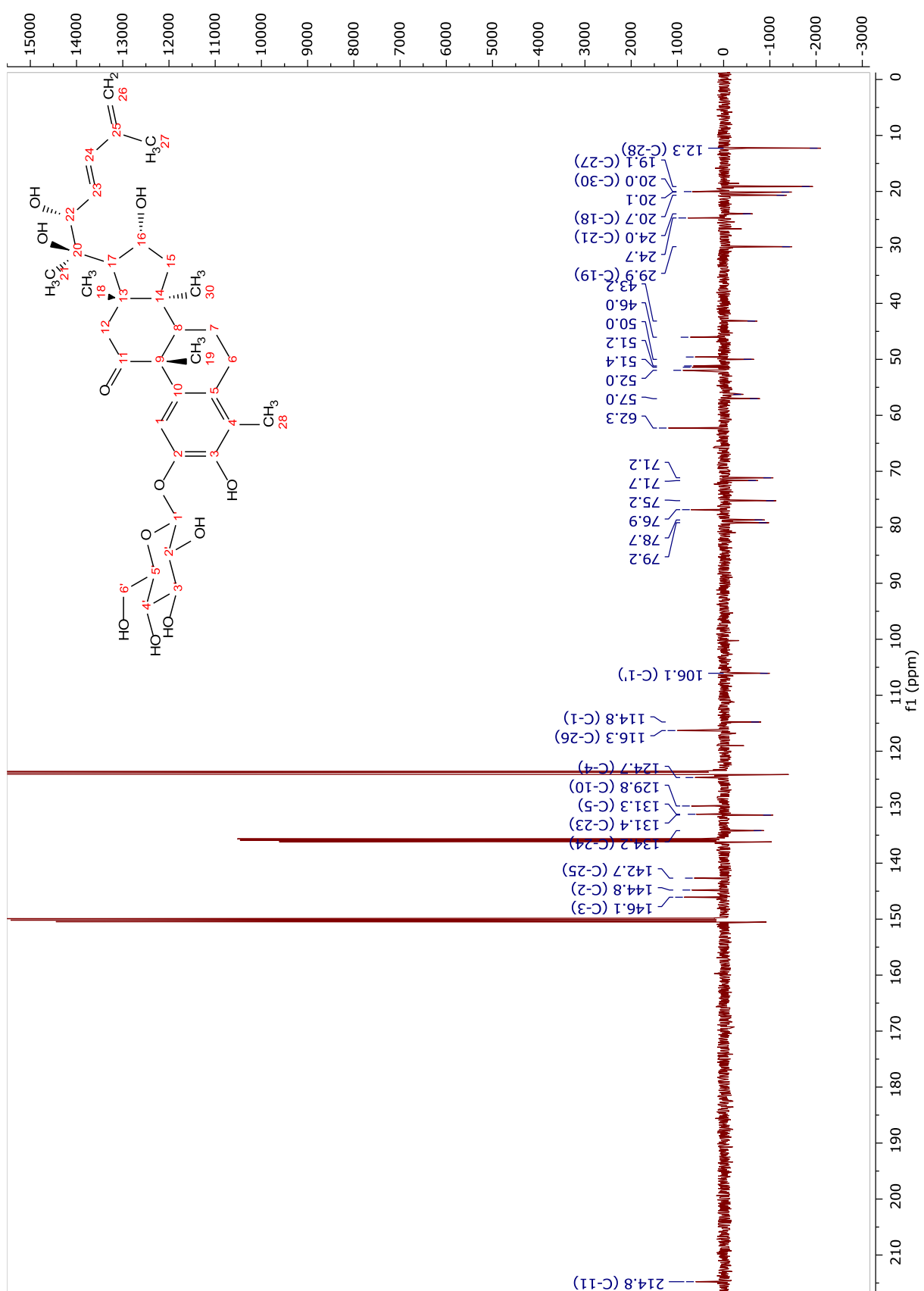


Figura 63. Espectro de DEPTQ de Sb15 (125 MHz, $\text{C}_5\text{D}_5\text{N}$).

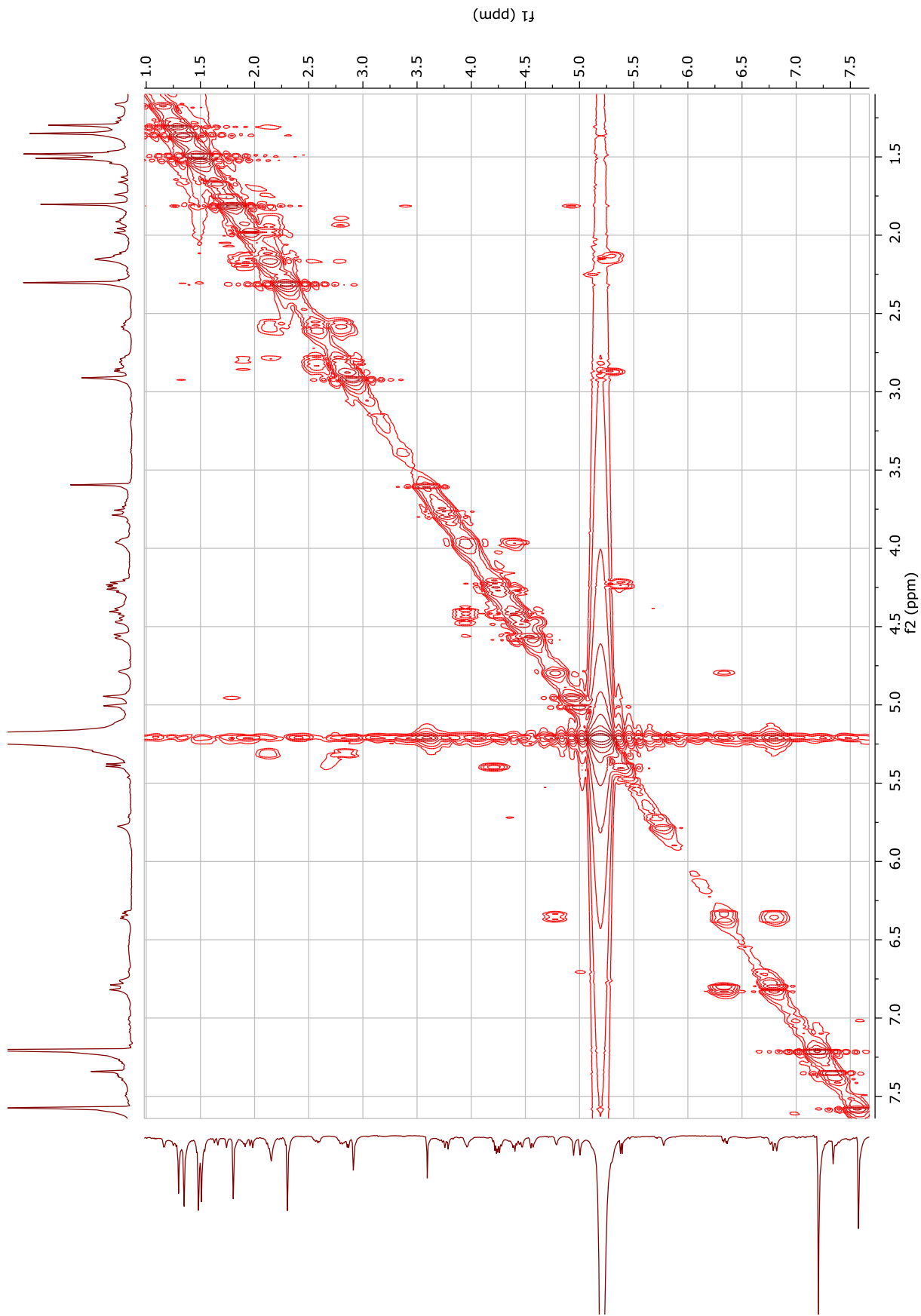


Figura 64. Espectro de COSY de **Sb15** (500 MHz, C_5D_5N).

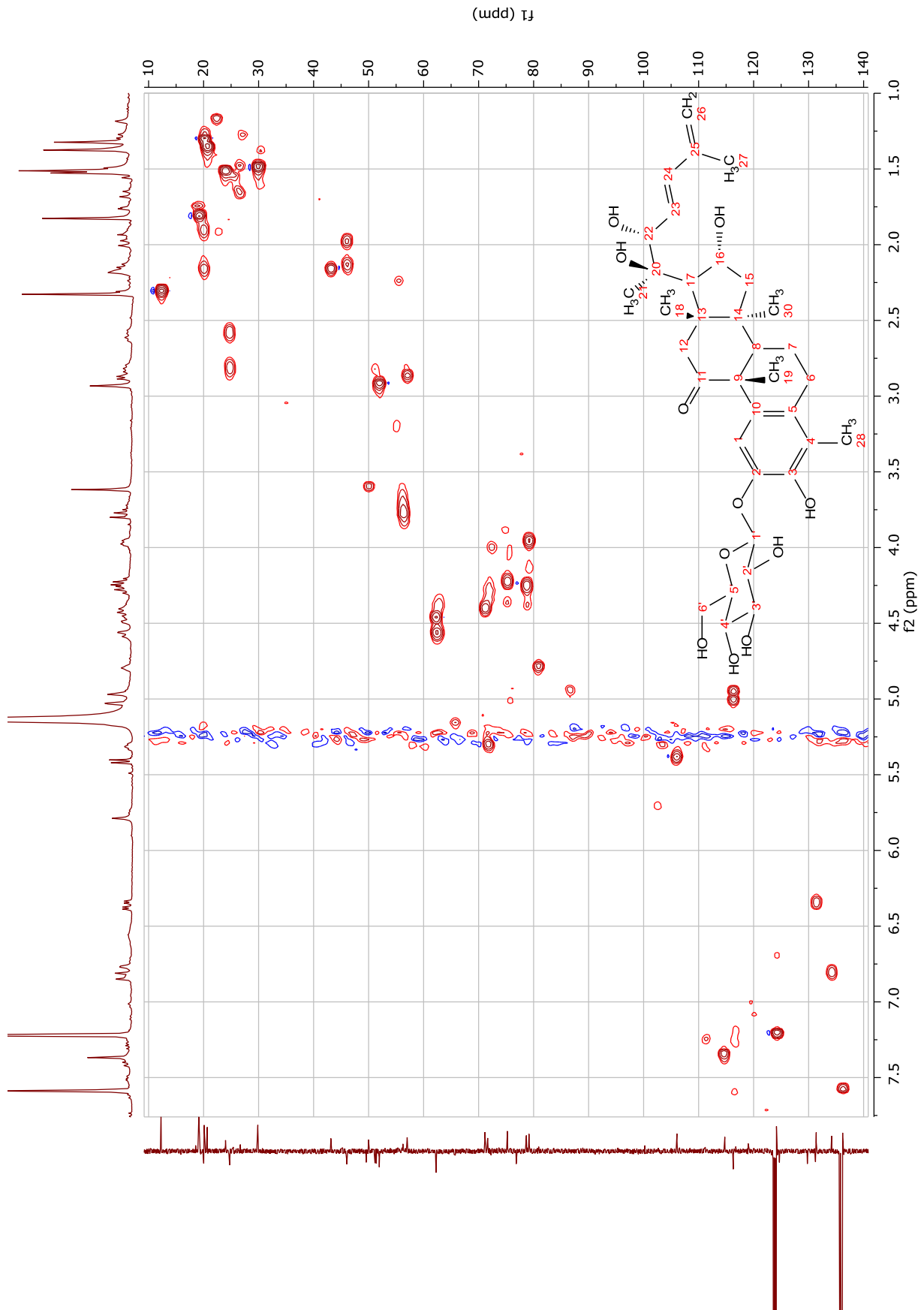


Figura 65. Espectro de HSQC de **Sb15** (500 MHz, C₅D₅N).

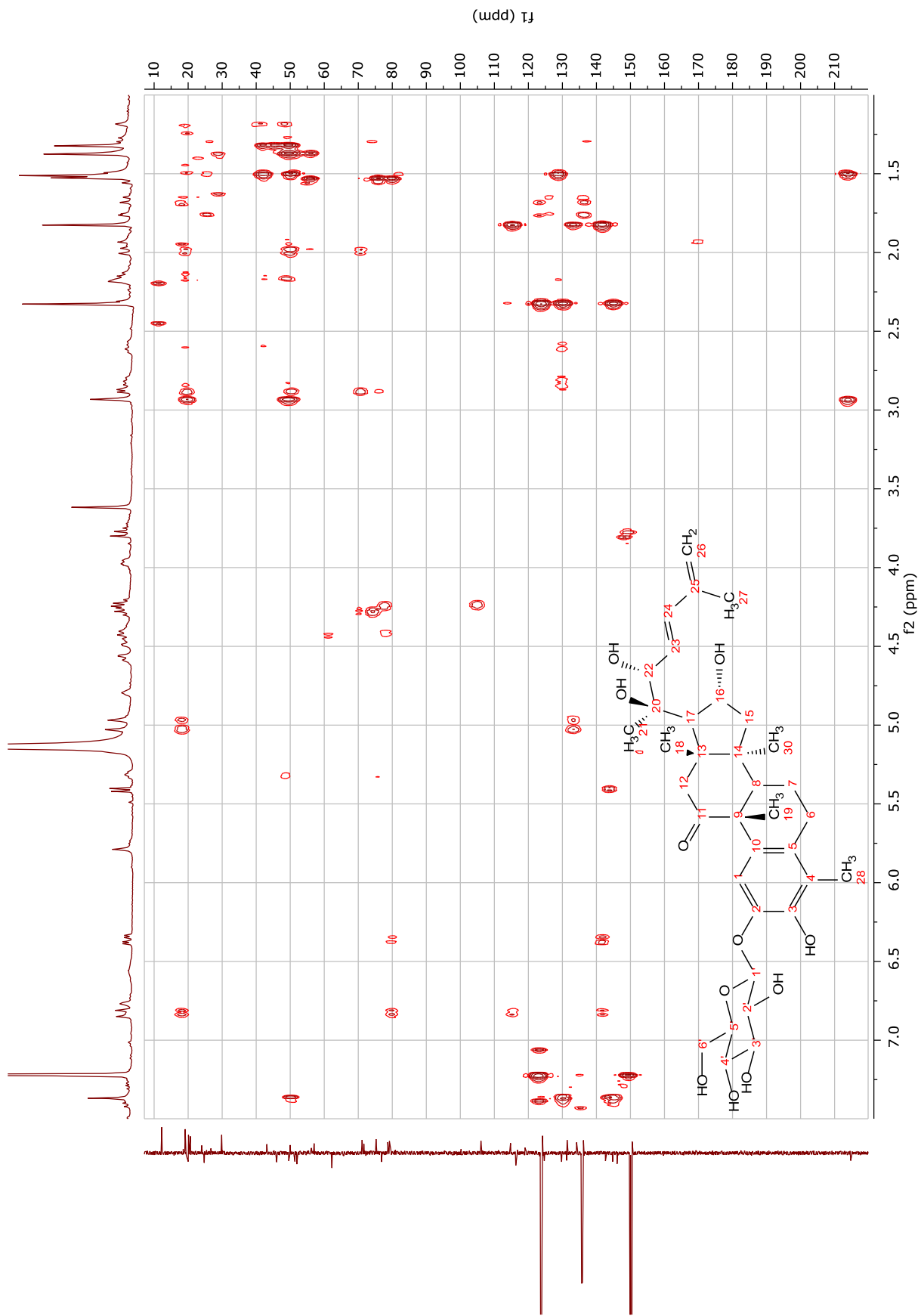


Figura 66. Espectro de HMBC de **Sb15** (500 MHz, C₅D₅N).

180319_CAC_173neg5 #3048-3063 RT: 7,59-7,62 AV: 16 NL: 1,86E6
T: FTMS - p ESI Full ms [110,00-2000,00]

463,1248
 $C_{22}H_{23}O_{11}$
2,7486 ppm

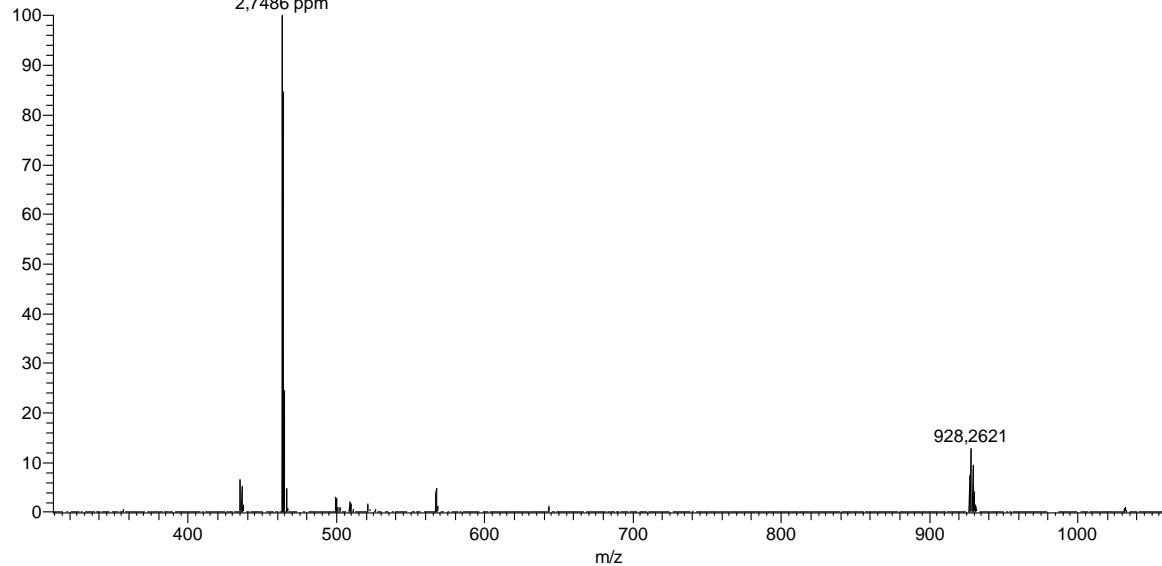


Figura 67. Espectro de massas de alta resolução de **Sb16** (ESI, modo negativo).

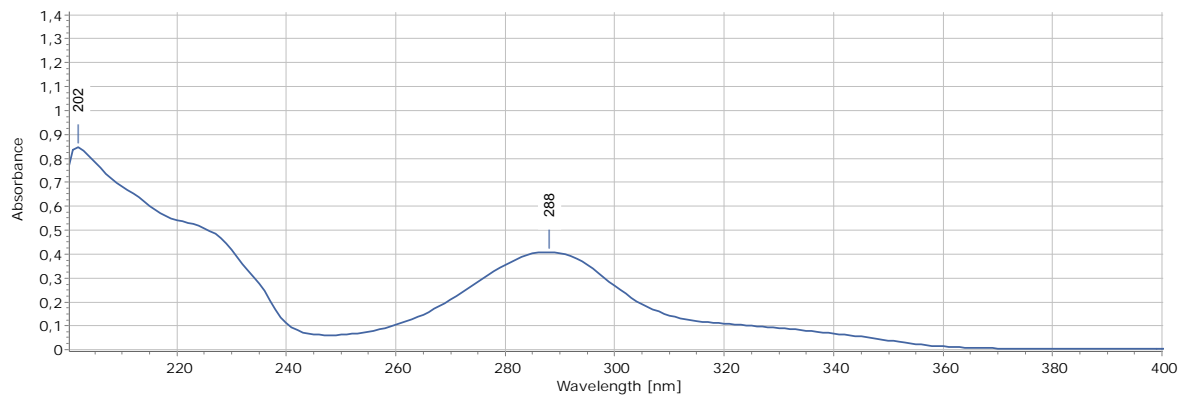


Figura 68. Espectro de ultravioleta de **Sb16** (metanol).

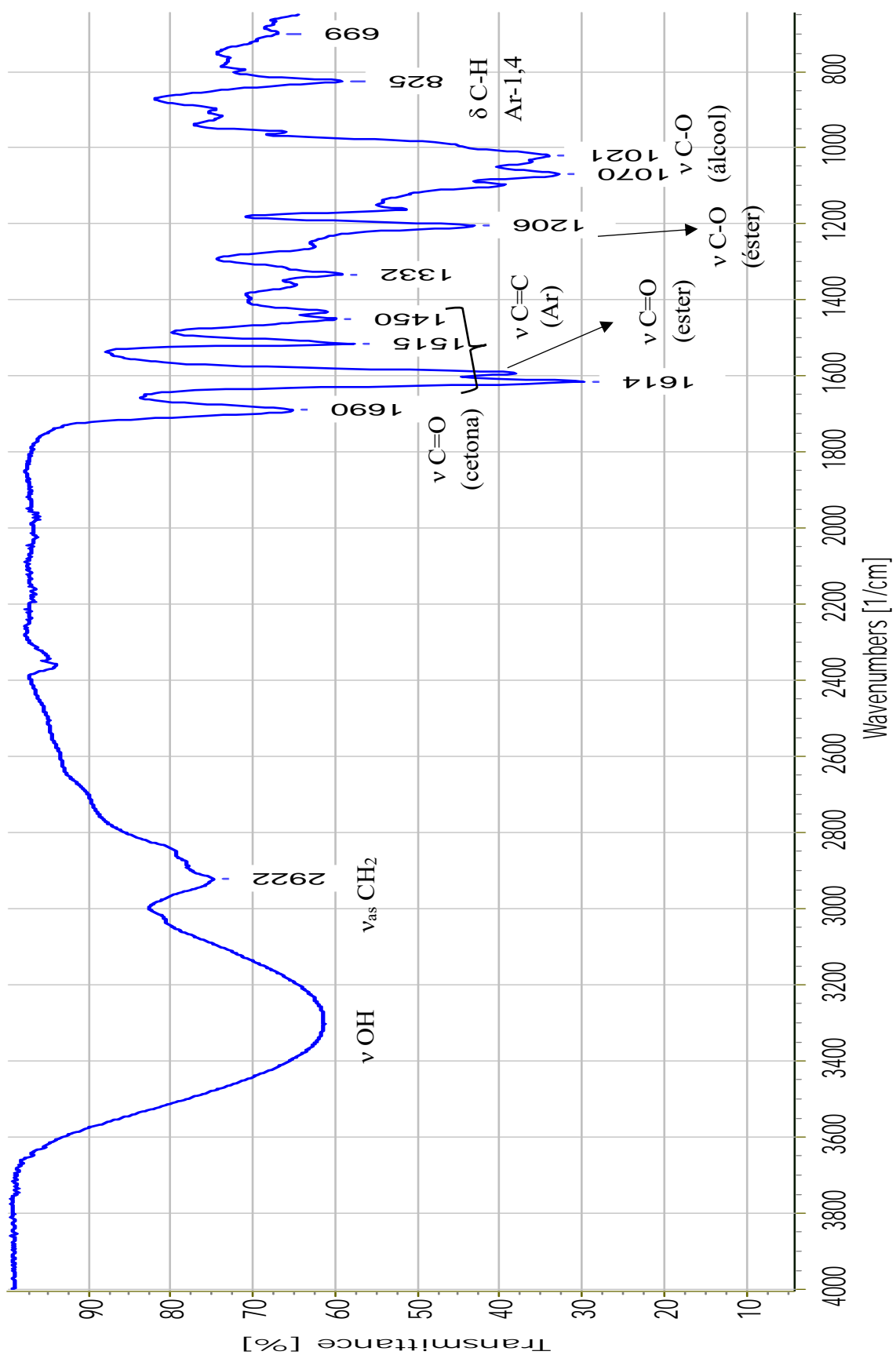


Figura 69. Espectro de Infravermelho de Sb16 (FTIR-ATR).

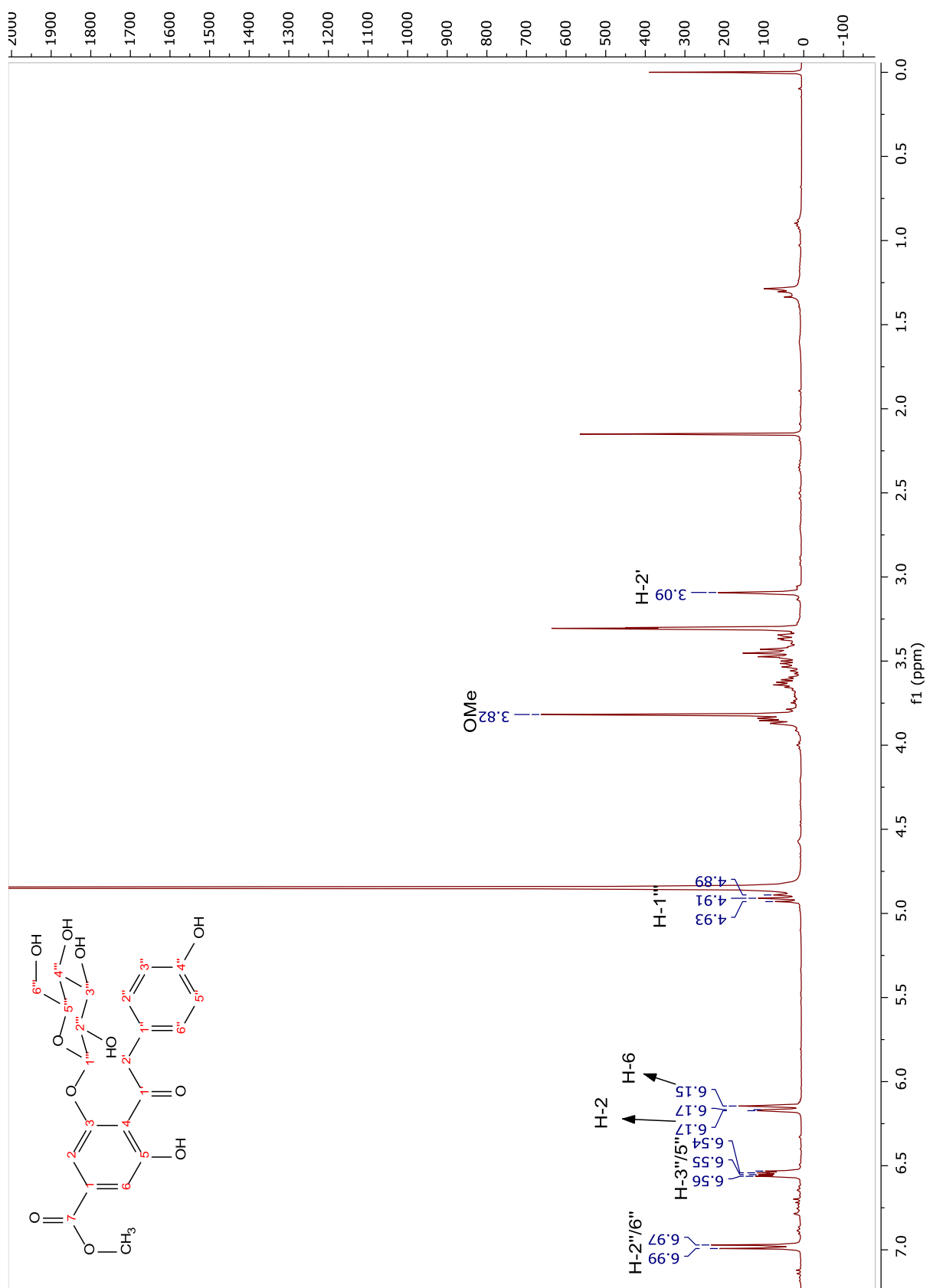


Figura 70. Espectro de RMN ^1H de Sb16 (400 MHz, CD_3OD).

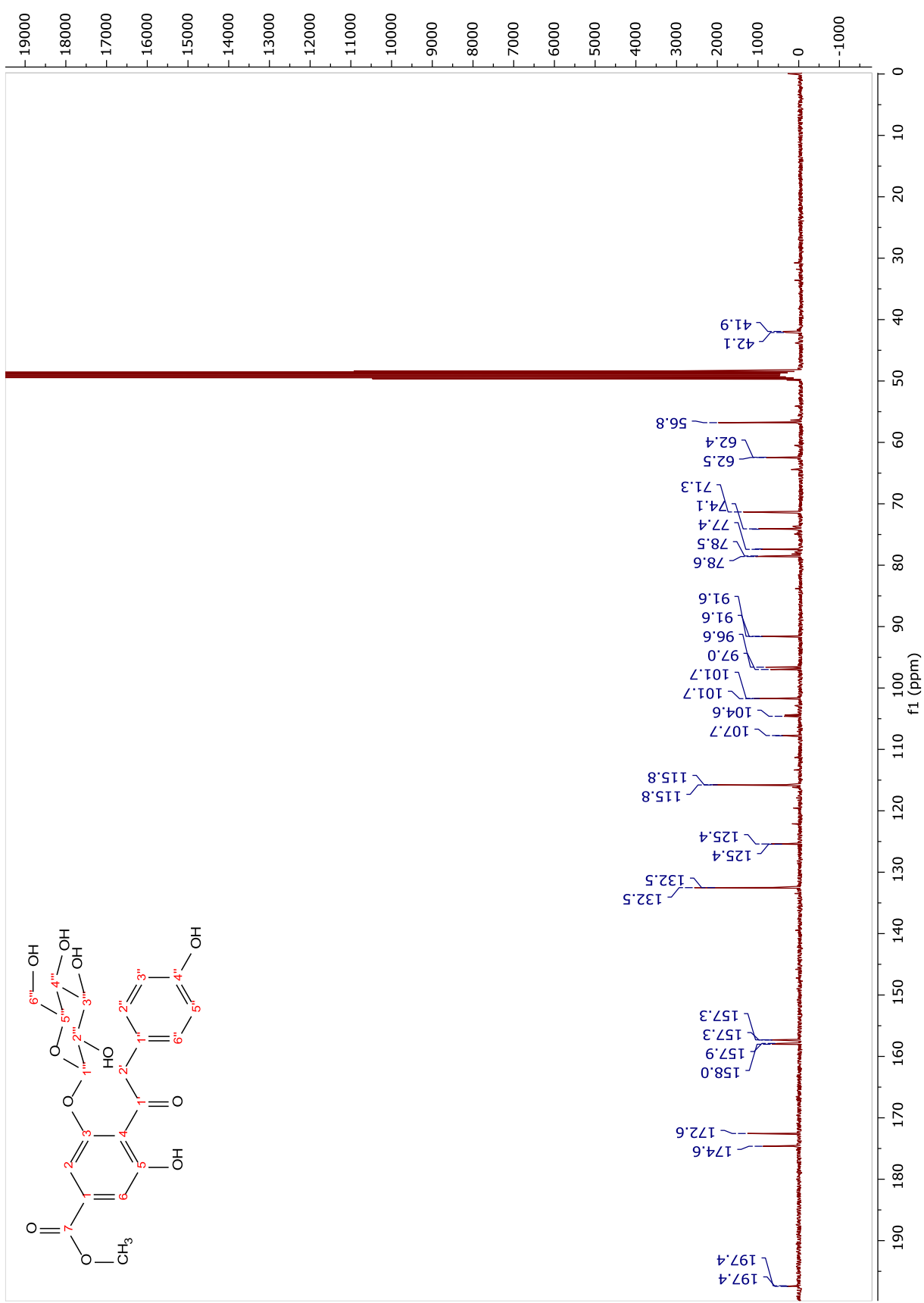


Figura 71. Espectro de RMN ^{13}C de Sb16 (100 MHz, CD_3OD).

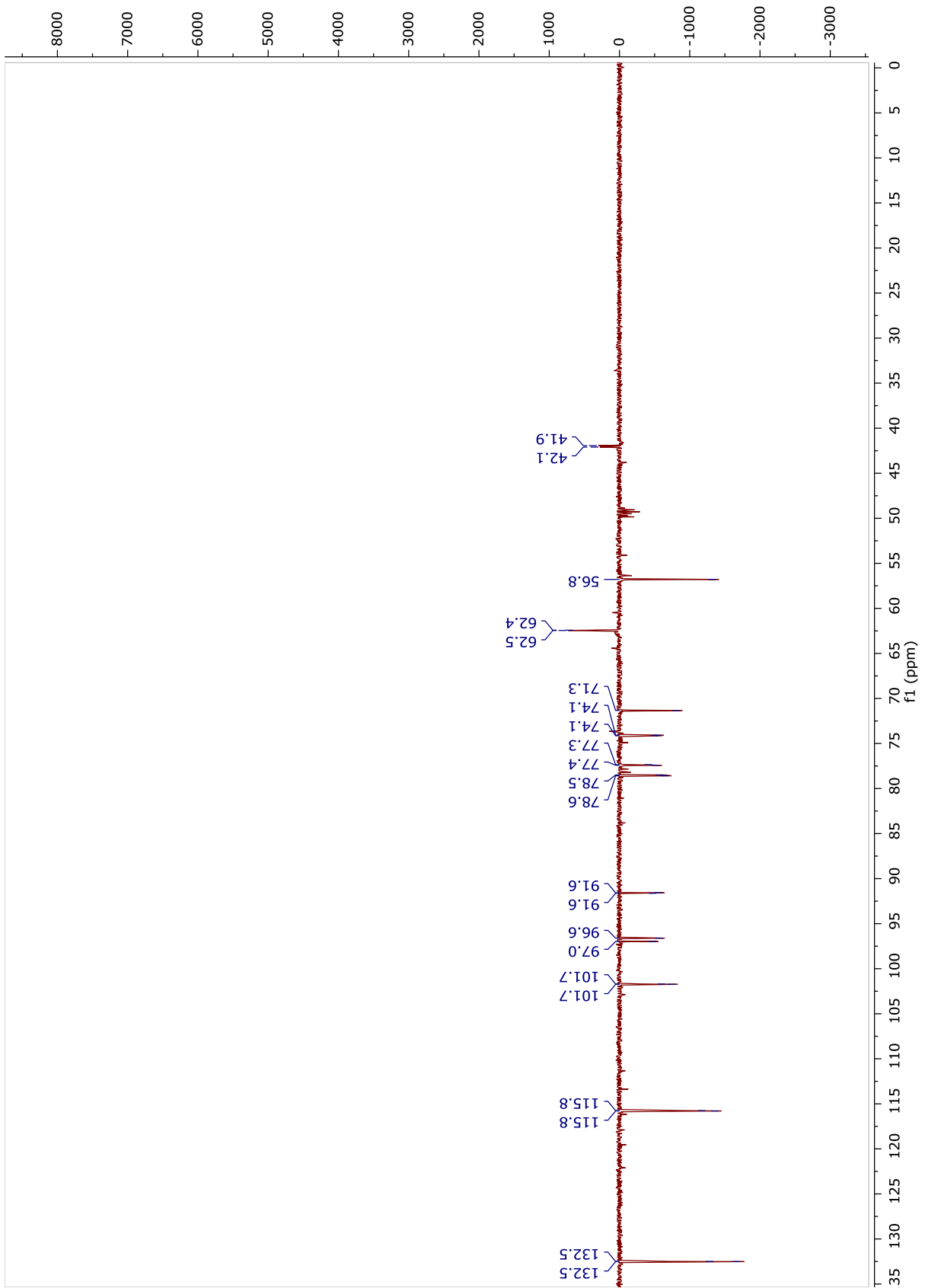


Figura 72. Espectro de DEPT-135 de **Sb16** (100 MHz, CD₃OD).

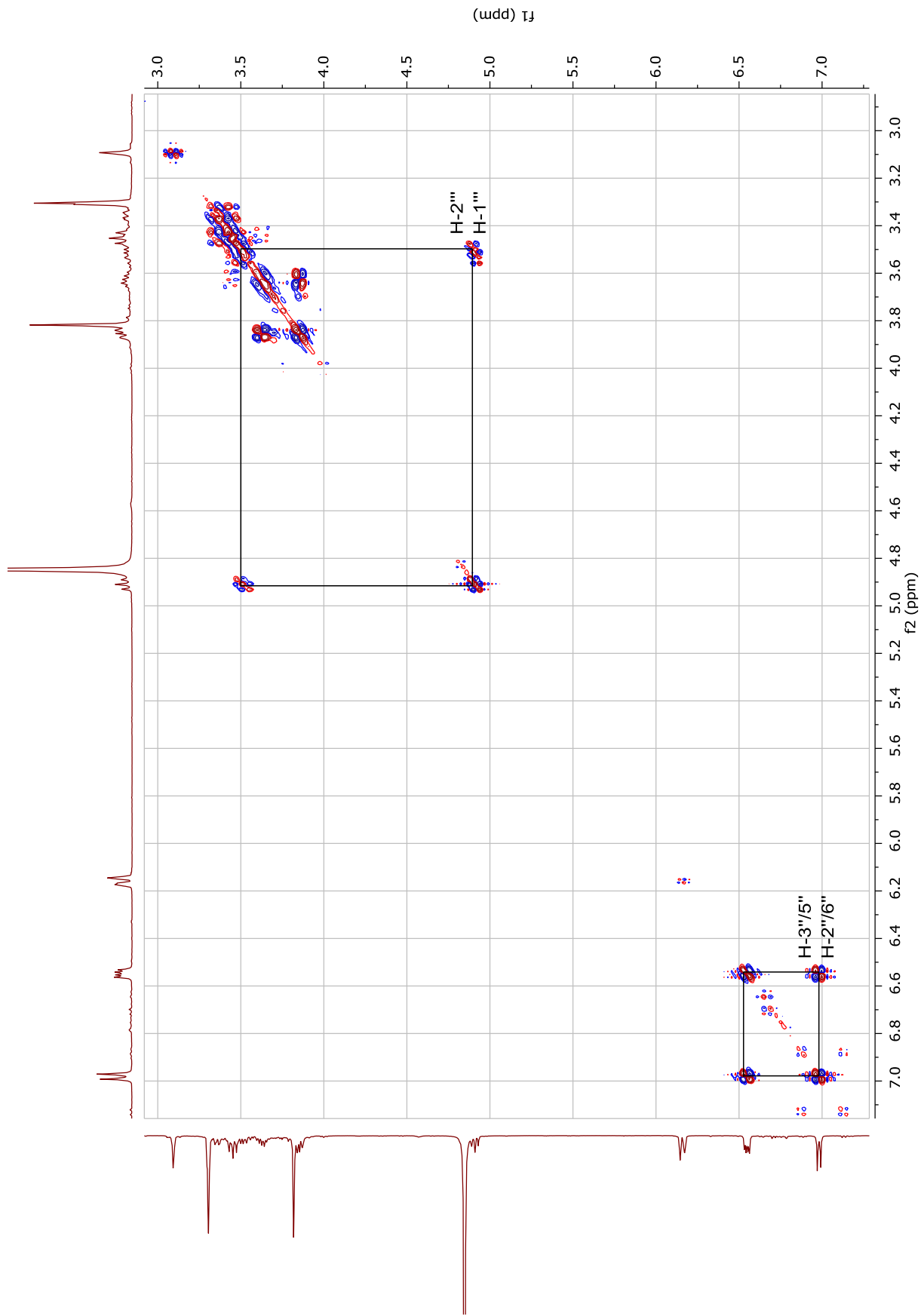


Figura 73. Espectro de COSY de **Sb16** (400 MHz, C_5D_5N).

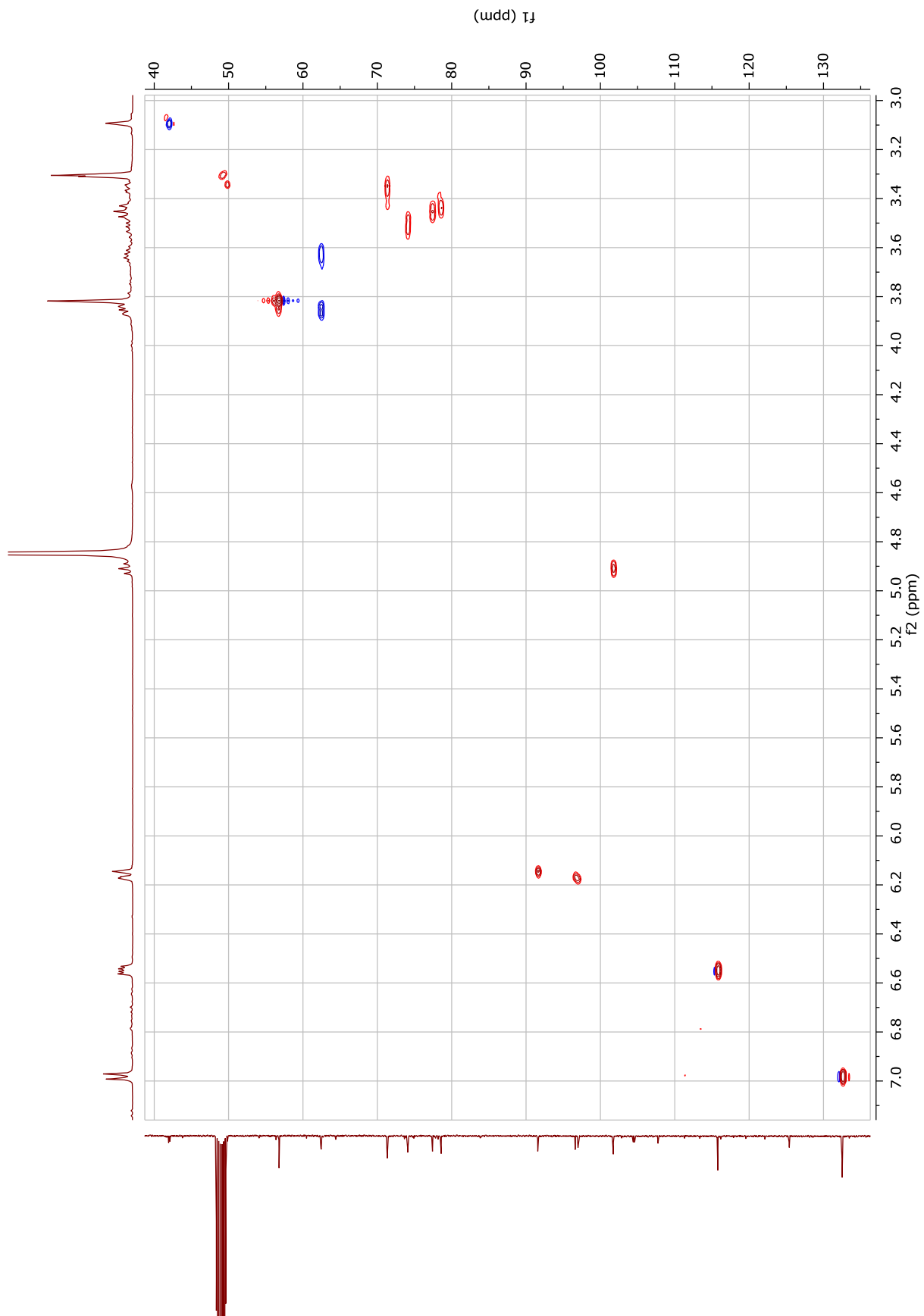


Figura 74. Espectro de HSQC de **Sb16** (400 MHz, CD_3OD).

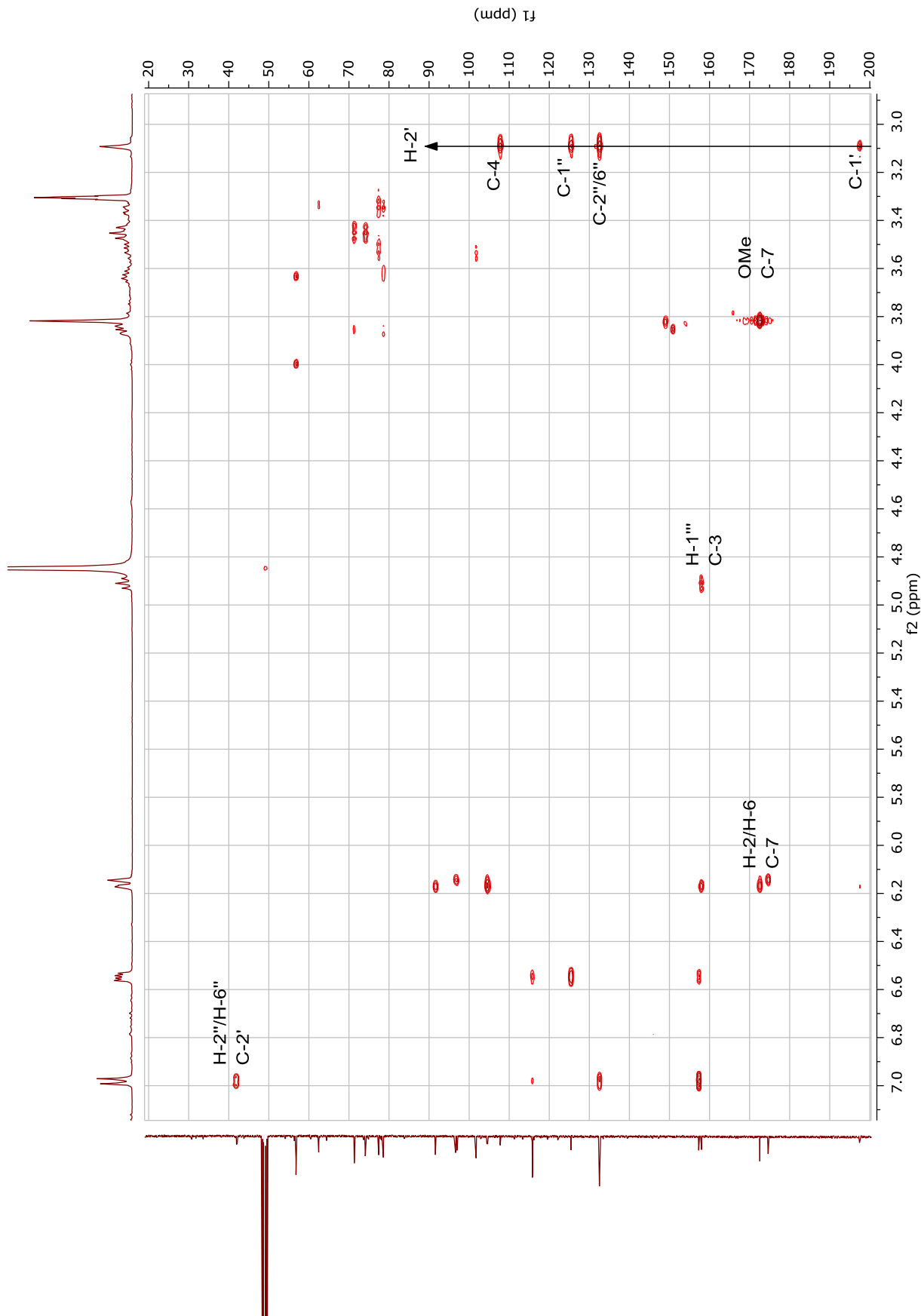


Figura 75. Espectro de HMBC de **Sb16** (400 MHz, CD₃OD).

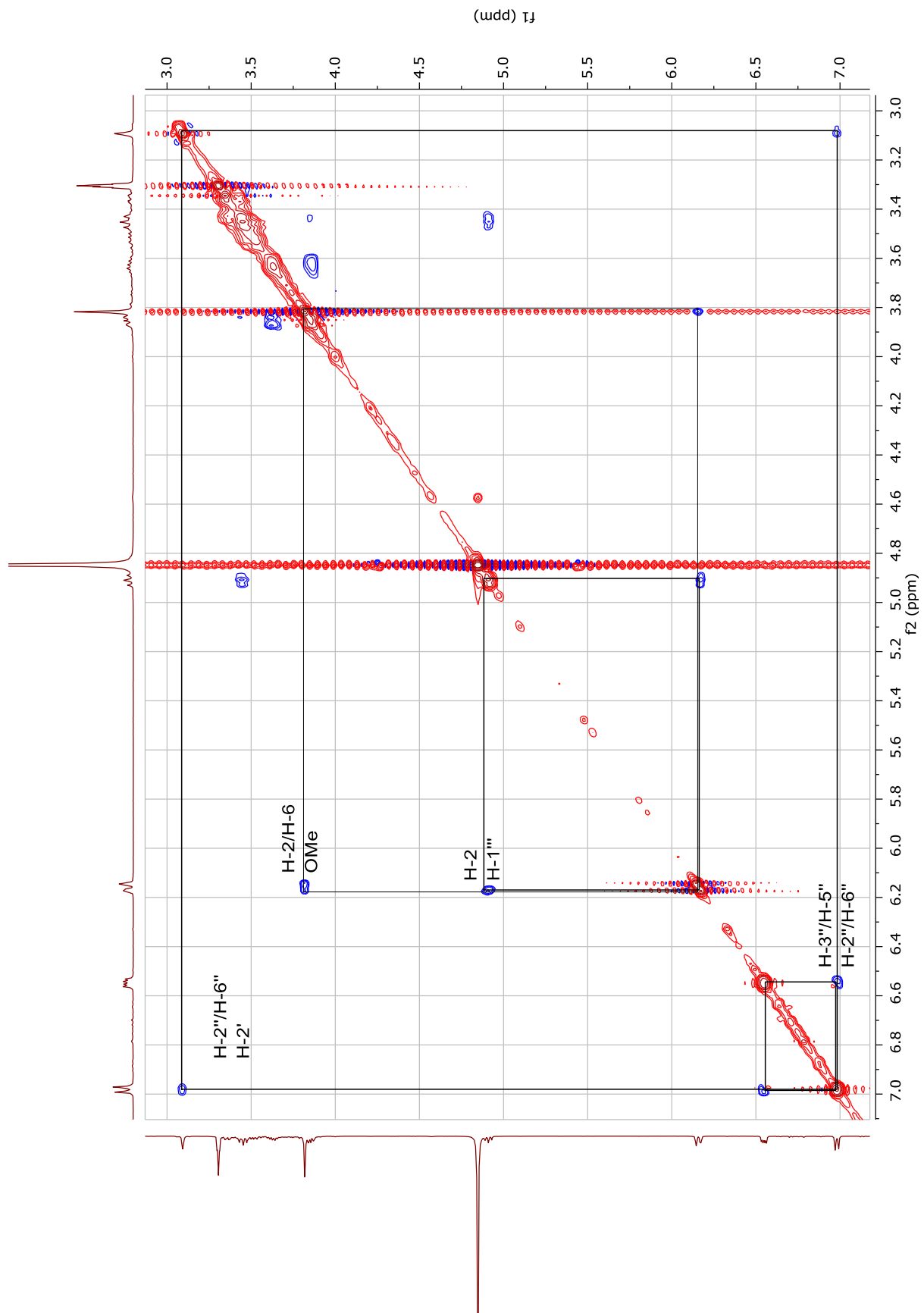


Figura 76. Espectro de NOESY de **Sb16** (400 MHz, CD_3OD).

+MS, 0.1-0.7min #8-41

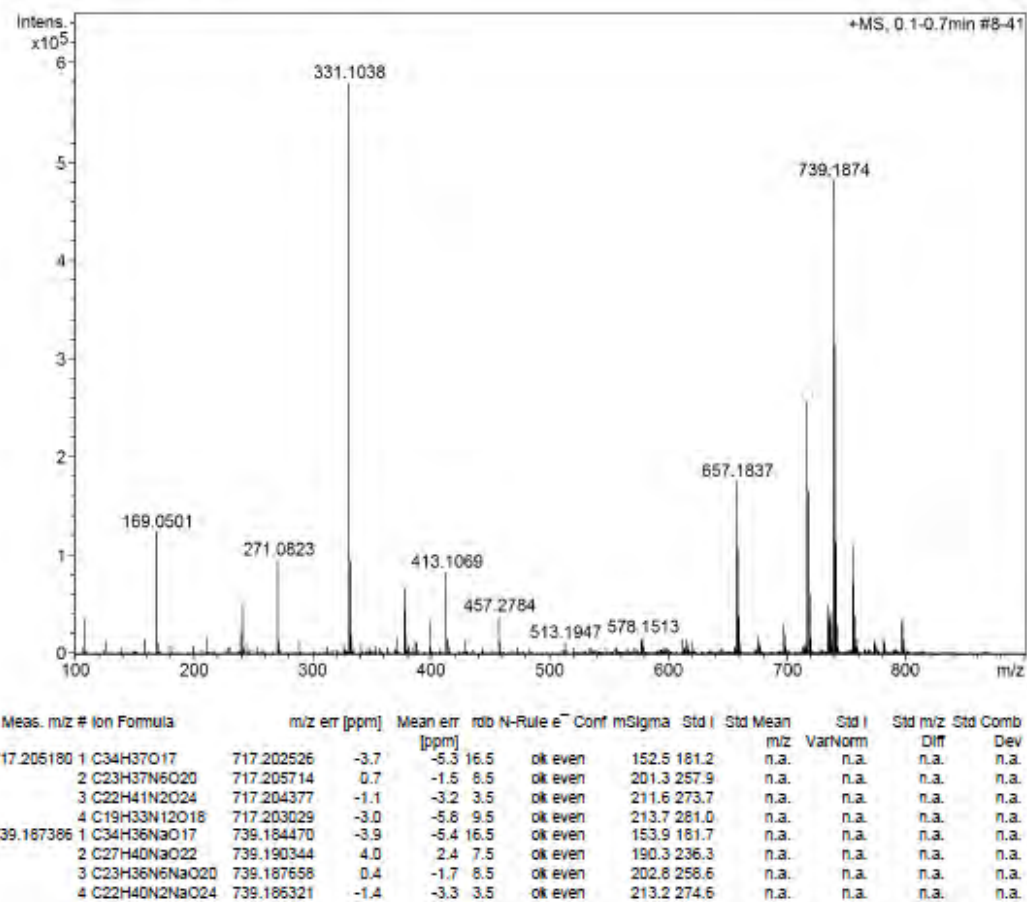
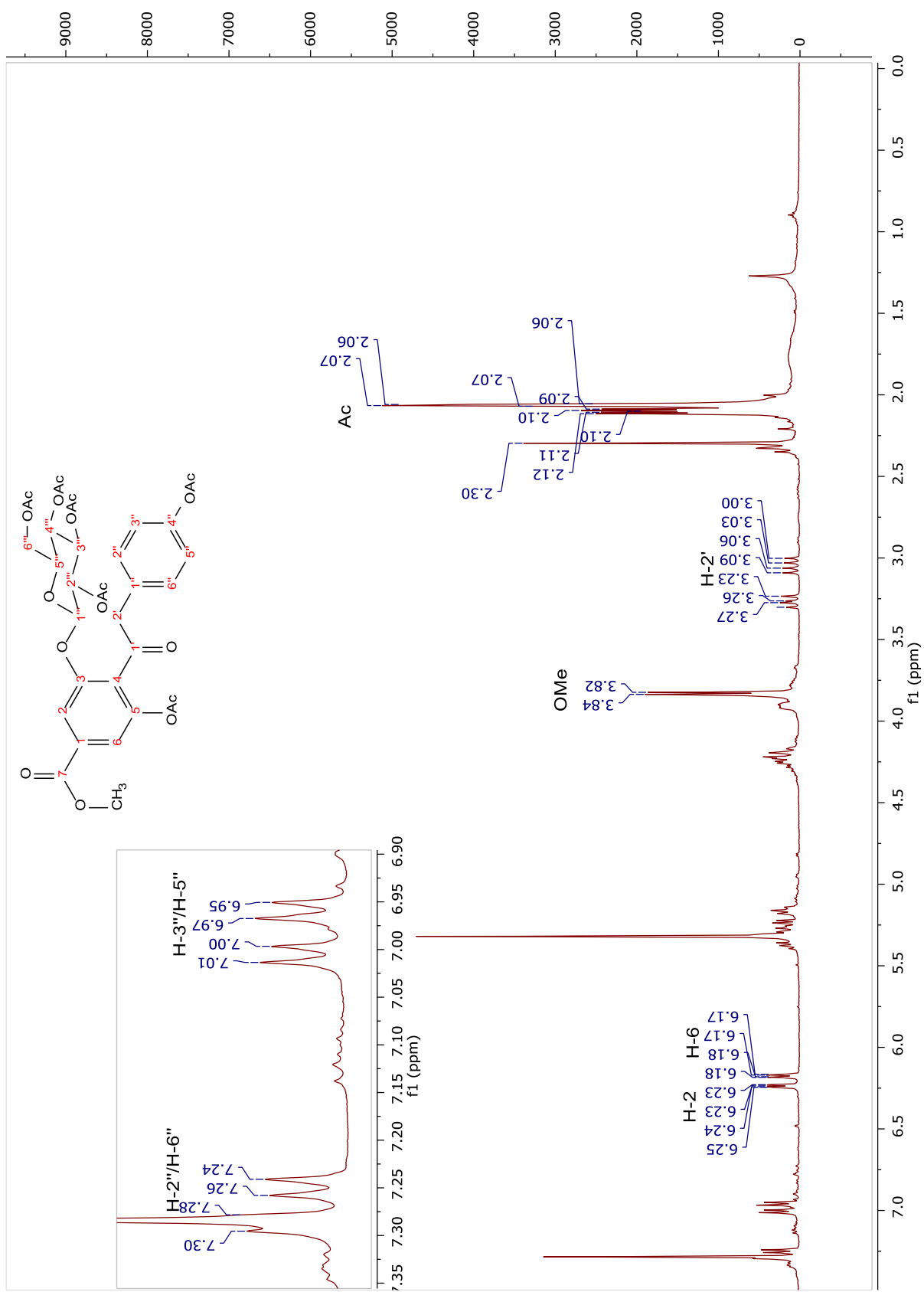


Figura 77. Espectro de massas de alta resolução do derivado acetilado de **Sb16** (ESI, modo positivo).



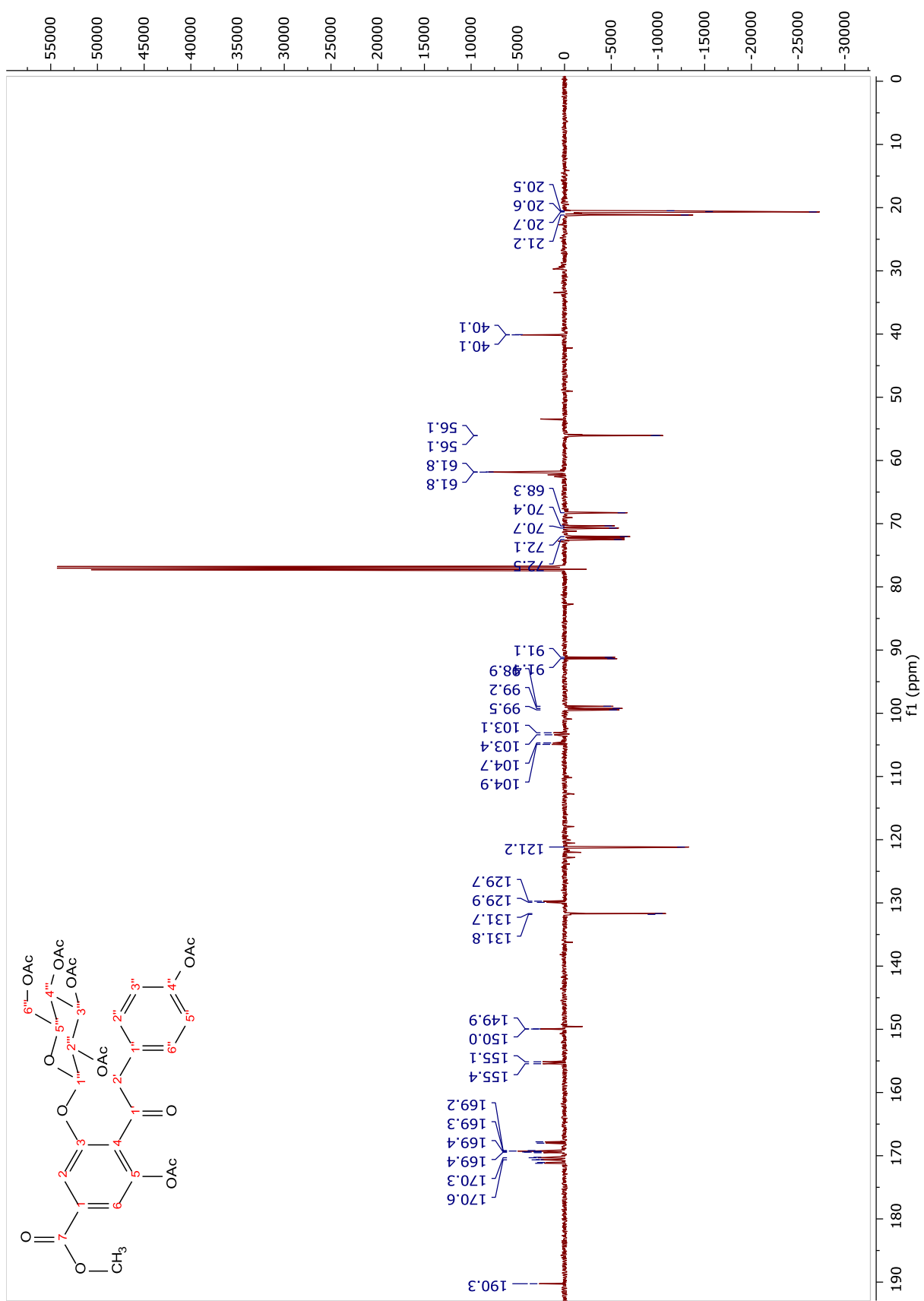


Figura 79. Espectro de DEPTQ do derivado acetilado de **Sb16** (125 MHz, CDCl_3).

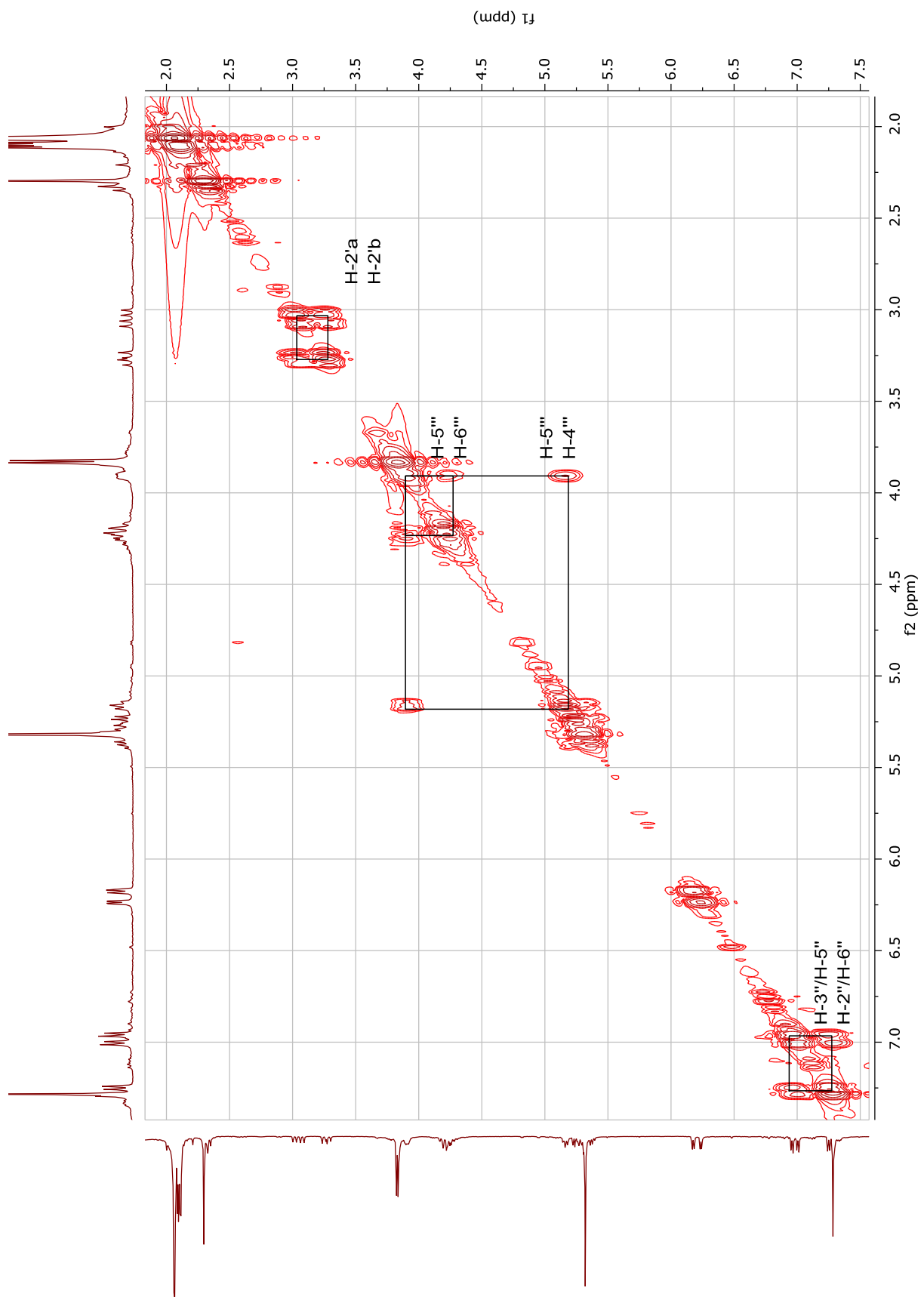


Figura 80. Espectro de COSY do derivado acetilado de **Sb16** (500 MHz, CDCl_3).

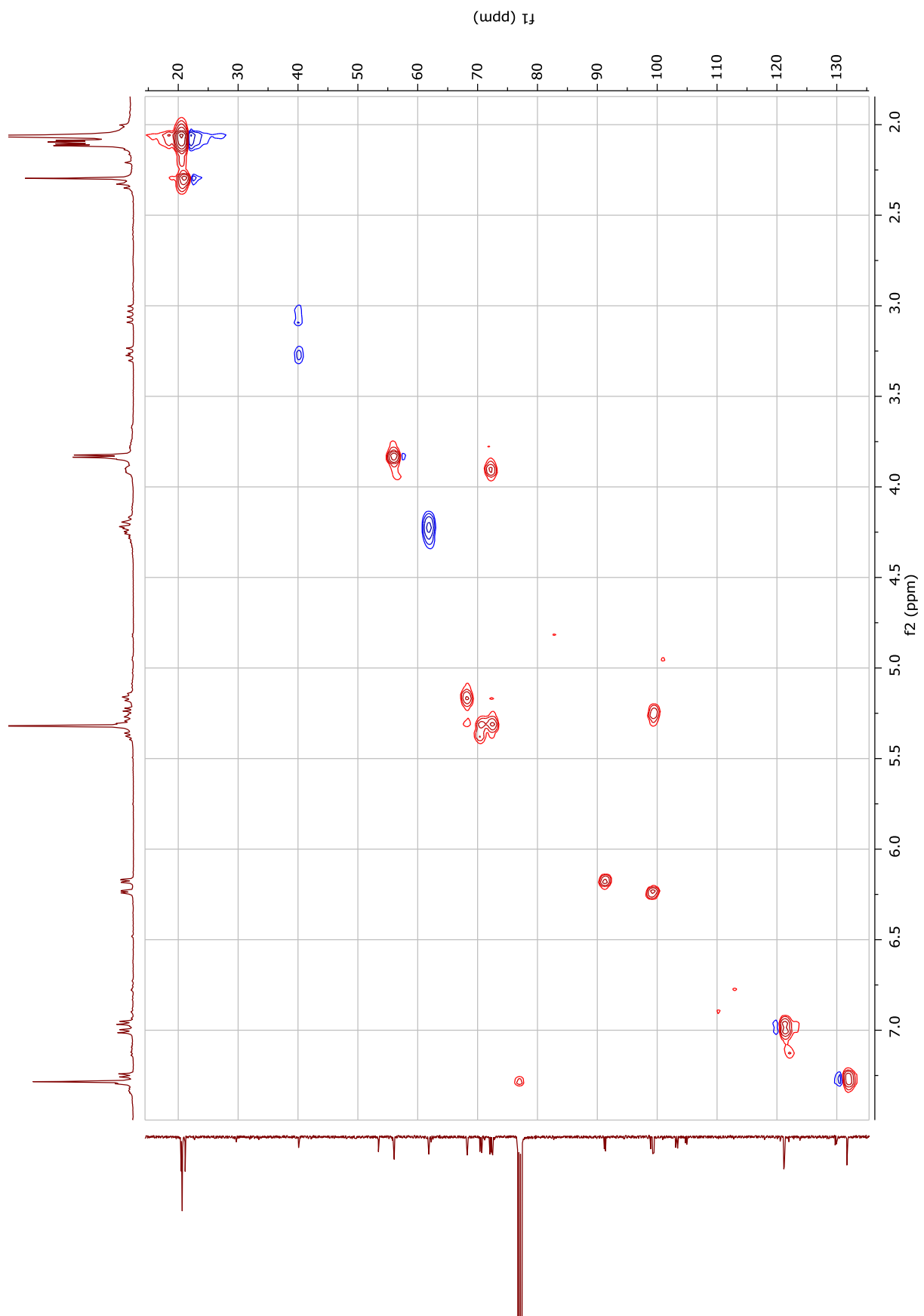


Figura 81. Espectro de HSQC do derivado acetilado de **Sb16** (500 MHz, CDCl_3).

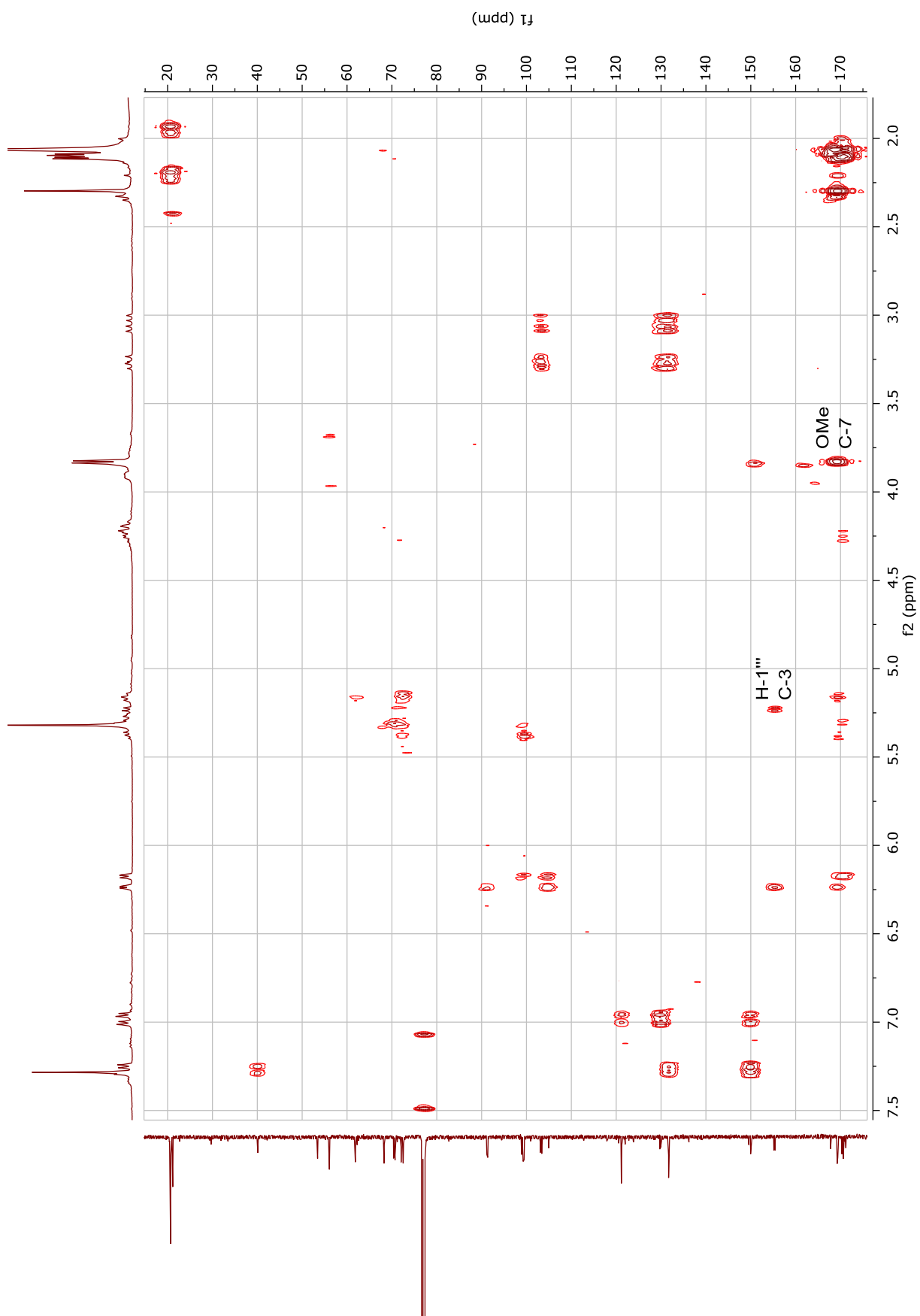


Figura 82. Espectro de HMBC do derivado acetilado de **Sb16** (500 MHz, CDCl_3).

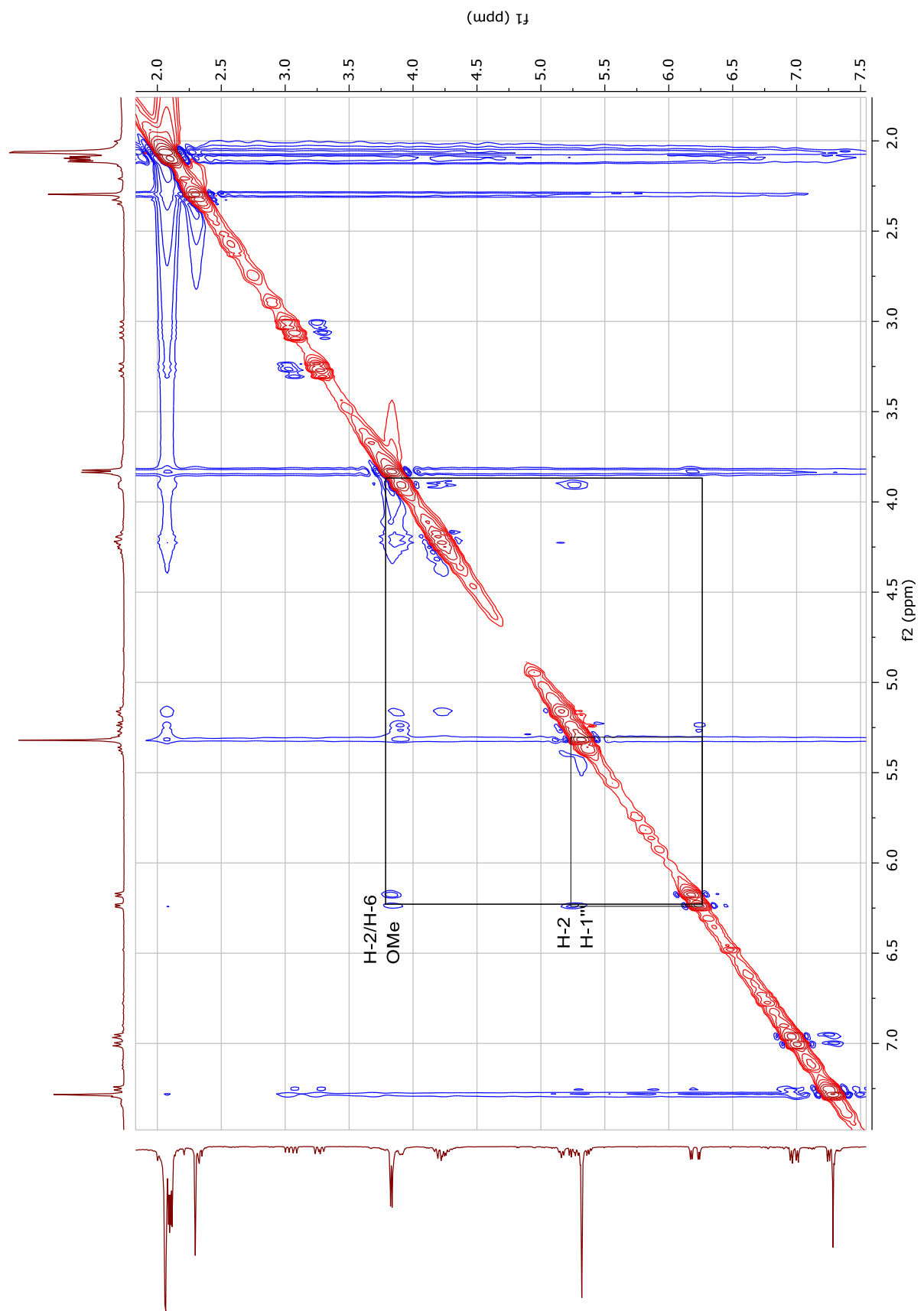


Figura 83. Espectro de ROESY do derivado acetilado de **Sb16** (500 MHz, CDCl_3).

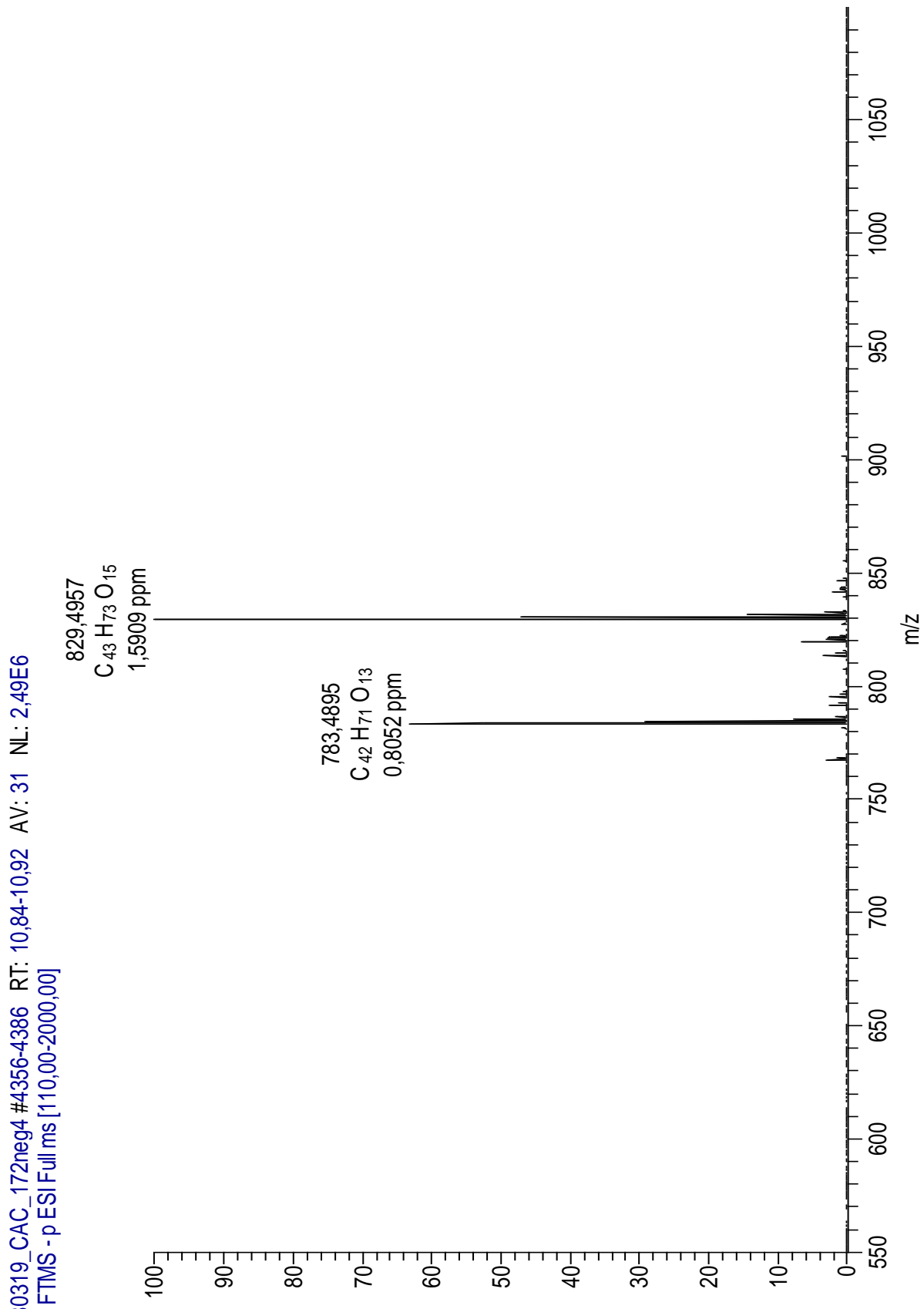


Figura 84. Espectro de massas de alta resolução de **Sb17** (ESI, modo negativo).

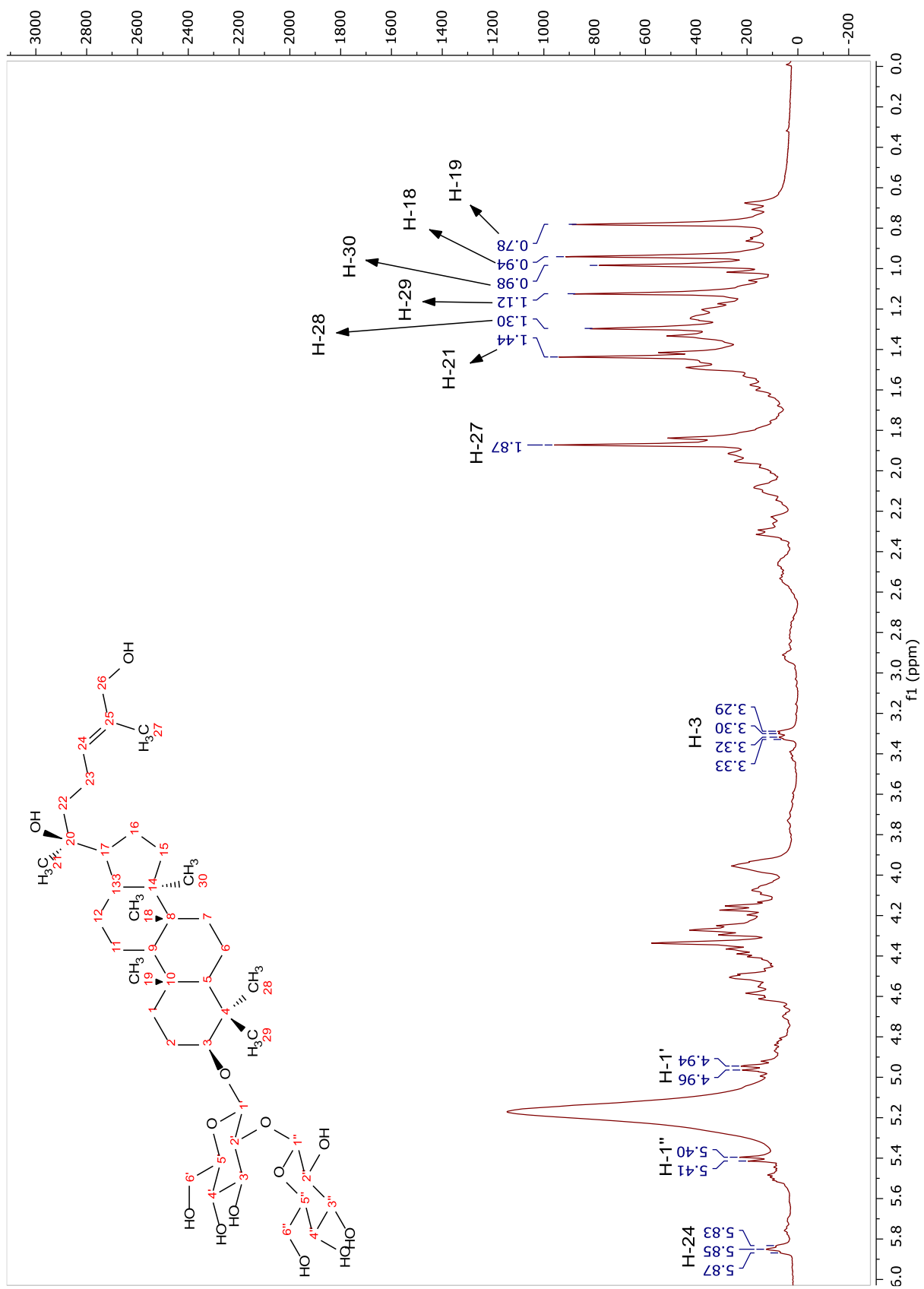


Figura 85. Espectro de RMN ^1H de Sb17 (400 MHz, $\text{C}_5\text{D}_5\text{N}$).

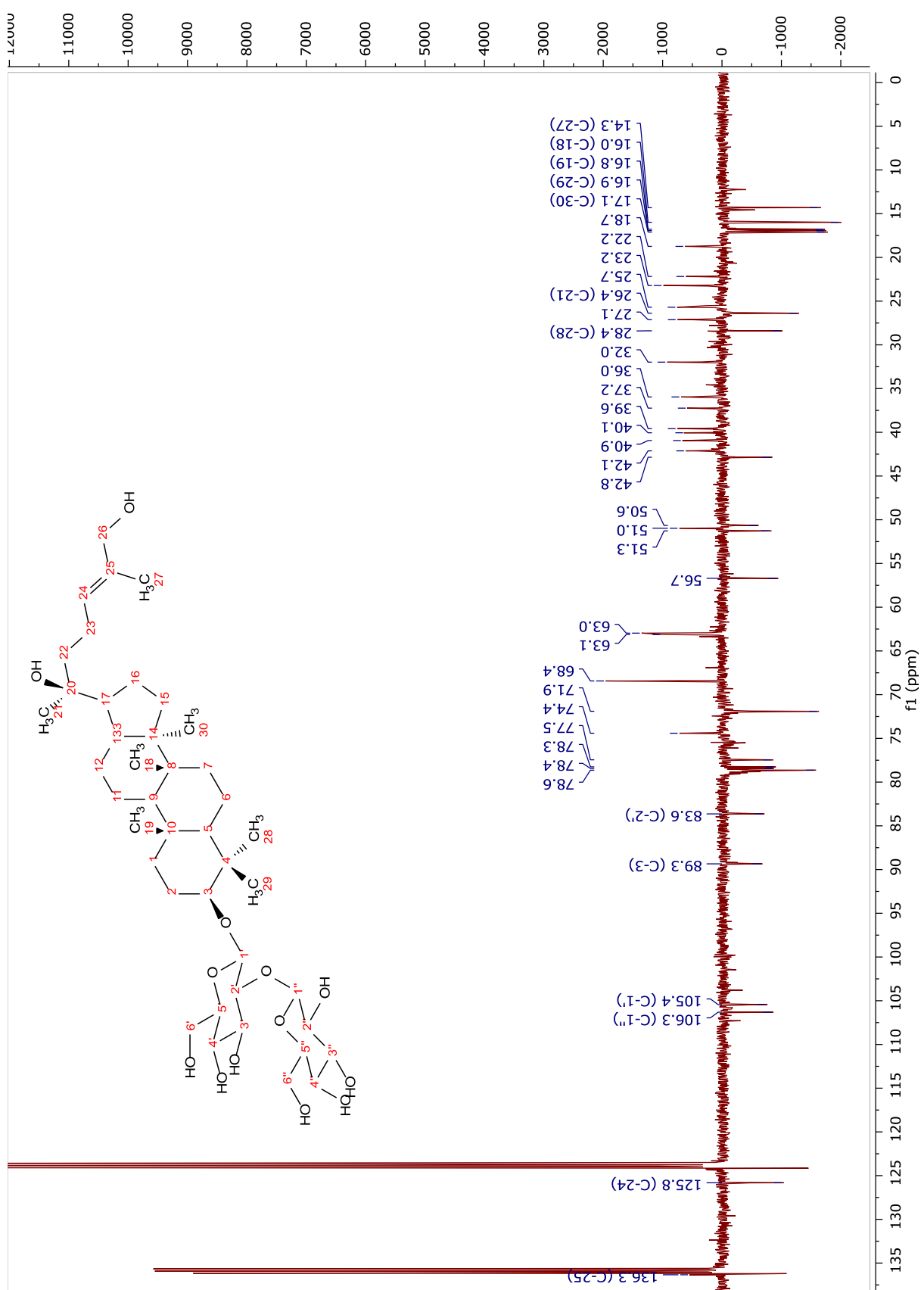


Figura 86. Espectro de DEPTQ de Sb17 (100 MHz, $\text{C}_5\text{D}_5\text{N}$).

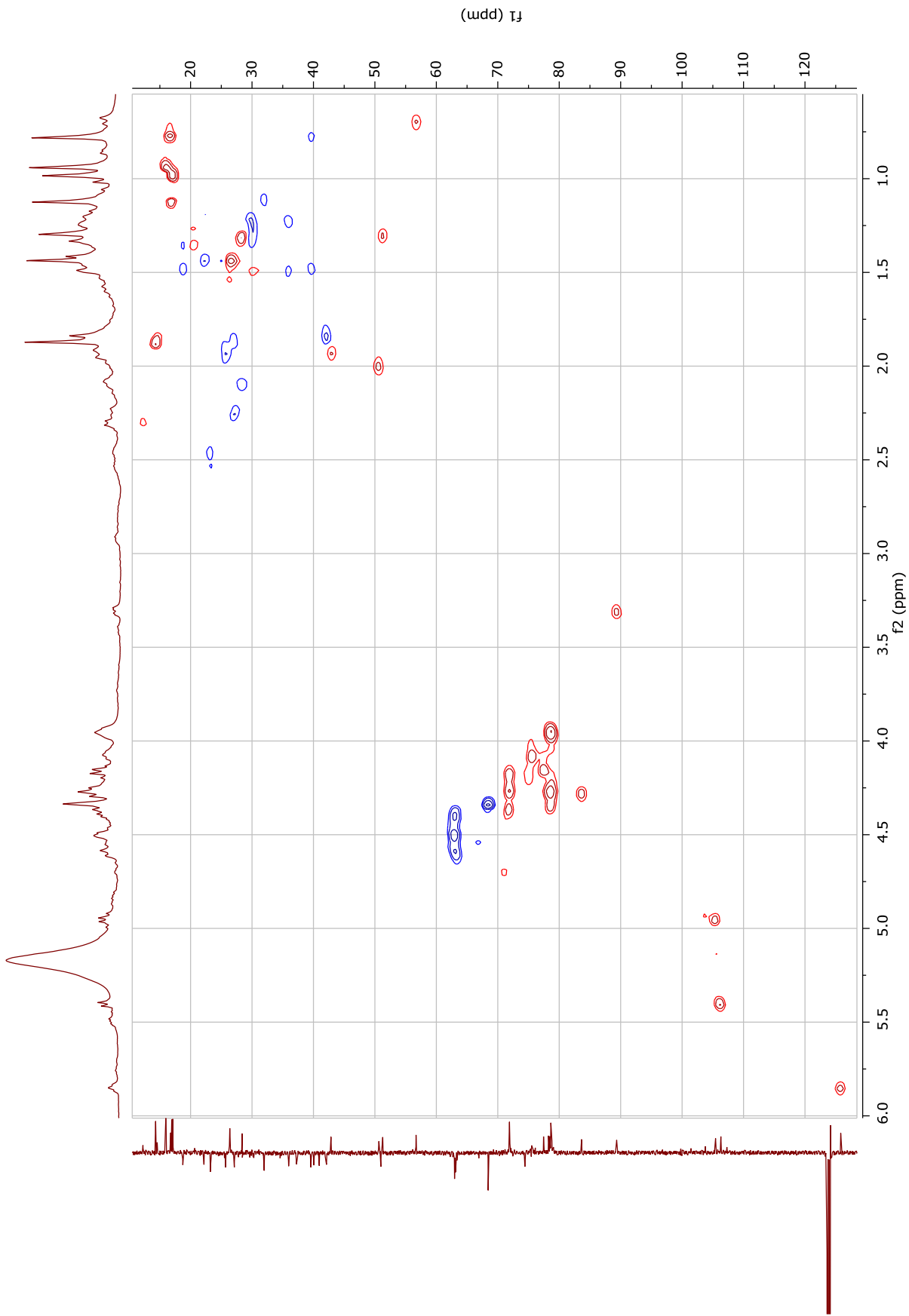


Figura 87. Espectro de HSQC de **Sb17** (400 MHz, $\text{C}_5\text{D}_5\text{N}$).

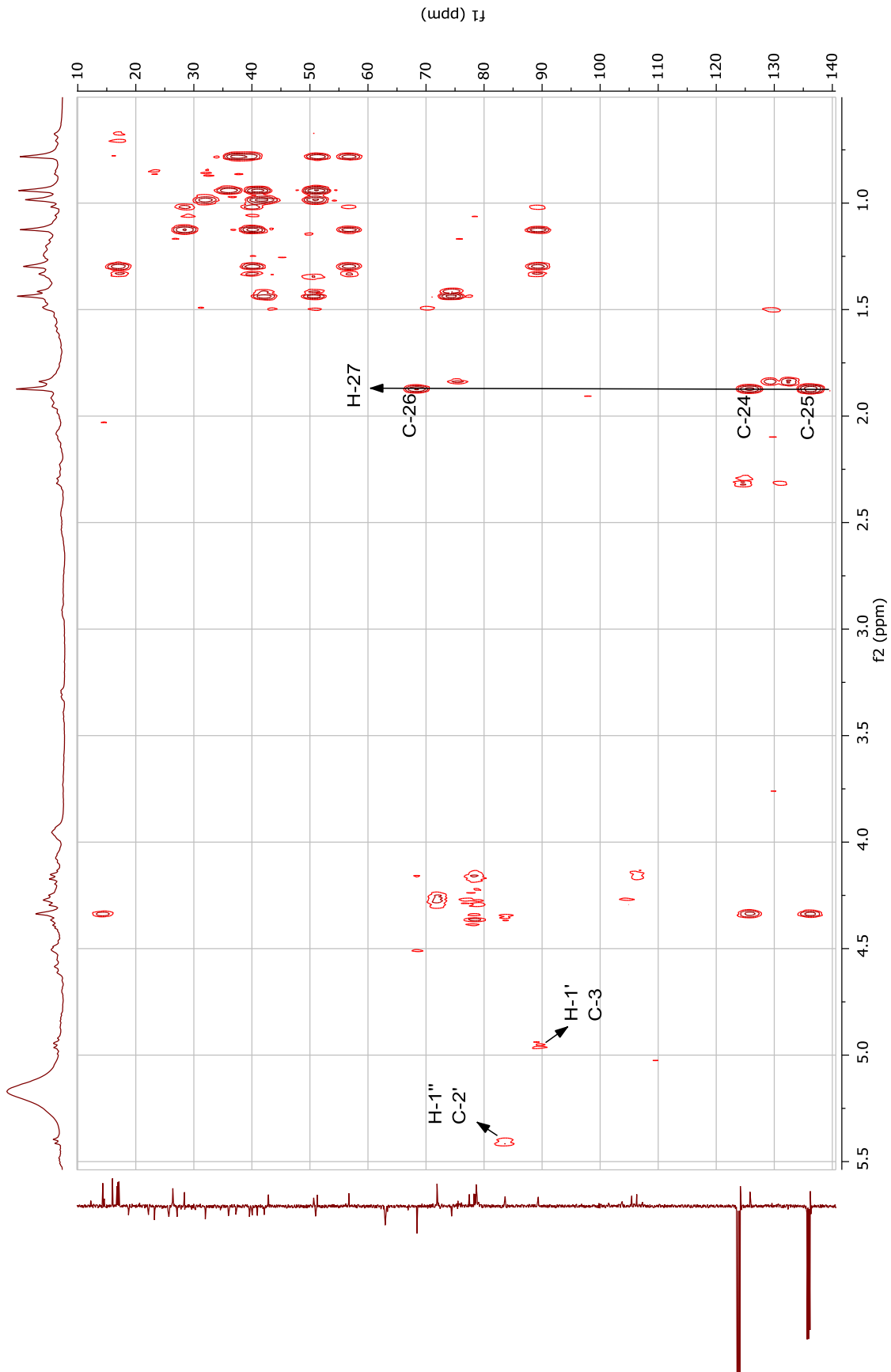


Figura 88. Espectro de HMBC de **Sb17** (400 MHz, $\text{C}_5\text{D}_5\text{N}$).

CAC140_pos #1 RT: 0,00 AV: 1 NL: 3,25E7
T: FTMS + p ESI[Full ms [500,00-1500,00]

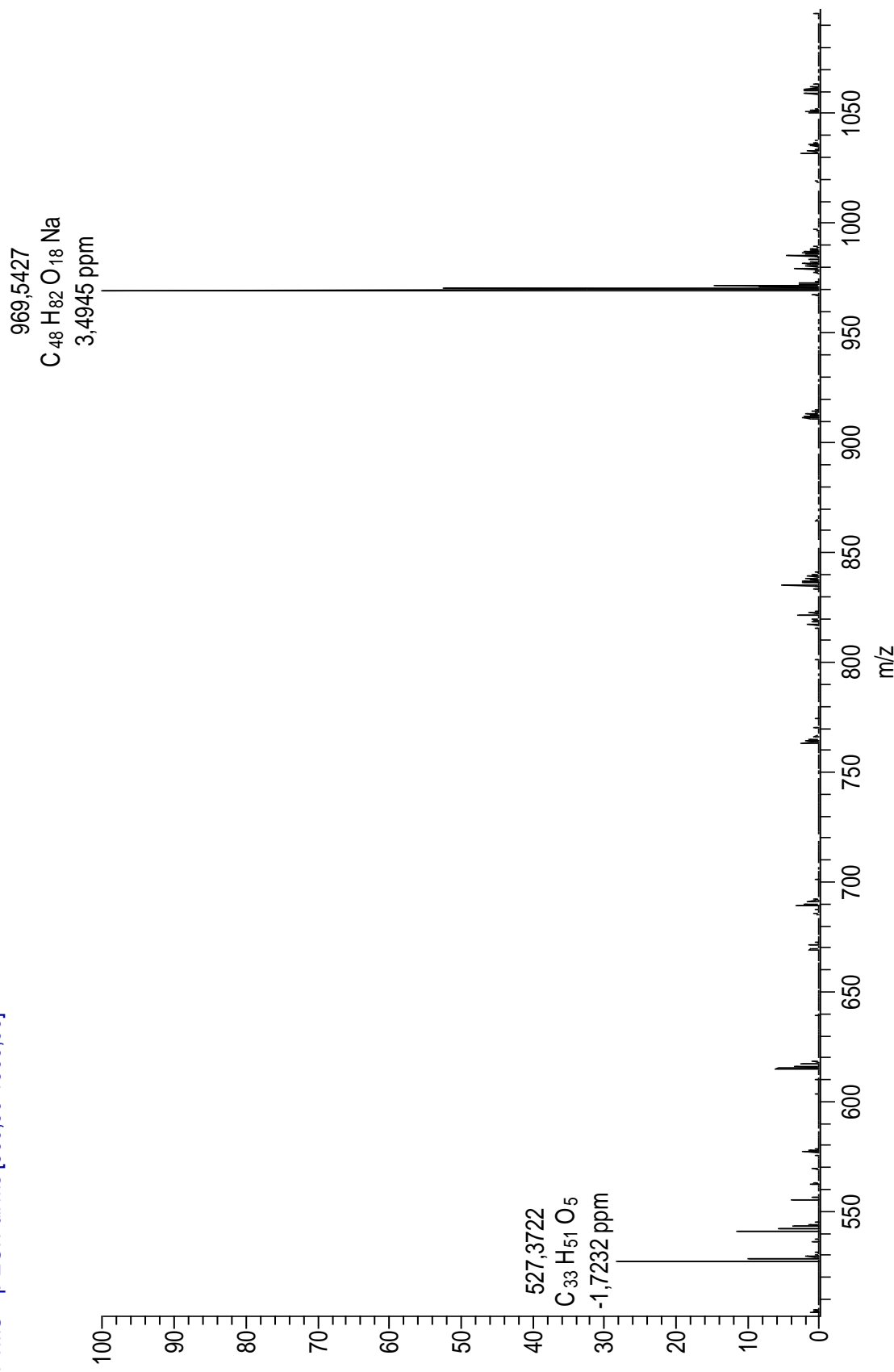


Figura 89. Espectro de massas de alta resolução de **Sb18** (ESI, modo positivo).

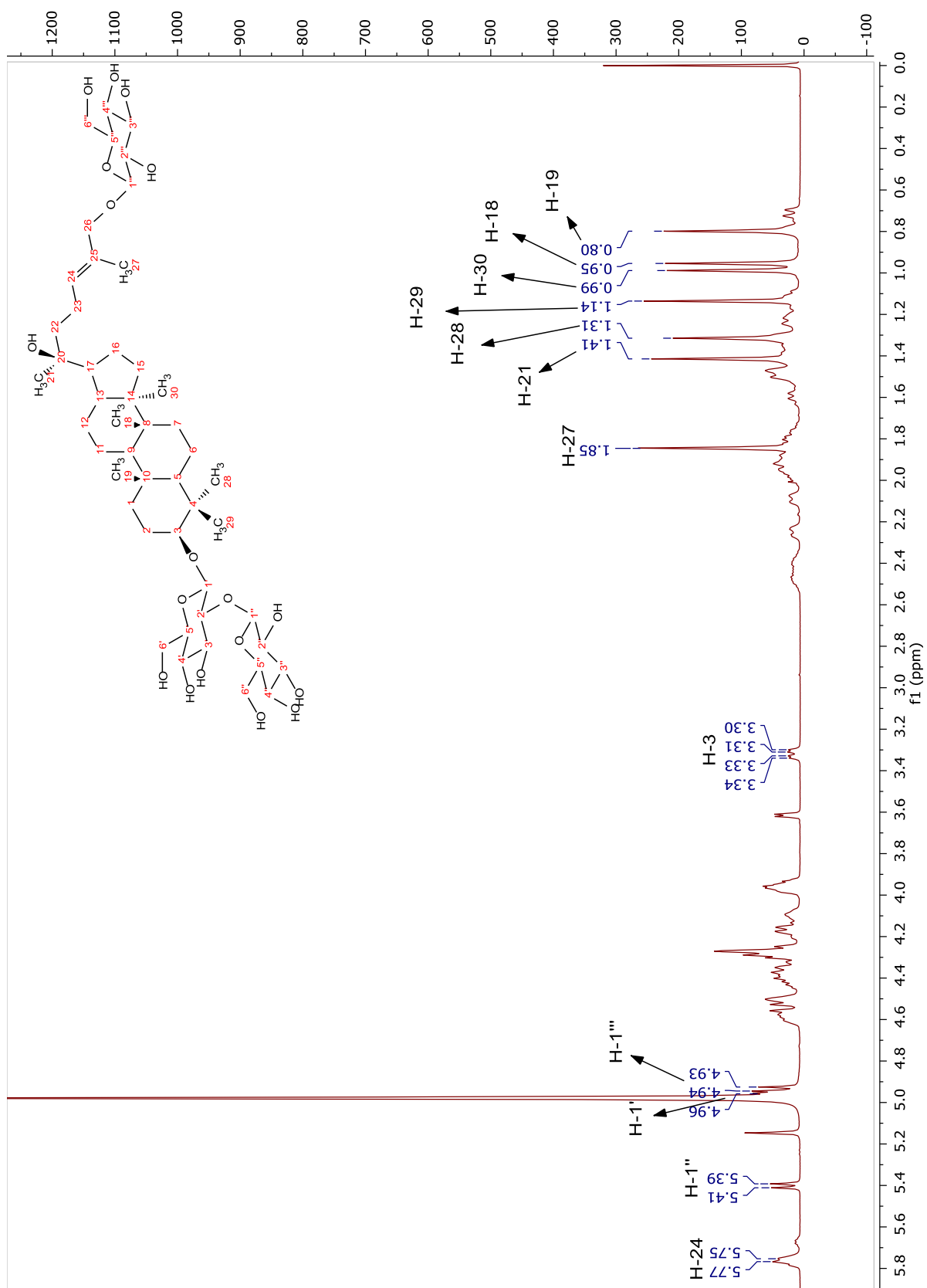


Figura 90. Espectro de RMN ^1H de **Sb18** (400 MHz, $\text{C}_5\text{D}_5\text{N}$).

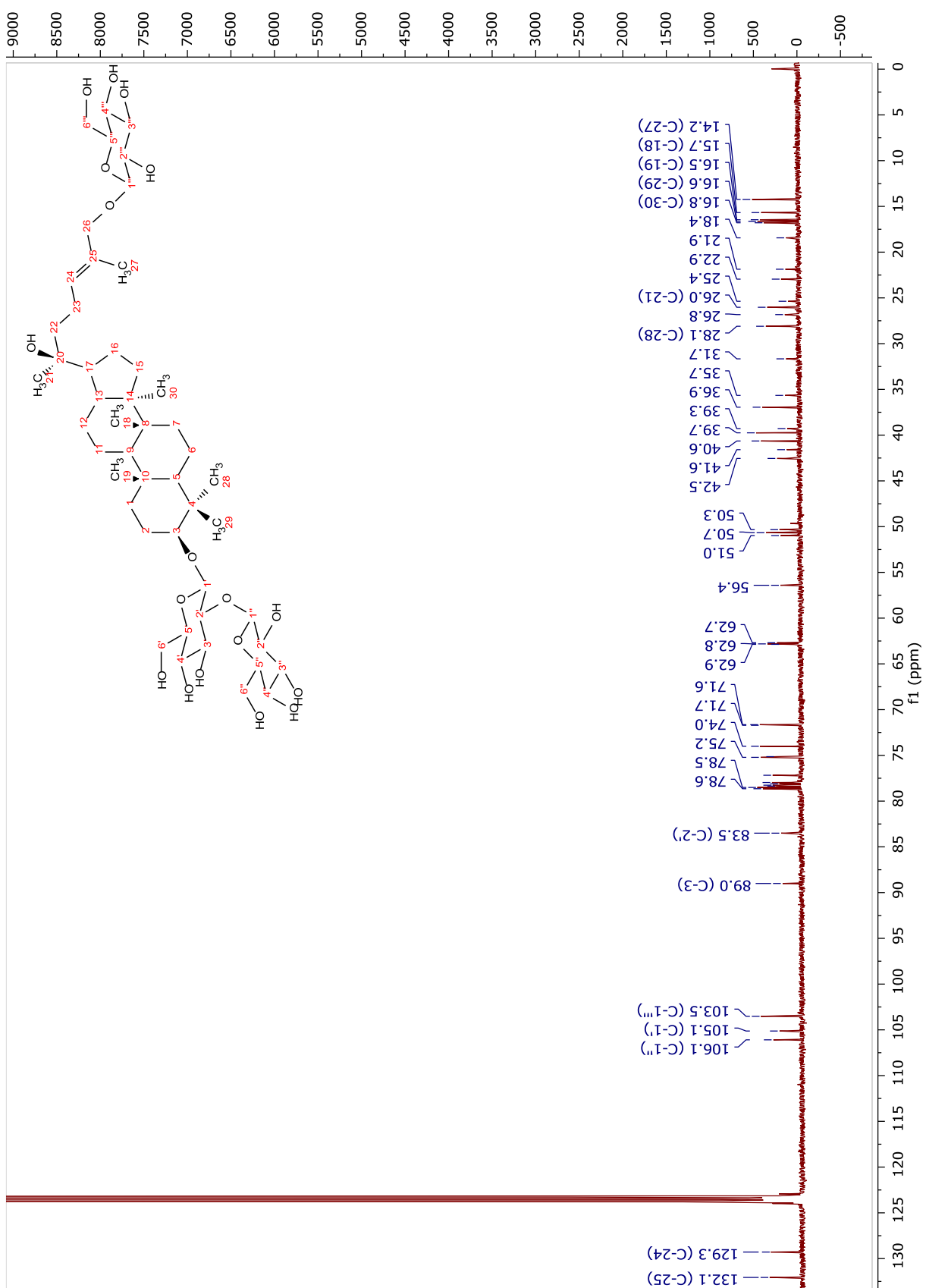


Figura 91. Espectro de RMN ^{13}C de **Sb18** (100 MHz, $\text{C}_5\text{D}_5\text{N}$).

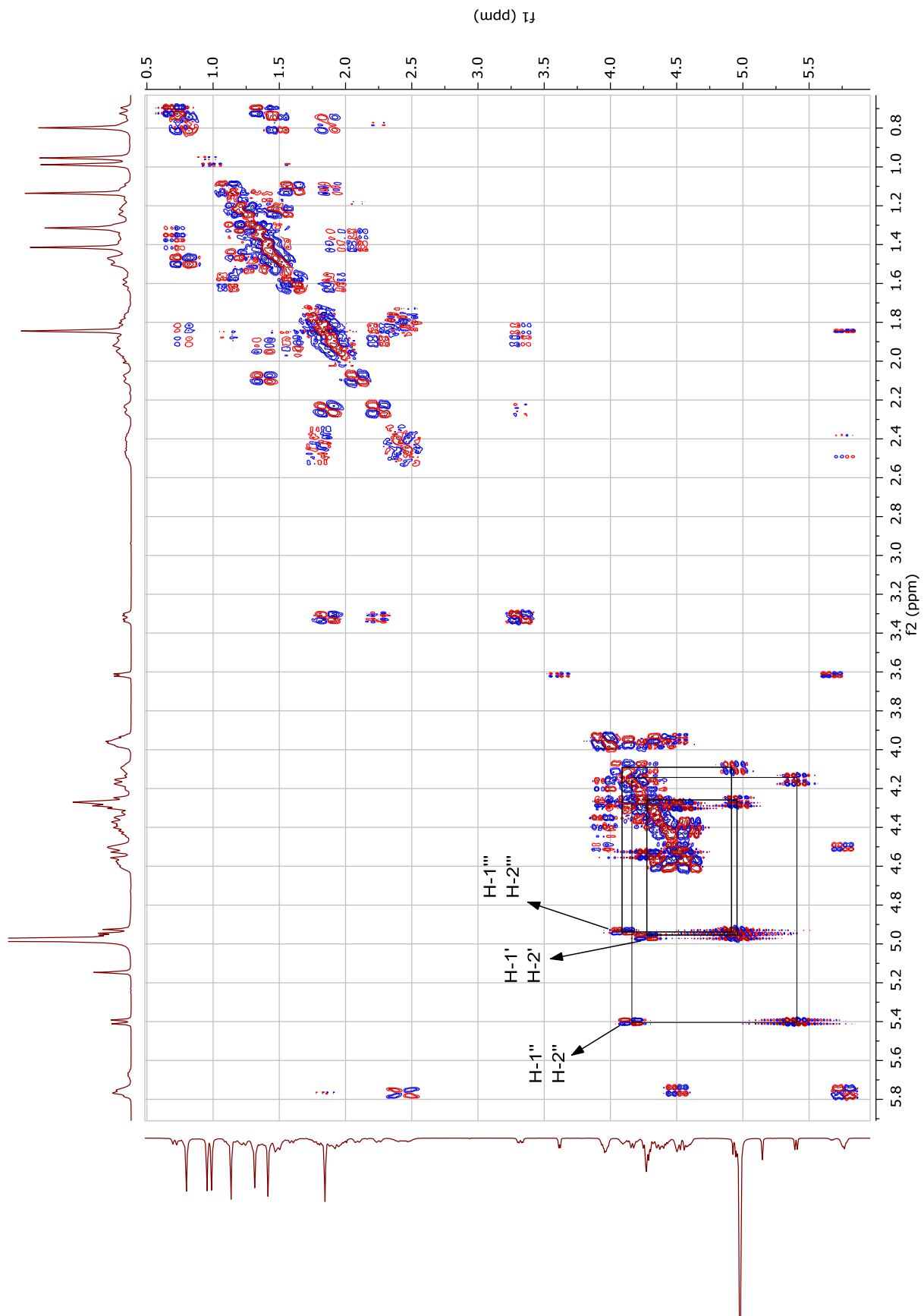


Figura 92. Espectro de COSY de **Sb18** (400 MHz, C_5D_5N).

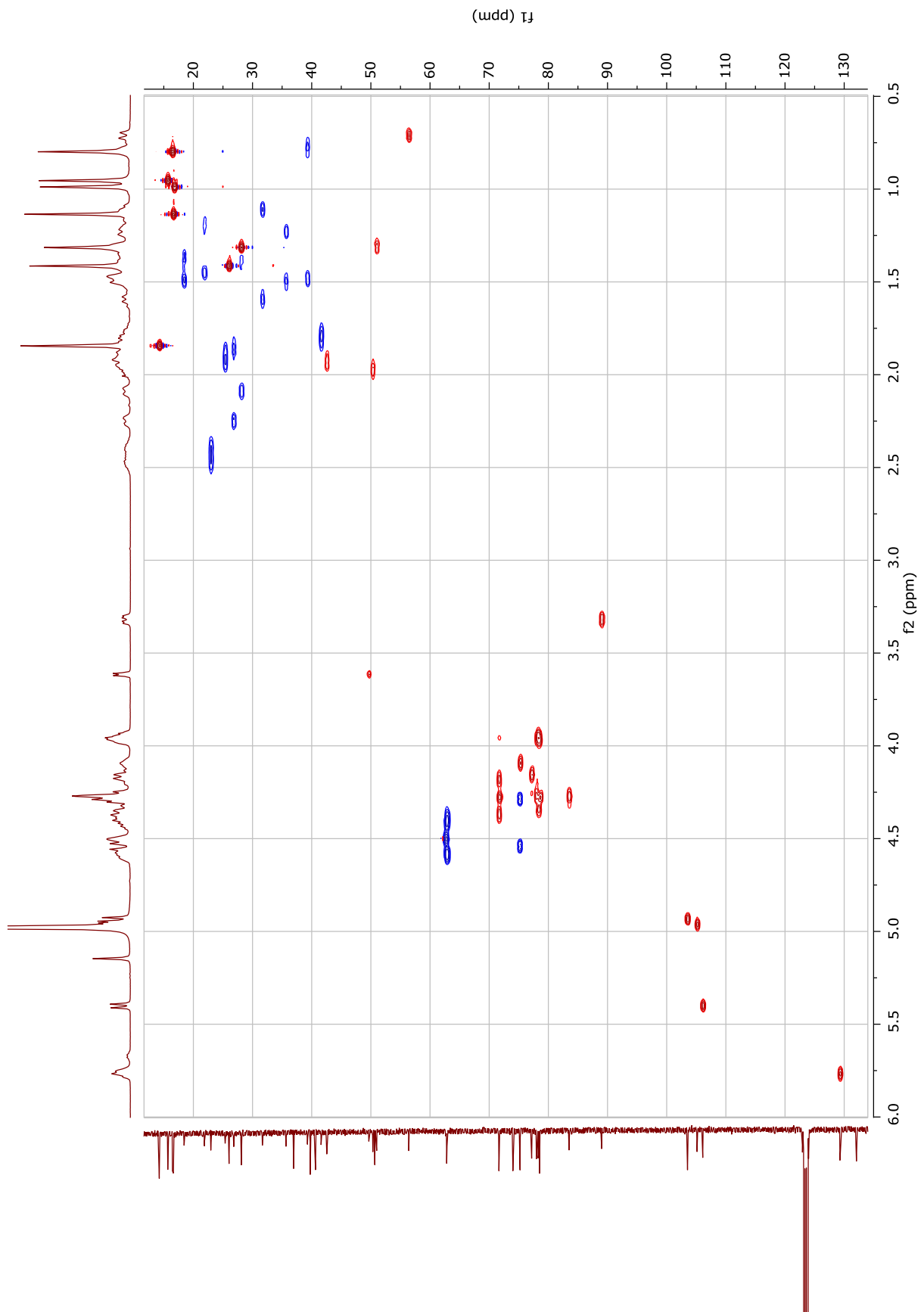


Figura 93. Espectro de HSQC de **Sb18** (400 MHz, C₅D₅N).

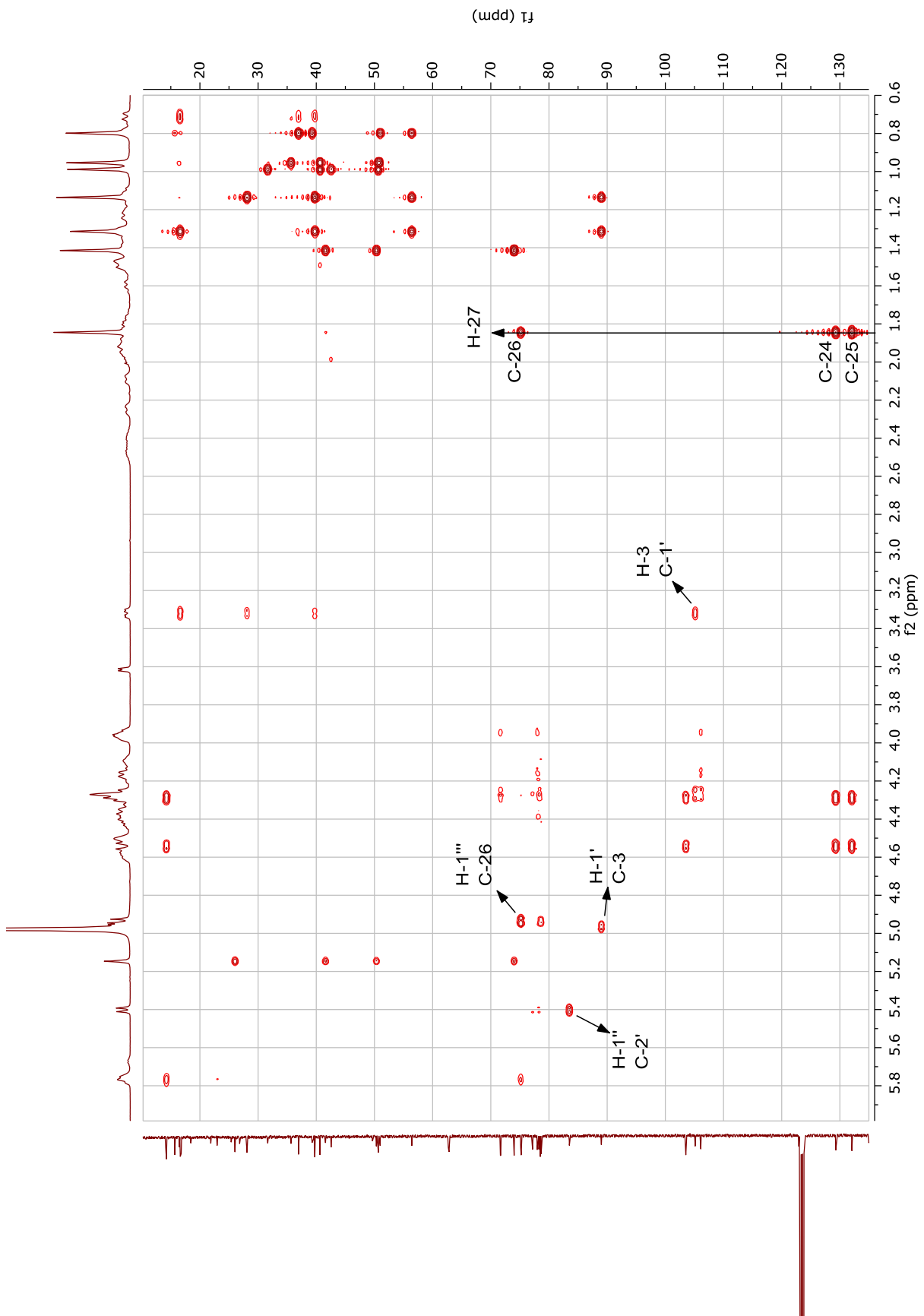


Figura 94. Espectro de HMBC de **Sb18** (400 MHz, C_5D_5N).

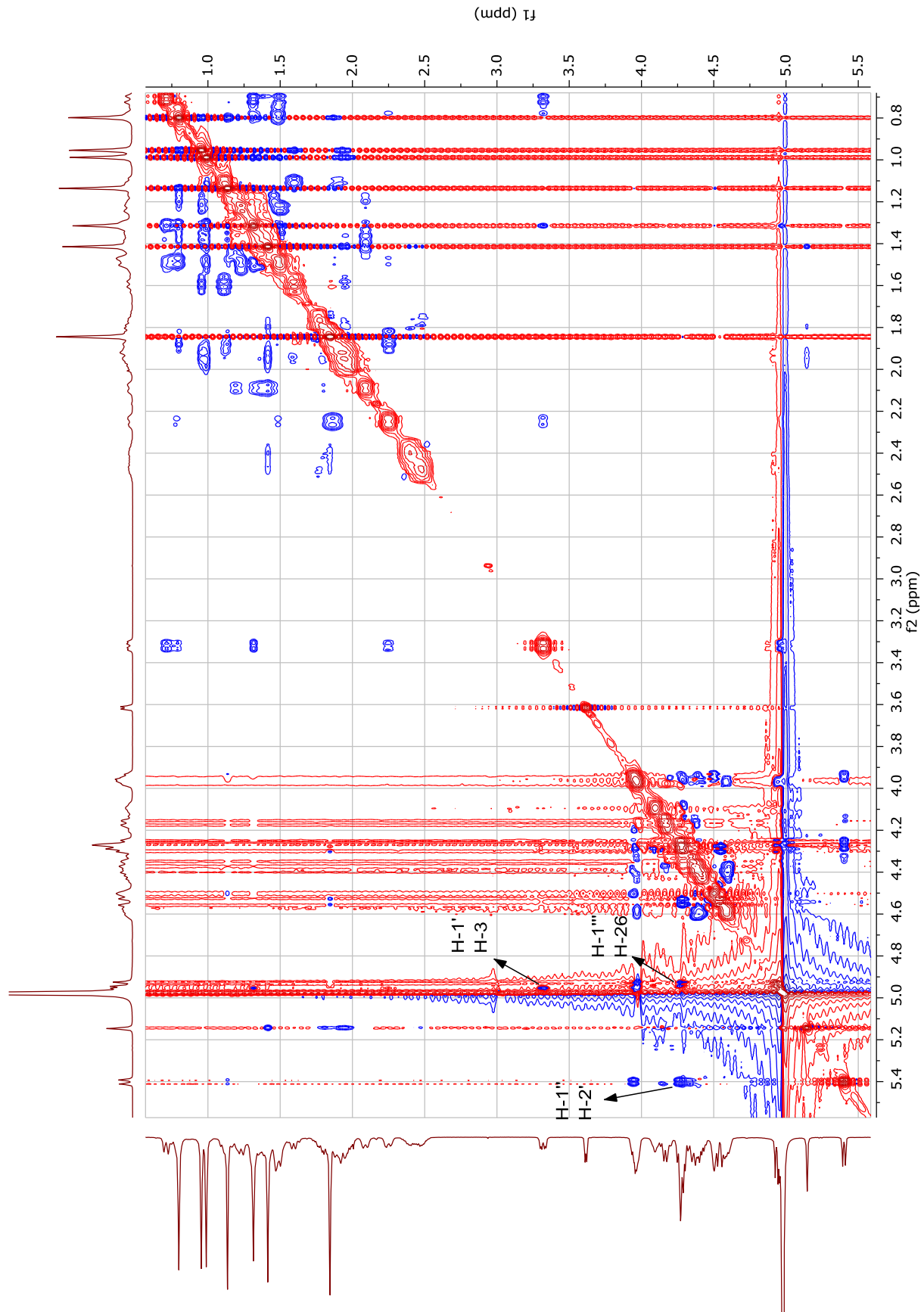


Figura 95. Espectro de ROESY de Sb18 (400 MHz, C_5D_5N).

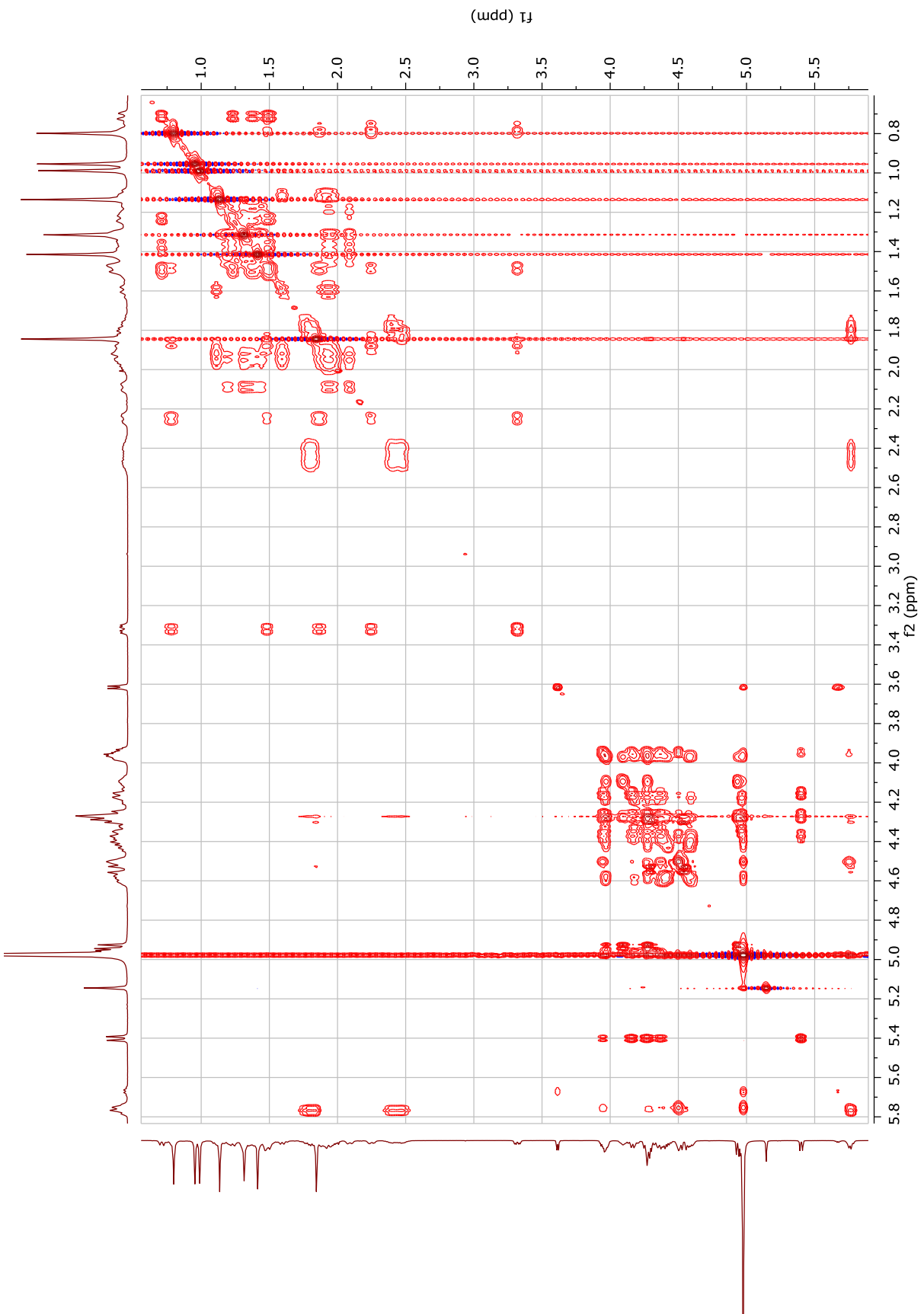


Figura 96. Espectro de TOCSY de **Sb18** (400 MHz, C_5D_5N).

CAC138_pos #1 RT: 0,00 AV: 1 NL: 3,22E7
T: FTMS + p ESI Full ms [150,00-2000,00]

1131,5947
C₅₄H₉₂O₂₃Na
2,2682 ppm

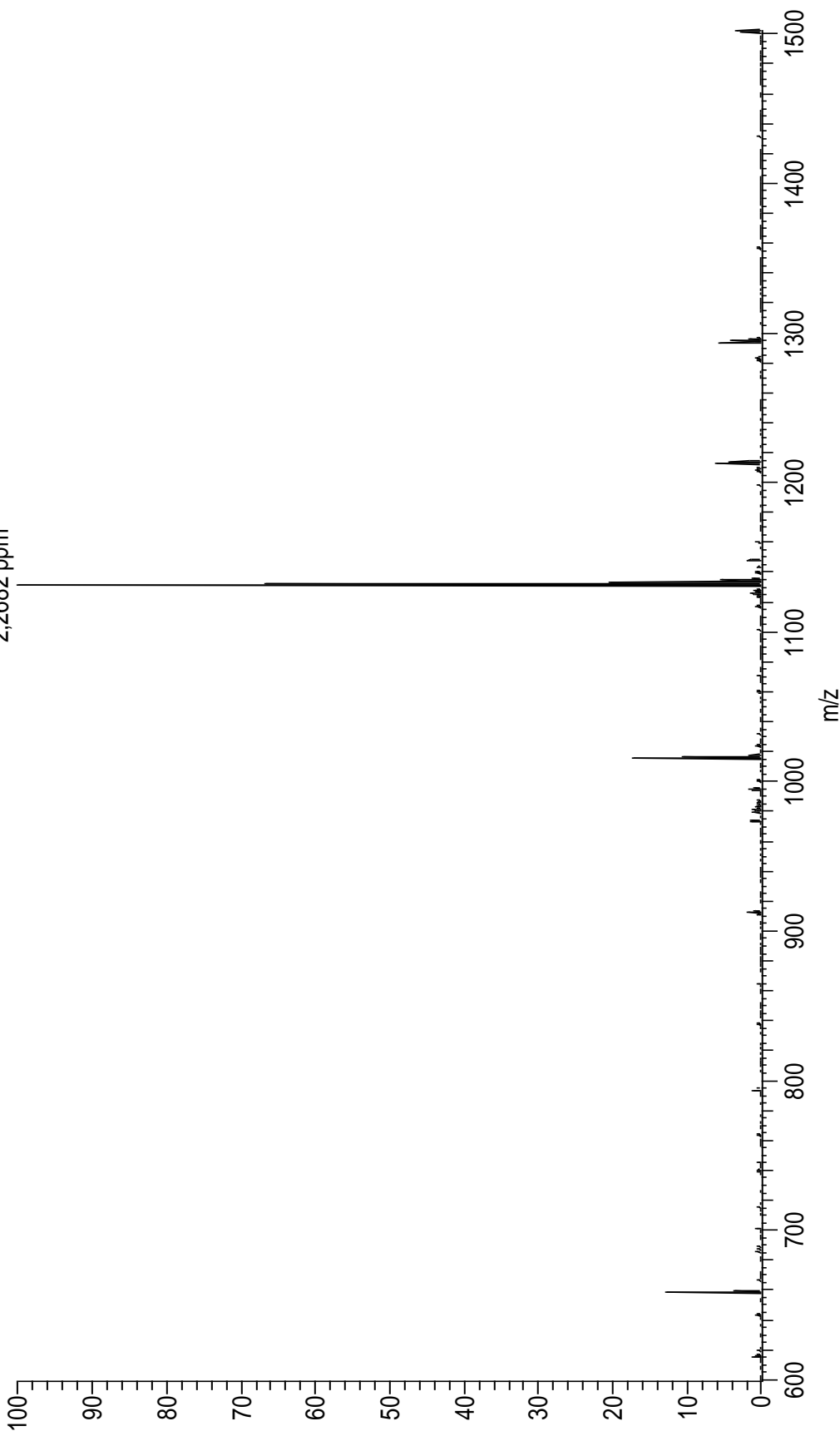


Figura 97. Espectro de massas de alta resolução de **Sb19** (ESI, modo positivo).

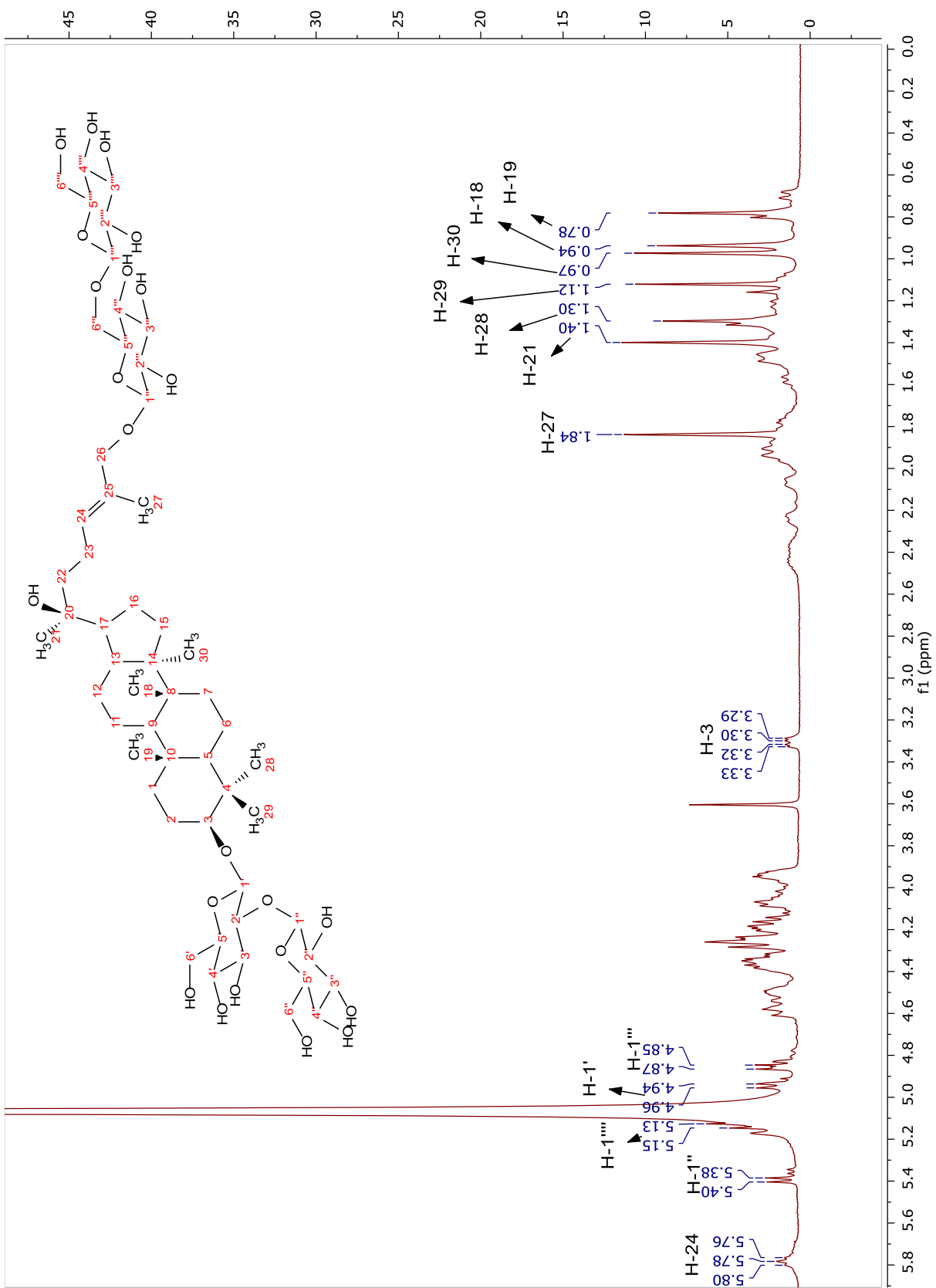


Figura 98. Espectro de RMN ^1H de Sb19 (400 MHz, $\text{C}_5\text{D}_5\text{N}$).

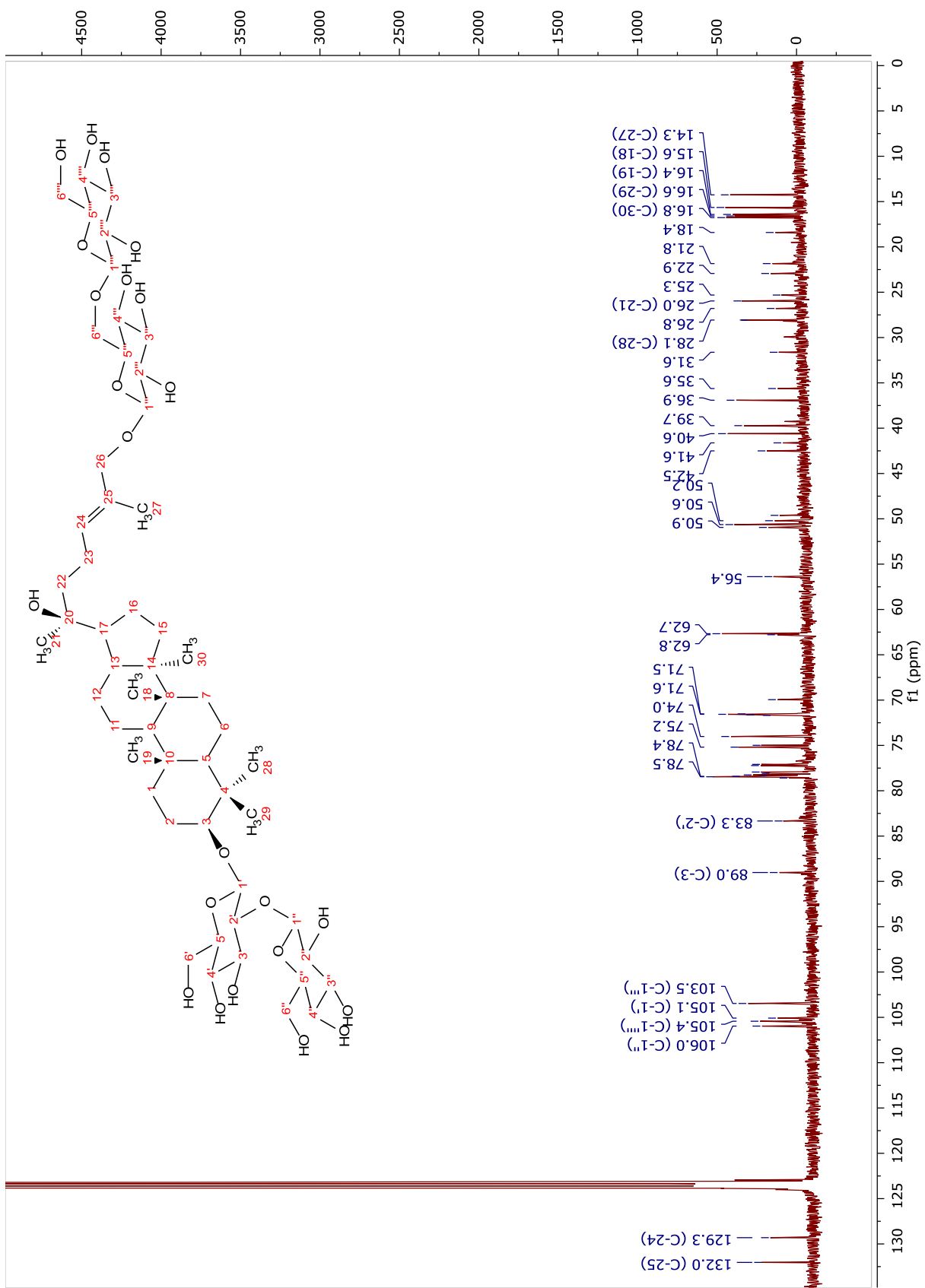


Figura 99. Espectro de RMN ^{13}C de Sb19 (100 MHz, $\text{C}_5\text{D}_5\text{N}$).

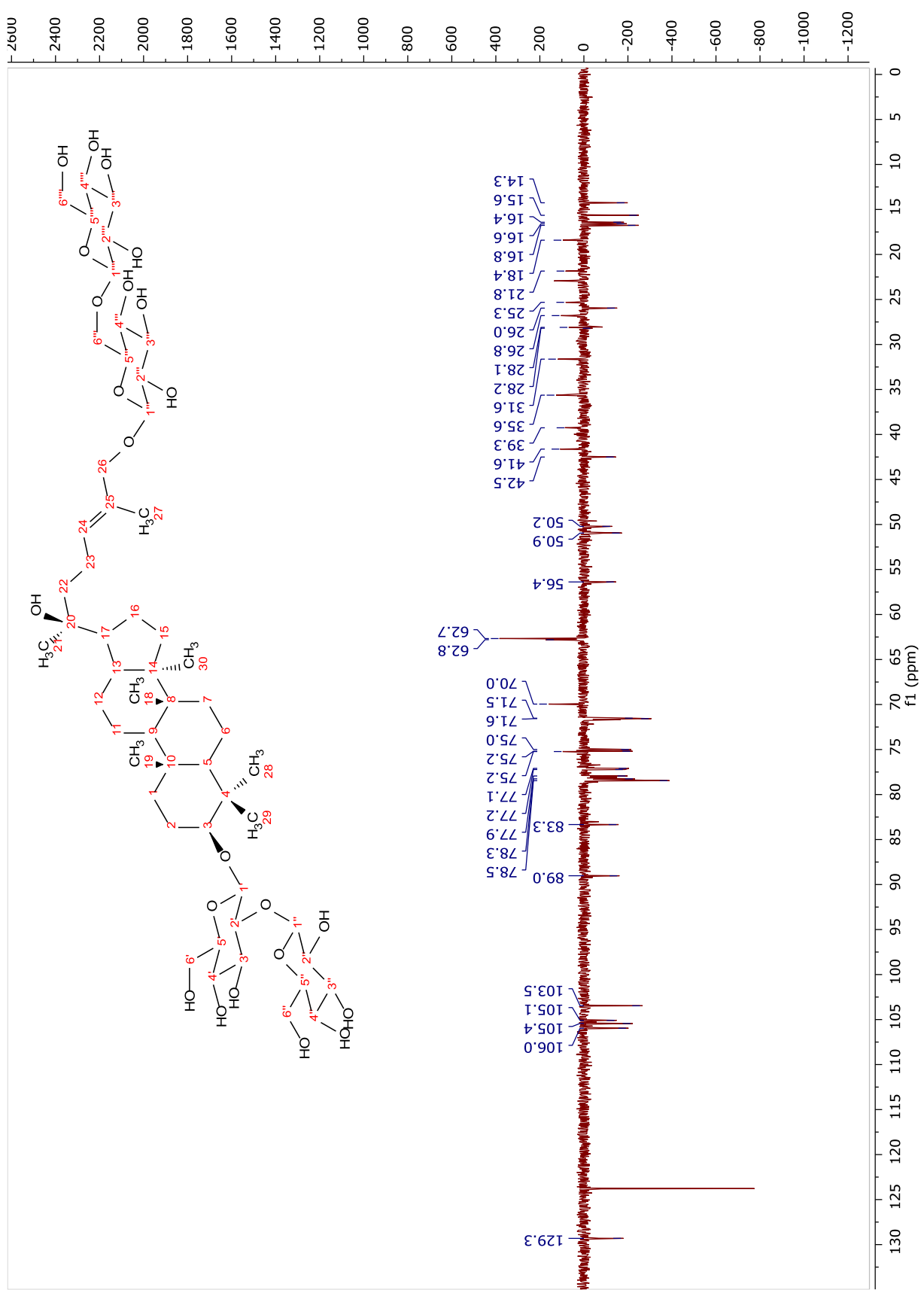


Figura 100. Espectro de DEPT-135 de **Sb19** (100 MHz, $\text{C}_5\text{D}_5\text{N}$).

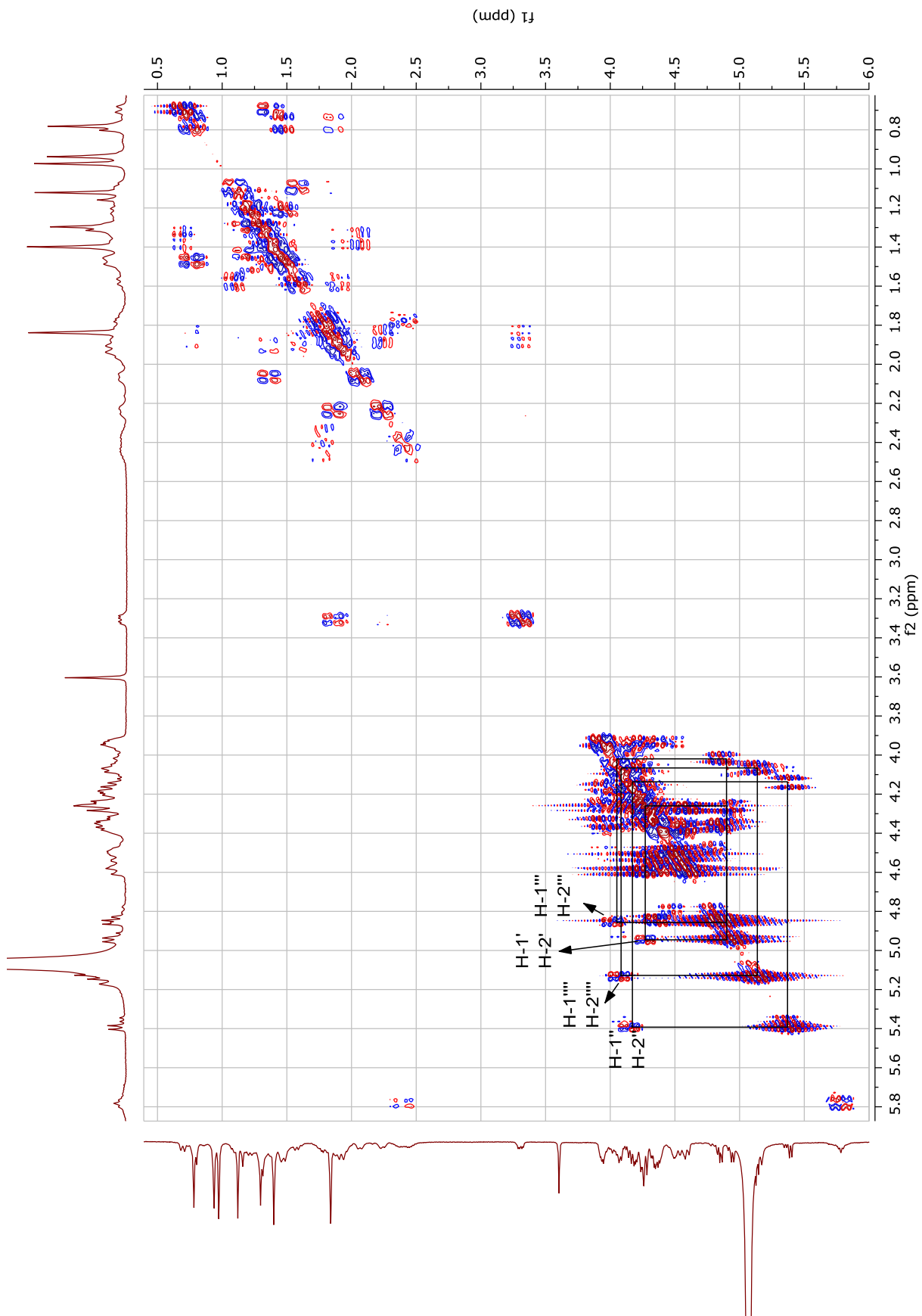


Figura 101. Espectro de COSY de **Sb19** (400 MHz, $\text{C}_5\text{D}_5\text{N}$).

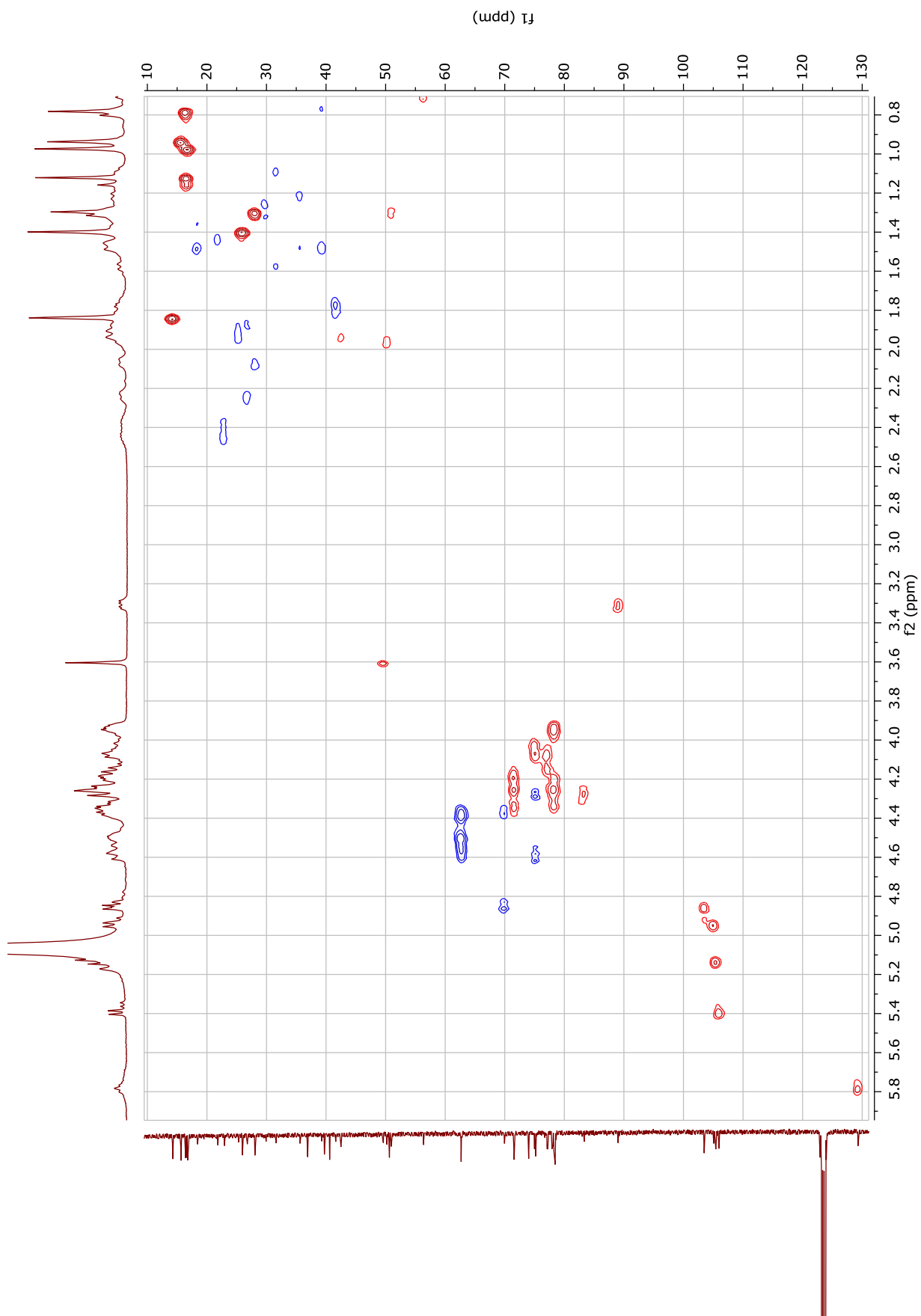


Figura 102. Espectro de HSQC de **Sb19** (400 MHz, $\text{C}_5\text{D}_5\text{N}$).

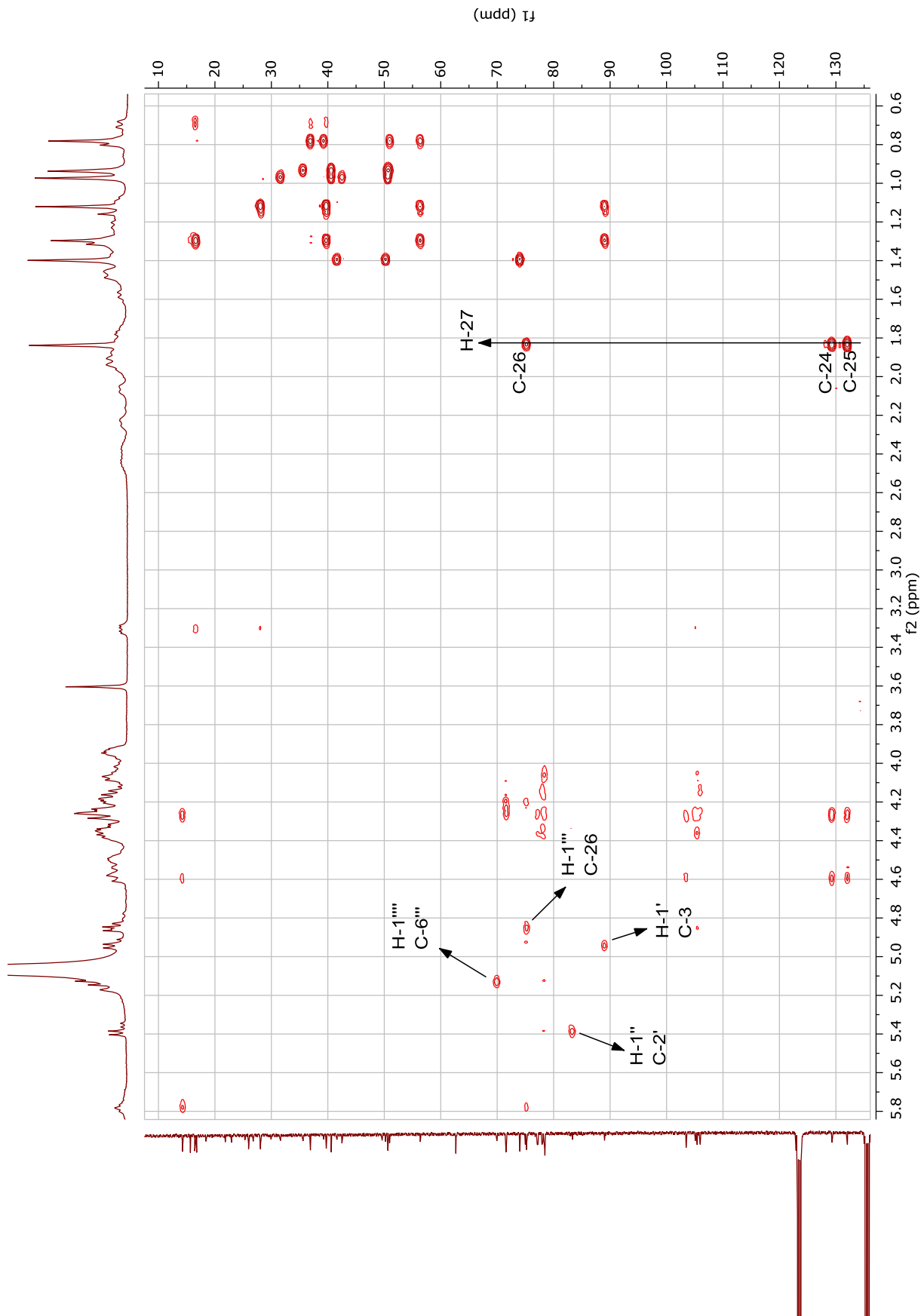


Figura 103. Espectro de HMBC de **Sb19** (400 MHz, C₅D₅N).

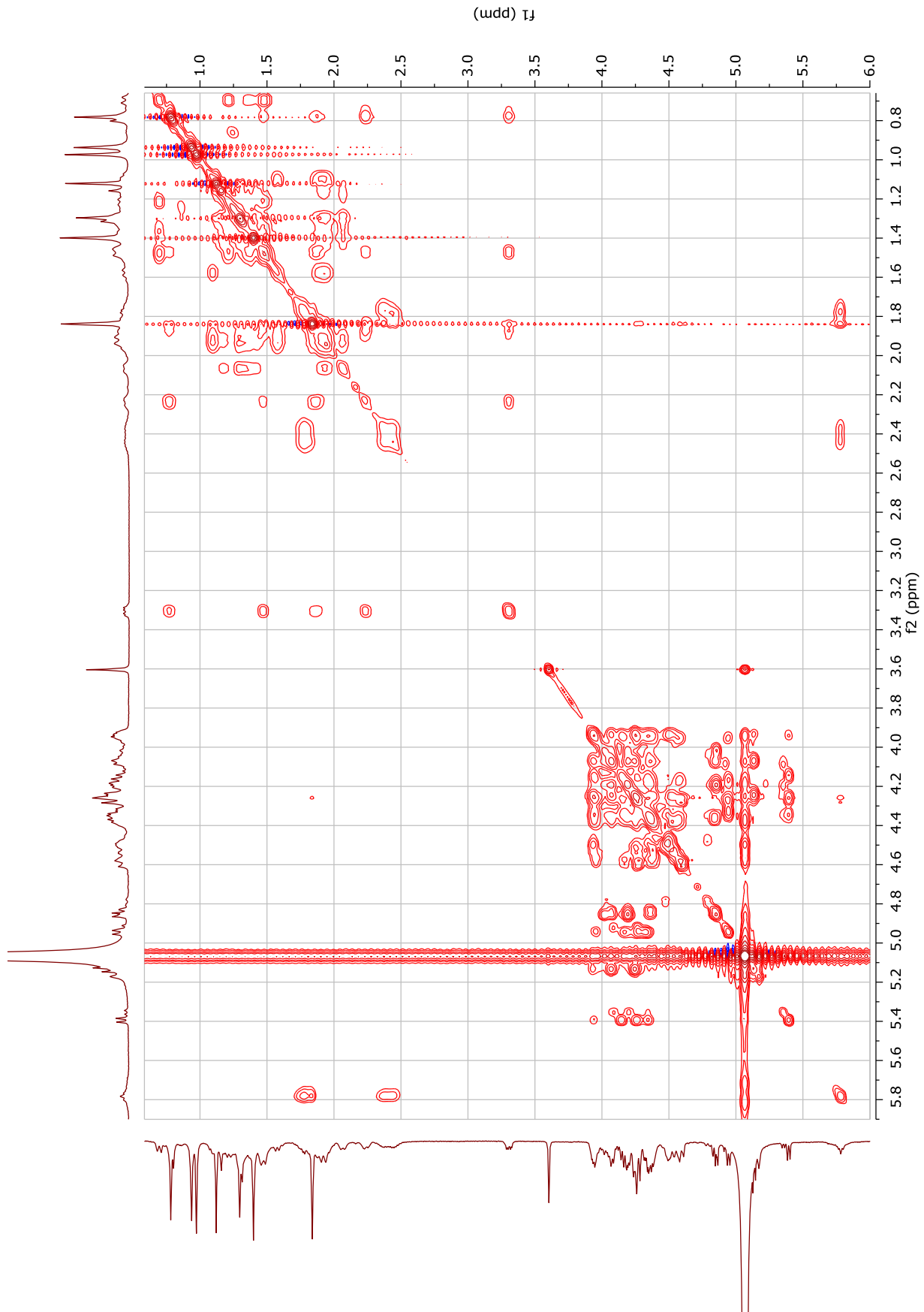


Figura 104. Espectro de TOCSY (2D) de **Sb19** (400 MHz, C₅D₅N).

CAC103_pos #2 RT: 0,00 AV: 1 NL: 3,66E7
T: FTMS + p ESI Full ms [150,00-2000,00]

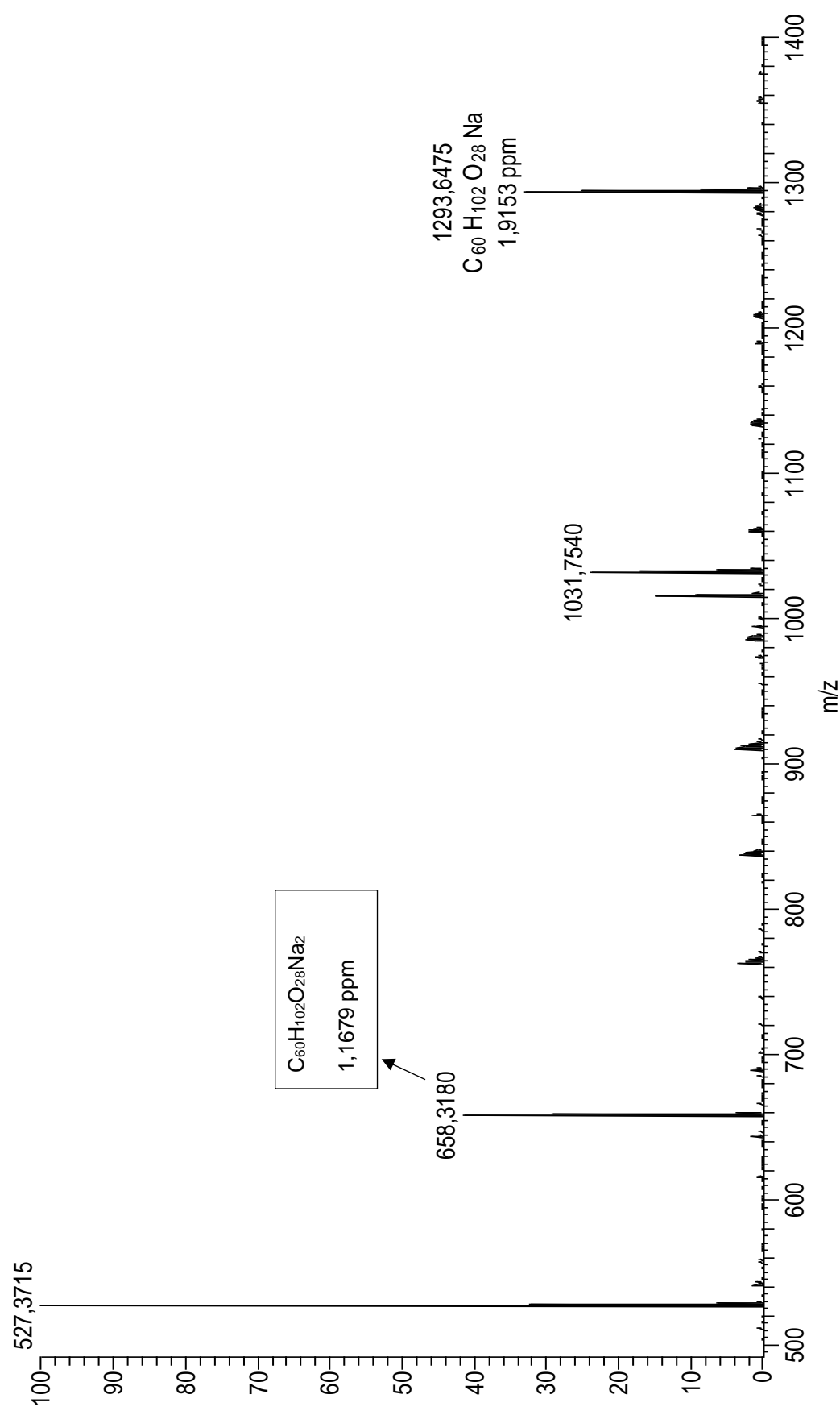


Figura 105. Espectro de massas de alta resolução de **Sb20** (ESI, modo positivo).

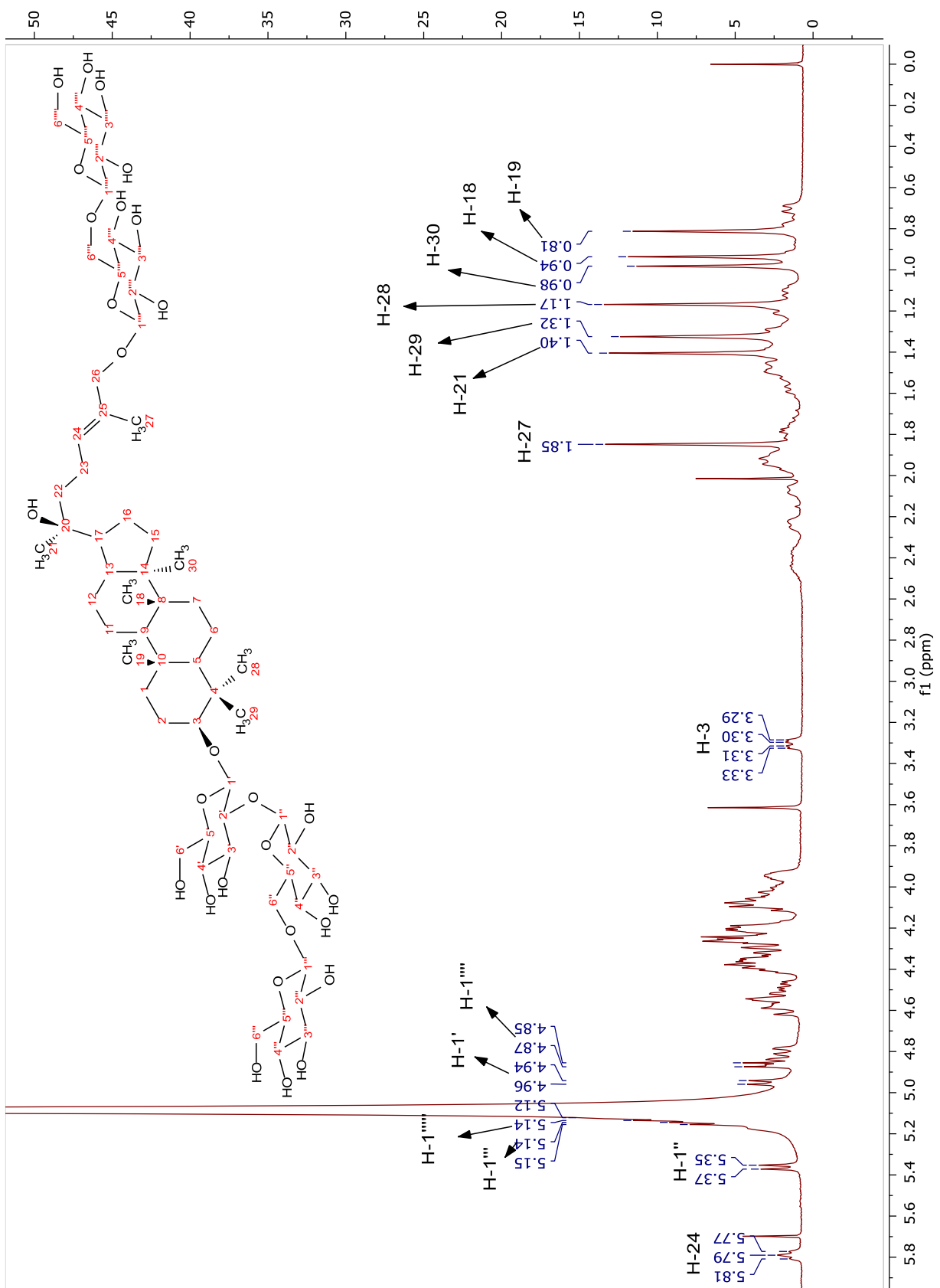


Figura 106. Espectro de RMN ^1H de Sb20 (400 MHz, $\text{C}_5\text{D}_5\text{N}$).

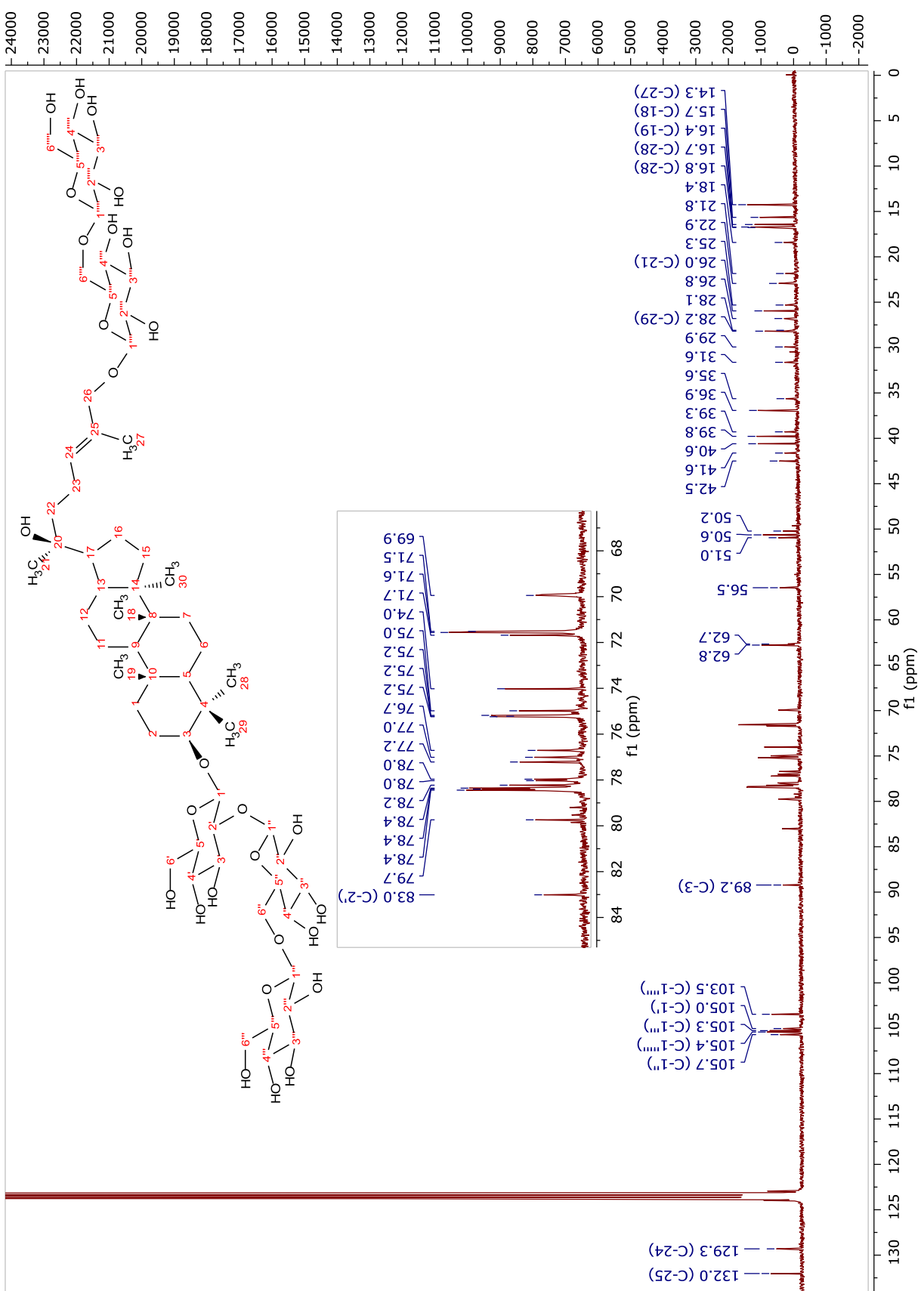


Figura 107. Espectro de RMN ^{13}C de Sb20 (100 MHz, $\text{C}_5\text{D}_5\text{N}$).

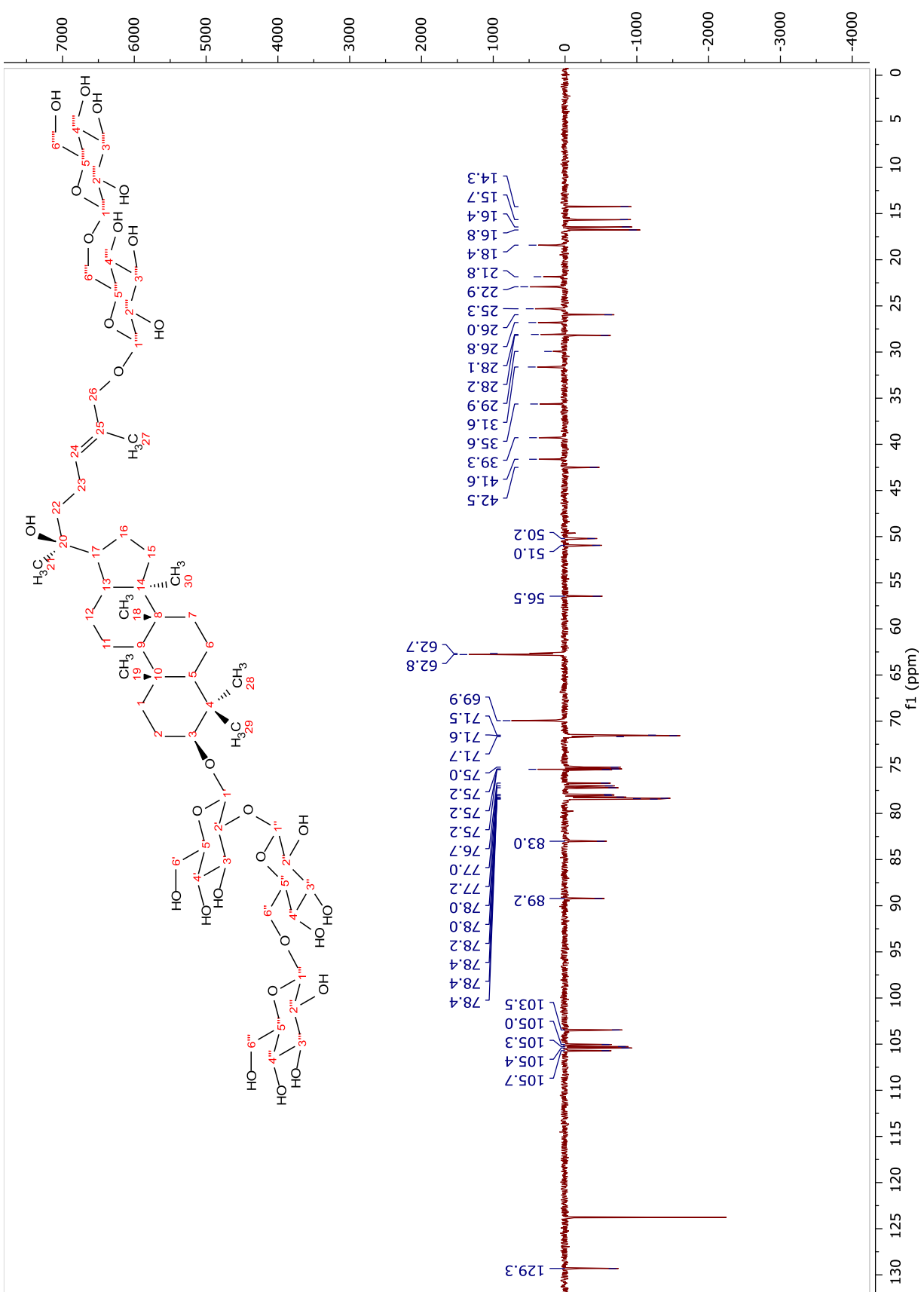


Figura 108. Espectro de DEPT-135 de **Sb20** (100 MHz, $\text{C}_5\text{D}_5\text{N}$).

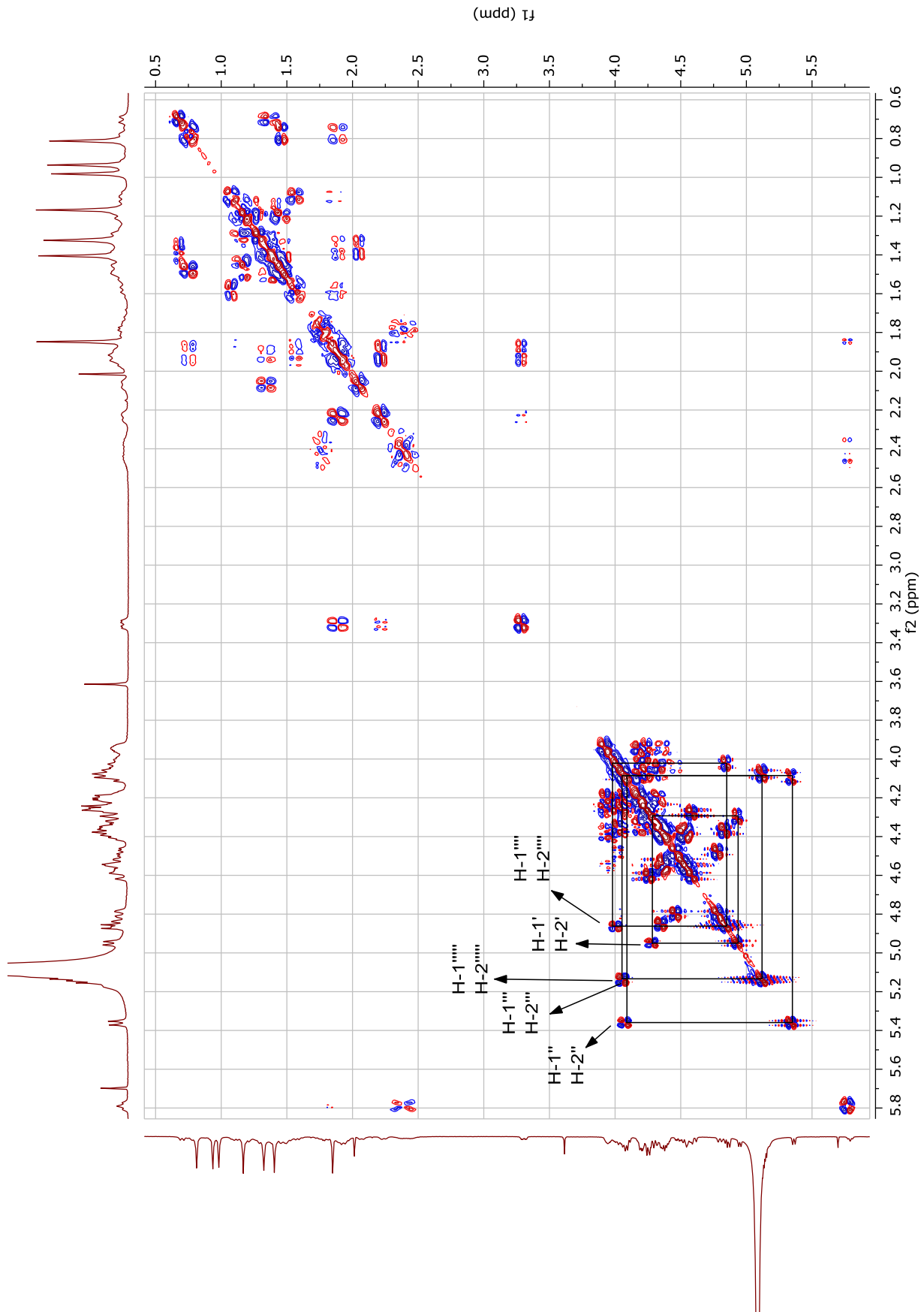


Figura 109. Espectro de COSY de **Sb20** (400 MHz, C₅D₅N).

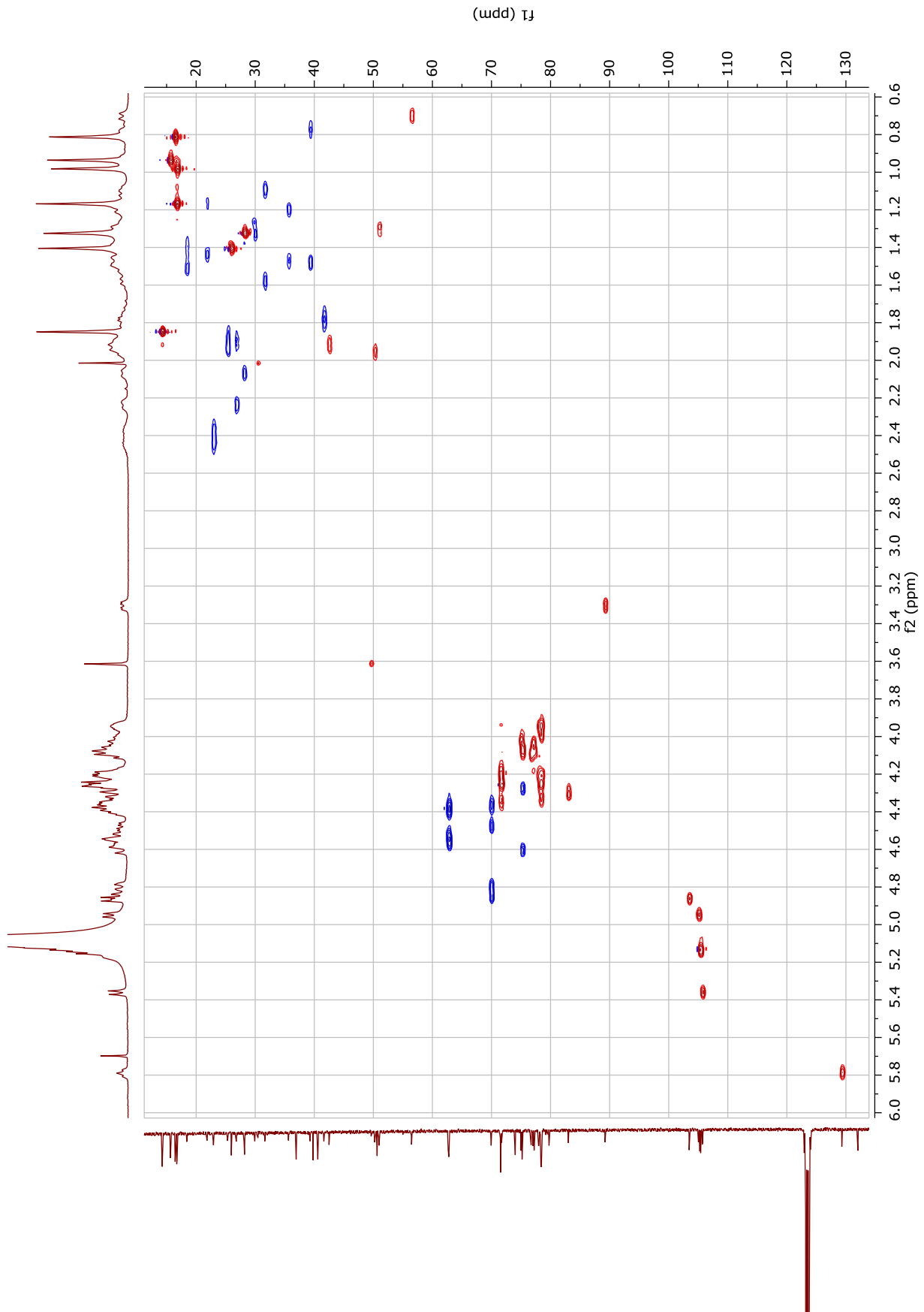


Figura 110. Espectro de HSQC de **Sb20** (400 MHz, $\text{C}_5\text{D}_5\text{N}$).

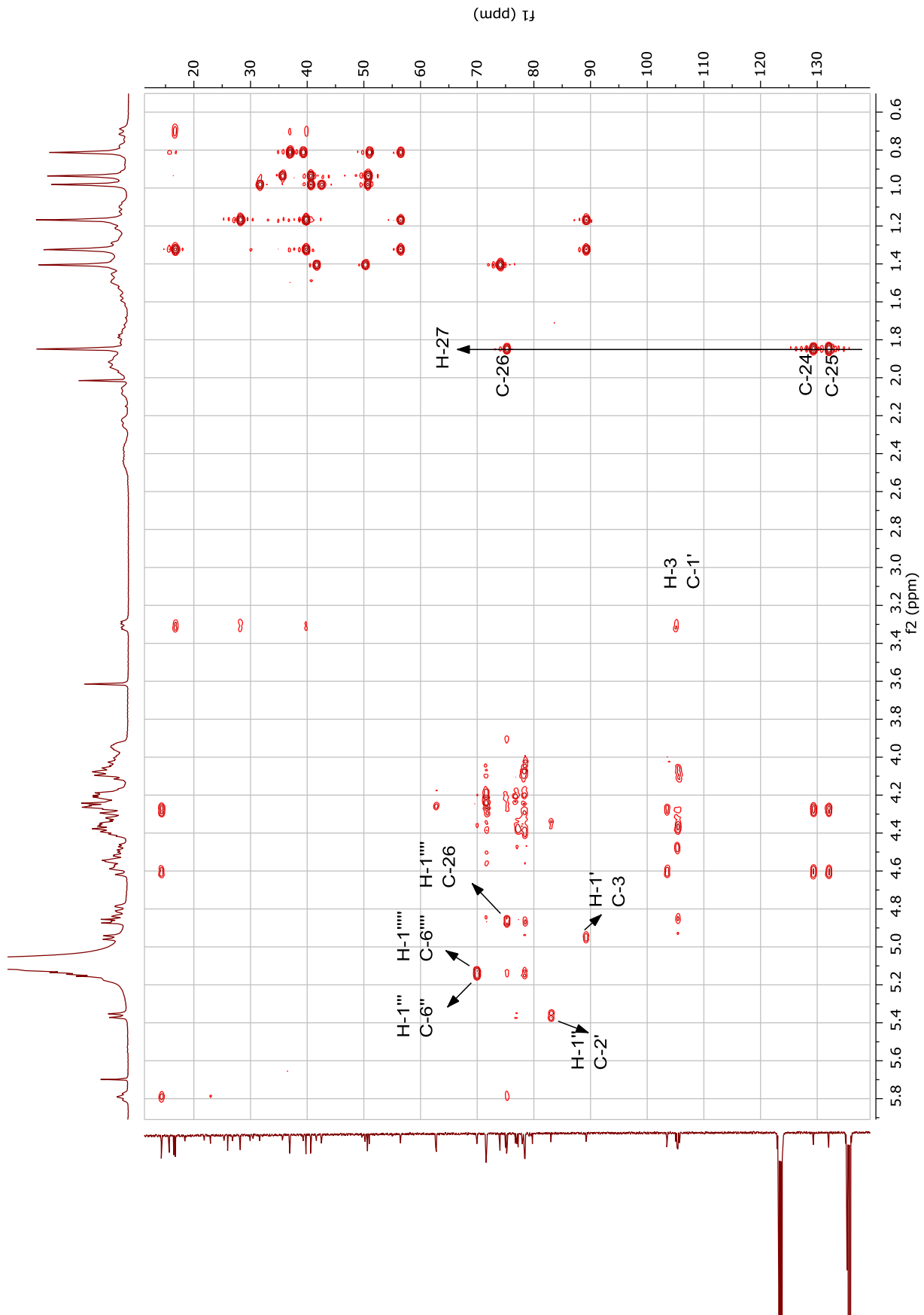


Figura 111. Espectro de HMBC de **Sb20** (400 MHz, C_5D_5N).

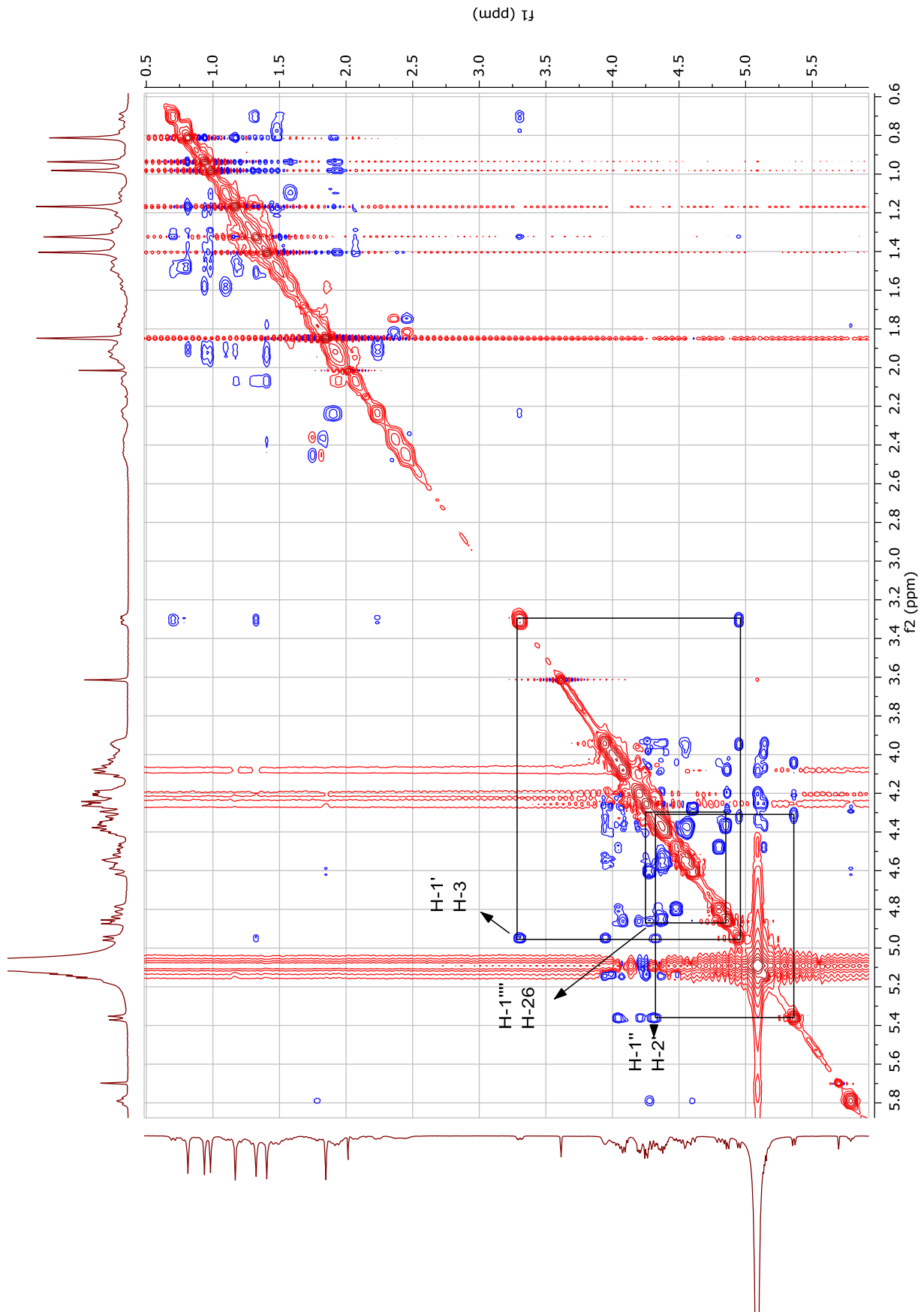


Figura 112. Espectro de ROESY de **Sb20** (400 MHz, $\text{C}_5\text{D}_5\text{N}$).

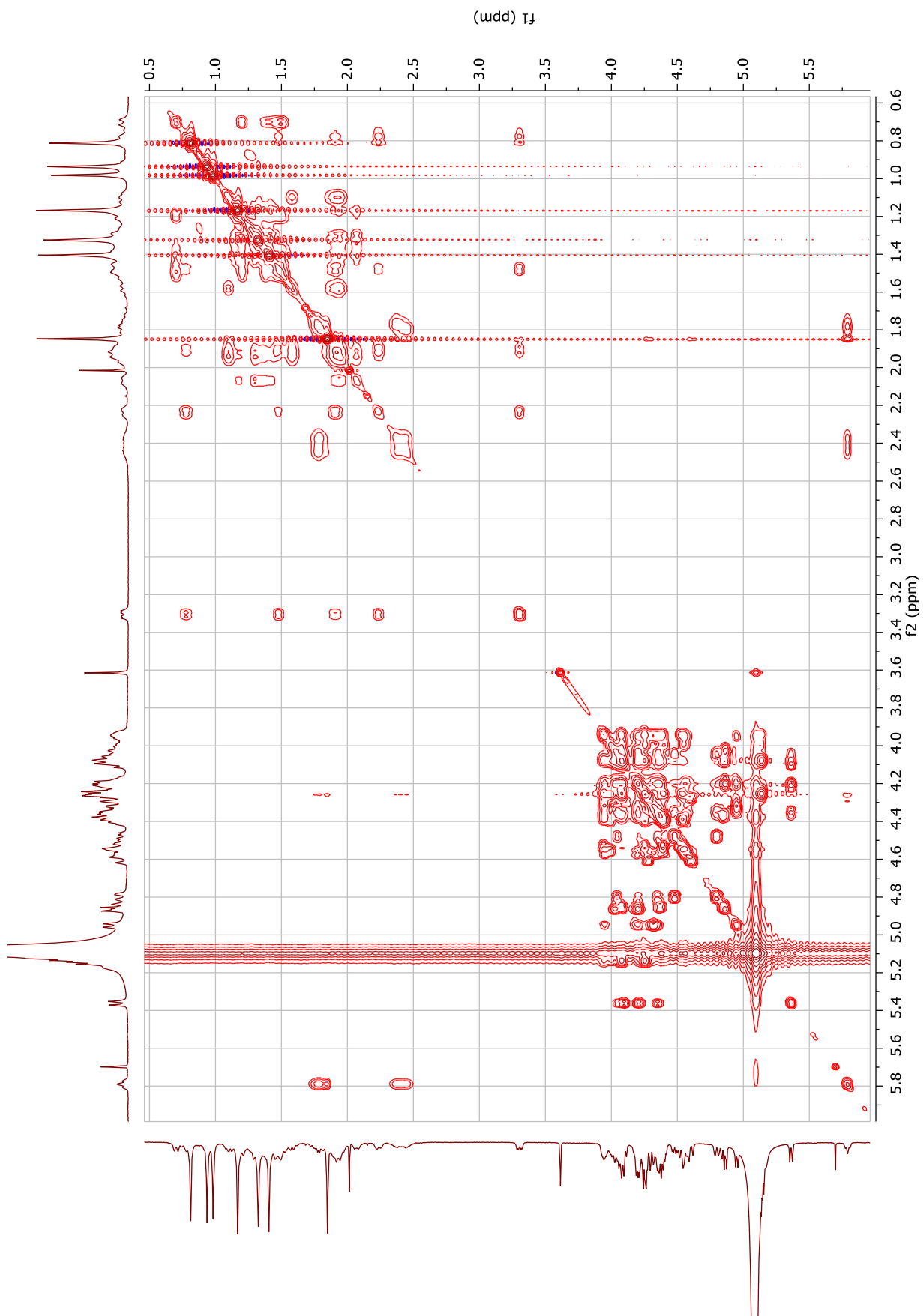


Figura 113. Espectro de TOCSY (2D) de **Sb20** (400 MHz, C_5D_5N).

CAC126_pos #1 RT: 0,00 AV: 1 NL: 7,13E6
T: FTMS +p ESI Full ms [150,00-20000,00]

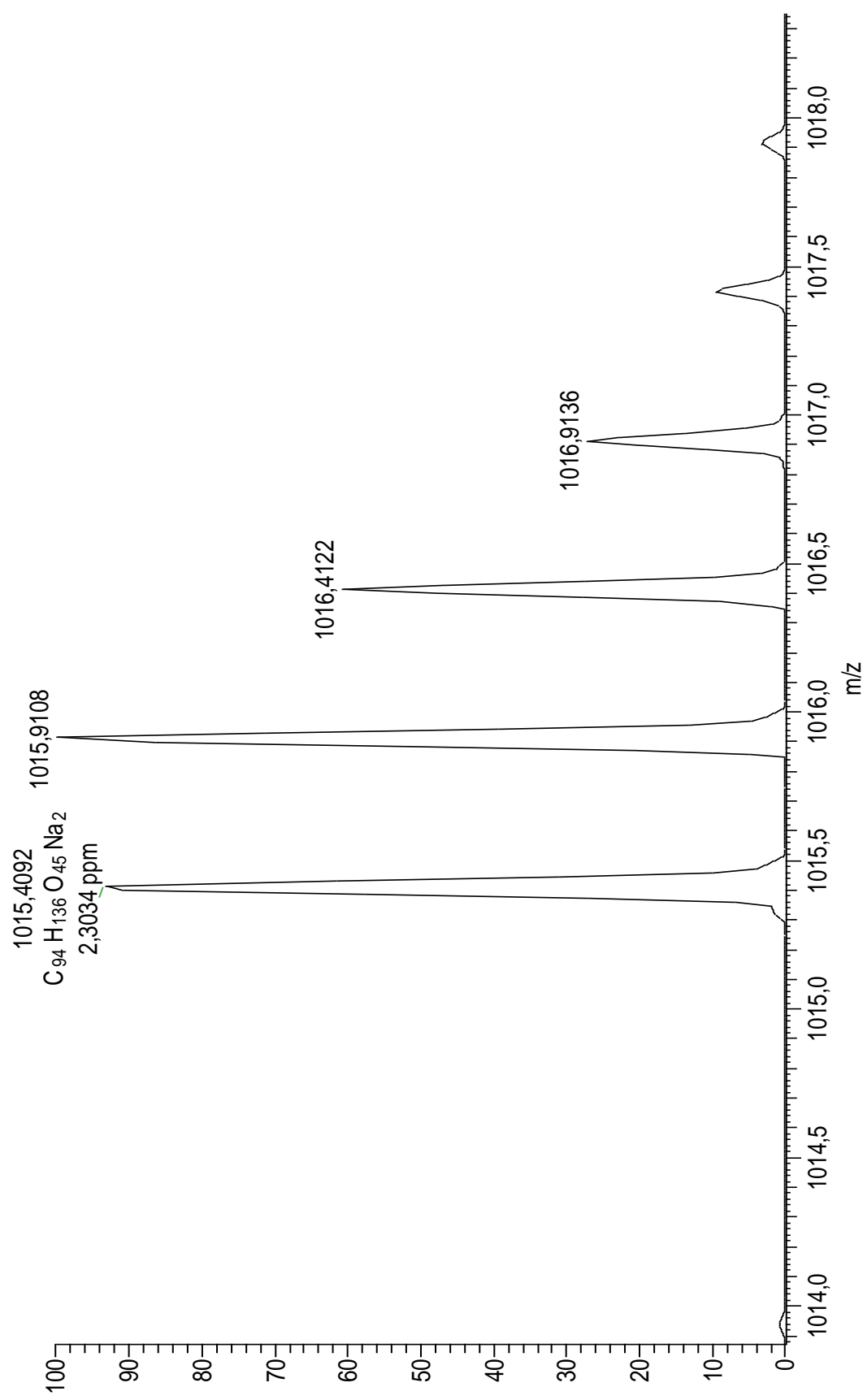


Figura 114. Espectro de massas de alta resolução do derivado acetilado de **Sb20** (modo positivo).

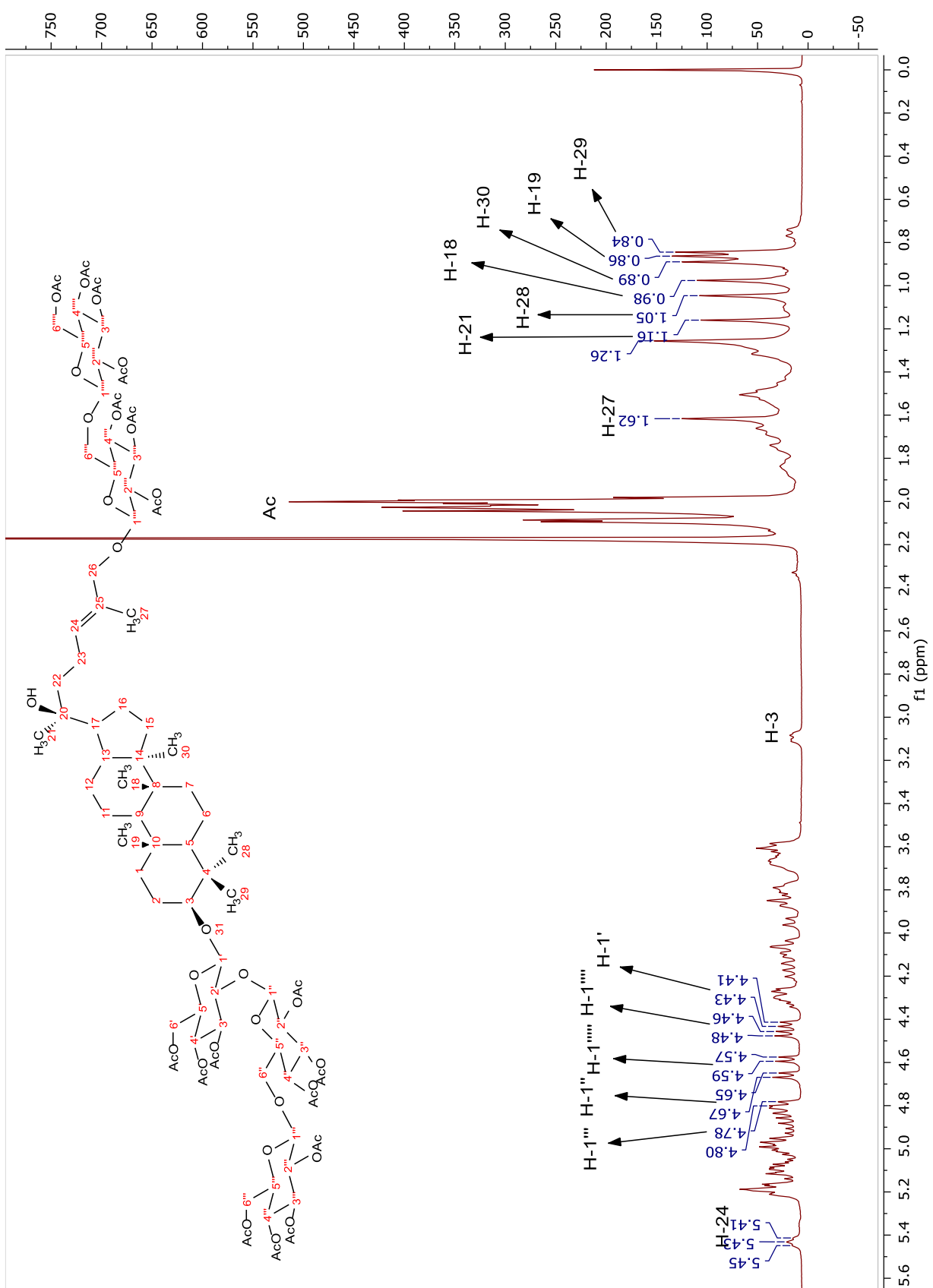


Figura 115. Espectro de RMN ^1H do derivado acetilado de Sb20 (400 MHz, CDCl_3).

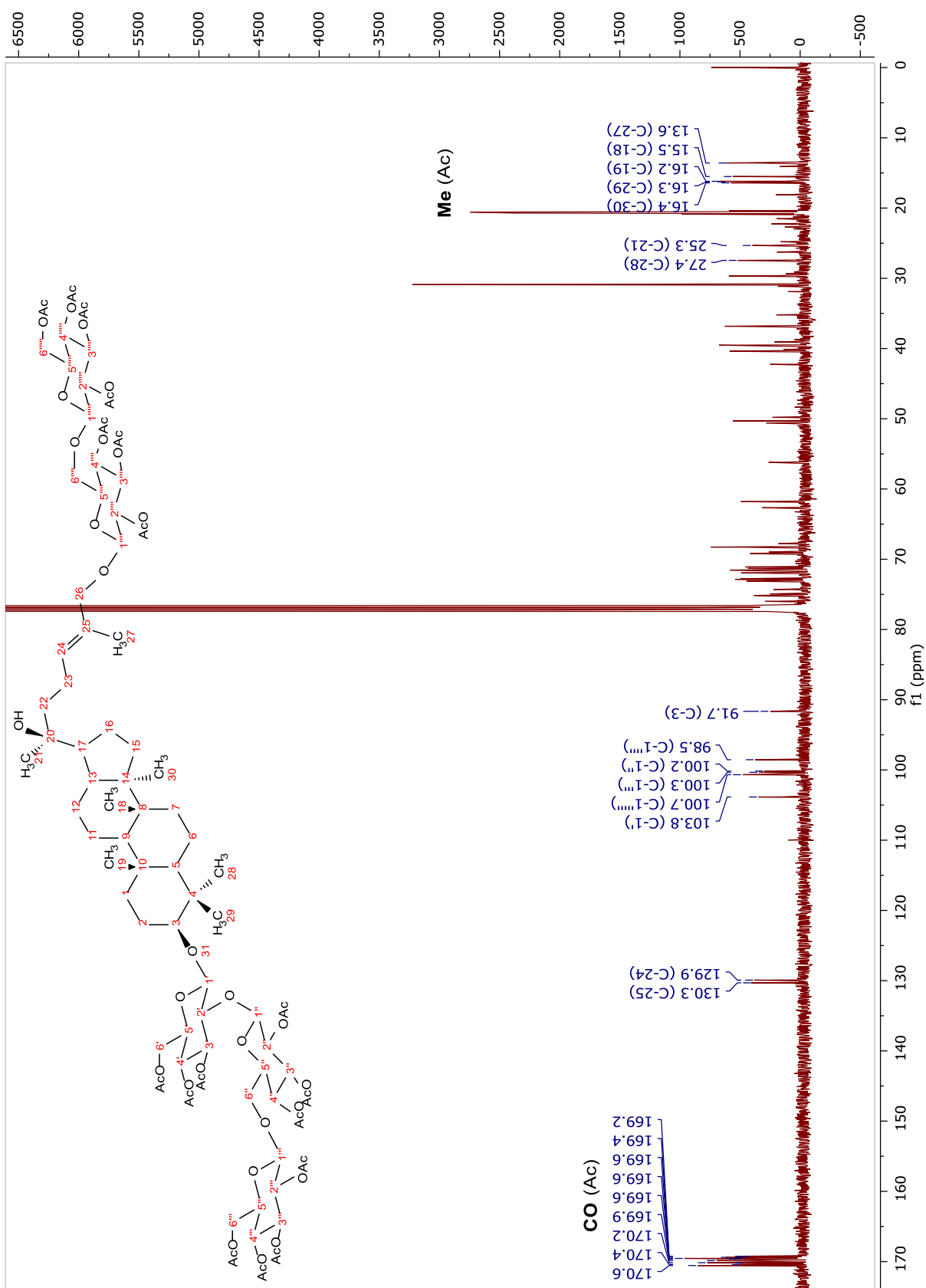


Figura 116. Espectro de RMN ^{13}C do derivado acetilado de **Sb20** (100 MHz, CDCl_3).

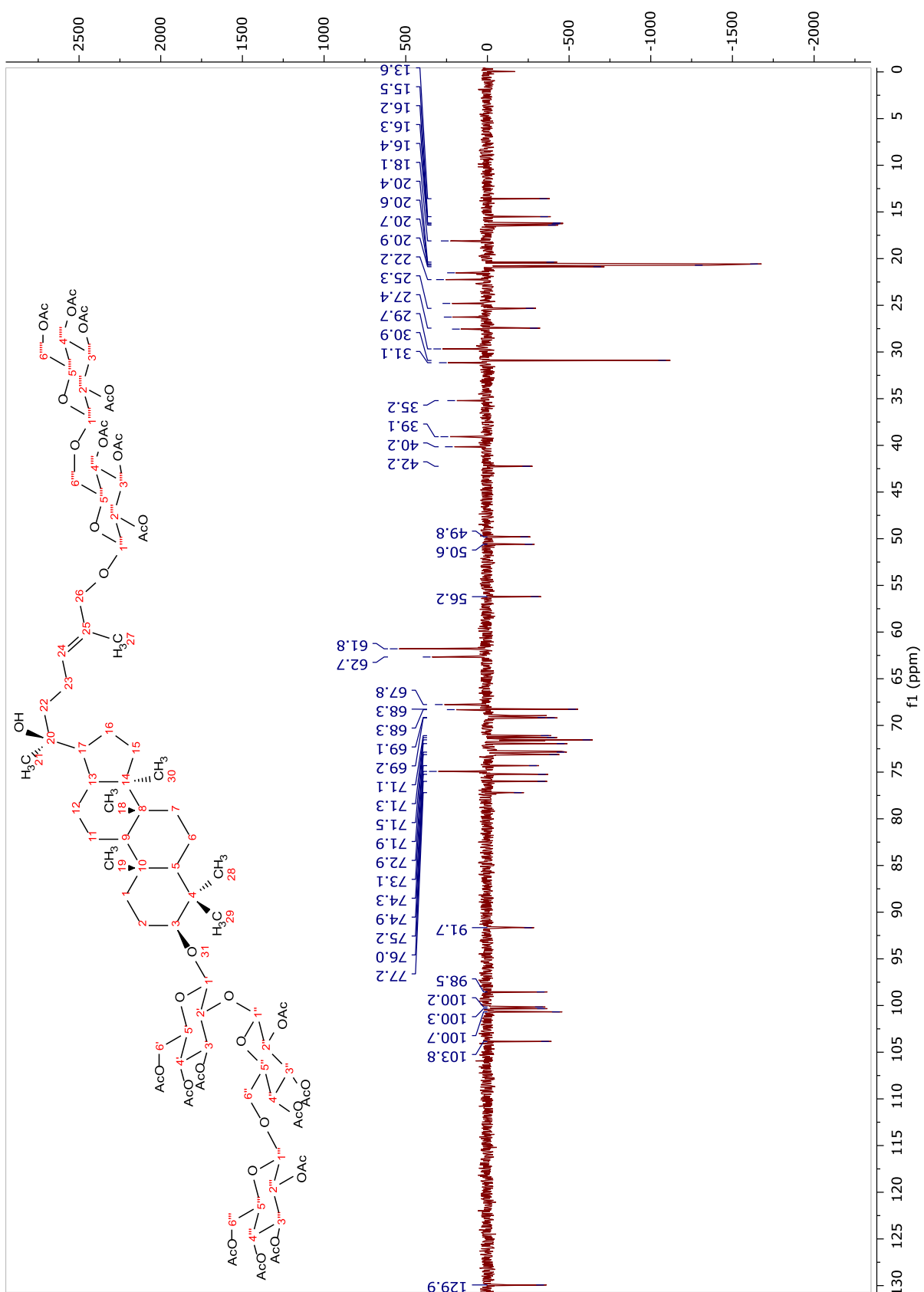


Figura 117. Espectro de DEPT-135 do derivado acetilado de **Sb20** (100 MHz, CDCl_3).

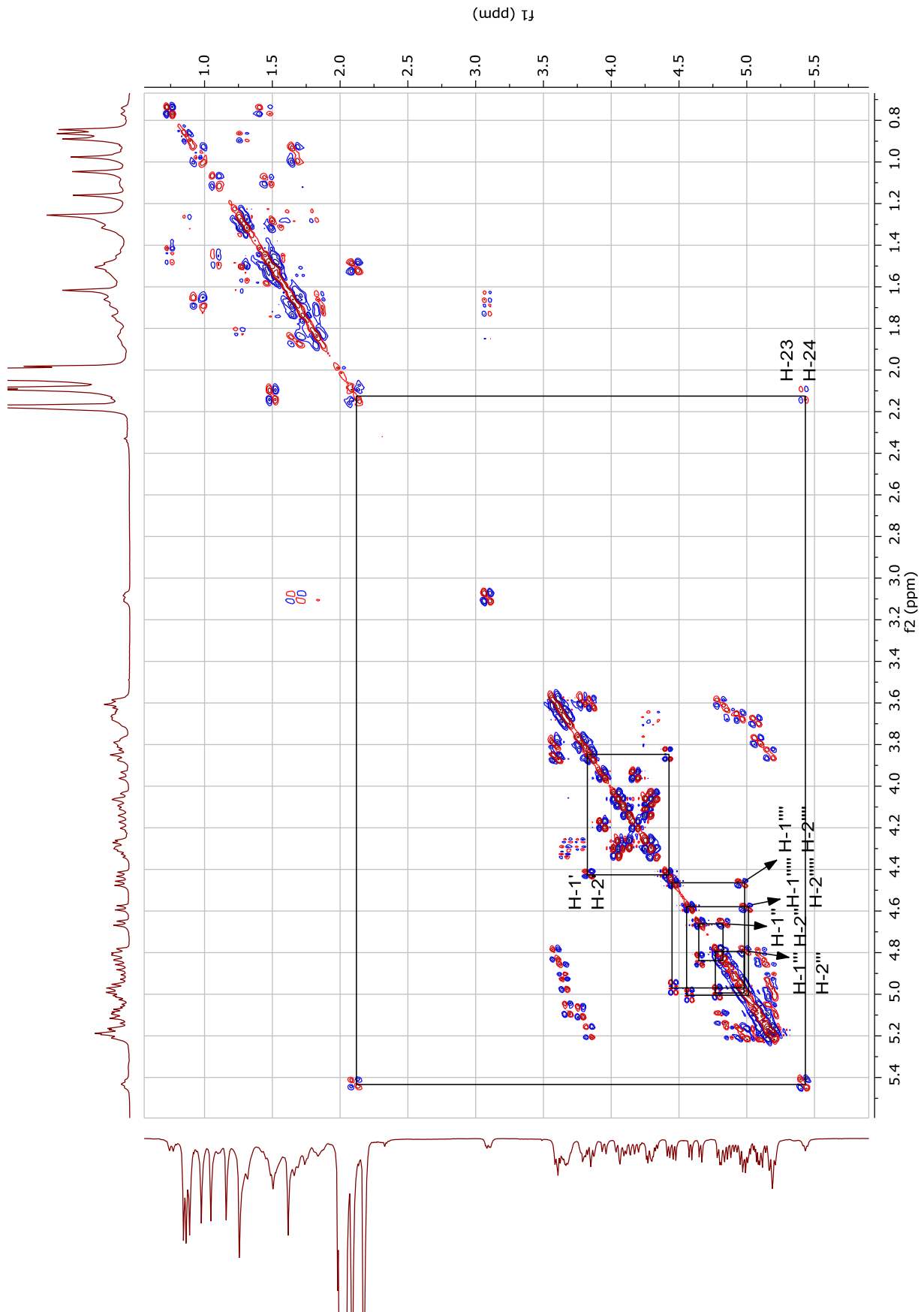


Figura 118. Espectro de COSY do derivado acetilado de **Sb20** (400 MHz, CDCl_3).

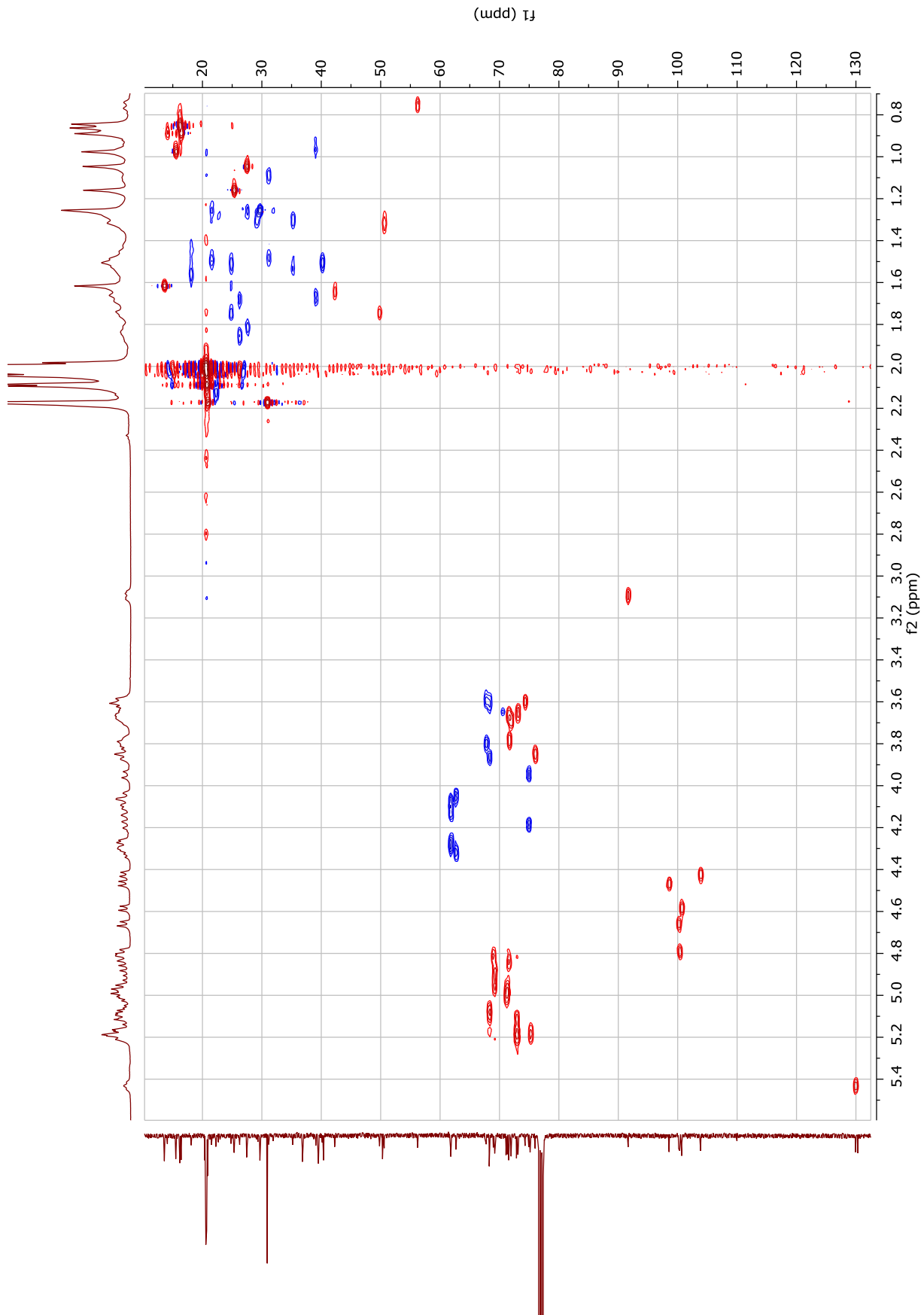


Figura 119. Espectro de HSQC do derivado acetilado de **Sb20** (400 MHz, CDCl_3).

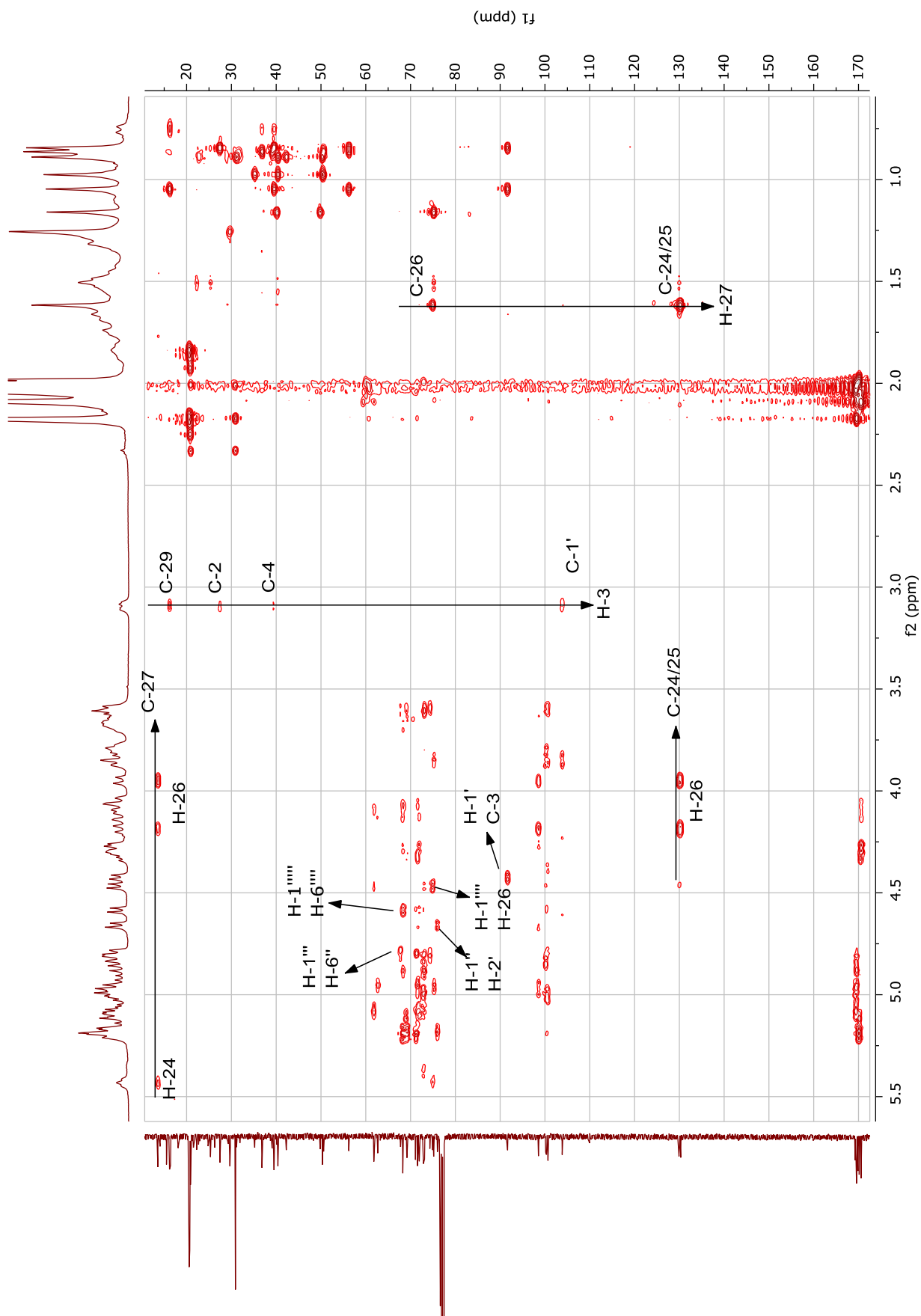


Figura 120. Espectro de HMBC do derivado acetilado de **Sb20** (400 MHz, CDCl_3).

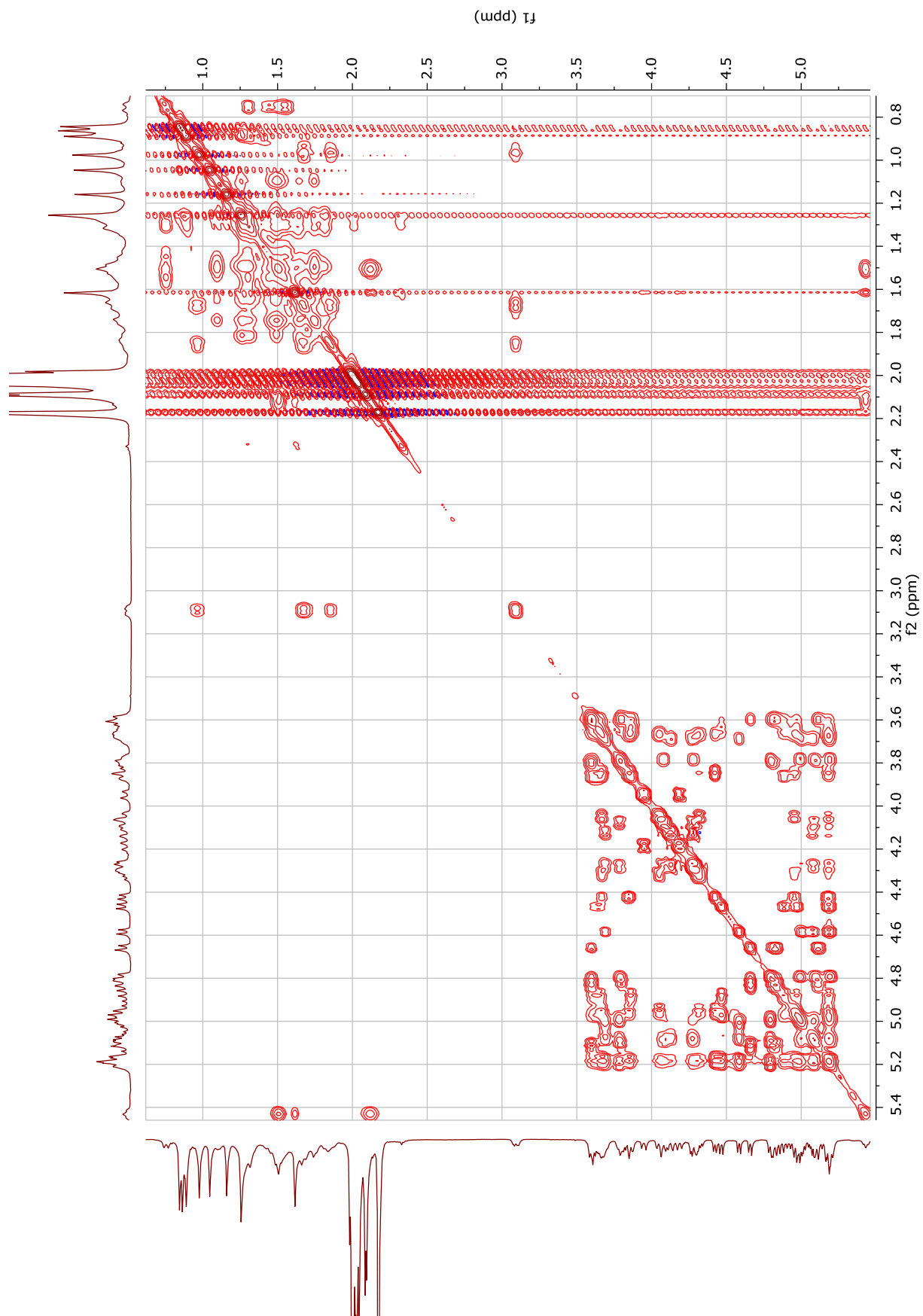


Figura 121. Espectro de TOCSY 2D do derivado acetilado de Sb20 (400 MHz, CDCl_3).

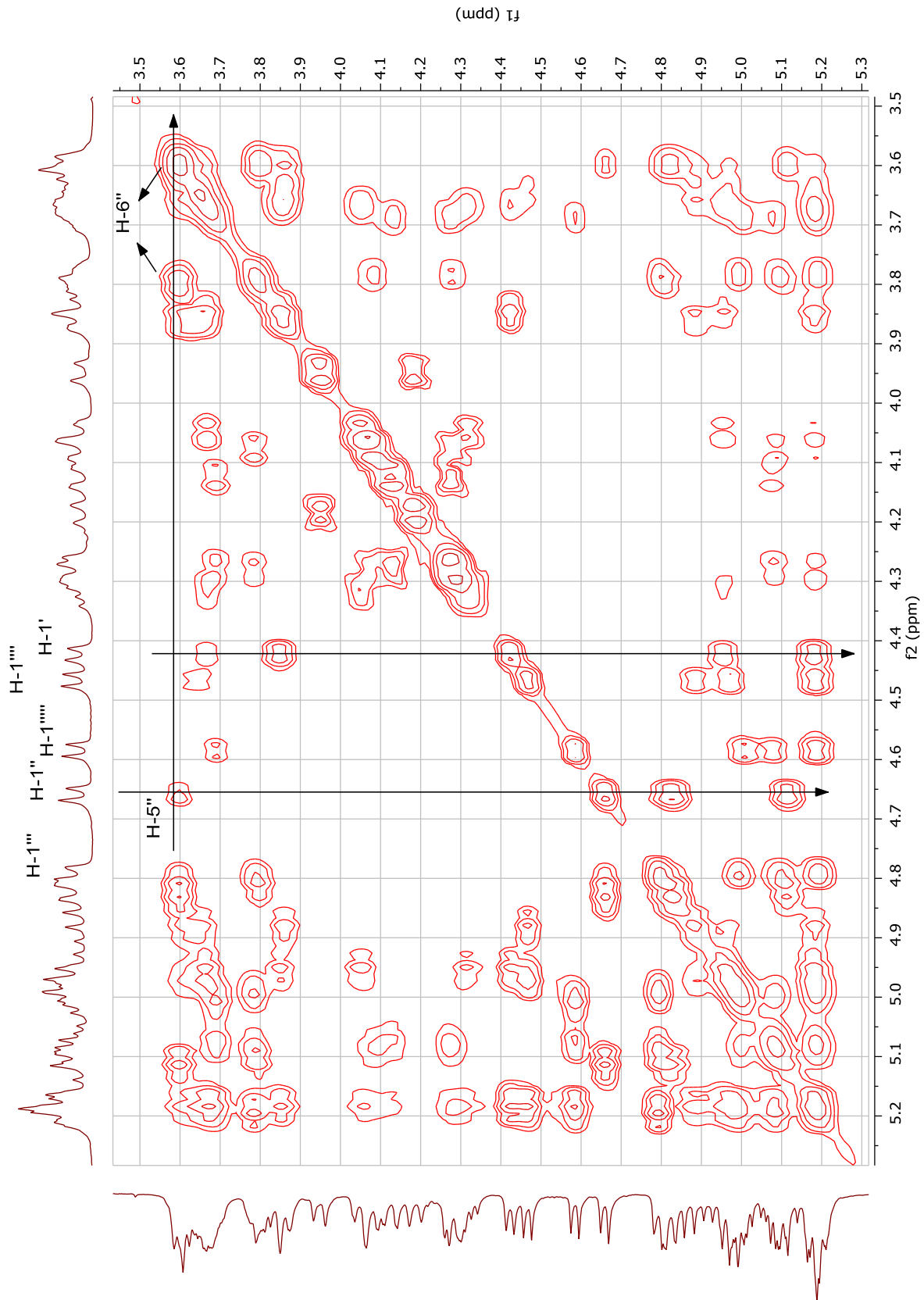


Figura 122. Expansão do espectro de TOCSY 2D do derivado acetilado de **Sb20** (400 MHz, CDCl_3).

CAC043 #1 RT: 0,00 AV: 1 NL: 1,10E8
T: FTMS +p ESI[Full ms [100,00-2000,00]
287,0914
 $C_{16}H_{15}O_5$
0,0003 ppm

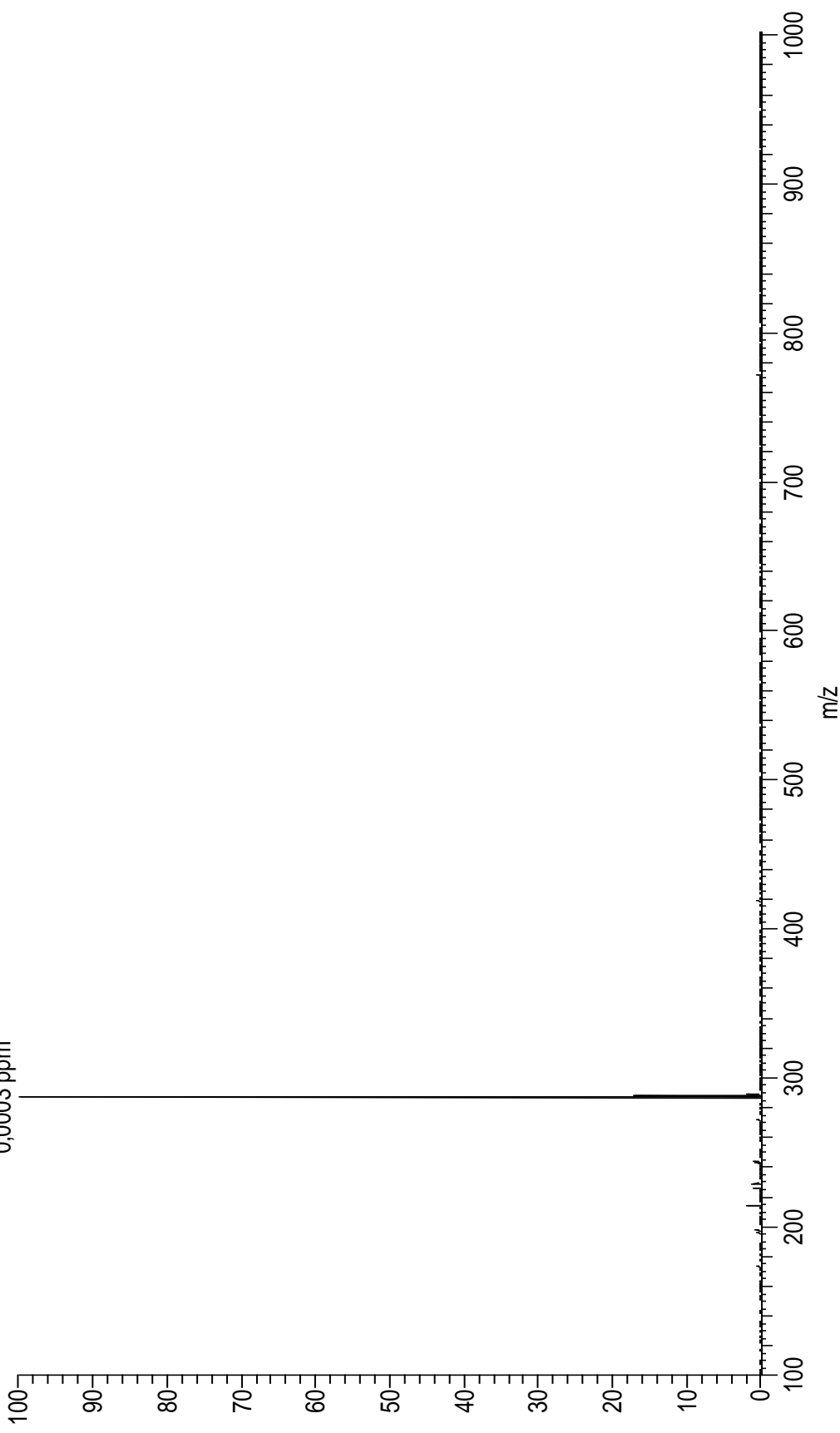


Figura 123. Espectro de massas de alta resolução de **Zg1** (ESI, modo positivo).

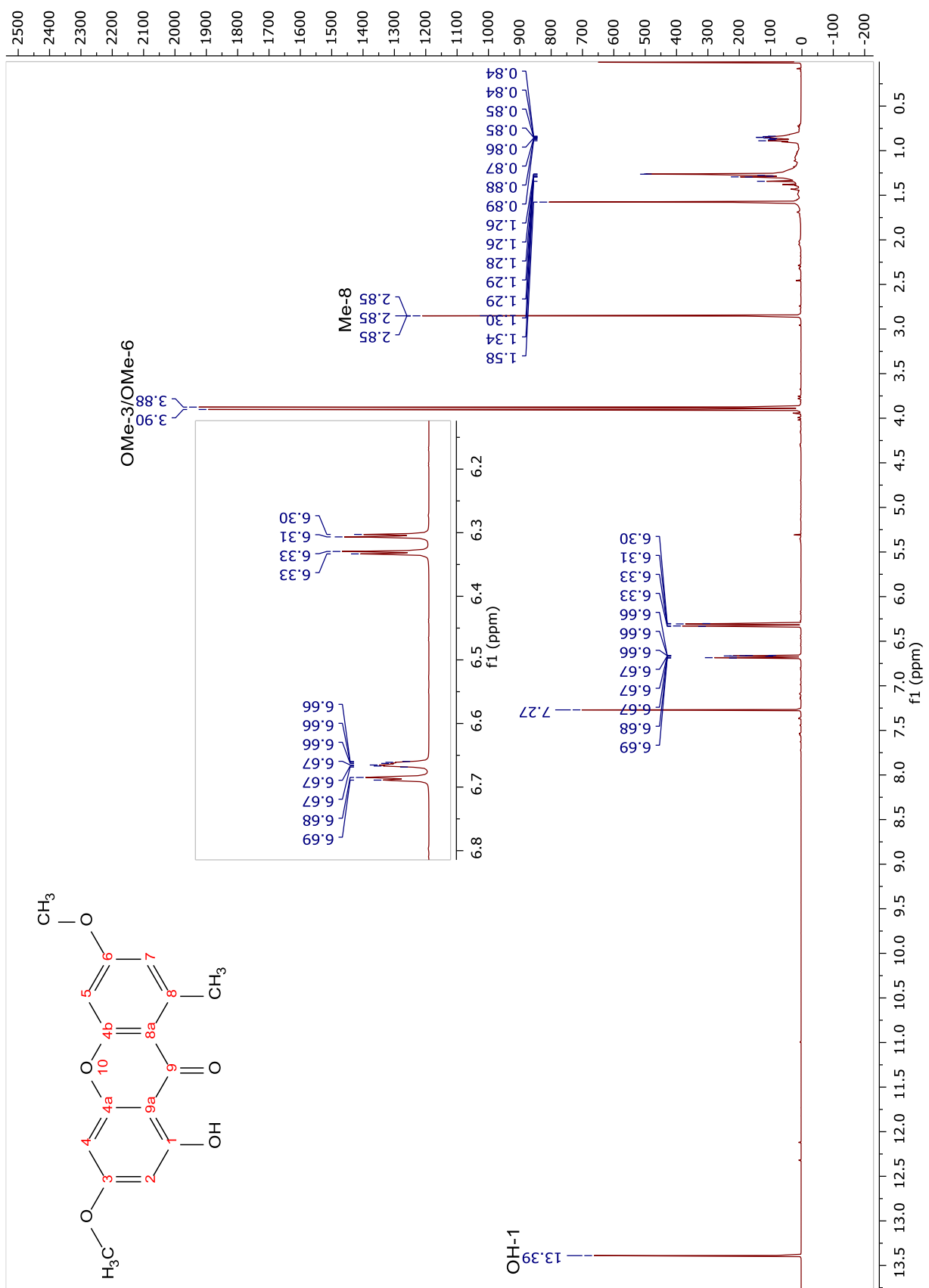


Figura 124. Espectro de RMN ^1H de Zg1 (400 MHz, CDCl_3).

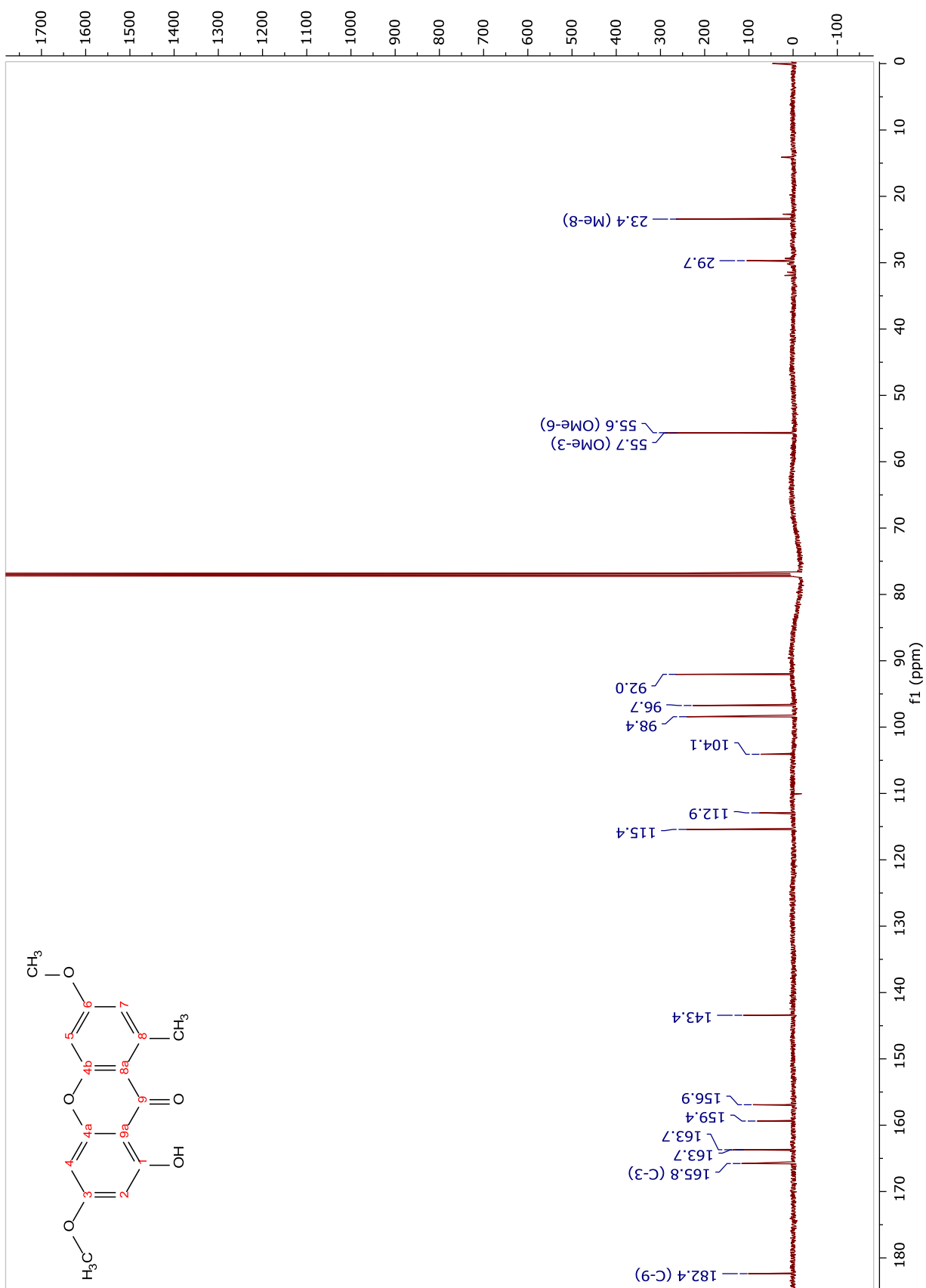


Figura 125. Espectro de RMN ^{13}C de **Zg1** (100 MHz, CDCl_3).

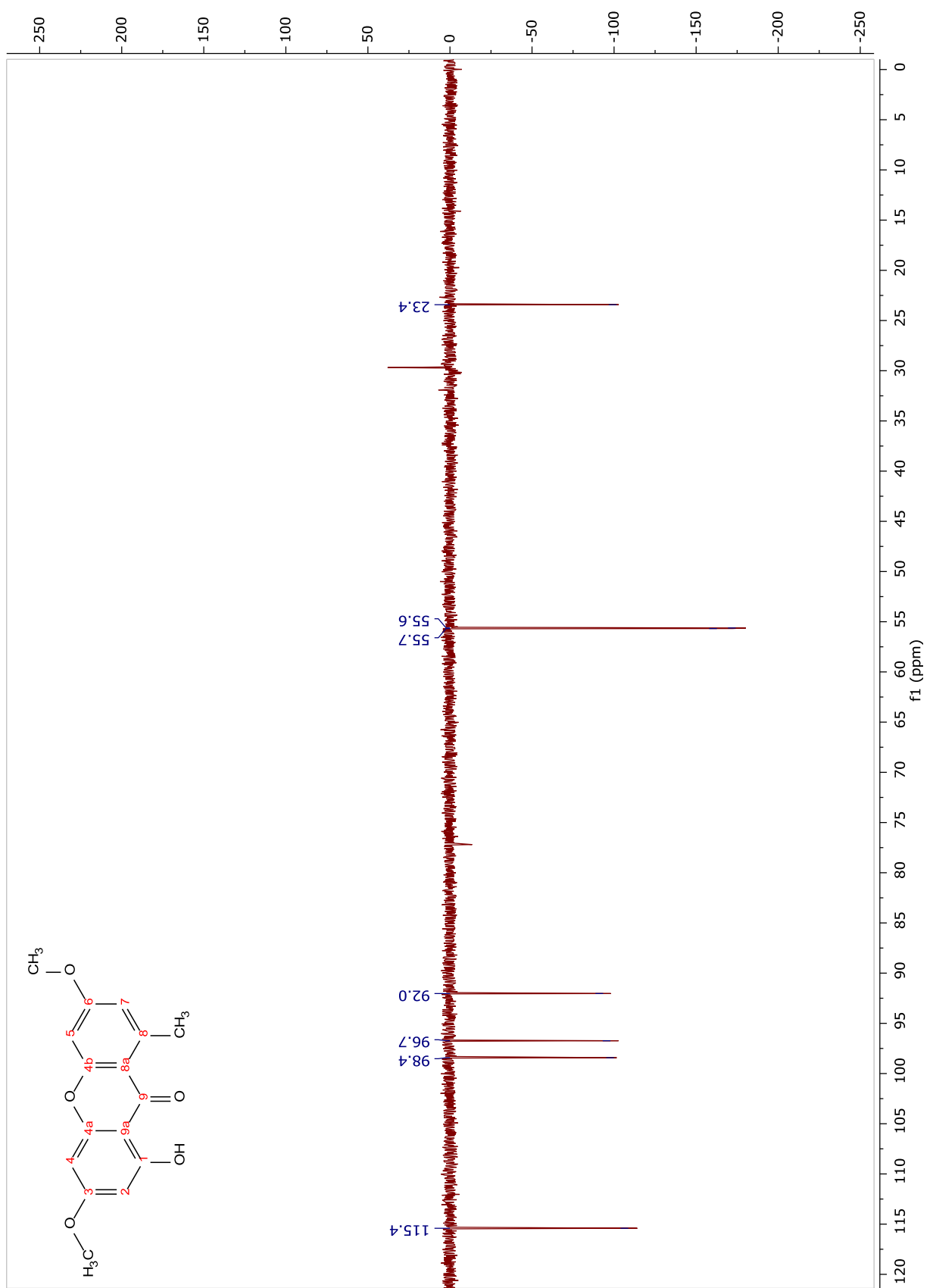


Figura 126. Espectro de DEPT-135 de Zg1 (100 MHz, CDCl_3).

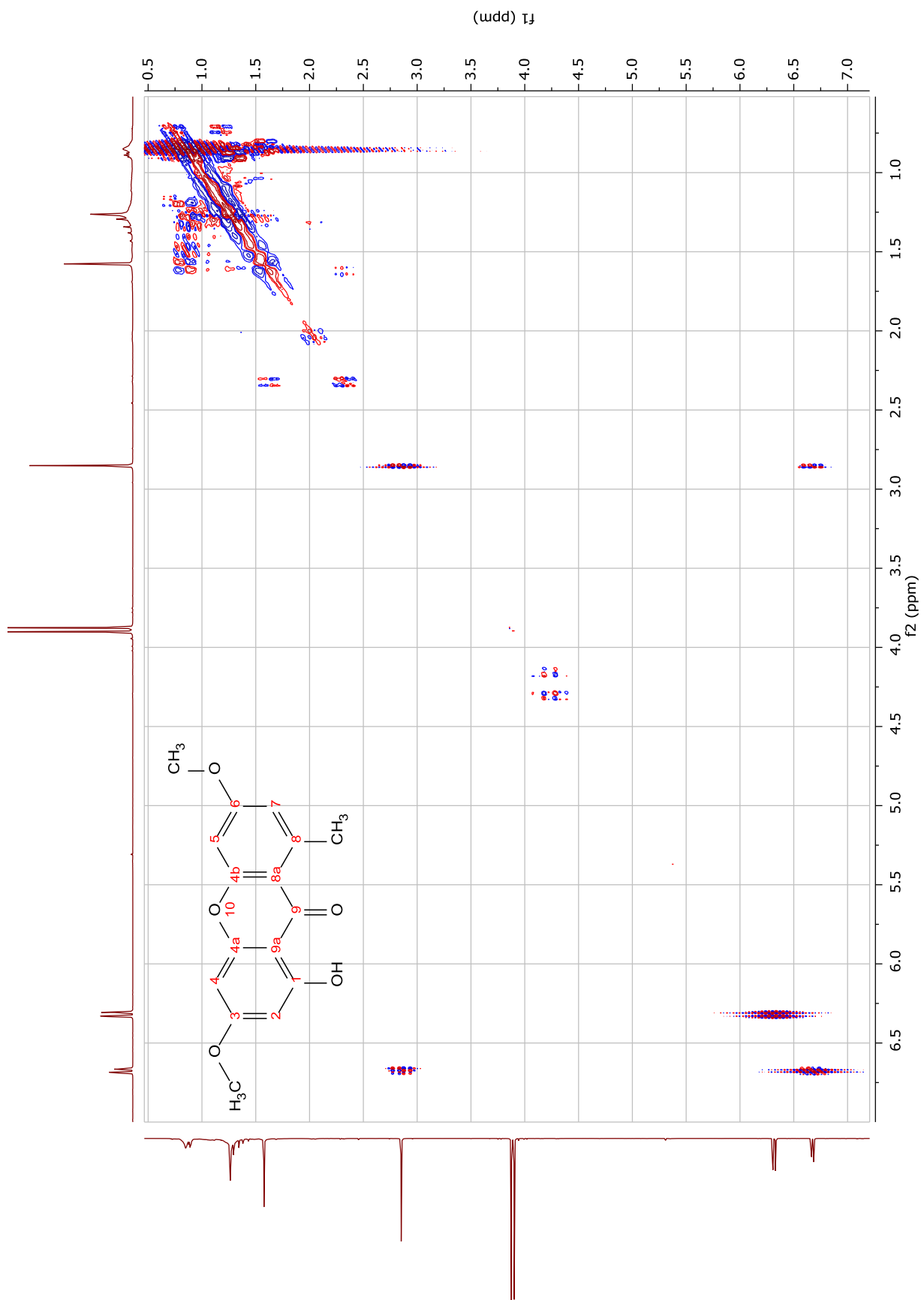


Figura 127. Espectro de COSY de **Zg1** (400 MHz, CDCl_3).

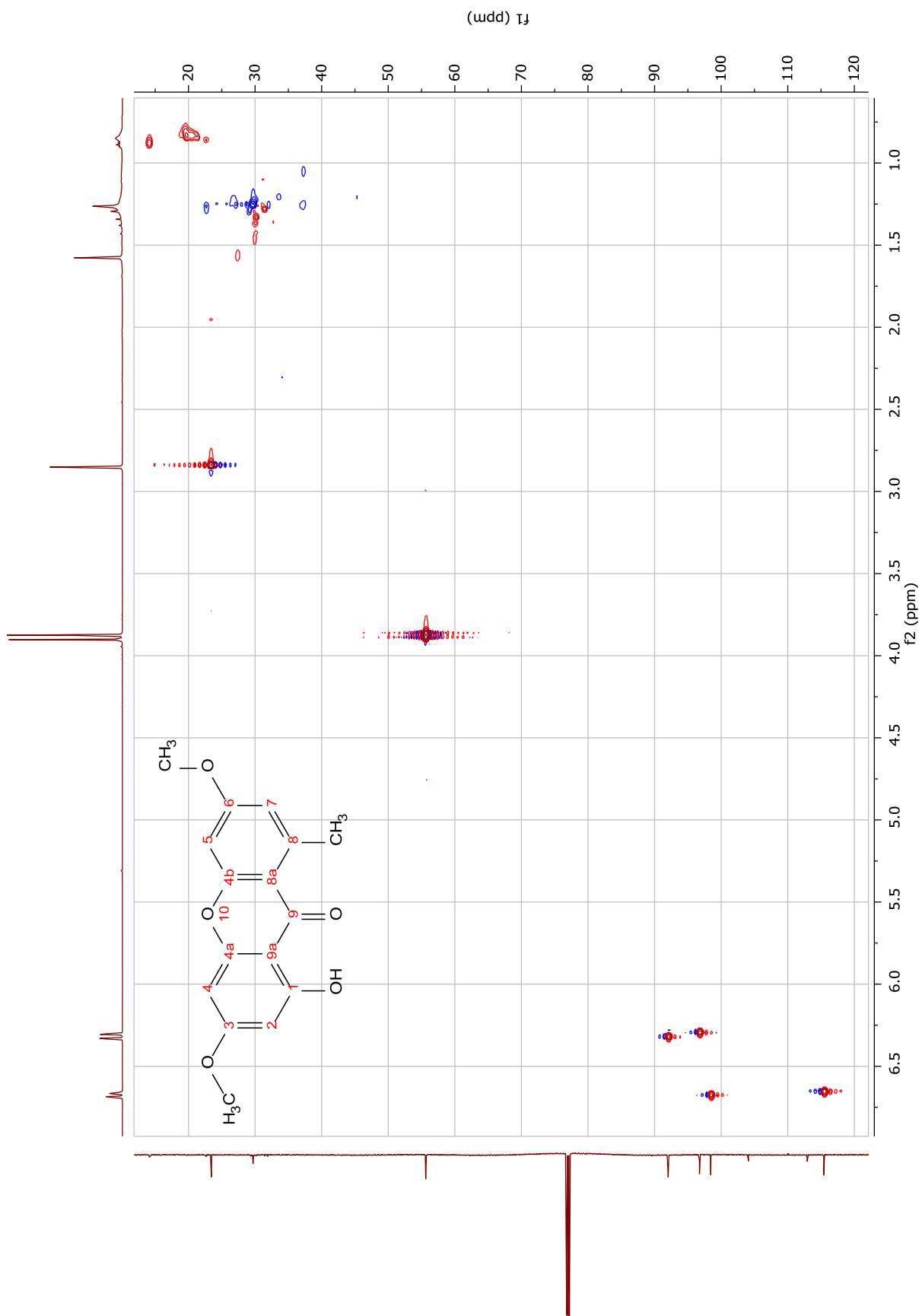


Figura 128. Espectro de HSQC de Zg1 (400 MHz, CDCl₃).

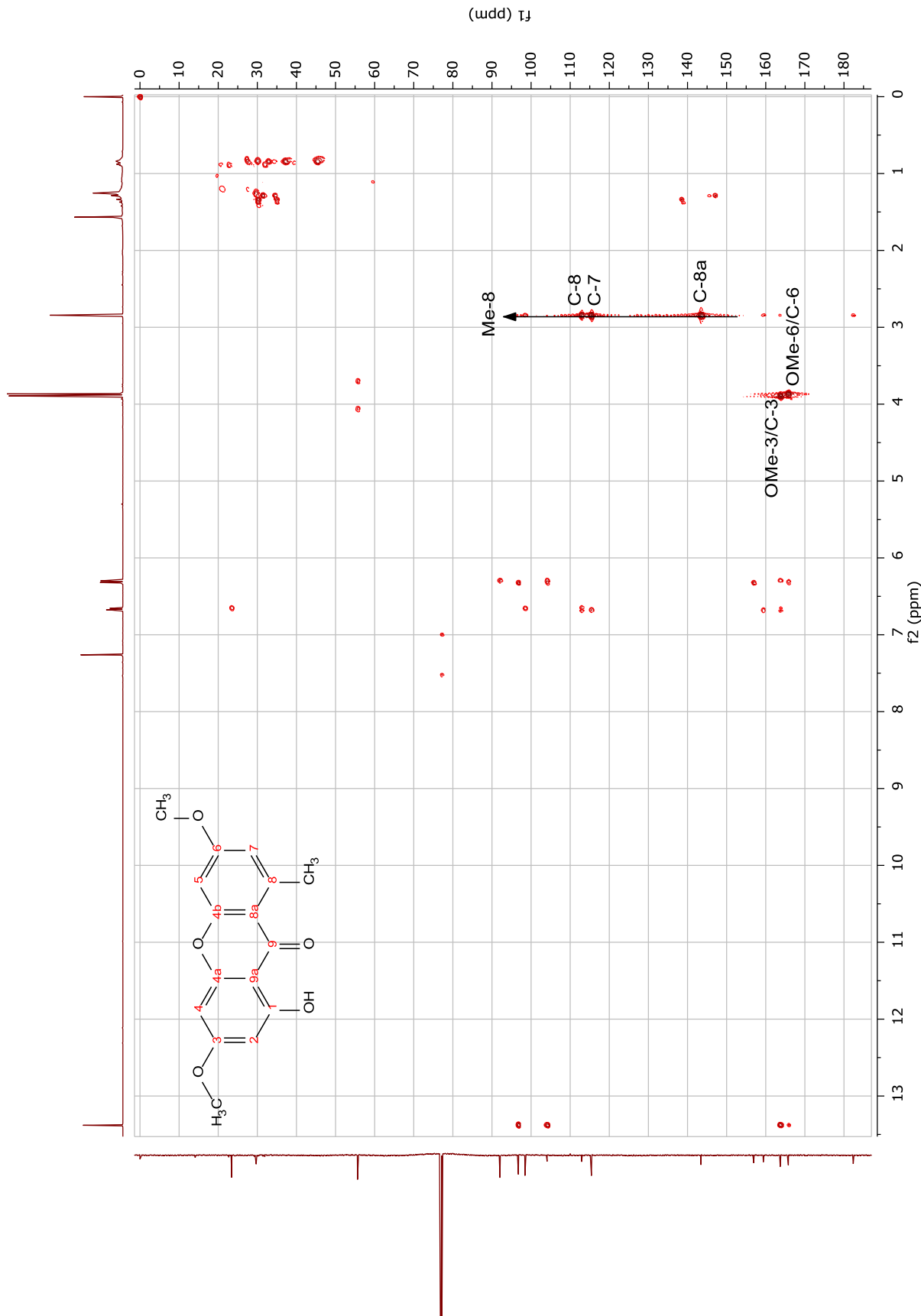


Figura 129. Espectro de HMBC de Zg1 (400 MHz, CDCl₃).

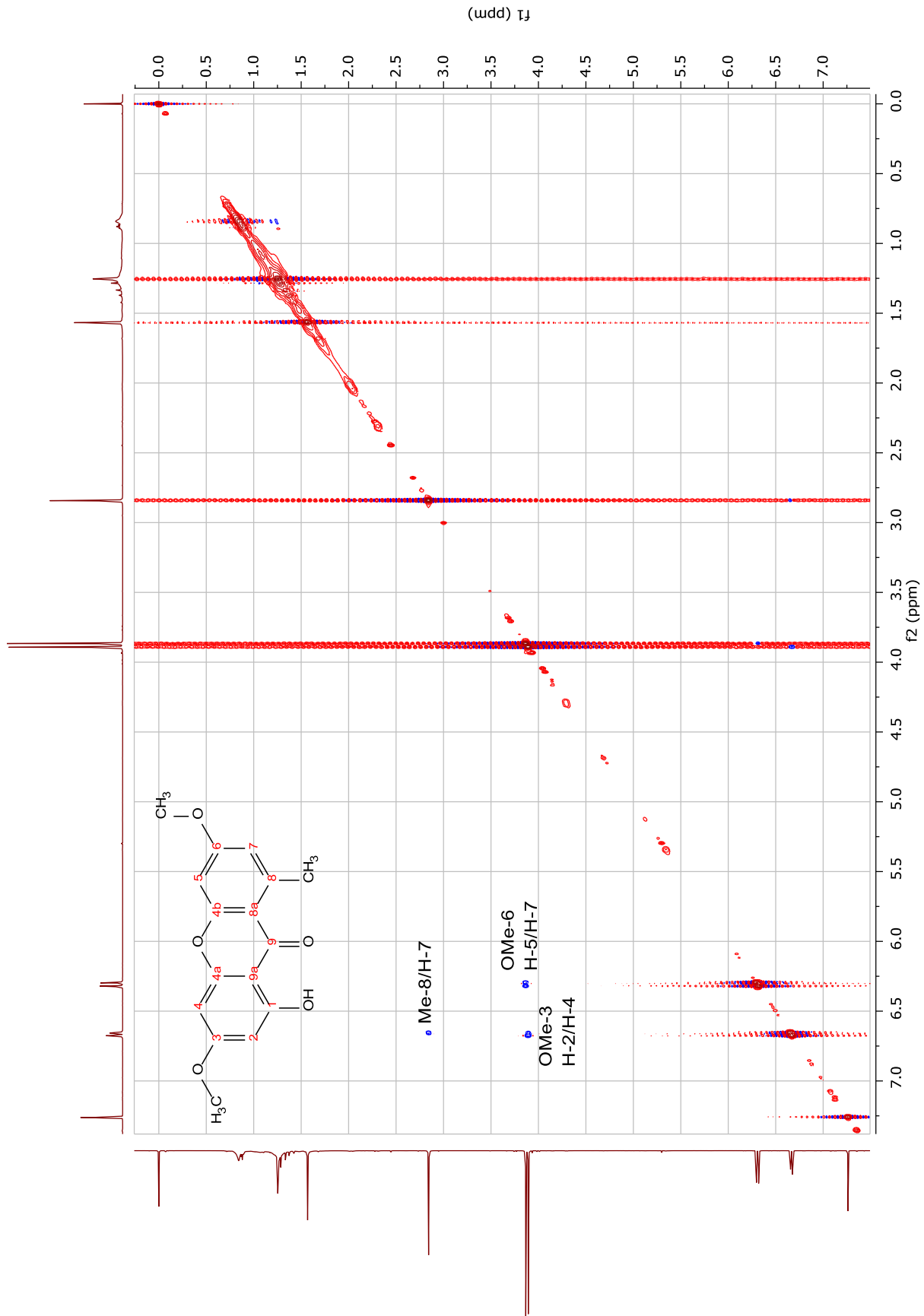


Figura 130. Espectro de NOESY de Zg1 (400 MHz, CDCl_3).

CAC078_neg #1-62 RT: 0,00-0,25 AV: 62 NL: 2,47E6
T: FTMS -p ESIFull ms [50,00-2000,00]

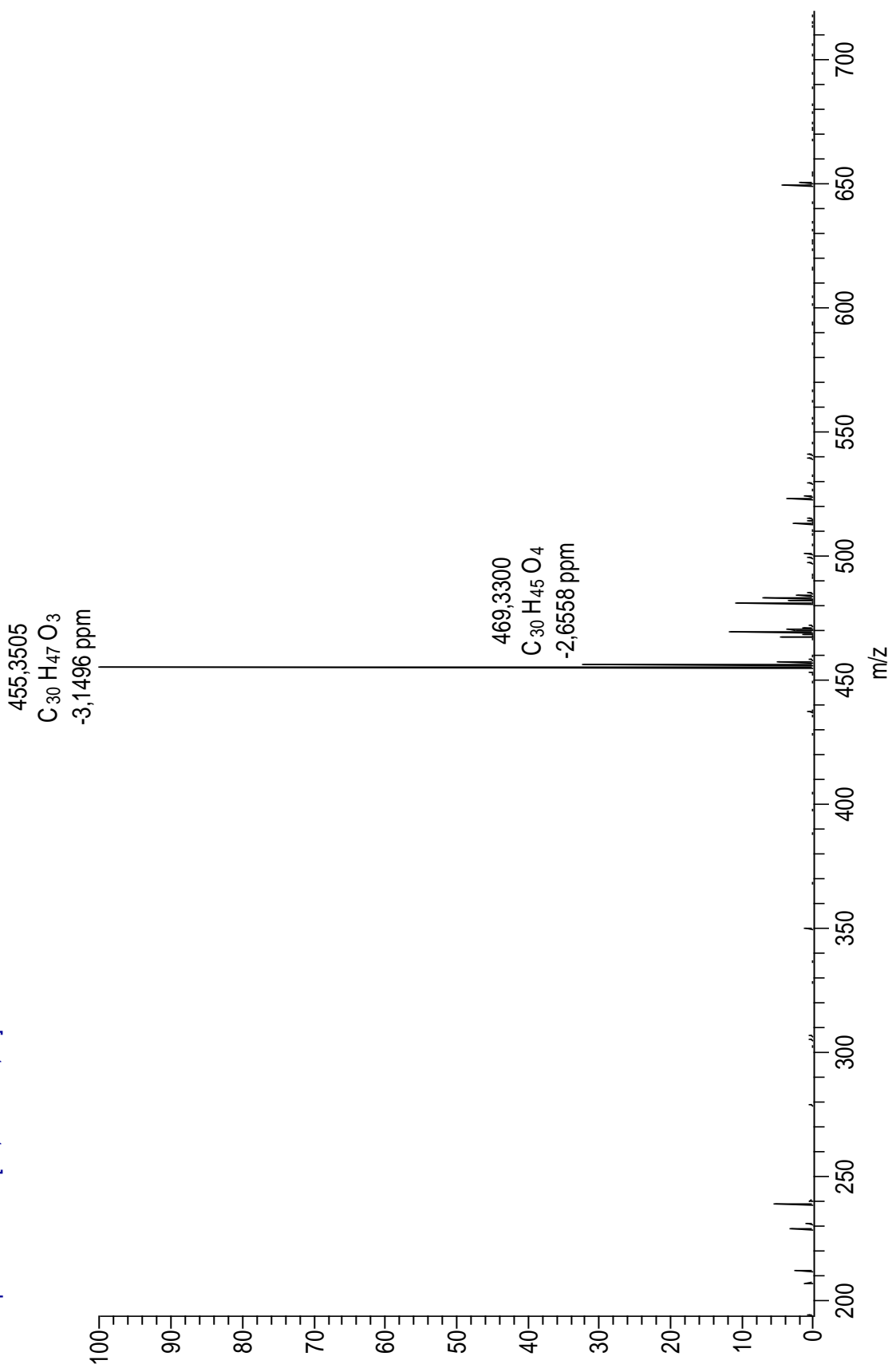


Figura 131. Espectro de massas de alta resolução de **Zg2** (ESI, modo negativo).

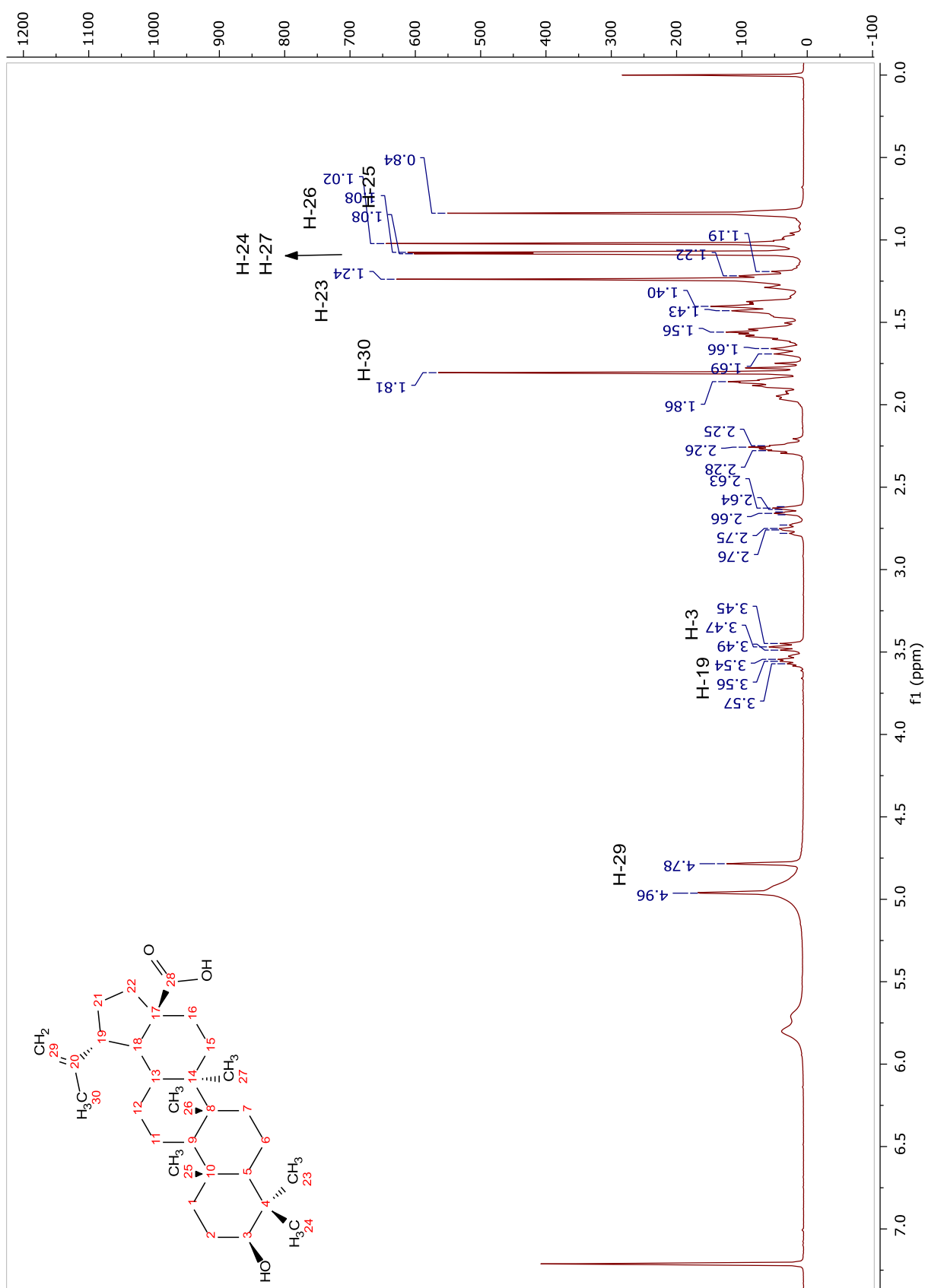


Figura 132. Espectro de RMN ^1H de **Zg2** (400 MHz, $\text{C}_5\text{D}_5\text{N}$).

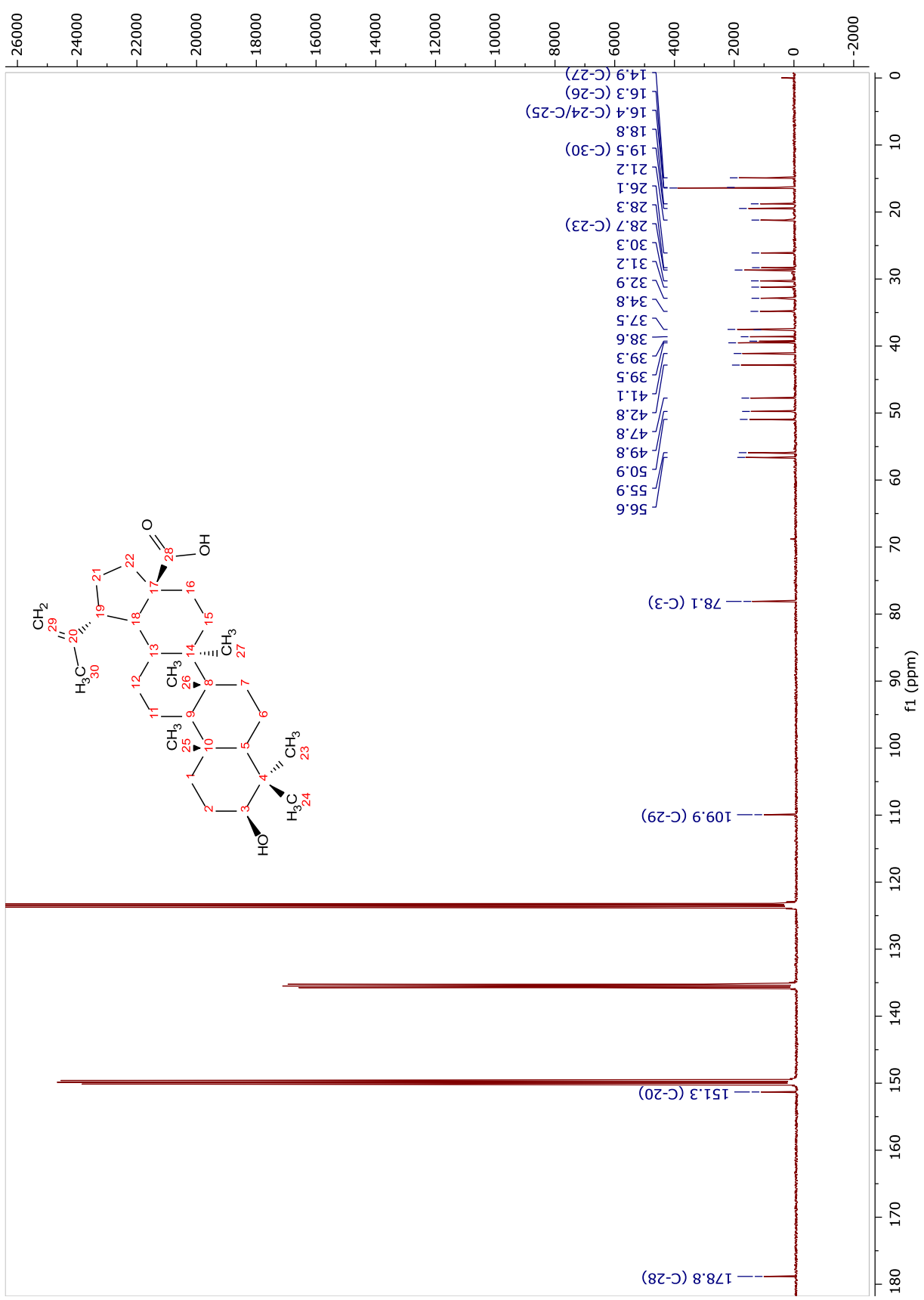


Figura 133. Espectro de RMN ^{13}C de Zg2 (100 MHz, $\text{C}_5\text{D}_5\text{N}$).

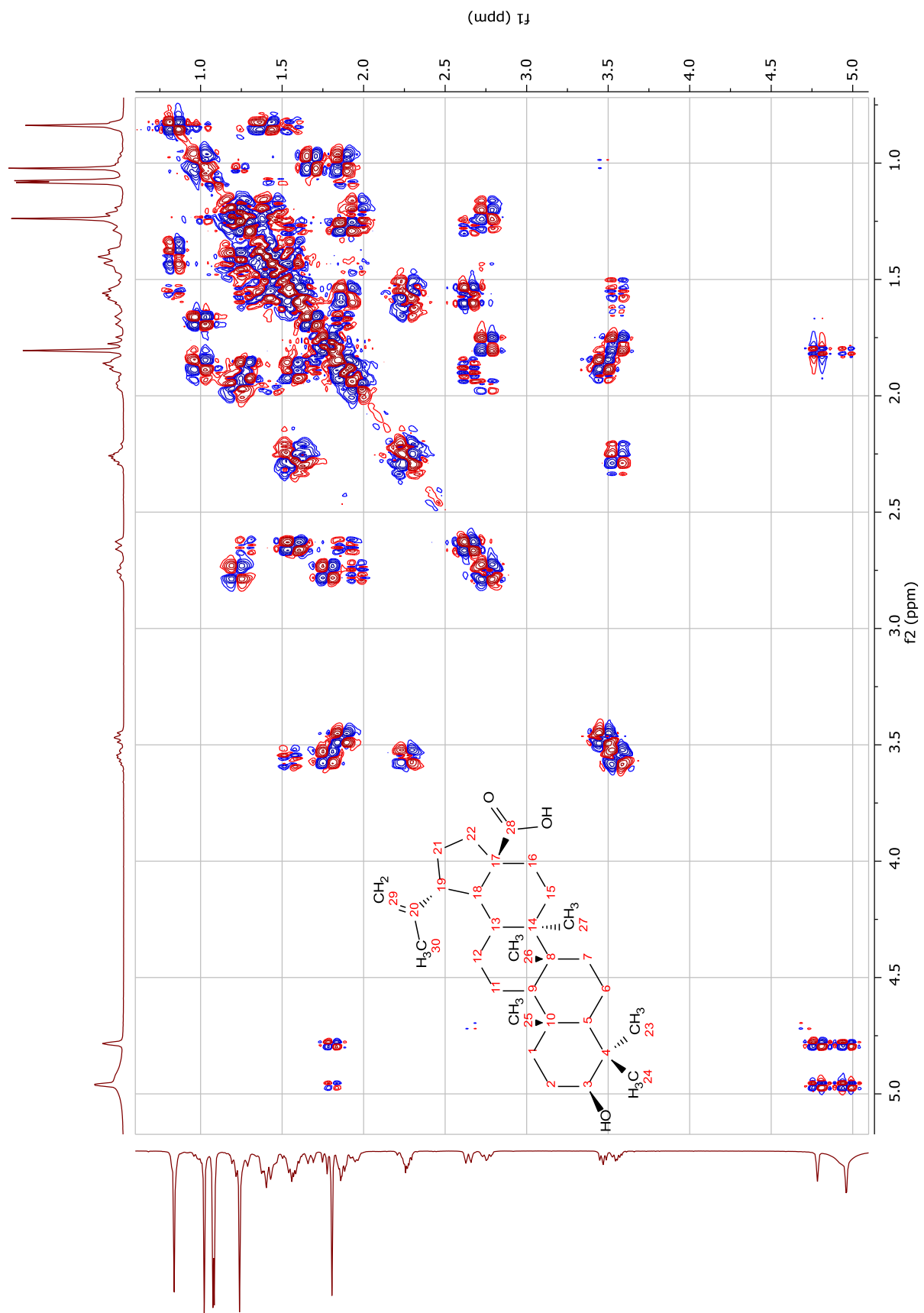


Figura 134. Espectro de COSY de Zg2 (400 MHz, $\text{C}_5\text{D}_5\text{N}$).

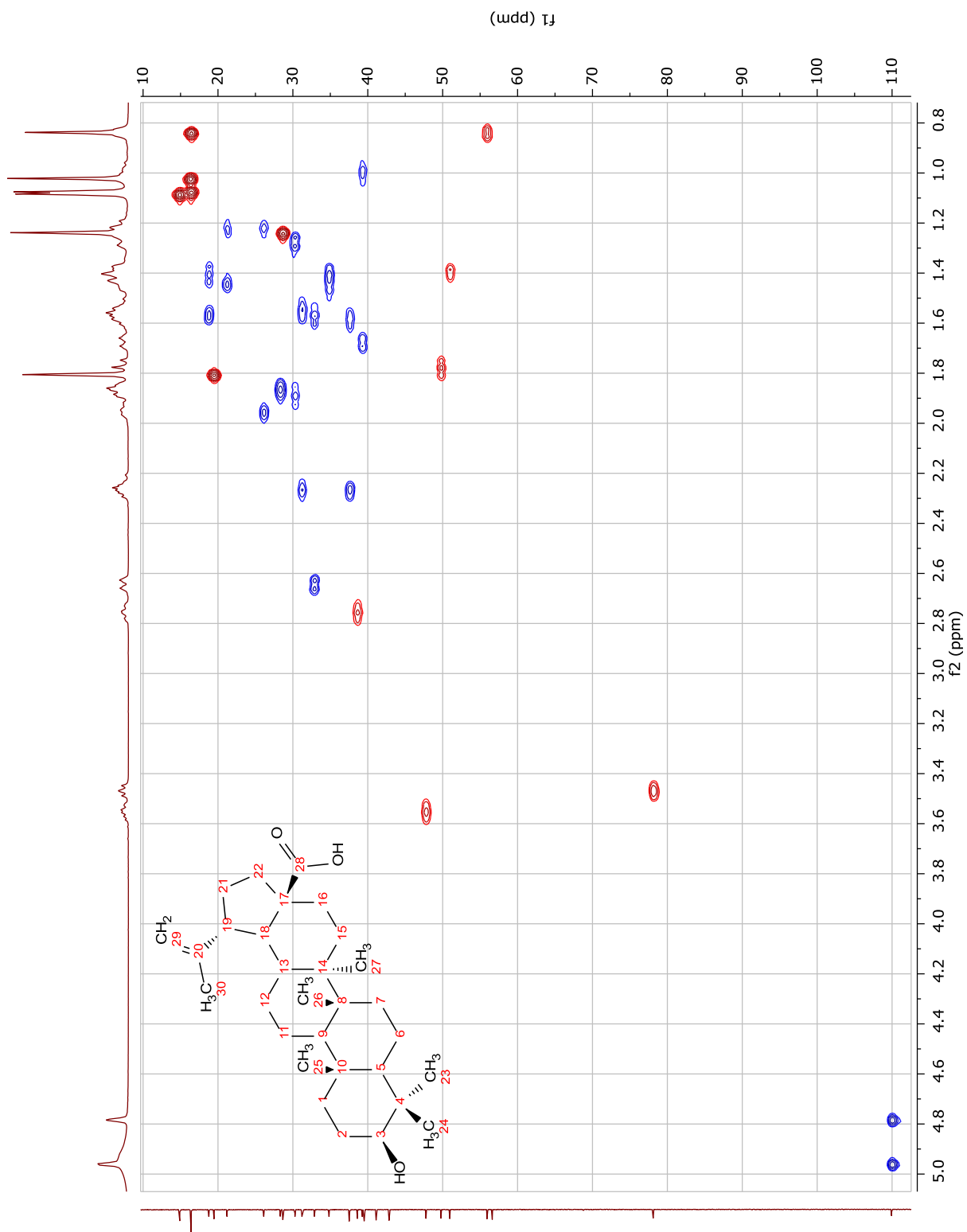


Figura 135. Espectro de HSQC de Zg2 (400 MHz, $\text{C}_5\text{D}_5\text{N}$).

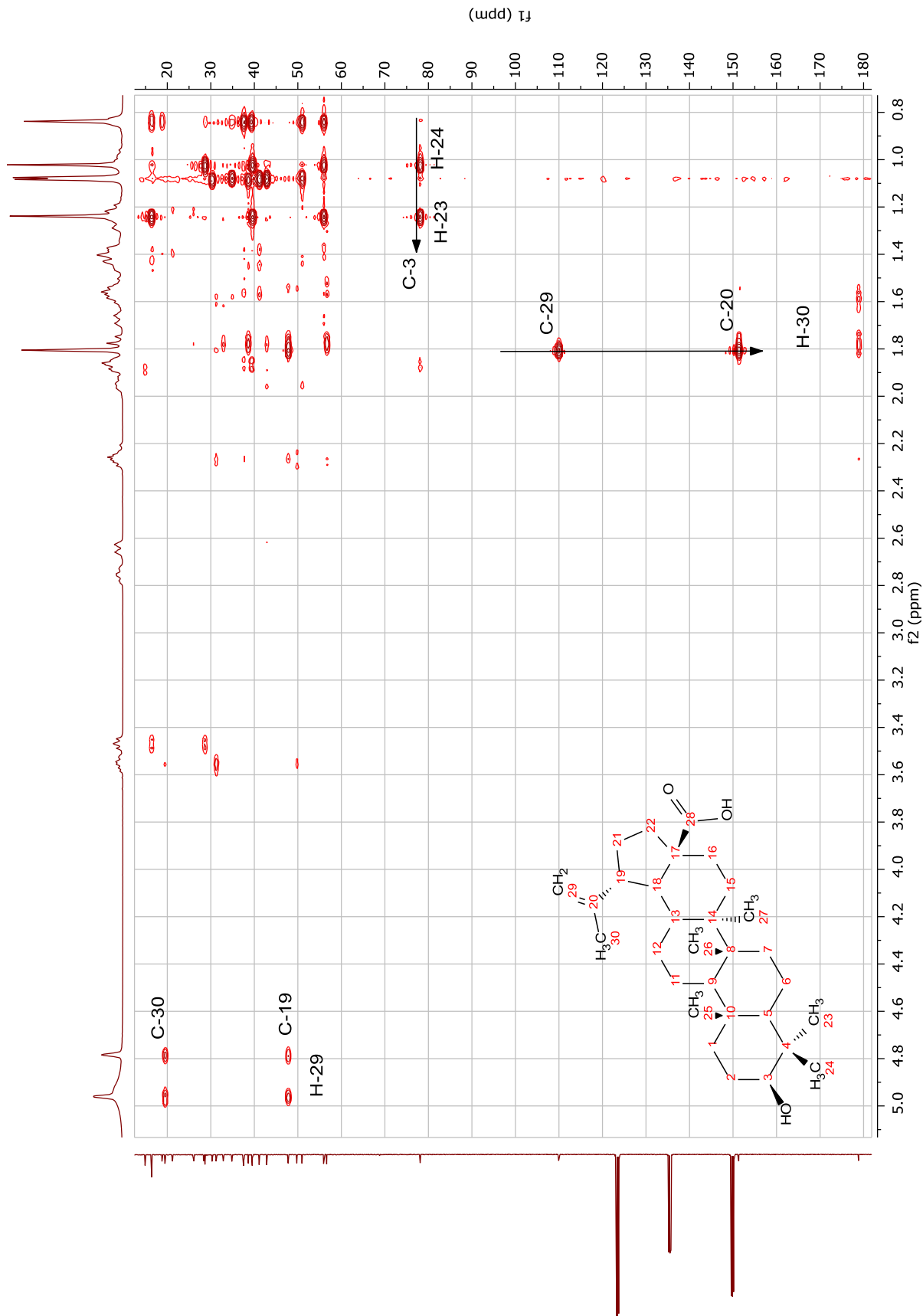


Figura 136. Espectro de HMBC de Zg2 (400 MHz, C₅D₅N).

CAC061 #41 RT: 0,17 AV: 1 NL: 2,82E6
T: FTMS - p ESI[Full ms [50,00-2000,00]]

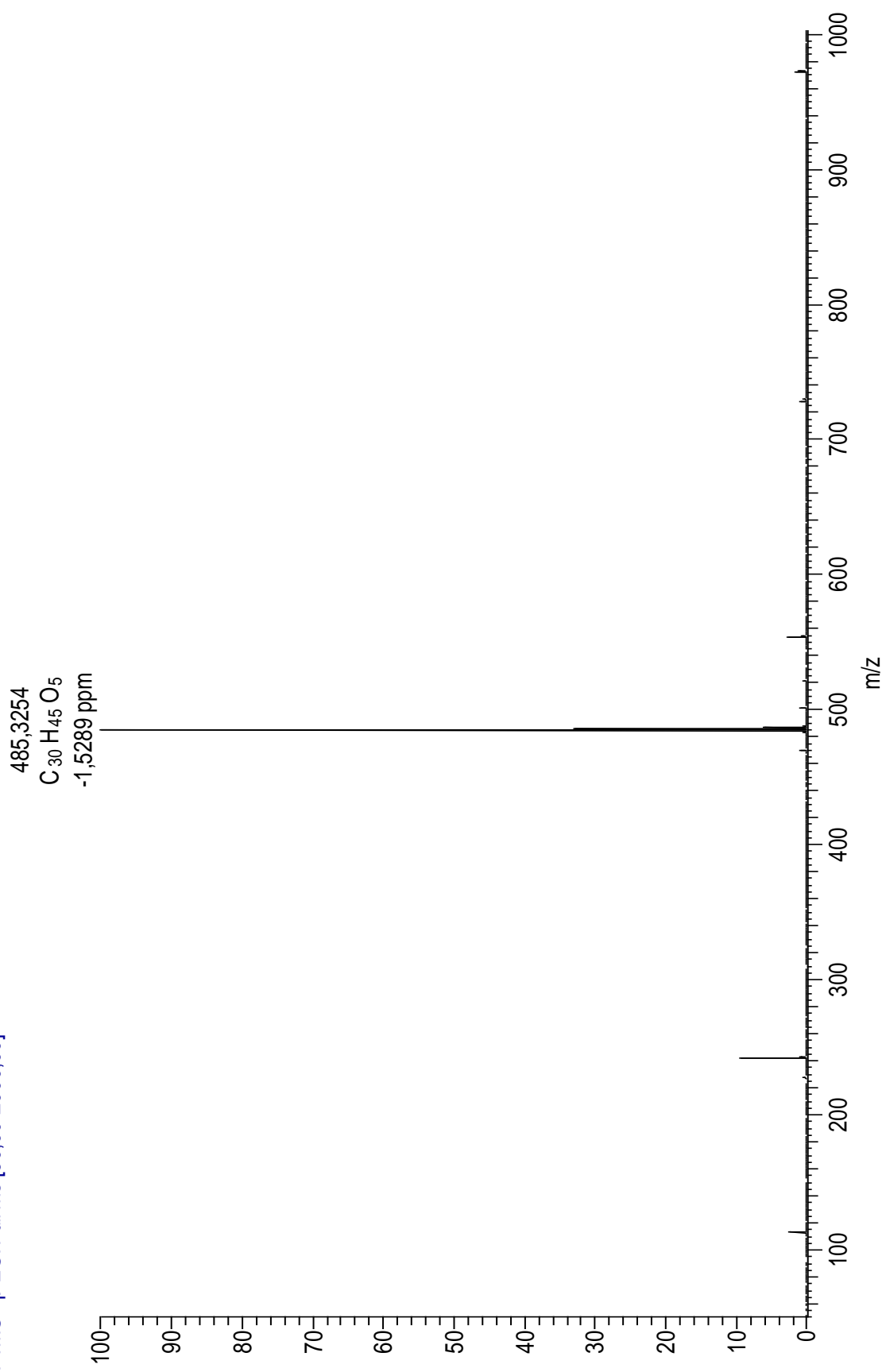


Figura 137. Espectro de massas de alta resolução de **Zg3** (ESI, modo negativo).

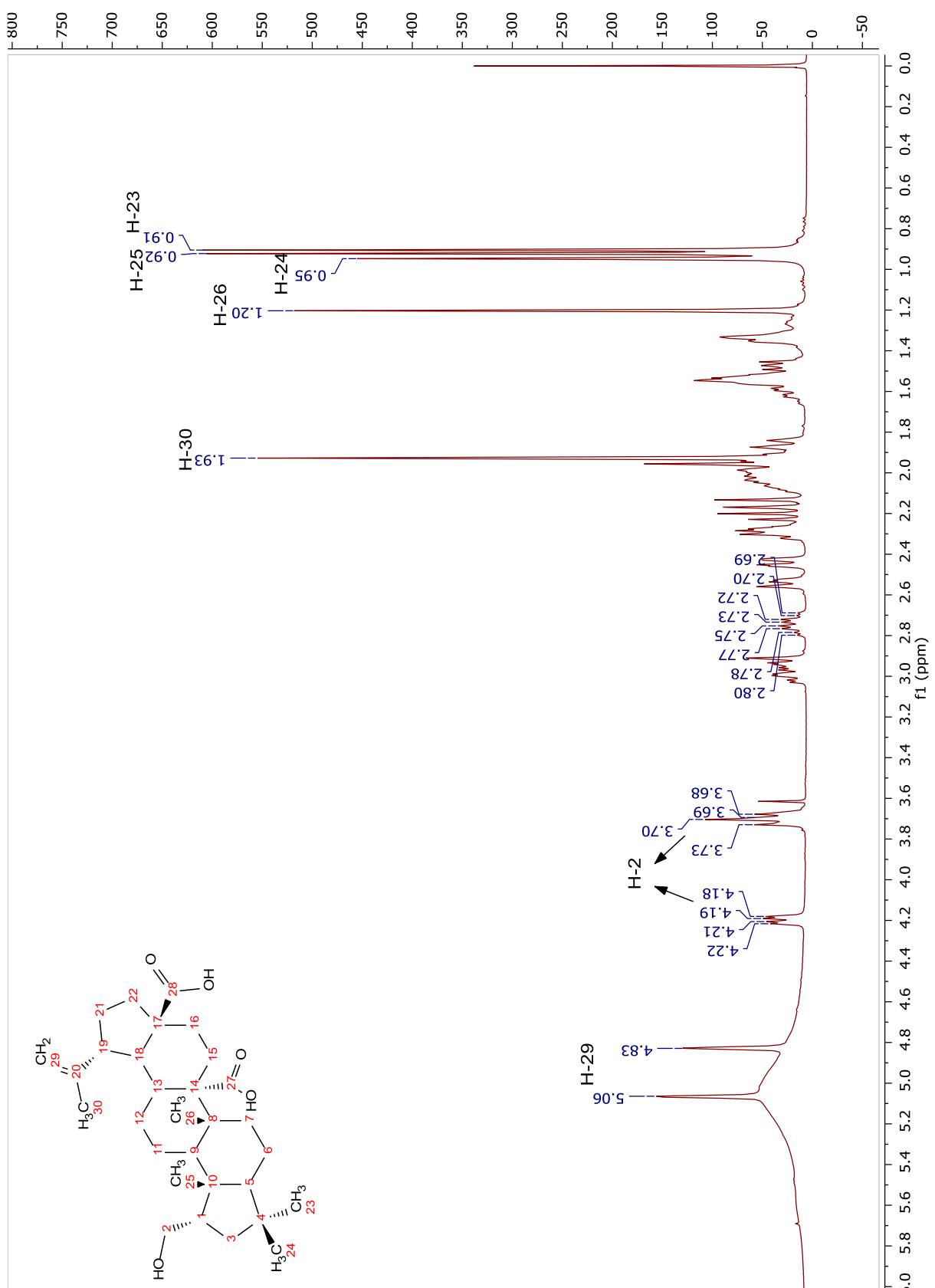


Figura 138. Espectro de RMN ^1H de Zg3 (400 MHz, $\text{C}_5\text{D}_5\text{N}$).

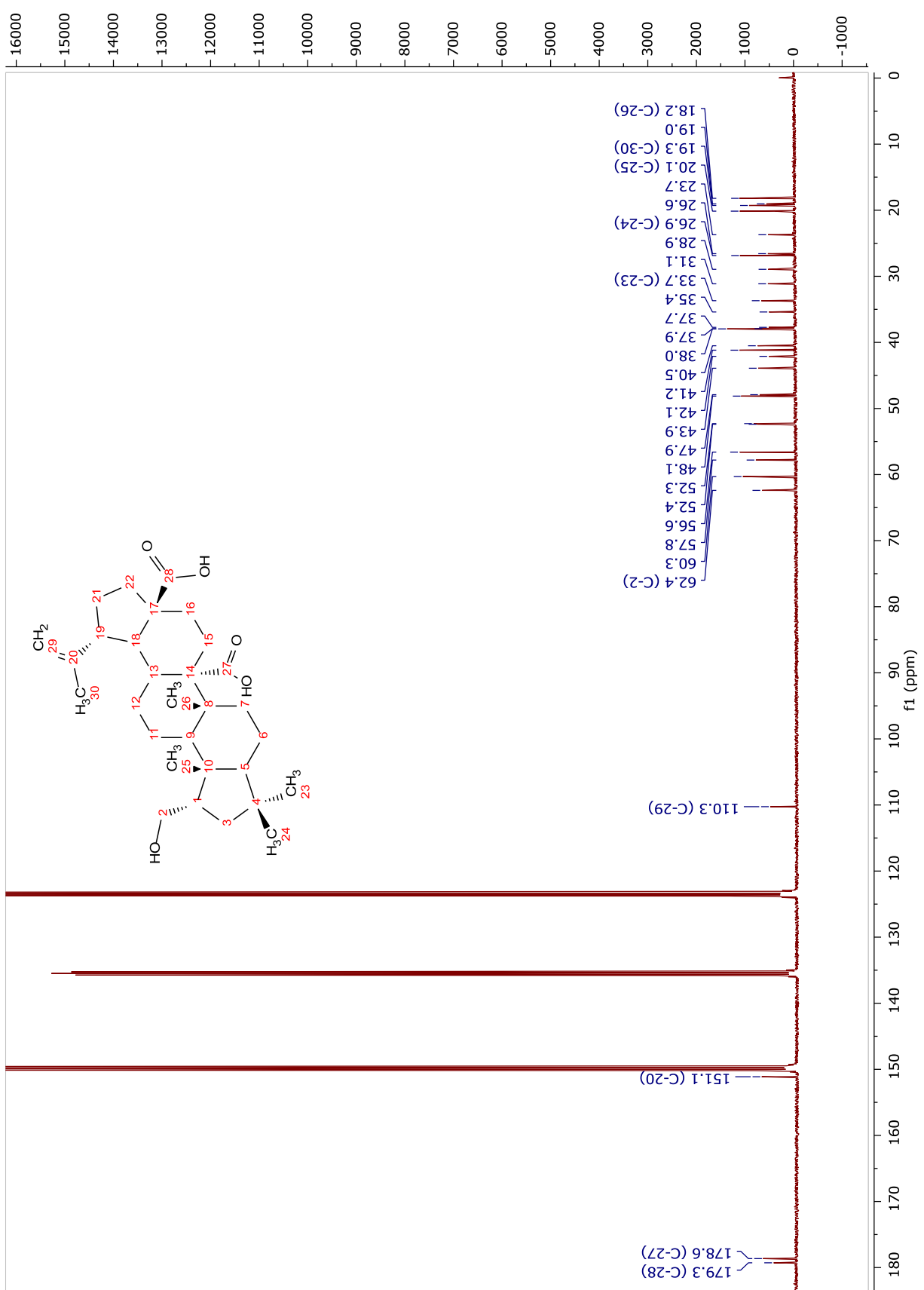


Figura 139. Espectro de RMN ^{13}C de Zg3 (100 MHz, $\text{C}_5\text{D}_5\text{N}$).

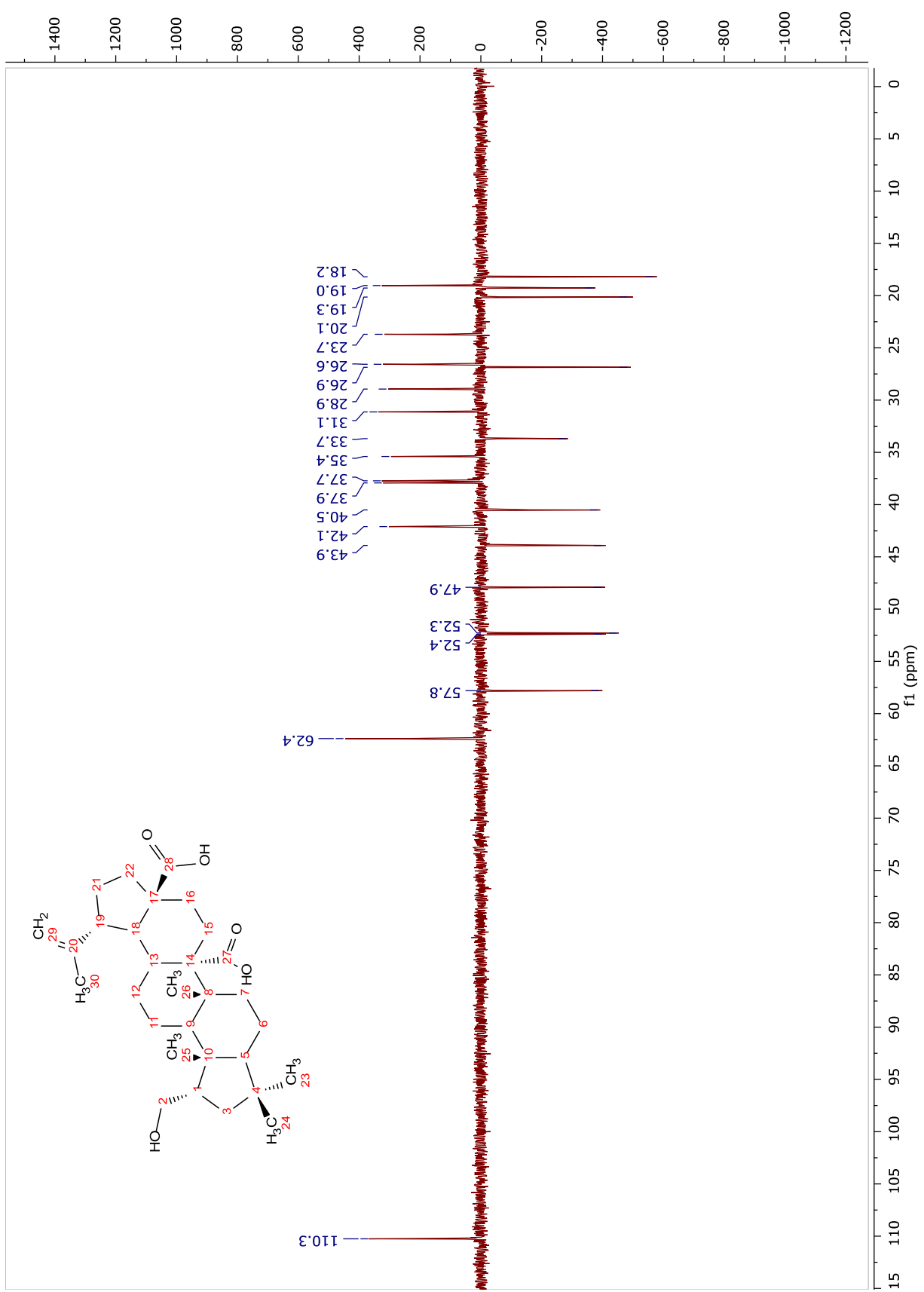


Figura 140. Espectro de DEPT-135 de Zg3 (100 MHz, $\text{C}_5\text{D}_5\text{N}$).

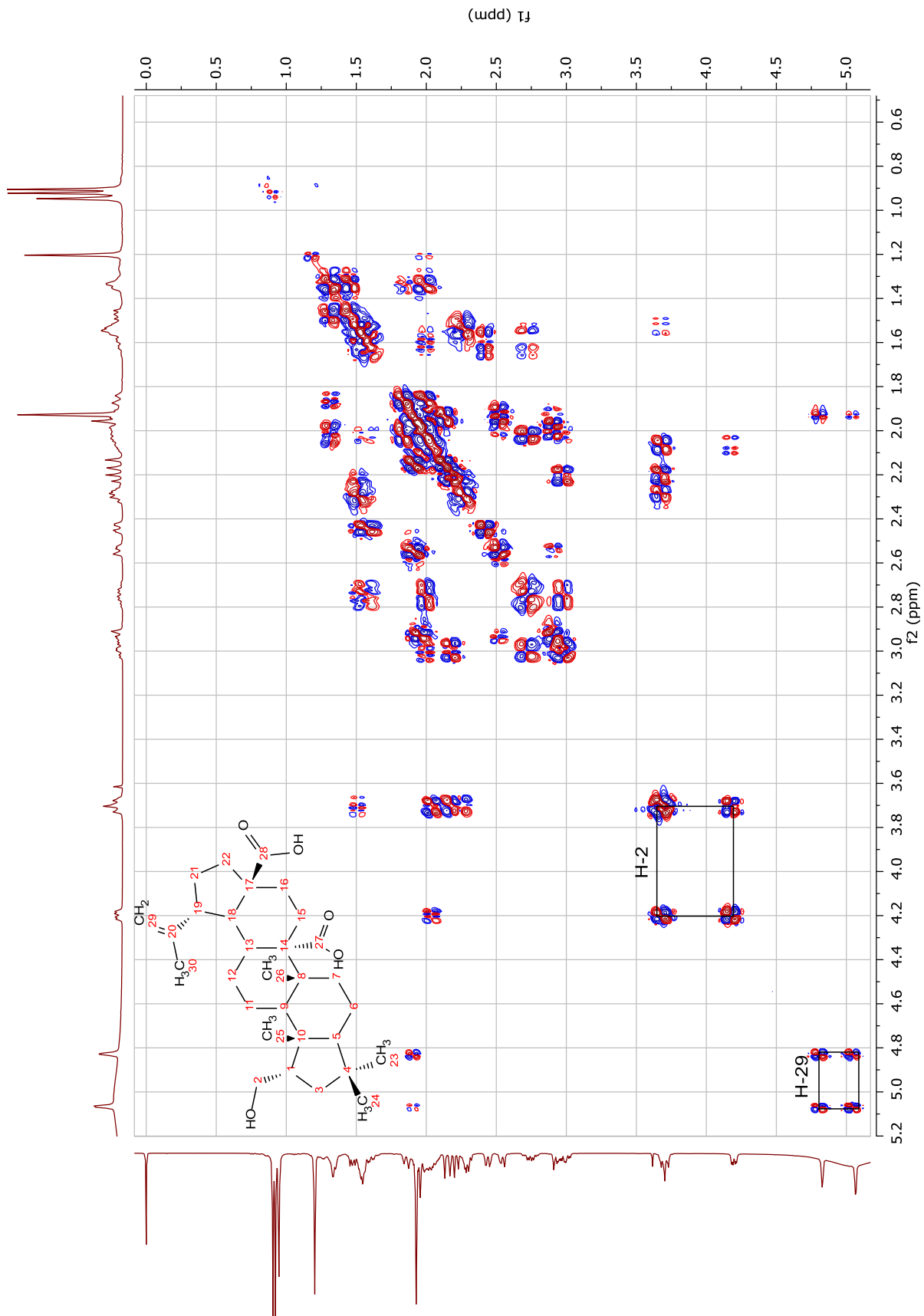


Figura 141. Espectro de COSY de Zg3 (400 MHz, $\text{C}_5\text{D}_5\text{N}$).

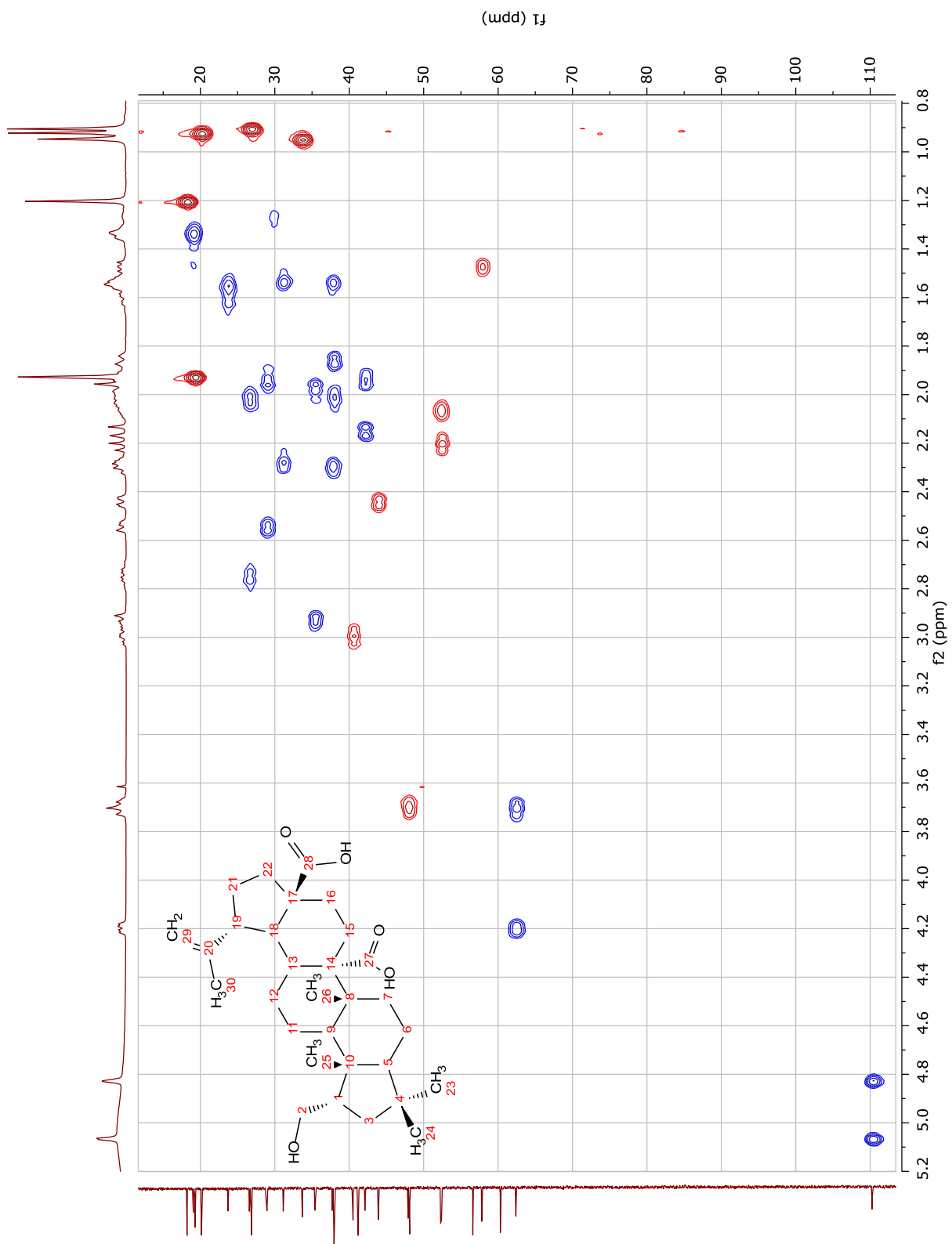


Figura 142. Espectro de HSQC de Zg3 (400 MHz, $\text{C}_5\text{D}_5\text{N}$).

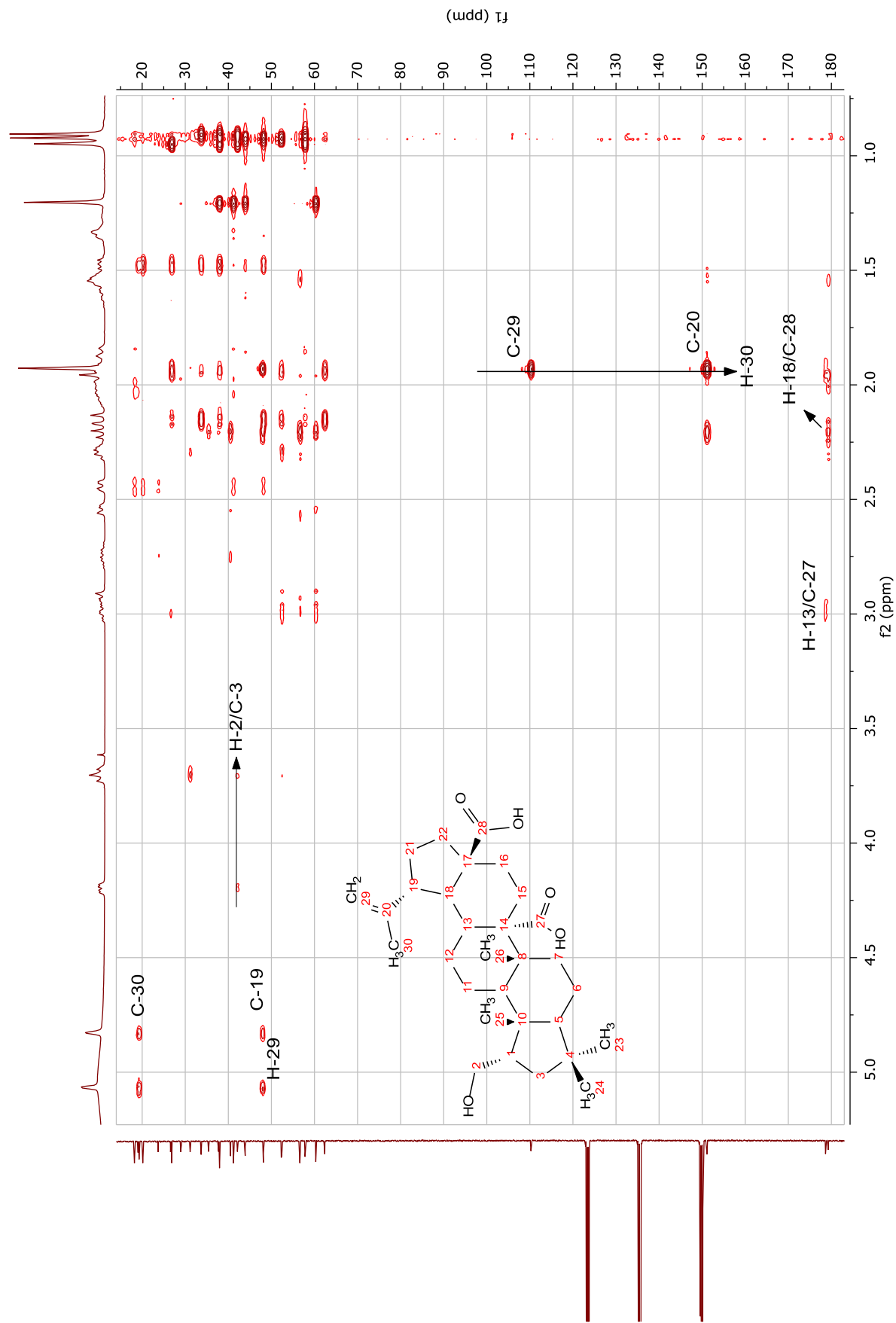


Figura 143. Espectro de HMBC de Zg3 (400 MHz, $\text{C}_5\text{D}_5\text{N}$).

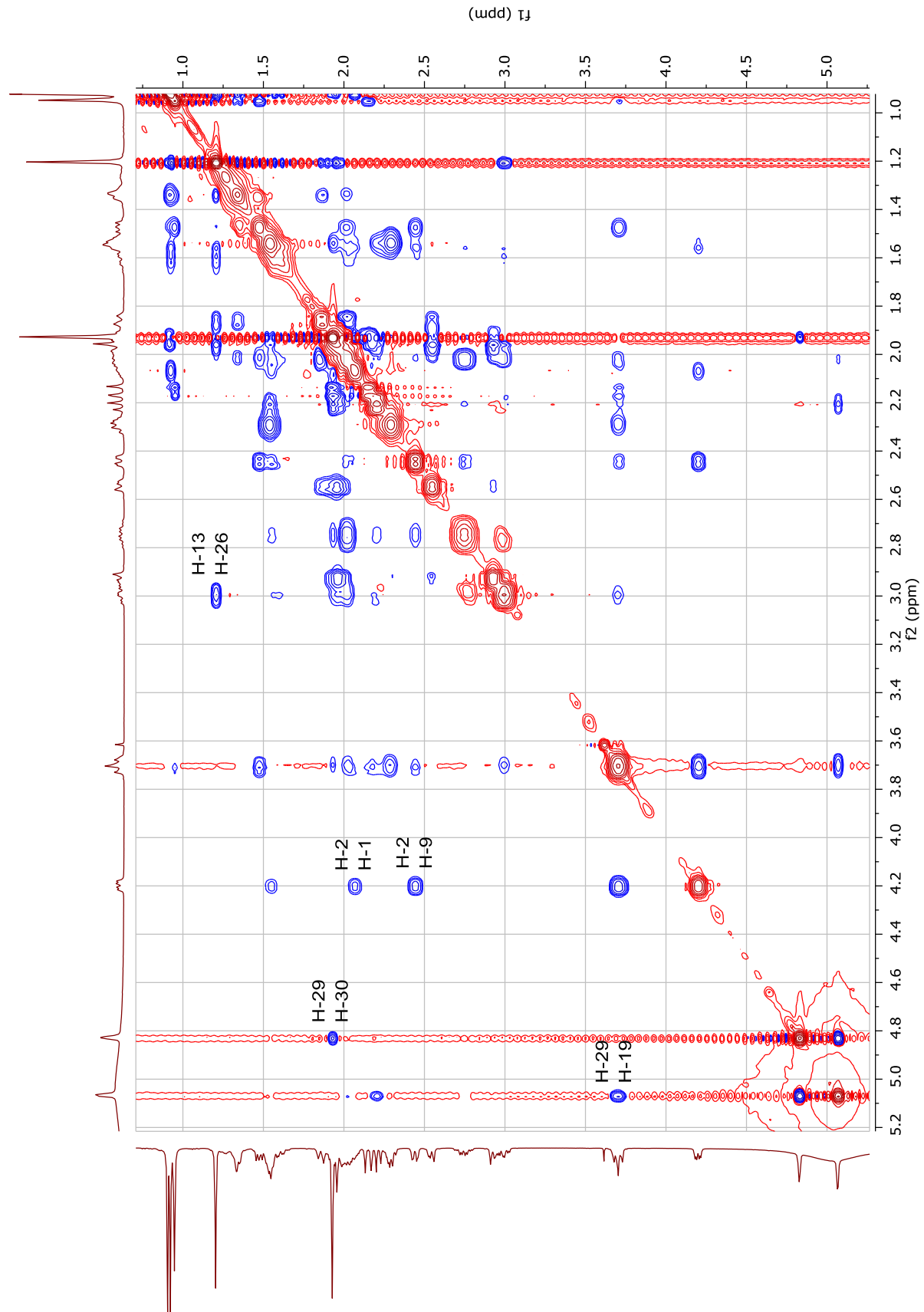


Figura 144. Espectro de NOESY de Zg3 (400 MHz, $\text{C}_5\text{D}_5\text{N}$).

CAC077_170901183551 #1 RT: 0,00 AV: 1 NL: 4,16E7
T: FTMS + p ESI Full ms [100,00-2000,00]
473,3627
 $C_{30}H_{49}O_4$
0,2840 ppm

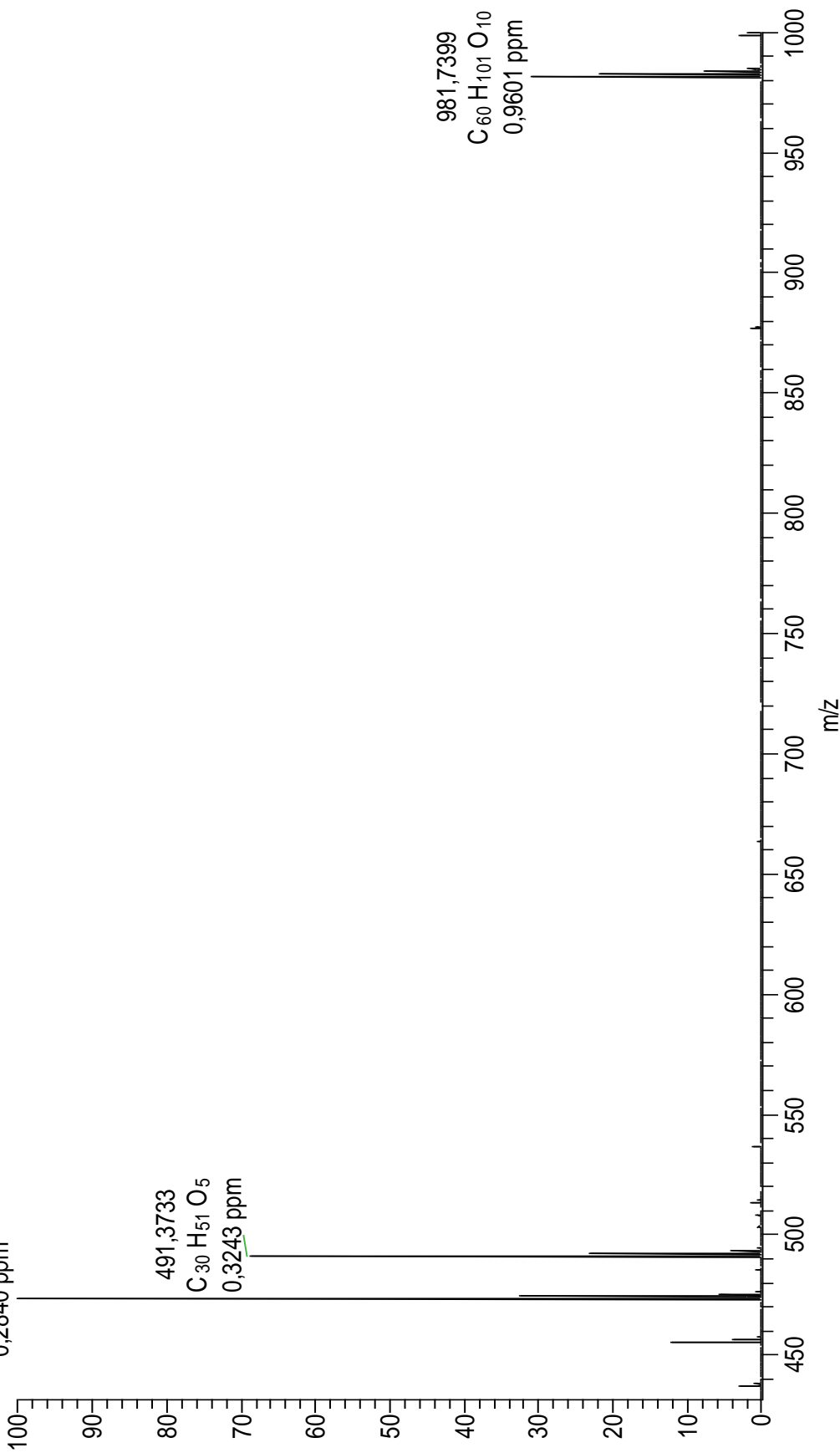


Figura 145. Espectro de massas de alta resolução de Zg4 (ESI, modo positivo).

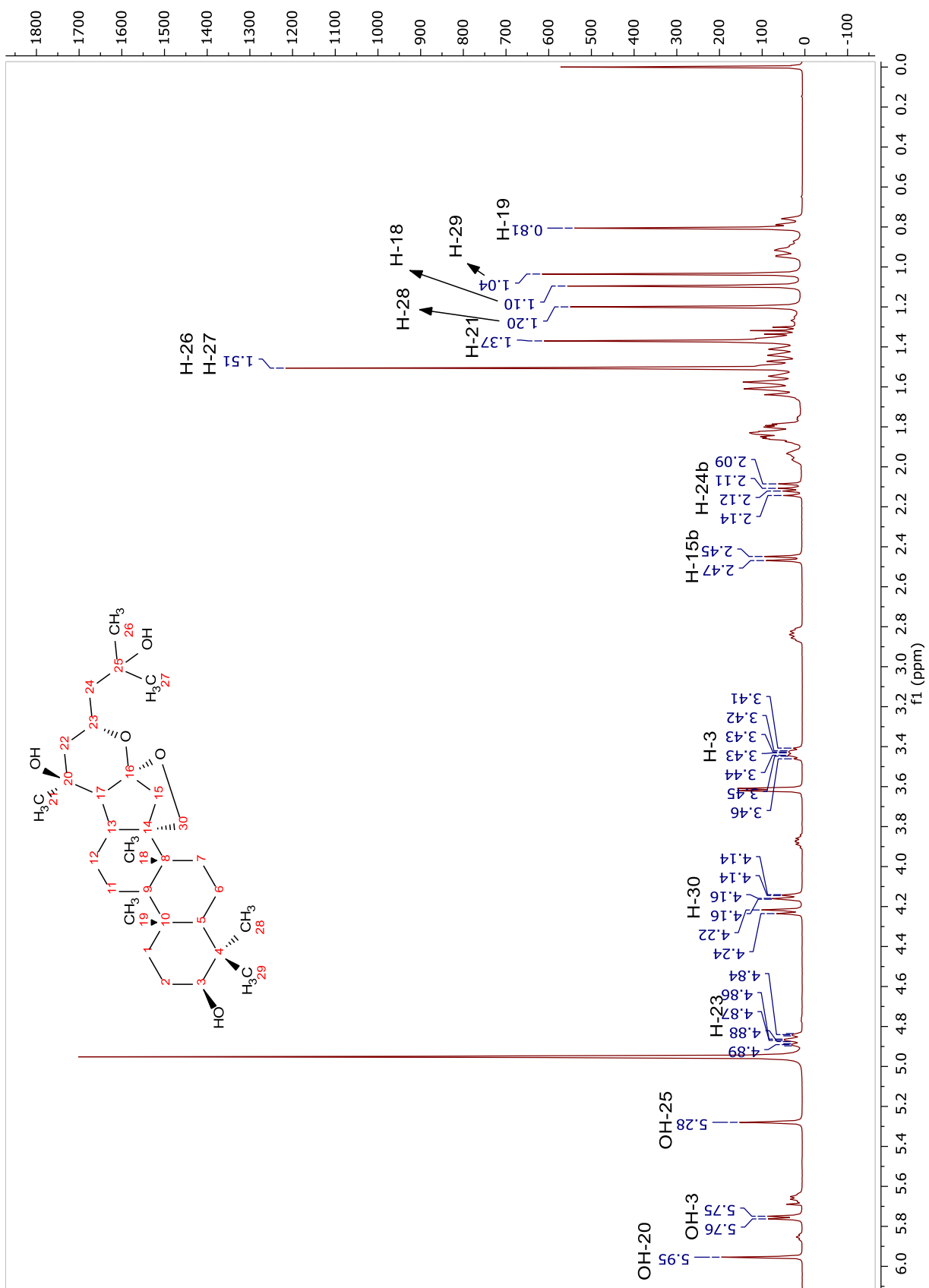


Figura 146. Espectro de RMN ^1H de Zg4 (400 MHz, $\text{C}_5\text{D}_5\text{N}$).

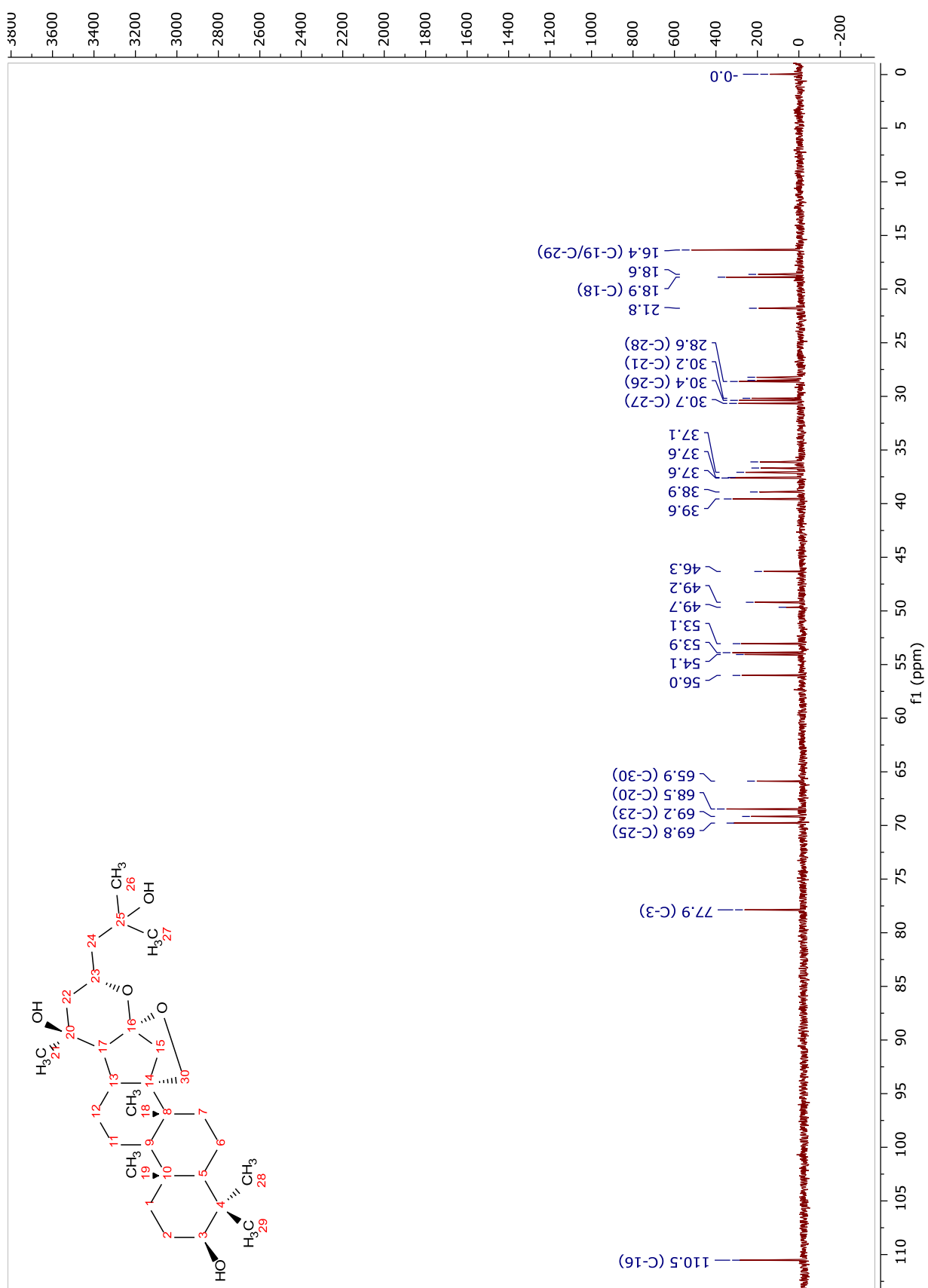


Figura 147. Espectro de RMN ^{13}C de Zg4 (100 MHz, $\text{C}_5\text{D}_5\text{N}$).

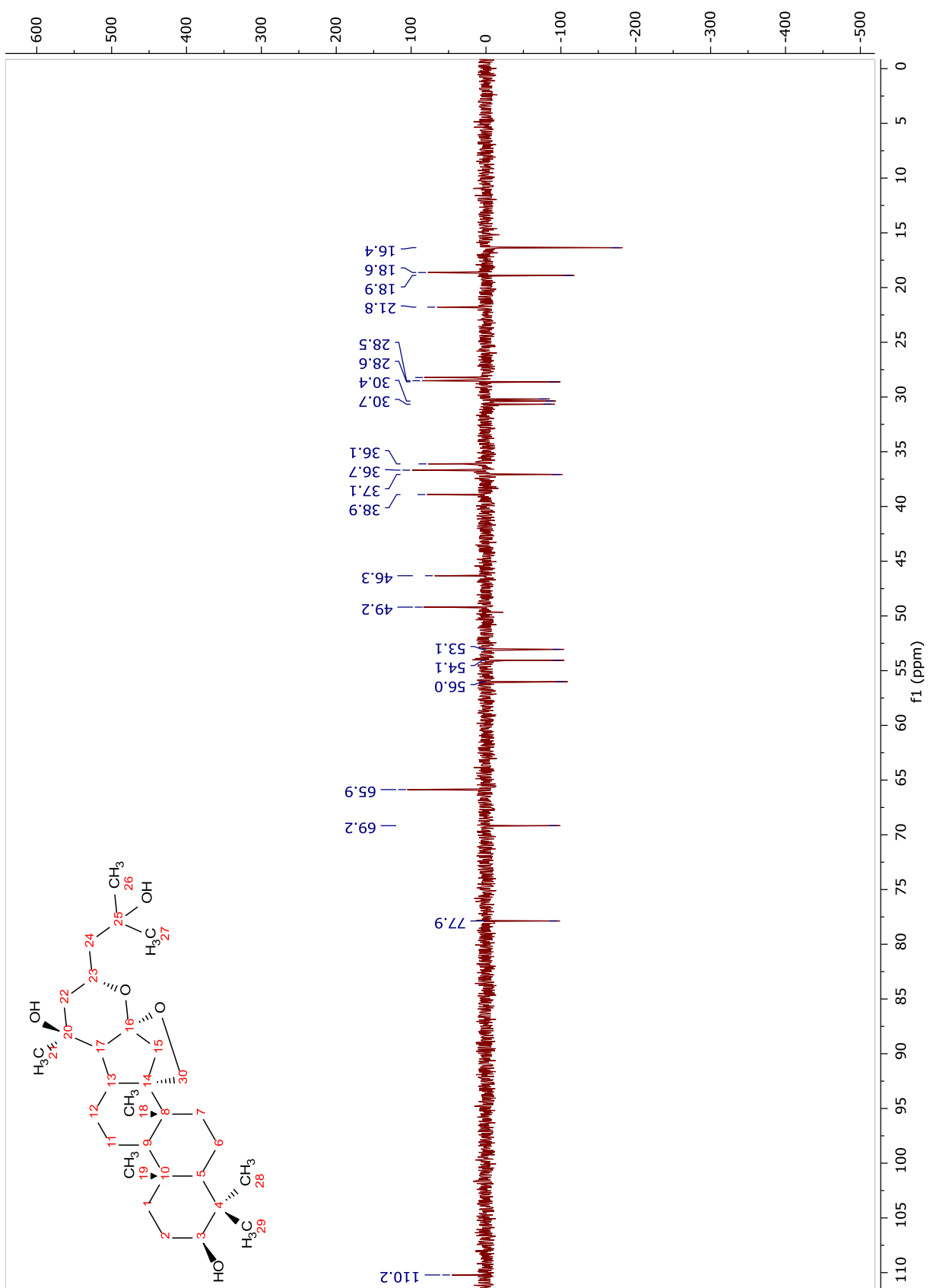


Figura 148. Espectro de DEPT-135 de Zg4 (100 MHz, $\text{C}_5\text{D}_5\text{N}$).

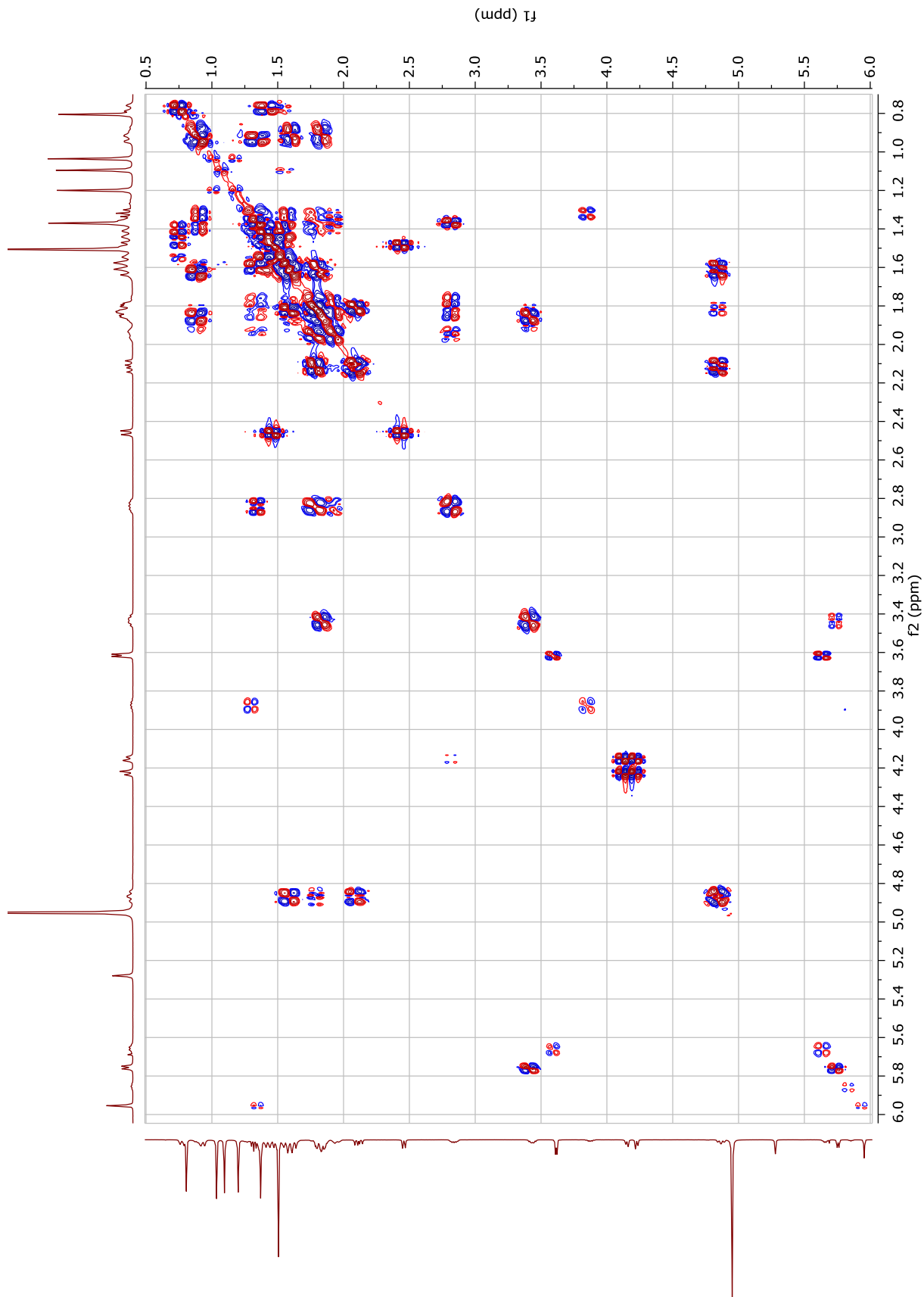


Figura 149. Espectro de COSY de **Zg4** (400 MHz, $\text{C}_5\text{D}_5\text{N}$).

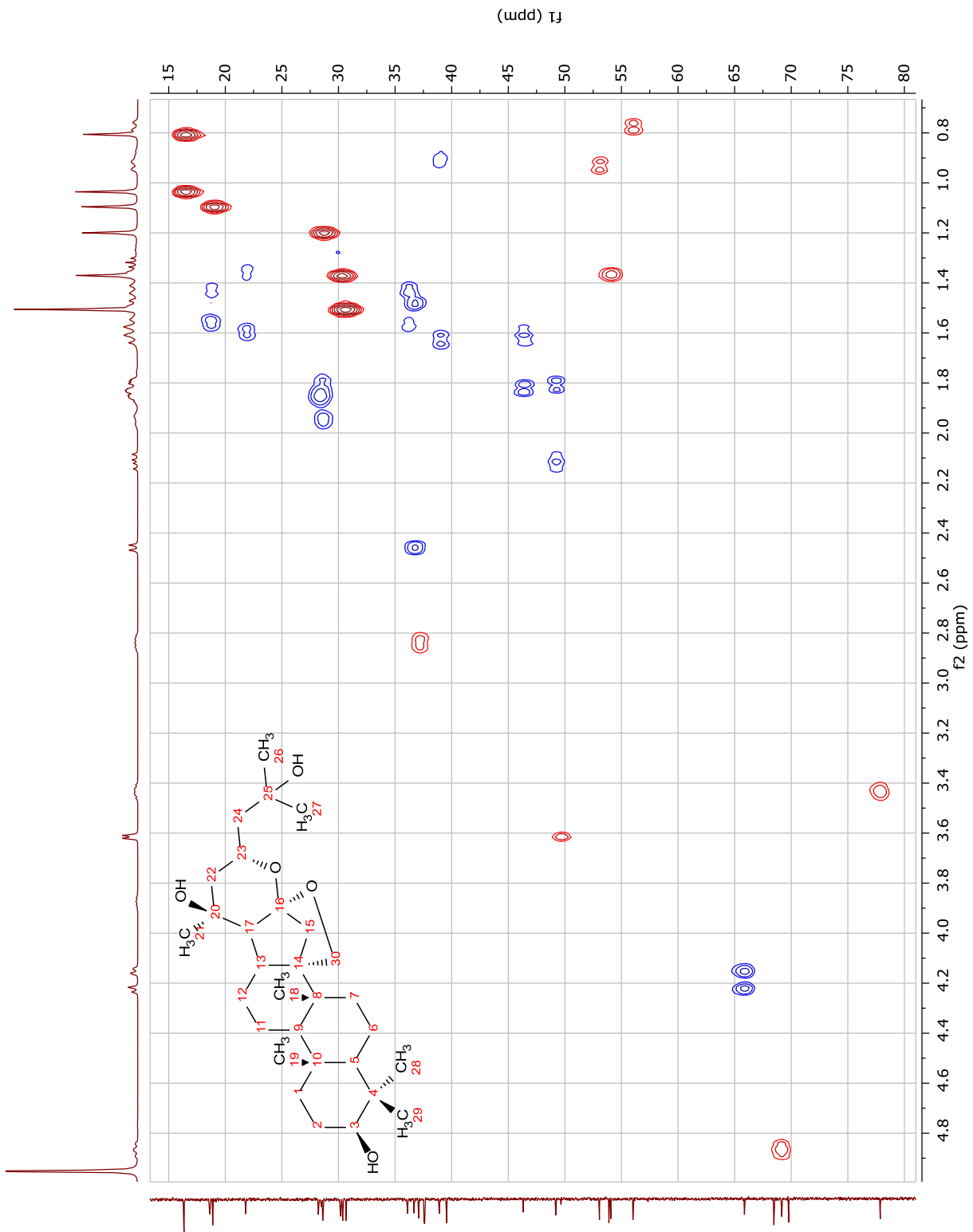


Figura 150. Espectro de HSQC de Zg4 (400 MHz, C₅D₅N).

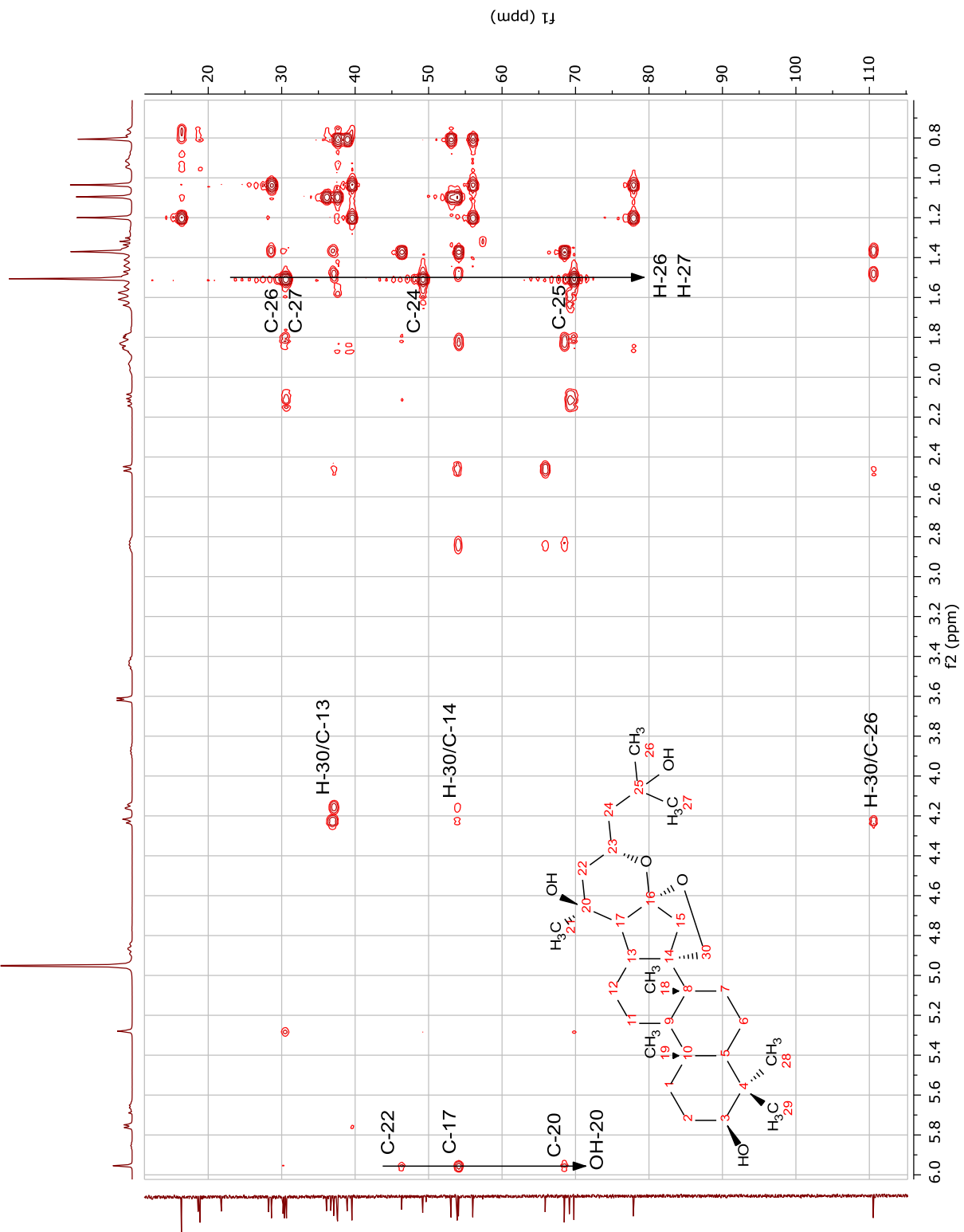


Figura 151. Espectro de HMBC de Zg4 (400 MHz, C₅D₅N).

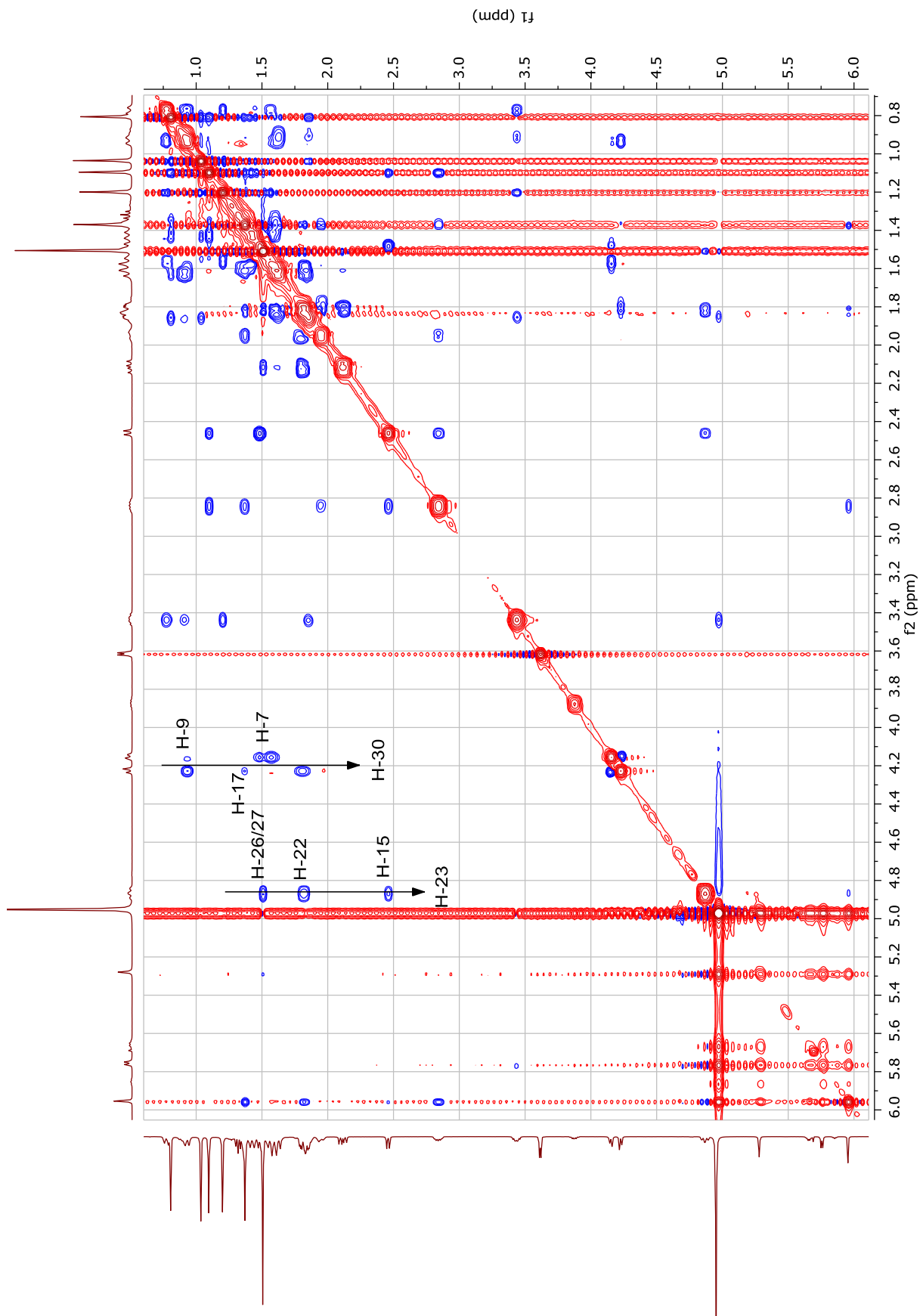


Figura 152. Espectro de NOESY de **Zg4** (400 MHz, C_5D_5N).

CAC090pos_171006212838 #20-25 RT: 0,08-0,10 AV: 6 NL: 8,14E6
T: FTMS + pESI Full ms [100,00-2000,00]

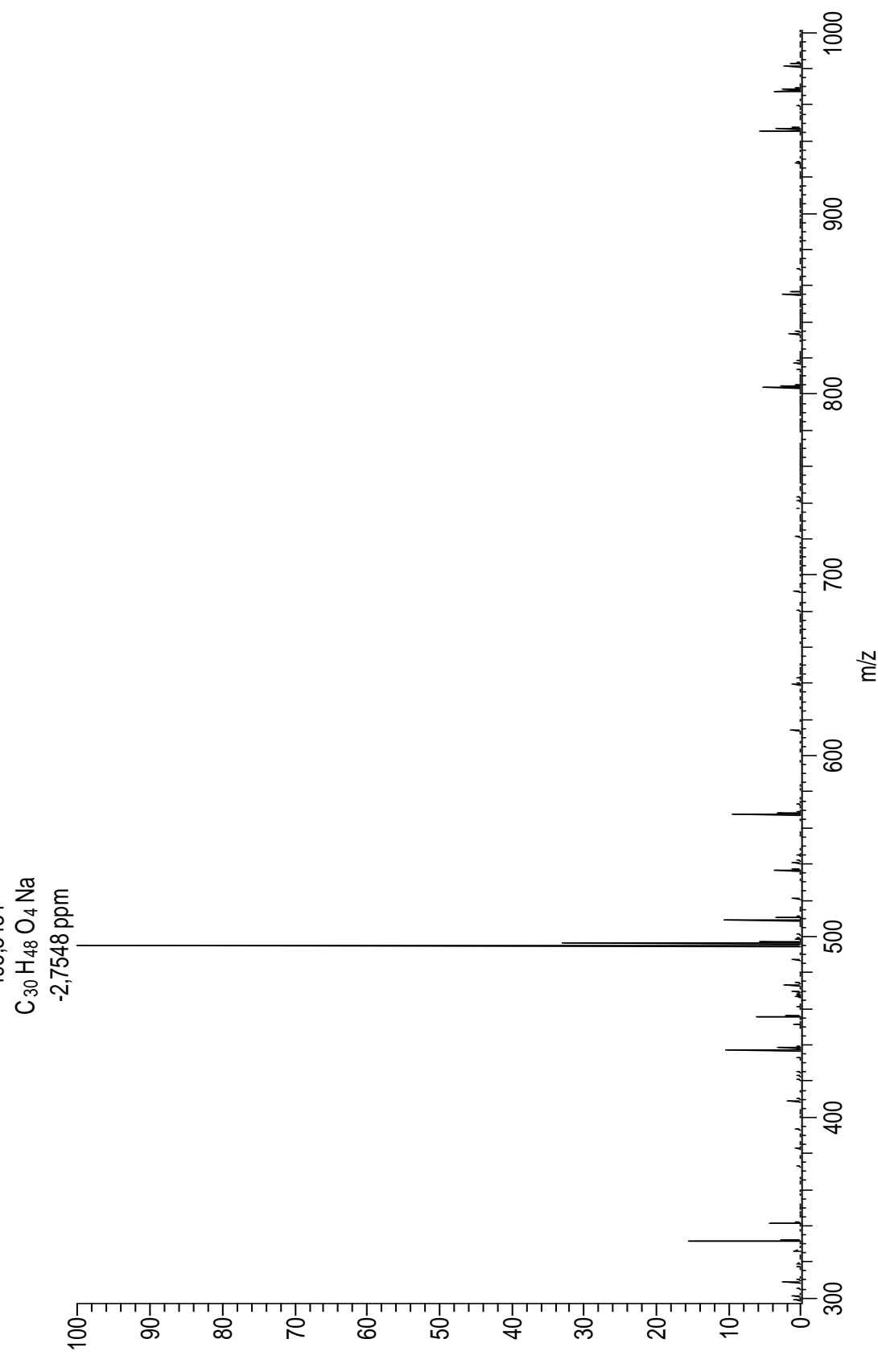


Figura 153. Espectro de massas de alta resolução de **Zg5** (ESI, modo positivo).

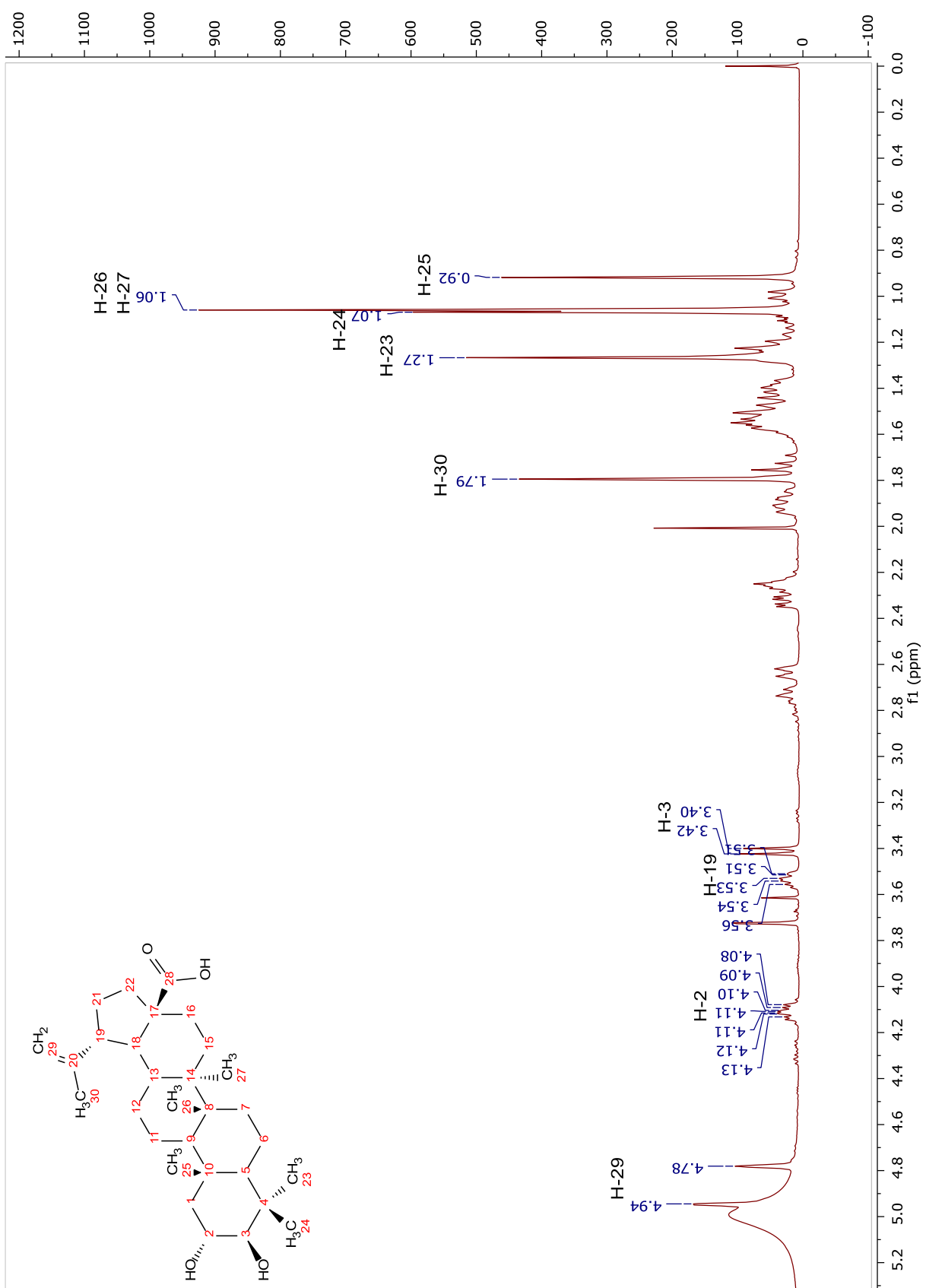


Figura 154. Espectro de RMN ^1H de Zg5 (400 MHz, $\text{C}_5\text{D}_5\text{N}$).

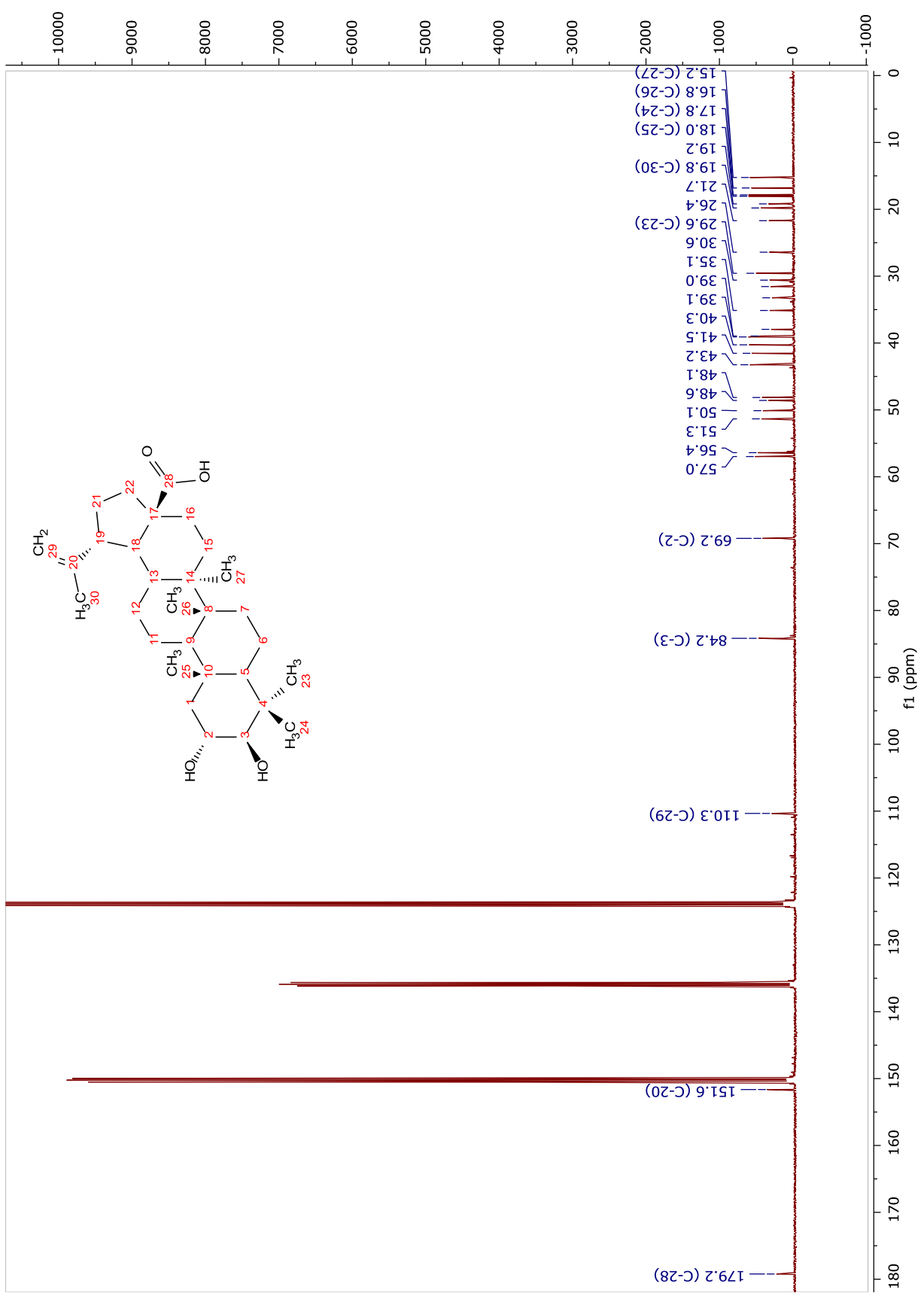


Figura 155. Espectro de RMN ^{13}C de Zg5 (100 MHz, $\text{C}_5\text{D}_5\text{N}$).

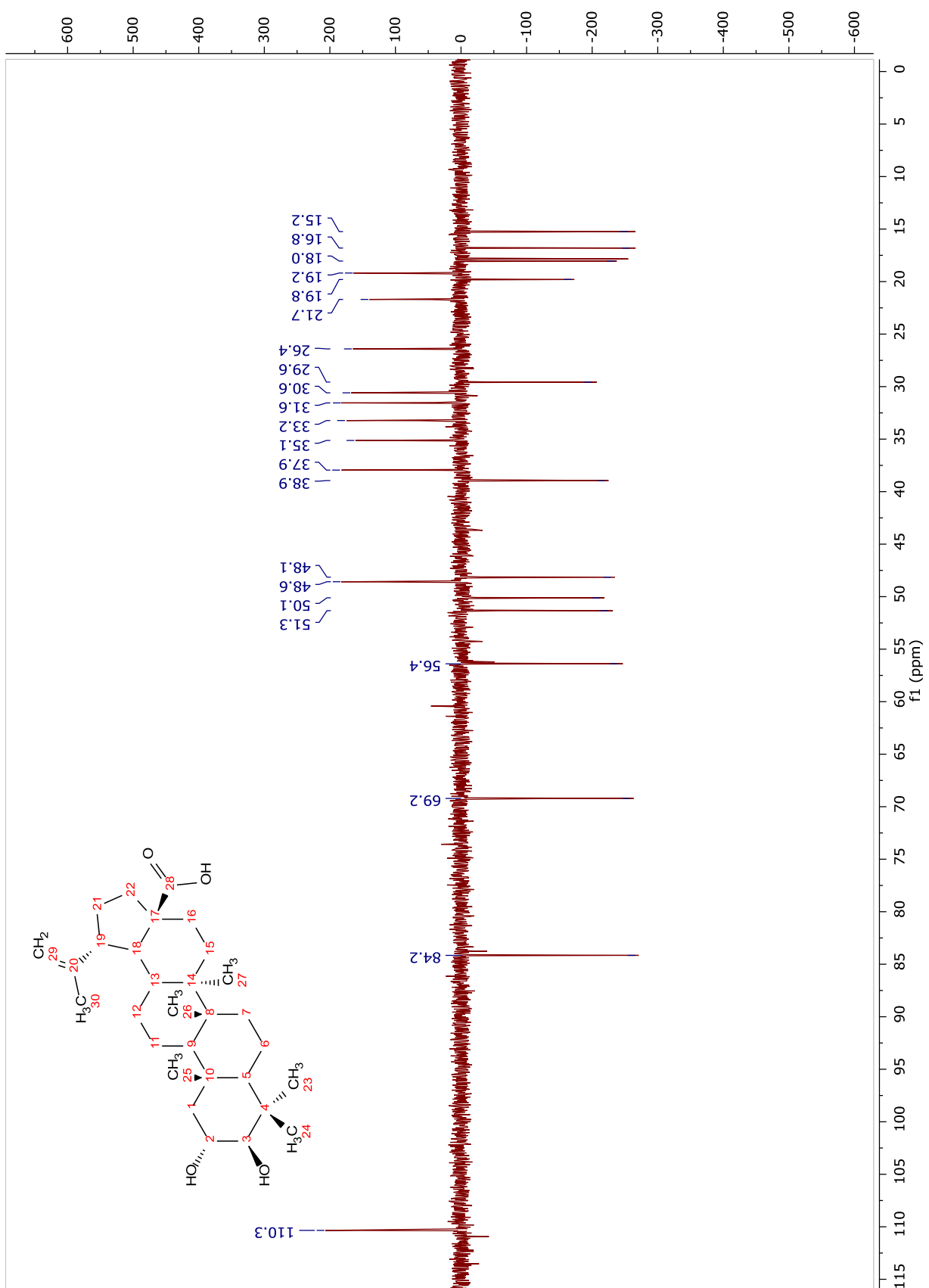


Figura 156. Espectro de DEPT-135 de Zg5 (100 MHz, $\text{C}_5\text{D}_5\text{N}$).

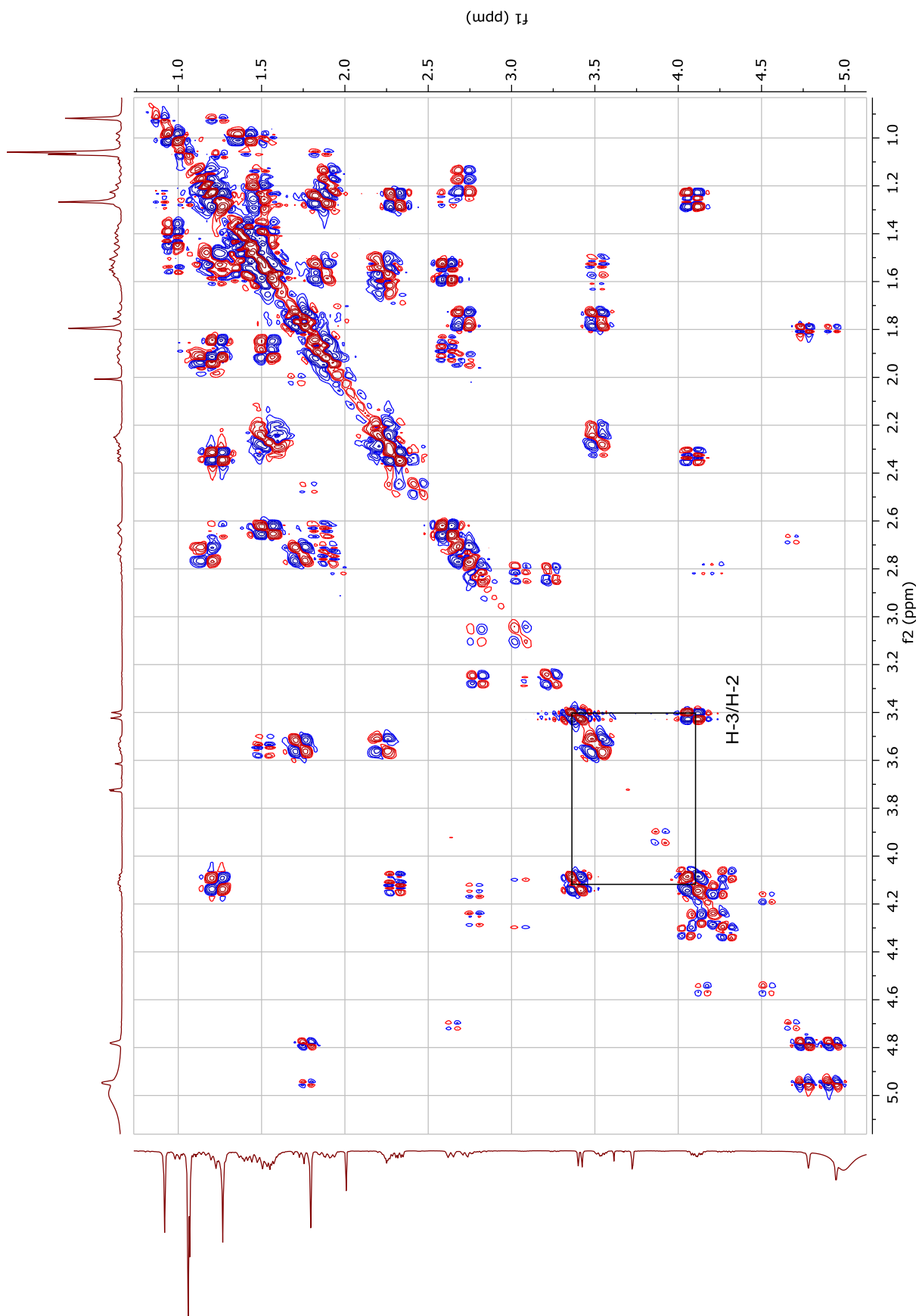


Figura 157. Espectro de COSY de Zg5 (400 MHz, C_5D_5N).

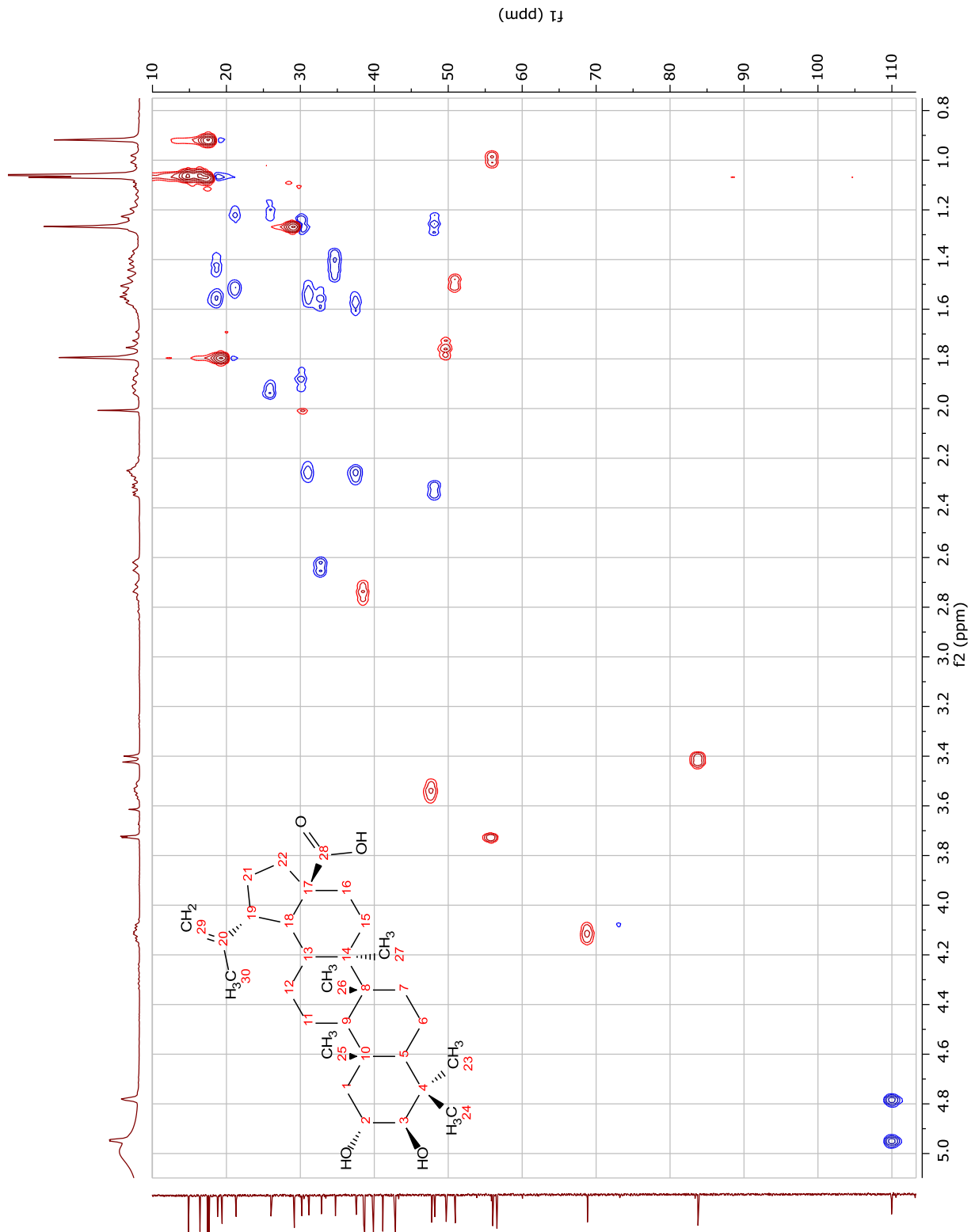


Figura 158. Espectro de HSQC de Zg5 (400 MHz, C₅D₅N).

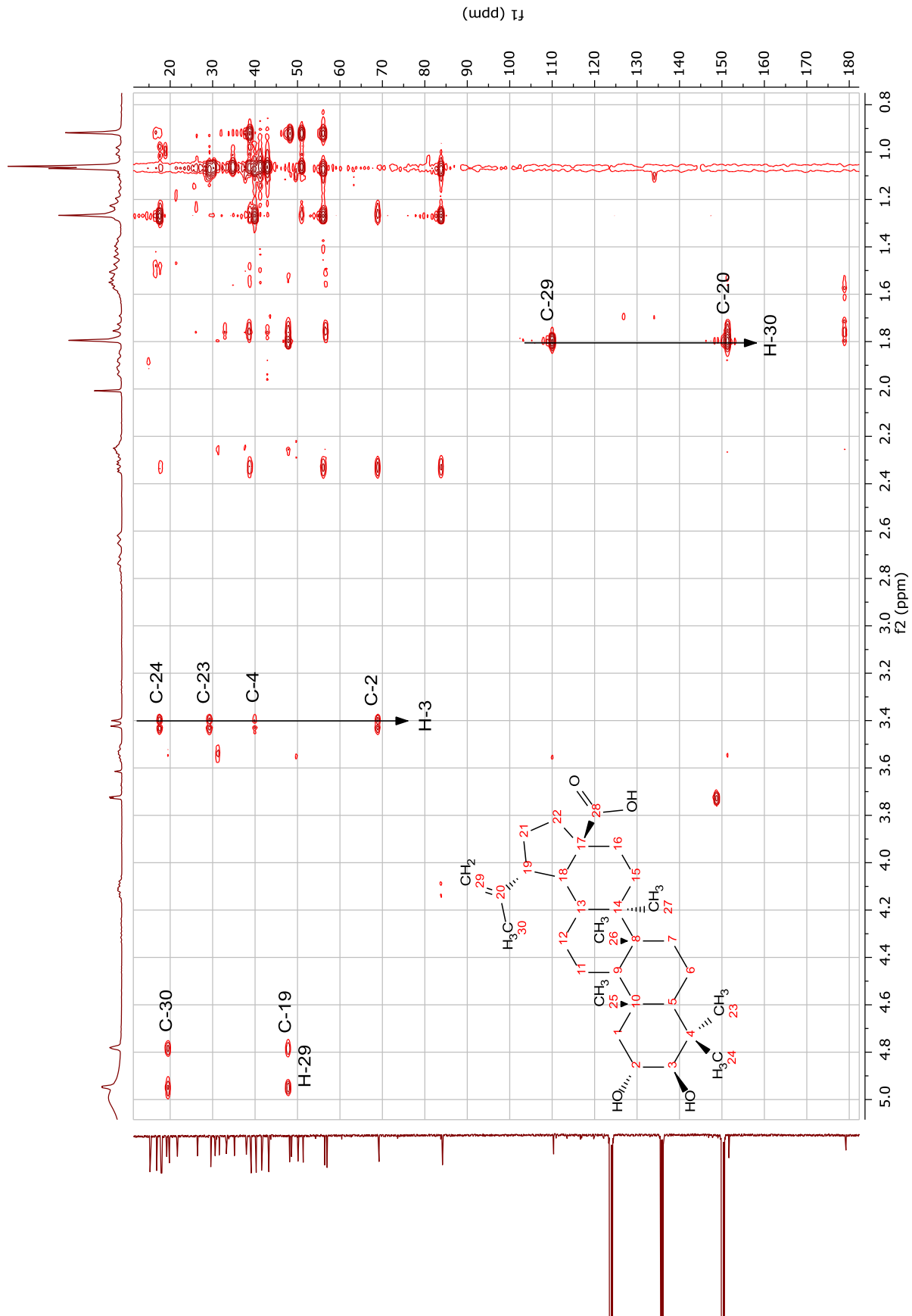


Figura 159. Espectro de HMBC de Zg5 (400 MHz, C₅D₅N).

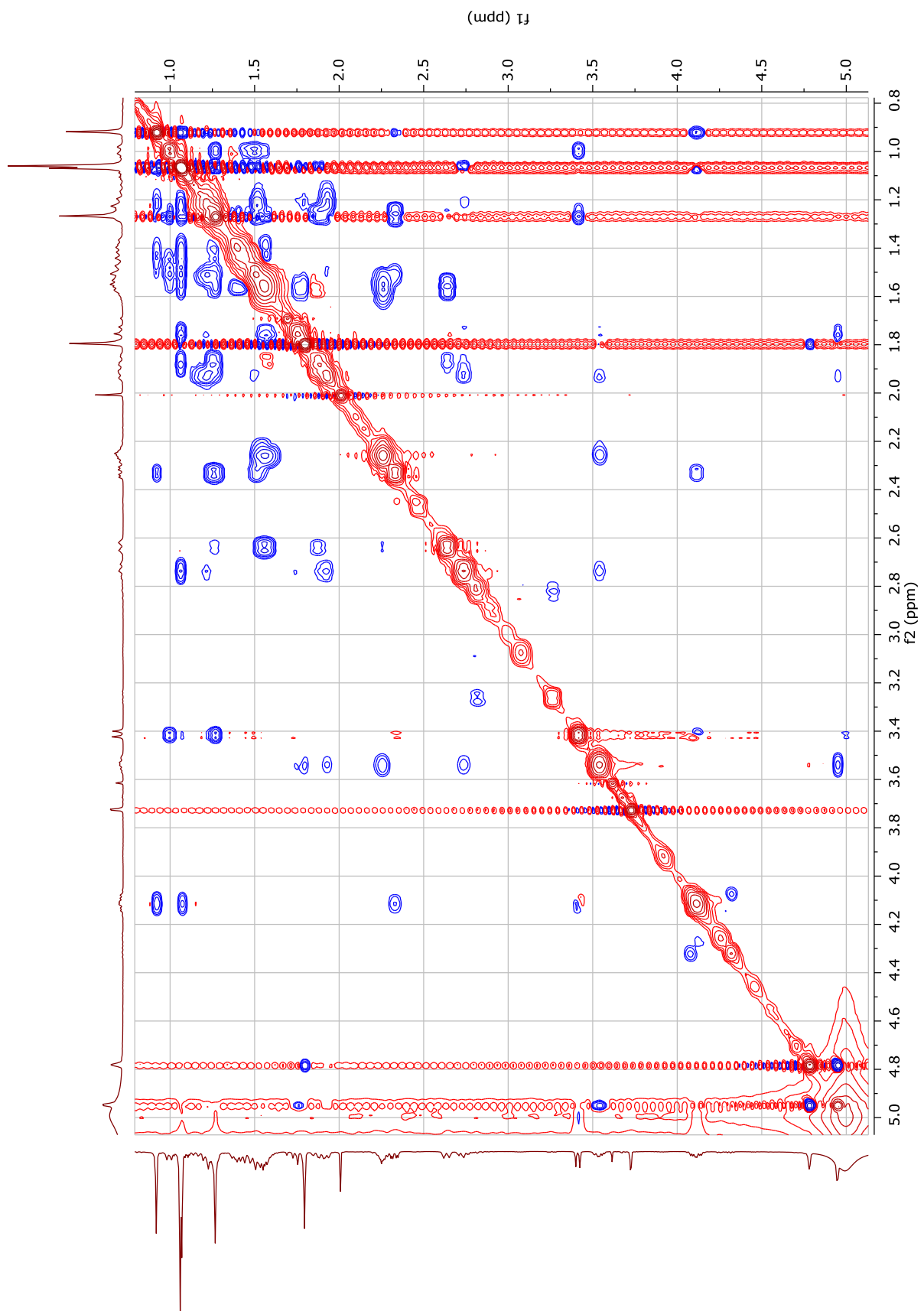


Figura 160. Espectro de NOESY de Zg5 (400 MHz, C_5D_5N).

CAC073 #4-9 RT: 0,01-0,03 AV: 6 NL: 4,50E6
T: FTMS - pESI[Full ms [50,00-2000,00]]

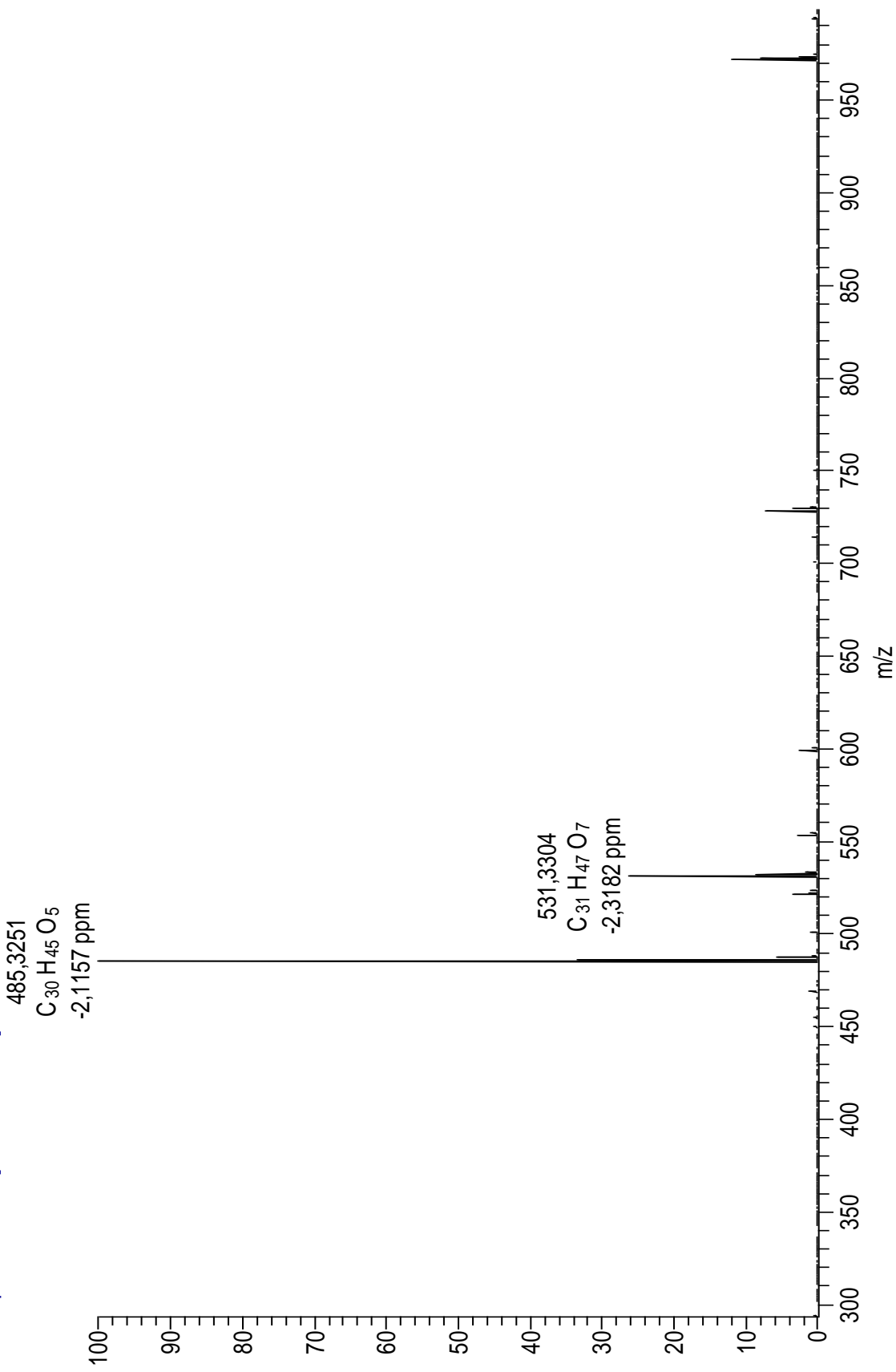


Figura 161. Espectro de massas de alta resolução de **Zg6** (ESI, modo negativo).

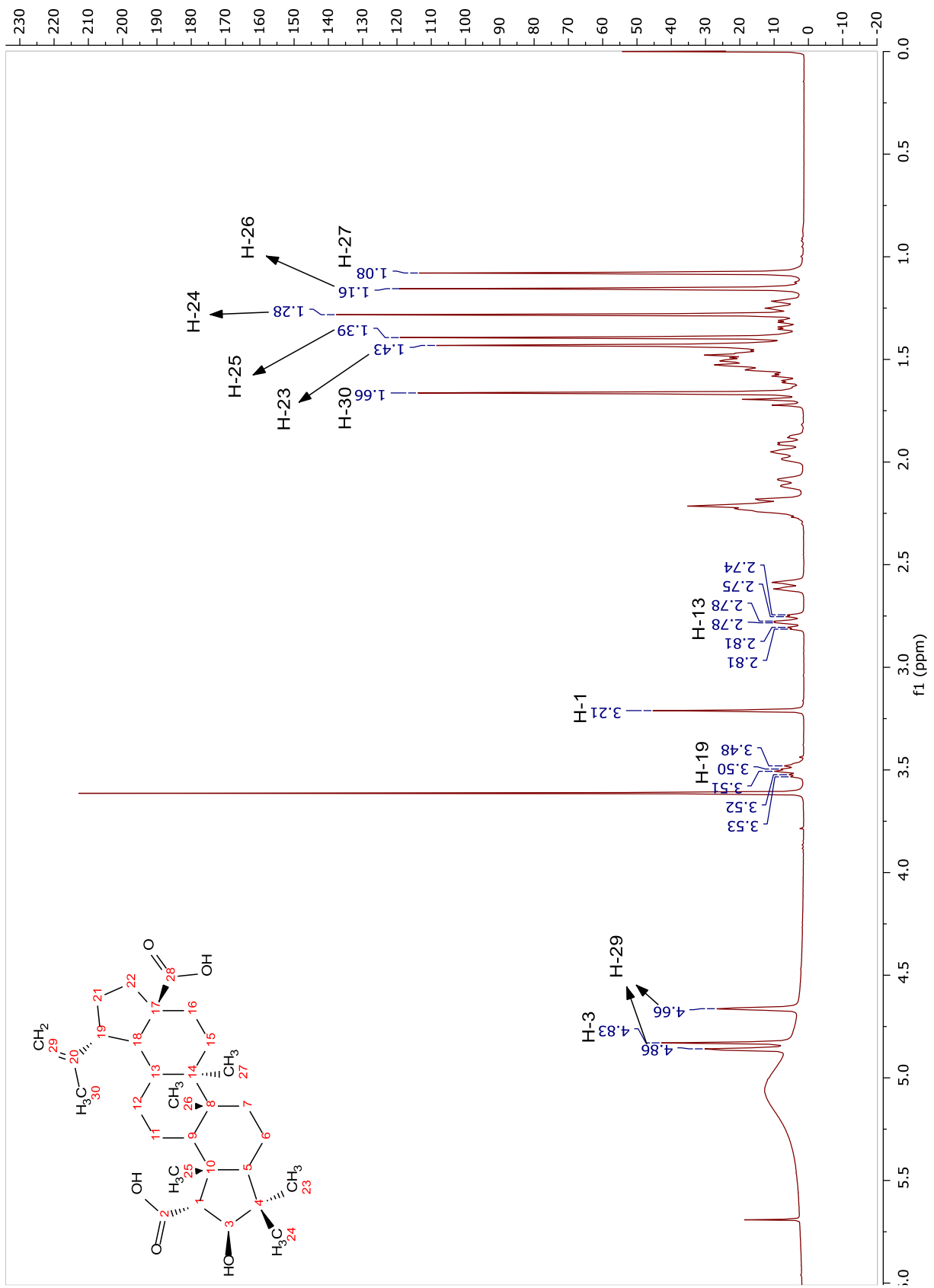


Figura 162. Espectro de RMN ^1H de Zg6 (400 MHz, $\text{C}_5\text{D}_5\text{N}$).

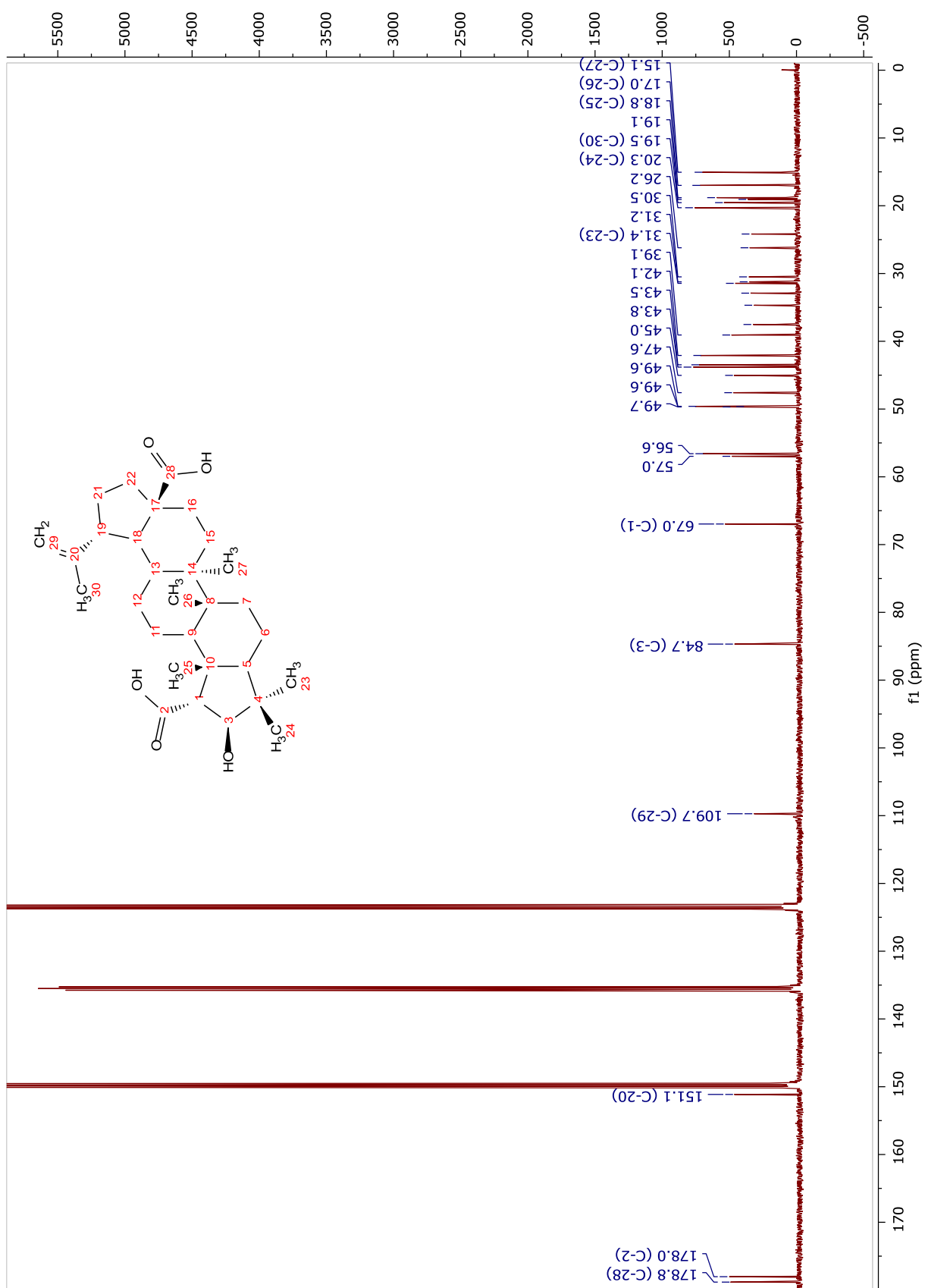


Figura 163. Espectro de RMN ^{13}C de Zg6 (100 MHz, $\text{C}_5\text{D}_5\text{N}$).

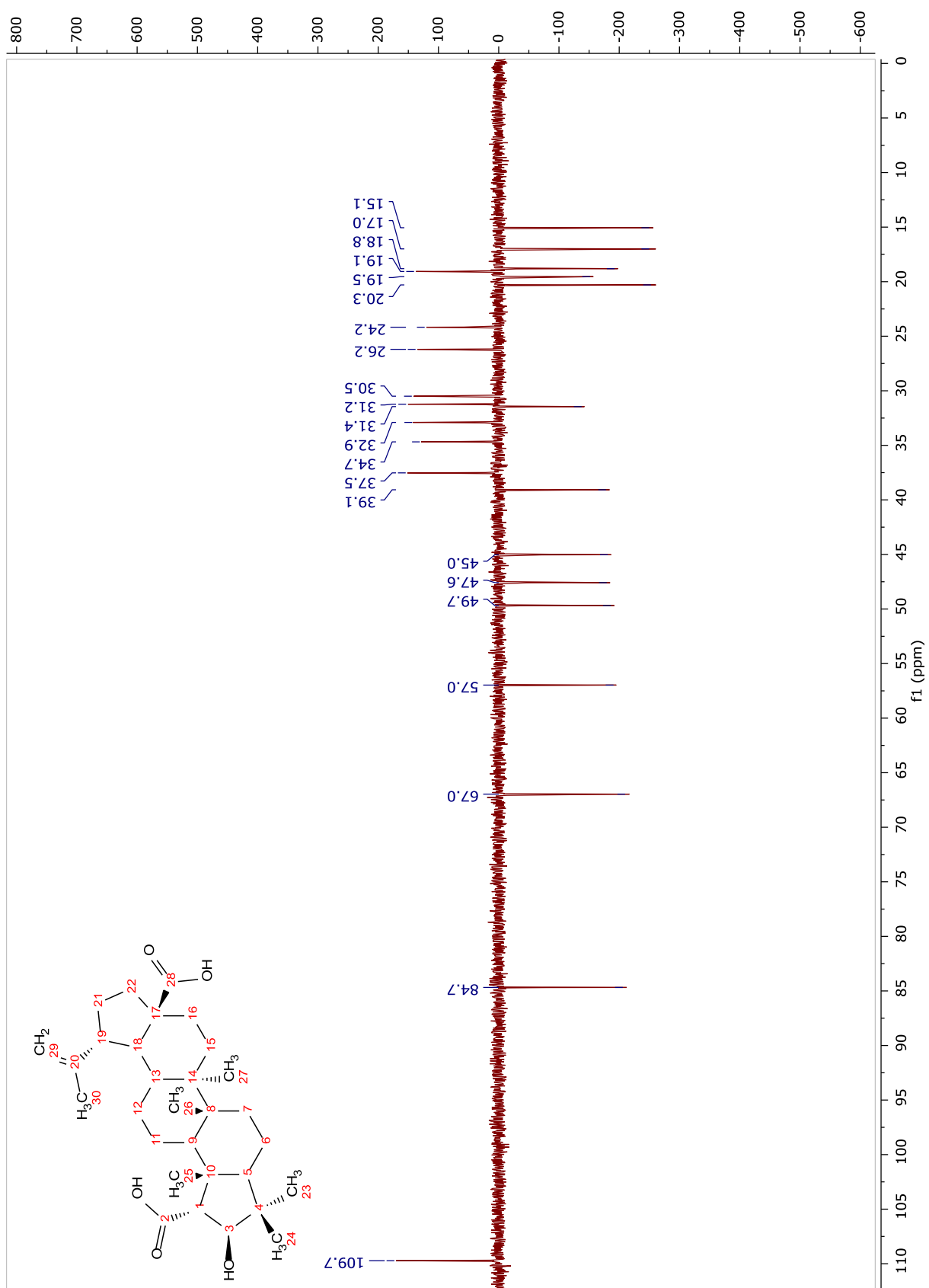


Figura 164. Espectro de DEPT-135 de Zg6 (100 MHz, C₅D₅N).

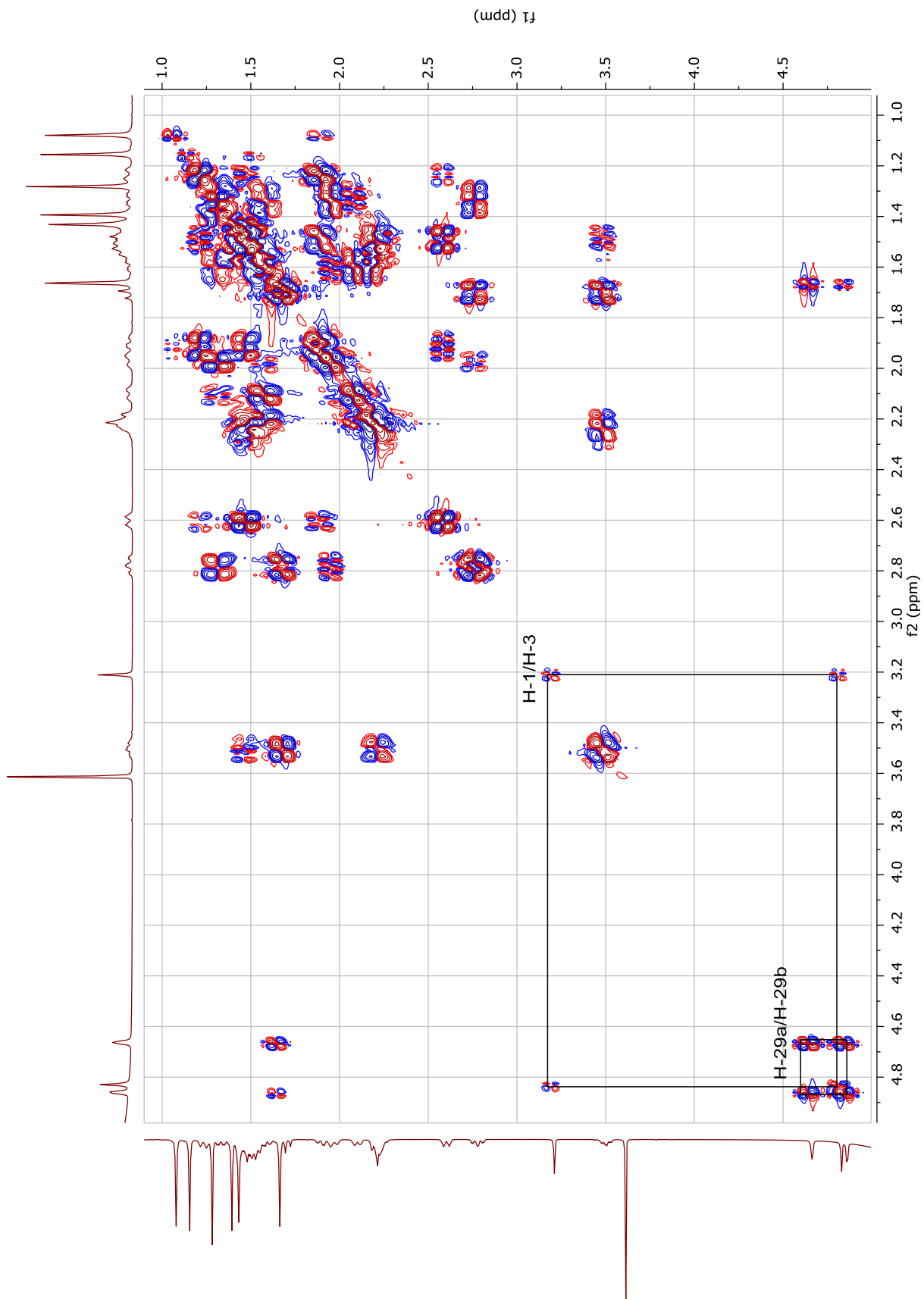


Figura 165. Espectro de COSY de **Zg6** (400 MHz, $\text{C}_5\text{D}_5\text{N}$).

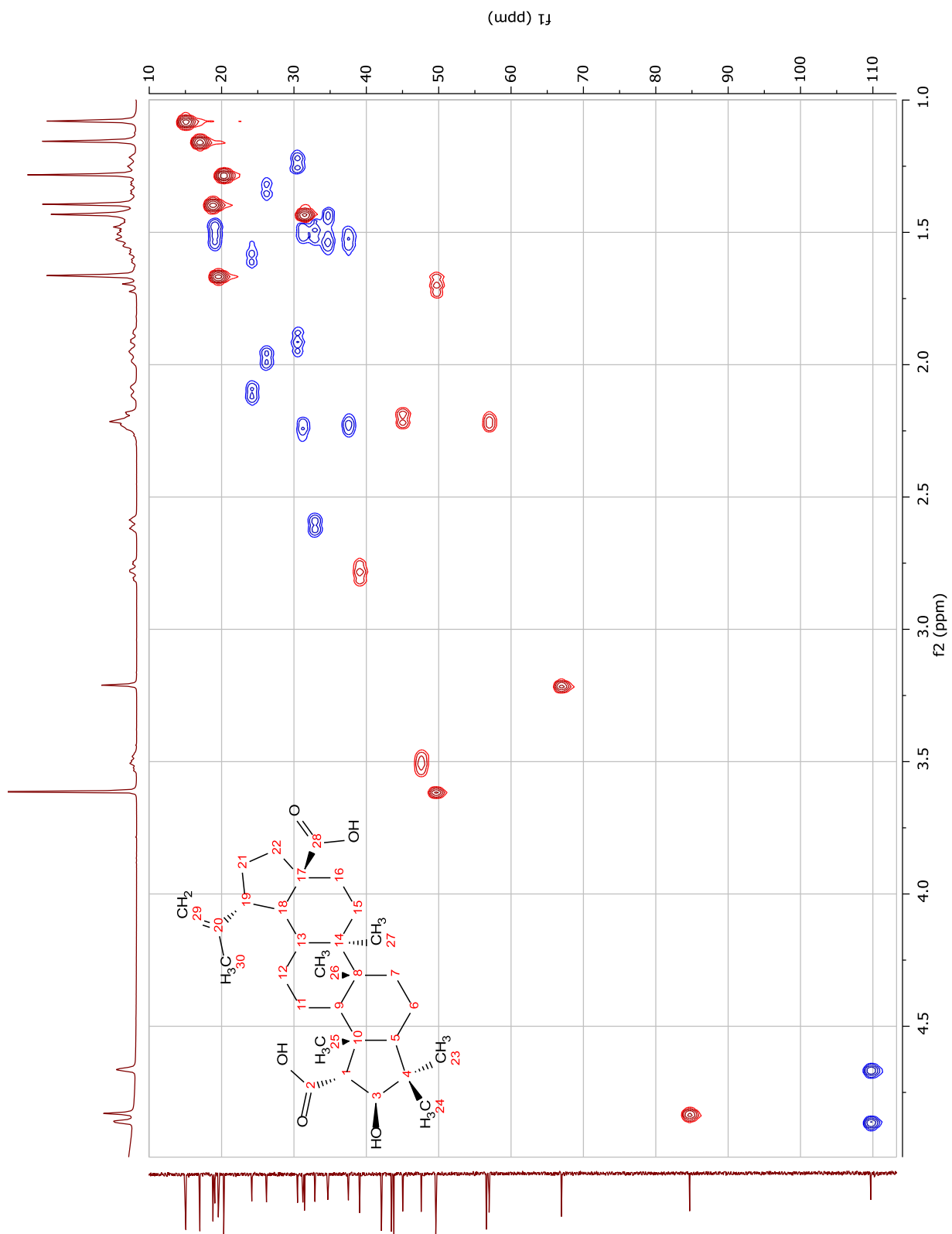


Figura 166. Espectro de HSQC de Zg6 (400 MHz, C₅D₅N).

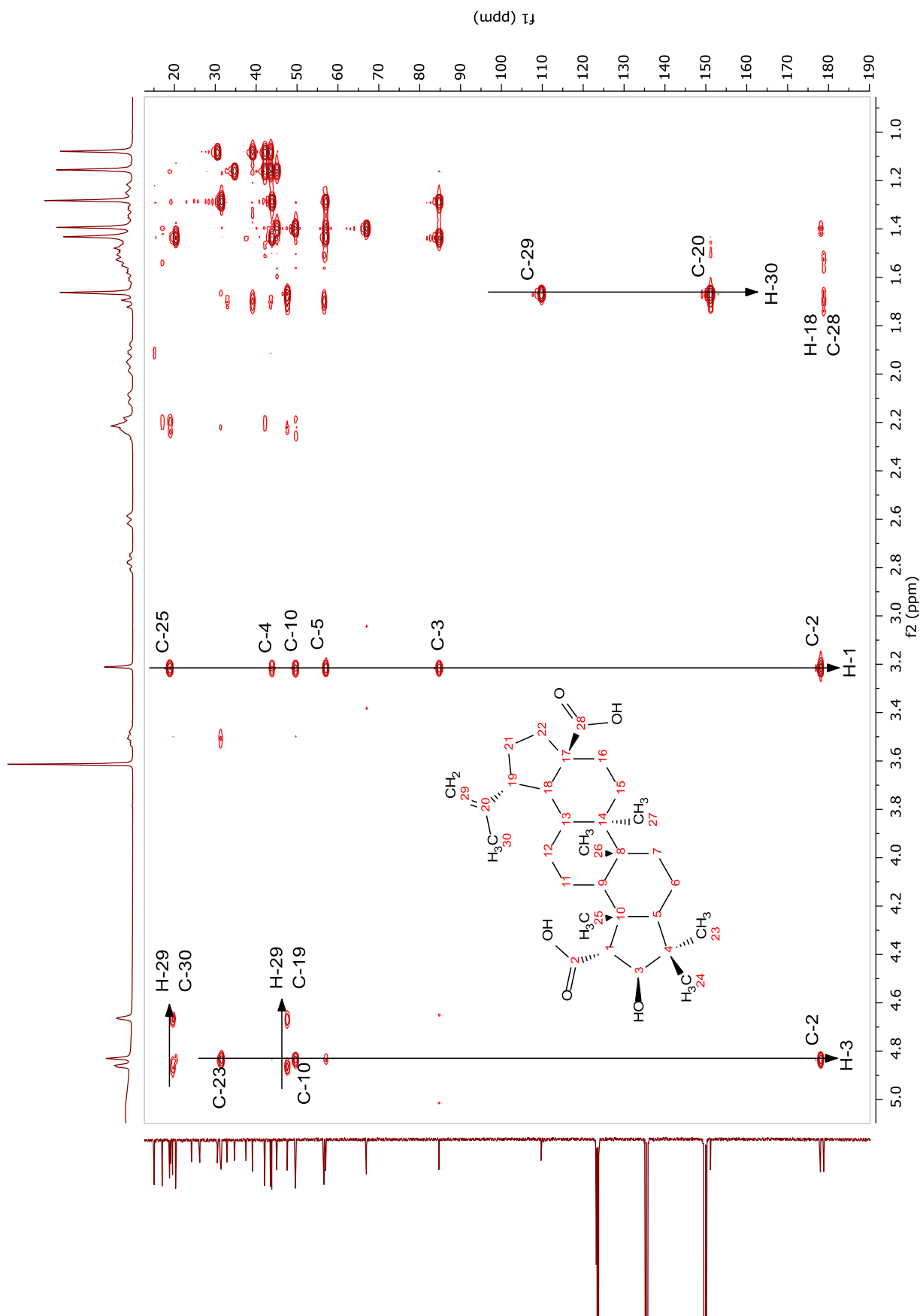


Figura 167. Espectro de HMBC de Zg6 (400 MHz, C₅D₅N).

CAC100pos #18 RT: 0,07 AV: 1 NL: 8,21E6
T: FTMS + p ESIFull ms [100,00-2000,00]
443,1660
 $\text{C}_{22}\text{H}_{28}\text{O}_8\text{Na}$
-3,5941 ppm

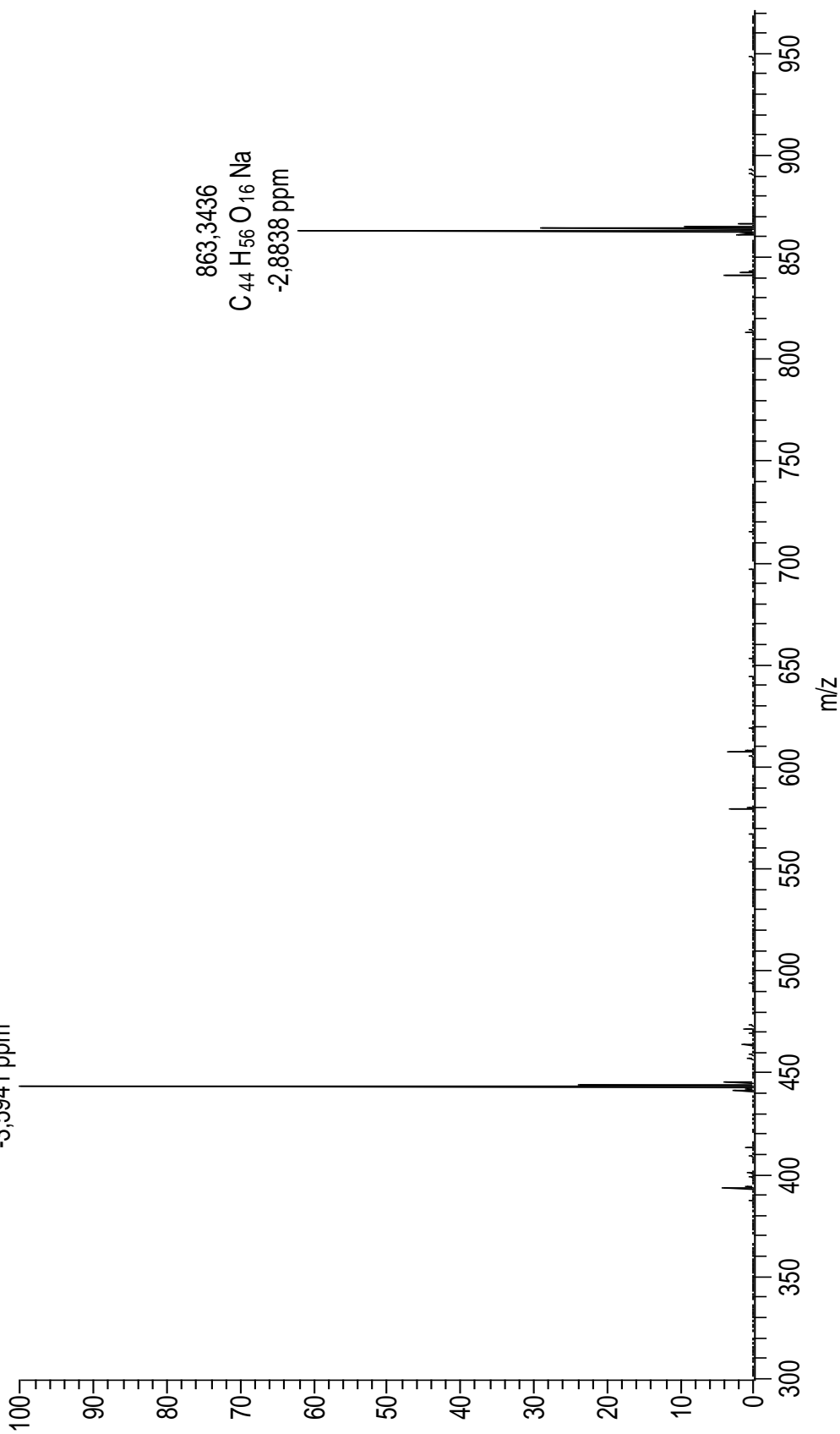


Figura 168. Espectro de massas de alta resolução de Zg7 (ESI, modo positivo).

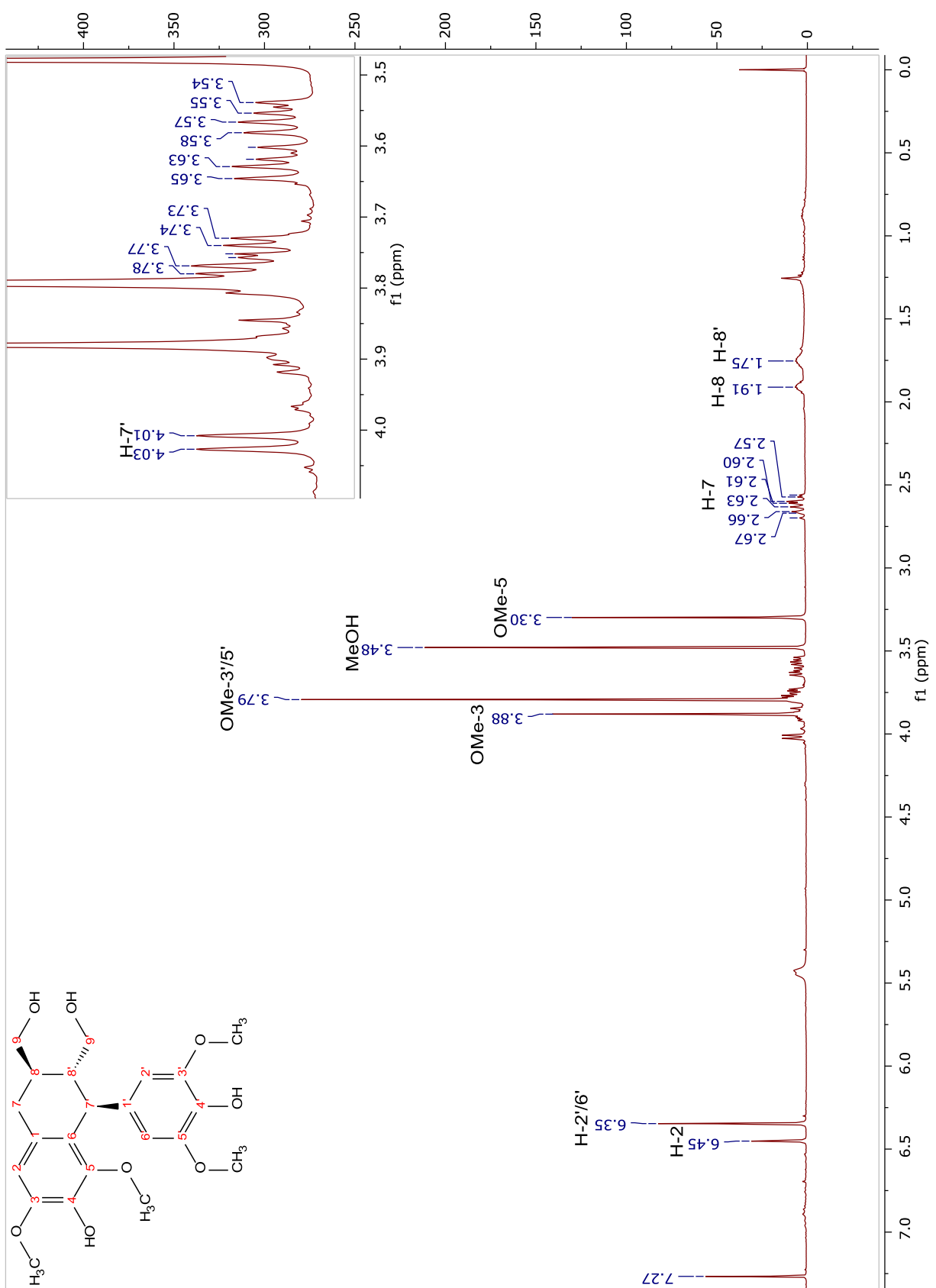


Figura 169. Espectro de RMN ^1H de Zg7 (400 MHz, CDCl₃).

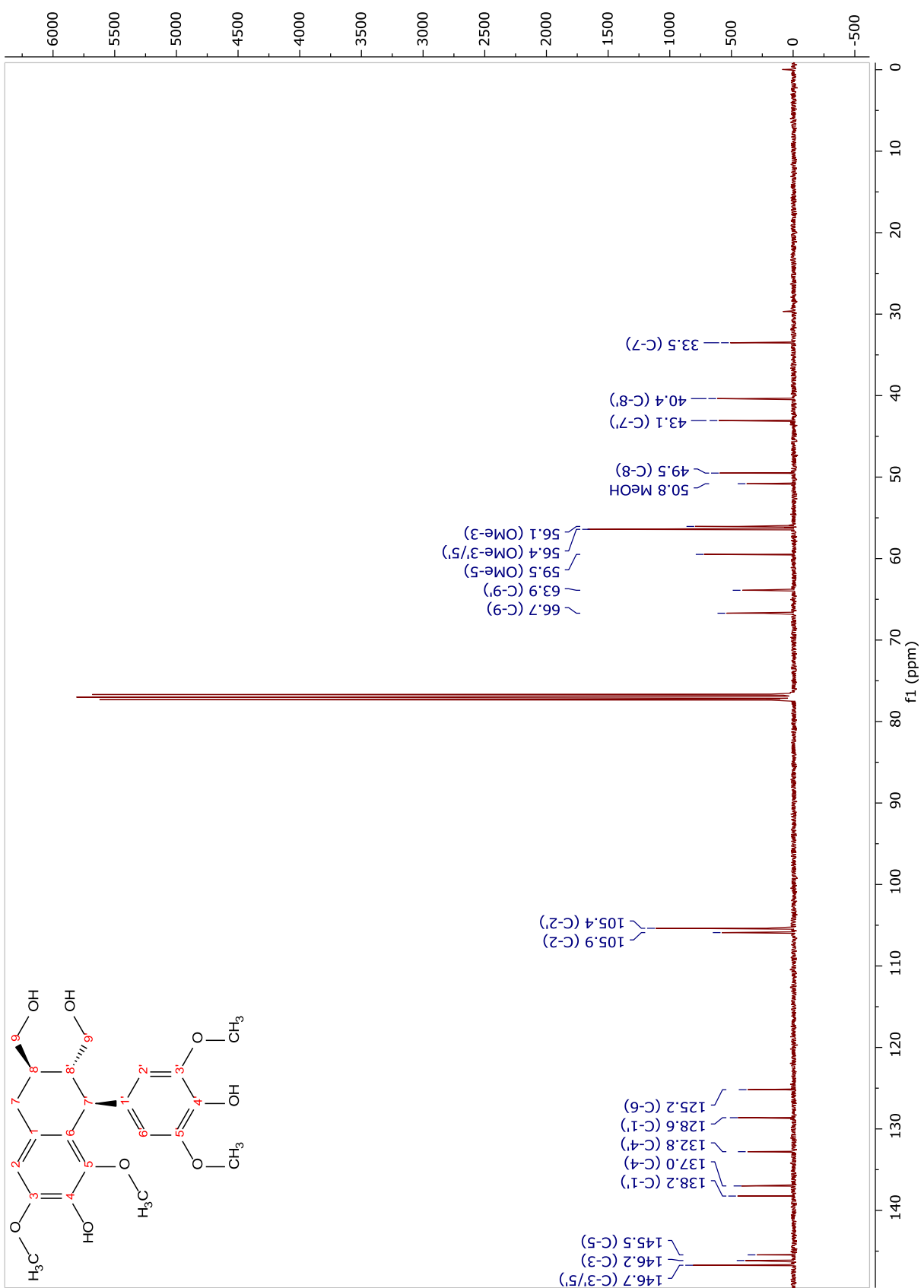


Figura 170. Espectro de RMN ^{13}C de Zg7 (100 MHz, CDCl_3).

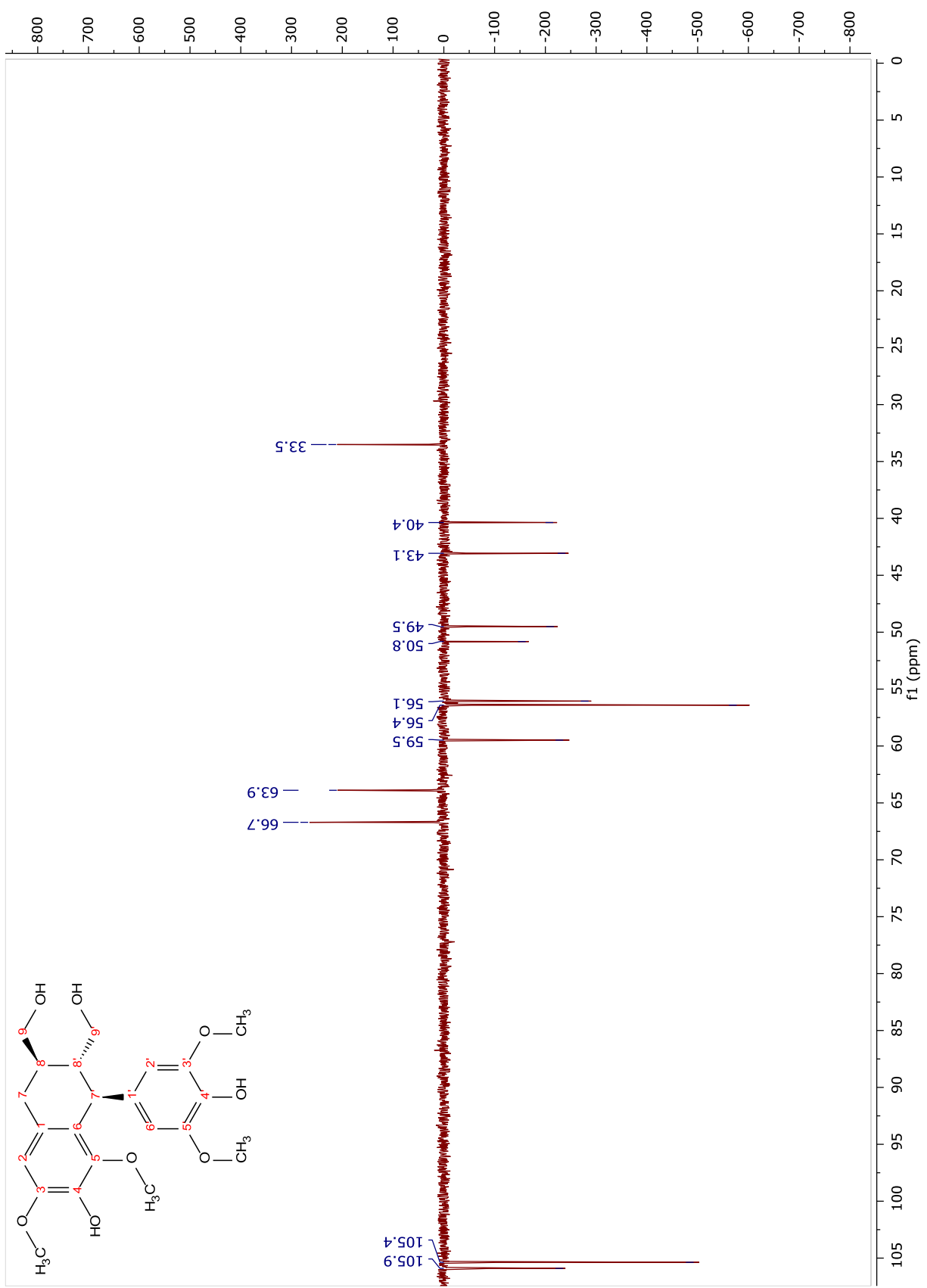


Figura 171. Espectro de DEPT-135 de Zg7 (100 MHz, CDCl_3).

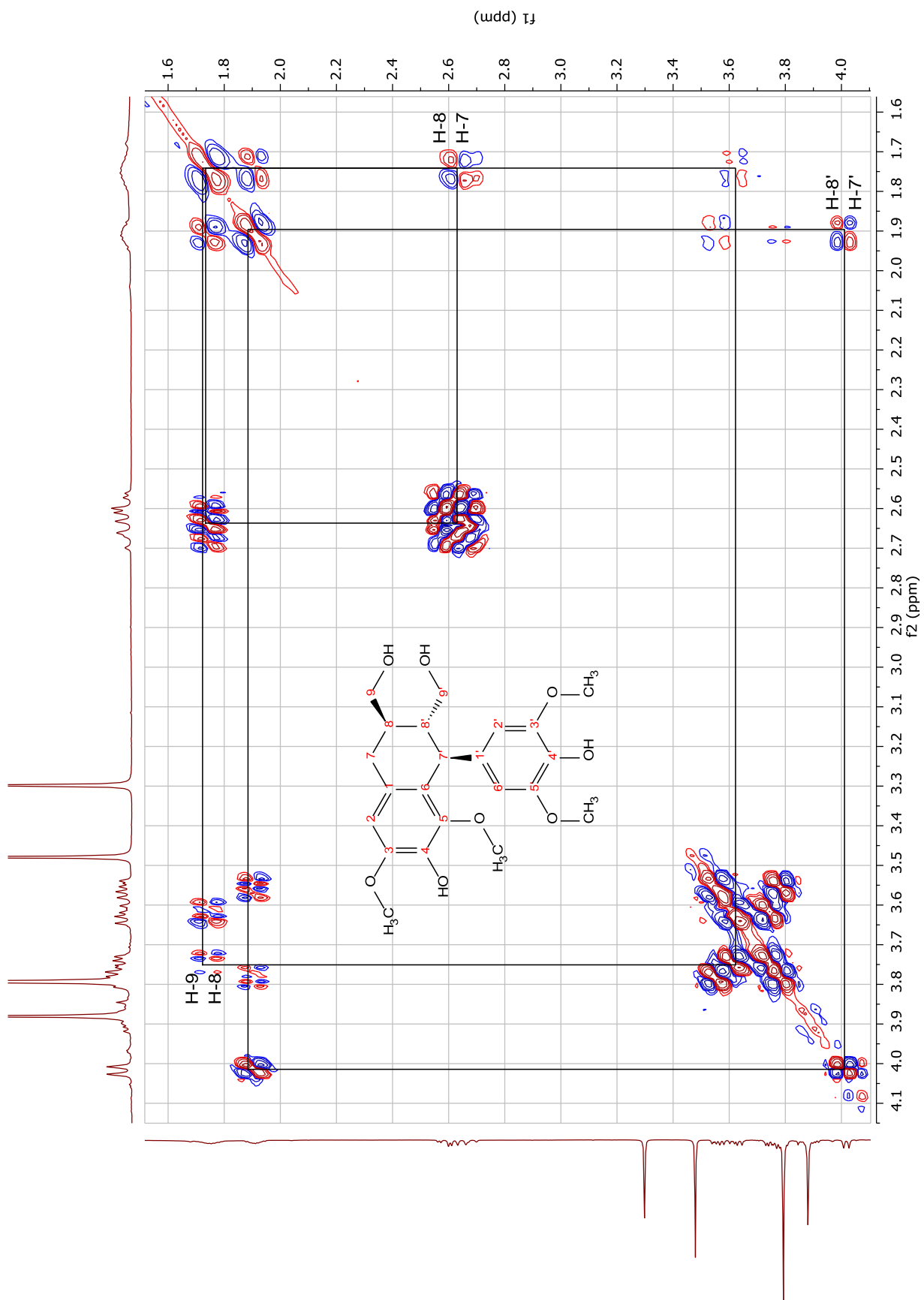


Figura 172. Espectro de COSY de Zg7 (400 MHz, CDCl_3).

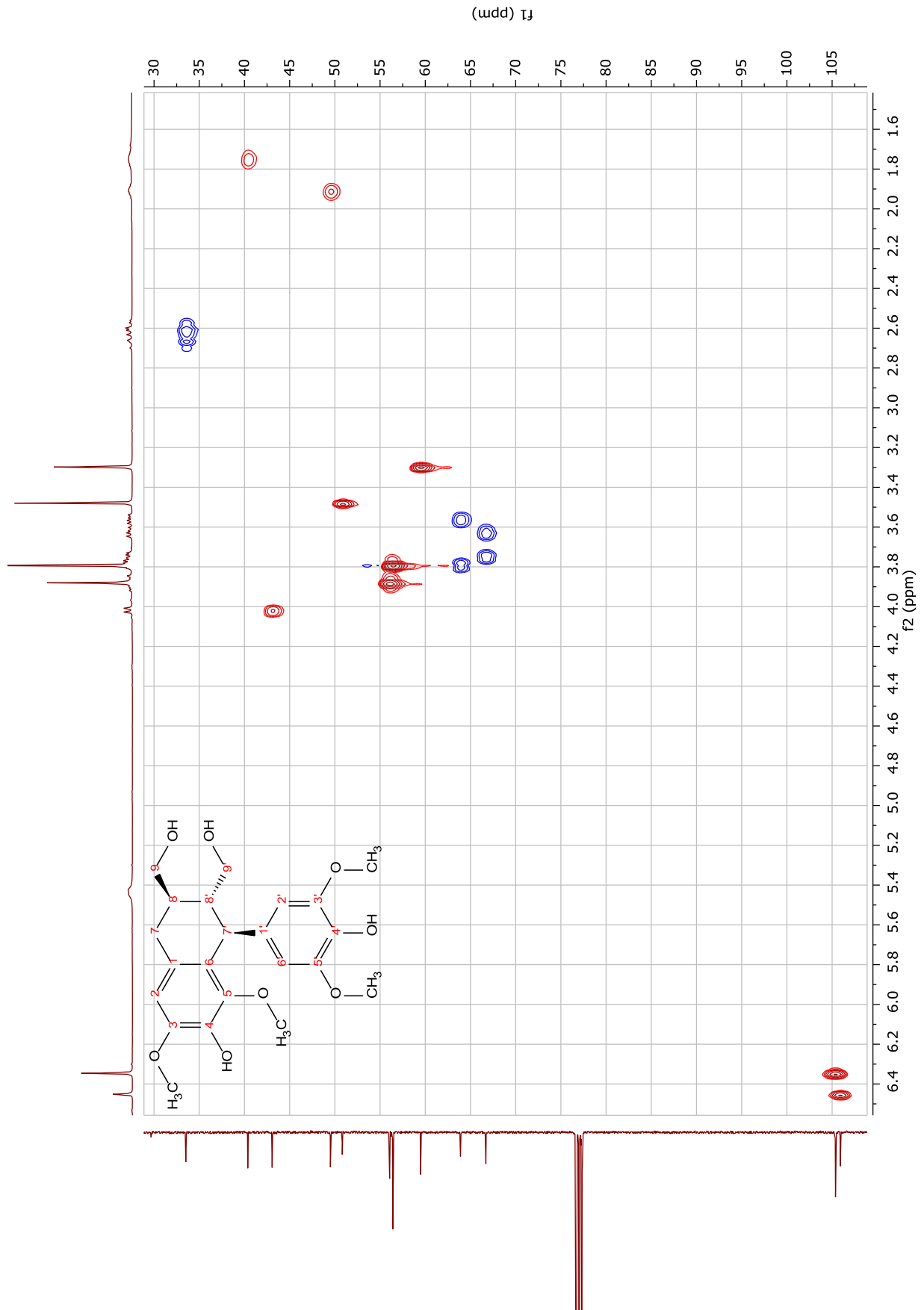


Figura 173. Espectro de HSQC de Zg7 (400 MHz, CDCl₃).

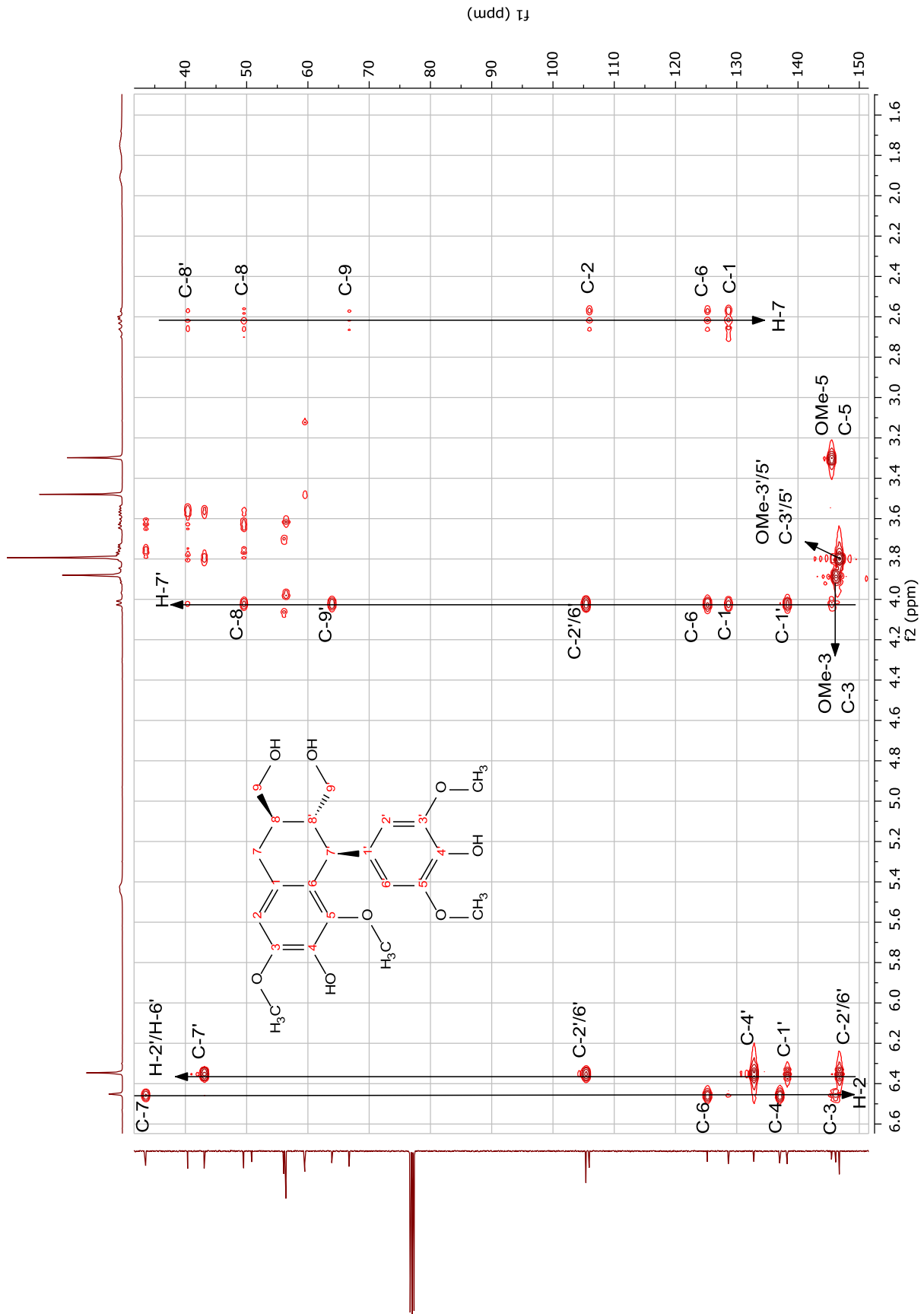


Figura 174. Espectro de HMBC de Zg7 (400 MHz, CDCl₃).

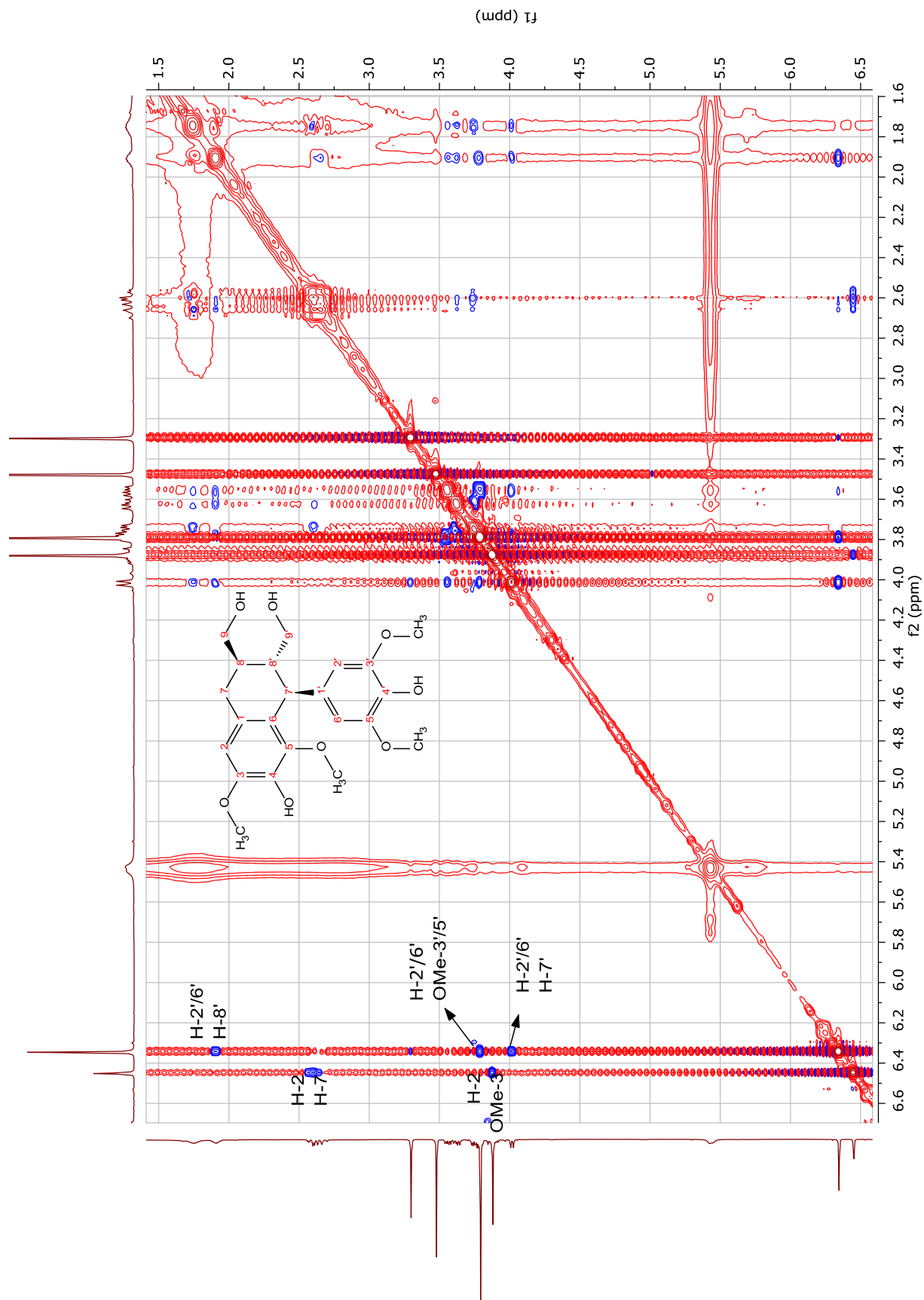


Figura 175. Espectro de NOESY de Zg7 (400 MHz, CDCl_3).

CAC060 #1 RT: 0.00 AV: 1 NL: 7.88E6
T: FTMS -p ESI[Full ms [50,00-20000,00]

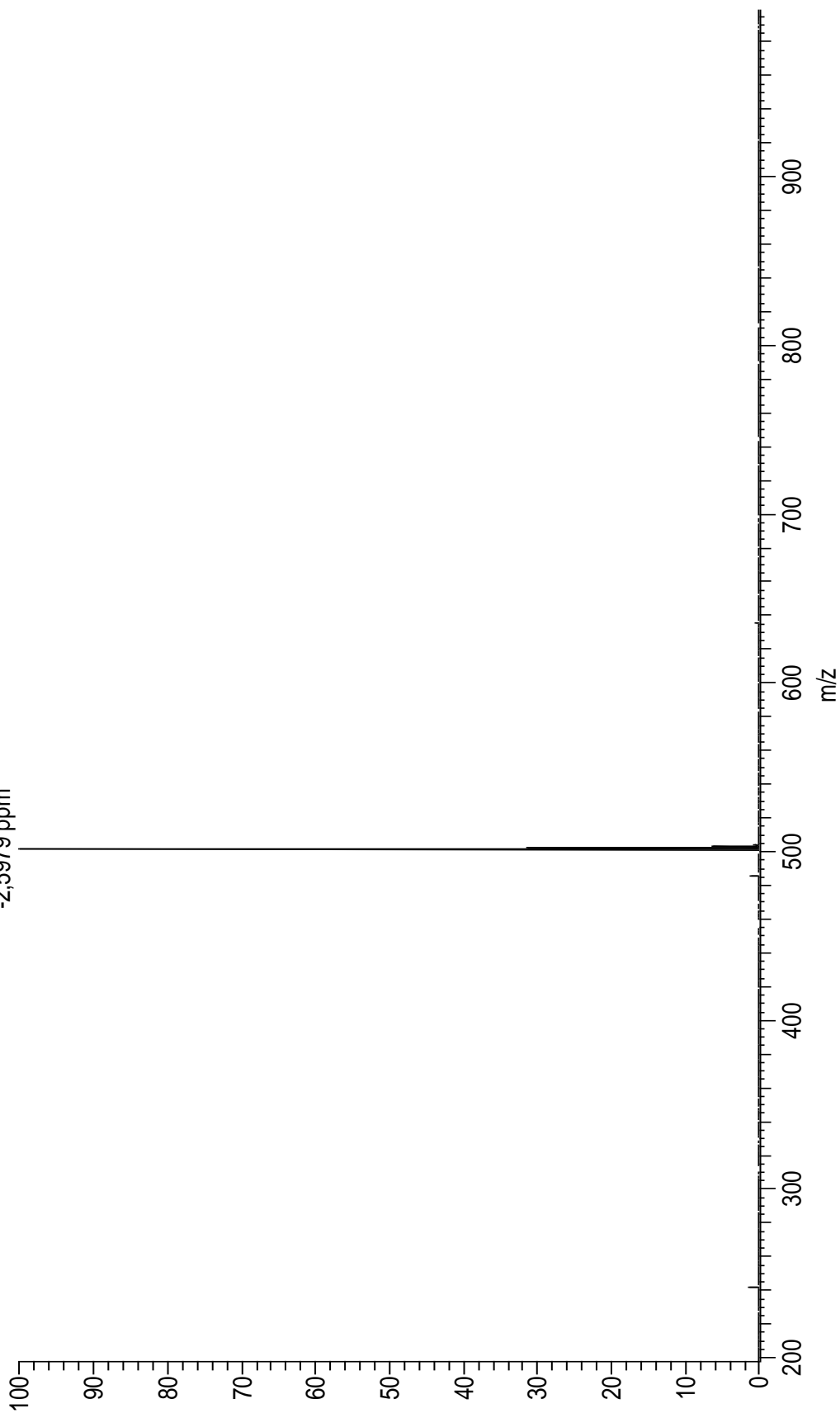


Figura 176. Espectro de massas de alta resolução de **Zg8** (ESI, modo negativo).

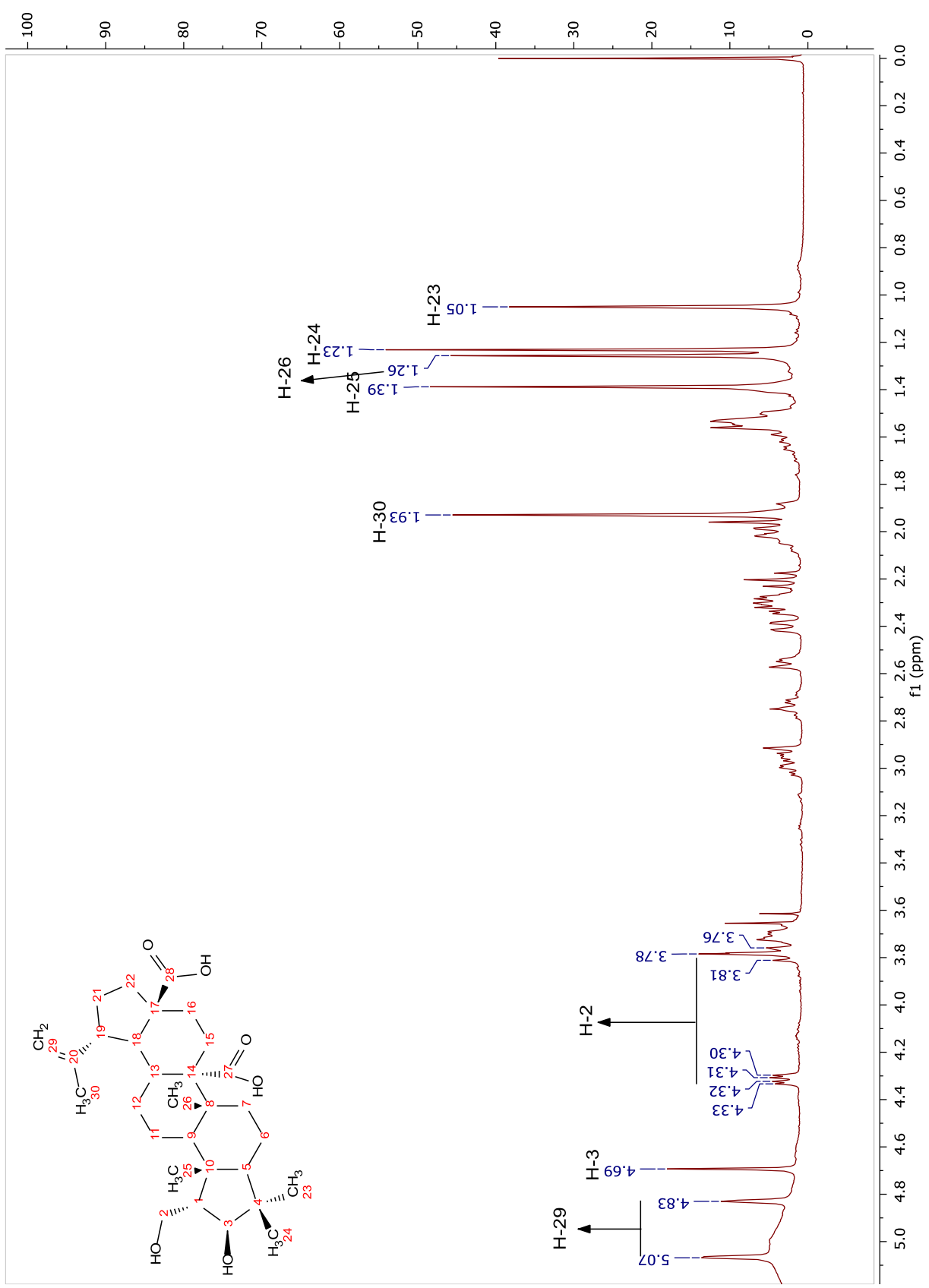


Figura 177. Espectro de RMN ^1H de Zg8 (400 MHz, $\text{C}_5\text{D}_5\text{N}$).

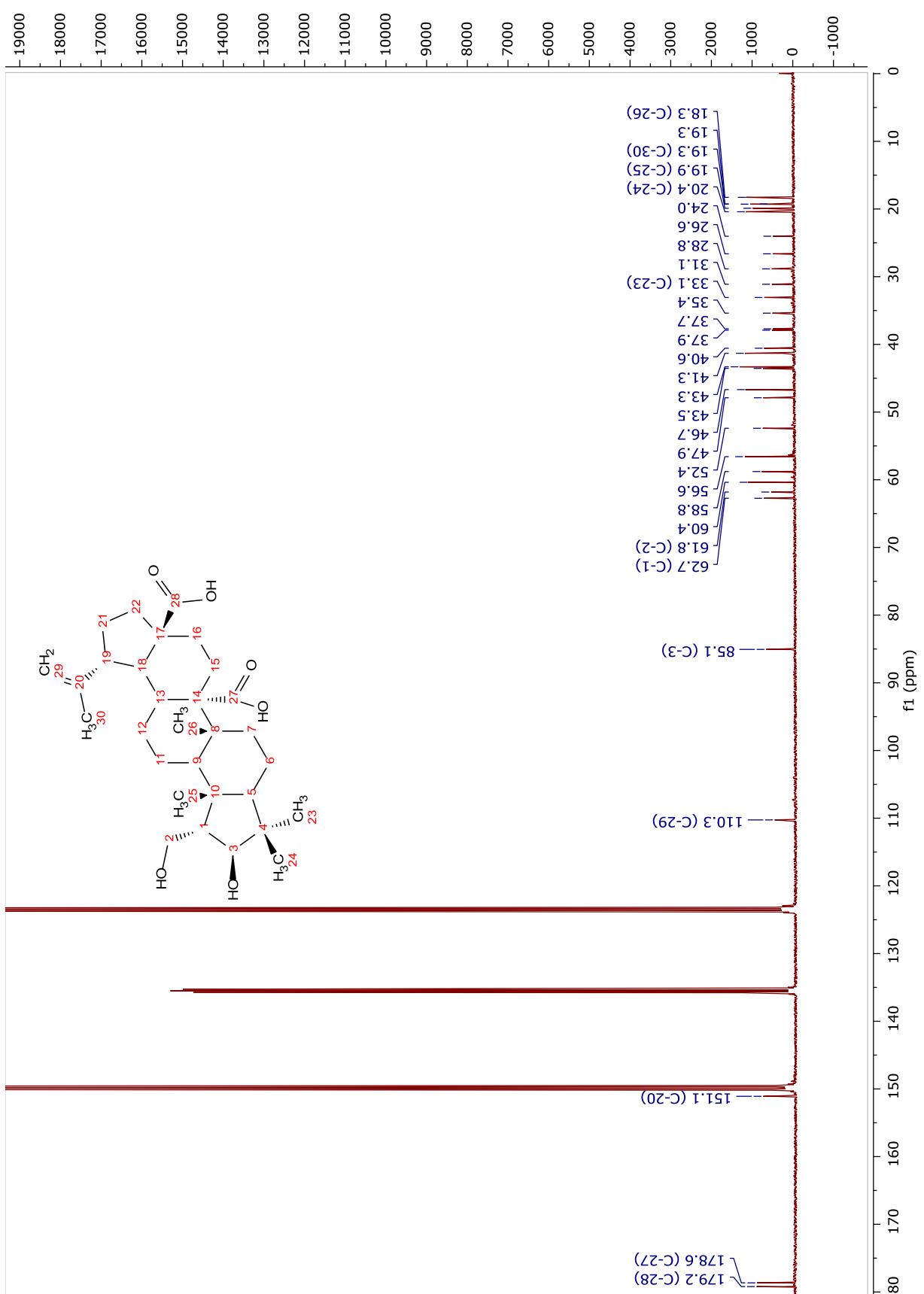


Figura 178. Espectro de RMN ^{13}C de Zg8 (100 MHz, $\text{C}_5\text{D}_5\text{N}$).

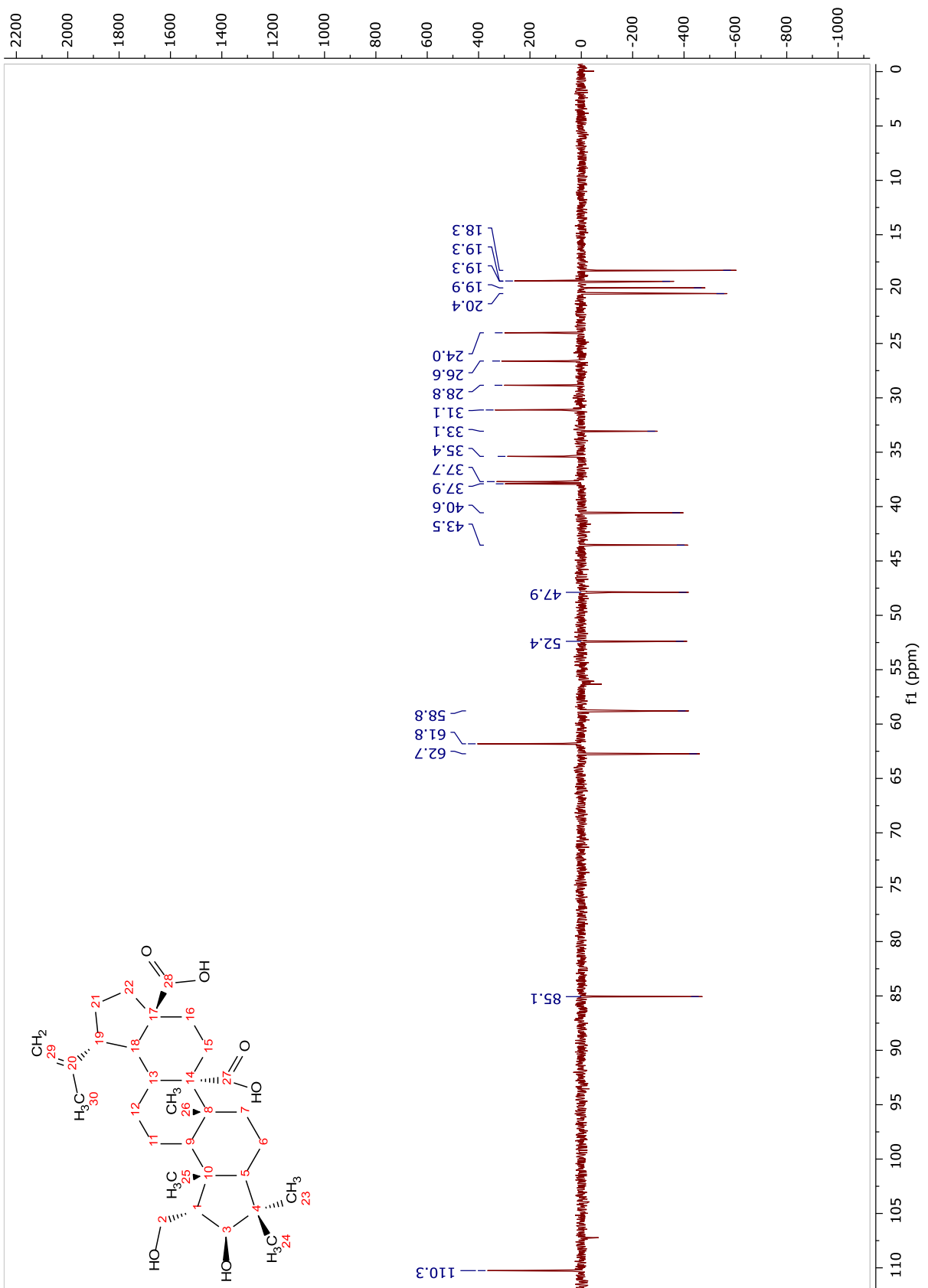


Figura 179. Espectro de DEPT-135 de Zg8 (100 MHz, $\text{C}_5\text{D}_5\text{N}$).

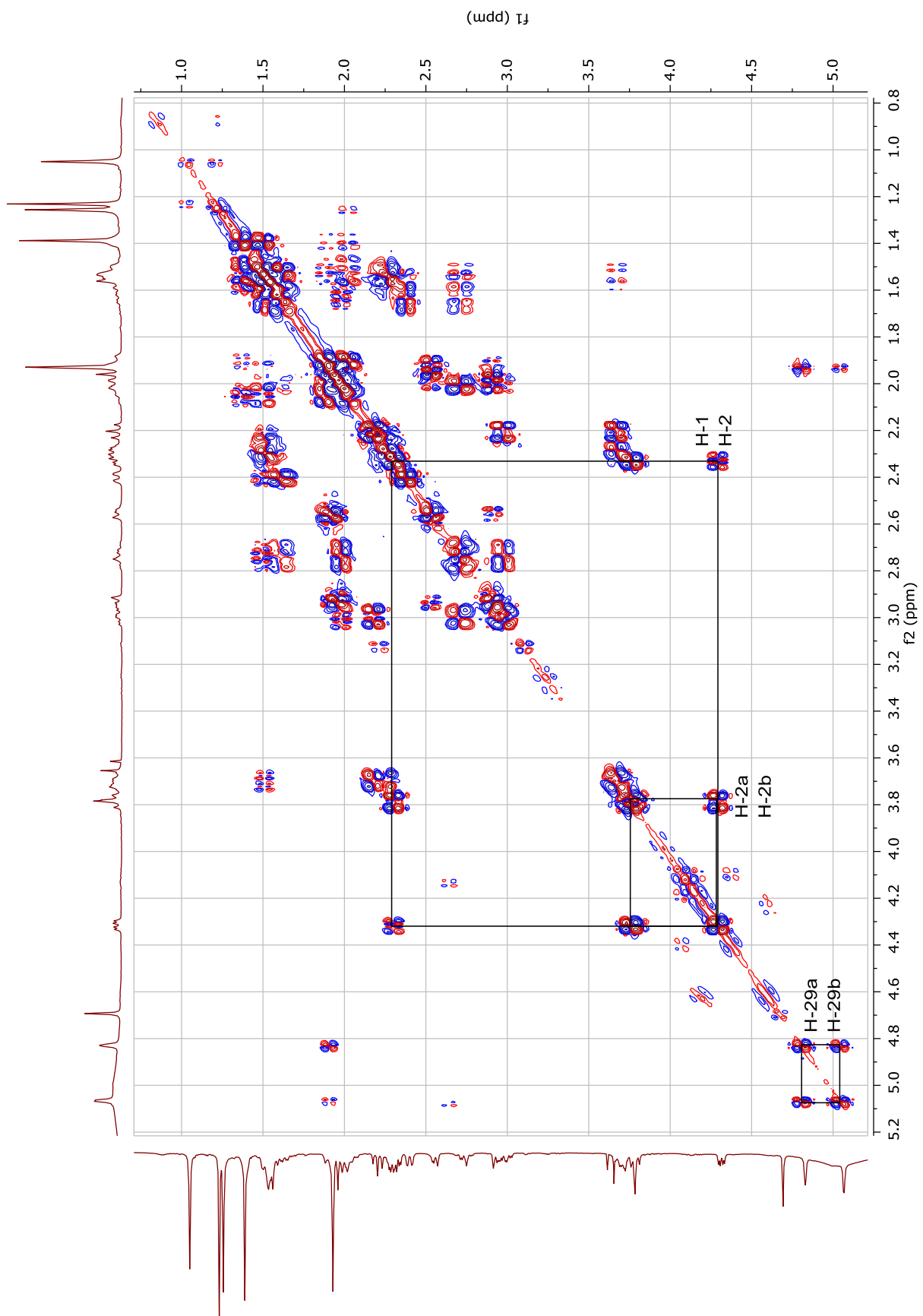


Figura 180. Espectro de COSY de Zg8 (400 MHz, C_5D_5N).

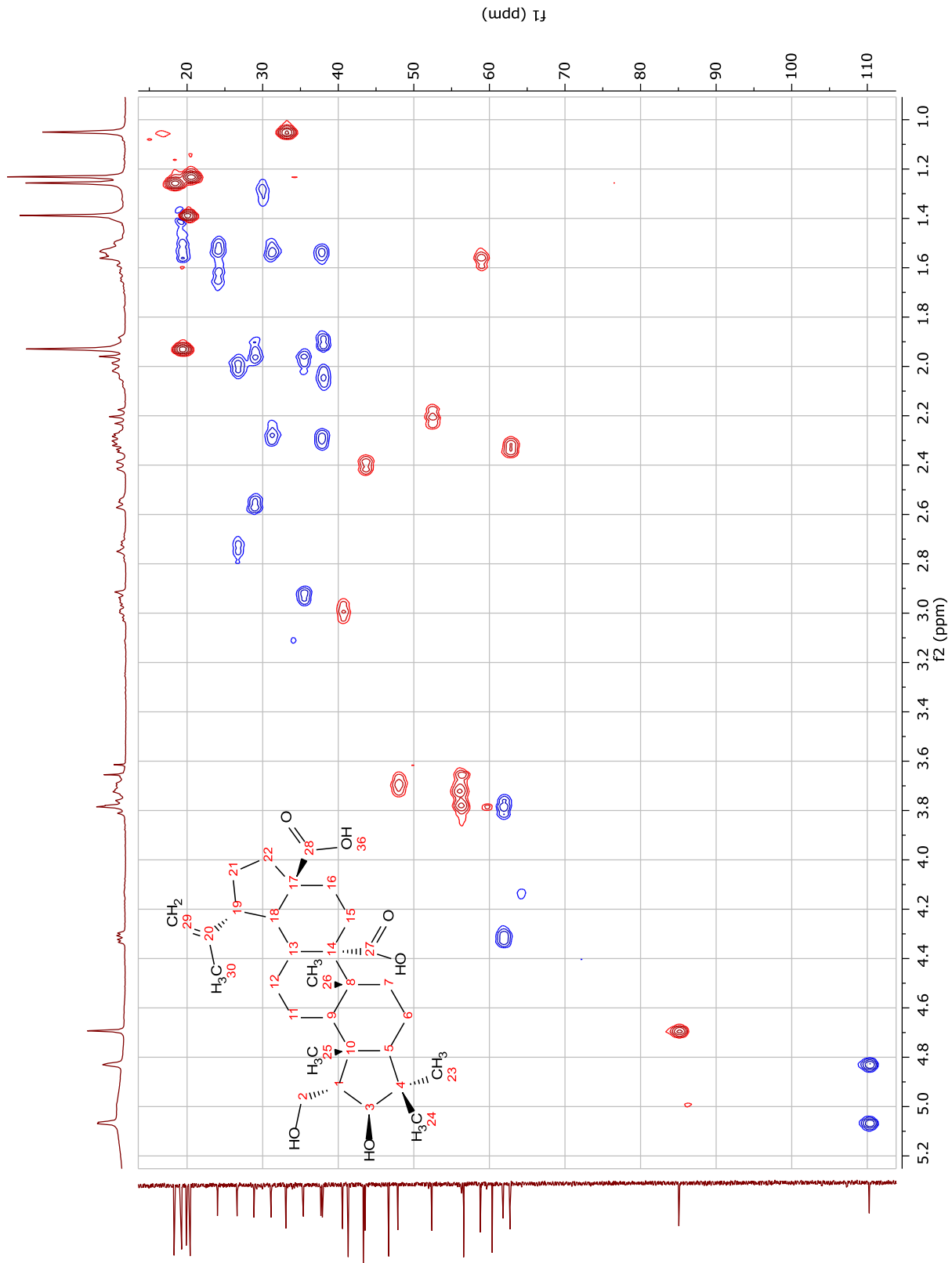


Figura 181. Espectro de HSQC de Zg8 (400 MHz, C₅D₅N).

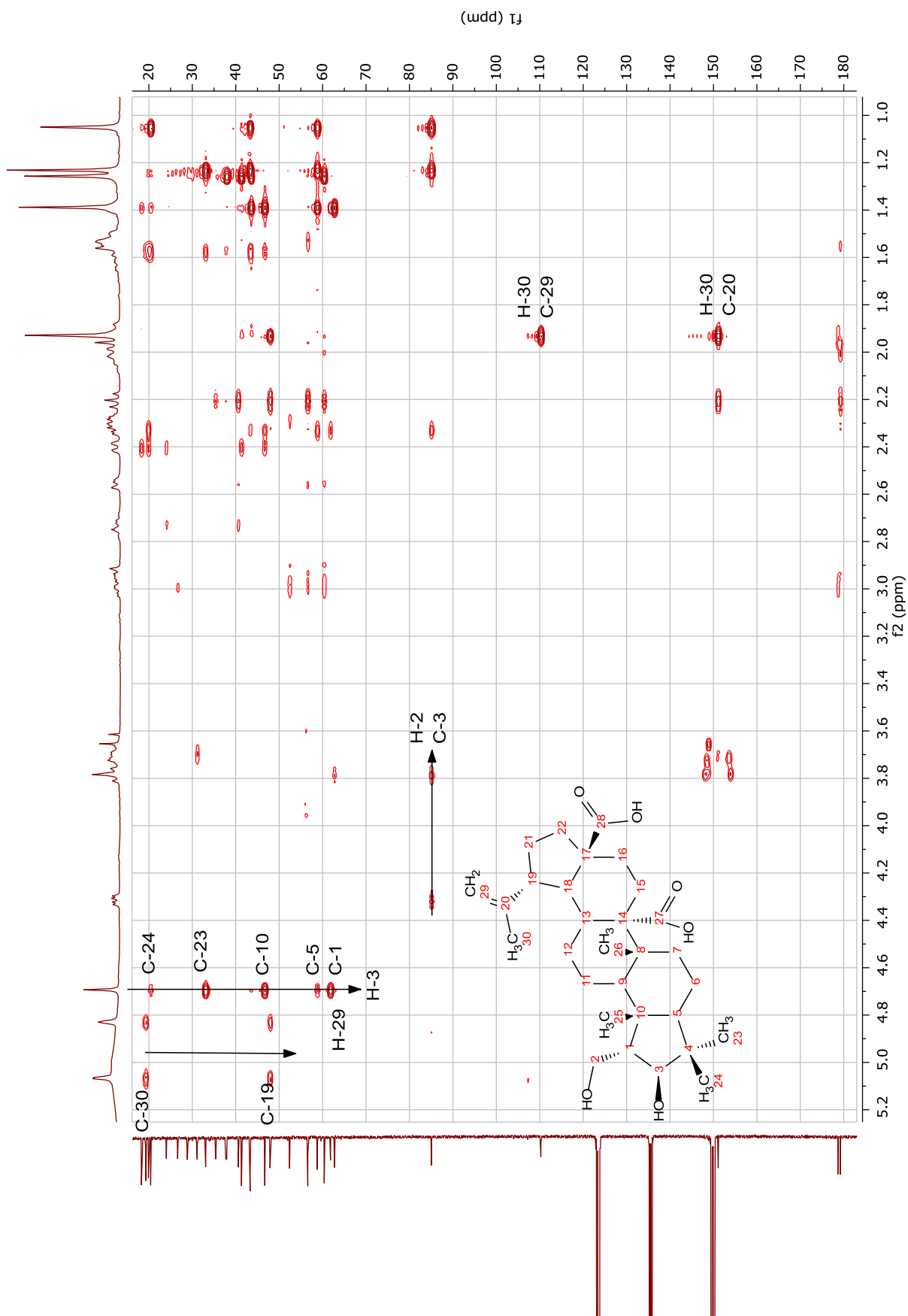


Figura 182. Espectro de HMBC de Zg8 (400 MHz, C₅D₅N).

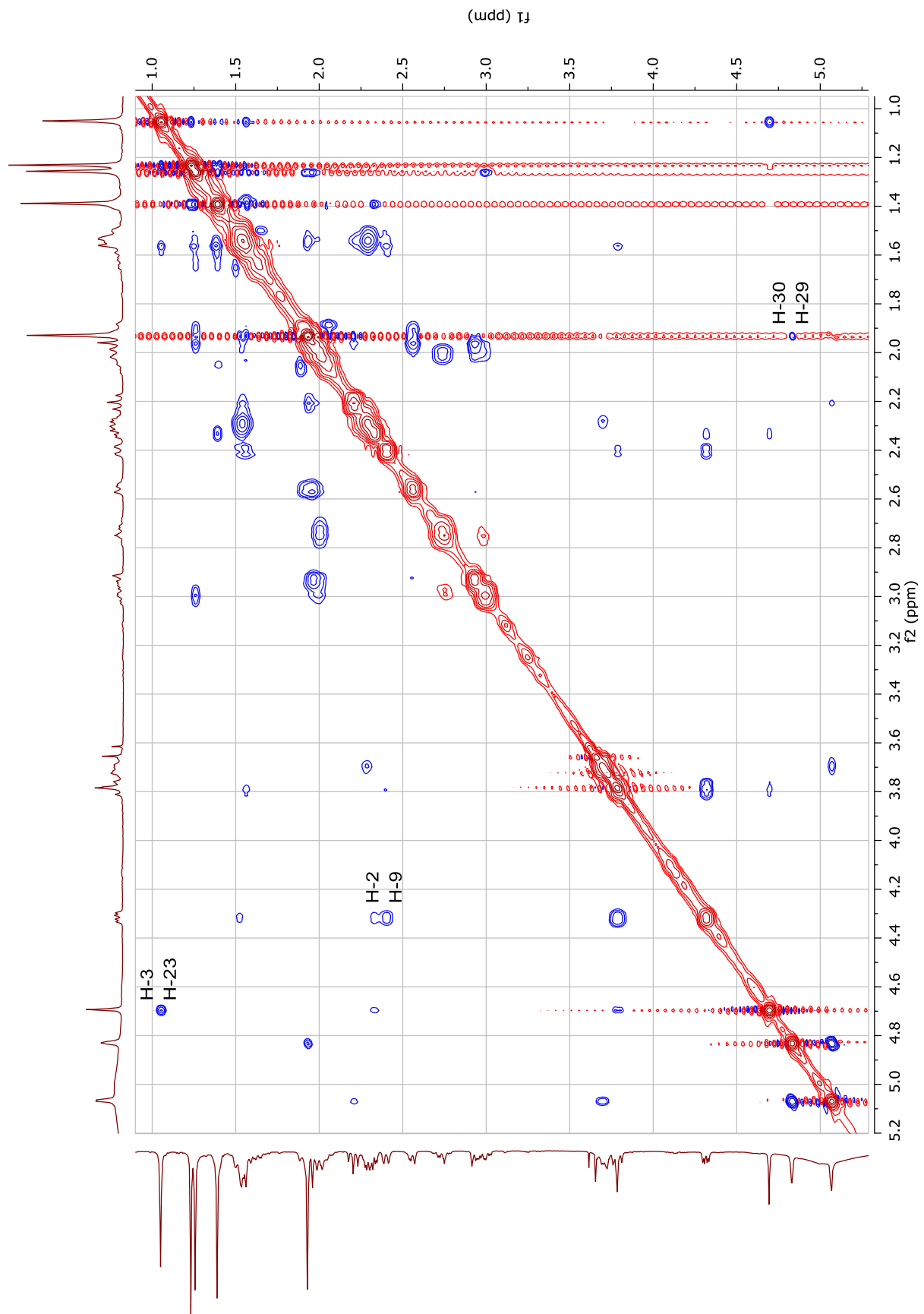


Figura 183. Espectro de ROESY de Zg8 (400 MHz, $\text{C}_5\text{D}_5\text{N}$).

180319_CAC_105neg1 #4597 RT: 11,44 AV: 1 NL: 3,80E6
T: FTMS - p ESI Full ms [110,00-2000,00]

515,3018
 $C_{30}H_{43}O_7$
2,7707 ppm

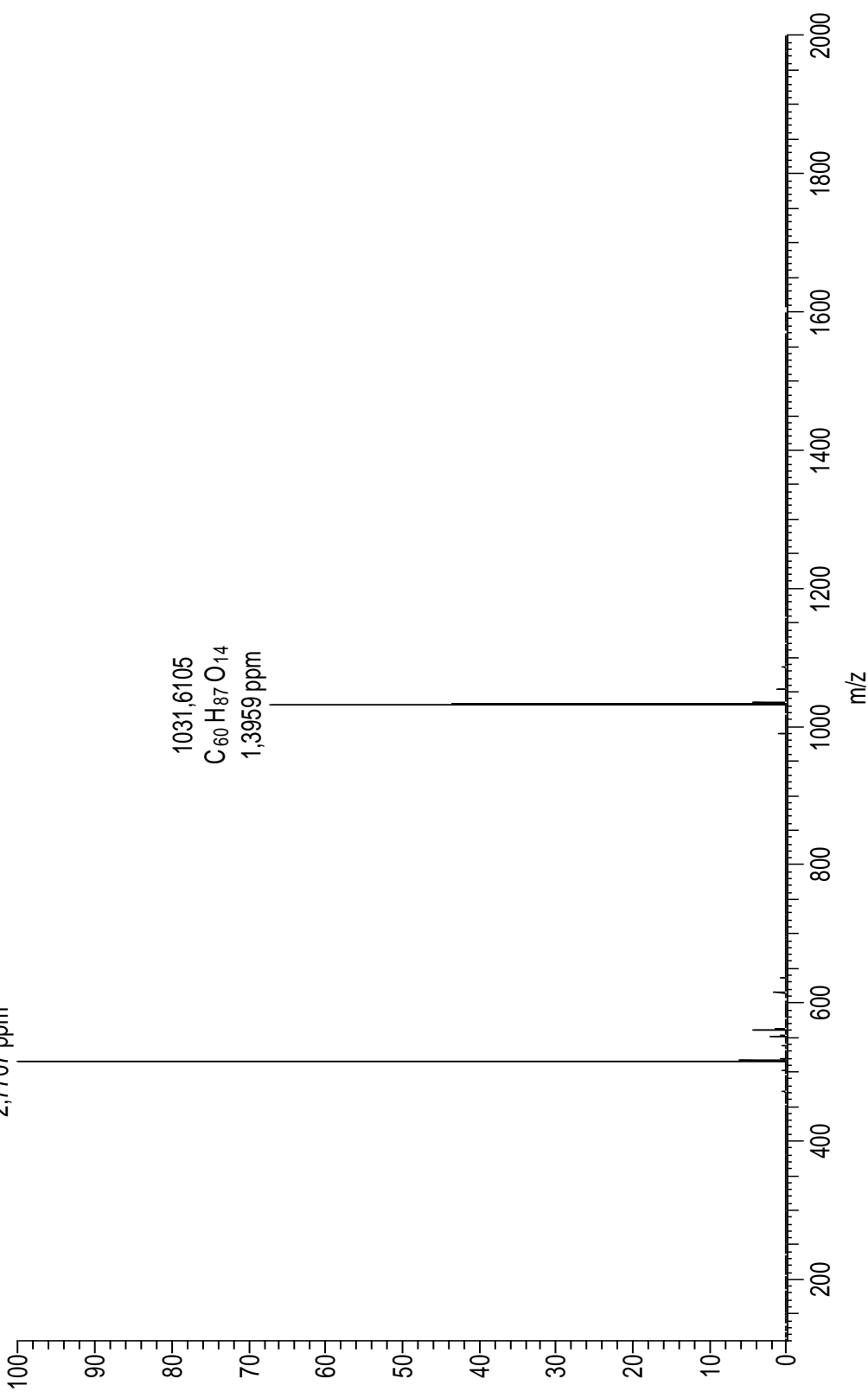


Figura 184. Espectro de massas de alta resolução de **Zg9** (ESI, modo negativo).

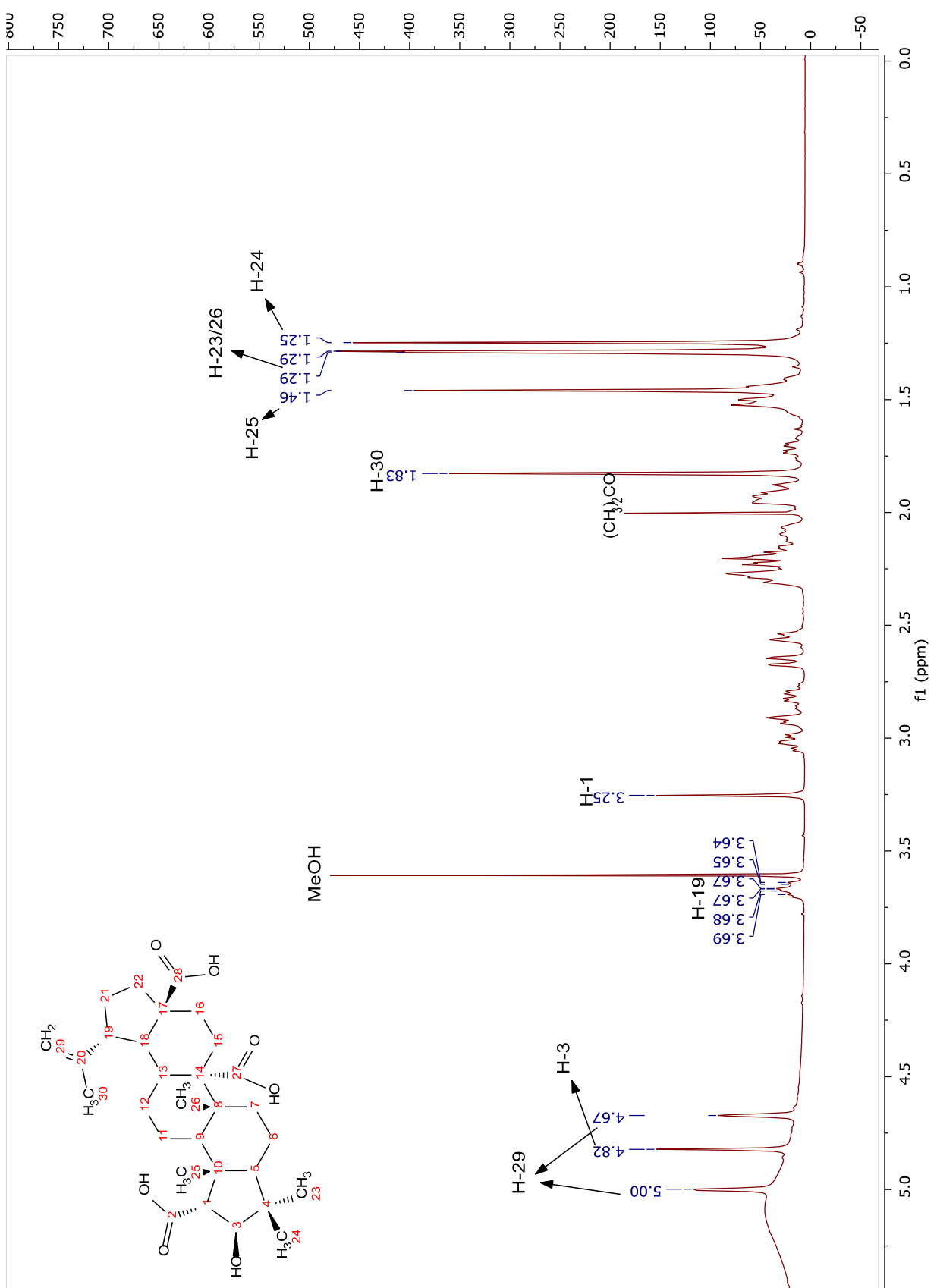


Figura 185. Espectro de RMN ^1H de Zg9 (400 MHz, $\text{C}_5\text{D}_5\text{N}$).

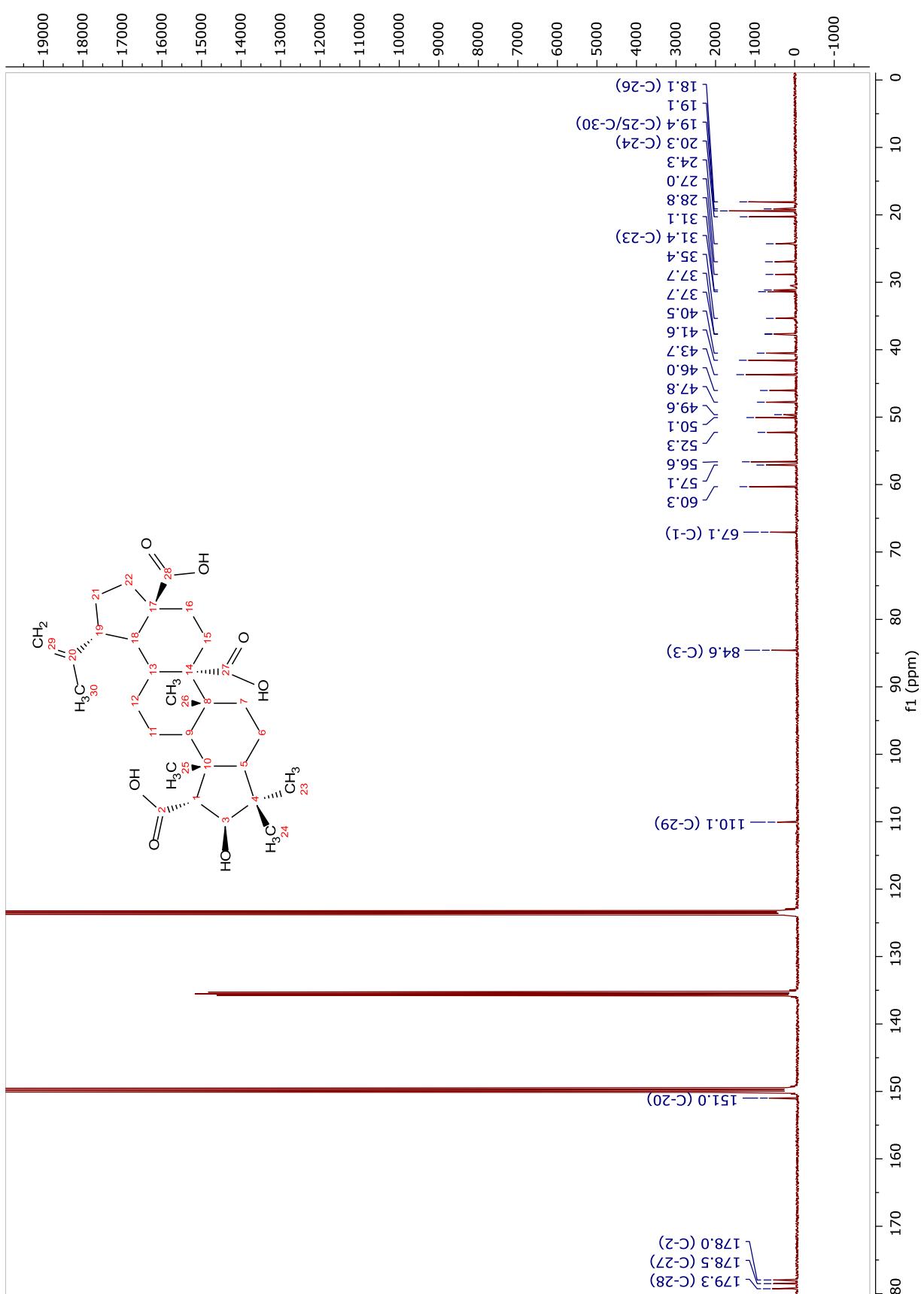


Figura 186. Espectro de RMN ^{13}C de Zg9 (100 MHz, $\text{C}_5\text{D}_5\text{N}$).

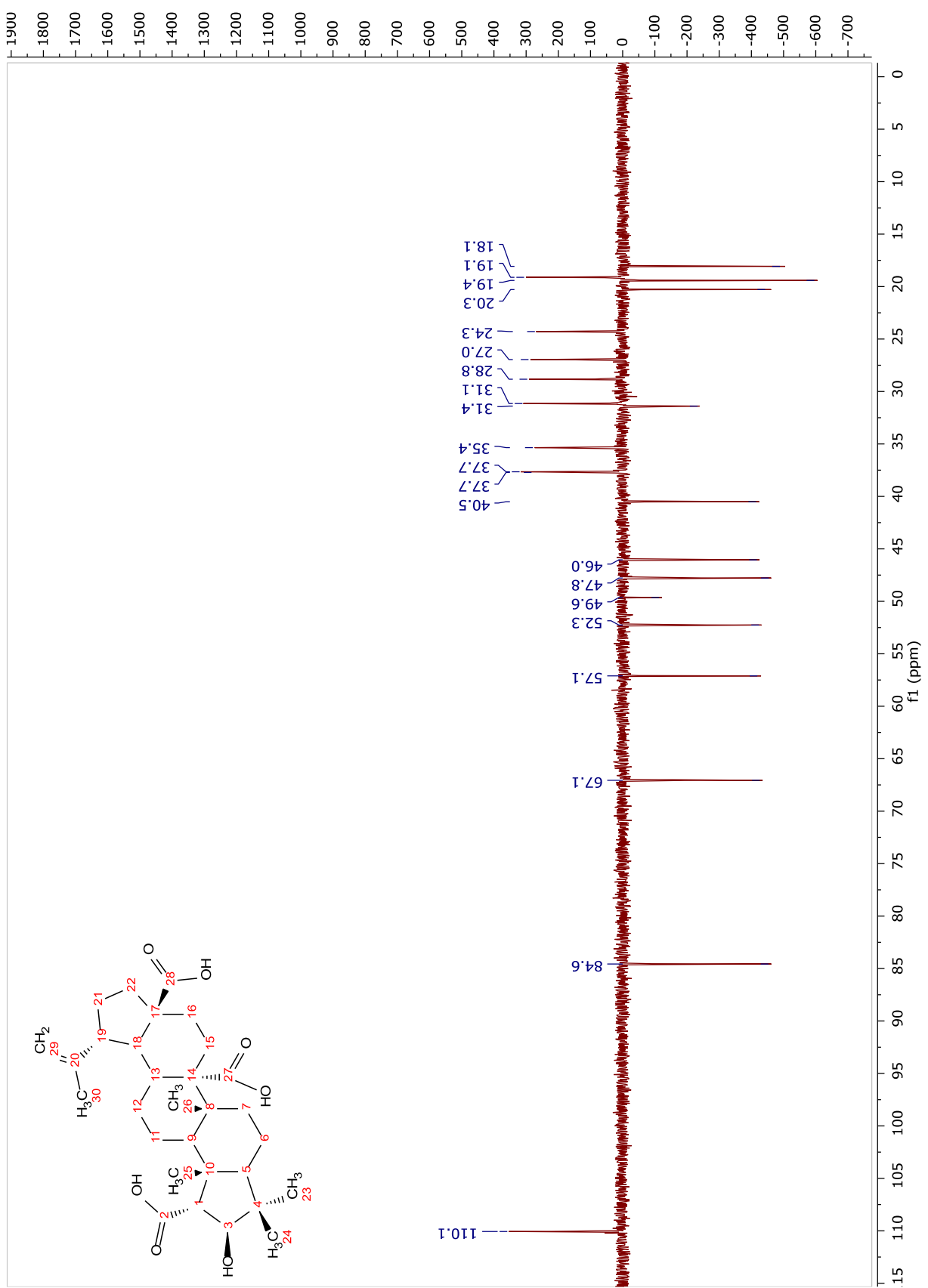


Figura 187. Espectro de DEPT-135 de Zg9 (100 MHz, $\text{C}_5\text{D}_5\text{N}$).

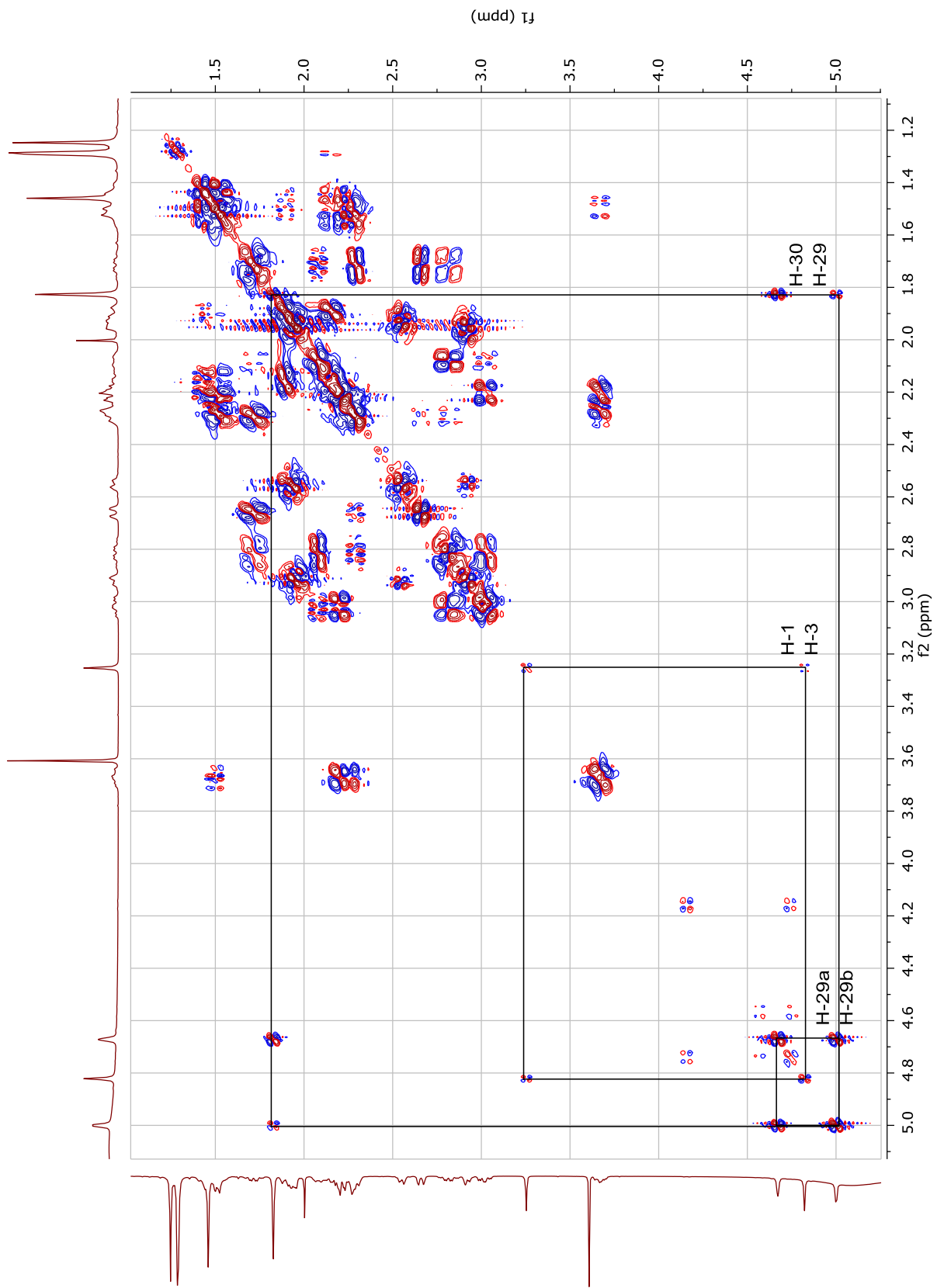


Figura 188. Espectro de COSY de Zg9 (400 MHz, C_5D_5N).

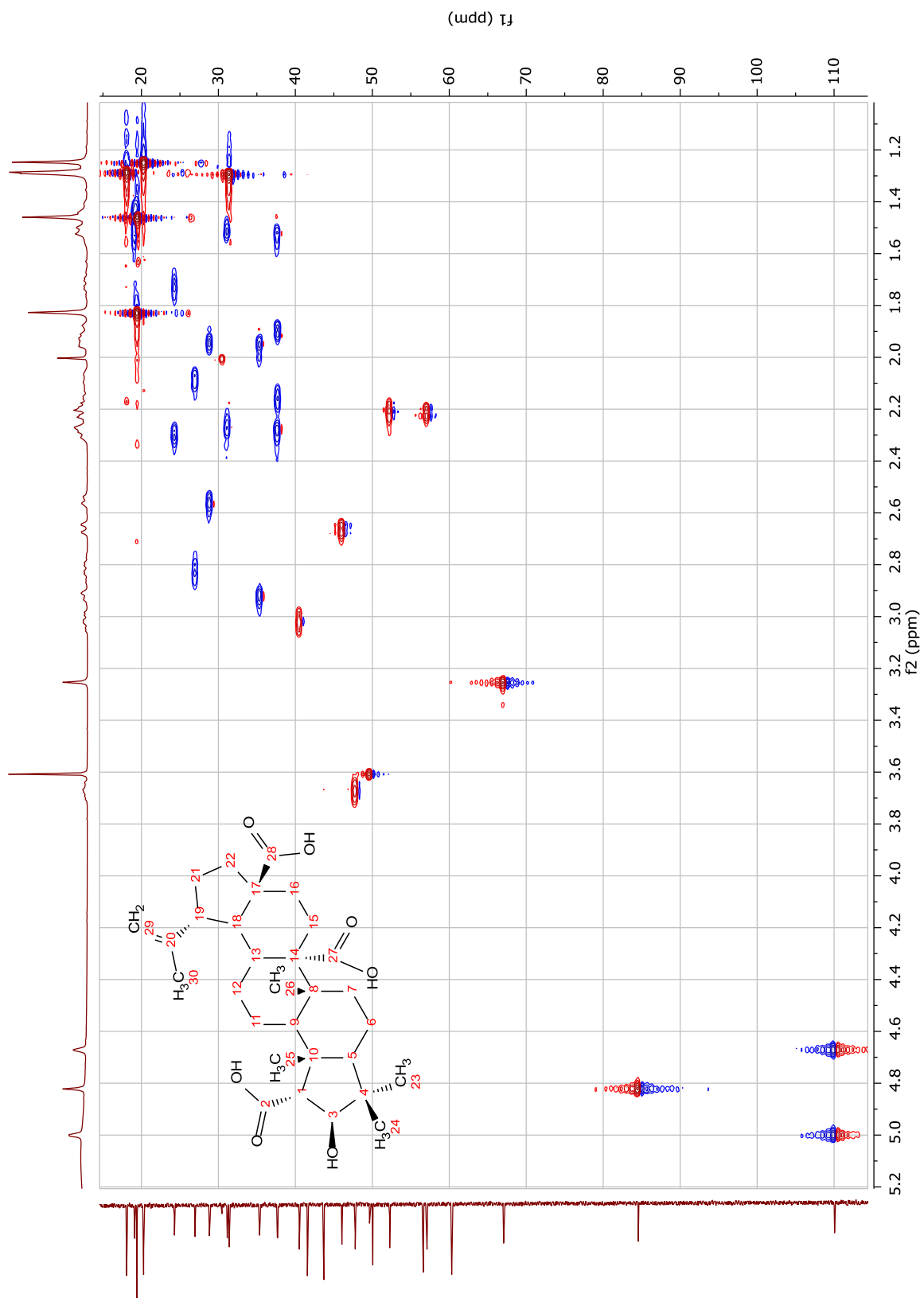


Figura 189. Espectro de HSQC de Zg9 (400 MHz, C₅D₅N).

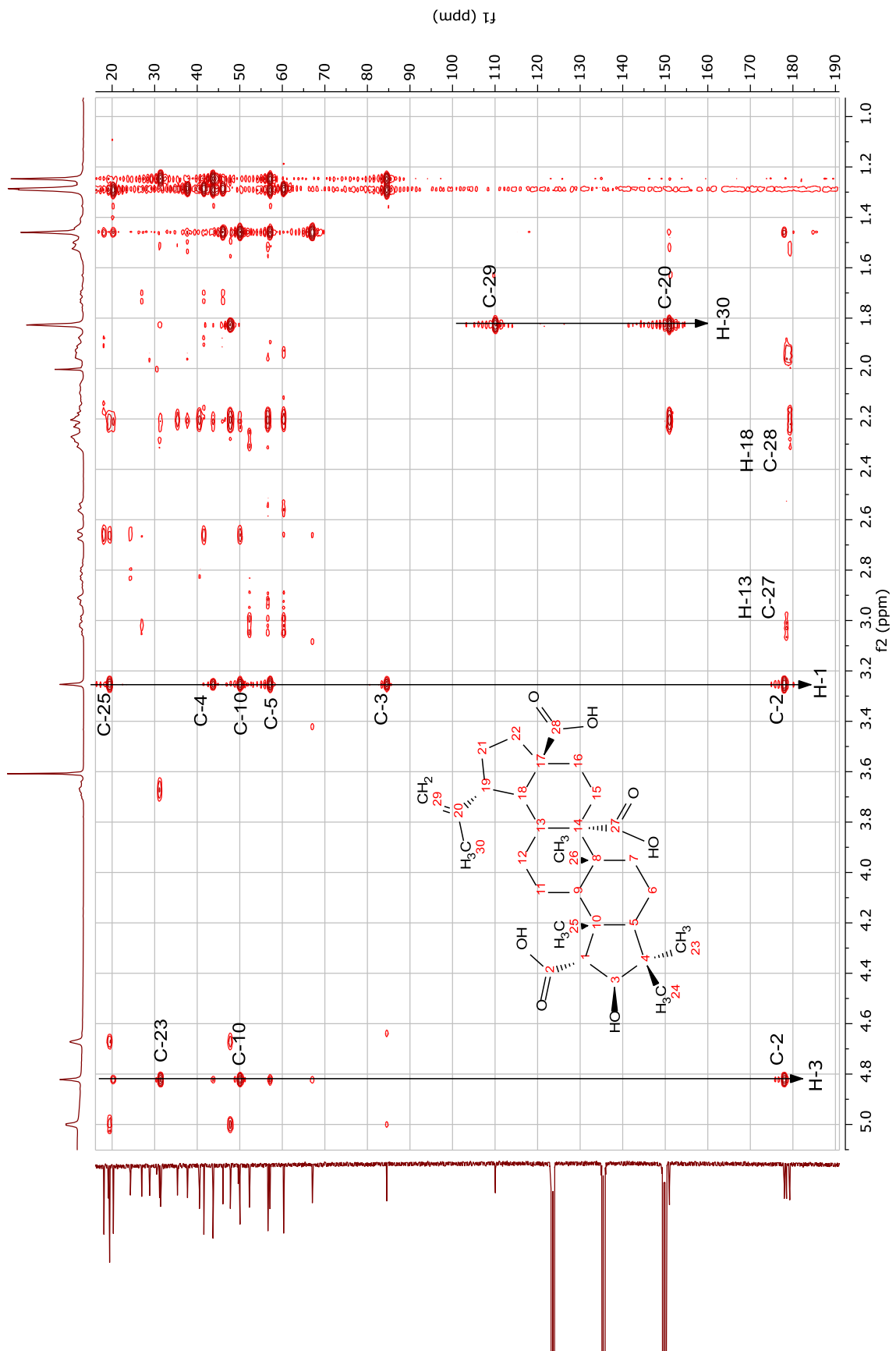


Figura 190. Espectro de HMBC de Zg9 (400 MHz, C₅D₅N).

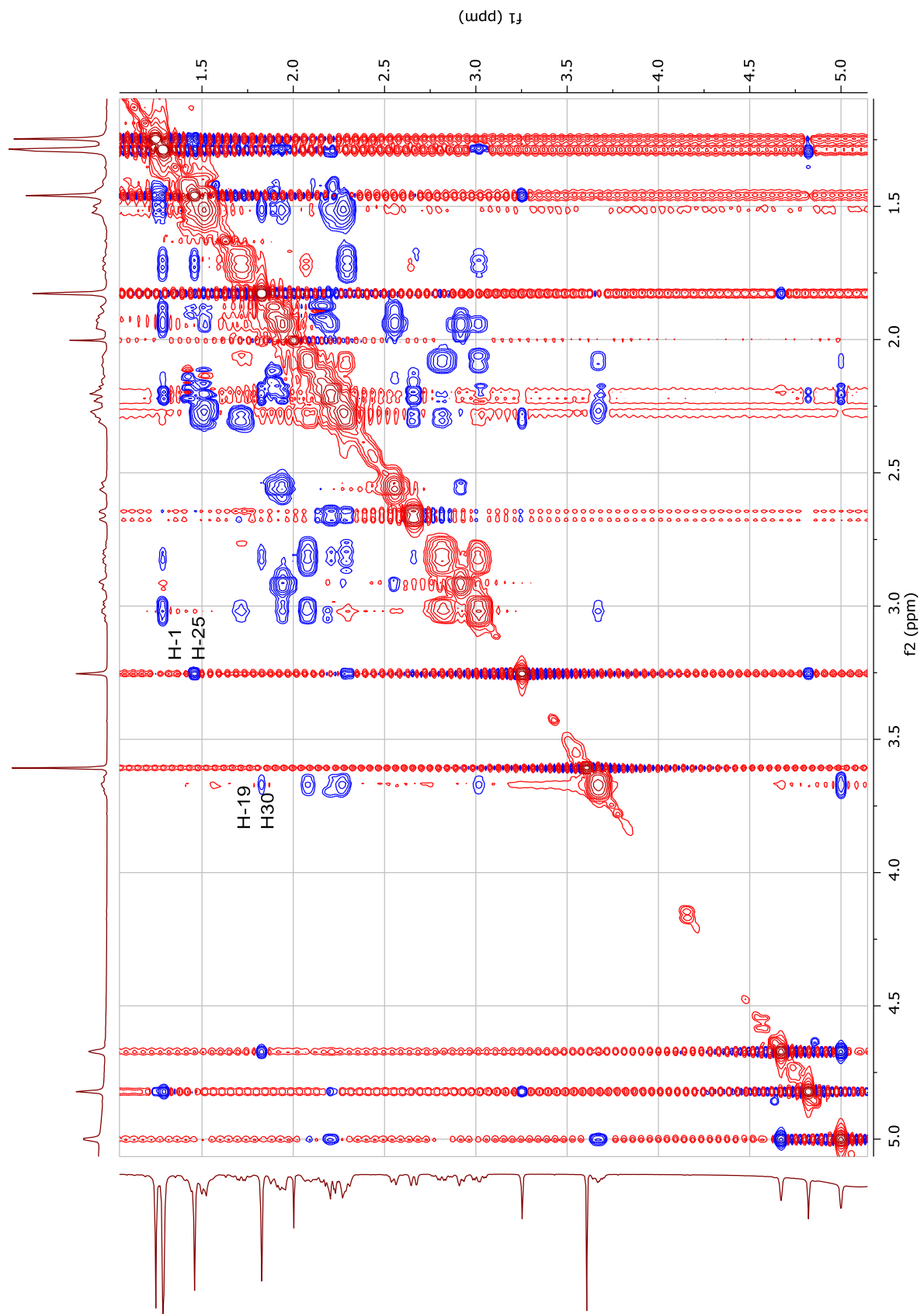


Figura 191. Espectro de ROESY de Zg9 (400 MHz, C₅D₅N).

CAC104pos_171006214553 #14 RT: 0,05 AV: 1 NL: 6,74E7
T: FTMS + p ESI Full ms [100,00-2000,00]

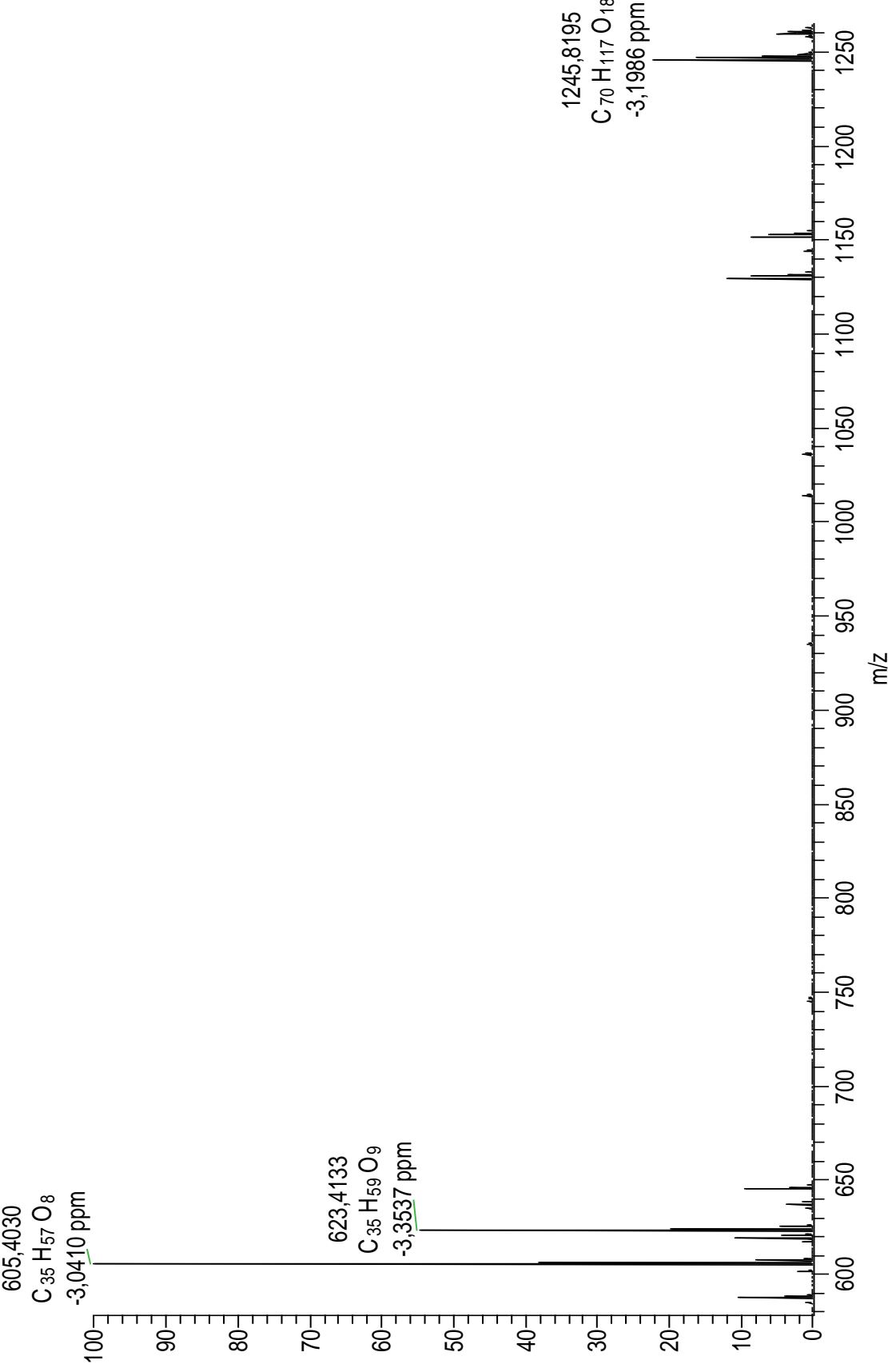


Figura 192. Espectro de massas de alta resolução de Zg10 (ESI, modo positivo).

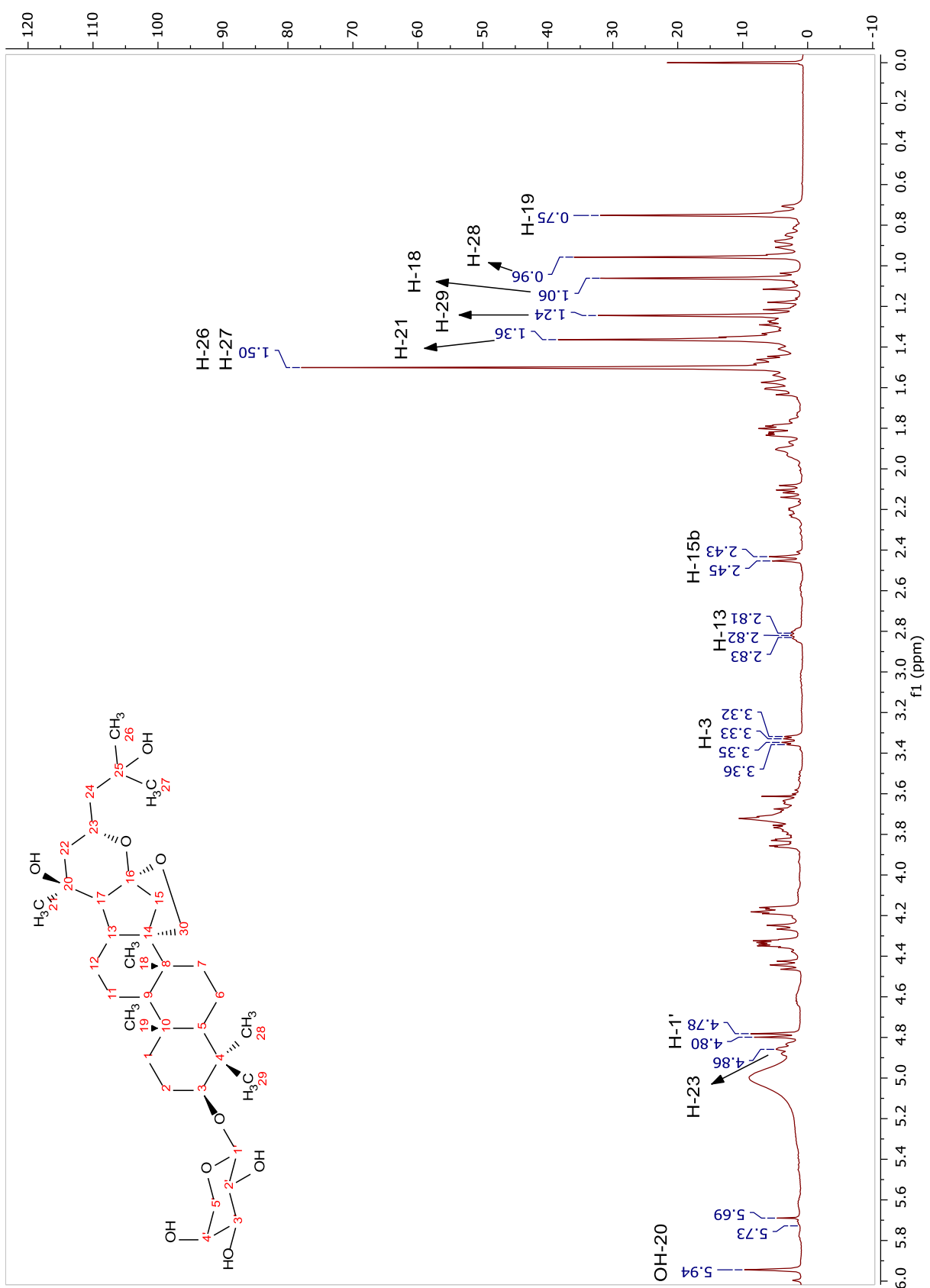


Figura 193. Espectro de RMN ^1H de Zg10 (400 MHz, $\text{C}_5\text{D}_5\text{N}$).

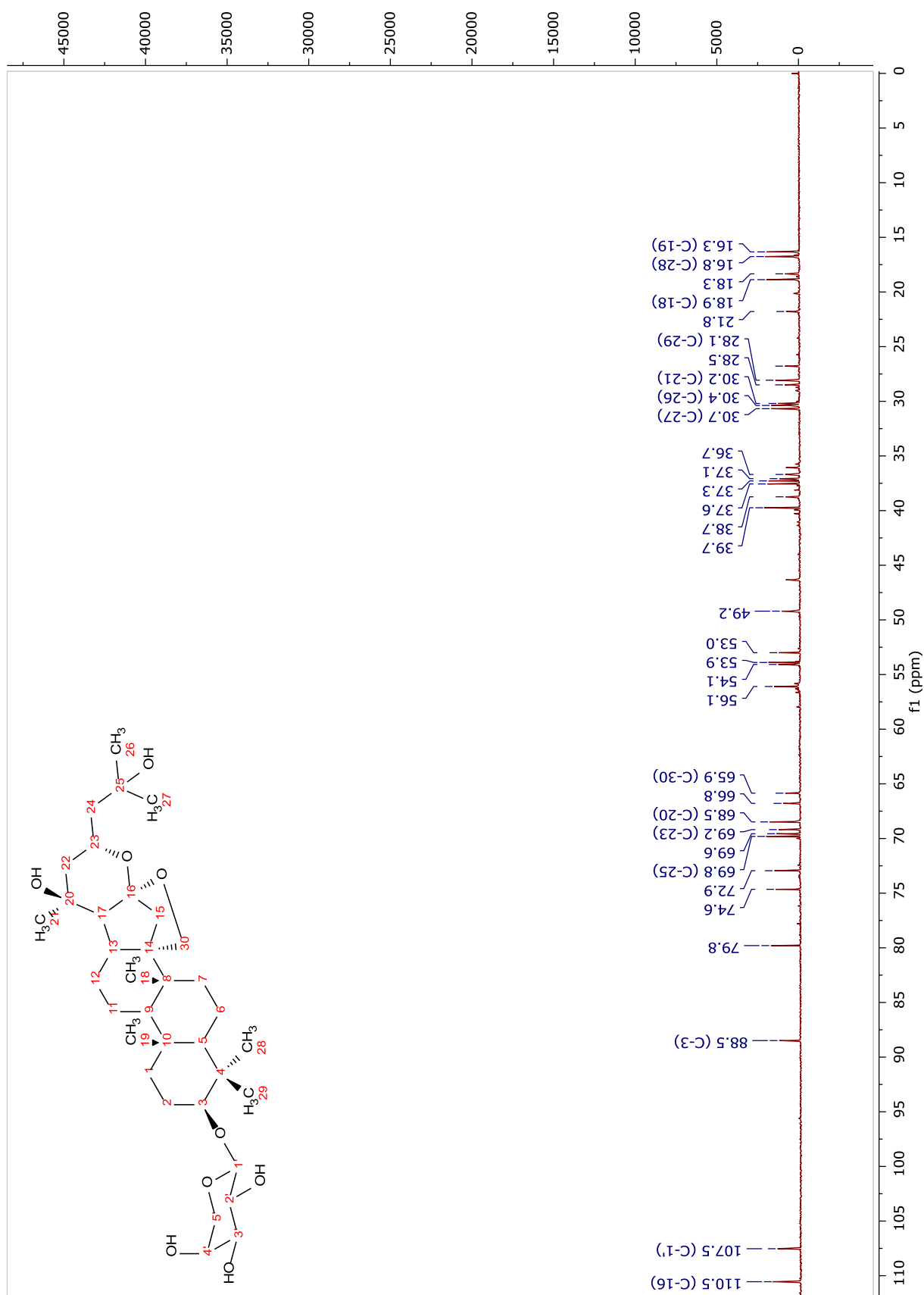


Figura 194. Espectro de RMN ^{13}C de Zg10 (100 MHz, $\text{C}_5\text{D}_5\text{N}$).

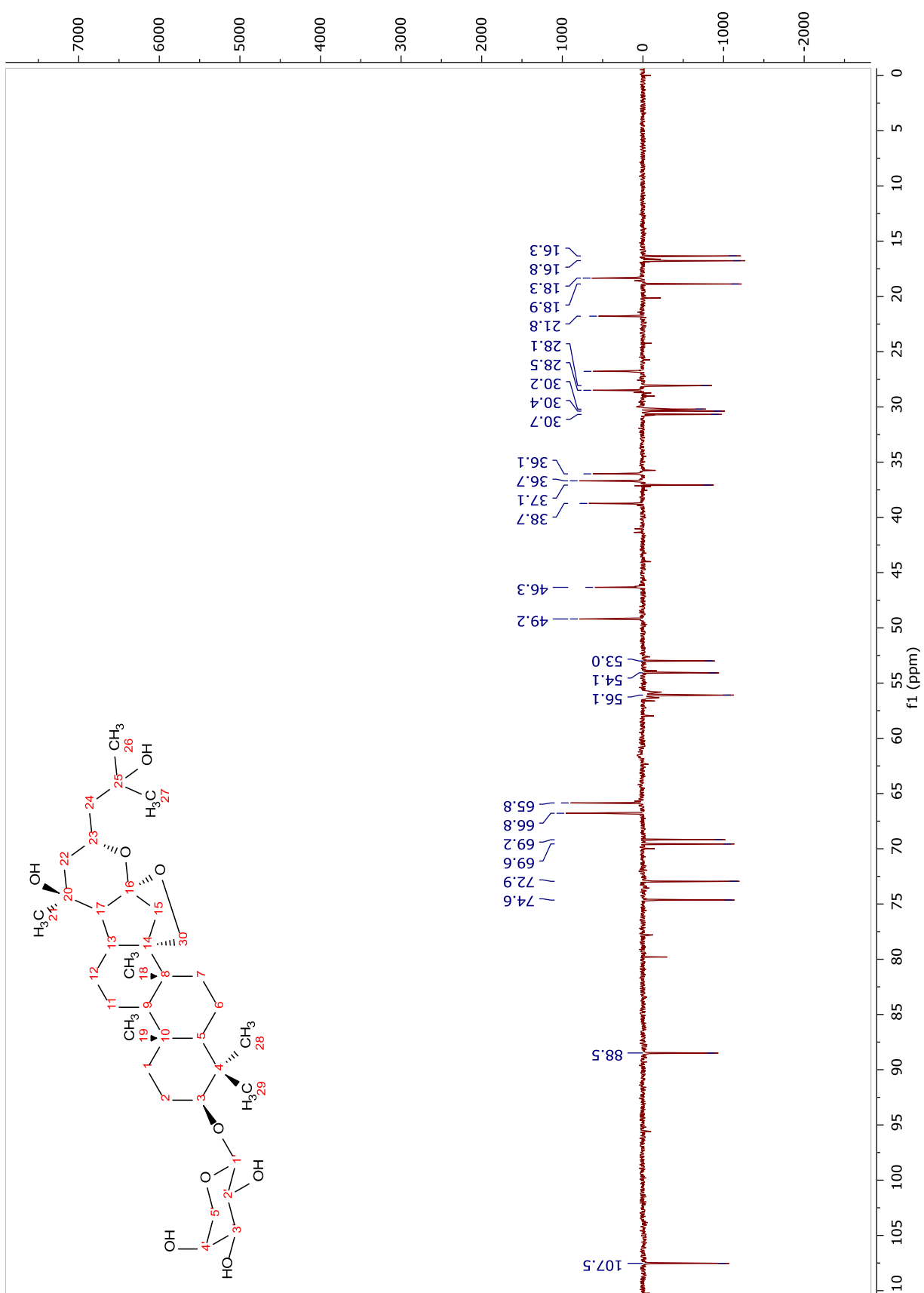


Figura 195. Espectro de DEPT-135 de Zg10 (100 MHz, $\text{C}_5\text{D}_5\text{N}$).

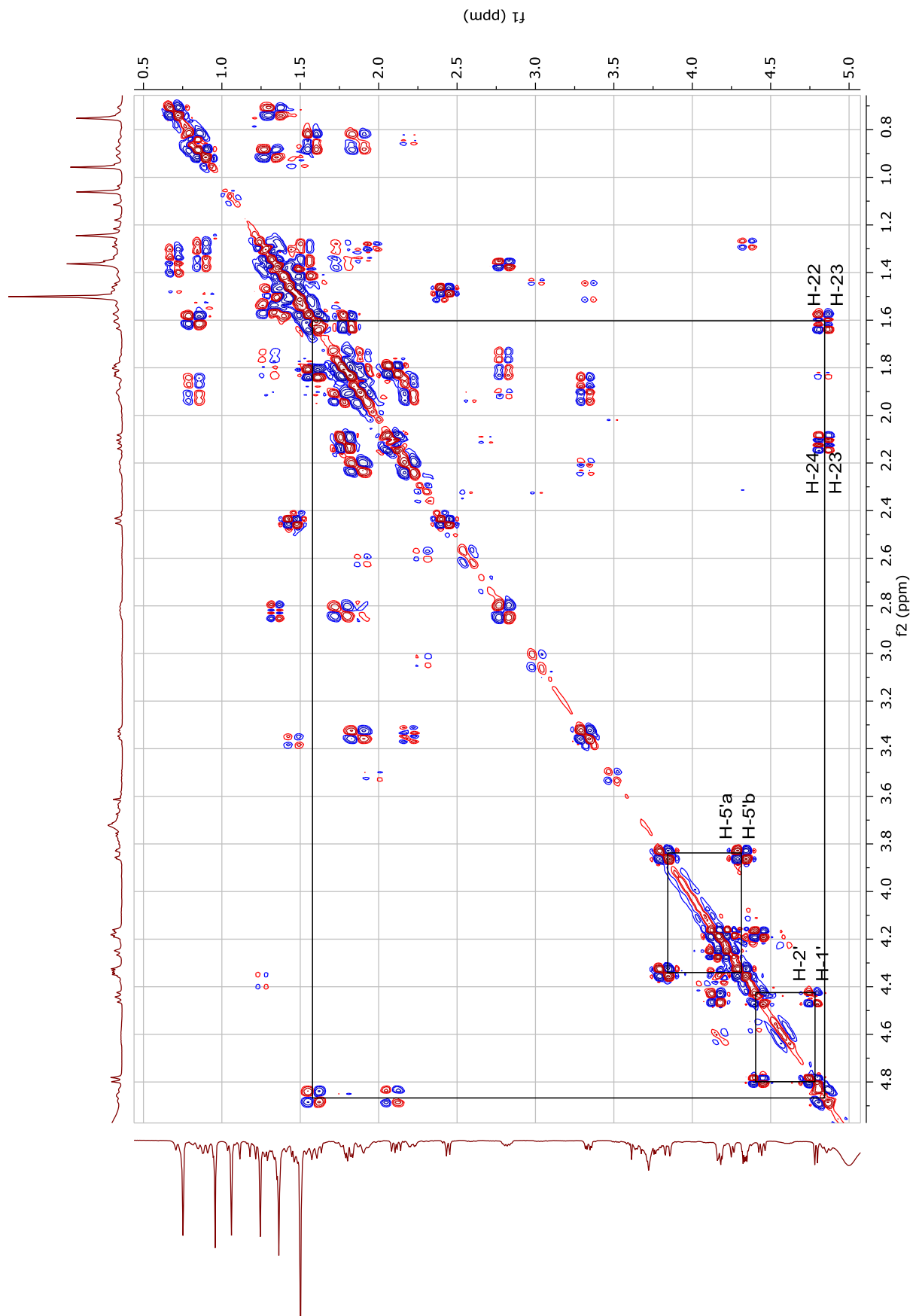


Figura 196. Espectro de COSY de Zg10 (400 MHz, C_5D_5N).

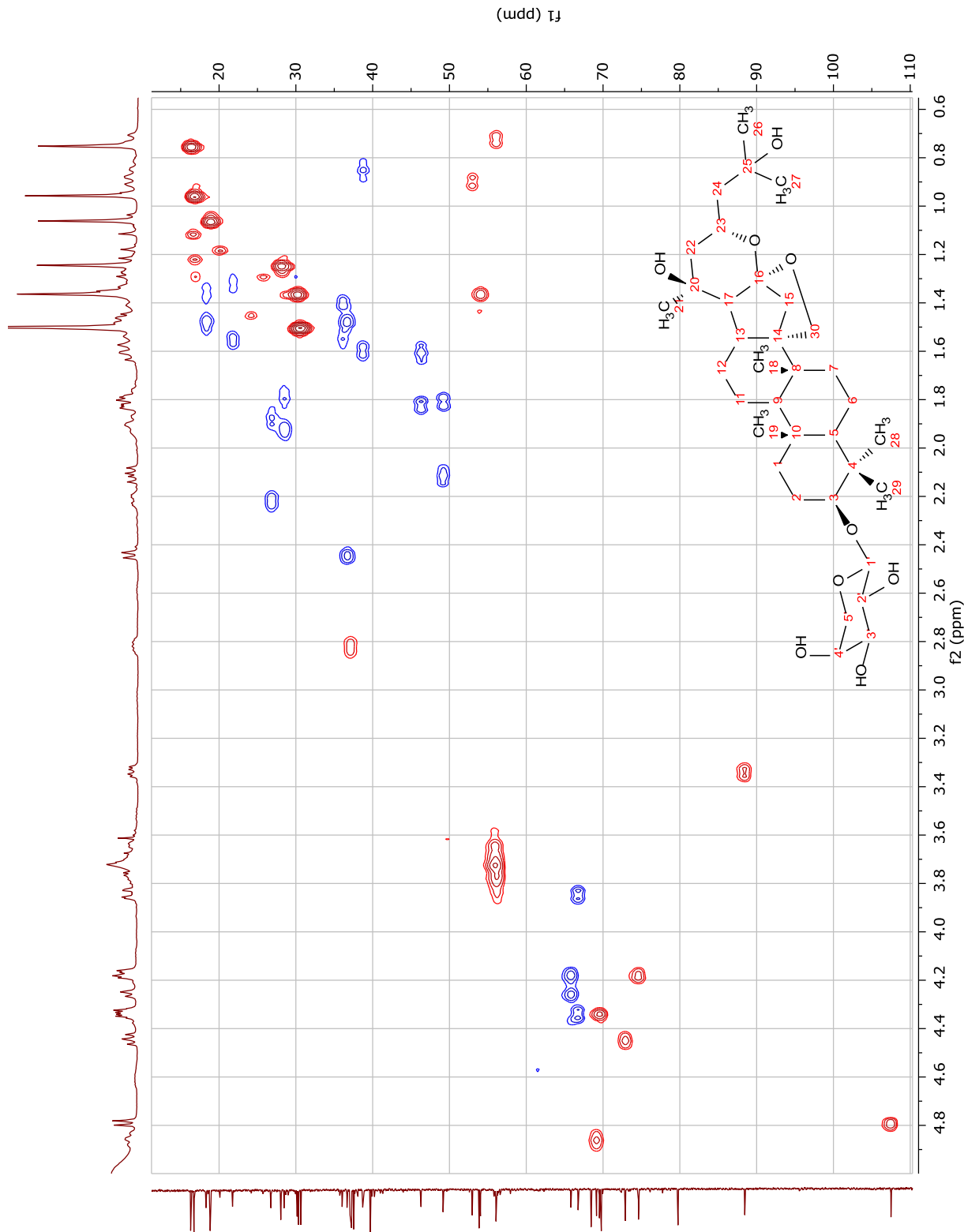


Figura 197. Espectro de HSQC de Zg10 (400 MHz, C₅D₅N).

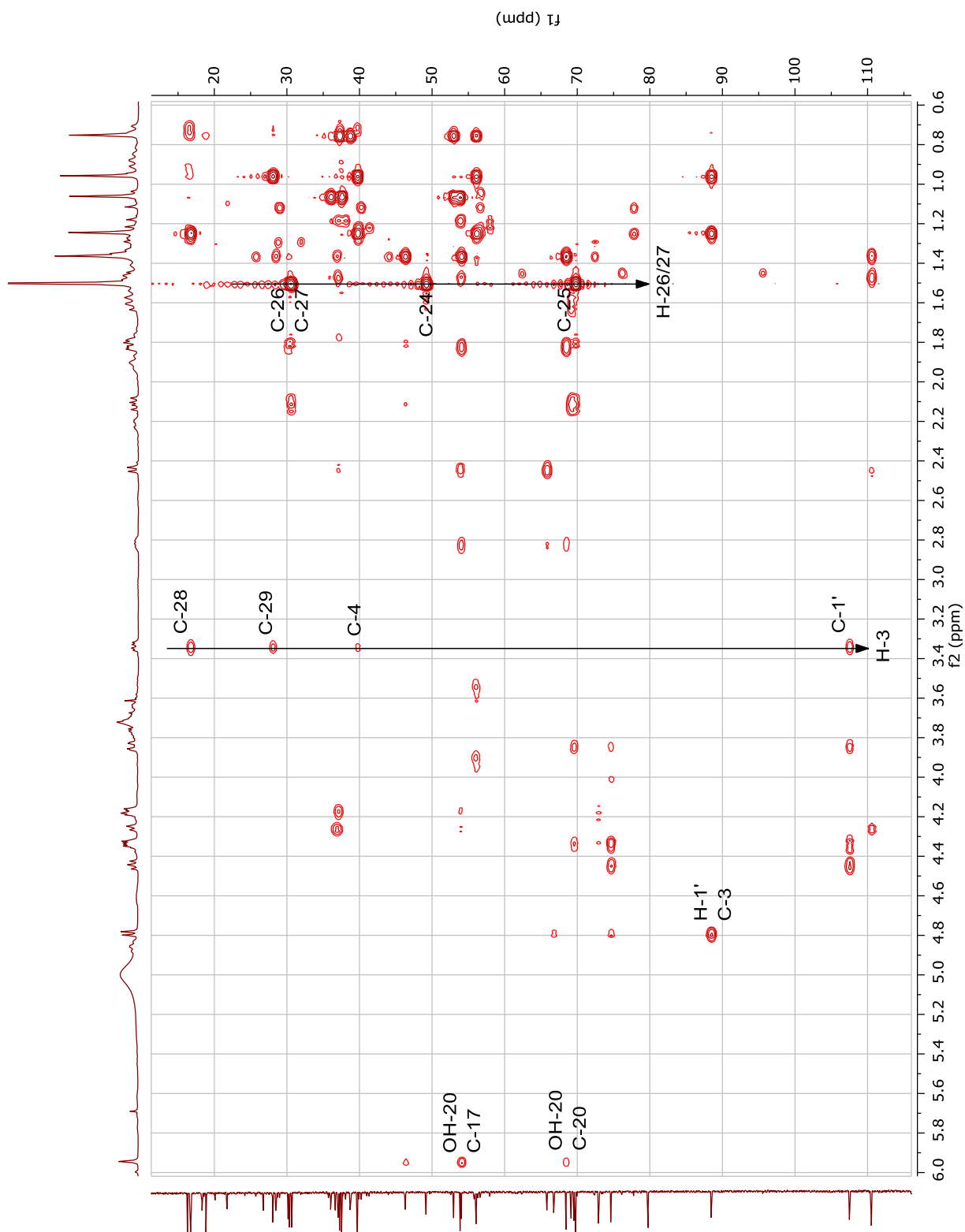


Figura 198. Espectro de HMBC de Zg10 (400 MHz, C_5D_5N).

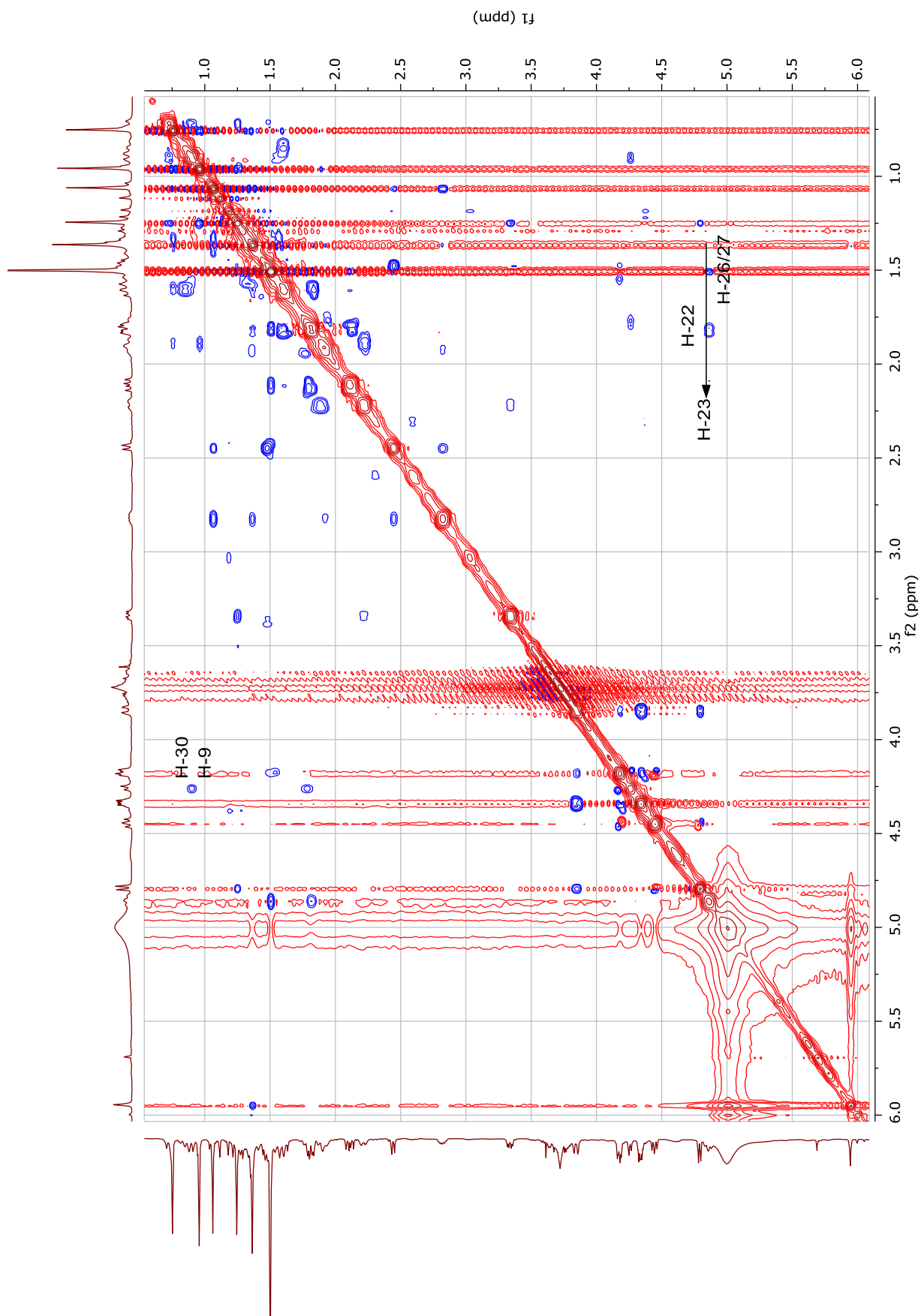


Figura 199. Espectro de NOESY de **Zg10** (400 MHz, $\text{C}_5\text{D}_5\text{N}$).

CAC119 #35 RT: 0,08 AV: 1 NL: 2,13E7
T: FTMS + p ESI[Full ms [100,00-2000,00]
777,4368
C₄₀H₆₆O₁₃Na
-3,5173 ppm

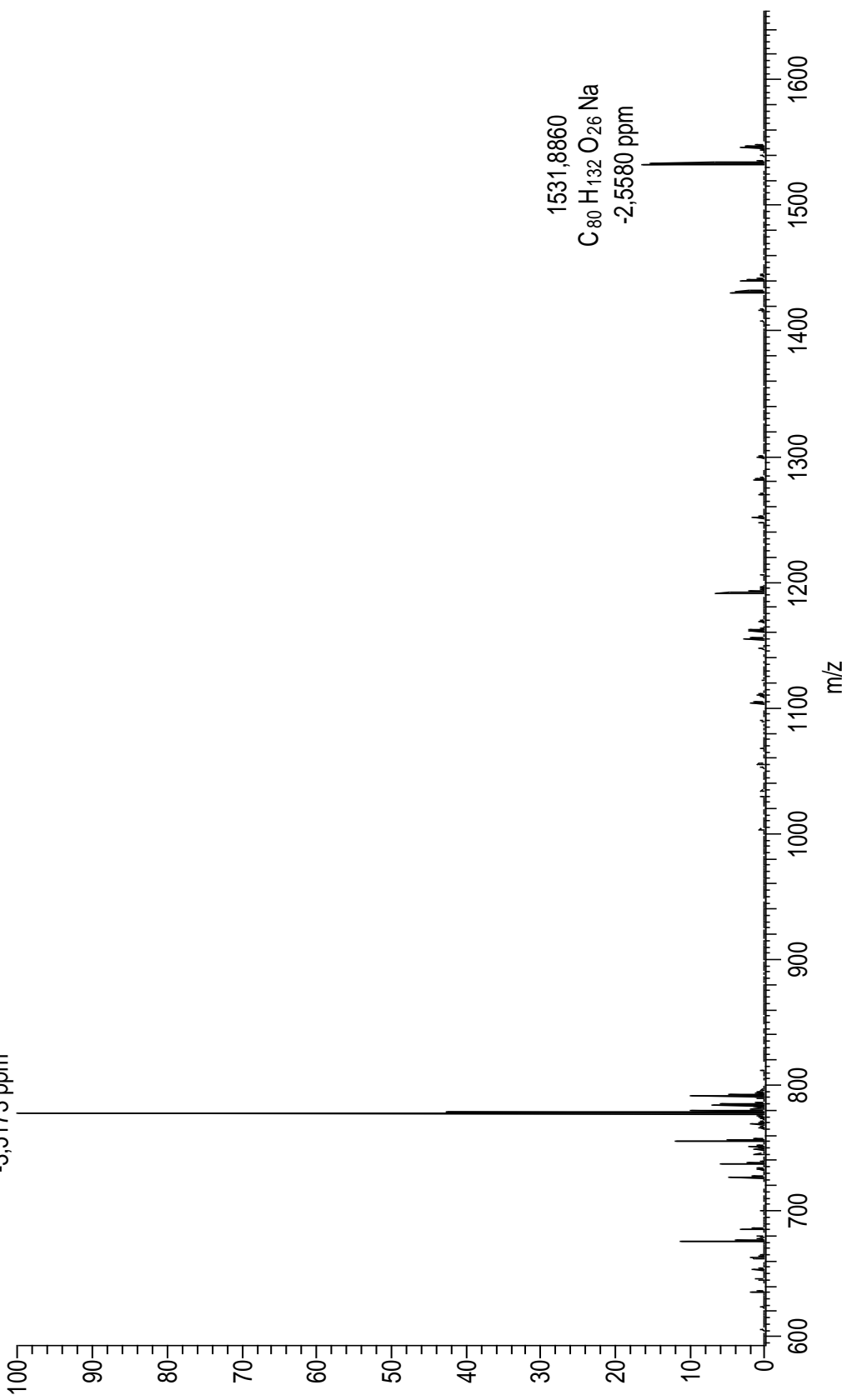


Figura 200. Espectro de massas de alta resolução de Zg11 (ESI, modo positivo).

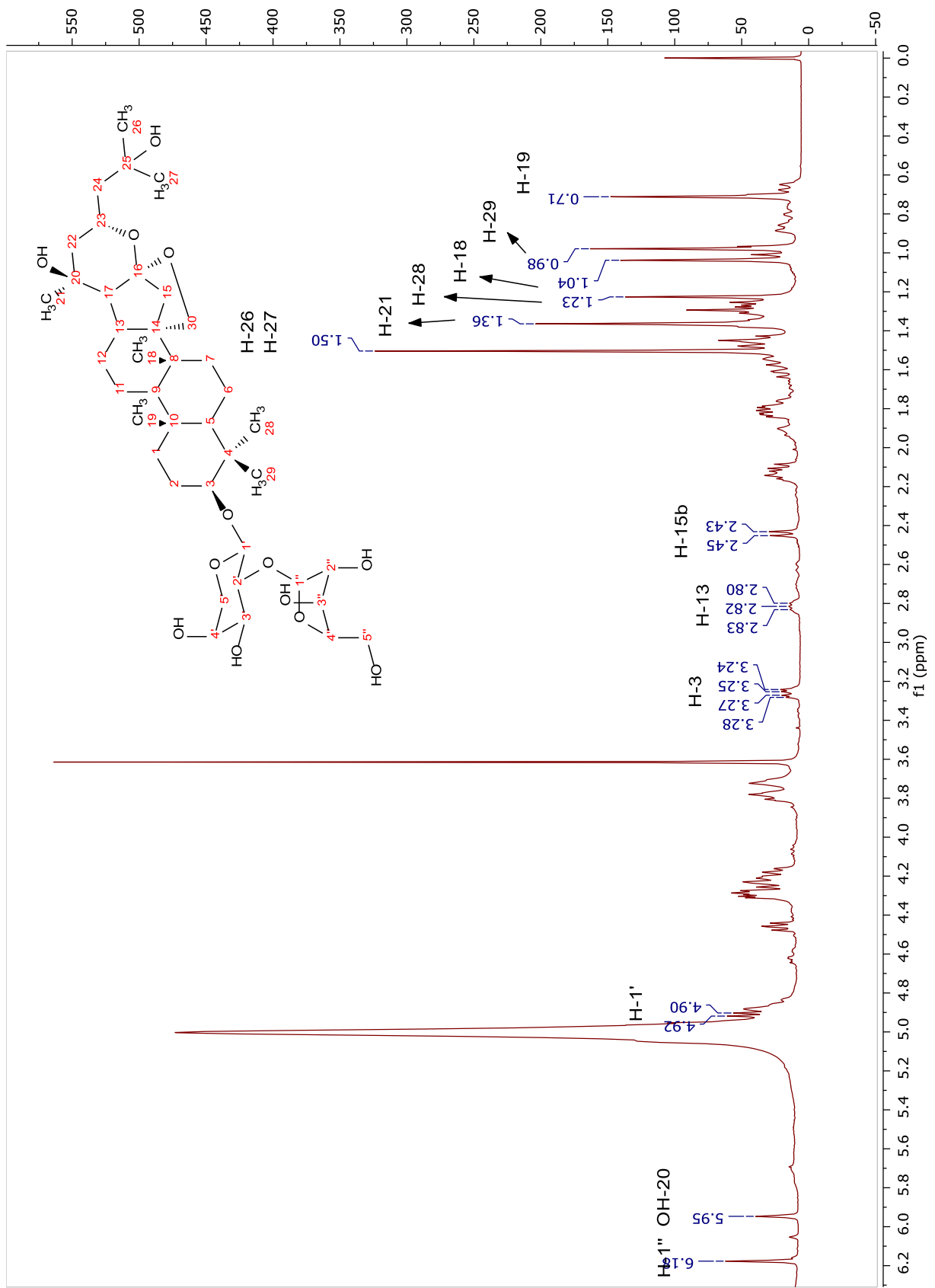


Figura 201. Espectro de RMN ^1H de Zg11 (400 MHz, $\text{C}_5\text{D}_5\text{N}$).

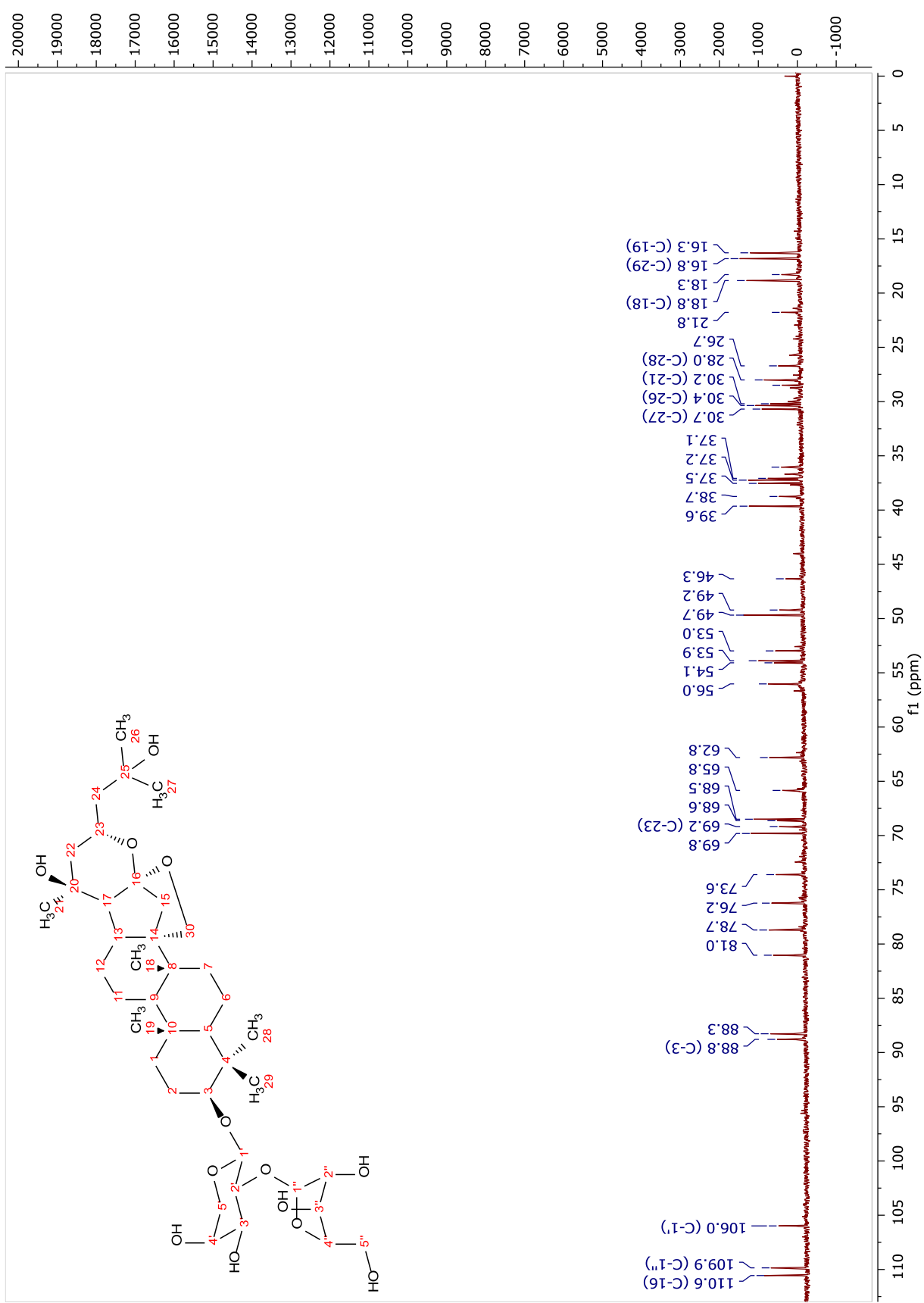


Figura 202. Espectro de RMN ^{13}C de Zg11 (100 MHz, $\text{C}_5\text{D}_5\text{N}$).

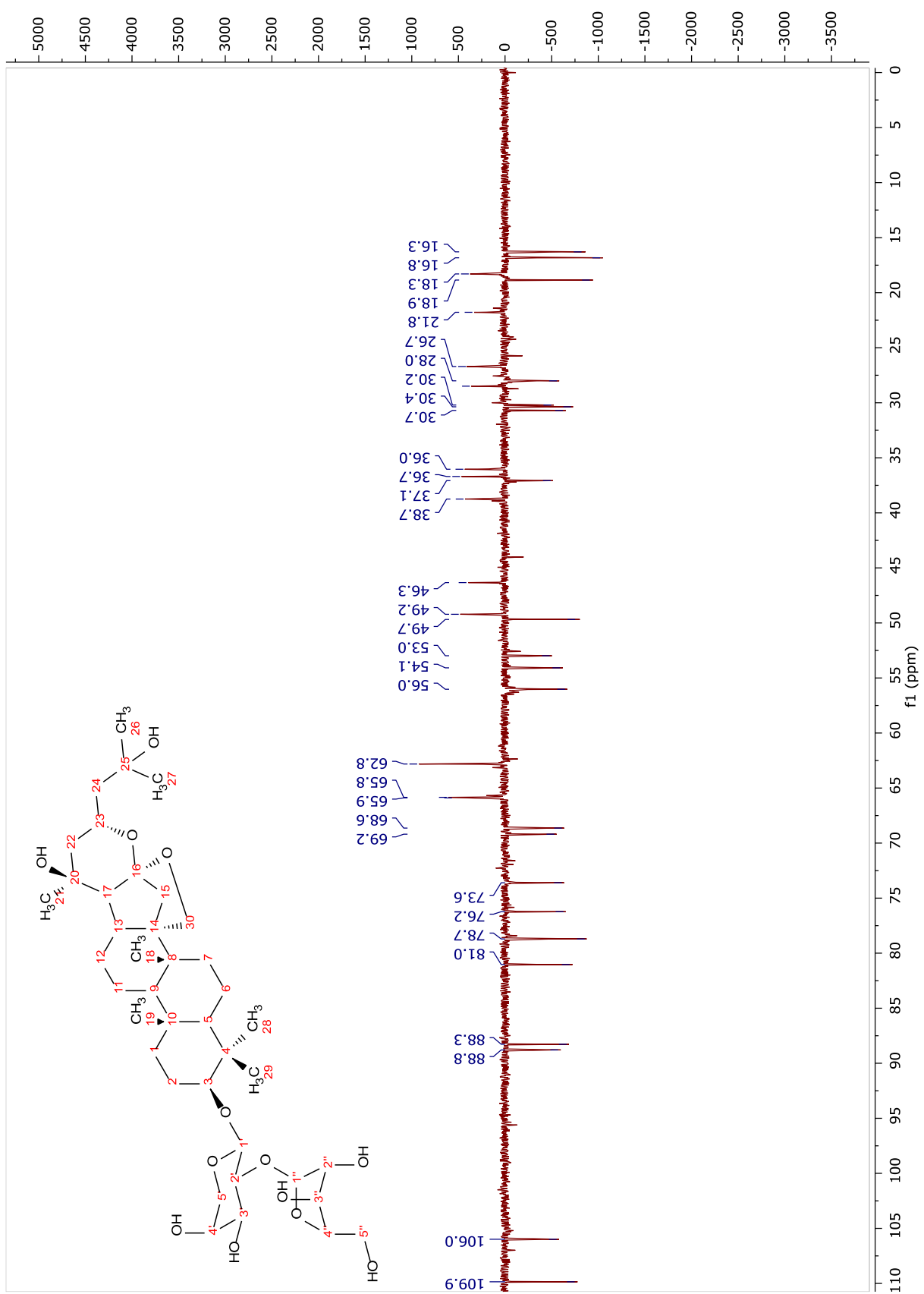


Figura 203. Espectro de DEPT-135 de Zg11 (100 MHz, $\text{C}_5\text{D}_5\text{N}$).

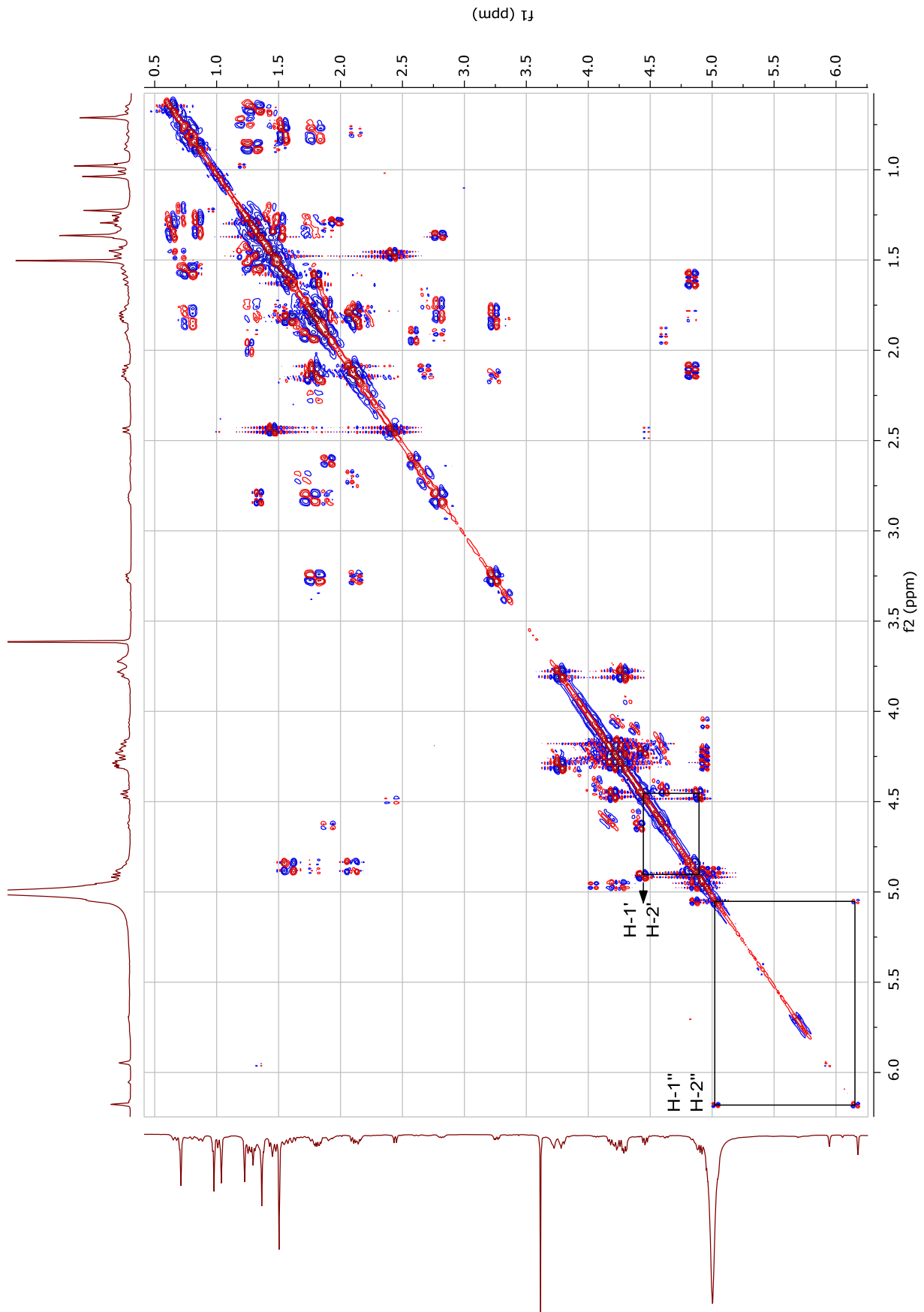


Figura 204. Espectro de COSY de Zg11 (400 MHz, C_5D_5N).

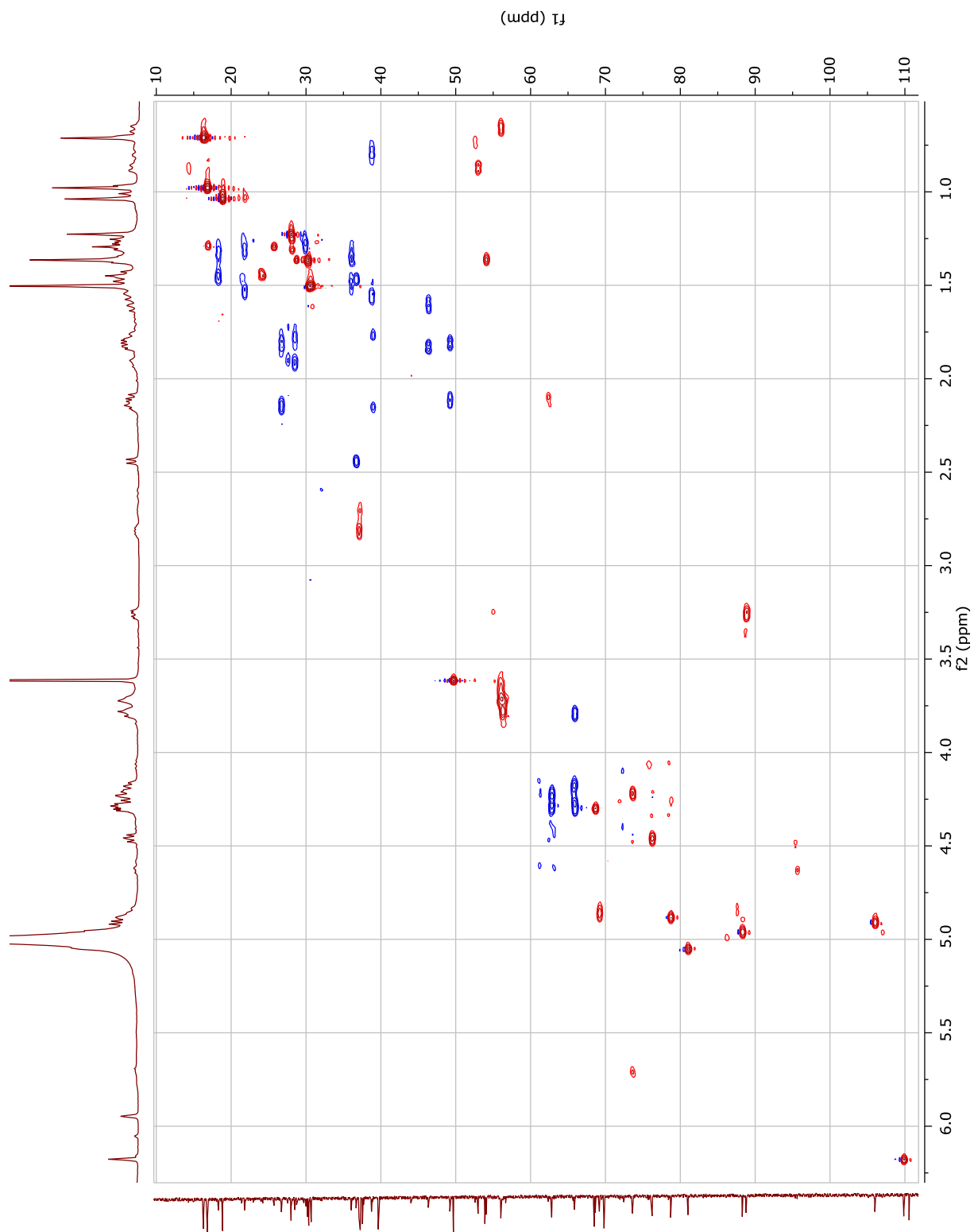


Figura 205. Espectro de HSQC de Zg11 (400 MHz, C_5D_5N).

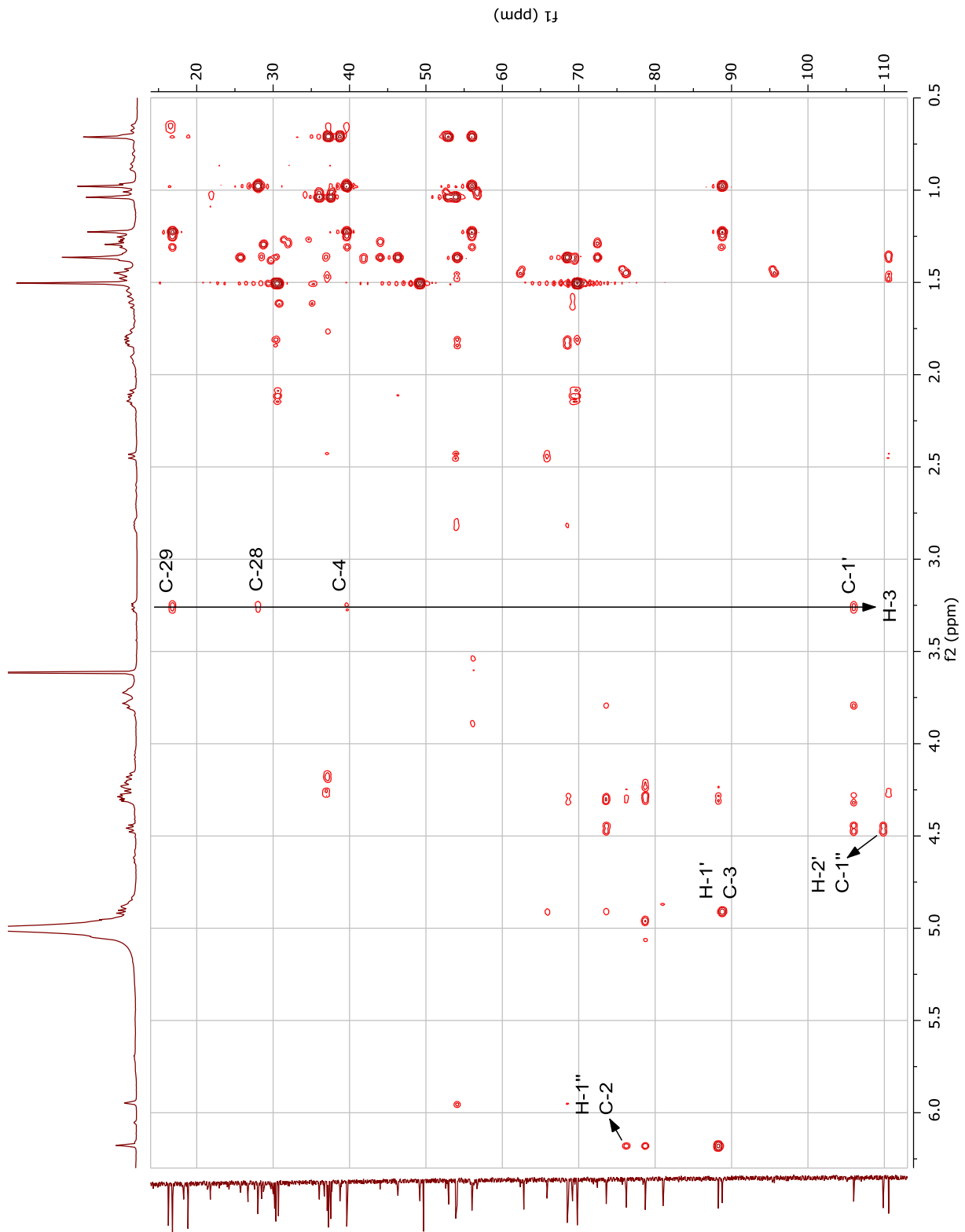


Figura 206. Espectro de HMBC de Zg11 (400 MHz, C_5D_5N).

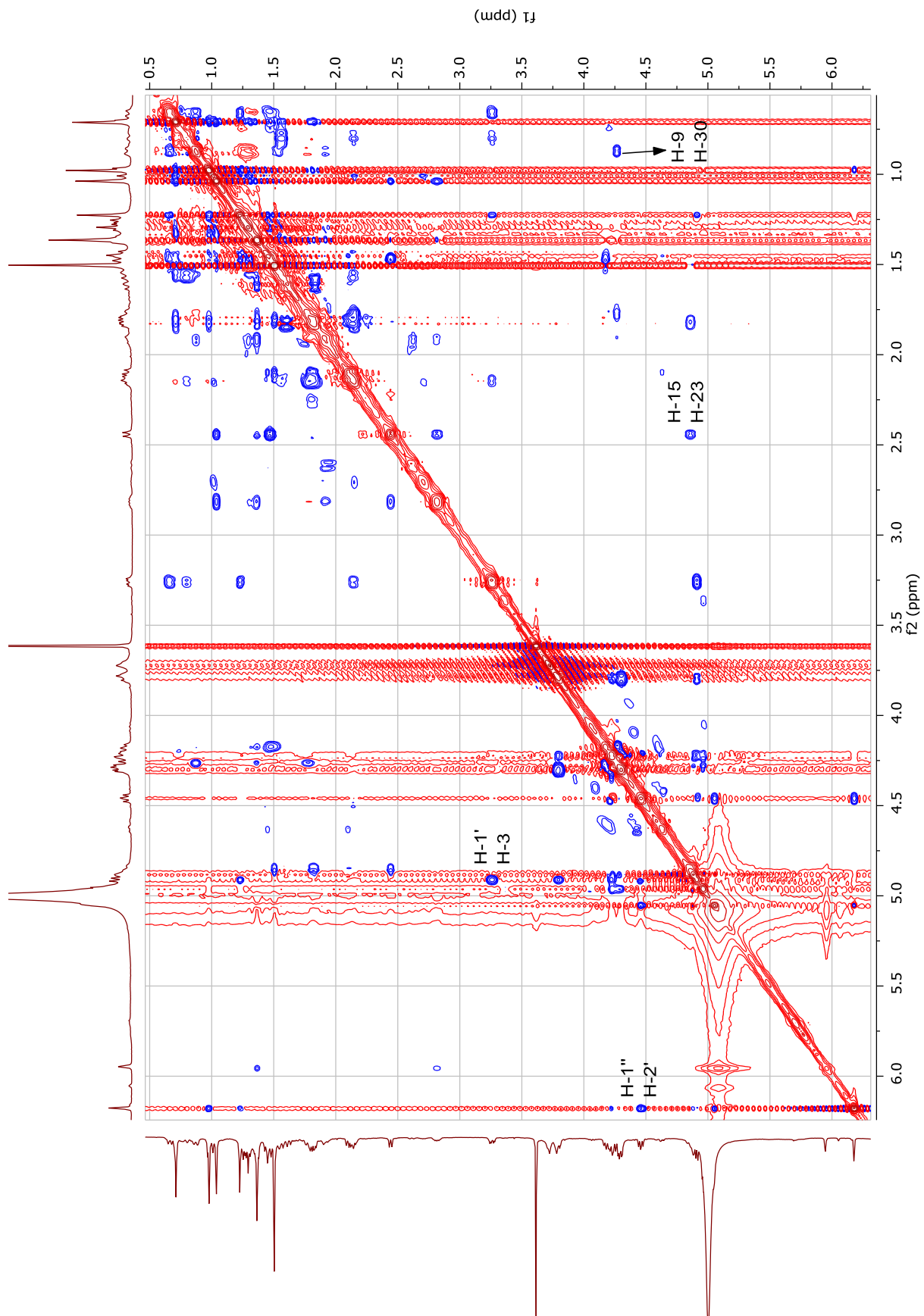


Figura 207. Espectro de ROESY de Zg11 (400 MHz, C_5D_5N).

CAC129_Zgb_c28 #91 RT: 0,36 AV: 1 NL: 7,59E6
T: FTMS + pESI[Full ms [100,00-2000,00]]

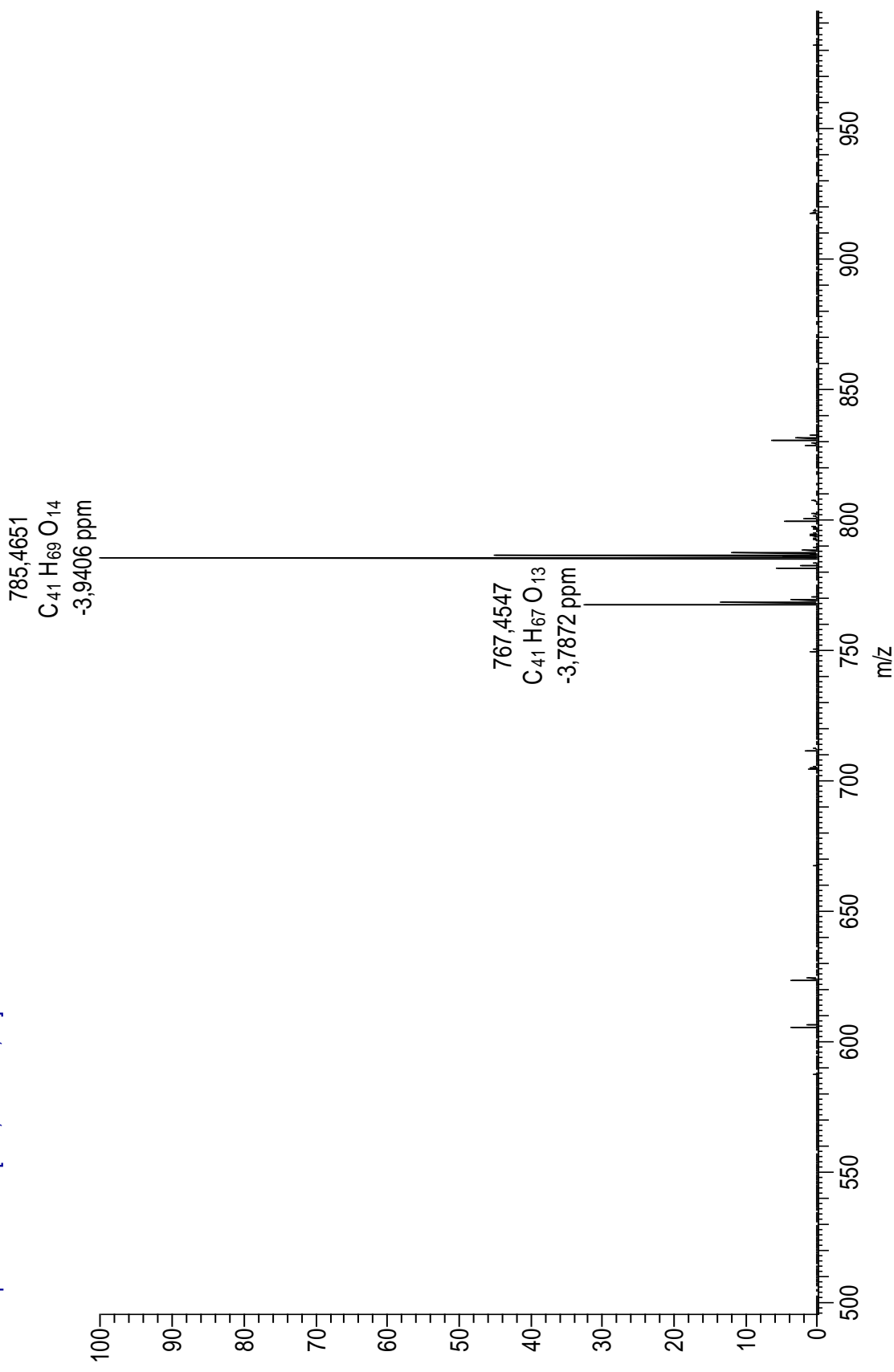


Figura 208. Espectro de massas de alta resolução de **Zg12** (ESI, modo positivo).

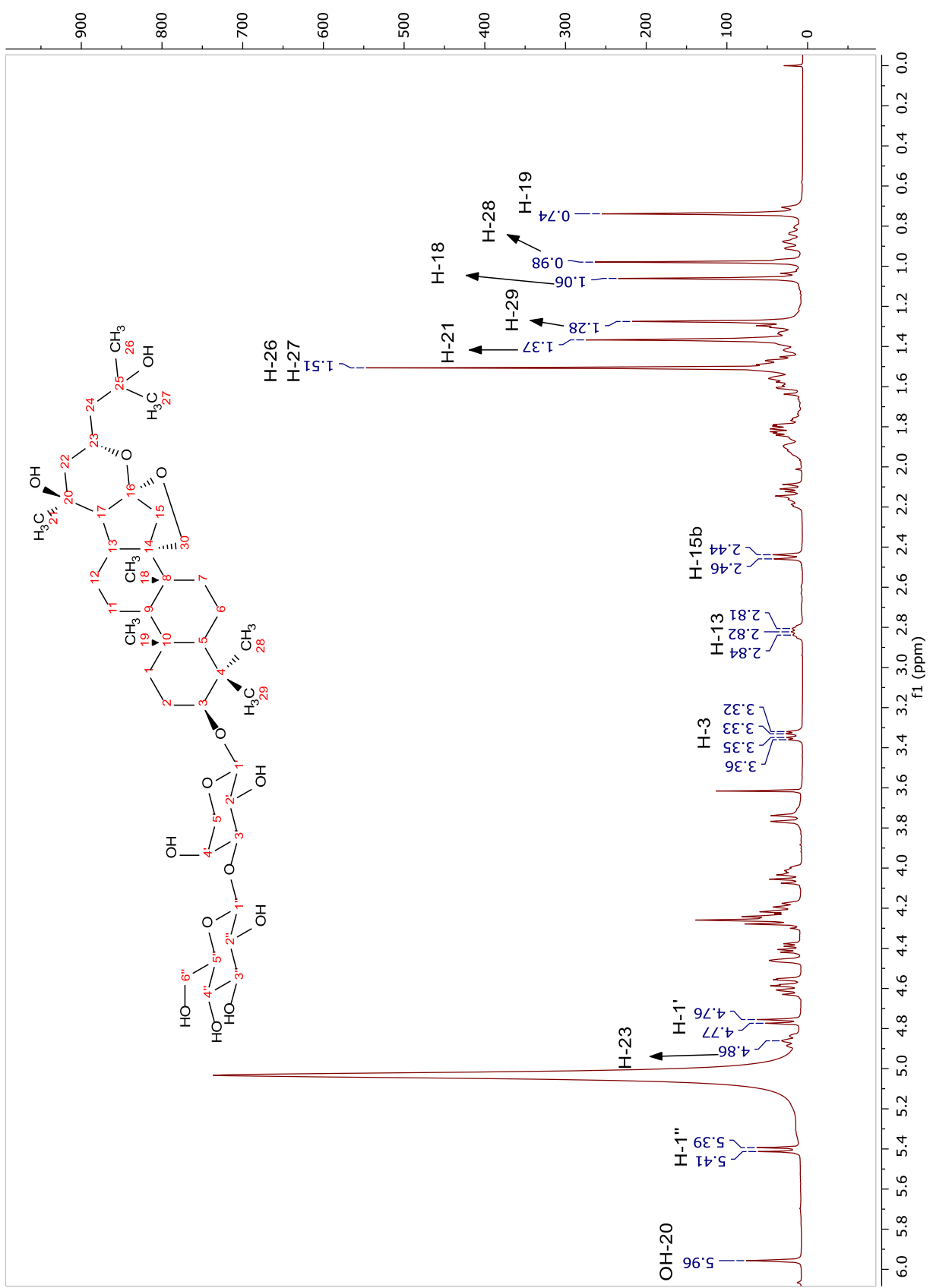


Figura 209. Espectro de RMN ^1H de Zg12 (400 MHz, $\text{C}_5\text{D}_5\text{N}$).

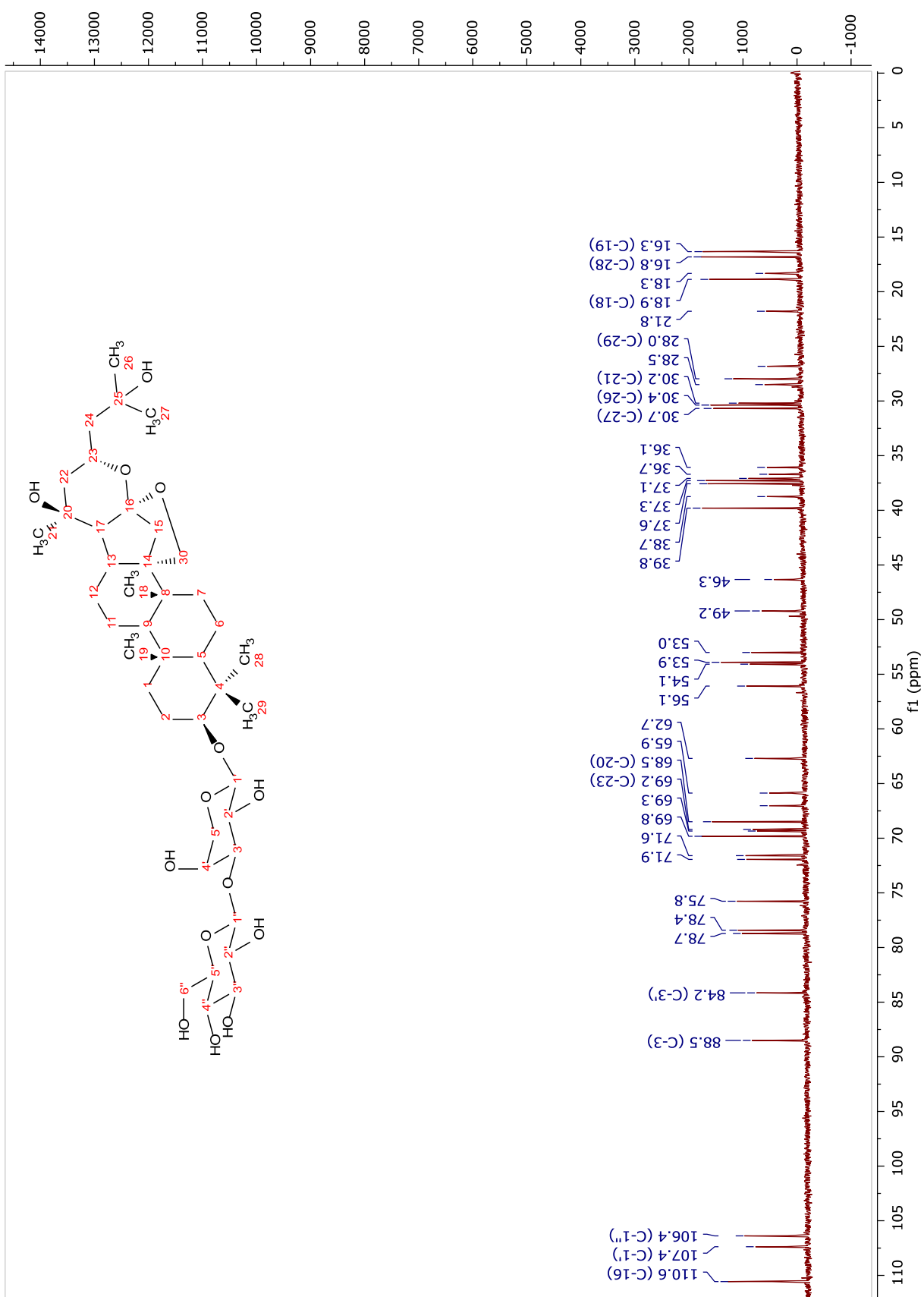


Figura 210. Espectro de RMN ^{13}C de Zg12 (100 MHz, $\text{C}_5\text{D}_5\text{N}$).

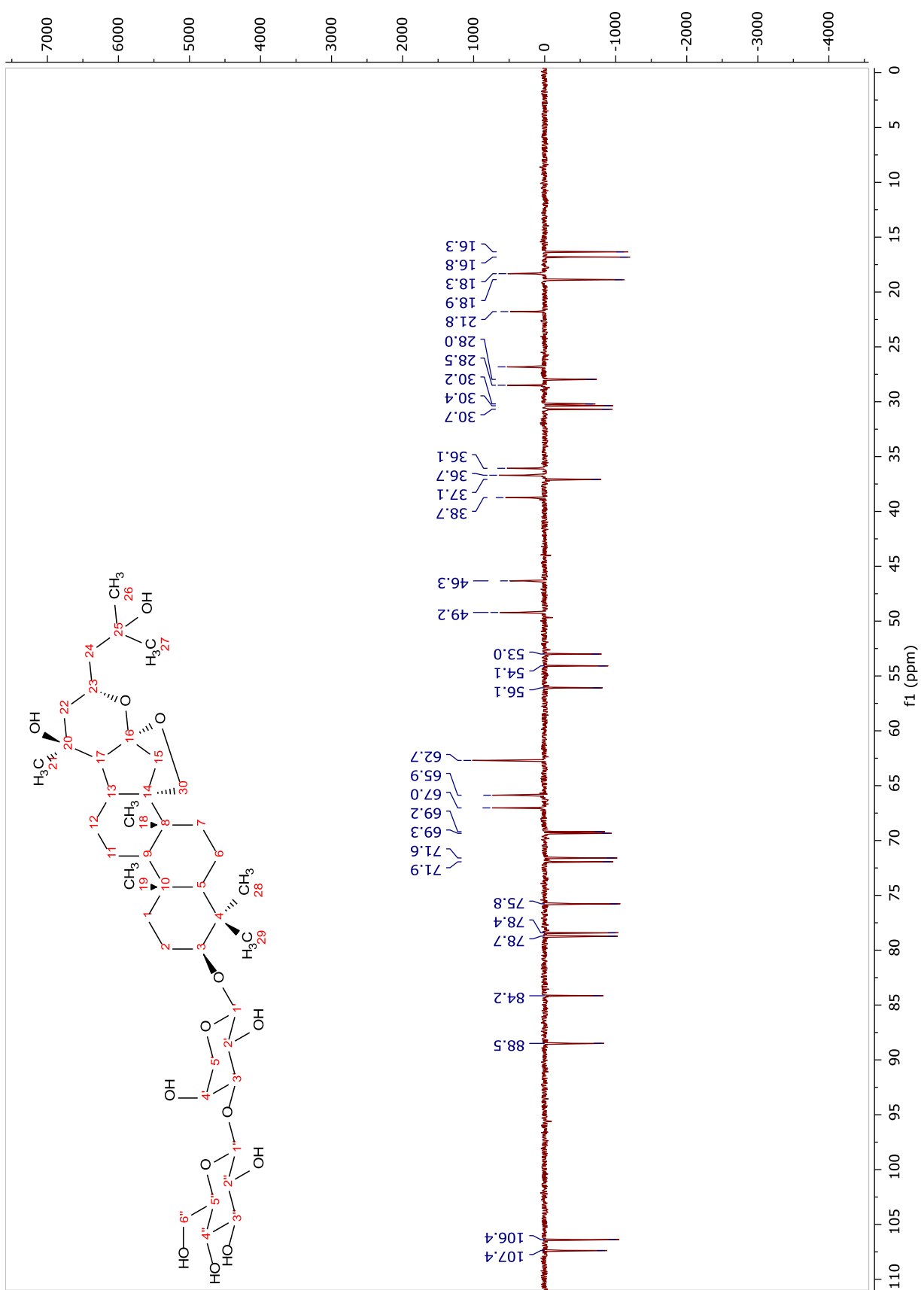


Figura 211. Espectro de DEPT-135 de Zg12 (100 MHz, $\text{C}_5\text{D}_5\text{N}$).

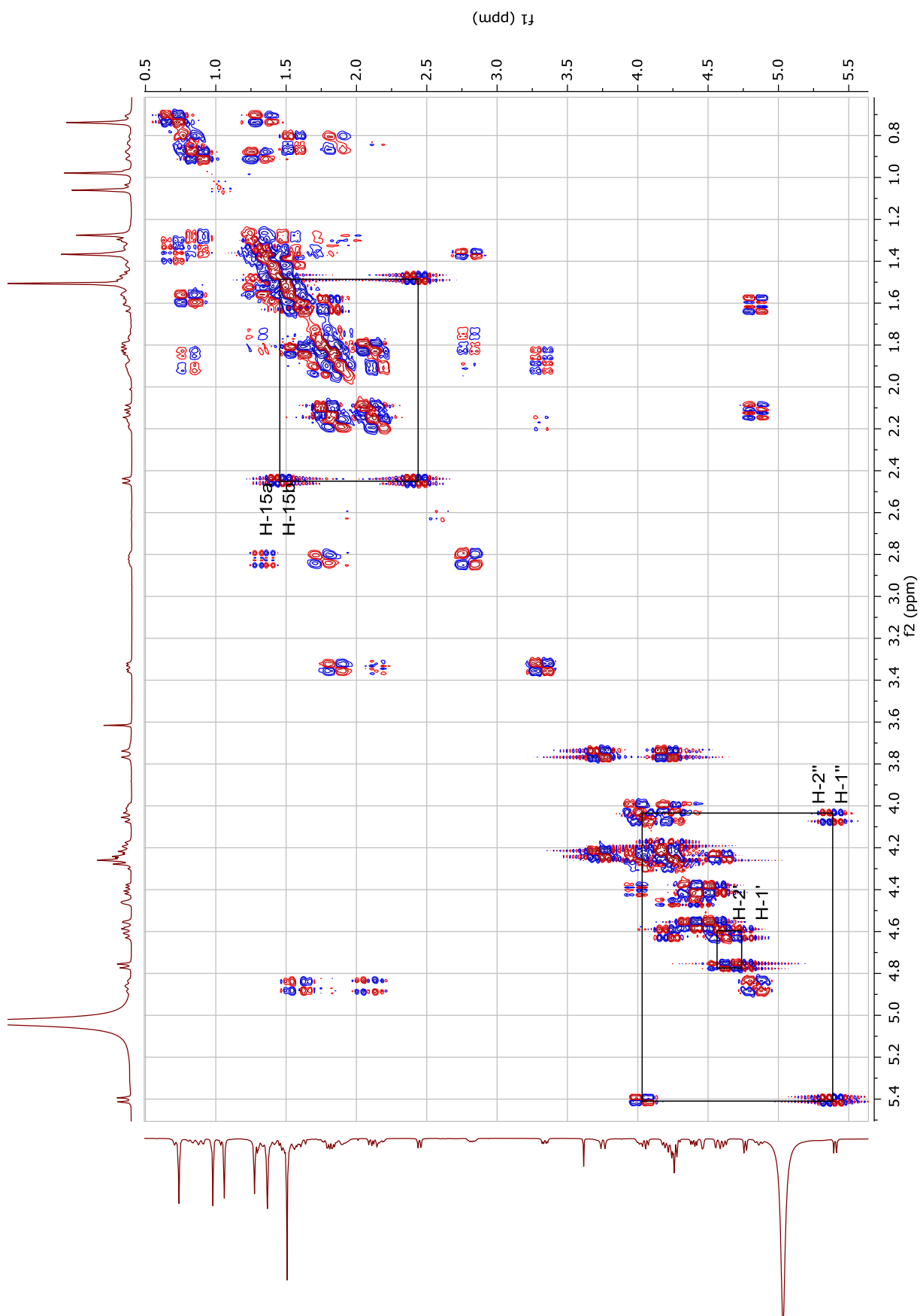


Figura 212. Espectro de COSY de Zg12 (400 MHz, C_5D_5N).

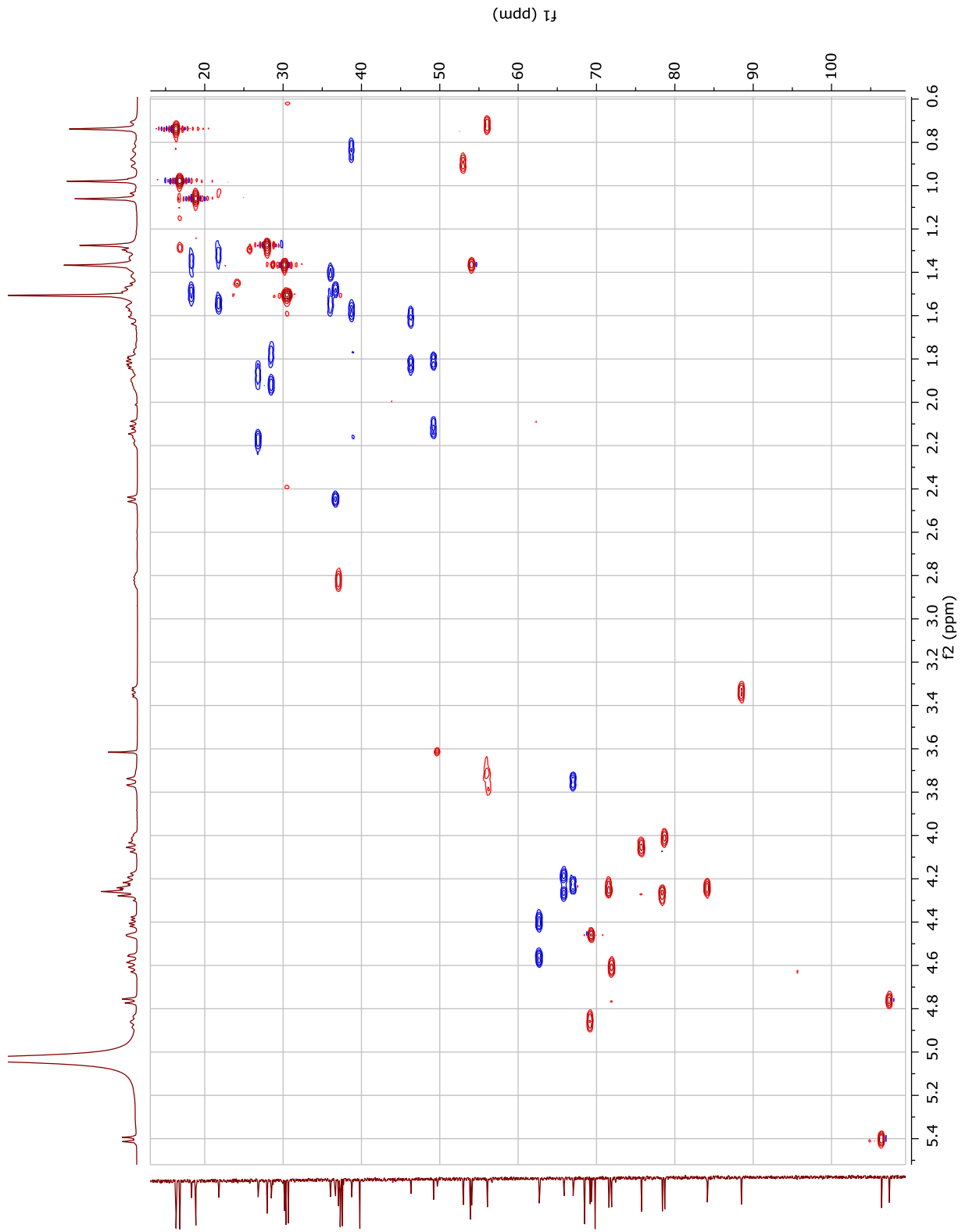


Figura 213. Espectro de HSQC de Zg12 (400 MHz, C₅D₅N).

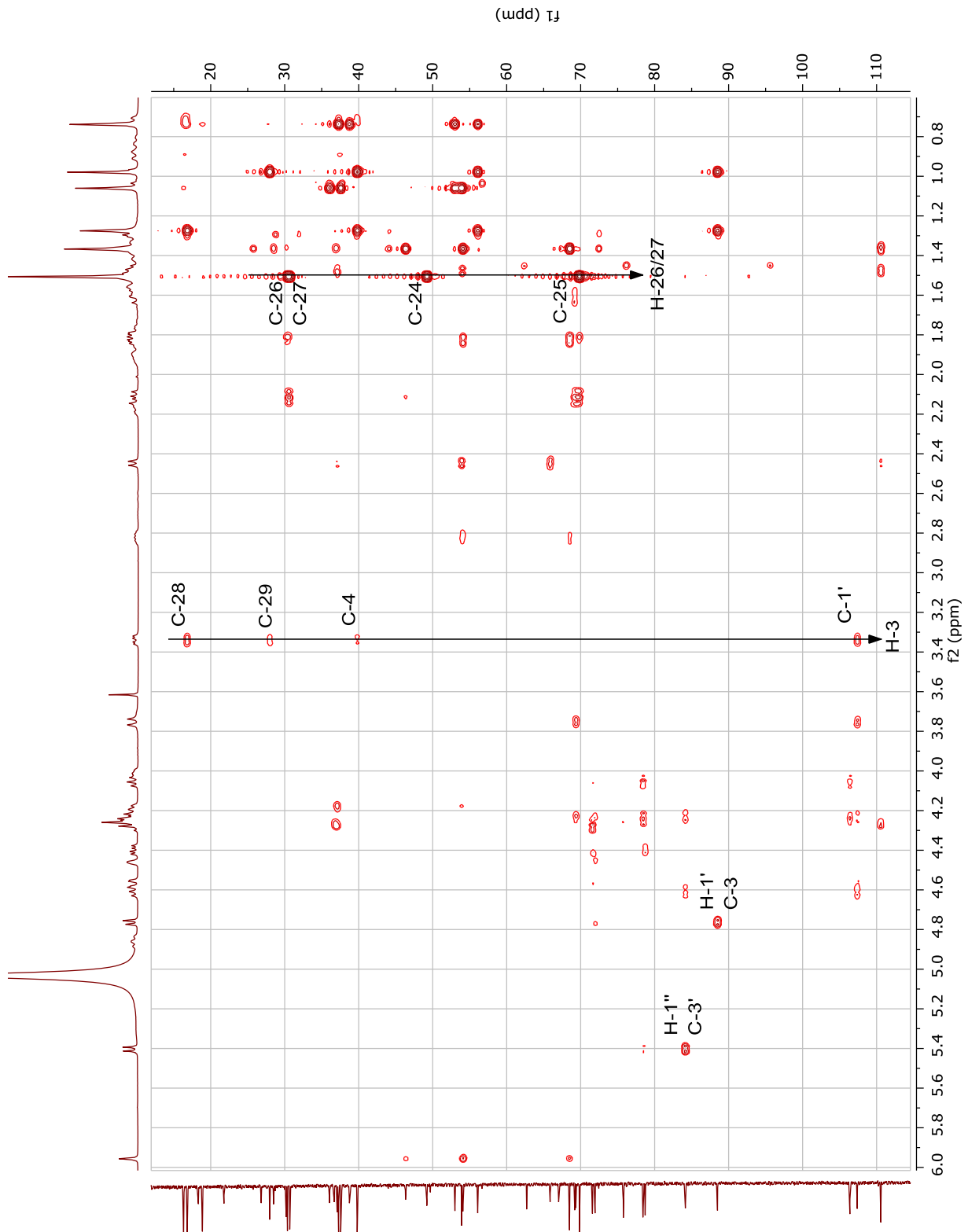


Figura 214. Espectro de HMBC de Zg12 (400 MHz, C_5D_5N).

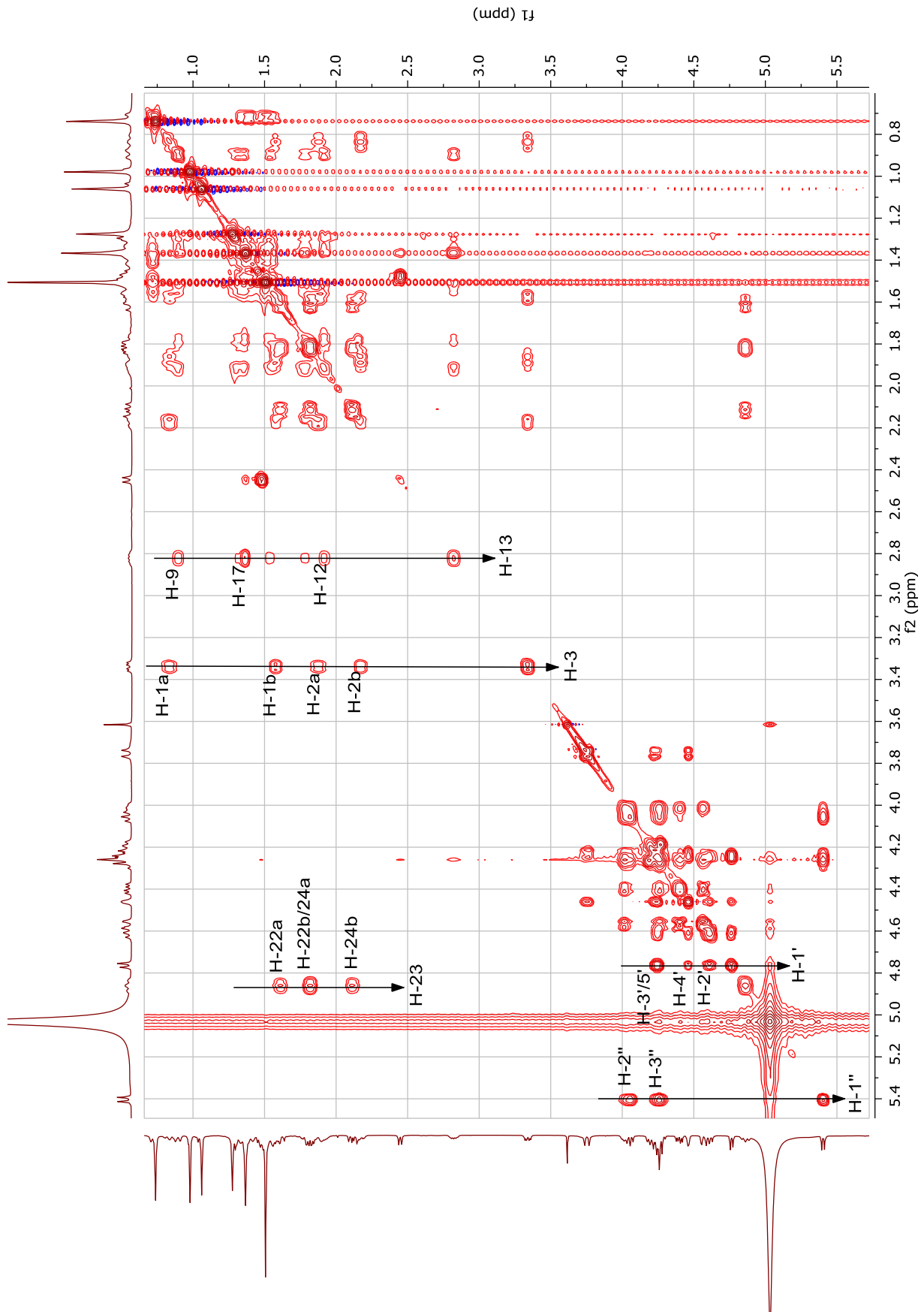


Figura 215. Espectro de TOCSY (2D) de Zg12 (400 MHz, C_5D_5N).

CAC145_neg #1 RT: 0,00 AV: 1 NL: 2,25E5
T: FTMS - p ESI[Full ms [100,00-2000,00]]

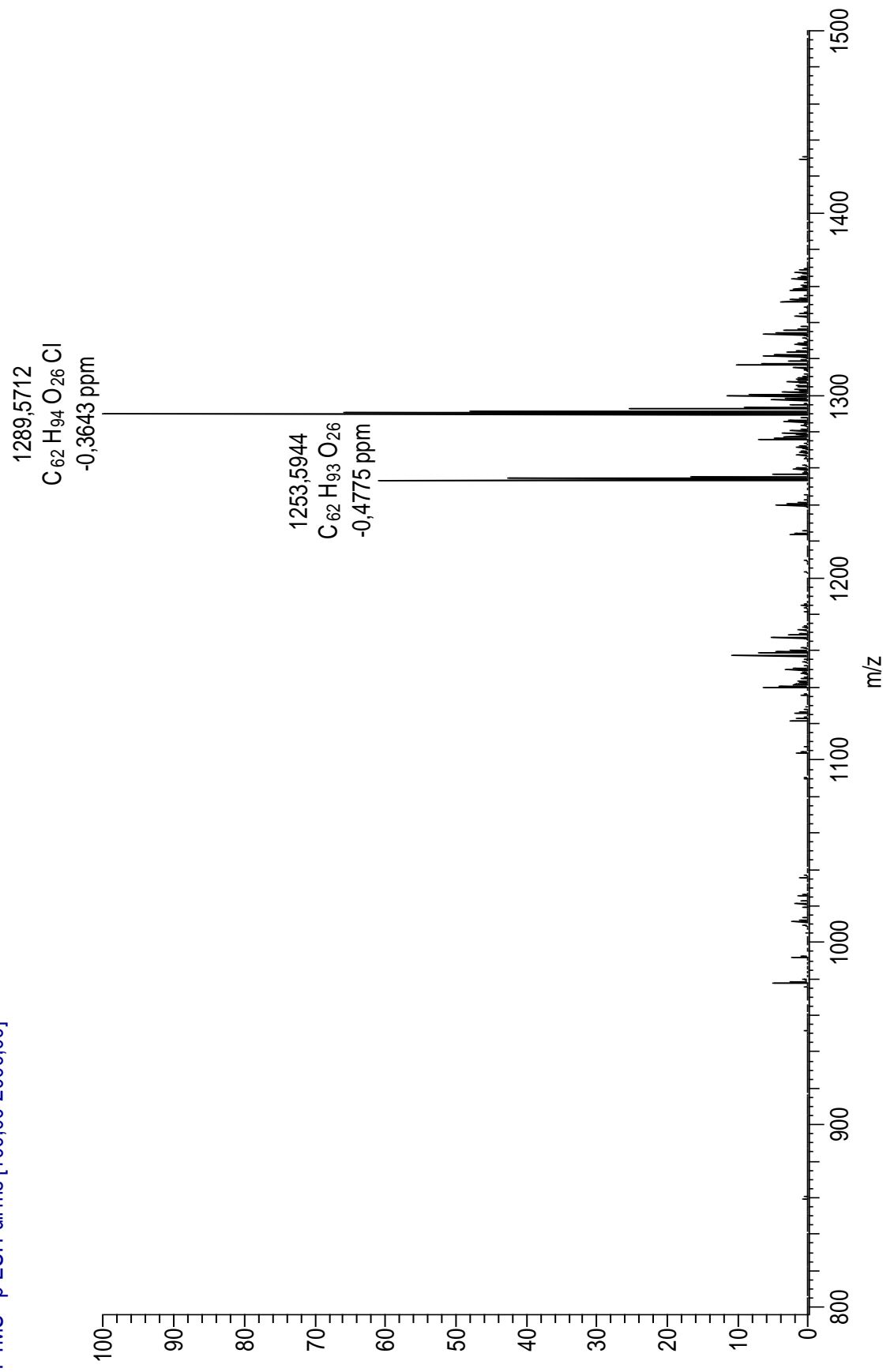


Figura 216. Espectro de massas de alta resolução de **Zg13** (ESI, modo positivo).

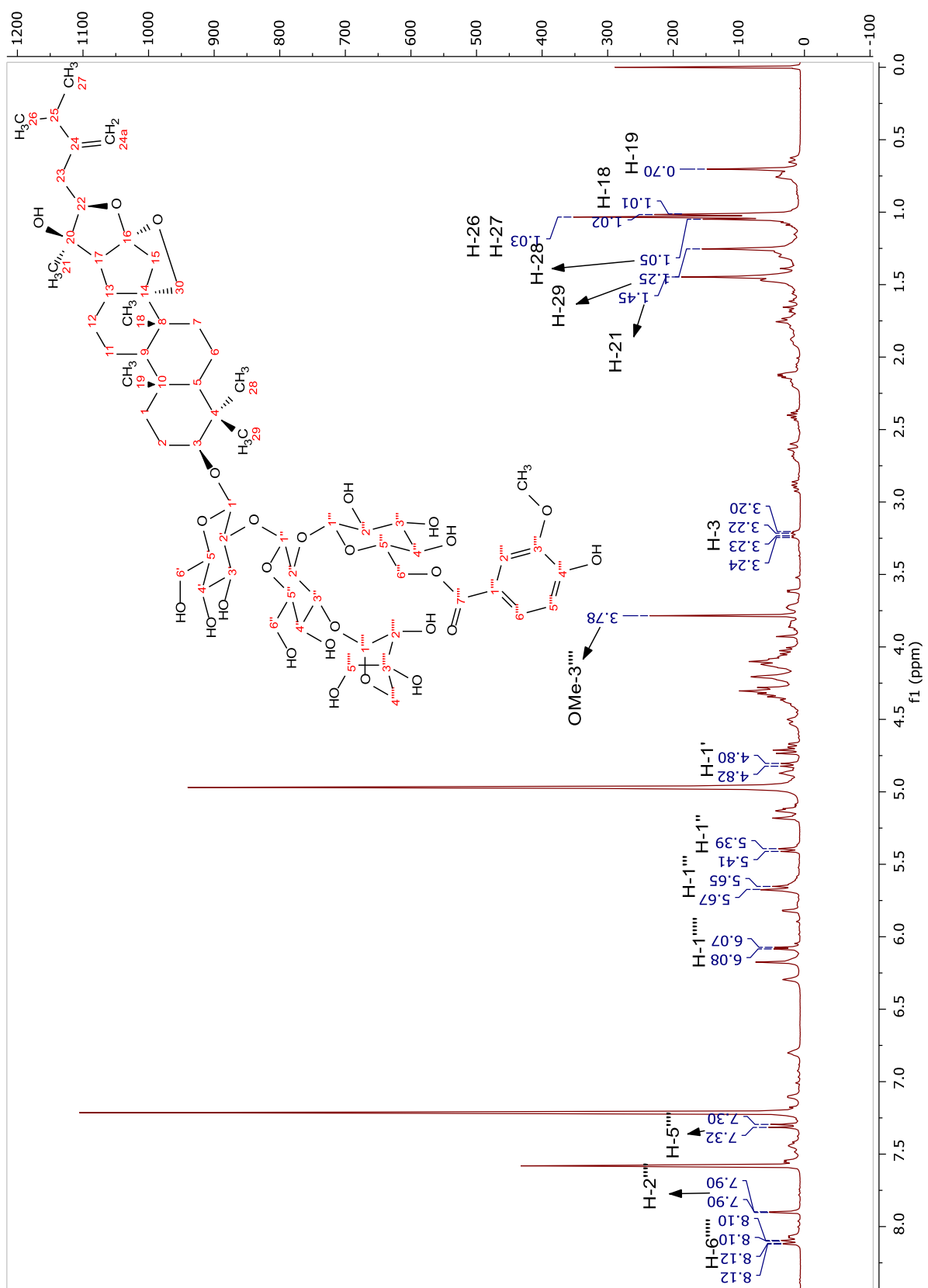


Figura 217. Espectro de RMN ^1H de Zg13 (400 MHz, $\text{C}_5\text{D}_5\text{N}$).

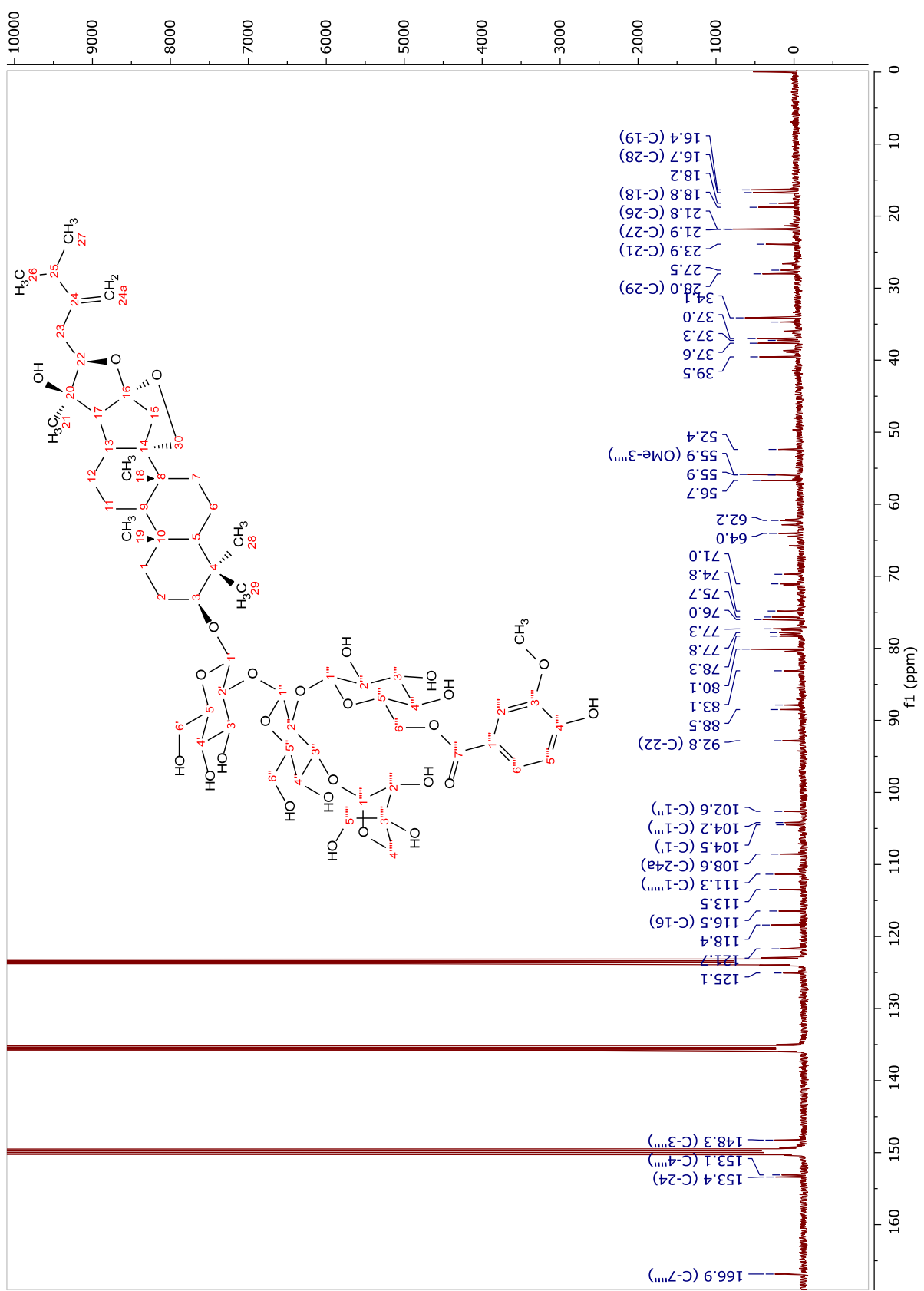


Figura 218. Espectro de RMN ^{13}C de Zg13 (100 MHz, $\text{C}_5\text{D}_5\text{N}$).

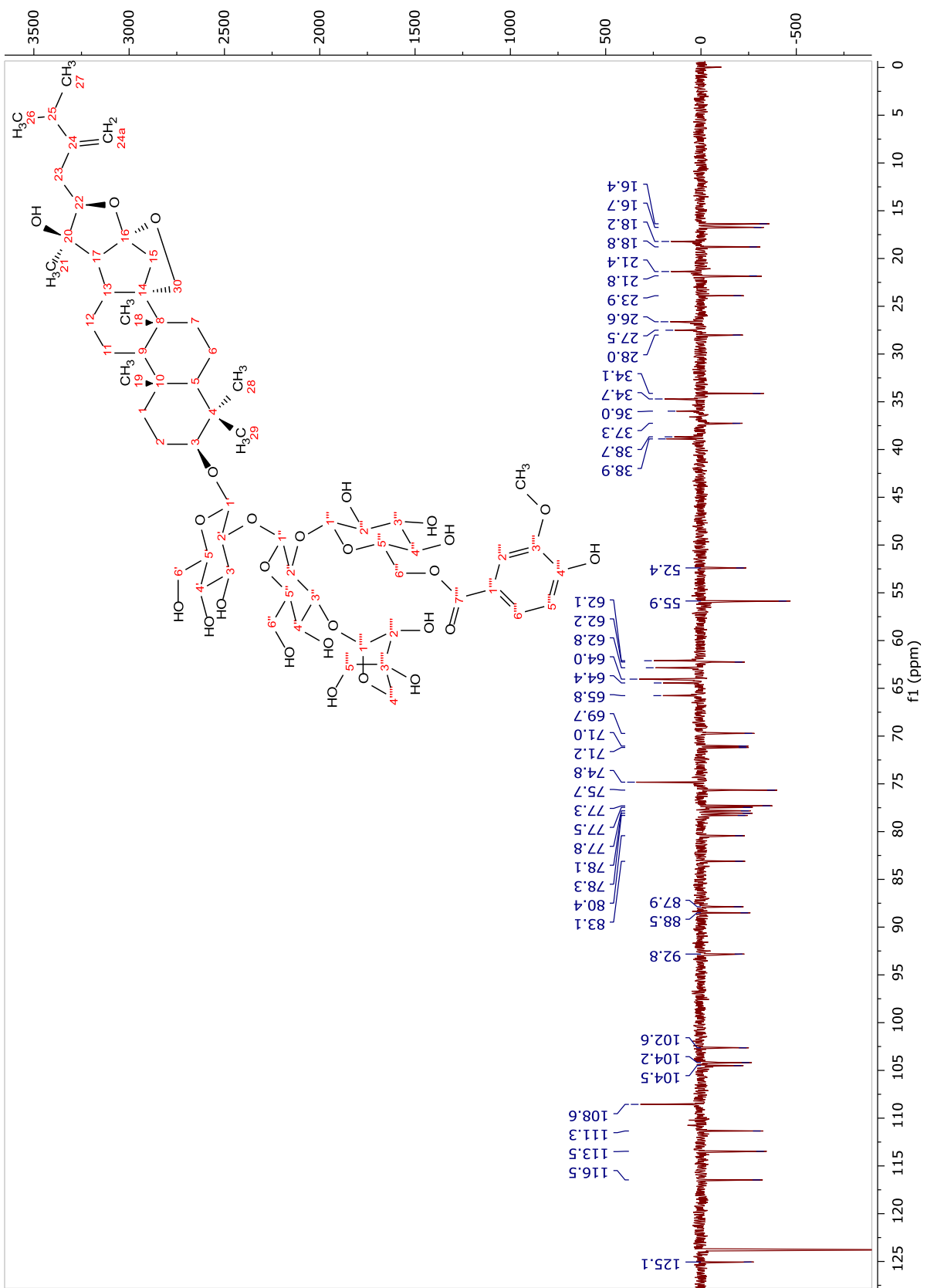


Figura 219. Espectro de DEPT-135 de Zg13 (100 MHz, $\text{C}_5\text{D}_5\text{N}$).

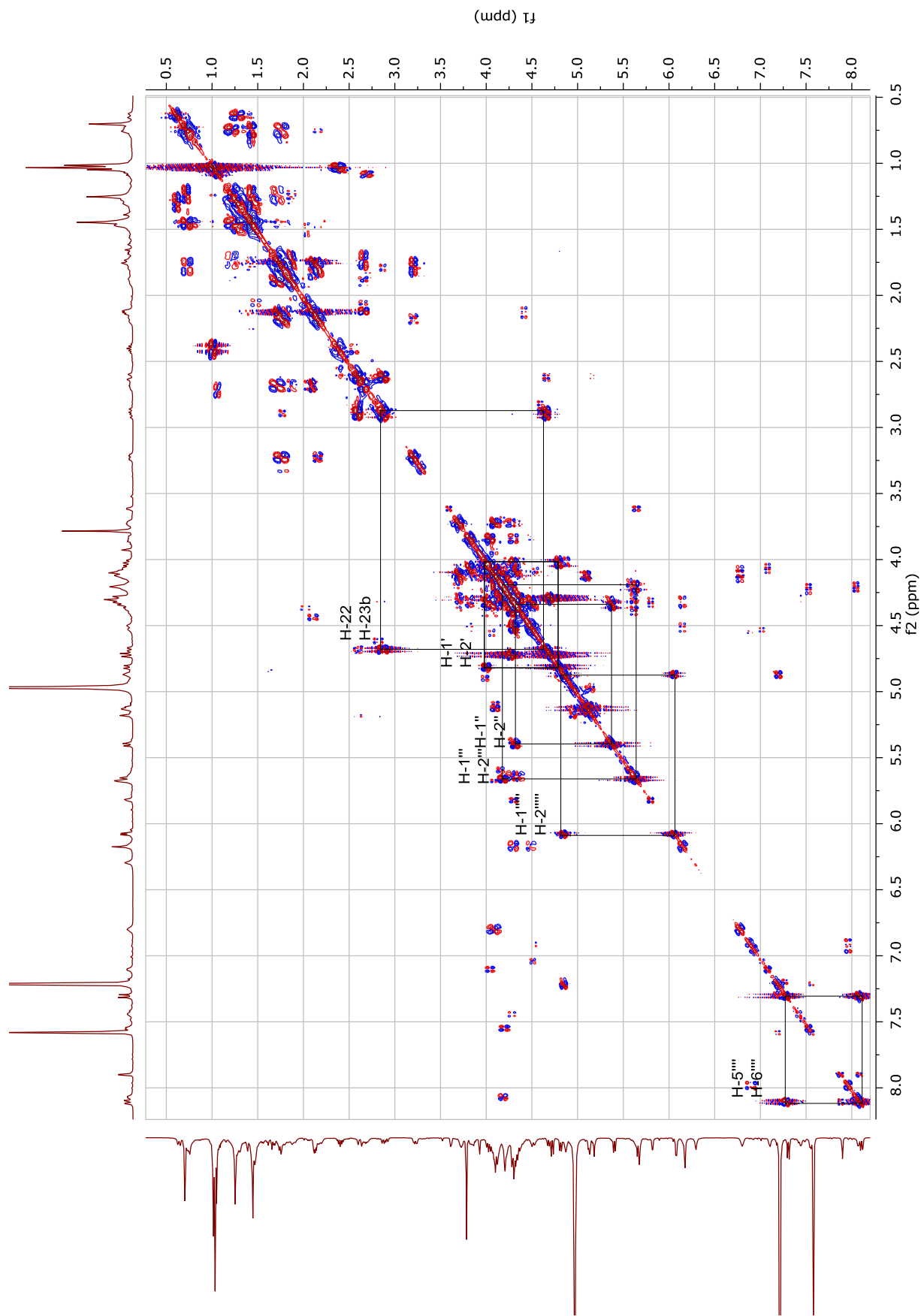


Figura 220. Espectro de COSY de Zg13 (400 MHz, C_5D_5N).

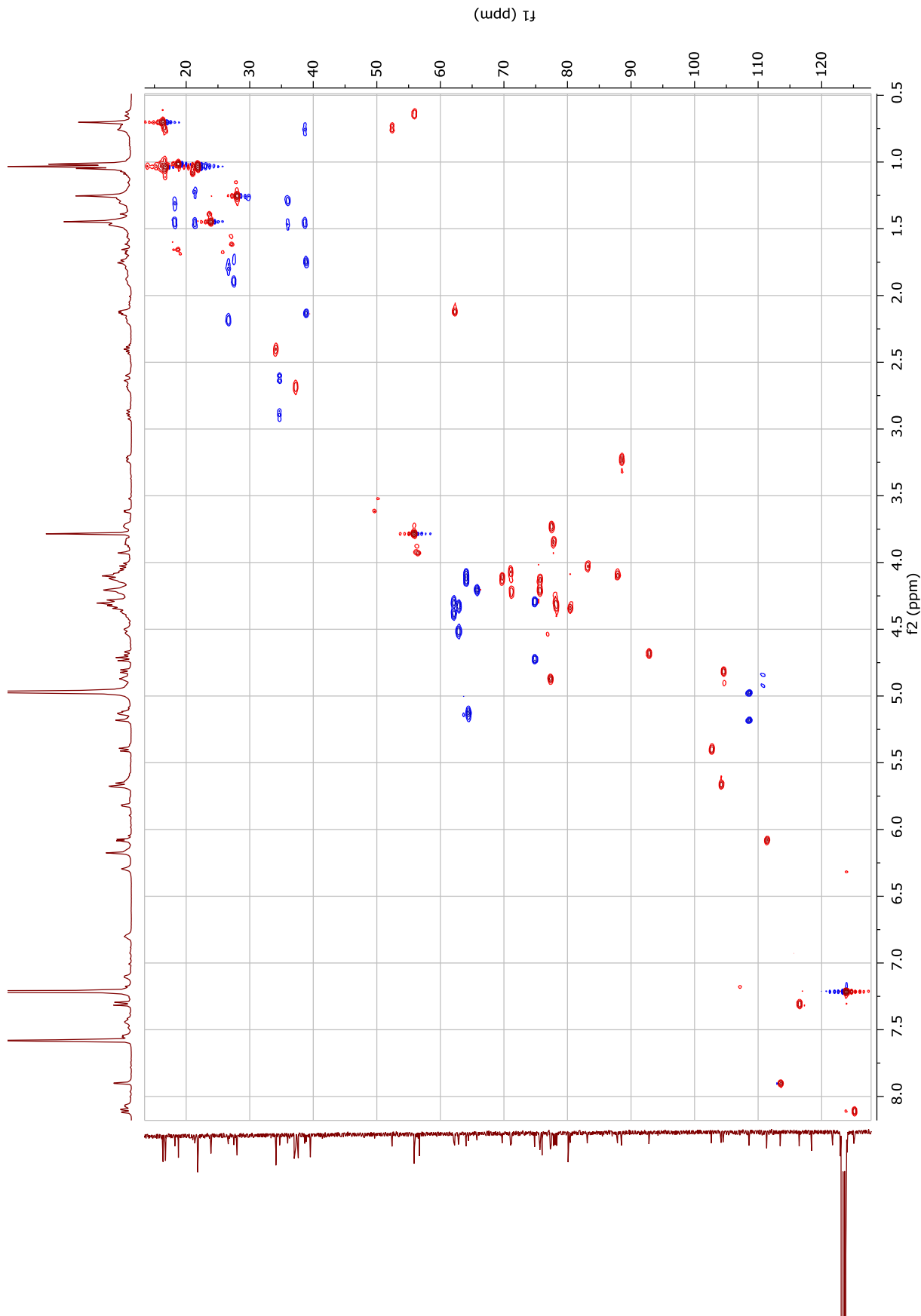


Figura 221. Espectro de HSQC de Zg13 (400 MHz, C₅D₅N).

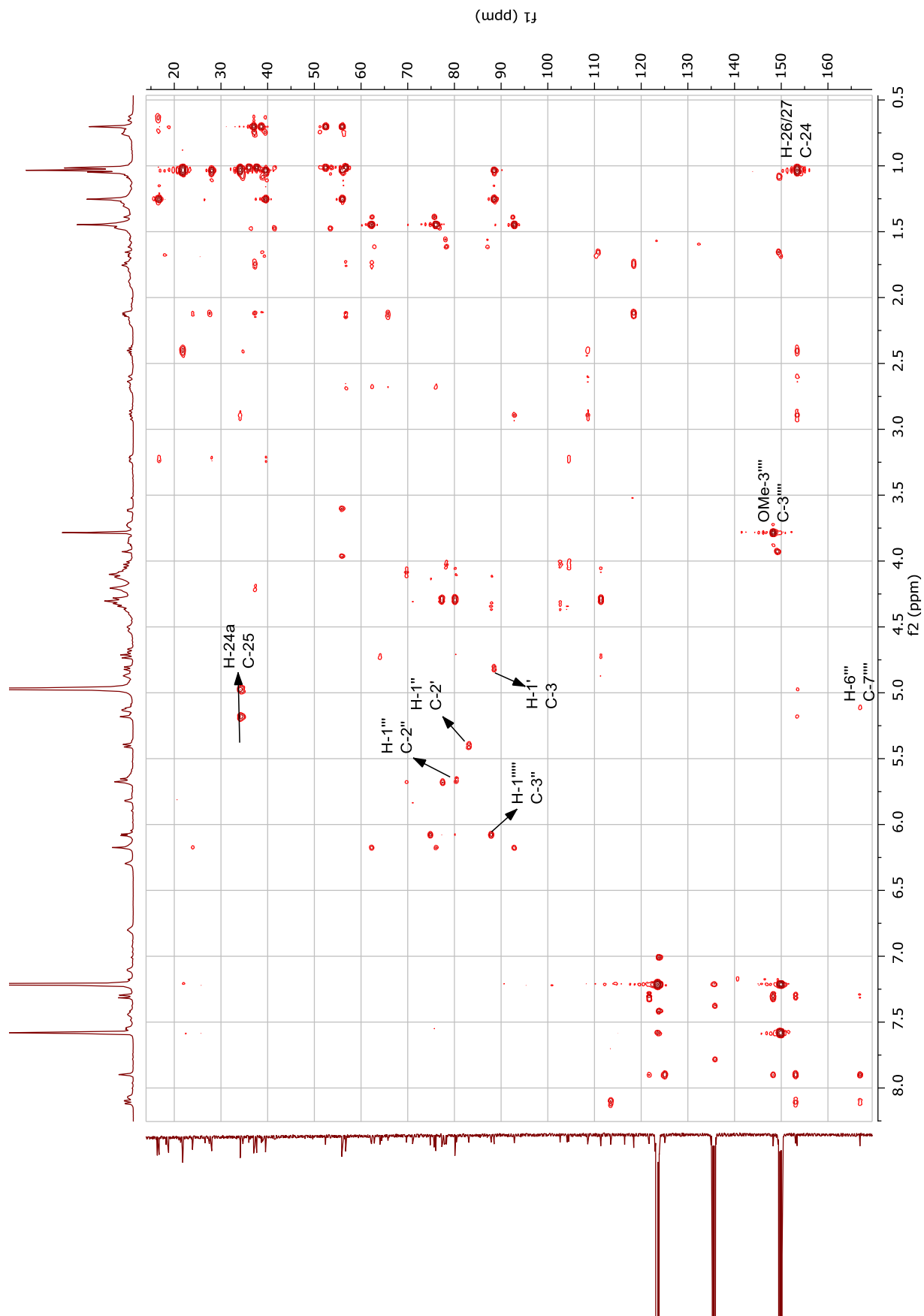


Figura 222. Espectro de HMBC de Zg13 (400 MHz, C₅D₅N).

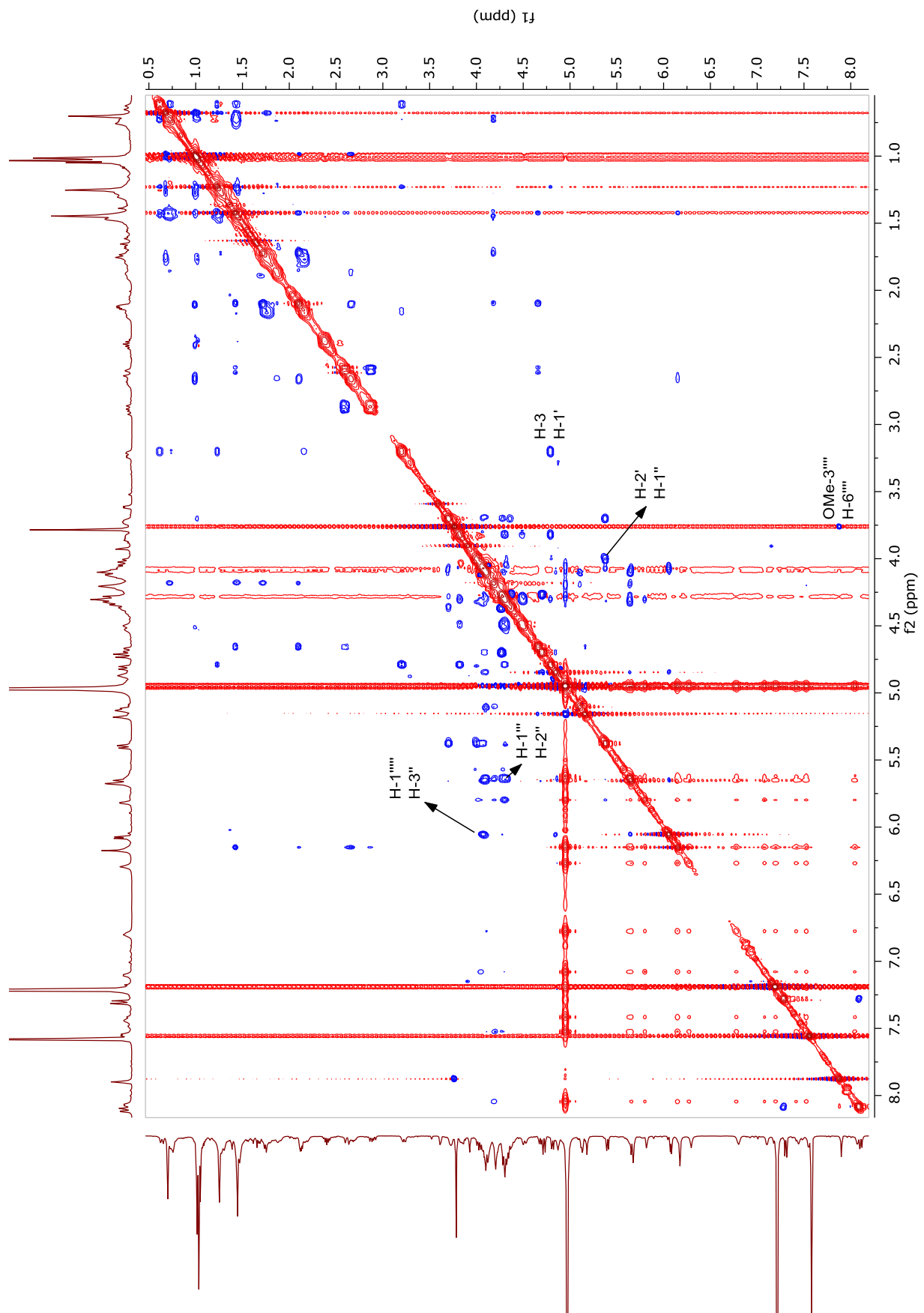


Figura 223. Espectro de ROESY de Zg13 (400 MHz, C_5D_5N).

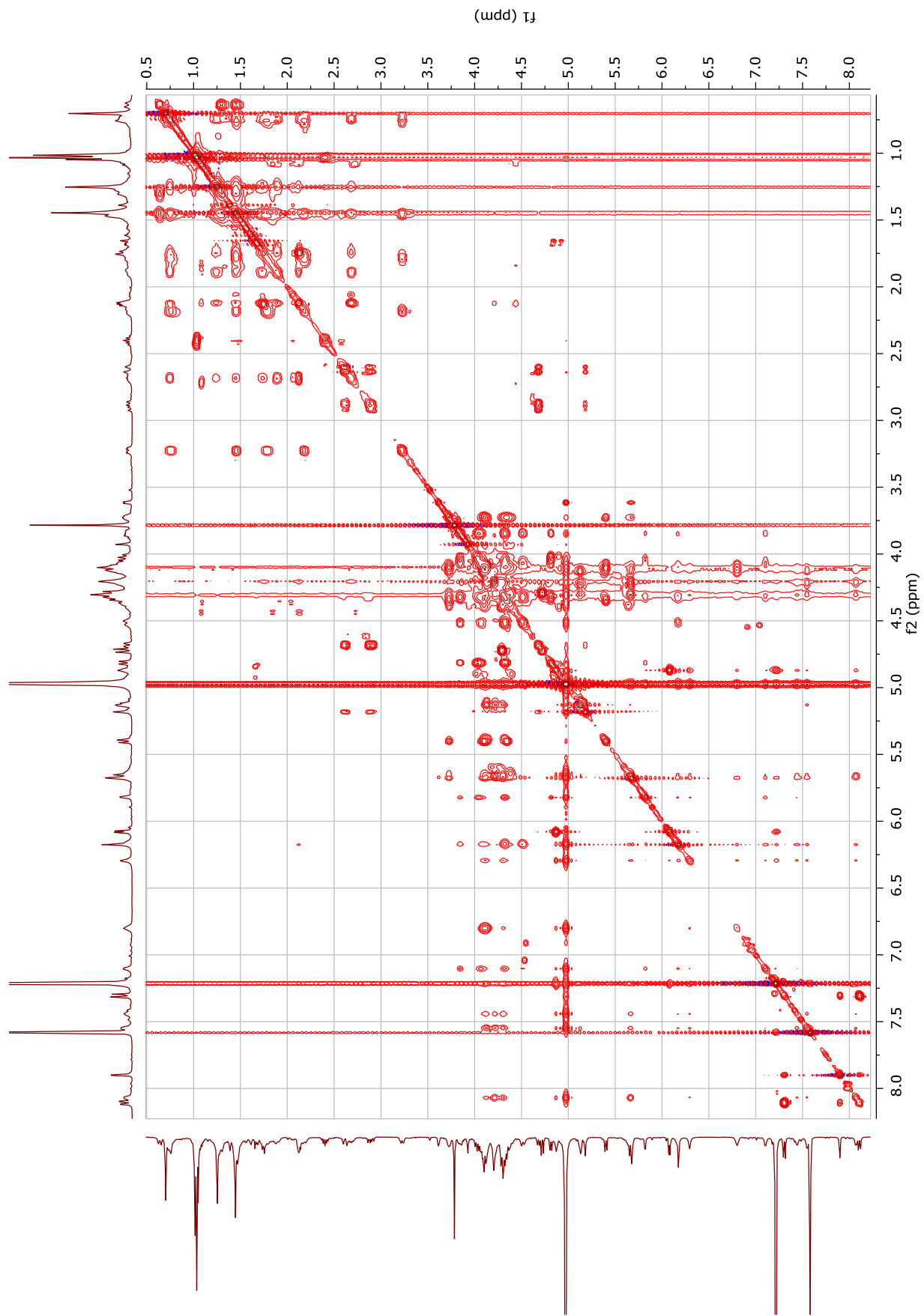


Figura 224. Espectro de TOCSY (2D) de Zg13 (400 MHz, C_5D_5N).

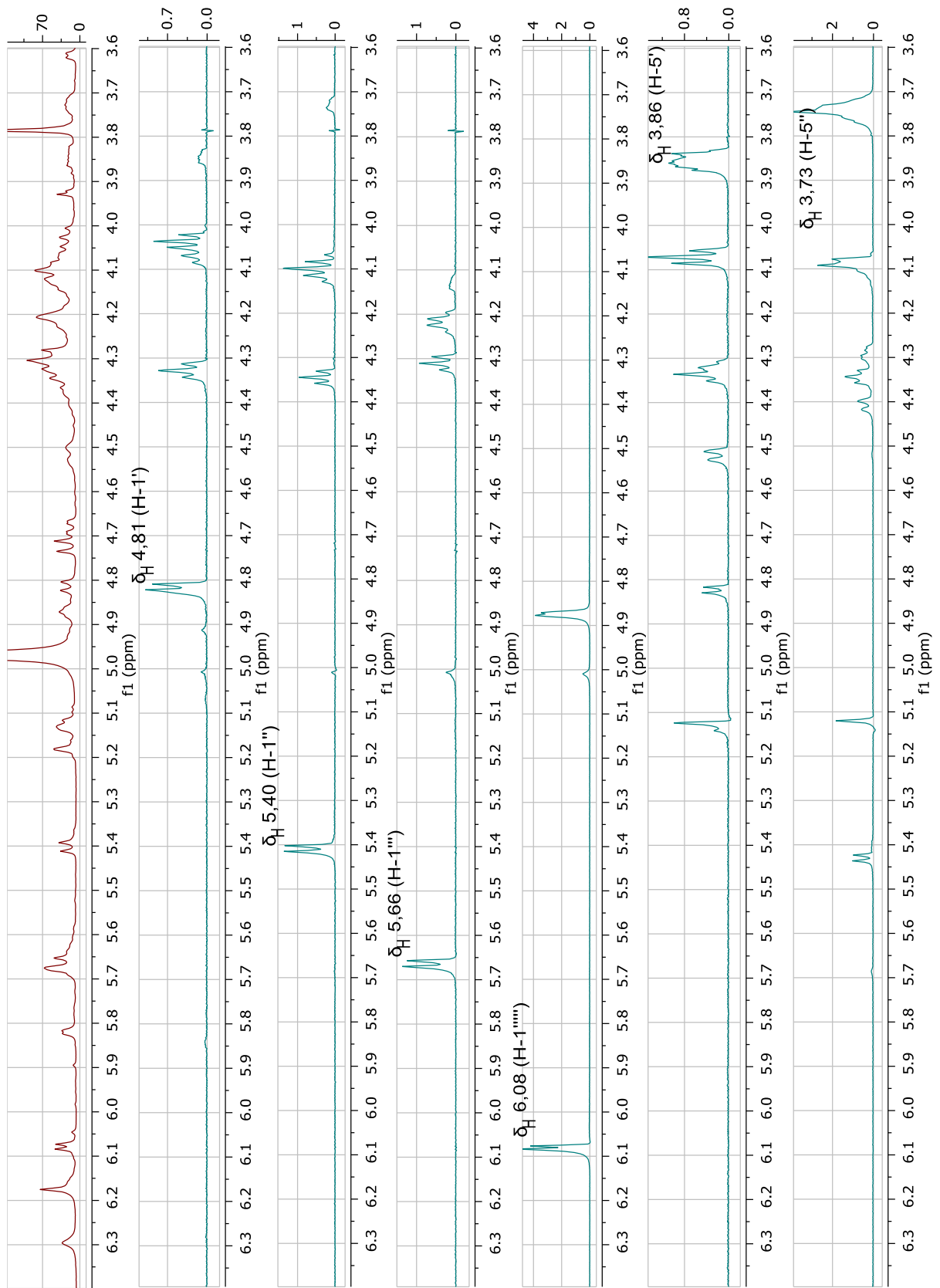


Figura 225. Espectro de TOCSY seletivo de Zg13 (δ_H 3,6-6,4 ppm) (600 MHz, C₅D₅N).

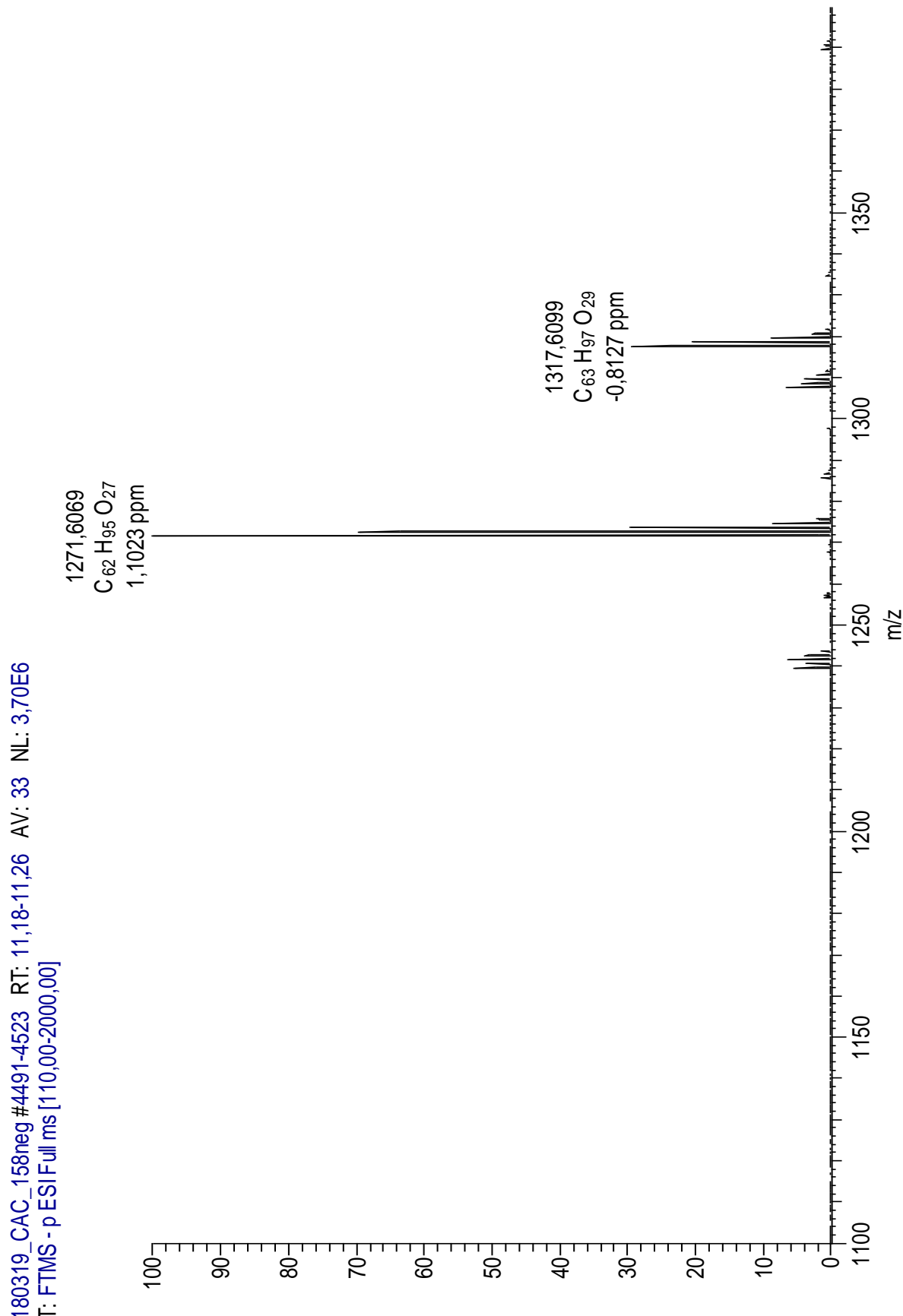


Figura 226. Espectro de massas de alta resolução de Zg14 (ESI, modo negativo).

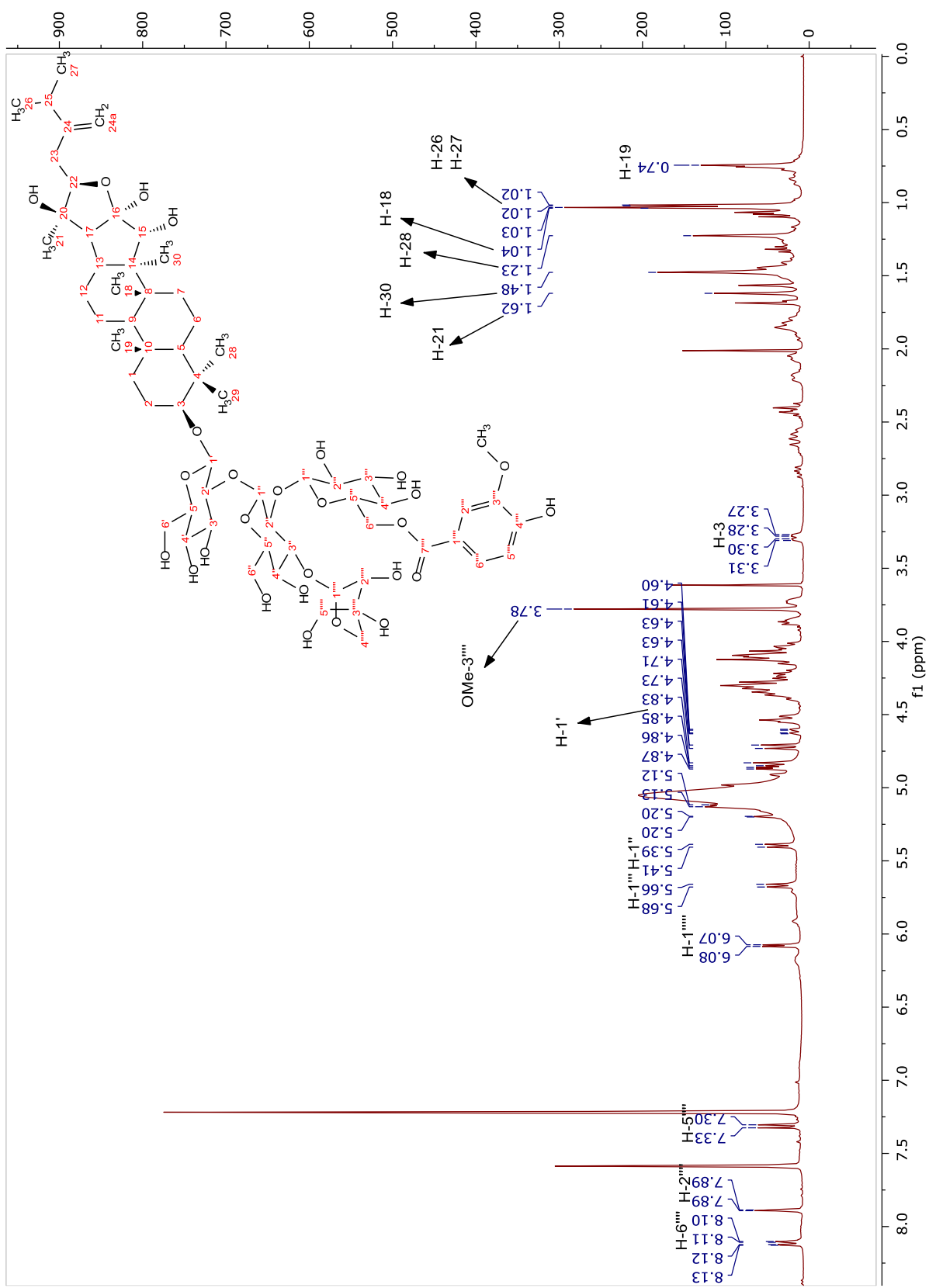


Figura 227. Espectro de RMN ^1H de Zg14 (400 MHz, $\text{C}_5\text{D}_5\text{N}$).

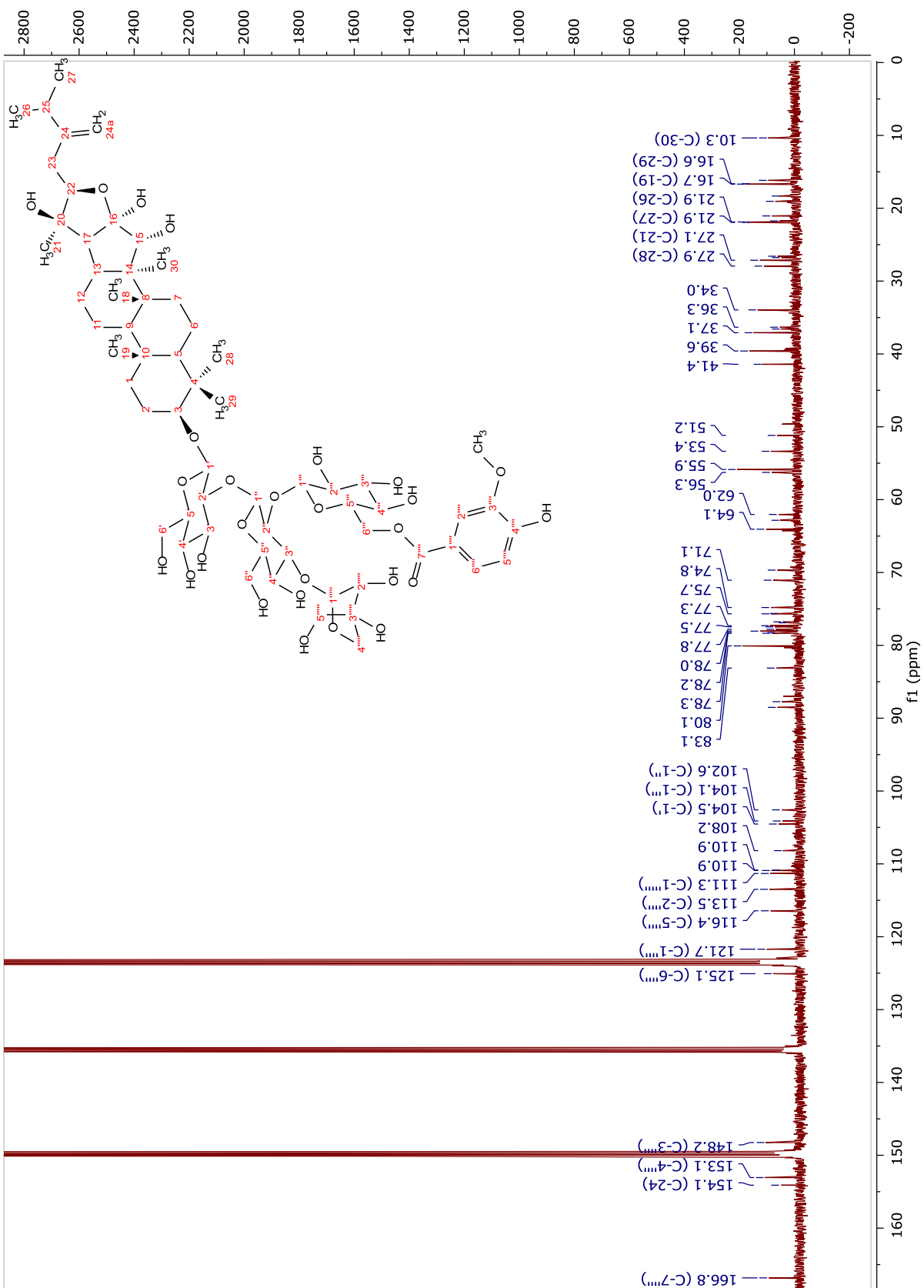


Figura 228. Espectro de RMN ^{13}C de Zg14 (100 MHz, $\text{C}_5\text{D}_5\text{N}$).

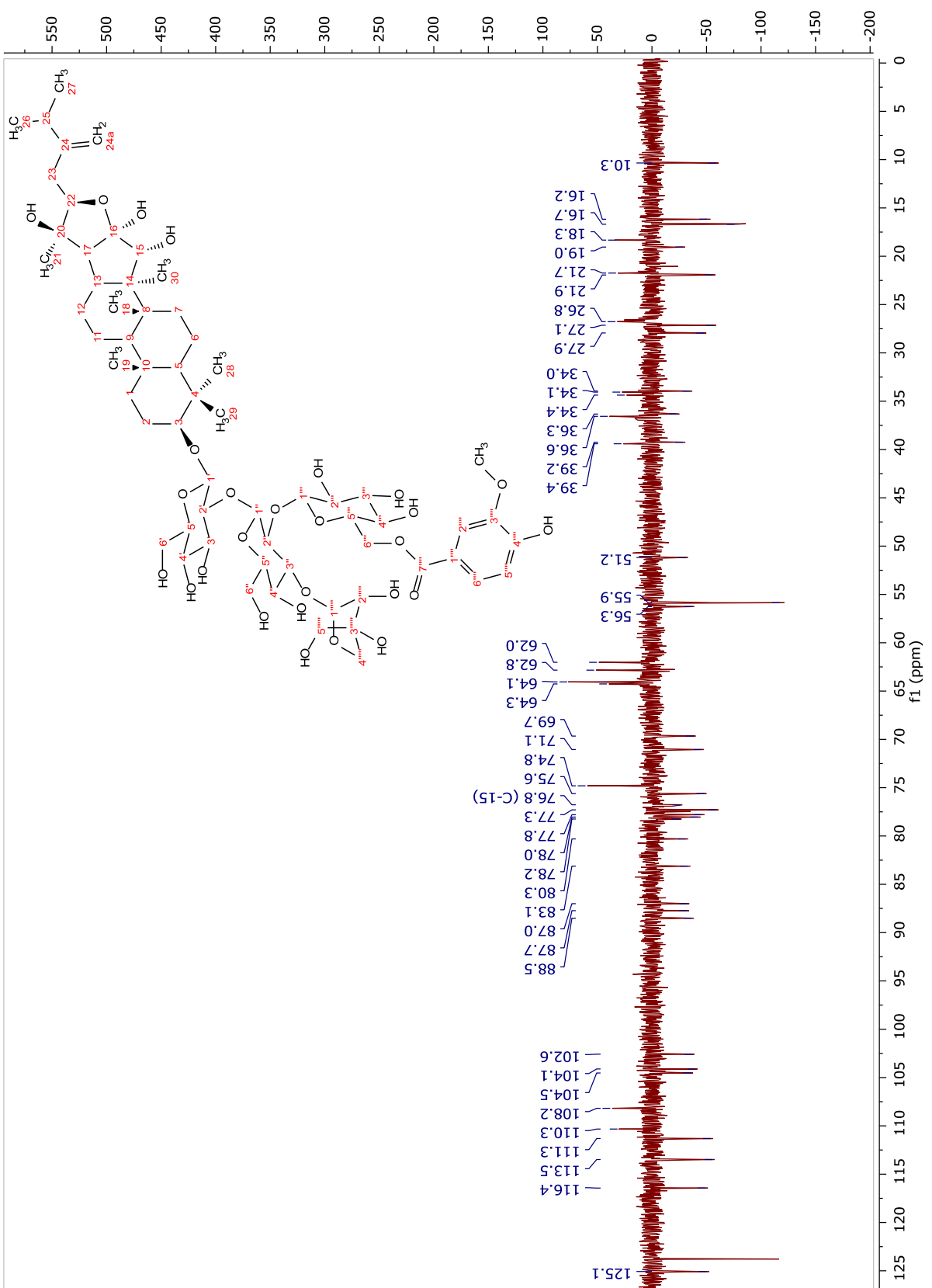


Figura 229. Espectro de DEPT-135 de Zg14 (400 MHz, $\text{C}_5\text{D}_5\text{N}$).

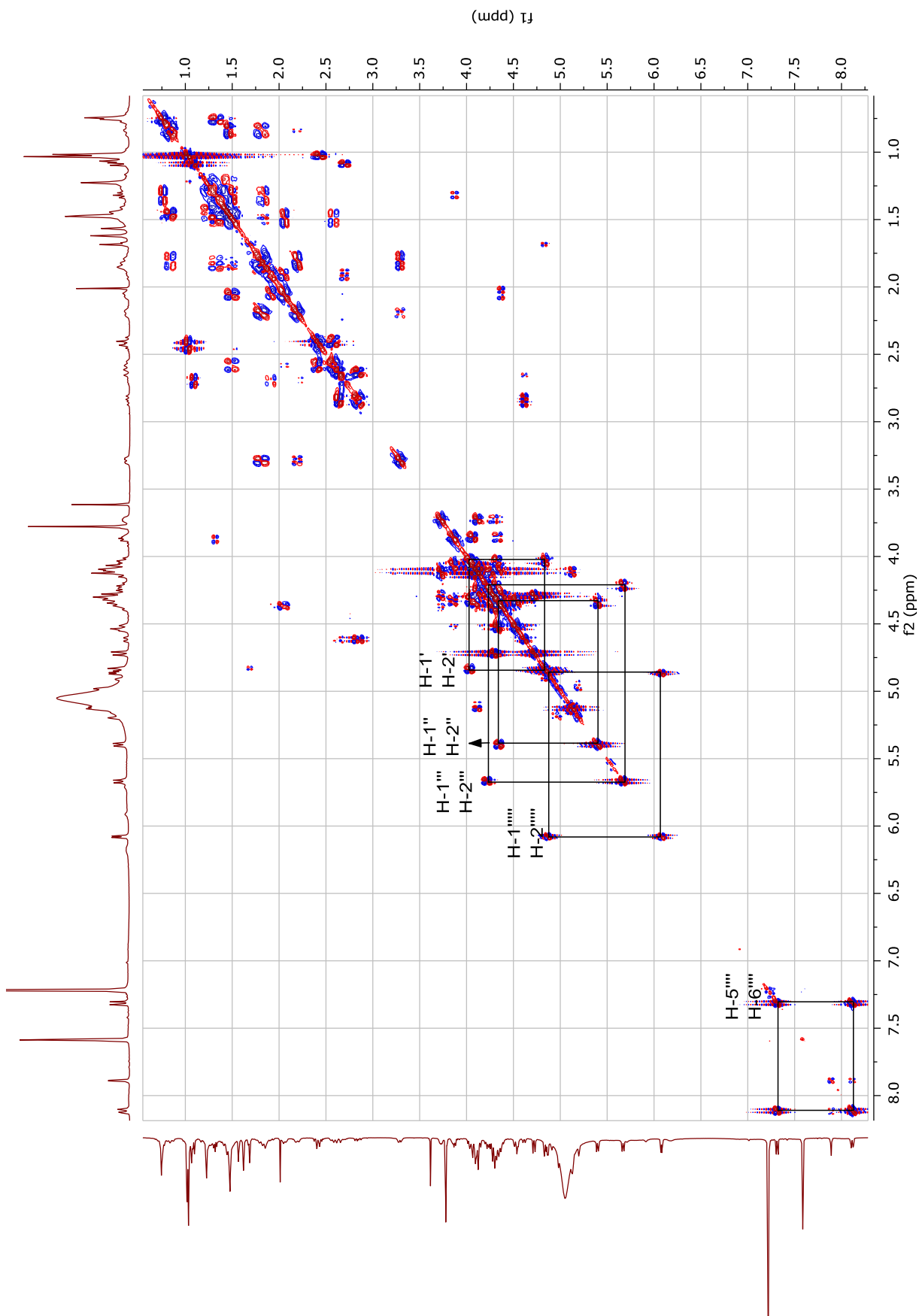


Figura 230. Espectro de COSY de Zg14 (400 MHz, C_5D_5N).

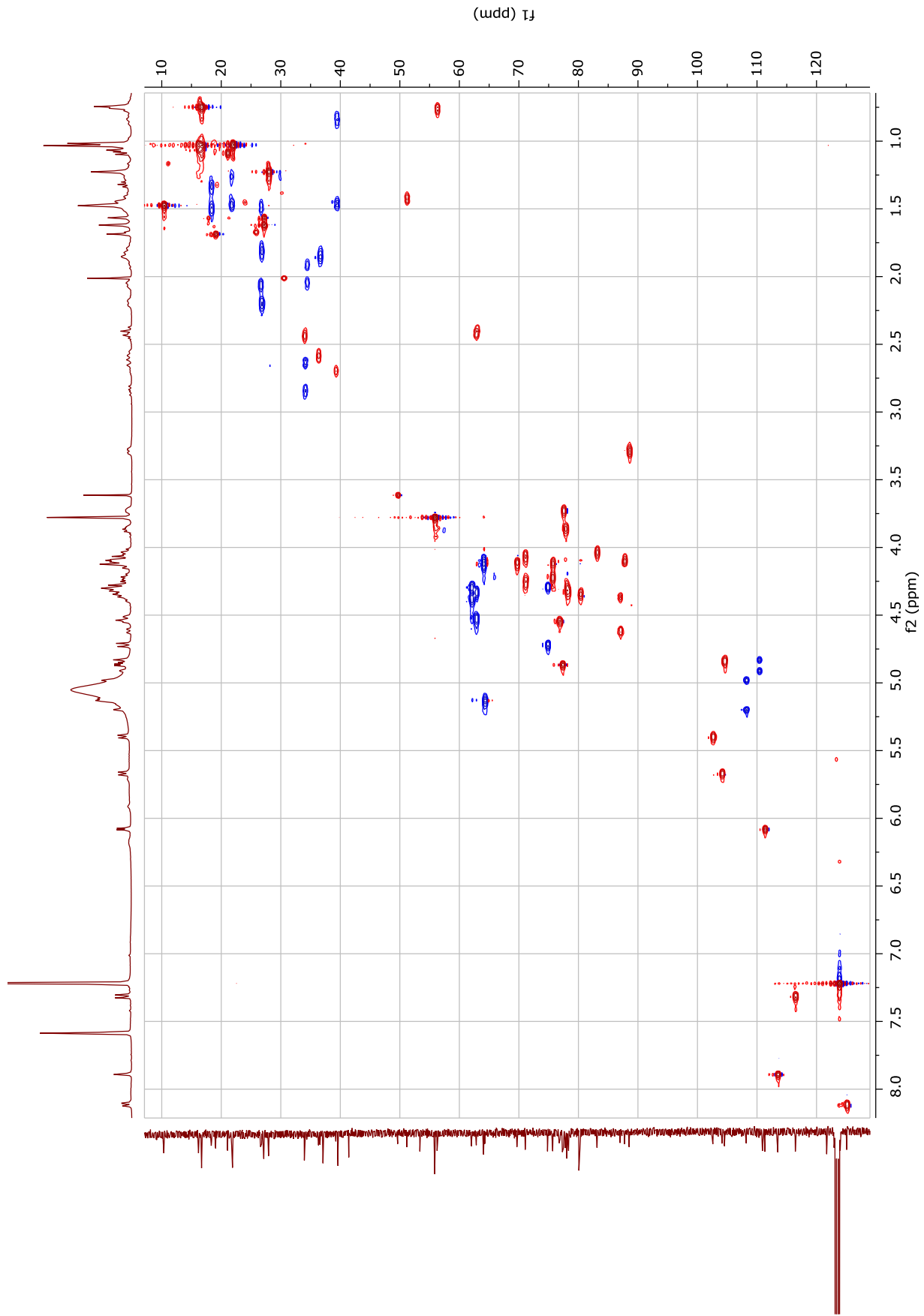


Figura 231. Espectro de HSQC de Zg14 (400 MHz, C_5D_5N).

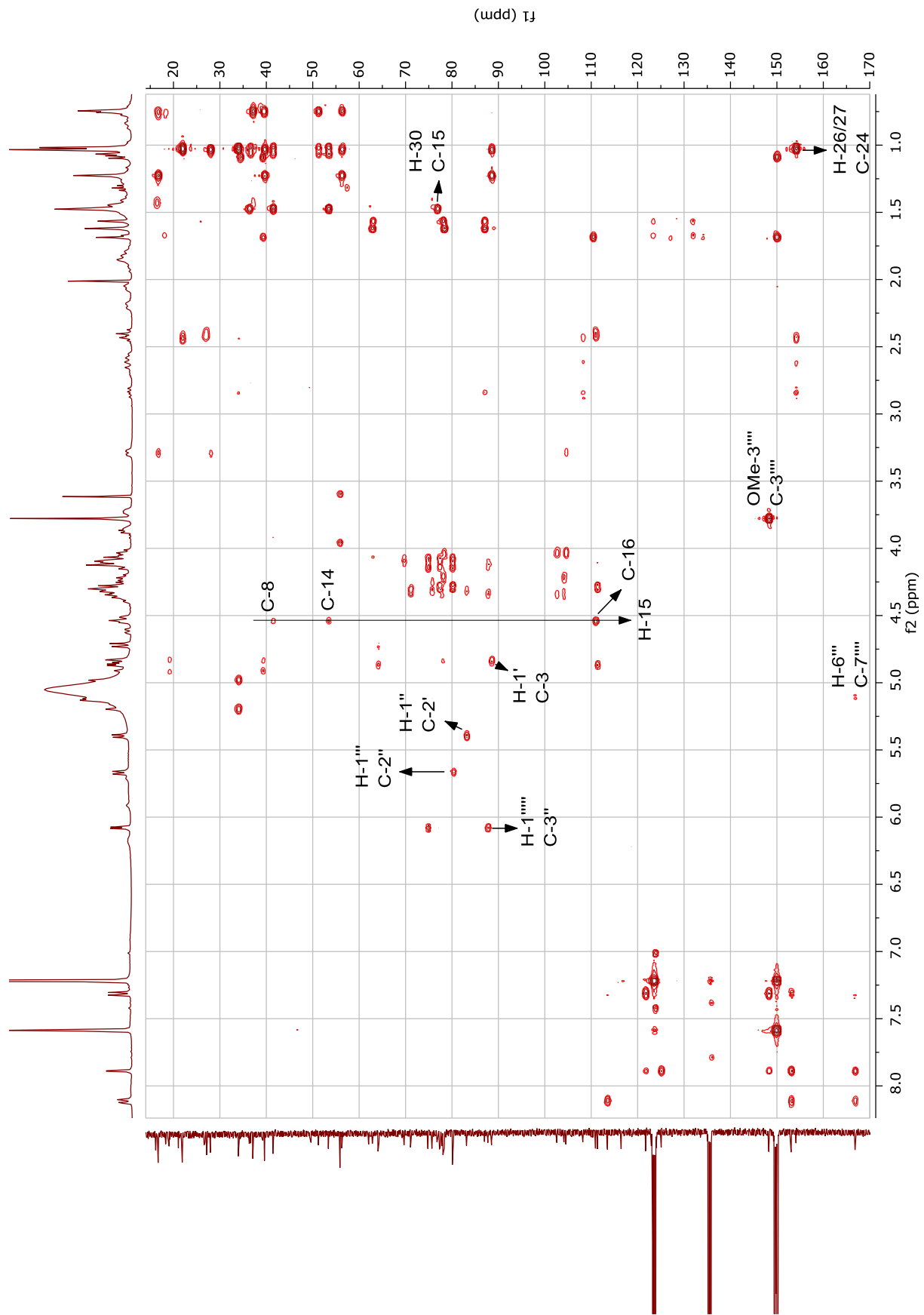


Figura 232. Espectro de HMBC de **Zg14** (400 MHz, C_5D_5N).

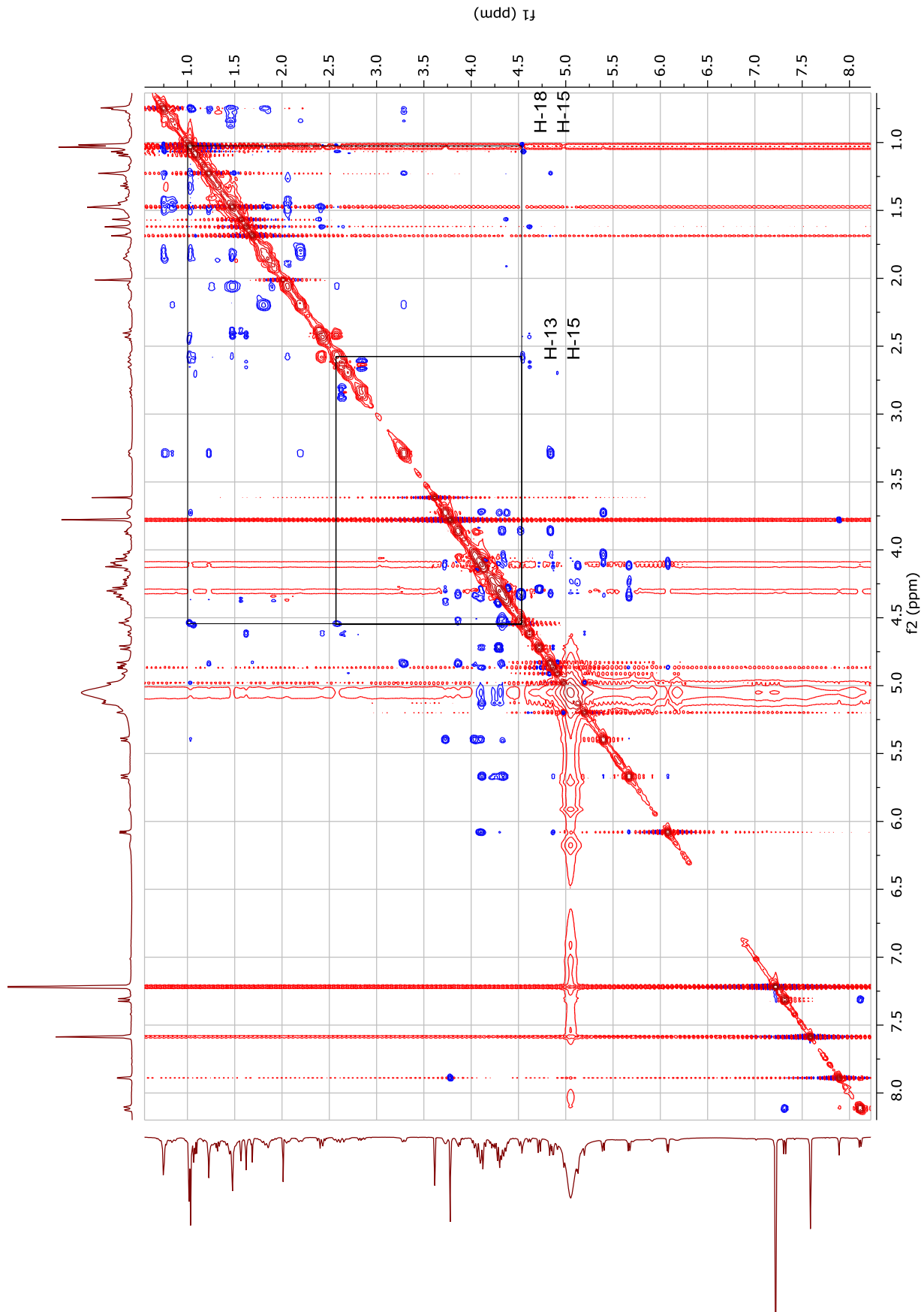


Figura 233. Espectro de ROESY de Zg14 (400 MHz, C_5D_5N).

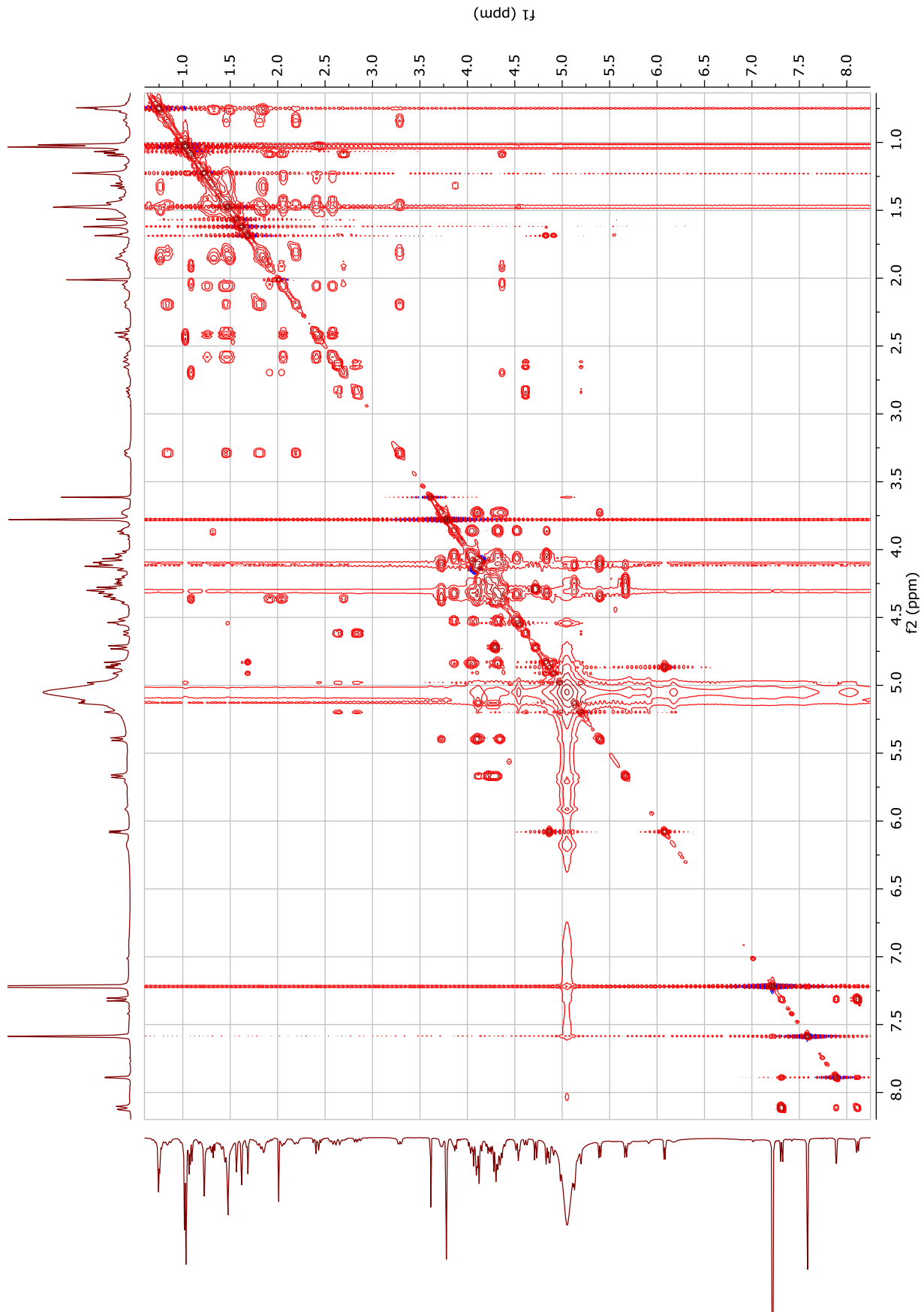


Figura 234. Espectro de TOCSY (2D) de **Zg14** (400 MHz, C5D5N).

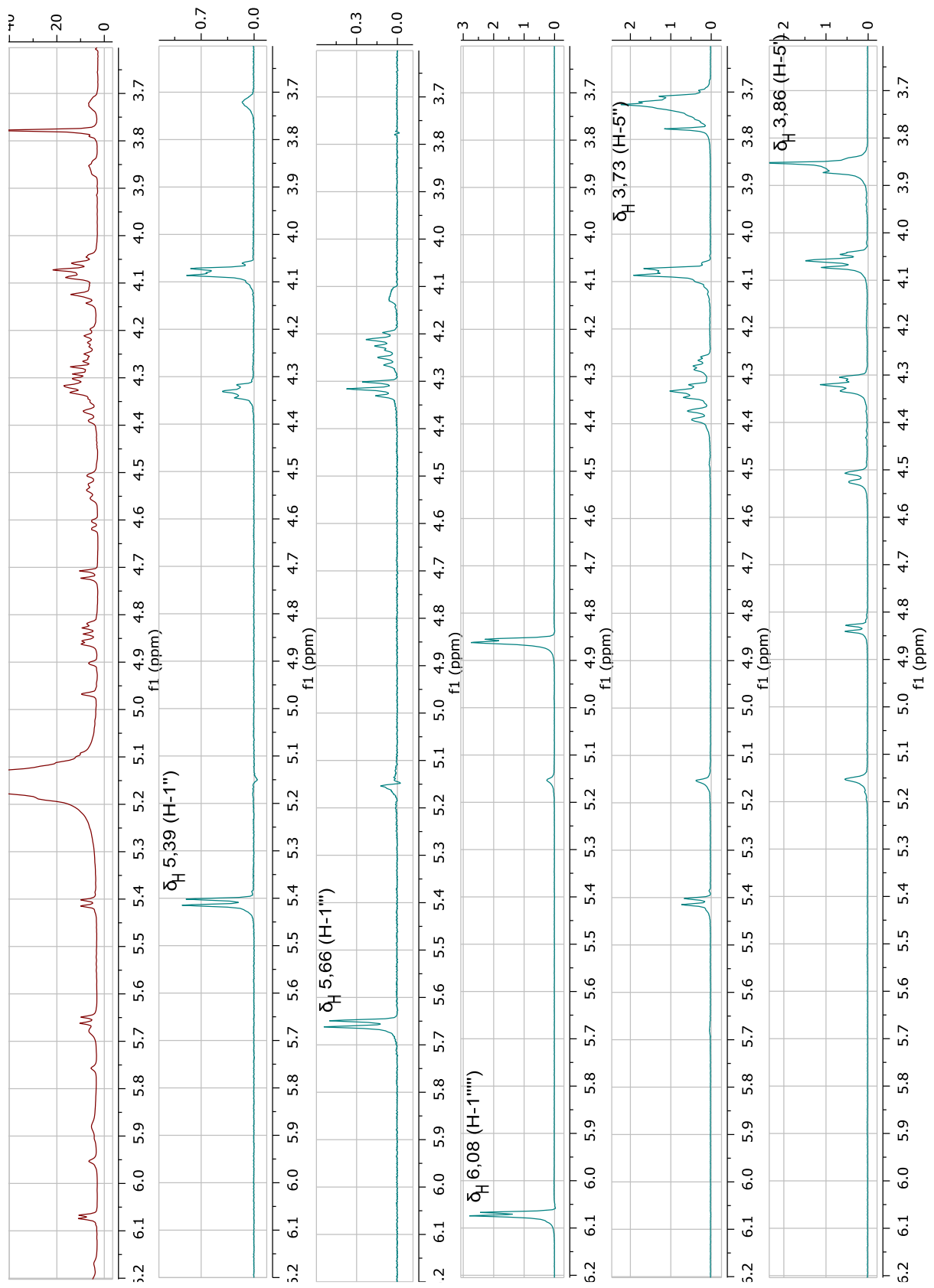


Figura 235. Espectro de TOCSY seletivo de Zg14 (δ_H 3,6-6,2 ppm) (600 MHz, C₅D₅N).

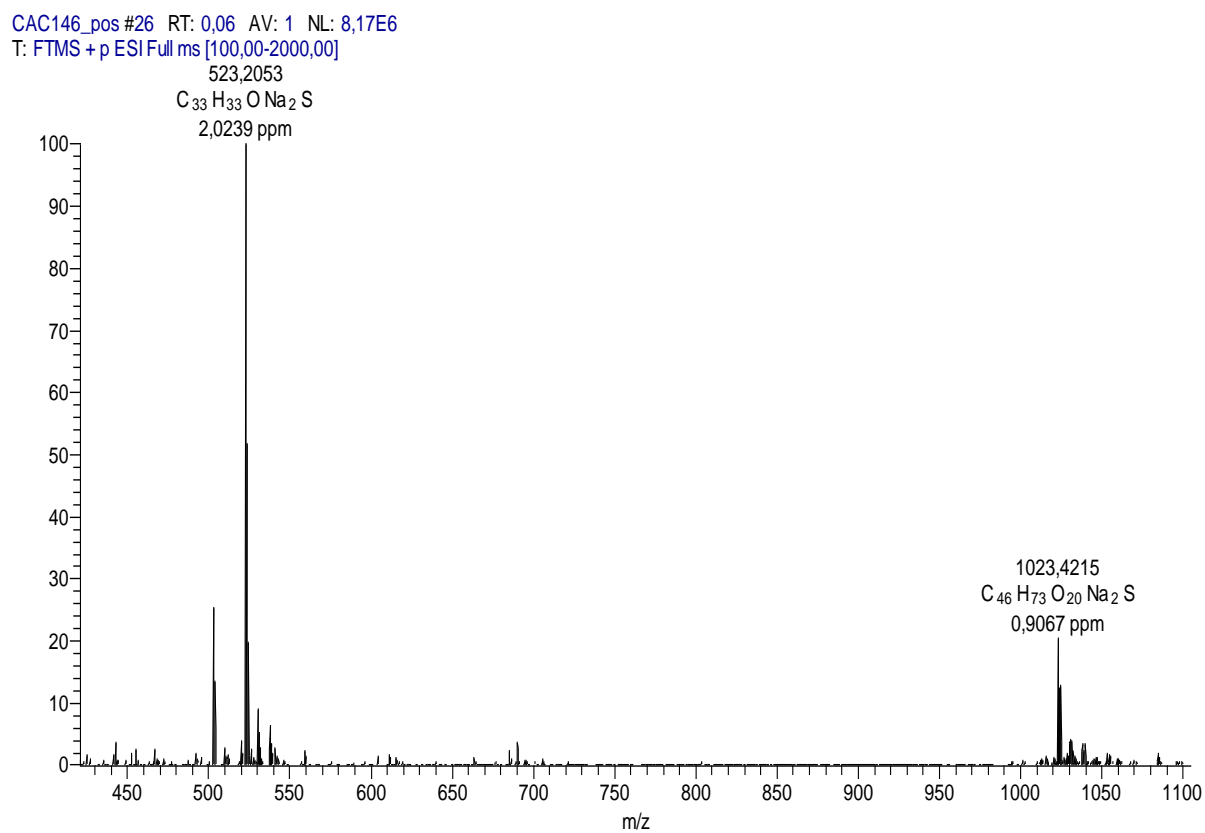


Figura 236. Espectro de massas de alta resolução de Zg15 (ESI, modo positivo).

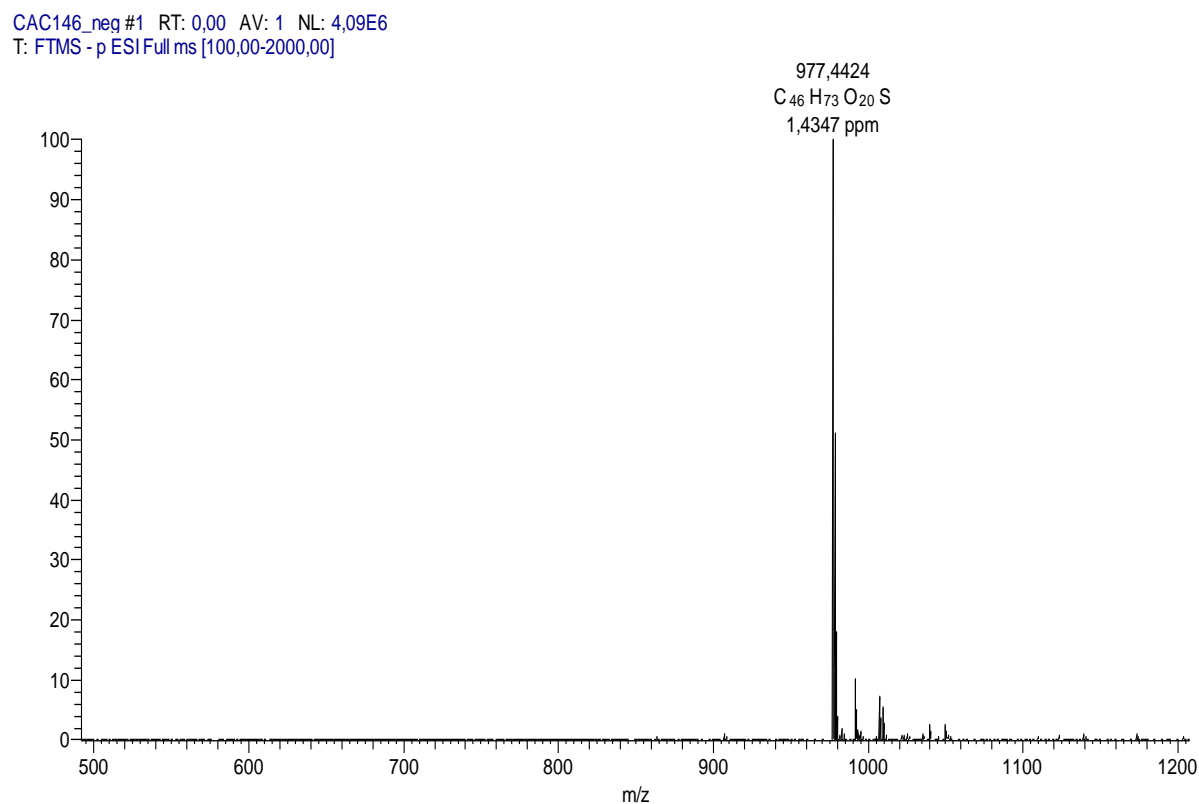


Figura 237. Espectro de massas de alta resolução de Zg15 (ESI, modo negativo).

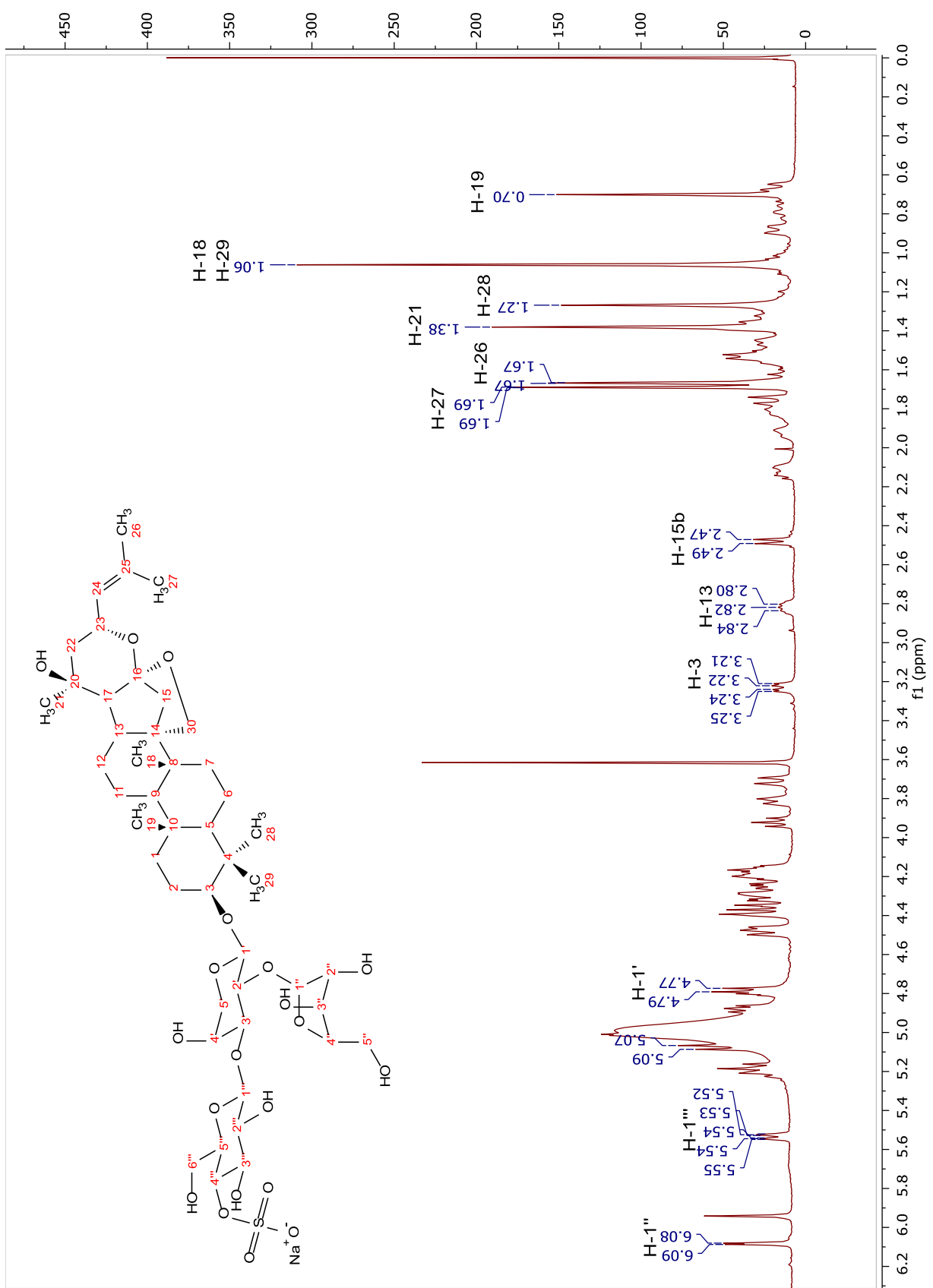


Figura 238. Espectro de RMN ^1H da substância Zg15 (400 MHz, $\text{C}_5\text{D}_5\text{N}$).

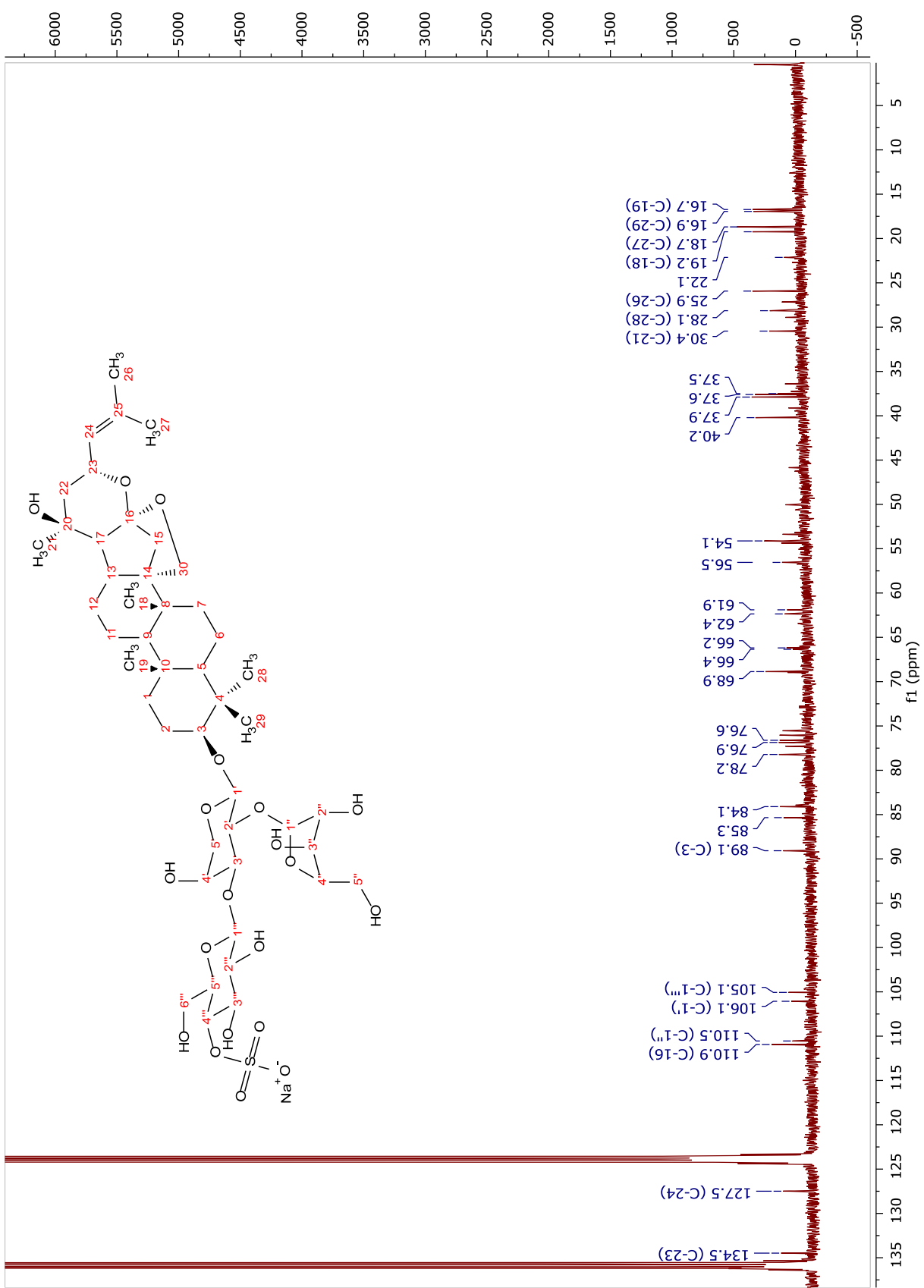


Figura 239. Espectro de RMN ^{13}C de Zg15 (100 MHz, $\text{C}_5\text{D}_5\text{N}$).

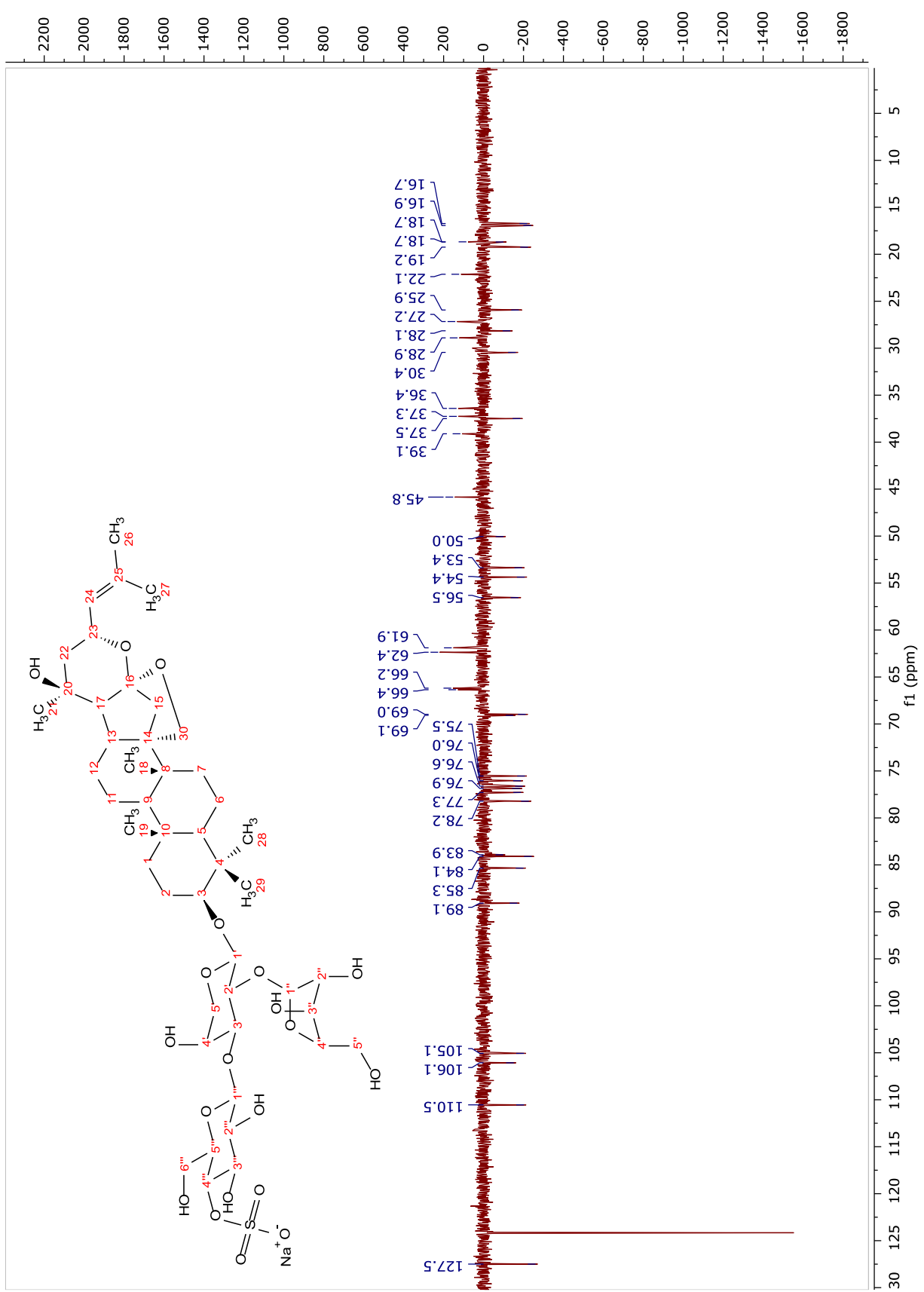


Figura 240. Espectro de DEPT-135 de Zg15 (100 MHz, $\text{C}_5\text{D}_5\text{N}$).

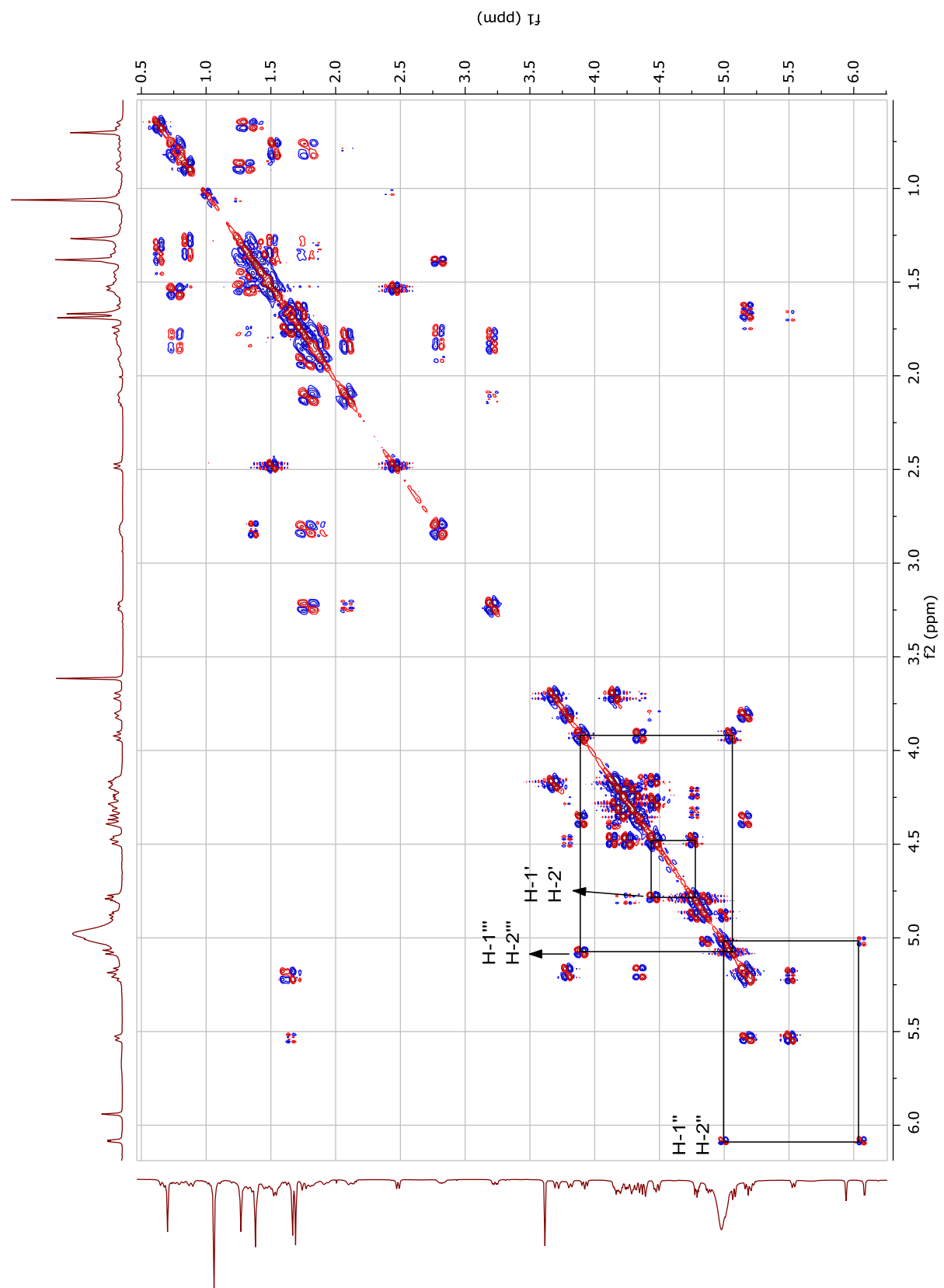


Figura 241. Espectro de COSY de Zg15 (400 MHz, C_5D_5N).

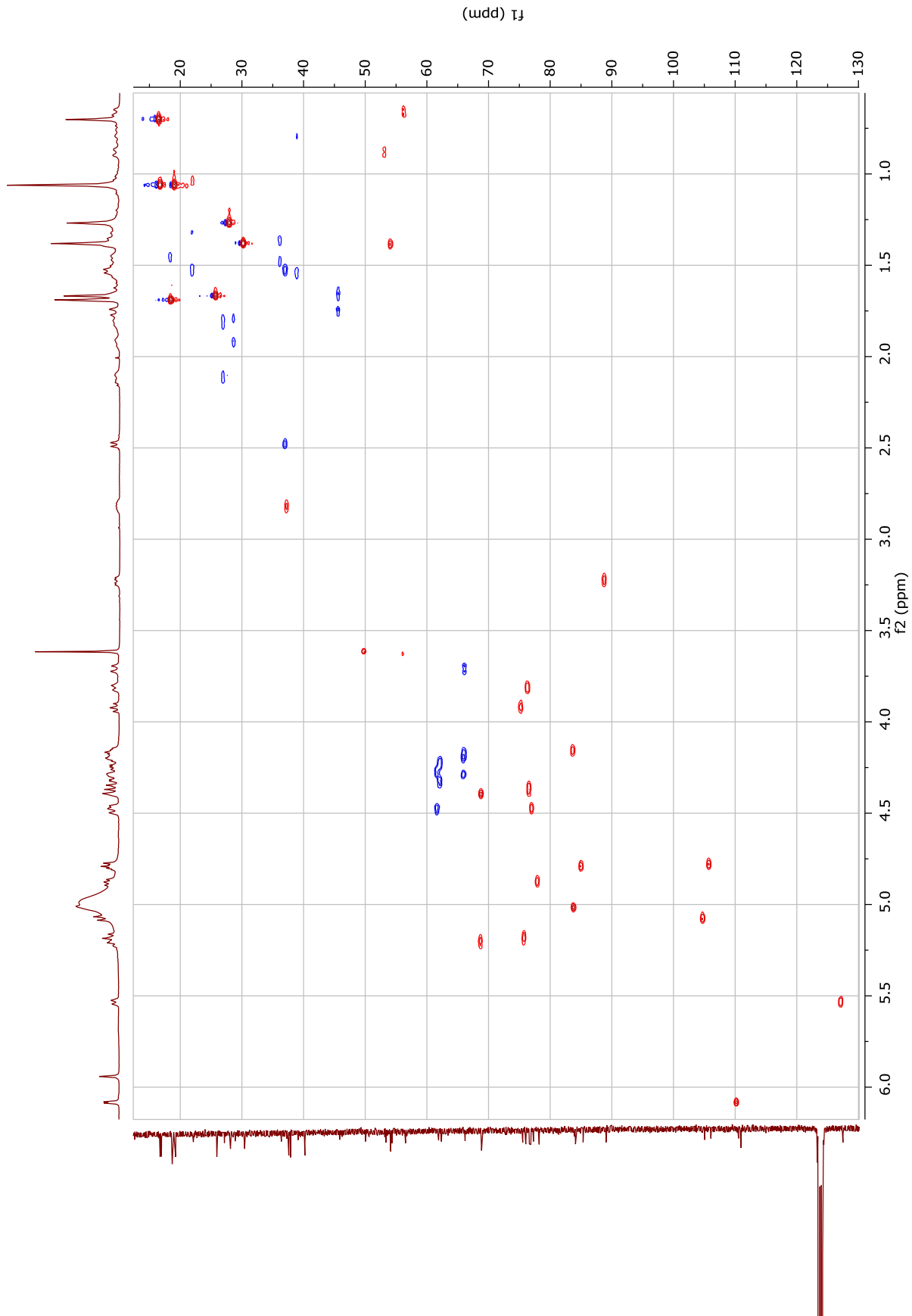


Figura 242. Espectro de HSQC de Zg15 (400 MHz, C₅D₅N).

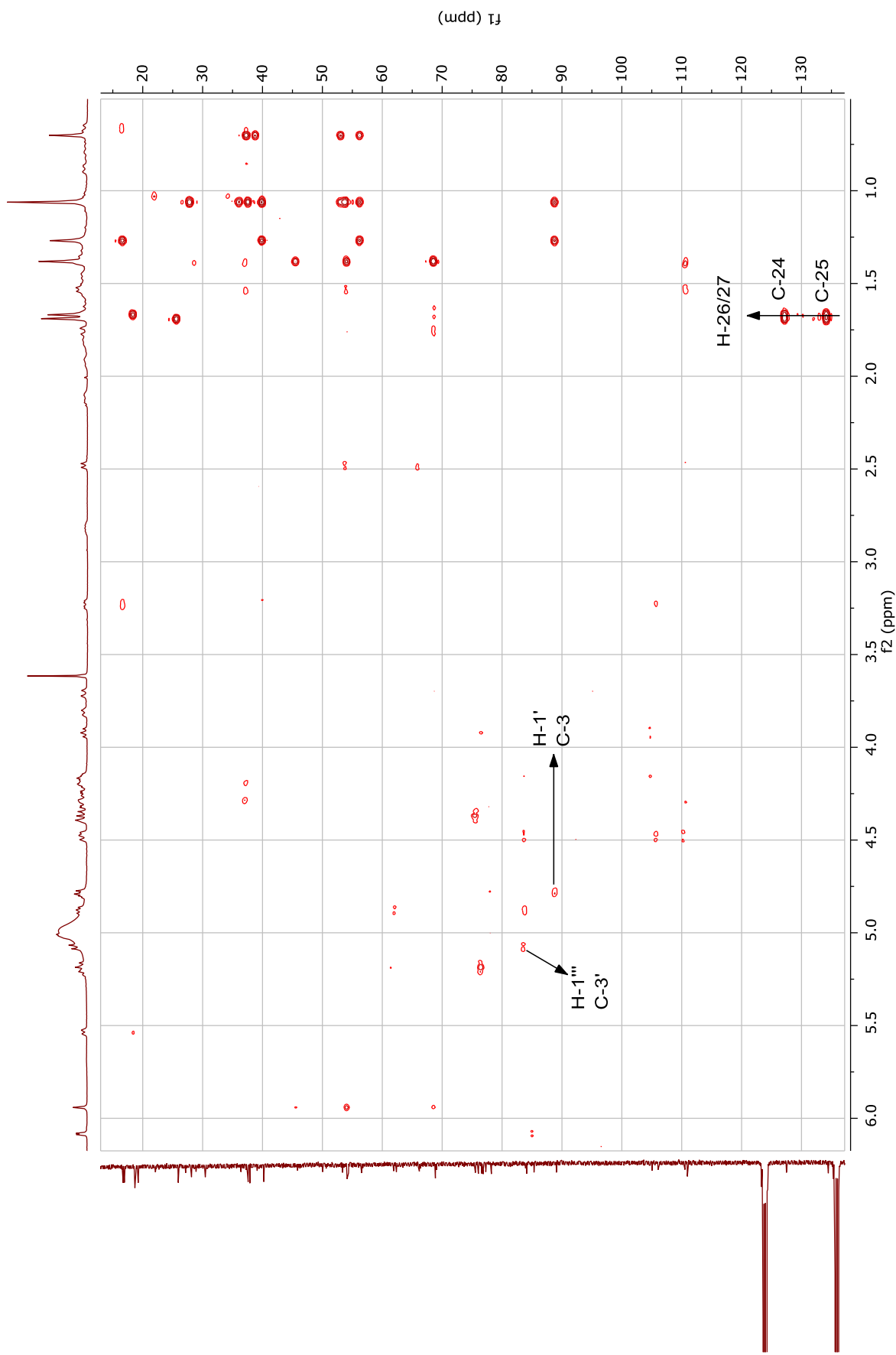


Figura 243. Espectro de HMBC de Zg15 (400 MHz, C_5D_5N).

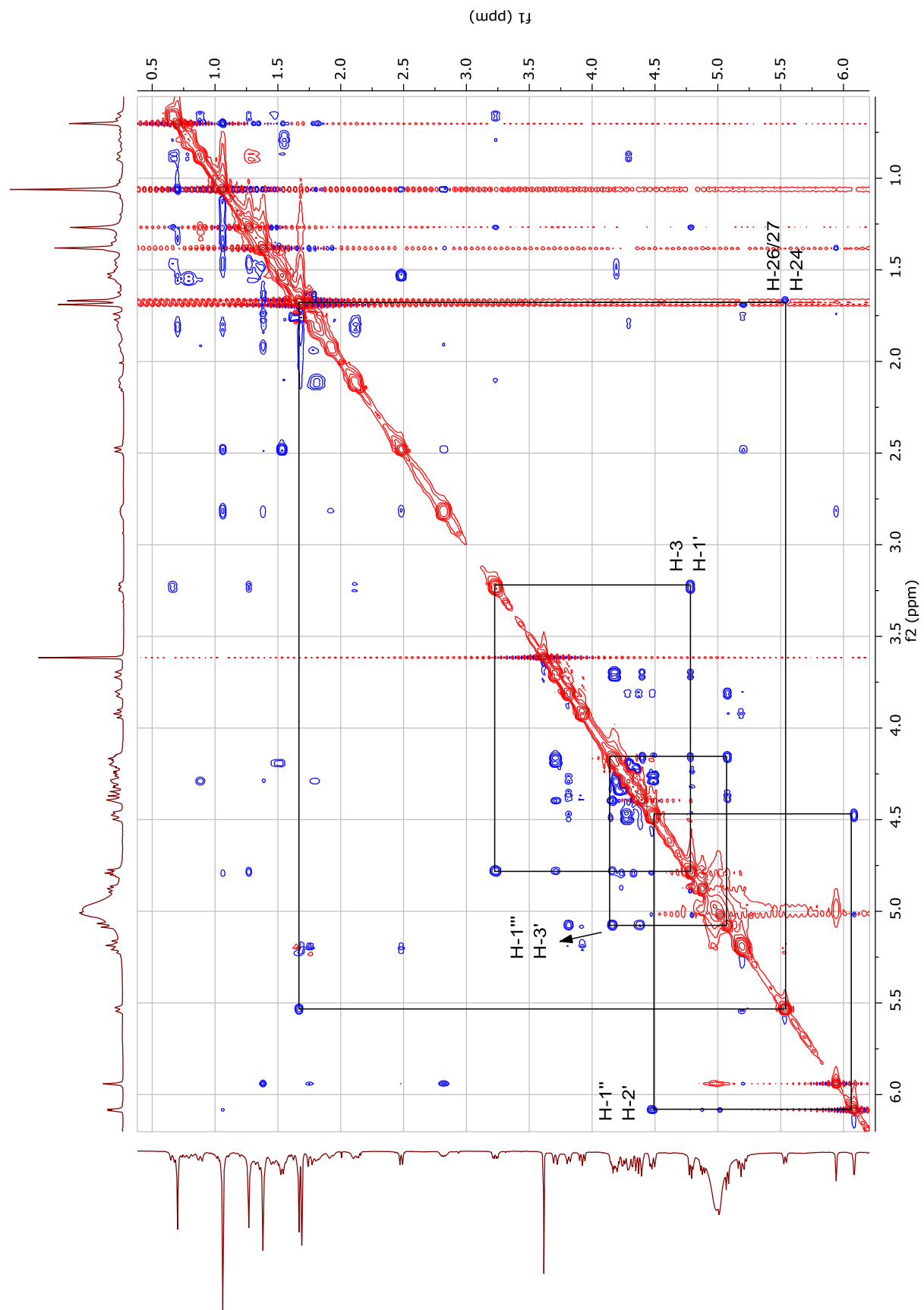


Figura 244. Espectro de ROESY de **Zg15** (400 MHz, C_5D_5N).

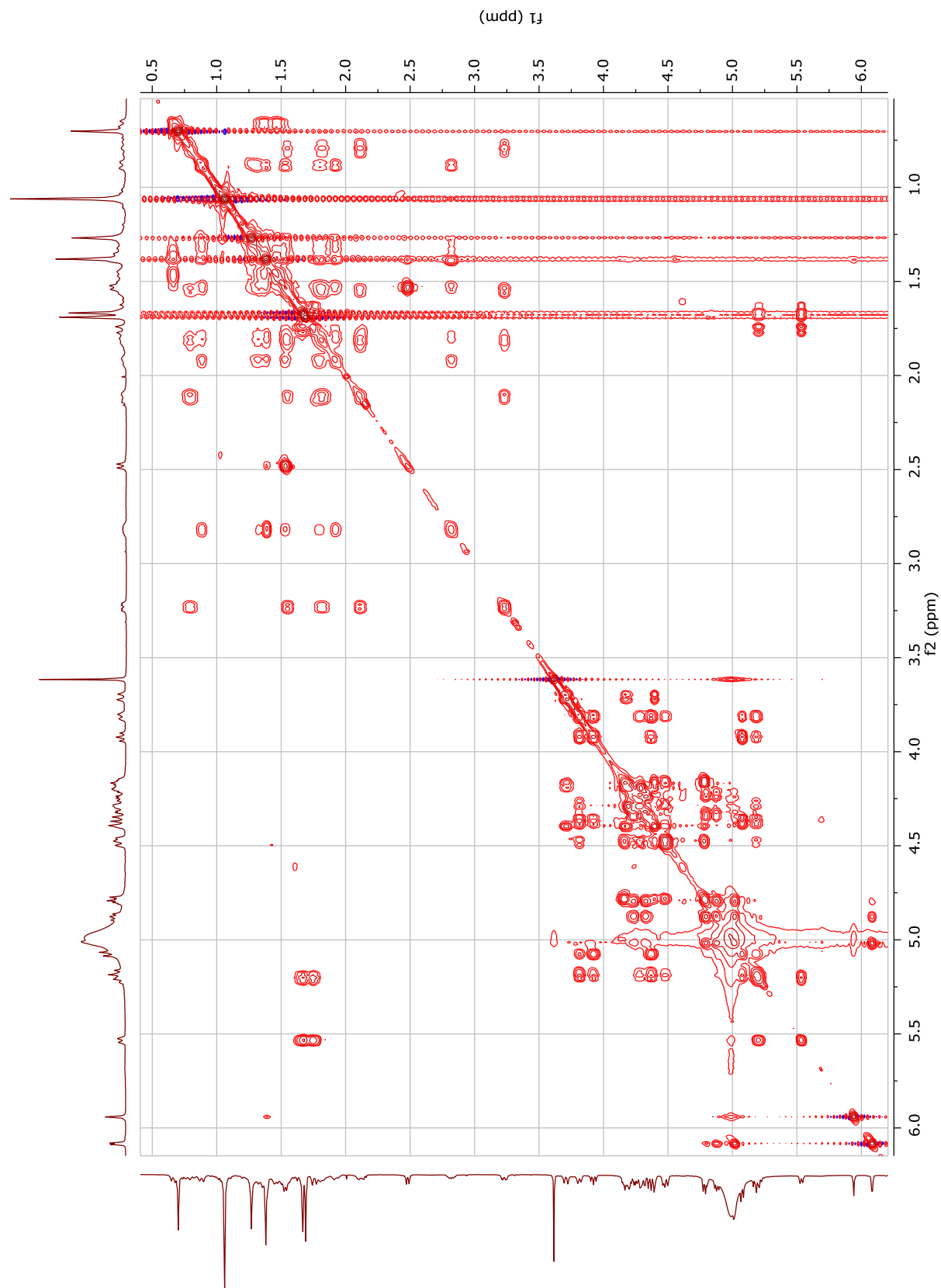


Figura 245. Espectro de TOCSY de Zg15 (400 MHz, C_5D_5N).

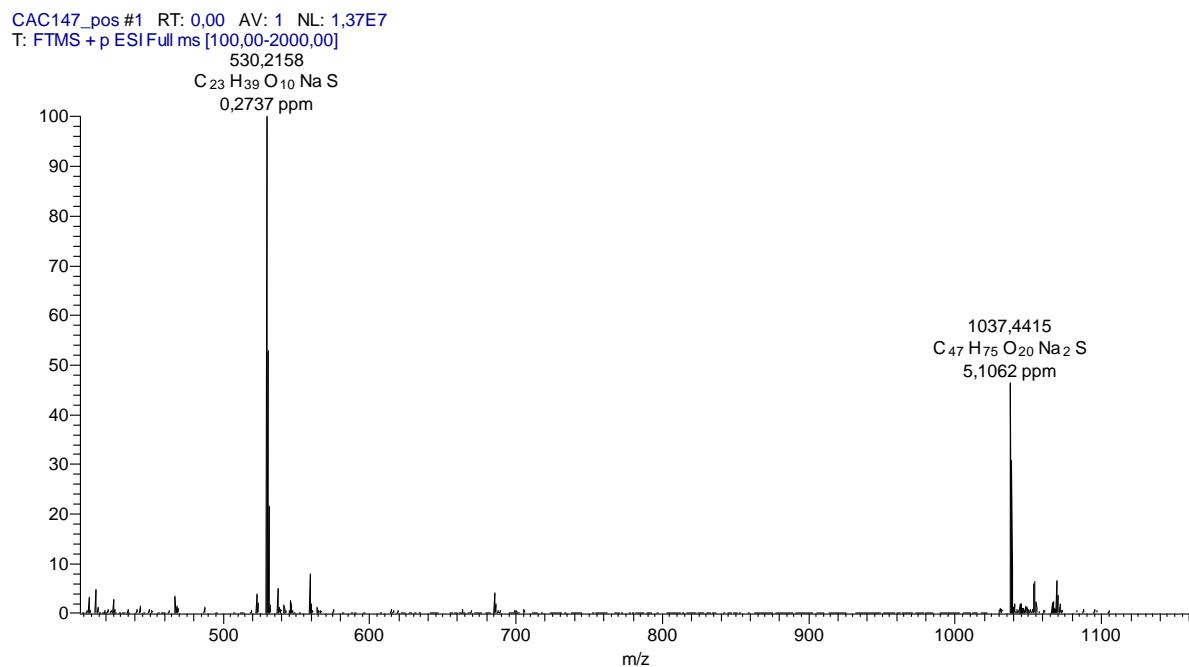


Figura 246. Espectro de massas de alta resolução **Zg16** (ESI, modo positivo).

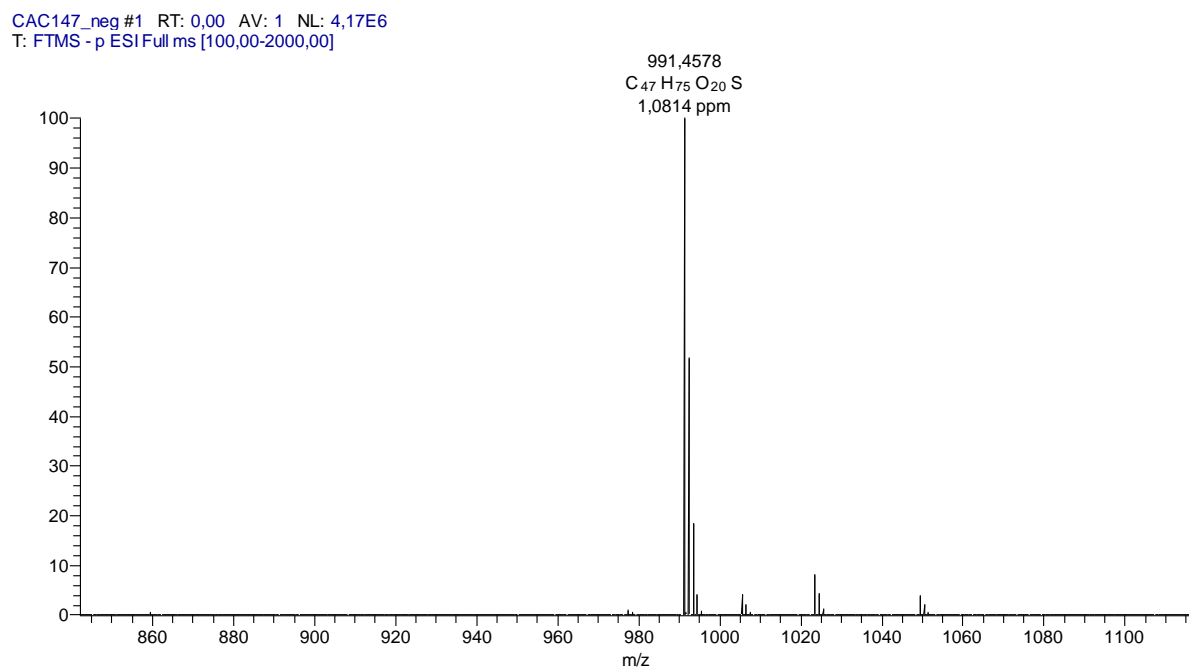


Figura 247. Espectro de massas de alta resolução de **Zg16** (ESI, modo negativo).

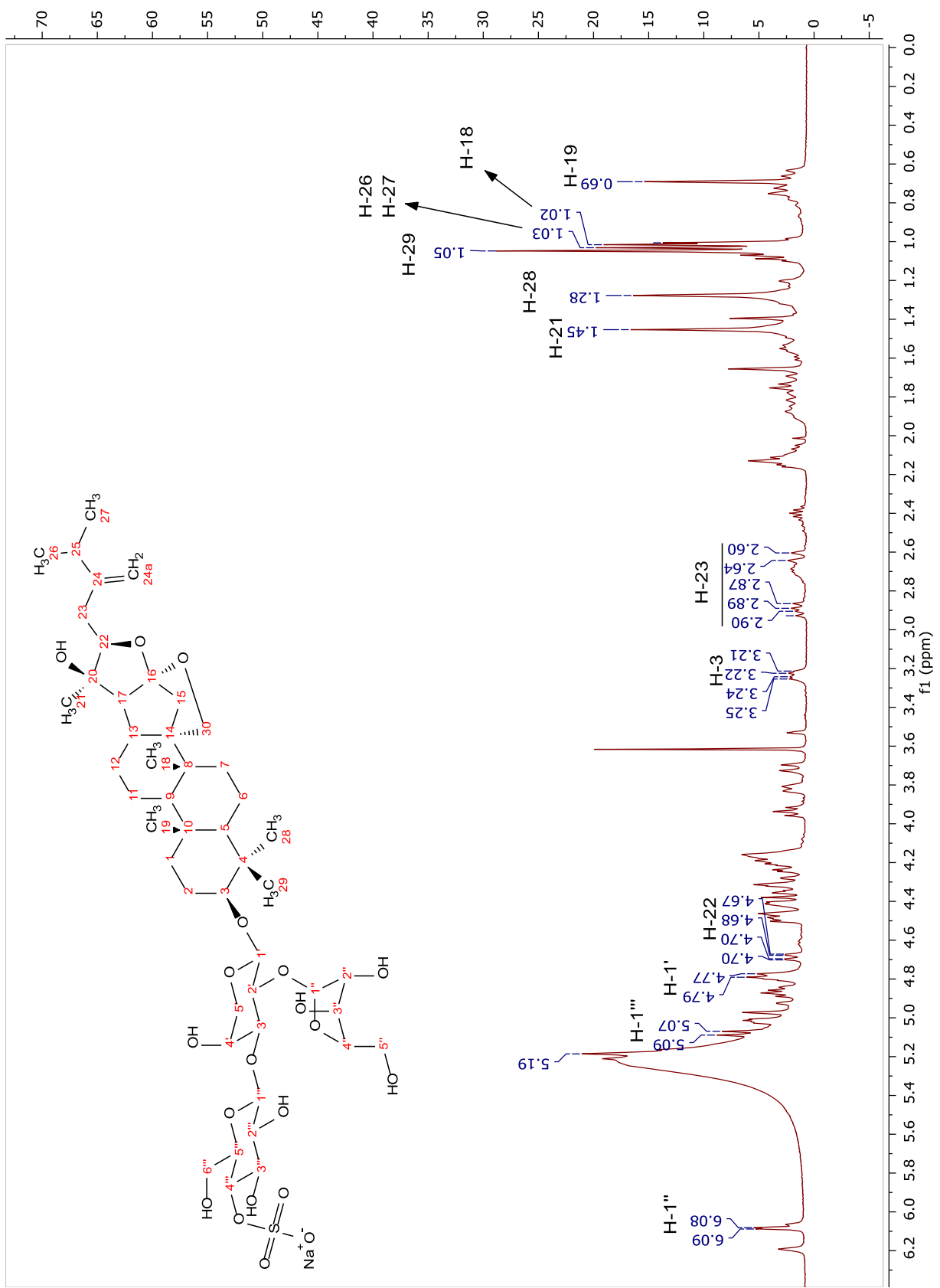


Figura 248. Espectro de RMN ^1H de Zg16 (400 MHz, $\text{C}_5\text{D}_5\text{N}$).

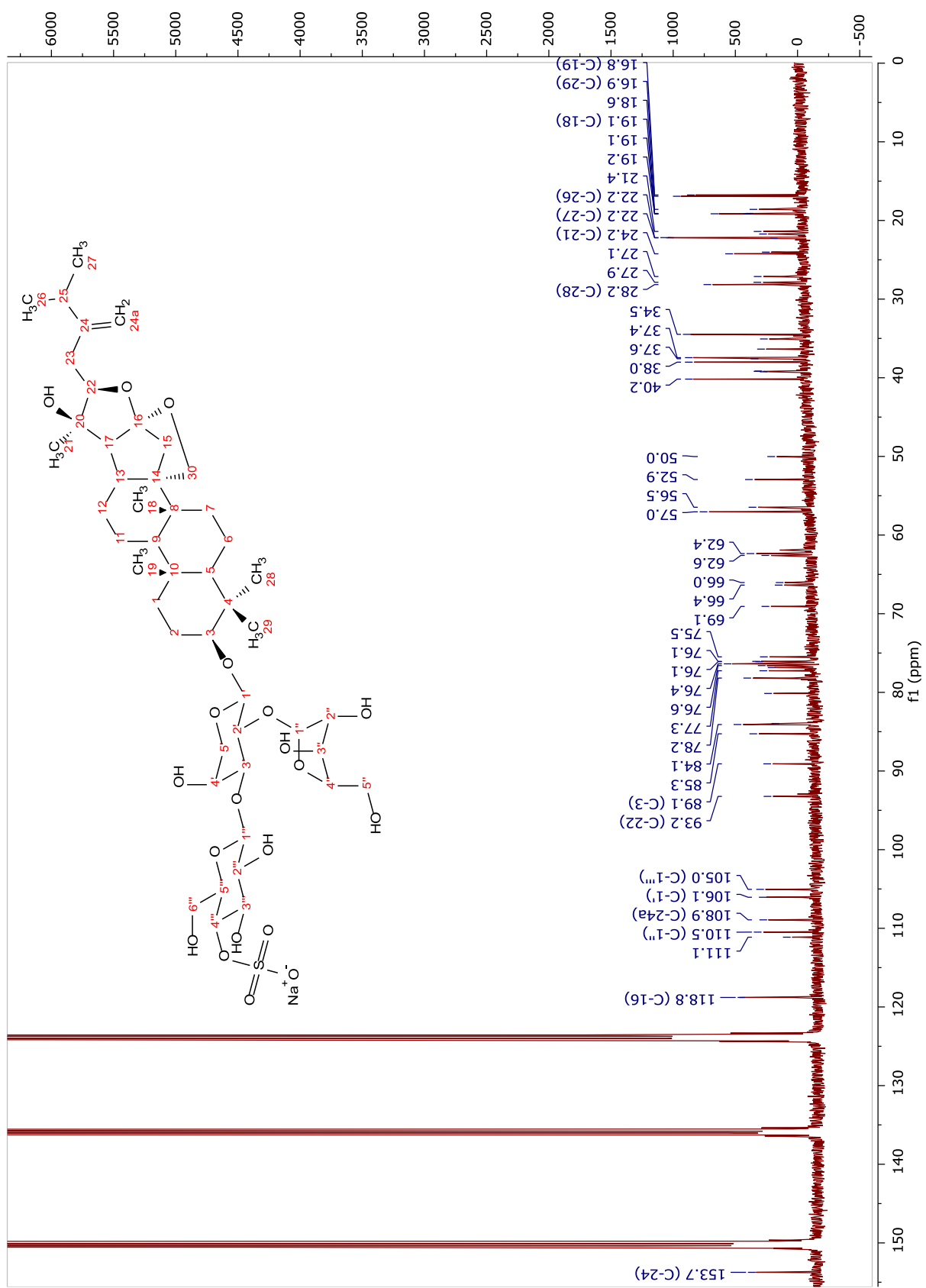


Figura 249. Espectro de RMN ¹³C de Zg16 (100 MHz, C₅D₅N).

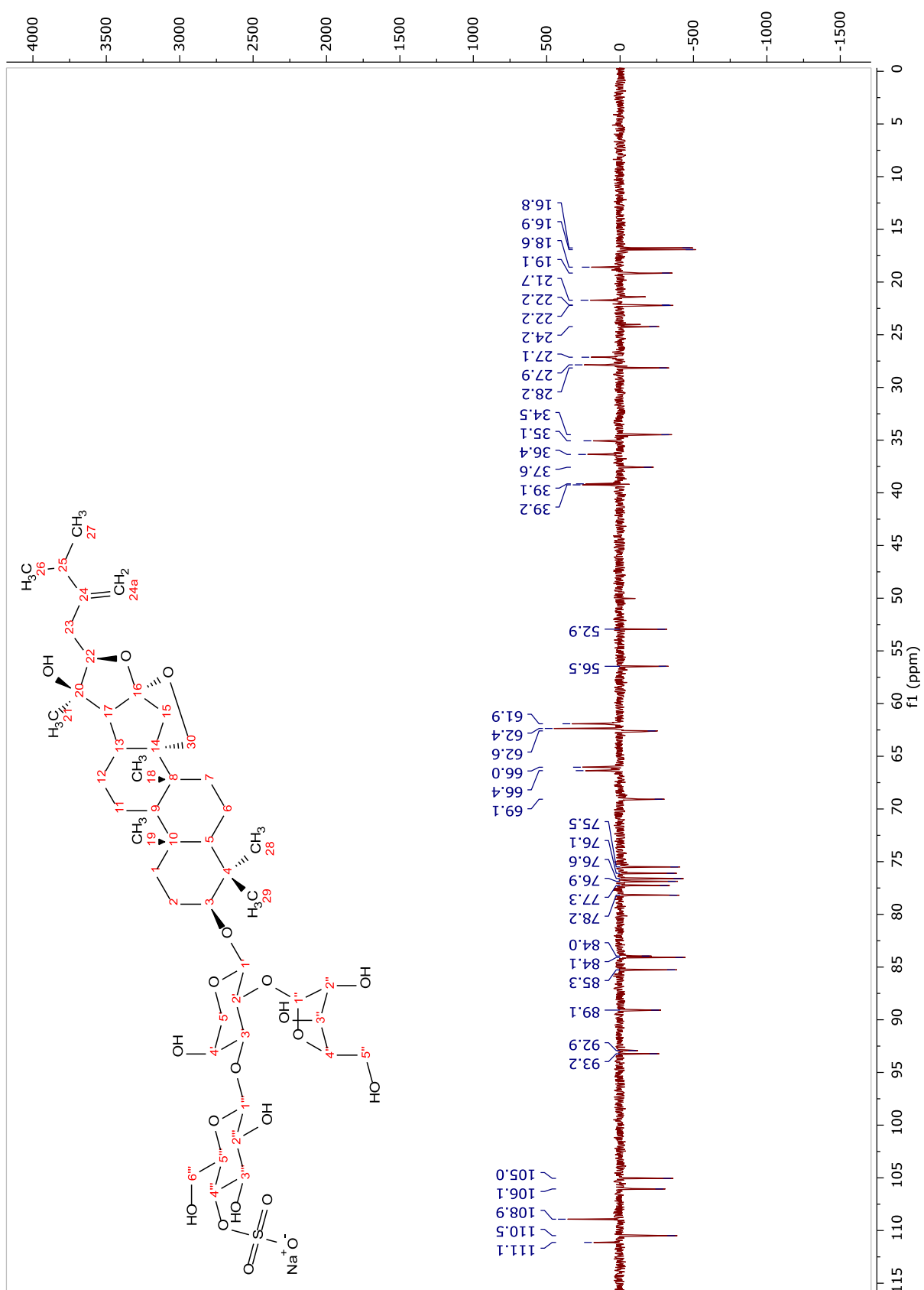


Figura 250. Espectro de DEPT-135 de Zg16 (100 MHz, $\text{C}_5\text{D}_5\text{N}$).

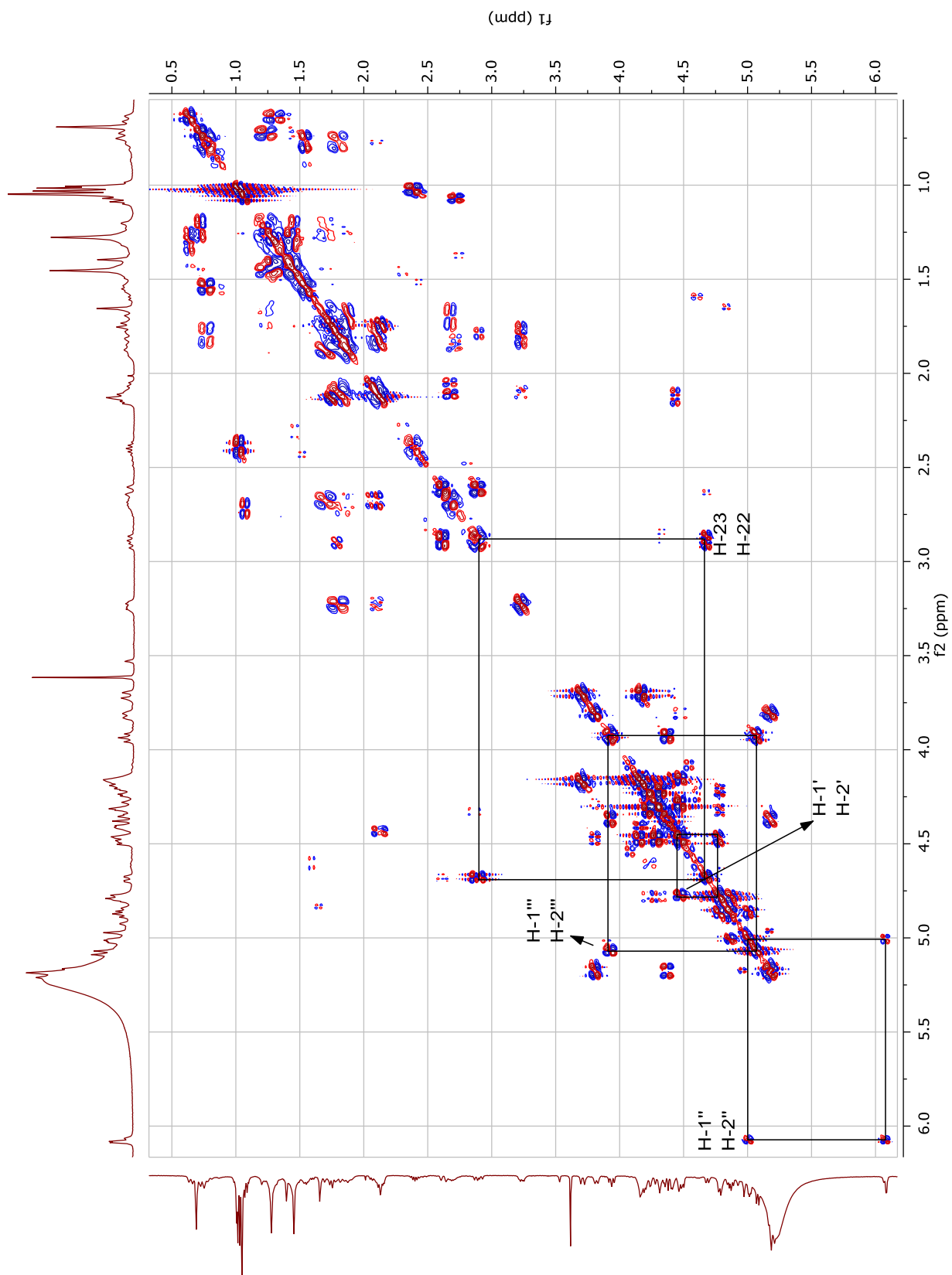


Figura 251. Espectro de COSY de Zg16 (400 MHz, C_5D_5N).

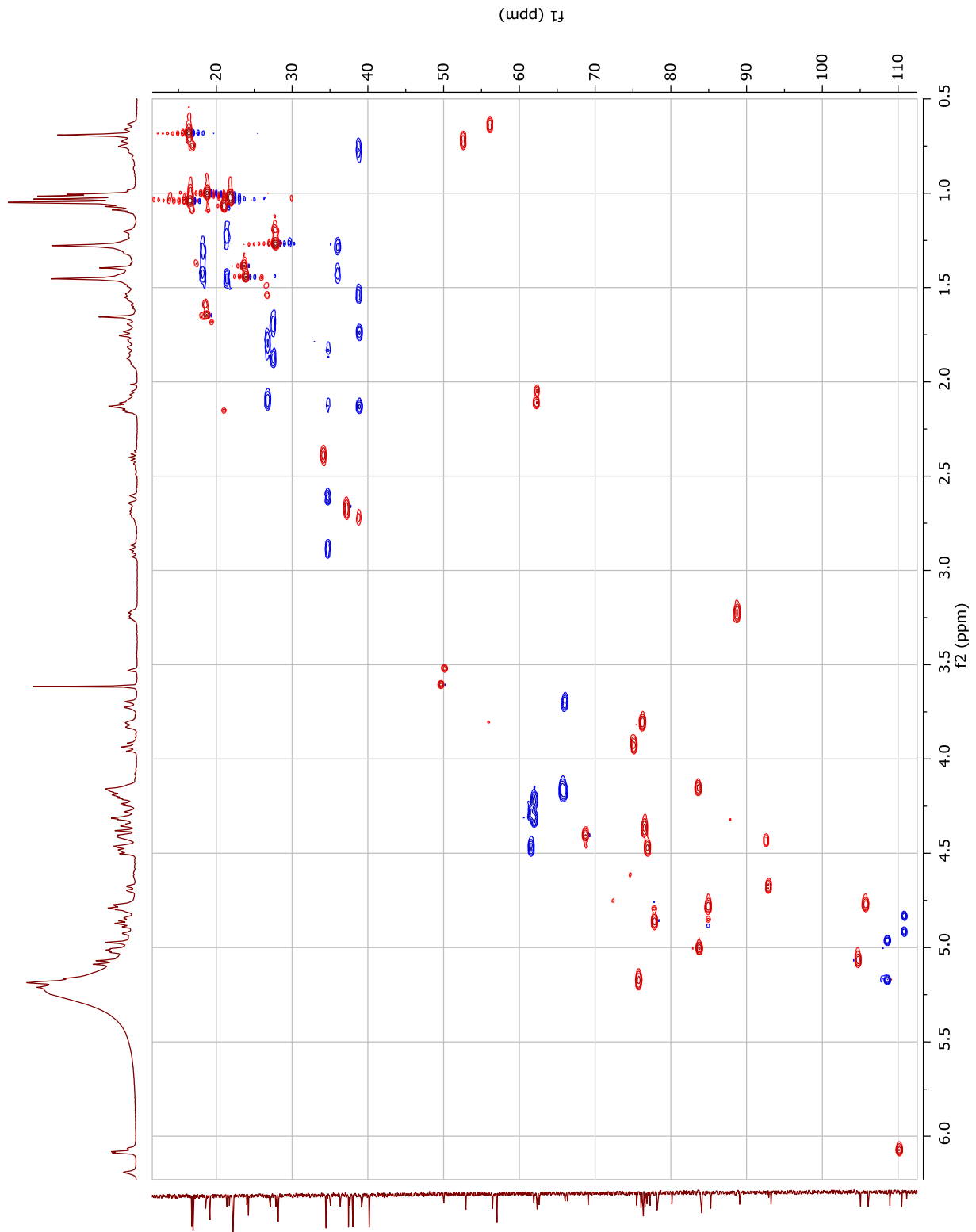


Figura 252. Espectro de HSQC de **Zg16** (400 MHz, C_5D_5N).

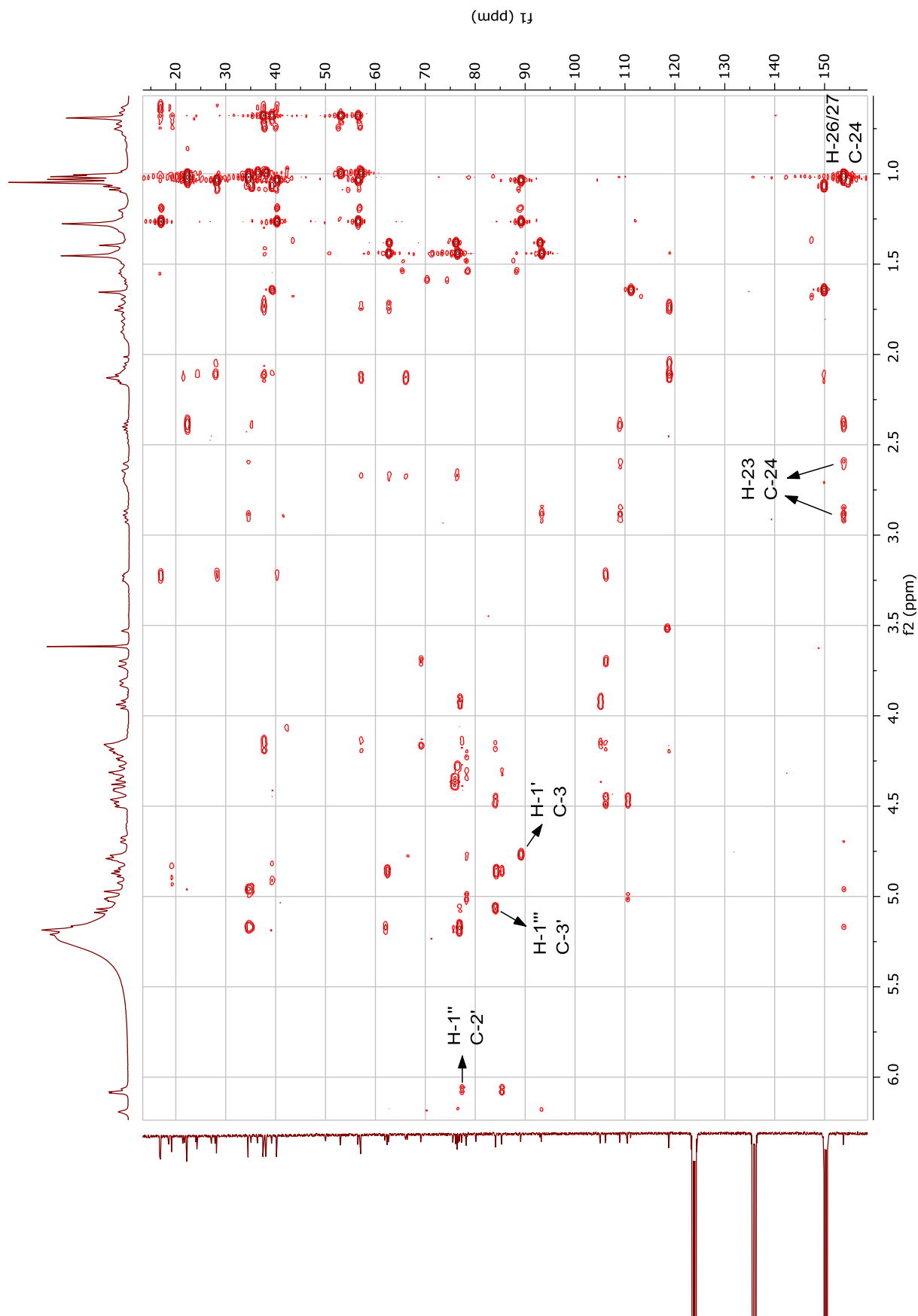


Figura 253. Espectro de HMBC de Zg16 (400 MHz, C₅D₅N).

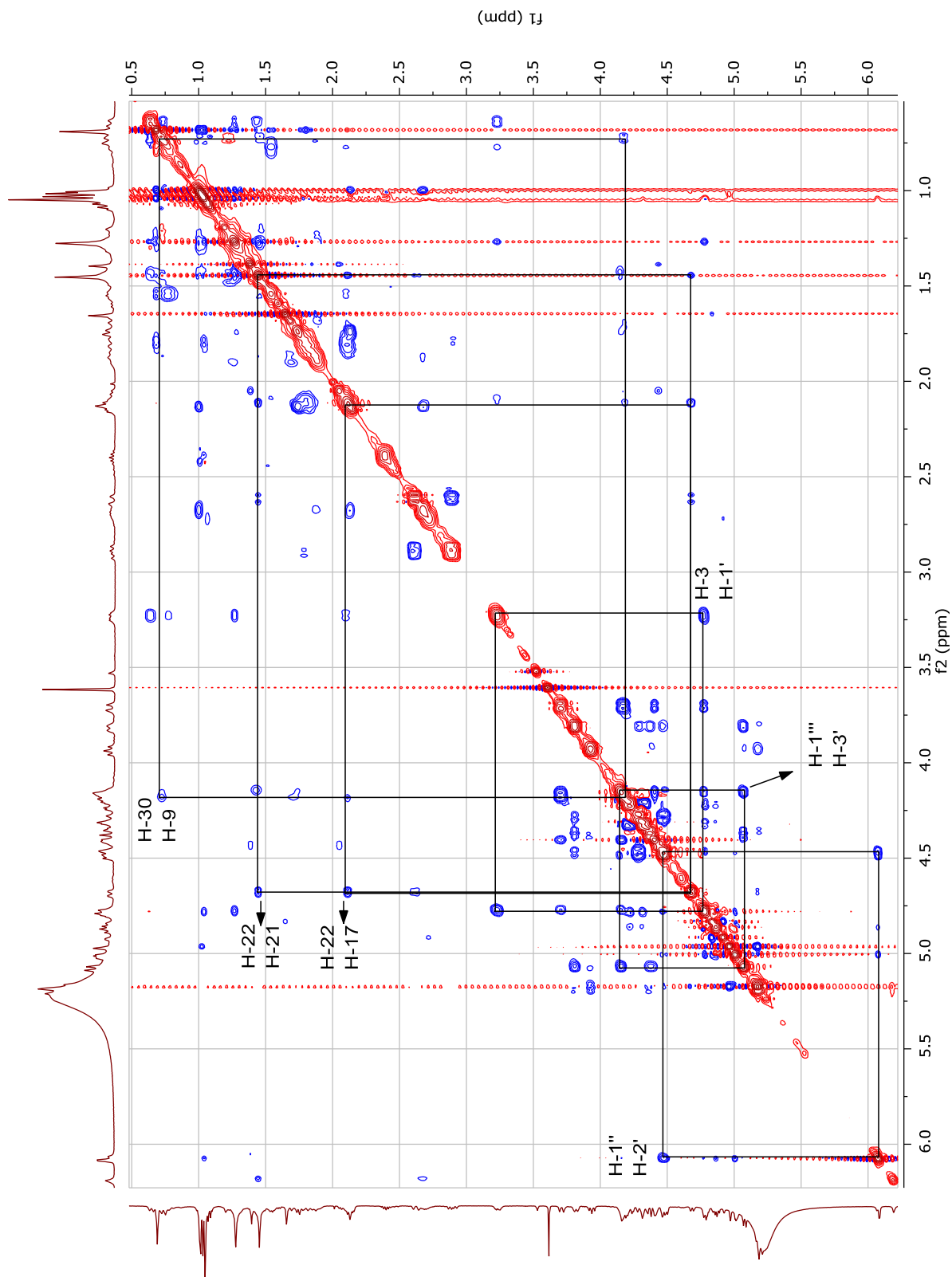


Figura 254. Espectro de ROESY de Zg16 (400 MHz, $\text{C}_5\text{D}_5\text{N}$).

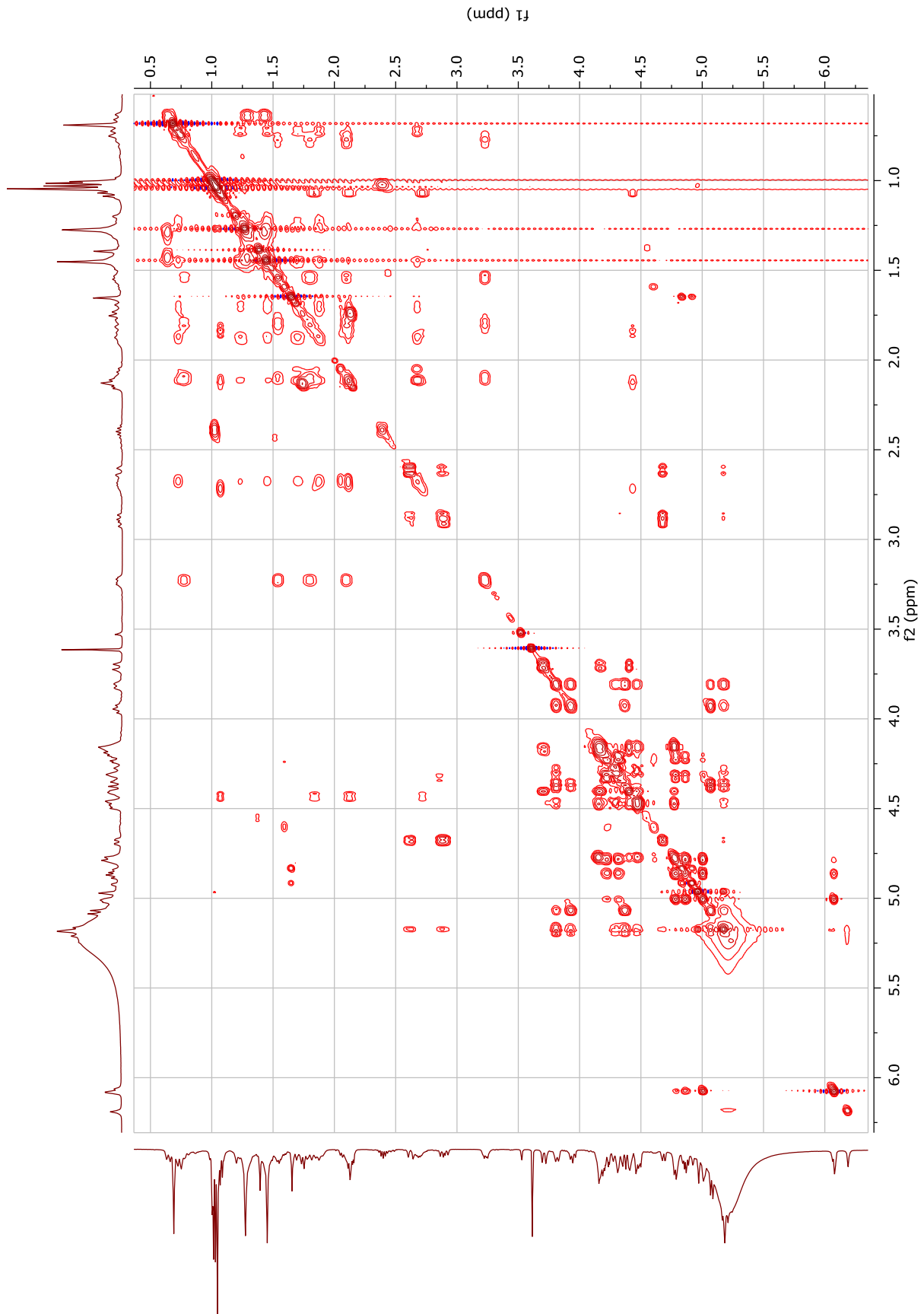


Figura 255. Espectro de TOCSY (2D) de **Zg16** (400 MHz, C₅D₅N).

CAC133_pdd #1775-1783 RT: 8,85-8,87 AV: 5 NL: 3,25E7
F: FTMS + p ESI Full ms [100,00-2000,00]

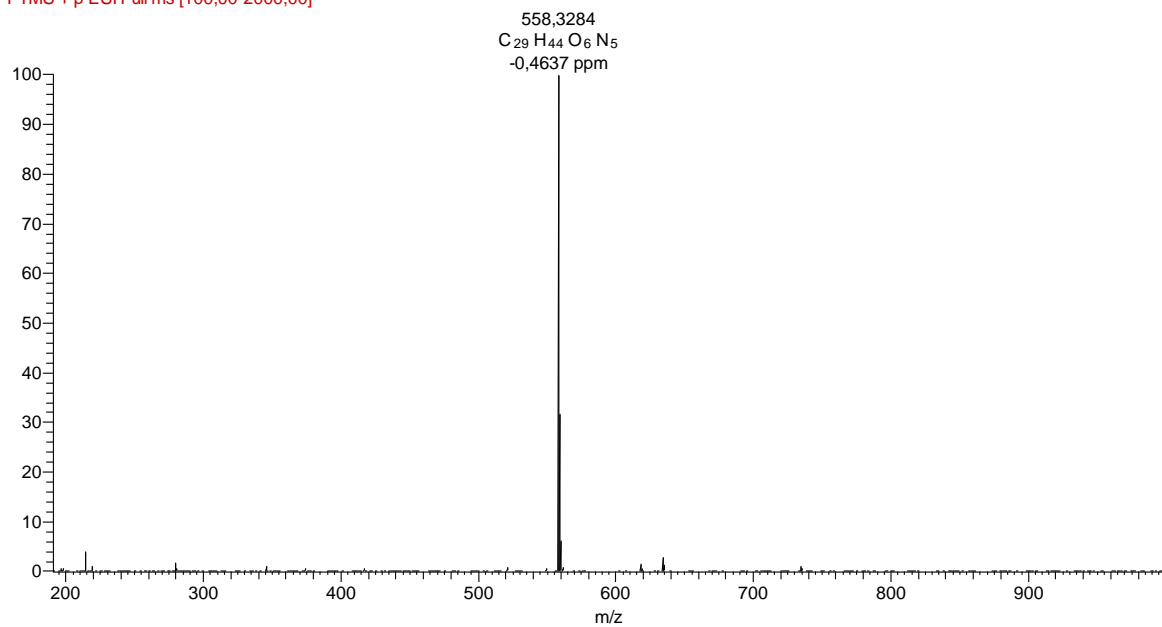


Figura 256. Espectro de massas de alta resolução (ESI) do pico em 8,86 min de ZjC-AlcF (modo positivo).

CAC133_pdd #1847-1860 RT: 9,10-9,14 AV: 7 NL: 9,81E7
F: FTMS + p ESI Full ms [100,00-2000,00]

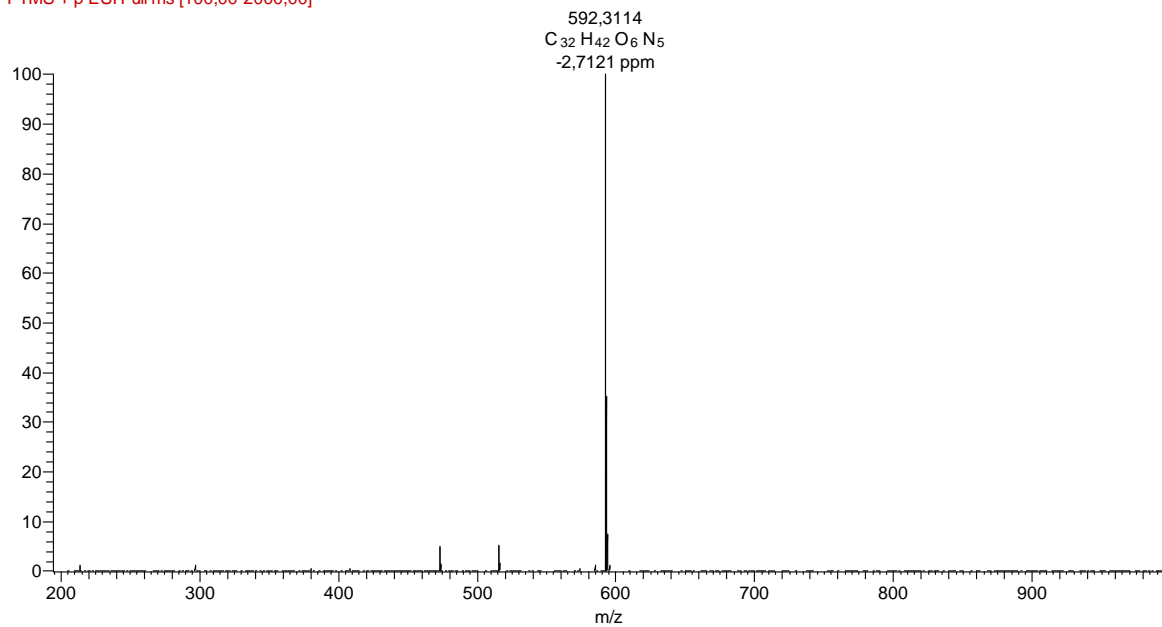


Figura 257. Espectro de massas de alta resolução (ESI) do pico em 9,13 min de ZjC-AlcF (modo positivo).

CAC133_pdd #2079-2084 RT: 9,98-10,00 AV: 3 NL: 1,14E8
F: FTMS + p ESI Full ms [100,00-2000,00]

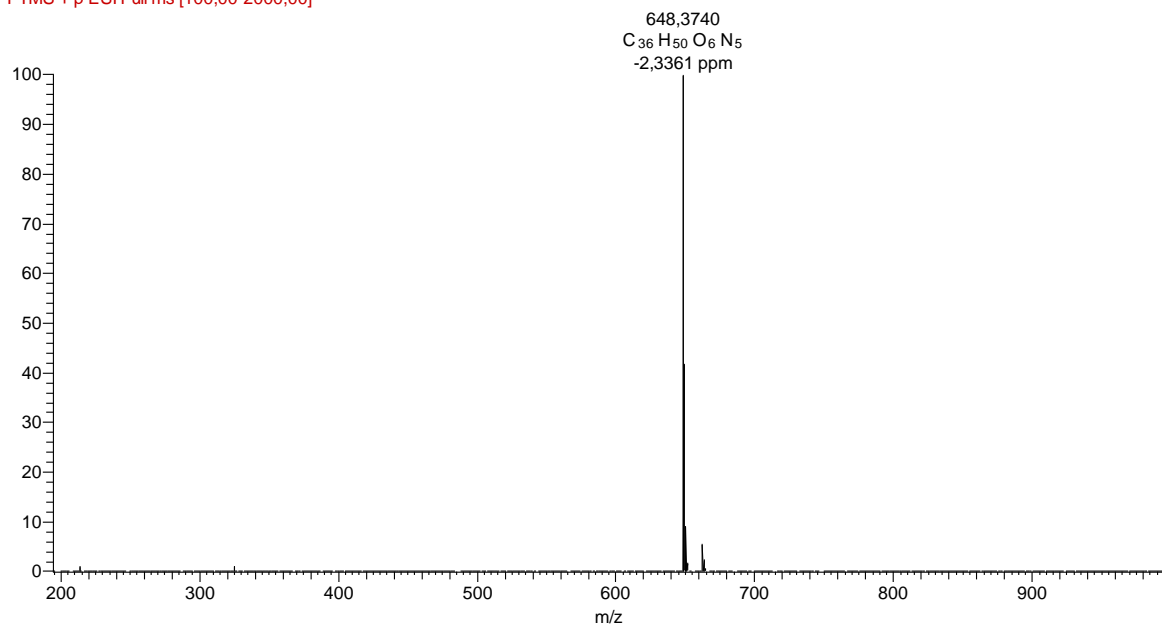


Figura 258. Espectro de massas de alta resolução (ESI) do pico em 10,00 min de **ZjC-AlcF** (modo positivo).

CAC133_pdd #2095-2103 RT: 10,04-10,06 AV: 5 NL: 1,97E8
F: FTMS + p ESI Full ms [100,00-2000,00]

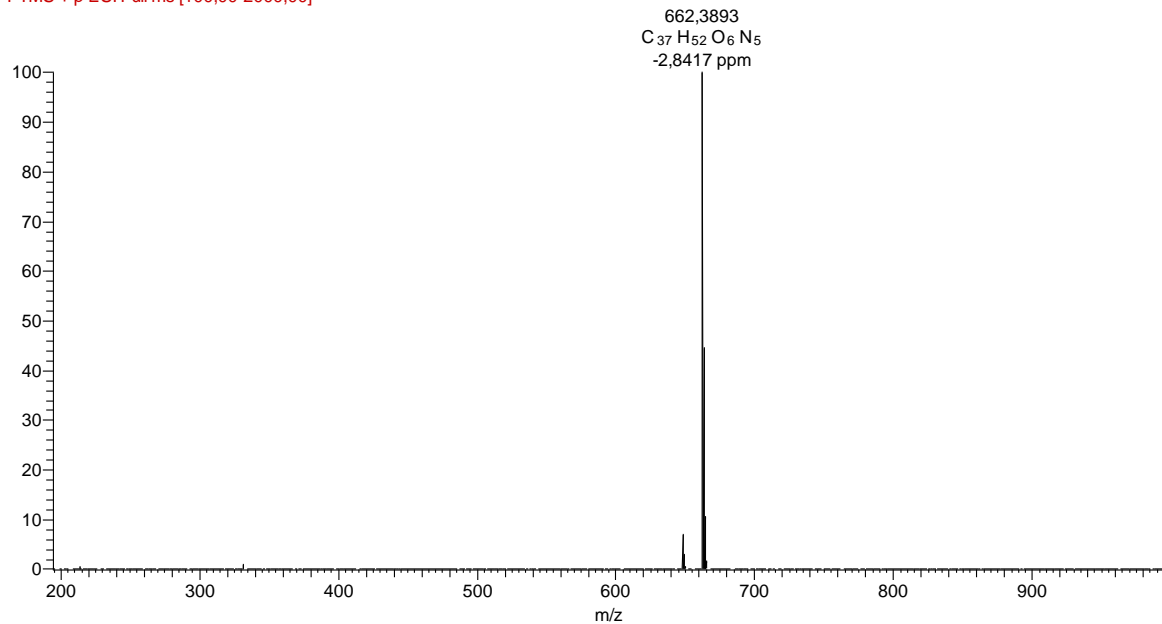


Figura 259. Espectro de massas de alta resolução (ESI) do pico em 10,06 min de **ZjC-AlcF** (modo positivo).

CAC133_pdd #2165-2170 RT: 10,29-10,30 AV: 3 NL: 4,56E7
F: FTMS + p ESI Full ms [100,00-2000,00]

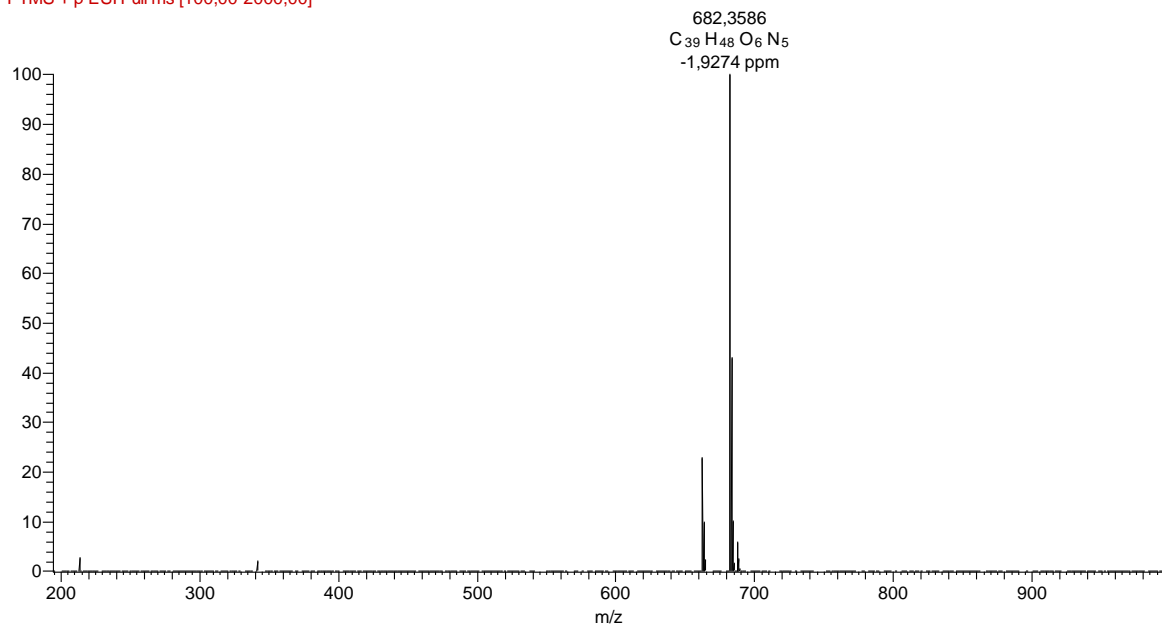


Figura 260. Espectro de massas de alta resolução (ESI) do pico em 10,30 min de **ZjC-AlcF** (modo positivo).

CAC133_pdd #2185 RT: 10,35 AV: 1 NL: 3,14E7
F: FTMS + p ESI Full ms [100,00-2000,00]

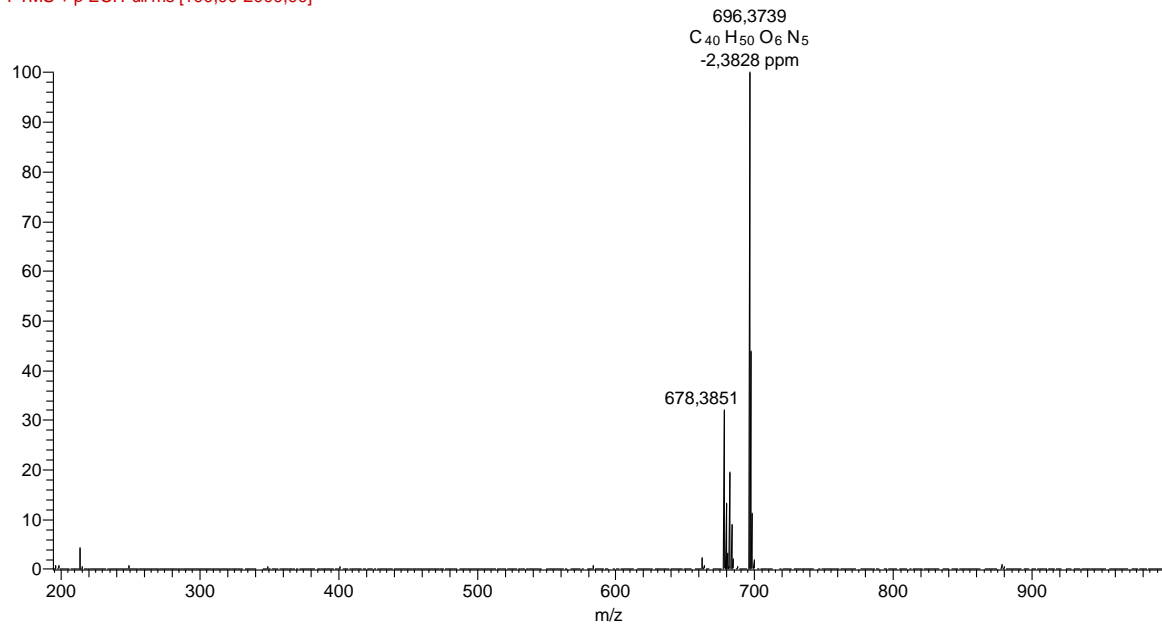


Figura 261. Espectro de massas de alta resolução (ESI) do pico em 10,37 min de **ZjC-AlcF** (modo positivo).

CAC133_pdd #2216-2228 RT: 10,46-10,50 AV: 6 NL: 5,06E7
F: FTMS + p ESI Full ms [100,00-2000,00]

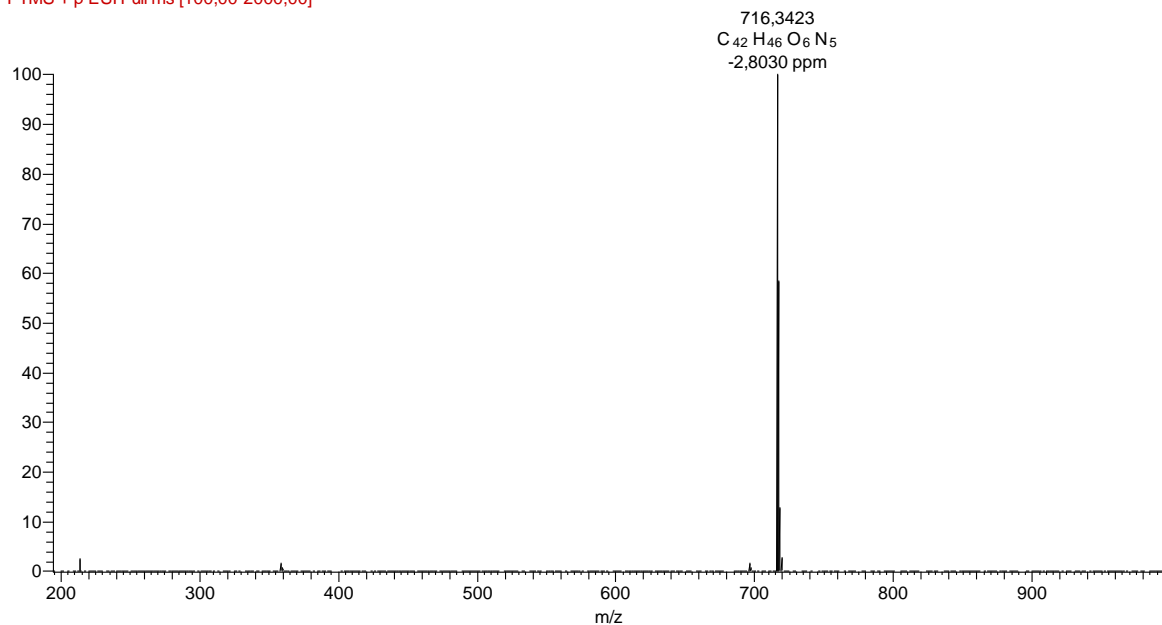


Figura 262. Espectro de massas de alta resolução (ESI) do pico em 10,48 min de **ZjC-AlcF** (modo positivo).

CAC133_pdd #2245-2254 RT: 10,56-10,59 AV: 5 NL: 1,26E7
F: FTMS + p ESI Full ms [100,00-2000,00]

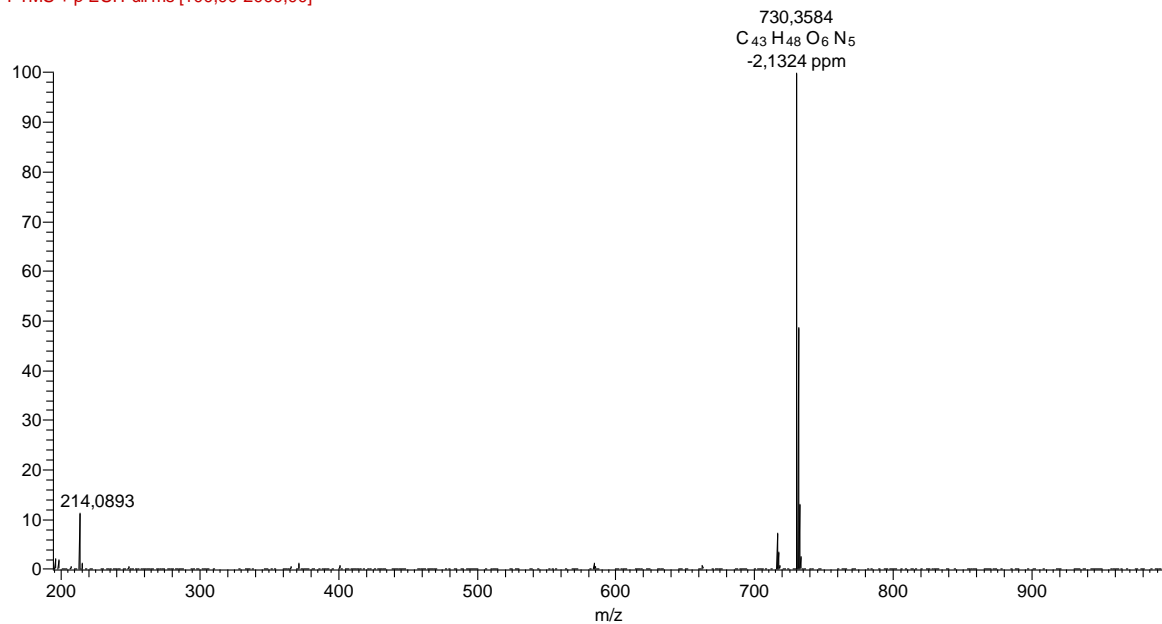


Figura 263. Espectro de massas de alta resolução (ESI) do pico em 10,57 min de **ZjC-AlcF** (modo positivo).

CAC133_pdd #1775-1785 RT: 8,85-8,88 AV: 5 NL: 1,75E7
F: FTMS + c ESId Full ms2 558,33@cid45,00 [140,0C]

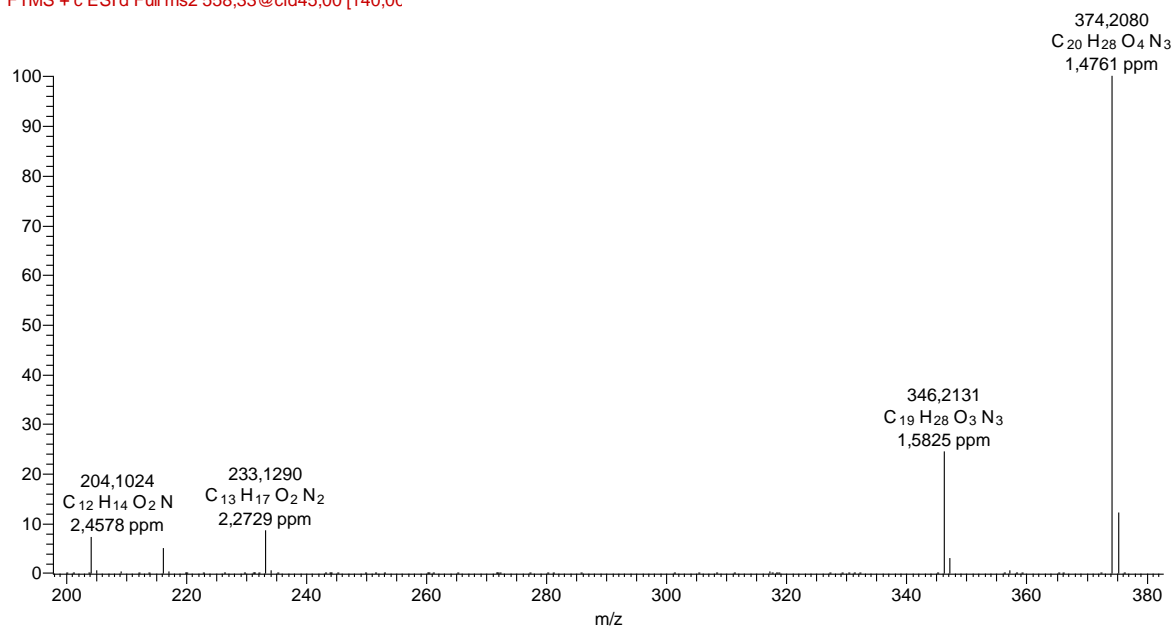


Figura 264. Espectro de massas sequencial (EM^2) de ZjC-ACP1.

CAC133_pdd #1775-1785 RT: 8,85-8,88 AV: 5 NL: 1,51E6
F: FTMS + c ESId Full ms2 558,33@cid45,00 [140,0C]

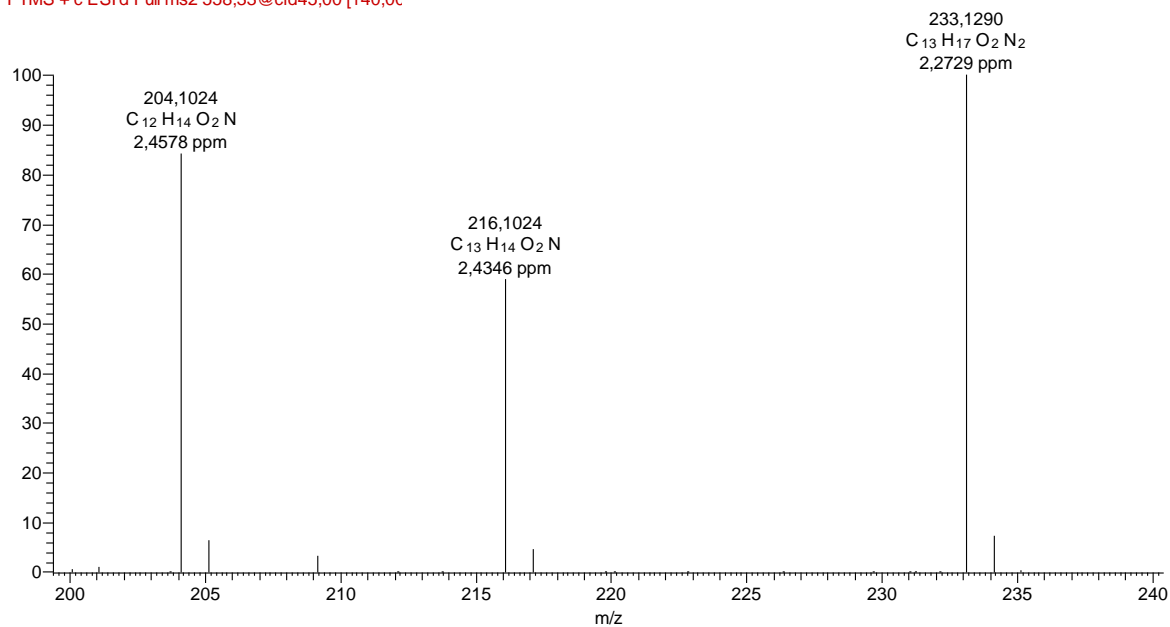


Figura 265. Espectro de massas sequencial (EM^2) de ZjC-ACP1 (ampliação em m/z 200-240).

CAC133_pdd #1843-1859 RT: 9,09-9,14 AV: 8 NL: 5,54E7
 F: FTMS + c ESI^d Full ms2 592,31@cid45,00 [150,0C]

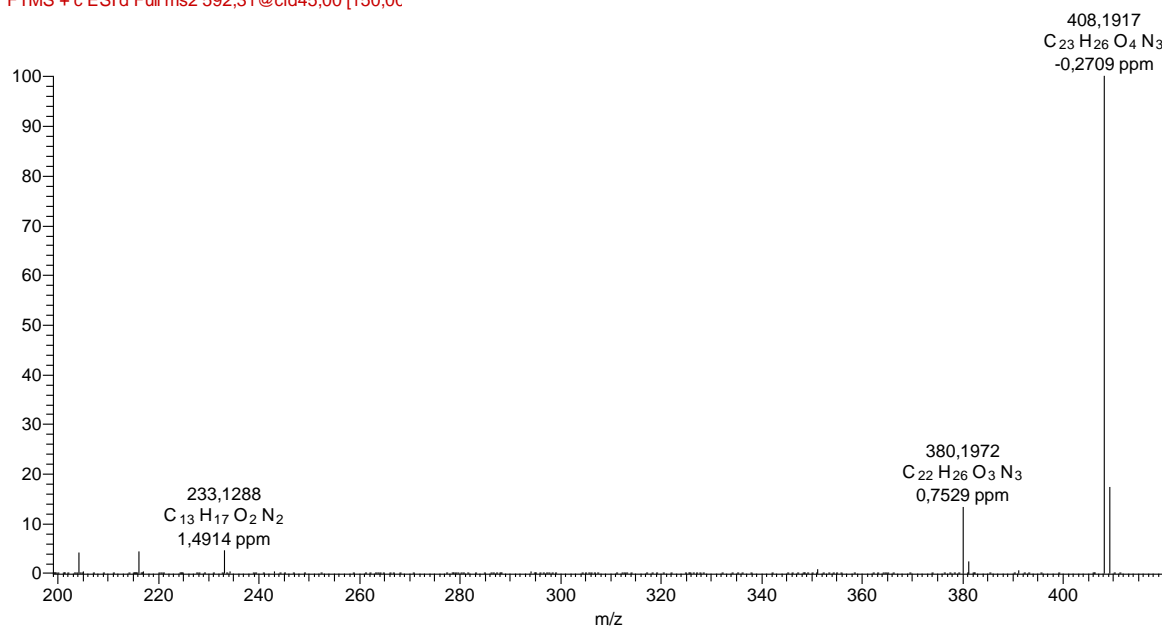


Figura 266. Espectro de massas sequencial (EM²) de ZjC-ACP2.

CAC133_pdd #1843-1859 RT: 9,09-9,14 AV: 8 NL: 2,55E6
 F: FTMS + c ESI^d Full ms2 592,31@cid45,00 [150,0C]

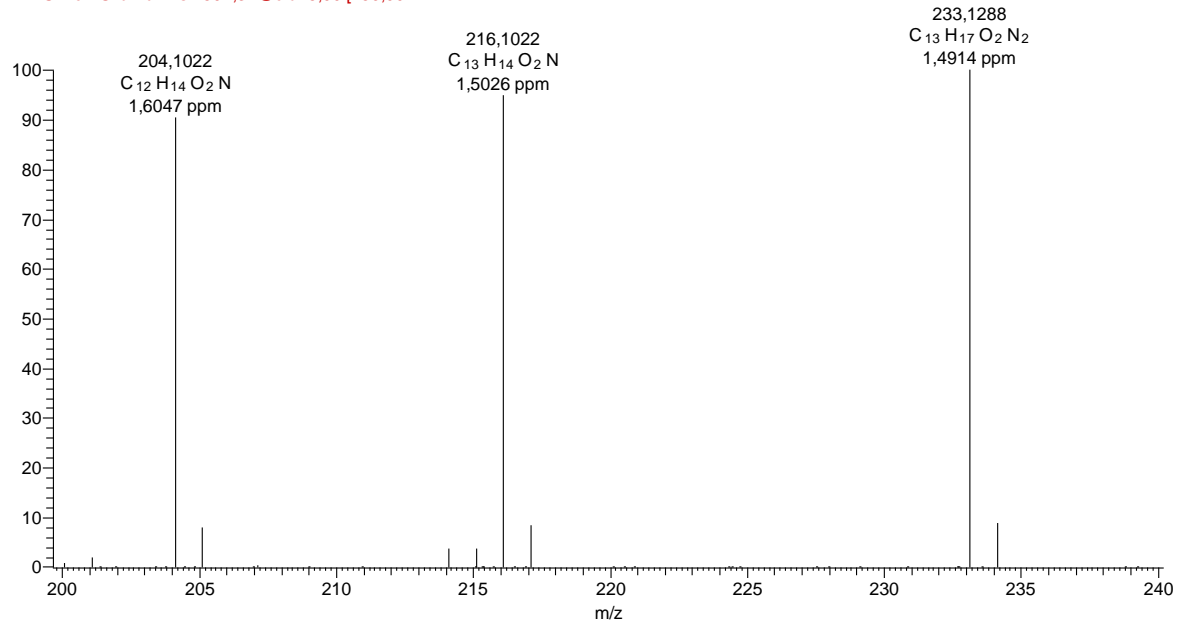


Figura 267. Espectro de massas sequencial (EM²) de ZjC-ACP2 (ampliação em m/z 200-240).

CAC133_pdd #2079-2086 RT: 9,99-10,01 AV: 4 NL: 2,25E7
 F: FTMS + c ESId Full ms2 648,37@cid45,00 [165,0C]

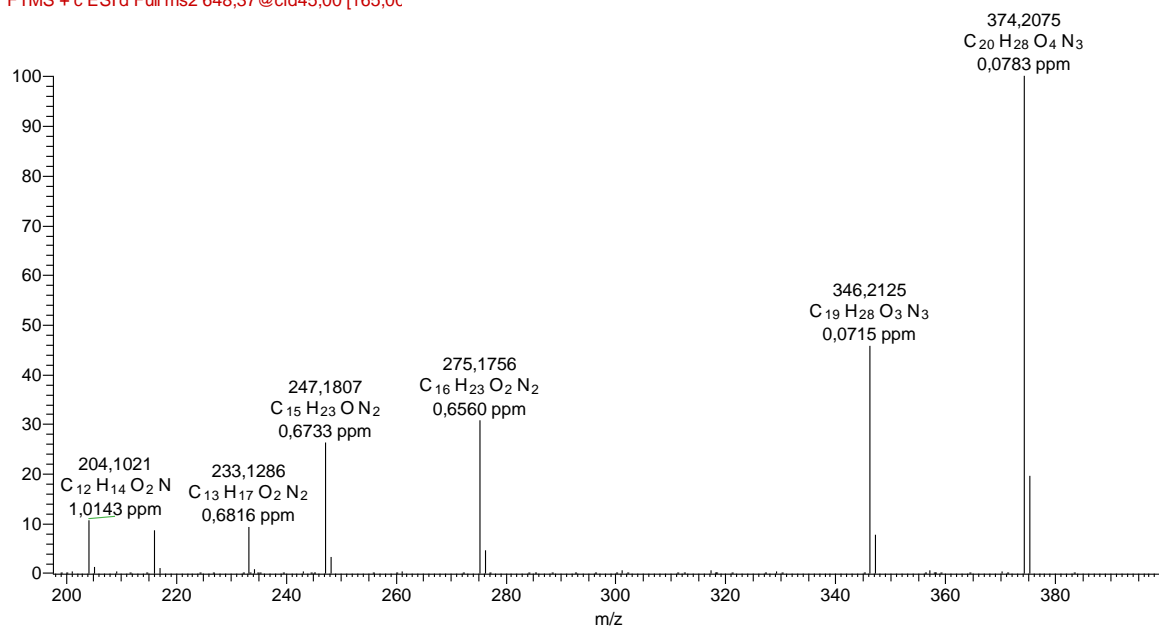


Figura 268. Espectro de massas sequencial (EM^2) de ZjC-ACP3.

CAC133_pdd #2079-2086 RT: 9,99-10,01 AV: 4 NL: 2,37E6
 F: FTMS + c ESId Full ms2 648,37@cid45,00 [165,0C]

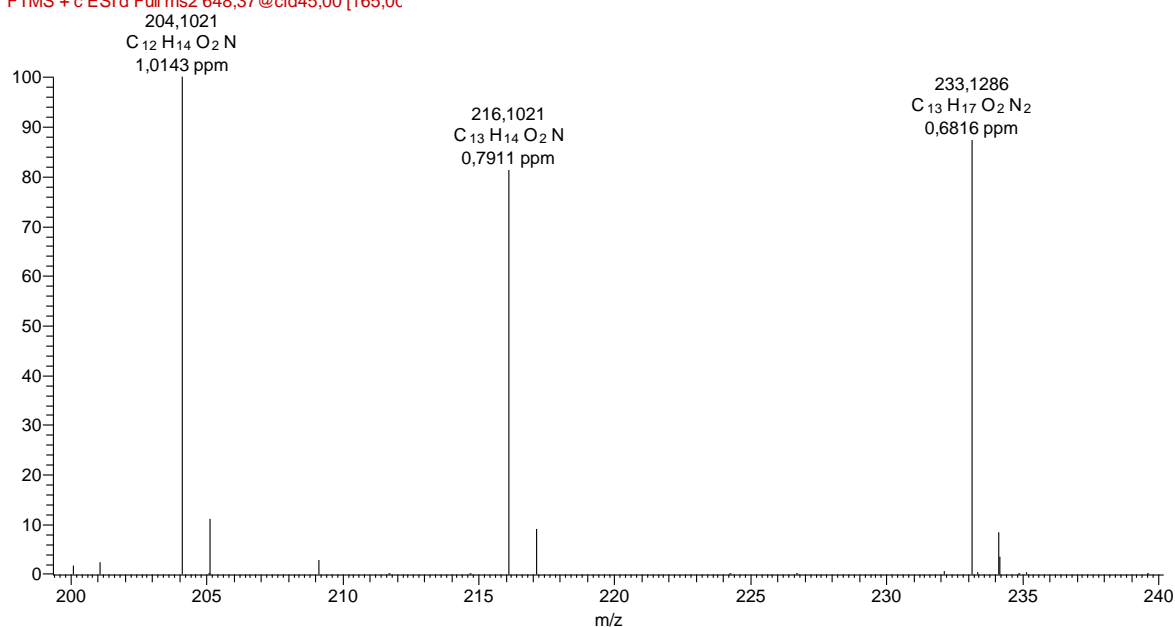


Figura 269. Espectro de massas sequencial (EM^2) de ZjC-ACP3 (ampliação em m/z 200-240).

CAC133_pdd #2095-2105 RT: 10,04-10,07 AV: 5 NL: 1,89E7
 F: FTMS + c ESId Full ms2 662,39@cid45,00 [170,0C]

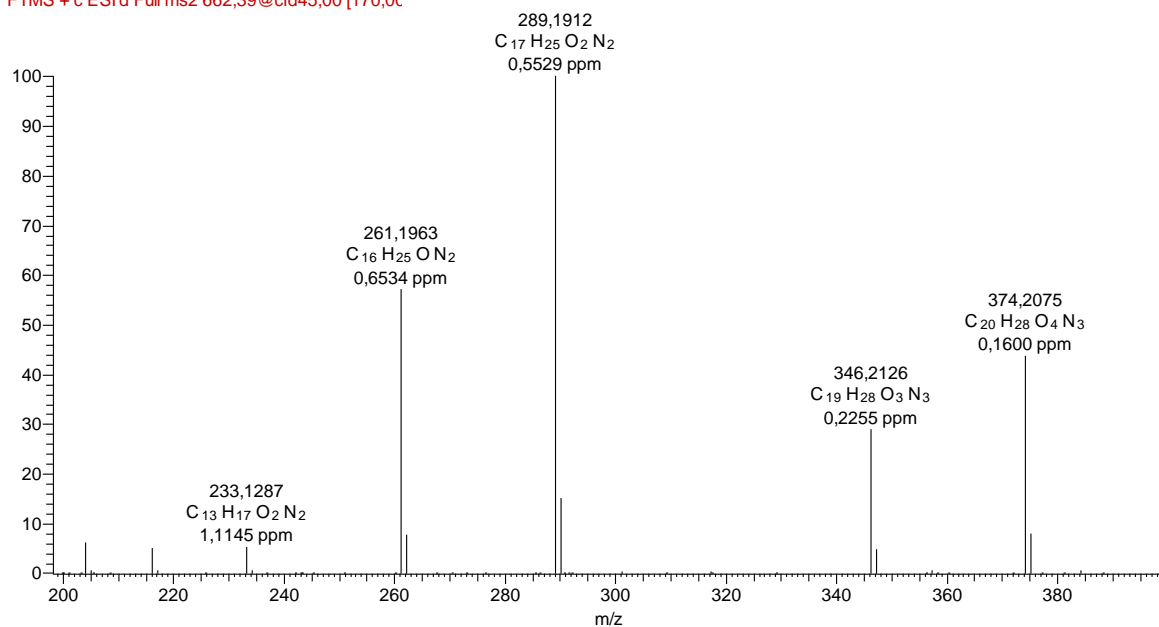


Figura 270. Espectro de massas sequencial (EM^2) de ZjC-ACP4.

CAC133_pdd #2095-2105 RT: 10,04-10,07 AV: 5 NL: 1,18E6
 F: FTMS + c ESId Full ms2 662,39@cid45,00 [170,0C]

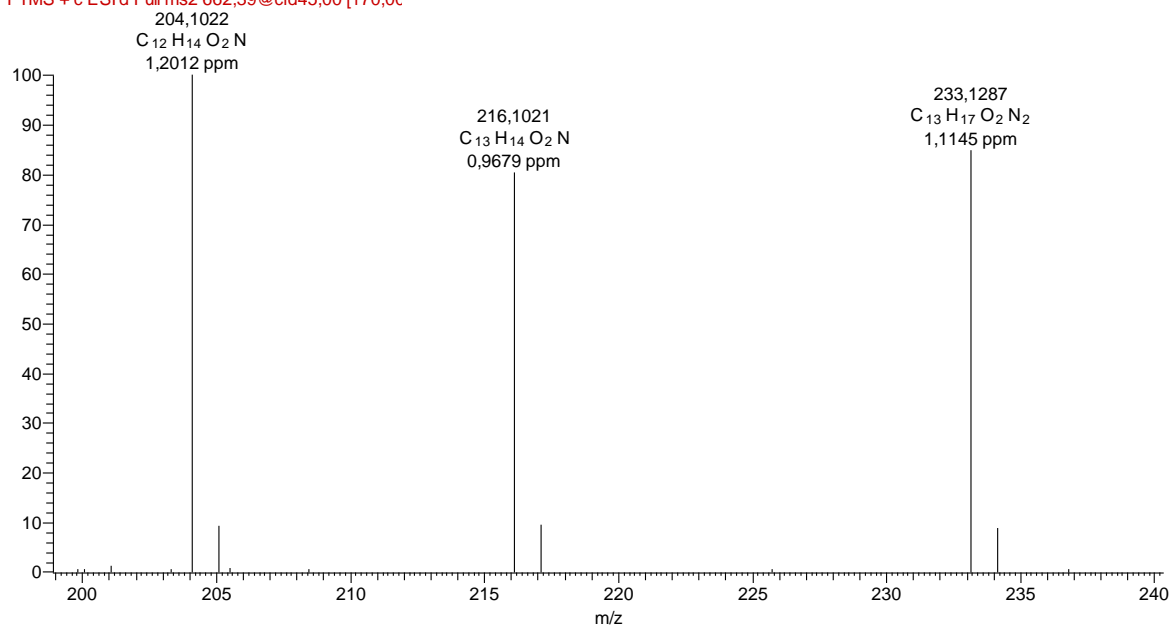


Figura 271. Espectro de massas sequencial (EM^2) de ZjC-ACP4 (ampliação em m/z 200-240).

CAC133_pdd #2162-2175 RT: 10,28-10,32 AV: 7 NL: 5,18E6
 F: FTMS + c ESI d Full ms2 682,36@cid45,00 [175,0C]

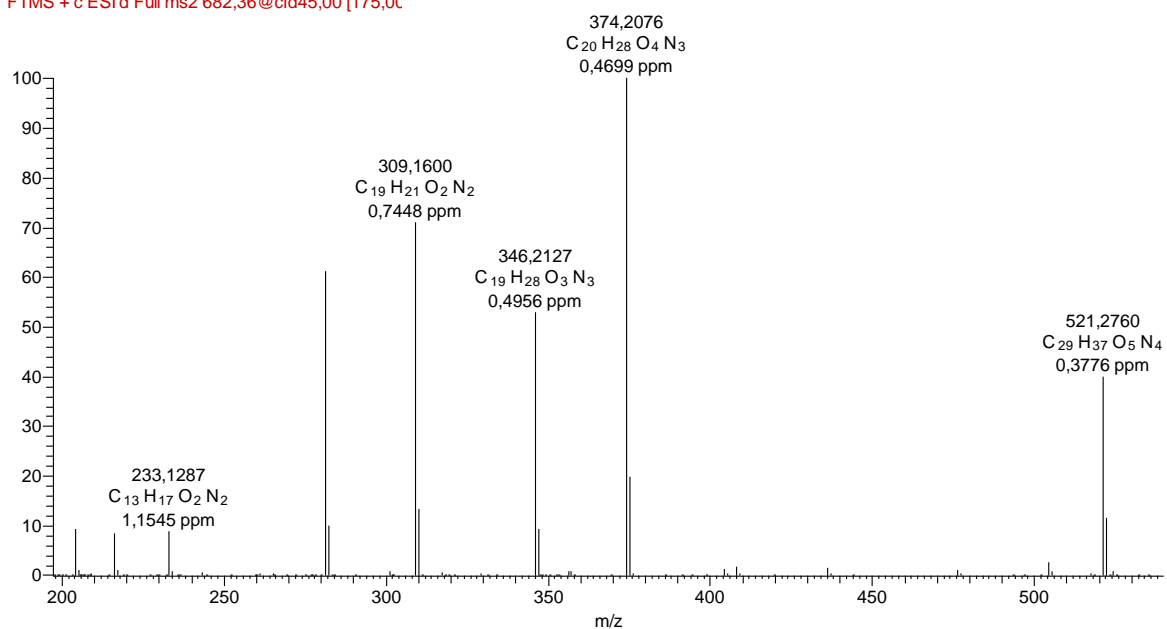


Figura 272. Espectro de massas sequencial (EM^2) de ZjC-ACP5.

CAC133_pdd #2162-2175 RT: 10,28-10,32 AV: 7 NL: 3,17E6
 F: FTMS + c ESI d Full ms2 682,36@cid45,00 [175,0C]

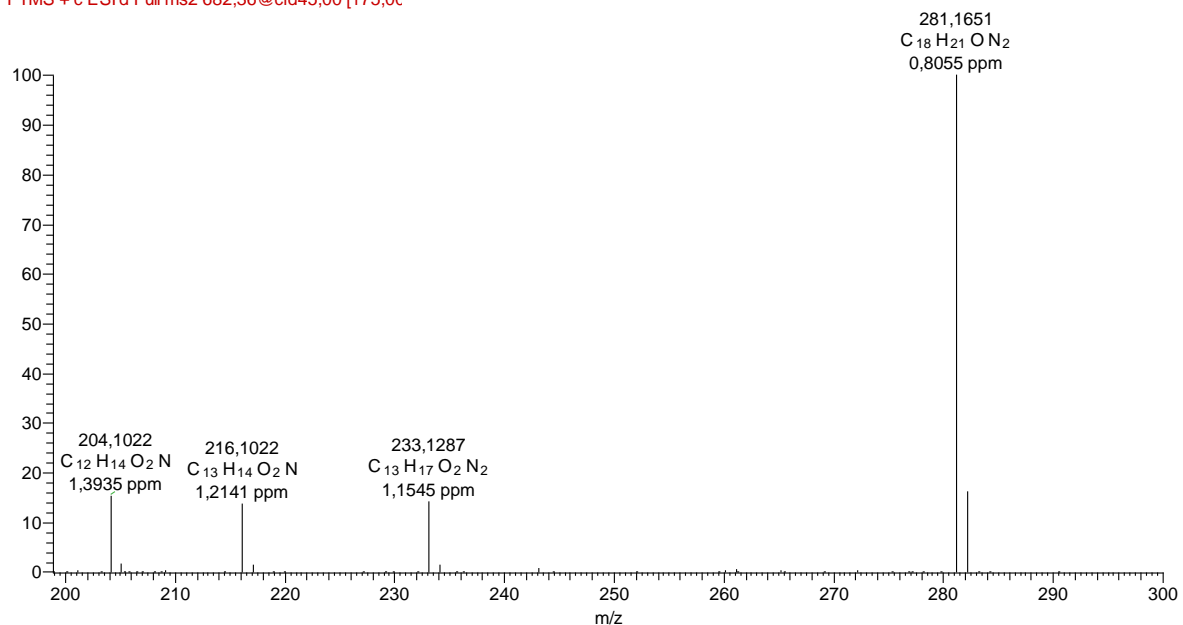


Figura 273. Espectro de massas sequencial (EM^2) de ZjC-ACP5 (ampliação em m/z 200-300).

CAC133_pdd #2186-2191 RT: 10,36-10,37 AV: 3 NL: 3,46E6
 F: FTMS + c ESI d Full ms2 696,37@cid45,00 [180,0C]

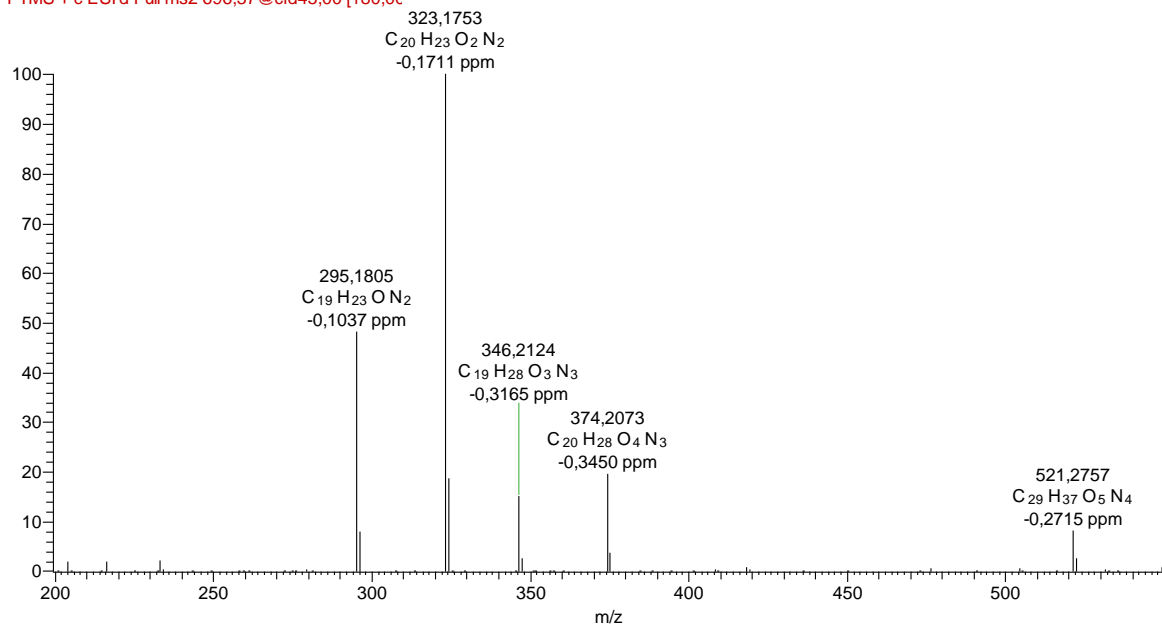


Figura 274. Espectro de massas sequencial (EM^2) de ZjC-ACP6.

CAC133_pdd #2186-2191 RT: 10,36-10,37 AV: 3 NL: 7,12E4
 F: FTMS + c ESI d Full ms2 696,37@cid45,00 [180,0C]

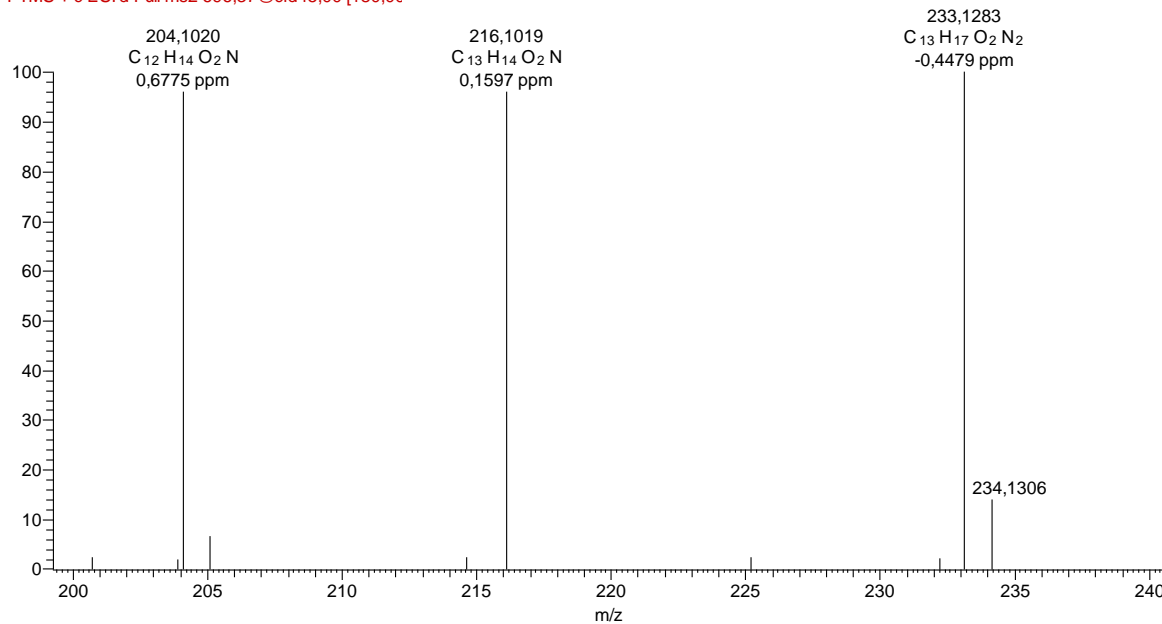


Figura 275. Espectro de massas sequencial (EM^2) de ZjC-ACP6 (ampliação em m/z 200-240).

CAC133_pdd #2216-2228 RT: 10,46-10,50 AV: 7 NL: 1,03E7
 F: FTMS + c ESI d Full ms2 716,34@cid45,00 [185,0C]

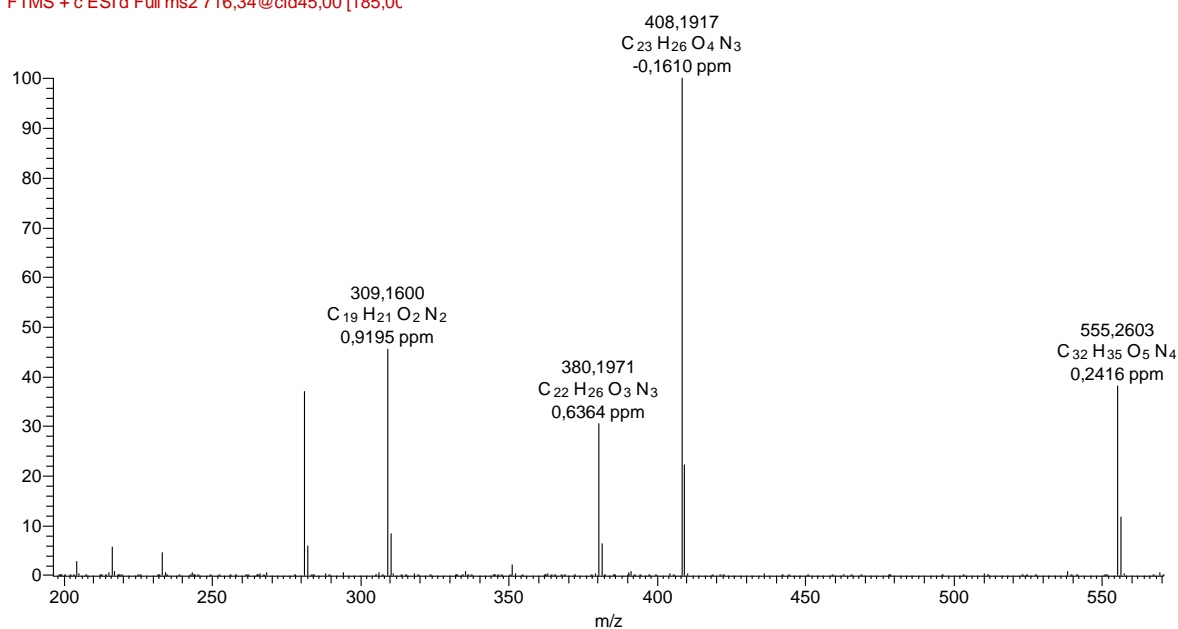


Figura 276. Espectro de massas sequencial (EM^2) de ZjC-ACP7.

CAC133_pdd #2216-2228 RT: 10,46-10,50 AV: 7 NL: 3,81E6
 F: FTMS + c ESI d Full ms2 716,34@cid45,00 [185,0C]

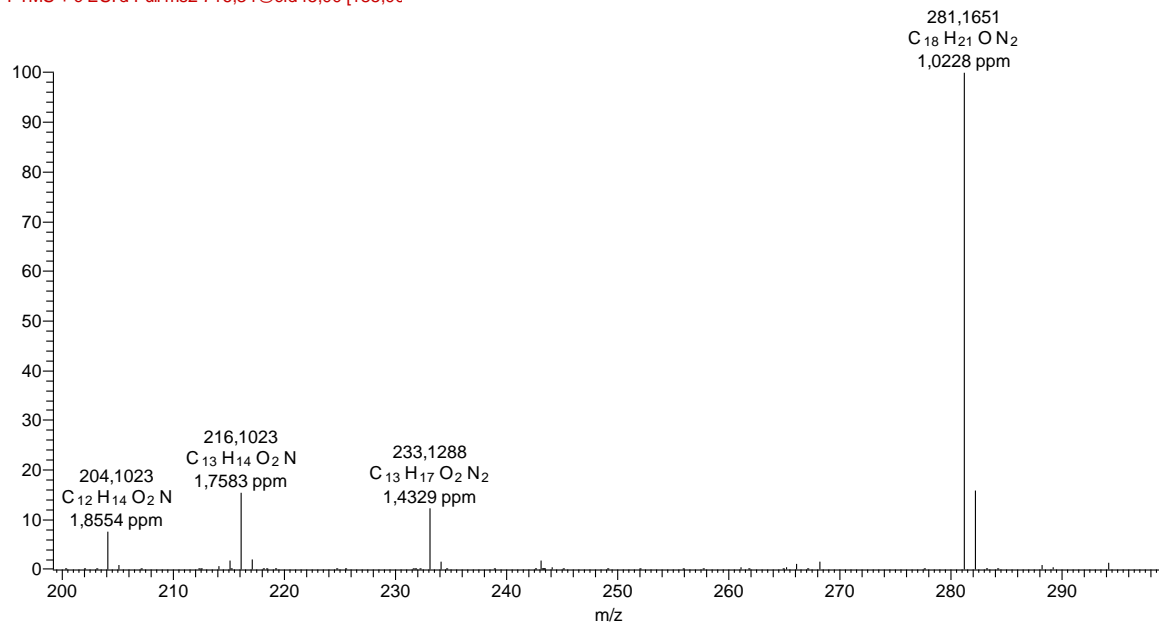


Figura 277. Espectro de massas sequencial (EM^2) de ZjC-ACP7 (ampliação em m/z 200-300).

CAC133_pdd #2243-2252 RT: 10,56-10,58 AV: 5 NL: 1,37E6
 F: FTMS + c ESI d Full ms2 730,36@cid45,00 [190,0C]

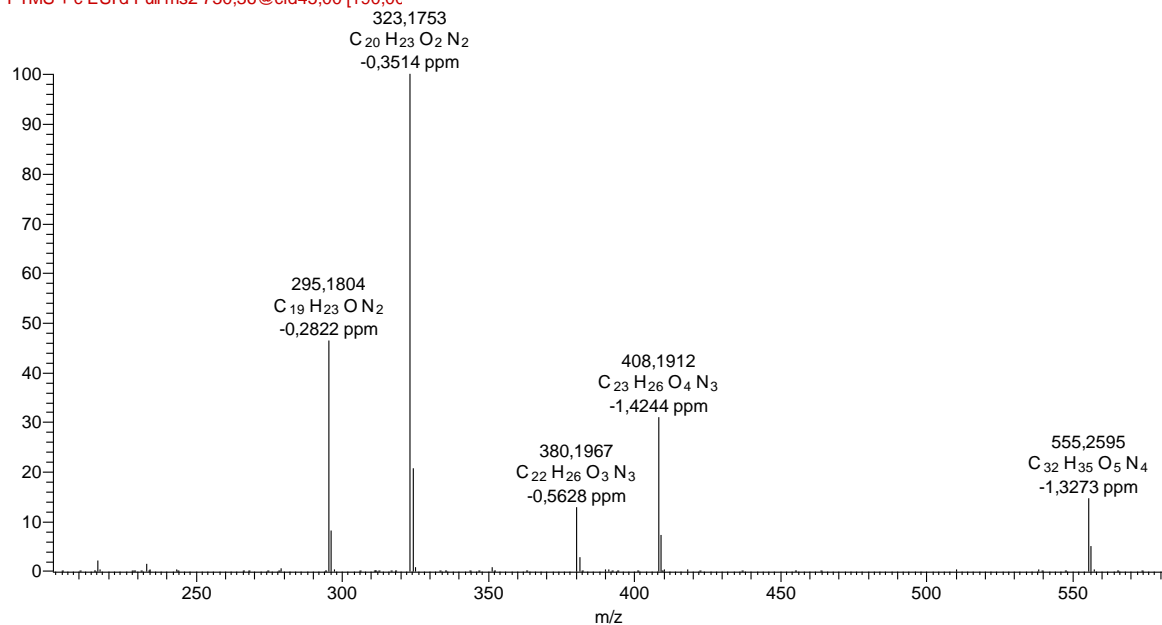


Figura 278. Espectro de massas sequencial (EM^2) de ZjC-ACP8.

CAC133_pdd #2243-2252 RT: 10,56-10,58 AV: 5 NL: 2,82E4
 F: FTMS + c ESI d Full ms2 730,36@cid45,00 [190,0C]

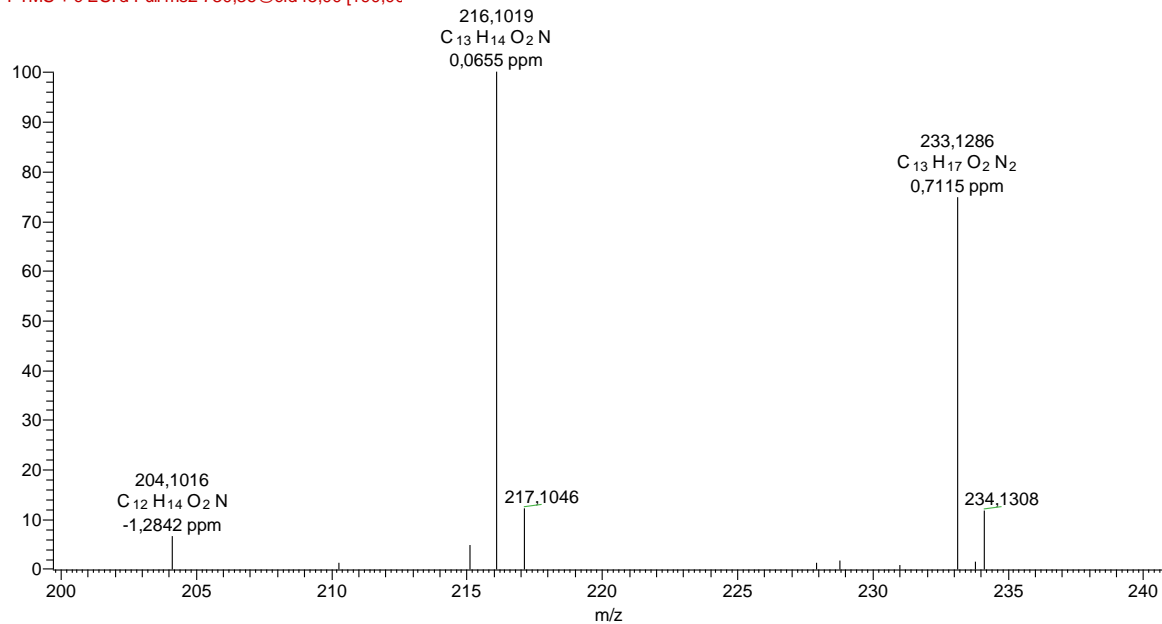


Figura 279. Espectro de massas sequencial (EM^2) de ZjC-ACP8 (ampliação em m/z 200-240).